

Deutsche Mathematiker-Vereinigung.

Katalog
mathematischer und mathematisch-physikalischer
Modelle, Apparate und Instrumente.

Unter Mitwirkung zahlreicher Fachgenossen

herausgegeben

im Auftrage des Vorstandes der Vereinigung

von

Walther Dyck,

Professor an der technischen Hochschule München.



München.

K. Hof- u. Universitätsbuchdruckerei von Dr. C. Wolf & Sohn.

1892.

MATHEMATICS
LIBRARY

511.8
1988

EINLEITUNG.

Auf der Versammlung der Deutschen Mathematiker-Vereinigung zu Halle war beschlossen worden, bei Gelegenheit der für den Herbst 1892 in Nürnberg geplanten Zusammenkunft eine Ausstellung mathematischer und mathematisch-physikalischer Modelle, Apparate und Instrumente zu veranstalten.

Schon einmal hat — im Jahre 1876 in London — eine solche Ausstellung in grösserem Umfange stattgefunden und reiche Anregung geboten. Gerade in den letzten Jahrzehnten nun ist diesen Gebieten wissenschaftlicher Bethätigung ein erhöhtes Interesse zugewendet worden: Den praktischen Bedürfnissen entsprechend haben sich die Hilfsmittel, Instrumente und Methoden, numerischer wie graphischer Rechnung ganz wesentlich vervollkommenet und vermehrt. Der geometrische Unterricht verfügt heute über reiche Sammlungen von Modellen räumlicher Gebilde, welche die Lagen- und Maassverhältnisse derselben, sei es nach ihren totalen, sei es nach ihren differentiellen Beziehungen zur Anschauung bringen. Hier wie in den auf Mechanik und mathematische Physik bezüglichen Modellen und Apparaten kommen neben den Zwecken des Unterrichtes die der Forschung zum Ausdruck. Insbesondere für die Betrachtung physikalischer Vorgänge haben die Hilfsmittel mechanischer Versinnlichung in neuster Zeit eine besondere, principielle Bedeutung gewonnen. Und ebenso ist, seit man begonnen hat, die mannigfaltigen Gestalten algebraischer Gebilde systematisch zu discutiren, seit die Theorie der Flächenkrümmung direct anschauungsmässige und sozusagen dem

Experimente zugängliche Sätze geliefert, das Interesse für die gestaltlichen Eigenschaften räumlicher Gebilde und für deren unmittelbare Realisirung gewachsen.

So erschien es naturgemäss, die Gelegenheit der diesjährigen Versammlung der Deutschen Mathematiker-Vereinigung, die gleichzeitig mit der Versammlung der Gesellschaft deutscher Naturforscher und Aerzte in Nürnberg tagen sollte, zu benützen, um ein zusammenhängendes Bild dieser Entwicklung vorzuführen.

Das Vorhaben, dessen Durchführung vom Vorstande der Deutschen Mathematiker-Vereinigung dem Herausgeber dieses Katalogs übertragen worden war, erfreute sich vom Anfange an der entgegenkommenden Förderung von Seiten des königlich bayerischen Staatsministeriums des Innern für Kirchen- und Schulanangelegenheiten, wie des persönlichen Interesses Seiner Excellenz des Herrn Staatsministers von Müller. Durch die namhafte materielle Beihilfe von Seiten des genannten kgl. Staatsministeriums ebenso wie durch die weiteren Geldmittel, welche das Reichsamt des Innern, in liberaler Weise gewährt hat, war das Unternehmen gesichert.

Die Beteiligung an dem Vorhaben entsprach dem glücklichen Beginne. Ein grosser Teil der mathematischen, physikalischen, mechanisch-technischen und geodätischen Institute unserer wie ausserdeutscher Hochschulen hatte die in den Instituten selbst hergestellten Modelle ebenso wie historisch wertvolle Objecte ihrer Sammlungen zur Verfügung gestellt. Von Museen, privaten Sammlungen, von einzelnen Gelehrten im In- und Auslande waren Anmeldungen eingetroffen. Es haben neben Deutschland Amerika, Frankreich, Italien, die Niederlande, Norwegen, Österreich-Ungarn, Russland, die Schweiz sich beteiligt und insbesondere bildete sich in Grossbritannien ein Comité, mit den Professoren Lord Kelvin, Greenhill, Henrici an der Spitze, um die Ausstellung mit den hervorragendsten Gegenständen aus Staats- wie aus Privatsammlungen zu beschicken. Wohl alle bedeutenderen mechanischen Werkstätten, welche sich speciell mit der Herstellung mathematischer Apparate und Instrumente befassen, sowie die in Betracht kommenden Verlagsfirmen hatten ihre Beteiligung zugesagt.

Das Zusammenwirken zahlreicher Fachgenossen hat die Absicht durchführen lassen, einen ausführlichen Katalog der Ausstellung

mit der genauen Beschreibung und zahlreichen Abbildungen der einzelnen Objecte vorzubereiten und demselben eine Reihe von Aufsätzen zusammenfassenden Inhaltes voranzustellen. Allen die hier Teil genommen, weiss sich der Herausgeber des Kataloges zu besonderem Danke verpflichtet; er möchte im speciellen noch der wichtigen Beihilfe gedenken, welche die Herren Boltzmann in München und Mehmké in Darmstadt den auf mathematische Physik und auf Arithmetik bezüglichen Abteilungen gewidmet haben.

Die Drucklegung des Kataloges musste innerhalb der letzten fünf Wochen vor dem Termin der Ausstellung bewerkstelligt werden; der Unterzeichnete spricht der Hof- und Universitäts-Buchdruckerei von Dr. Wolf u. Sohn in München für ihr bereitwilliges Entgegenkommen, Herrn stud. math. Da underer für seine Unterstützung bei Correctur und Anfertigung der Register Dank und Anerkennung aus.

In Nürnberg selbst fand die geplante Ausstellung bereitwilligste Unterstützung und gastliche Aufnahme bei den Geschäftsführern der Gesellschaft Deutscher Naturforscher und Aerzte, den Herren Medicinalrat Dr. Merkel und Rector Füchtbauer, wie bei dem einführenden Comité der Abteilung für Mathematik und Astronomie der genannten Gesellschaft, den Herren Professor Rudel und Gymnasiallehrer Dr. Sievert. Herr Director von Kramer des bayerischen Gewerbemuseums stellte ebenso wie die Geschäftsleitung der Naturforscherversammlung zweckentsprechende Räumlichkeiten in entgegenkommendster Weise zur Verfügung.

Das k. Staatsministerium des königlichen Hauses und des Äussern hat durch seine wichtige Vermittelung und Befürwortung bei den deutschen Eisenbahnverwaltungen den kostenfreien Rücktransport der Ausstellungsgegenstände erwirkt und weiter waren von Seiten der Generaldirection der Zölle und indirecten Steuern in dankenswertester Weise Vereinfachungen für die zollamtlichen Revisionen gewährt worden.

So waren alle einleitenden Schritte und Vorbereitungen getroffen.

Die gesundheitlichen Verhältnisse in Deutschland veranlassten am 29. August die Absage der Versammlung deutscher Naturforscher und Aerzte und sie hatten auch am 1. September die Absage der Versammlung der Deutschen Mathematiker-Vereinigung

im Gefolge. — So kann die Gegenleistung für das Entgegenkommen und die Beihilfe, welche von Seiten hoher Behörden Bayerns und des Reiches, von den Fachgenossen, den technischen Instituten, Werkstätten und Verlagshandlungen dem Unternehmen zu Teil geworden ist, zunächst nicht in der wirklichen Durchführung desselben, die Anregung und Förderung in weiten Kreisen geben sollte, zum Ausdruck gelangen und es muss sich der Unterzeichnete darauf beschränken, mit der Veröffentlichung dieses Katalogs Rechenschaft und Dank niederzulegen.

Im kommenden Jahre aber sei mit frischem Mute an die Durchführung des Vorhabens gegangen! In München dem für die nächstjährige Versammlung der Deutschen Mathematiker-Vereinigung ausersehenen Ort, werden, wie bereits in dankenswerter Weise zugesichert ist, die ausgedehnten Räume der technischen Hochschule zur Verfügung stehen. Dem Umfange, den die Ausstellung bisher gewonnen, soll dann eine verlängerte Dauer derselben entsprechen. Es ist der 1.—30. September 1893 in Aussicht genommen, während die Tage der Mathematiker-Versammlung den für die Naturforscher-Versammlung in Nürnberg festzusetzenden unmittelbar voraus gehen werden.

Der für die diesjährige Ausstellung fertig gestellte Katalog aber mag schon jetzt zur Ausgabe gelangen; nicht mit dem Anspruch, ein vollständiges Bild der vielen hierhergehörigen Gebiete zu geben, sondern mit der Absicht, Plan und begonnene Durchführung des Unternehmens zu zeigen, und dabei auch die Lücken erkennen zu lassen, welche nunmehr noch auszufüllen sind.

Möge Interesse und Mitwirkung Aller, die in diesem Jahre unser Vorhaben gefördert haben, uns dabei nicht fehlen, mögen insbesondere die Fachgenossen mit Rat und That den Zweck des ganzen Unternehmens durchführen helfen, ein vollständiges Bild zu geben, all' der mannigfachen Hilfsmittel, wie sie heute in Gestalt von Modellen, Apparaten und Instrumenten dem Unterricht und der Forschung in der reinen und angewandten Mathematik dienen!

München, im Oktober 1892.

Walther Dyck.

Inhalt.

Einleitung.

Verzeichnis der Aussteller.

Verzeichnis der Mitarbeiter am Katalog.

Verzeichnis der Aussteller, Verlagshandlungen etc., welche
Clichés zur Verfügung gestellt haben.

Erster Teil.

	Seite
<i>F. Klein.</i> Geometrisches zur Abzählung der reellen Wurzeln algebraischer Gleichungen	3
<i>A. Voss.</i> Über aequidistante Curvensysteme auf krummen Flächen . . .	16
<i>A. Brill.</i> Über die Auflösung höherer Singularitäten einer algebraischen Curve in elementare	27
<i>G. Hauck.</i> Über die constructiven Postulate der Raungeometrie in ihrer Beziehung zu den Methoden der Darstellenden Geometrie	40
<i>A. v. Braunmühl.</i> Historische Studie über die organische Erzeugung ebener Curven von den ältesten Zeiten bis zum Ende des achtzehnten Jahrhunderts	54
<i>L. Boltzmann.</i> Über die Methoden der theoretischen Physik	89
<i>A. Amster.</i> Über mechanische Integrationen	99
<i>O. Henrici.</i> Über Instrumente zur Harmonischen Analyse	125

Zweiter Teil.

I. Abteilung.

Arithmetik ; Algebra, Functionentheorie ; Integralrechnung.

Erster Abschnitt. *Arithmetik.*

	Seite
A. Rechenapparate	139
B. Apparat zur Wahrscheinlichkeitsrechnung	154

Zweiter Abschnitt. *Algebra, Functionentheorie.*

C. Apparate zur Auflösung von Gleichungen und zur Construction functioneller Abhängigkeiten	155
D. Modelle und Zeichnungen zur Algebra und Functionentheorie	168

Dritter Abschnitt. *Integralrechnung.*

E. Curvometer	180
F. Planimeter	183
G. Weitere Instrumente zur mechanischen Integration	197

II. Abteilung.

Geometrie.

H. Zeichenapparate	225
J. Modelle für den Elementar-Unterricht in Planimetrie, Stereometrie, Trigonometrie und Darstellender Geometrie	243
K. Polyeder, Polygon- und Polyederteilung von Flächen und Räumen	246
L. Ebene Curven	254
M. Algebraische Flächen	257
Flächen zweiter Ordnung	257
Flächen höherer Ordnung	263

	Seite
N. Raumcurven und abwickelbare Flächen; Regelflächen	268
O. Modelle zur Liniengeometrie	279
Brennlinien; Strahlensysteme, Brennflächen, Centraflächen; Complexe	279
P. Modelle und Zeichnungen zur Krümmungstheorie	285
Allgemeines; Confocale Flächen zweiter Ordnung, Krümmungslinien	285
Asymptotencurven	288
Geodätische Linien	290
Abwicklung zweier Flächen auf einander	291
Flächen constanten Krümmungsmasses	291
Flächen constanter mittlerer Krümmung; Minimalflächen	294
Q. Singuläre Vorkommnisse bei Curven und Flächen	298

III. Abteilung.

Angewandte Mathematik.

Erster Abschnitt. *Mechanik.*

R. Apparate und Modelle zur Demonstration von Sätzen der Dynamik	307
S. Kinematische Modelle und Apparate, zugleich mit Bezug auf die Anwendungen in der Praxis	315

Zweiter Abschnitt. *Mathematische Physik.*

T. Apparate und Modelle zur Veranschaulichung der Gesetze der Fortpflanzung von Wellen	360
U. Modelle zur Erläuterung der Krystalstructure	371
V. Modelle zur Veranschaulichung der optischen, elastischen und elektrischen Eigenschaften der Krystalle	377
W. Zeichnungen und Modelle zur Thermodynamik	391
X. Modelle und Apparate zur mechanischen Versinnlichung elektrodynamischer Vorgänge	400

Dritter Abschnitt. *Verschiedene technische Anwendungen.*

Y. Geodätische, nautische, meteorologische Instrumente	411
--	-----

Namenregister zum II. Teil.

Sachregister zum II. Teil.

Verzeichnis der Aussteller.^{*)}

- Ackermann, Th., Verlagsbuchhandlung, München, Promenadeplatz 13. 120.
Akademie der Wissenschaften, k. preuss., Berlin. 140.
Amsler-Laffon, J. & Sohn, Schaffhausen. 61—64, 80—84.
Apel, W., Universitätsmechaniker, Göttingen. 192.
Barrell, F. R., Professor, University College, Bristol. 234.
Barthelmes, A., Mechaniker. München, Müllerstr. 41. 25.
Bashforth, F., Rev., London. 268.
Beyerlen, A., Ingenieur, Stuttgart, Eugenstr. 15. 14, 24.
Bjerknes, C. A., Professor, Universität Christiania 296.
Blanc, F. Ingenieur, Hamburg, St. Paulus, Wilhelminenstr. 16/III. 21.
Blümcke, A., Gymnasiallehrer, Nürnberg. 292.
Böhm & Wiedemann, Fabrik physikalischer Instrumente, München, Kaufinger-
strasse 20. 283—285.
Boltzmann, L., Professor, Universität München. 297.
Brauer, E., Professor, technische Hochschule Karlsruhe. 112.
Brill, L., Verlagsbuchhandlung, Darmstadt. 48, 49, 51, 127, 139, 141, 142, 143,
146, 151, 155—157, 163—166, 169, 172, 175, 178, 183, 184, 188, 191, 196,
198, 202—208, 211, 212, 214—217, 219—224, 226, 238, 239, 281.
Brückner, W., Dresden, Elisenstr. 55. 35.
Brügel, C., & Sohn, Verlagsbuchhandlung. Ansbach. 117.
Brunn, H., Privatdocent, Universität München. 189.
Burkhardt, A., Civilingenieur, Glashütte in Sachsen. 31.
Coradi, G., Mathematisch-mechanische Werkstätte, Zürich. 55, 67, 71, 73, 75, 110.
Delagrave, Ch., Verlagsbuchhandlung, Paris, rue Soufflot 15. 128.
Dennert und Pape, Mathematisch-mechanisches Institut, Altona. 2, 77.
Dyck, W., Professor, technische Hochschule München. 232.
Ehrhard, J., & Co., Lehrmittelanstalt, Bensheim, Hessen. 115, 116, 119,
123—126, 129—131, 152—154.
Eddy, H. T., Professor, Terre Haute, Indiana, U. S. A. 244.
Endres, J., Drechslermeister, München, Fürstenstr. 23. 286.
Everett, J. D., F. R. S., Professor, Queens College, Belfast, Ireland. 8.

^{*)} Die beigesetzten Zahlen sind Katalognummern.

- Finsterwalder, S., Professor, technische Hochschule München. **231.**
- Fiorini, P., Ingenieur, Turin, via dei mille 9. **97, 114.**
- Fischer, O., Reallehrer, Leipzig. **262—264.**
- Fitzgerald, G., Professor, Trinity College, Dublin. **293, 294.**
- Friedmann, J., Bayreuth. **95.**
- Galton, F., F. R. S., London, Rutland Gate 42. **39, 45, 111.**
- Geodätisches Institut der technischen Hochschule Graz. Vorstand:
Professor J. Wastler. **59, 60.**
- Geodätisches Institut der Bergakademie zu Leoben. Vorstand:
Professor Lorber. **65, 66, 78.**
- Geodätisches Institut der technischen Hochschule München.
Vorstand: Professor M. Schmidt. **30, 58, 69, 70, 72, 74.**
- Gewerbemuseum, bayerisches in Nürnberg Director Th. v Kramer. **261.**
- Goldhammer, D. A., Professor, Universität Kasan. **291.**
- Greenhill, A. G., President London Math. Soc., Professor Artillery College
Woolwich. **52.**
- Grimme, Natalis & Co., Braunschweig. **36.**
- Günther, O., Mechaniker an der technischen Hochschule Braunschweig. **102, 298.**
- Hartmann & Braun, Frankfurt a. M. **113**
- Hasselblatt, A., Professor am technologischen Institut St. Petersburg, Theater-
platz 12. **4.**
- Hauck, G., Professor, technische Hochschule Berlin-Charlottenburg. **112.**
- Henrici, O., Professor, City and guilds of London Institute. London S. W.
Exhibition road. **33, 34, 47, 90, 161.**
- Herrmanstörfer, J., Nürnberg. **108.**
- Herschel, A., Professor, Observatory House, Slough, Bucks, England. **280.**
- Hess, E., Professor, Universität Marburg. **133—135, 136, 137.**
- Hill, M. J. M., Professor, University College London. **118.**
- Hohmann, J., Regierungs- und Kreis-Bau-Rat, Regensburg. **68.**
- Industrieschule Nürnberg: Rector Füchtbauer. **274.**
- Keller, J., Privatdocent. Polytechnicum Zürich. **180.**
- Kelvin, W., Lord, Professor Universität Cambridge. **86.**
- Kempe, A. B., M. A., F. R. S. London. **245.**
- Kerschensteiner, G., Gymnasiallehrer, Schweinfurt. **46.**
- Kinematische Sammlung der technischen Hochschule Berlin-
Charlottenburg. Vorstand: Professor F. Reuleaux. **32, 255—257.**
- Kinematische Sammlung der technischen Hochschule Dresden.
Vorstand: Prof. J. Rittershaus. **258—260.**
- Kinematische Sammlung der technischen Hochschule München:
Professor Burmester. **78, 252, 253, 254.**

- Kinematische Sammlung des Polytechnicums Riga: Professor Grübler. **251.**
- Kleiber, J., Assistent an der technischen Hochschule München. **237, 246—248.**
- Kleinert, J., Universitätsmechaniker, Breslau. **270.**
- Kloth, M., Osnabrück. **57.**
- Korteweg, D. J., Professor, Universität Amsterdam. **229, 230.**
- Kreidl, A., Fabrik physikalischer Apparate, Prag. **43 101.**
- Lodge, O., Professor, University College Liverpool. **295.**
- Lorenz, H., Mechaniker, Chemnitz. **269.**
- Mathematical Society, London. **170, 199.**
- Mathematisches Institut der Universität Göttingen. Director: Professor F. Klein. **201.**
- Mathematisches Institut (Seminar für darstellende Geometrie) der technischen Hochschule Karlsruhe. Vorstand: Professor Chr. Wiener. **174, 176, 177.**
- Mathematisches Institut der technischen Hochschule München. Conservator: Professor W. Dyck. **50, 53, 54, 79, 121, 138, 145, 147—149, 158, 159, 162, 171, 179, 185, 187, 190, 193—195, 197, 200, 209, 213, 218, 225, 228, 243, 277.**
- Mathematisches Institut der Universität Tübingen. Vorstand: Professor A. Brill. **210, 282.**
- Mayer, K. A., Ingenieur, Hannover. **107, 168, 236.**
- Mechanisch-technisches Laboratorium der technischen Hochschule München. Vorstand: Professor Bauschinger. **242**
- Mehmke, R., Professor an der technischen Hochschule Darmstadt. **11, 22, 41, 42, 99.**
- Museum, Grossherzoglich Hessisches, Darmstadt. Vorstand: Ministerialpräsident Schleiermacher. **23, 27.**
- Museum, South Kensington, London. **38, 87, 88, 267.**
- Neesen, Professor, Artillerieschule Berlin. **233, 240, 241.**
- Nestler, Albert, Mathematisch-mechanisches Institut, Lahr in Baden. **3.**
- Ocagne Maurice d', Ingenieur des ponts et chaussées, Paris, rue Vienne 5. **44.**
- Ott, A., Mathematisch-mechanisches Institut, Kempten. **76, 109, 299.**
- Ott, Max, Werkstätte für Präzisions-Mechanik, München, Schlachthausstr. 12. **37.**
- Physikalisches Institut der Universität Göttingen. Directoren: Profess. Riecke und Voigt. **287—290.**
- Physikalisches Institut der Universität Graz. Vorstand: Professor Pfandler. **235, 265, 266.**
- Physikalisches Institut der Universität Königsberg. Vorstand: Professor Volkmann. **91.**

- Reuleaux, F., Professor an der technischen Hochschule Berlin-Charlottenburg. **28, 29, 300.**
- Riefler, C., Fabrik mathematischer Instrumente. München-Nesselwang. **96.**
- Rodenberg, Professor, technische Hochschule Hannover. **249, 250.**
- Rohn, K., Professor, technische Hochschule Dresden. **100, 167.**
- Scherer, Steuerrat in Cassel, Jordanstrasse 7. **5.**
- Schröder, J., Polytechnisches Arbeitsinstitut Darmstadt. **122.**
- Schubert, H., Professor, Johanneum Hamburg. **94.**
- Schütz, stud. phys., München. **92.**
- Seewarte Hamburg. Director: Geh. Admiraltätsrat Neumayer. **93, 301—303.**
- Smith, F. J., Professor, Trinity College, Oxford. **85.**
- Sohncke, L., Professor, technische Hochschule München. **271, 278, 279.**
- Sonne, E., Baurat und Professor an der technischen Hochschule Darmstadt. **12, 13.**
- Spott, M., Reallehrer, Neustadt a. H. **106.**
- Stanley, W. F., Mathematisch-mechanisches Institut, London, W. C. Holborn, Great Turnstil 4,5. **6, 7, 9, 10, 16—20, 103—105.**
- Steinheil, C. A., Söhne, München, Landwehrstr. 31. **273.**
- Strachey, R., Lieutenant-General, London. **15, 89, 304.**
- Tesdorpf, L., Mathematisch-mechanische Werkstätte. Stuttgart, Augustenstrasse 81. **56.**
- Tötössy, B. v., Professor, technische Hochschule Budapest. **185a.**
- Thomas, F., Siegen (Westphalen). **276.**
- Veltmann, Professor an der landwirtschaftlichen Akademie Bonn-Poppelsdorf. **48.**
- Vogler, Chr. A., Professor, Berlin W. **1.**
- Voigt, W., Professor, Universität Göttingen. **272.**
- Wiener, Chr., Professor, technische Hochschule Karlsruhe. **144, 150, 275.**
- Wiener, H., Privatdocent, Universität Halle a. S. **98, 132, 160, 173, 181, 182, 227.**
- Wilhelm, Herzog von Urach, Graf von Württemberg, Durchlaucht, Stuttgart. **26.**
- Winkelmann & Söhne, Verlagsbuchhandlung, Berlin S., Alte Jacobstrasse 81/82. **186.**
-

Verzeichnis der Mitarbeiter am Katalog.

Es haben Aufsätze bzw. Referate geliefert die Herren:

Adami, F. R., Gymnasiallehrer, Bayreuth.
Amsler, A., Schaffhausen.
Barrell, M. A., B. Sc., University College Bristol.
Bauschinger, J., Professor, technische Hochschule München.
Bjerknes, C. A., Professor, Universität Christiania.
Björling, Professor, Universität Lund.
Blanc, F., Ingenieur, Hamburg.
Blümcke, A., Gymnasiallehrer, Nürnberg.
Böcklen, O., Rector, Reutlingen.
Boltzmann, L., Professor, Universität München.
Boys, C. V., Royal College of science London.
Braun, C. S. J., Mariaschein (Böhmen).
Braunmühl, A. v., Professor, technische Hochschule München.
Brill, A., Professor, Universität Tübingen.
Brunn, H., Privatdocent, Universität München.
Buka, F., Professor, technische Hochschule Berlin-Charlottenburg.
Burmeister, L., Professor, technische Hochschule München.
Diem, G., Assistent, technische Hochschule München.
Dyck, W., Professor, technische Hochschule München.
Erhard, Ingenieur, Nürnberg.
Everett, J. D., Professor, Belfast.
Finsterwalder, S., Professor, technische Hochschule München.
Fischer, O., Reallehrer, Leipzig.
Füchtbauer, Rector, Industrieschule Nürnberg.
Galton, F., F. R. S., London.
Goldhammer, D. A., Professor, Universität Kasan.
Greenhill, A. G., Professor, Artillery College Woolwich.
Groth, P., Professor, Universität München.
Grübler, Professor, technische Hochschule Riga.
Hasselblatt, A., Professor, St. Petersburg.
Hauck, G., Professor, technische Hochschule Berlin.
Henrici, O., Professor, City and Guilds of London Institute, London.
Hermes, Hauptmann, Berlin.
Hess, E., Professor, Universität Marburg.
Keller, J., Privatdocent, technische Hochschule Zürich.
Kempe, A. B., F. R. S., London.
Kerschensteiner, G., Gymnasiallehrer, Schweinfurt.
Kleiber, J., Assistent, technische Hochschule München.
Klein, F., Professor, Universität Göttingen.

Kloth, M., Osnabrück.
Korteweg, D. J., Professor, Universität Amsterdam.
Kuen, Th., Reallehrer, München, (Katalog. Brill).
Lichtenfels, Professor, technische Hochschule Graz.
Lodge, O., Professor, Universität Liverpool.
Mayer, K. A., Ingenieur, Einbeck.
Mayer, M., München.
Mehmke, R., Professor, technische Hochschule Darmstadt.
Meyer, O. E., Professor, Universität Breslau.
Miller, R. v. Hauenfels, A., Professor, Graz.
Möller, M., Professor, technische Hochschule Braunschweig.
Neesen, Professor, Artillerie- und Ingenieurschule Berlin.
Ocagne, M. d', Ingenieur, Paris.
Ott, M., Mechaniker, München.
Reuleaux, Professor, technische Hochschule Berlin-Charlottenburg.
Riecke, Professor, Universität Göttingen.
Rittershaus, T, Professor, technische Hochschule Dresden.
Rodenberg, C., Professor, technische Hochschule Hannover.
Rohn, K., Professor, technische Hochschule Dresden.
Scherer, Steuerrat, Cassel.
Schmidt, M., Professor, technische Hochschule München.
Schönflies, A., Professor, Universität Göttingen.
Schütz, J., stud. phys., München.
Smith, F. J., Professor, Universität Oxford.
Sohneke, L., Professor, technische Hochschule München.
Sommerfeld, A., Königsberg.
Spott, M., Reallehrer, Neustadt a. H.
Steinheil, C. A., Optiker, München.
Tichy, A., Ingenieur, Wien.
Tötössy, B. v., Professor, technische Hochschule Budapest.
Veltmann, Professor, landwirtschaftl. Akademie Bonn-Poppelsdorf.
Voigt, W., Professor, Universität Göttingen.
Voss, A., Professor, Universität Würzburg.
Wiener, Chr., Professor, technische Hochschule Karlsruhe.
Wiener, H., Privatdocent, Universität Halle a. S.

Ausserdem standen für die im II. Teil enthaltenen Berichte die Prospekte und Kataloge der einzelnen Firmen und Verlagshandlungen zur Verfügung. Es seien dabei insbesondere die wissenschaftlichen Referate des Kataloges der Verlagsbuchhandlung von L. Brill, Darmstadt, zum grossen Teil verfasst von Reallehrer Th. Kuen, erwähnt, die in Gegenwärtigem ausführlich benutzt worden sind.

Zur Illustration des Kataloges

haben die folgenden Aussteller, Redactionen von Zeitschriften und Verlagsbuchhandlungen in dankenswertester Weise Holzschnitte bezw. Clichés (im Ganzen 129) zur Verfügung gestellt*):

- Amsler-Laffon, J. & Sohn, Schaffhausen. 189, 190, 202.
Barthelmes, A., Mechaniker, München. 147.
Beyerlen, A., Ingenieur, Stuttgart. 143.
Brill, L., Verlagsbuchhandlung, Darmstadt. 177, 178, 245, 251, 254, 258—260, 264—267, 269, 275, 283, 286, 287, 292—296, 298, 378.
Brückner, W., Dresden. 151.
Burkhardt, A., Ingenieur, Glashütte i. S. 150.
Coradi, G., Mathematisch-mechanisches Institut, Zürich. 180, 193, 195, 196, 199, 200, 232.
Edmondson, J., Halifax, England. 151.
Friedmann, J., Bayreuth. 225.
Grimme, Natalis & Co., Braunschweig. 152.
Günther, O., Mechaniker an der technischen Hochschule Braunschweig. 229.
Hauck, G., Professor, technische Hochschule Berlin-Charlottenburg. 42, 45, 46, 47, 51, 235—240.
Macmillan Co, Verlagsbuchhandlung, London. 316—318.
Ott, A., Mathematisch-technisches Institut, Kempten. 413, 415.
Ott, M., Mechanische Werkstätte, München. 153.
Physikalisch-ökonomische Gesellschaft der Universität Königsberg. 214, 216, 218, 220.
Reports of the Meteorological Committee of the Royal Society, London. Verlag von G. Eyre & W. Spottiswoode. 164, 166, 232, 233.
Reuleaux, F., Professor, technische Hochschule Berlin-Charlottenburg. 341, 342.
Tedorpf, L., Stuttgart. 181.
Teubner, B. G., Verlag, Leipzig. 252.
Winckelmann & Söhne, Verlagsbuchhandlung, Berlin. 277.
Zeitschrift für Instrumentenkunde. Redaction: A. Westphal, Verlag von J. Springer, Berlin. 105, 123, 160, 313.
Zeitschrift des Vereins deutscher Ingenieure. Redaction: Th. Peters, Verlag von J. Springer, Berlin. 235, 238, 239, 240, 336, 337, 338.
Die übrigen (176) Figuren des Textes sind nach den Angaben der Aussteller in der lithographischen Anstalt von H. Köhler in München hergestellt worden.

*) Die beigetzten Zahlen sind Seitenzahlen des Kataloges.

Erster Teil.



Geometrisches zur Abzählung der reellen Wurzeln algebraischer Gleichungen.

Von F. Klein in Göttingen.

Sylvester und *Kronecker* haben bereits in den 60er Jahren bei der Discussion der Wurzelrealität algebraischer Gleichungen geometrische Constructionen in der Weise herangezogen, dass sie die Coëfficienten der Gleichung oder sonstige Grössen, von denen man die Gleichung abhängig denken mag, als Coordinaten eines Raumpunktes interpretirten, — wobei natürlich ihrer unmittelbaren Anschaulichkeit wegen diejenigen Fälle besondere Berücksichtigung fanden, bei denen man mit Räumen von 2 oder 3 Dimensionen ausreicht*). Es handelt sich da insbesondere um den Verlauf derjenigen Mannigfaltigkeit, welche durch Nullsetzen der Discriminante der vorgelegten Gleichung vorgestellt wird — die Discriminantenmannigfaltigkeit —, und um die durch diese Mannigfaltigkeit vermittelte Zerlegung des Gesamtraumes in verschiedene Gebiete. — Ich möchte im Nachstehenden an den bezeichneten Ansatz in der Weise anknüpfen, dass ich die elementaren, für Gleichungen beliebigen Grades giltigen Kriterien in Betracht ziehe, durch welche man die Anzahl der reellen Wurzeln *abzuzählen* vermag, die gegebenen Falles vorhanden sein mögen. Bei der geometrischen Interpretation dieser Kriterien entsteht, wie von selbst, eine Auffassung derselben, vermöge deren die etwas stereotypen Darstellungen der Lehre von der Wurzelrealität, wie sie sich in unsern Lehrbüchern finden, der Neubelebung und Weiterent-

*) *Sylvester* in den „Philosophical Transactions“ von 1864 (On the real and imaginary roots of equations), *Kronecker* in Vorlesungen.

wickelung zugänglich werden*). Der Zweck der vorliegenden kurzen Mitteilung wird erreicht sein, wenn es mir gelingen sollte, in dieser Richtung einen Anstoss zu geben. Um so lieber will ich mich im Folgenden auf die allerelementarsten Fälle, nämlich auf Gleichungen zweiten und dritten Grades, beschränken: ich hoffe da allgemein verständlich zu sein und kann doch schon alles Wesentliche, was ich zu sagen habe, hervortreten lassen.

Zunächst der allgemeine Ansatz. Sei

$$(1) \quad f(z) = z^n + nAz^{n-1} + \frac{n \cdot n-1}{2} Bz^{n-2} + \dots \quad N = 0$$

eine vorgelegte Gleichung n^{ten} Grades (wo die Binomialcoefficienten hinzugesetzt sind, weil dadurch die später zu gebenden Formeln einfacher werden). So interpretire man einfach A, B, \dots, N als Punktcoordinaten in einem n dimensionalen Raume R_n . Gleichung (1) repräsentirt dann, sofern man das z als gegebene Grösse und die A, B, \dots als Veränderliche ansehen will, einen in diesem R_n enthaltenen $(n-1)$ fach ausgedehnten Raum, R_{n-1} , und die ganze Reihenfolge von R_{n-1} , welche man so für wechselnde Werte von z erhält, umhüllt in ihrer Aufeinanderfolge eben jene *Discriminantenmannigfaltigkeit*, von welcher bereits soeben die Rede war; kann man doch die Discriminante als Resultante von $f(z) = 0$ und $\frac{df(z)}{dz} = 0$ berechnen. — In nächster Beziehung zu diesem R_{n-1} und damit zur Discriminantenmannigfaltigkeit steht nun diejenige rationale „Curve“, die den Gleichungen (1) mit n facher Wurzel entspricht:

$$(z-\lambda)^n = 0,$$

d. h. diejenige Curve, deren Punkte sich mit Hilfe eines Parameters λ so darstellen lassen:

*) Ich werde weiter unten noch hervorheben, dass die bez. Darstellungen der Lehrbücher vielfach auch unvollständig sind. Aber der wesentliche Mangel liegt wohl darin, dass die Lehrbücher durchgängig an der Auffassung festhalten, als handele es sich bei den hier in Betracht kommenden Fragen um *numerische* Gleichungen, also um Verfahrensweisen, welche keinen allgemeinen Charakter haben, sondern sich jeweils nach dem besonderen vorgelegten Falle richten. Im Gegensatz dazu lässt die geometrische Interpretation die Coefficienten der zu untersuchenden Gleichungen notwendig als frei veränderliche reelle Grössen ansehen.

$$(2) \quad A = -\lambda, B = \lambda^2, \dots \quad N = (-1)^n \lambda^n.$$

Möge dieselbe, entsprechend der Ausdrucksweise der neueren Geometer, hier schlechtweg als *Normcurve* benannt werden*); den einzelnen durch (2) gegebenen Punkt der Curve werde ich als den Punkt λ derselben bezeichnen. Da ist denn unmittelbar ersichtlich, dass die sämtlichen n Schnittpunkte, welche der durch (1) gegebene R_{n-1} mit der Normcurve gemein hat, in den einen Punkt $\lambda = z$ coincidiren: unsere R_{n-1} sind *Schmiegräume* der Normcurve und eben dadurch unter allen anderen $(n-1)$ -fach ausgedehnten linearen Räumen unseres R_n charakterisirt. Die Wurzeln z_i aber, welche die Gleichung $f(z) = 0$ besitzt, werden auf der Normcurve durch die n Punkte $\lambda = z_i$ vorgestellt sein, nämlich durch diejenigen Punkte der Normcurve, in welchen die von dem Raumpunkte (A, B, \dots, N) an die Curve laufenden Schmiegräume $(n-1)^{\text{ter}}$ Dimension dieselbe berühren. *Insbesondere werden von diesen Wurzeln genau so viele reell sein, als von unserem Raumpunkte aus reelle Schmiegräume an die Curve gehen.*

Specificiren wir diesen Ansatz zunächst für $n = 2$, so haben wir in der Gleichung zweiten Grades

$$(3) \quad z^2 + 2Az + B = 0$$

die A, B als Punktcoordinaten (etwa geradezu als rechtwinkelige Punktcoordinaten) der Ebene zu interpretiren. Wir haben dann als Definition der Normcurve

$$(4) \quad A = -\lambda, B = \lambda^2$$

zu Grunde zu legen, was eine *Parabel* mit der Gleichung $A^2 - B = 0$ ergibt, wie sie durch die nebenstehende Figur versinnlicht wird; man beachte, dass auf dieser Parabel die Punkte mit positivem λ linker Hand, die mit negativem λ rechter Hand liegen. Gleichung (3) wird 2 reelle oder 2 imaginäre Wurzeln haben, je nachdem von dem repräsentirenden Punkte (A, B) aus zwei reelle oder zwei

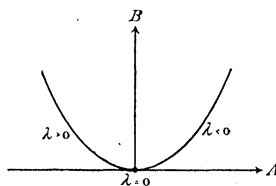


Fig. 1.

*) Vgl. z. B. *Franz Meyer*, Apolarität und rationale Curven, Tübingen 1883.

imaginäre Tangenten an die Parabel gehen. Augenscheinlich zerfällt mit Rücksicht hierauf die Ebene in zwei durch die Parabel getrennte Teile; ich habe dieselben in der nebenstehenden Figur durch die Ziffern 2 und 0 unterschieden. Die durch die Parabel vorgestellte Normcurve ist hier eben selbst die Discriminantenmannigfaltigkeit, und unsere Figur also ein Gegenbild dafür, dass die quadratische Gleichung (3) zwei oder null reelle Wurzeln hat, jenachdem die Discriminante $A^2 - B$ positiv oder negativ ist.

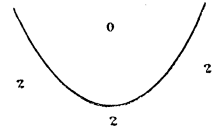


Fig. 2.

Wir gehen zur cubischen Gleichung

$$(5) \quad z^3 + 3Az^2 + 3Bz + C = 0.$$

Die Raumconstructions, welche hier auszuführen sind, lassen sich nicht mehr kurz durch ebene Figuren erläutern, und ich muss den Leser bitten, falls anders er die Angaben, die ich fernerhin über cubische Gleichungen zu machen habe, völlig in sich aufnehmen will, sich selbst geeignete räumliche Modelle zu verfertigen. Wir haben da erstlich als Normcurve die *Raumcurve dritter Ordnung*

$$(6) \quad A = -\lambda, B = \lambda^2, C = -\lambda^3,$$

dann als Discriminantenmannigfaltigkeit die zu dieser Raumcurve gehörige developpable Fläche. Durch selbige wird der Raum in 2 Gebiete zerlegt, entsprechend der Möglichkeit, dass die Gleichung (5) drei oder eine reelle Wurzel für z ergeben kann. Wir werden diese Gebiete dementsprechend mit den Ziffern 3 und 1 bezeichnen. Von den Punkten des Gebietes 3 aus laufen immer drei reelle Osculationsebenen an die Curve, von den Punkten des Gebietes 1 aus nur eine.

Ich wende mich nun gleich zu den Kriterien für die Abzählung der reellen Wurzeln einer gegebenen Gleichung. Dabei werde ich gelegentlich etwas ausholen müssen, insofern diese Kriterien in der Mehrzahl der Lehrbücher, wie ich schon andeutete, nur unvollständig mitgeteilt werden. Ich unterscheide in erster Linie zwischen solchen Kriterien, welche die *Gesamtzahl* der reellen Wurzeln betreffen, und den anderen, die sich auf die reellen Wurzeln in einem gegebenen *Intervalle* beziehen. Andererseits trenne ich zwischen *genauen* Kriterien und solchen, welche

nur eine Grenze der Wurzelanzahl geben (*approximirende* Kriterien).

Um hiernach mit den genauen Kriterien zu beginnen, durch welche man die Gesamtzahl der reellen Wurzeln bestimmt, so habe ich gleich hier von der üblichen Darstellung der Lehrbücher abzuweichen. Man findet in den letzteren übereinstimmend das Verfahren von *Sturm* und einen mehr oder minder ausführlichen Excurs über diejenigen Methoden, welche sich an das *Trägheitsprincip* der quadratischen Formen schliessen. Dagegen fehlt zu meist jeder Hinweis auf die bestimmte Ausgestaltung, welche letztere Methoden durch *Hermite* und *Sylvester* vermöge Aufstellung jener quadratischen Form von $(n-1)$ Veränderlichen gefunden haben, welche Sylvester als *Bezoutiante* bezeichnet*). Und doch zweifle ich nicht, dass erst mit der Bezoutiante der Kernpunkt der ganzen Fragestellung getroffen ist.

Sei wieder $f(z) = 0$ die vorgelegte Gleichung. Wir machen der Bequemlichkeit halber homogen, indem wir z durch z_1/z_2 ersetzen und mit z_2^n heraufmultipliciren. Solcherweise entstehe $f(z_1, z_2) = 0$, wo wir nun die linke Seite kurzweg mit f bezeichnen werden. Entsprechend werde f' abkürzender Weise für $f(z'_1, z'_2)$ geschrieben, unter z'_1, z'_2 eine zweite Variablenreihe verstanden. Man bilde sich jetzt die „Combinante“:

$$(7) \quad \frac{\frac{\partial f}{\partial z_1} \cdot \frac{\partial f'}{\partial z'_2} - \frac{\partial f}{\partial z_2} \cdot \frac{\partial f'}{\partial z'_1}}{(z_1 z'_2 - z_2 z'_1)}.$$

Dieselbe ist linear und homogen einerseits in

$$z_1^{n-2}, z_1^{n-3} z_2, \dots z_2^{n-2},$$

andererseits in

$$z'_1{}^{n-2}, z'_1{}^{n-3} z'_2, \dots z'_2{}^{n-2}.$$

Die Bezoutiante

$$(8) \quad B(t_1, t_2, \dots, t_{n-1})$$

entsteht nun einfach aus (7), indem man die genannten aufeinanderfolgenden Verbindungen der z_1, z_2 wie der z'_1, z'_2 beide bez. durch die $(n-1)$ Unbestimmten t_1, t_2, \dots, t_{n-1} ersetzt. Und nun

*) Vgl. *Sylvester* in den „Philosophical Transactions“ von 1853: On the syzygetic relations etc., *Hermite* in Bd. 52 von „Crelle's Journal“, 1856. Vgl. übrigens auch *Baltzer's* Determinanten.

handelt es sich nur noch darum, die „Trägheit“ der so gewonnenen quadratischen Form von $(n-1)$ Veränderlichen zu constatiren, d. h. zuzusehen, wie viele positive bez. negative Vorzeichen hervortreten, wenn man es unternimmt, die Form B durch reelle lineare Substitution der t_1, t_2, \dots, t_{n-1} in ein Aggregat blosser Quadrate zu verwandeln. Die Regel wird kurzweg die, *dass* $f = 0$ *genau so viele Paare imaginärer Wurzeln besitzt, als bei der genannten Reduction von* B *negative Quadrate auftreten*. Die principielle Einfachheit dieser Aussage aber ruht darin, dass B nicht nur von den t , sondern auch von den Coëfficienten von f in quadratischer Weise abhängt (so dass also bei unserer geometrischen Interpretation $B = 0$ eine von den Parametern t_1, \dots, t_{n-1} abhängige Schaar von Flächen zweiten Grades gibt).

Für die quadratische Gleichung (3) liefert die so formulierte Regel natürlich nichts Neues. Gehen wir also gleich zur cubischen Gleichung (5). Hier wird die Bezoutiante:

$$(9) \quad (A^2 - B) t_1^2 + (AB - C) t_1 t_2 + (B^2 - AC) t_2^2,$$

ist also (wie man erwarten konnte), von einem negativen Zahlenfaktor abgesehen, mit der sog. *Hesse'schen* Form von $f(z_1, z_2)$ identisch. Wir werden wünschen, uns im geometrischen Bilde darüber klar zu werden, weshalb die „Trägheit“ von (9) in der angegebenen Weise mit der Realität der Wurzeln von $f = 0$ zusammenhängt, oder wenigstens, *weshalb* $f = 0$ *drei oder eine reelle Wurzel liefert, jenachdem die Gleichung*

$$(10) \quad (A^2 - B) t_1^2 + (AB - C) t_1 t_2 + (B^2 - AC) t_2^2 = 0$$

für $t_1 : t_2$ *null oder zwei reelle Wurzeln ergibt*. Zu dem Zwecke fragen wir nach der geometrischen Bedeutung der Gleichung (10) bei stehenden t_1, t_2 und finden, dass dieselbe den Kegel zweiten Grades vorstellt, der sich von dem Punkte $\lambda = t_1/t_2$ der Normcurve nach den anderen Punkten der Normcurve hin erstreckt. Unsere cubische Gleichung soll also 3 oder 1 reelle Wurzel haben, jenachdem durch den Raumpunkt (A, B, C) , 0 oder 2 reelle Projectionskegel dieser Art hindurchgehen. Nun haben zwei Kegel (10) ausser der Normcurve dritter Ordnung selbst immer noch die Verbindungsgerade ihrer Spitzen gemein. Sind die Kegel reell, so ist diese Gerade ebenfalls reell und damit eine *eigentliche* Secante der Normcurve, im Gegensatz zu den gleichfalls reellen

aber uneigentlichen Secanten, welche unsere Normcurve je in zwei conjugirt imaginären Punkten treffen (und die der Schnitt zweier conjugirt imaginärer Kegel (10) sind). Daher lässt sich der an Gleichung (10) anknüpfende Satz dahin aussprechen:

dass die Gleichung $f = 0$ eine oder drei reelle Wurzeln haben wird, jenachdem durch den Raumpunkt (A, B, C) eine eigentliche oder eine uneigentliche Secante der Normcurve dritter Ordnung geht.

Und in dieser Form ist der Satz den Geometern ohne weiteres einleuchtend. Denn die Normcurve dritter Ordnung projicirt sich vom Punkte (A, B, C) aus im ersteren Falle als ebene Curve dritter Ordnung mit eigentlichem Doppelpunkte, im zweiten Falle als solche mit isolirtem Punkte, und es ist wohlbekannt, dass eine Curve der ersteren Art nur einen, eine Curve der zweiten Art drei reelle Wendepunkte besitzt.

Ich habe diese Betrachtung über die Kegel zweiten Grades, welche von den Punkten der Normcurve dritter Ordnung auslaufen, um so lieber gegeben, als ihre Besprechung ohnehin unerlässlich ist, wenn man die Zahl der reellen Wurzeln von $f = 0$ durch die sogenannte *Newton'sche* Regel abschätzen will. Ich denke dabei an jenes approximirende Kriterium, welches ursprünglich in *Newton's Arithmetica universalis* gegeben worden ist, aber erst 1865 von *Sylvester* bewiesen und zugleich nach verschiedenen Richtungen erweitert wurde*). In ihrer einfachsten Gestalt, die wir hier allein in Betracht ziehen, lautet diese Regel dahin:

dass unsere Gleichung (1) mindestens so viele imaginäre Wurzeln besitzt, als die Reihe der quadratischen Ausdrücke

$$(11) \quad 1, A^2 - B, B^2 - AC, \dots N^2$$

Zeichenwechsel darbietet.

Im Falle der Gleichungen dritten Grades (5) haben wir also sicher zwei imaginäre Wurzeln, wenn von den beiden Ausdrücken

$$A^2 - B, B^2 - AC$$

*) Vgl. insbesondere *Transactions of the R. Dublin Academy*, t. 24, sowie *Philosophical Magazine*, 4 ser., t. 31. — Auch diese Regel fehlt in vielen Lehrbüchern; Ausführlicheres darüber gibt u. a. *Petersen* in seiner „*Theorie der algebraischen Gleichungen*“.

auch nur einer negativ ist. Hier bemerke man nun, dass nach Gleichung (10)

$$(12) \quad A^2 - B = 0, \quad B^2 - AC = 0$$

die Gleichungen der beiden Projectionskegel sind, die von den Punkten

$$\lambda = \infty, \text{ bez. } \lambda = 0$$

der Normcurve dritter Ordnung nach dieser Curve hinlaufen. Der geometrische Sinn des Newton'schen Kriteriums ist dementsprechend der, *dass bei der Gleichung dritten Grades sicher zwei imaginäre Wurzeln vorhanden sind, sobald der Raumpunkt (A, B, C) im Innern auch nur eines der beiden genannten Kegel liegt.* Die geometrische Anschauung bestätigt nicht nur, sondern vervollständigt diese Regel und bringt sie dadurch mit dem aus der Bezoutiante abgeleiteten Kriterium in klaren Zusammenhang. Wir wissen bereits, dass keiner der Kegel (10) in das Raumstück eindringt, welches den cubischen Gleichungen mit 3 reellen Wurzeln entspricht; wir fügen jetzt hinzu, was uns ein Blick auf die Gestalt der Curve dritter Ordnung lehrt, dass dieses Raumstück *ausserhalb* der sämtlichen Kegel (10) liegt. Wir wissen andererseits, dass das Raumstück, welches den cubischen Gleichungen mit nur einer reellen Wurzel entspricht, von den reellen Kegeln (10) durchweg zwiefach ausgefüllt wird, und hierin liegt, dass jeder Punkt (A, B, C) im Innern dieses Raumstückes jedenfalls auch im Innern einer unendlichen Zahl von Kegeln (10) liegt. Wir werden also folgenden genauen Satz aufstellen: *dass die cubische Gleichung dann und nur dann zwei imaginäre Wurzeln besitzt, wenn die Bezoutiante (10) für irgendwelche reelle Werte von t_1, t_2 negativ wird.* Und von diesem Satze ist dann die Newton'sche Regel ein blosses Corollar.

So viel über die allgemeine Abzählung der reellen Wurzeln. Wir wenden uns jetzt zur *Abzählung der Wurzeln in einem Intervalle von x bis y ($x < y$).* Auch hier werde ich mich auf die elementarsten Erläuterungen beschränken. Insbesondere will ich der Kürze halber die exacten Abzählungsmethoden ganz bei Seite lassen und unter den approximirenden Kriterien nur diejenigen betrachten, bei denen *lineare* Functionen der Coëfficienten zu Grunde liegen, also den *Cartesischen* Satz, das Theorem von

Budan-Fourier etc. Auch mögen jetzt vor allen Dingen die *quadratischen Gleichungen* (3) herangezogen werden, insofern bereits bei ihnen alles Wesentliche hervortritt; über die cubischen Gleichungen gebe ich nur noch eine kurze Schlussbemerkung.

Wir hatten bei den Gleichungen zweiten Grades als Normcurve die Parabel der Figur 1. Markiren wir auf ihr die beiden Punkte $\lambda = x$ und $\lambda = y$ (wobei für $x < y$ der Punkt x rechts von y liegt) und unterscheiden dann drei Gebiete der Ebene, jenachdem sich vom einzelnen Punkte (A, B) aus an das zwischen x und y verlaufende Parabelstück 2 oder 1 oder 0 Tangenten legen lassen, so entsteht offenbar die nebenstehende Figur, welche ich kurzweg als die „richtige“ Figur (x, y) bezeichnen werde: — die Grenzen der dreierlei bei ihr zu unterscheidenden Gebiete werden teils von dem genannten Parabelstücke selbst,

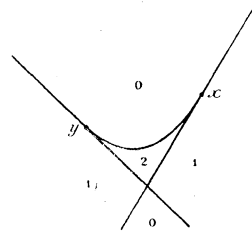


Fig. 3.

teils von den beiden, zu den Punkten x und y gehörigen Parabeltangente gebildet. — Lassen wir hier y insbesondere ins Unendliche rücken, so entschwindet für die Anschauung die ganze zu y gehörige Tangente und wir haben als zugehörige Gebietseinteilung den in Figur 4 vorgestellten Fall; wir benennen diese Figur als die „richtige“ Figur (x, ∞) .

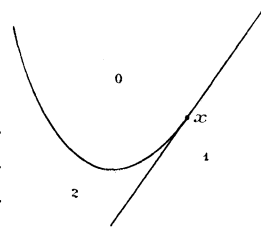


Fig. 4.

Aufgabe der zu discutirenden linearen Kriterien wird es nun sein, diese richtigen Figuren mit möglichster Annäherung durch solche zu ersetzen, bei welchen nur gerade Linien zur Felderabgrenzung gebraucht werden.

Von dieser Auffassung ausgehend, betrachten wir zunächst die Cartesische Zeichenregel. Wir wollen dieselbe gleich in die verallgemeinerte Form setzen, in der sie die reellen Wurzeln von $f(z) = 0$ abzuschätzen gestattet, die grösser als ein beliebiges vorgegebenes x sind. Es handelt sich da um die Functionsreihe:

(13) $f(x), f'(x), f''(x)$

und die Regel behauptet, dass $f(z) = 0$ höchstens so viele reelle

Wurzeln $> x$ besitzt, als Zeichenwechsel in dieser Functionsreihe vorhanden sind, und dass die richtige Zahl der Wurzeln von der durch die Zeichenwechsel gegebenen Zahl immer nur um ein Multiplicum von 2 verschieden sein kann. Zwecks Übersetzung der Regel in die geometrische Anschauung werden wir vor allen Dingen die drei geraden Linien construiren, welche in der Ebene (A, B) durch Nullsetzen der drei Ausdrücke $f(x)$, $f'(x)$, $f''(x)$ vorgestellt werden. Hier gibt $f''(x) = 0$ die unendlich ferne Gerade und kommt also für die Zeichnung in Wegfall. $f'(x) = 0$ gibt die verticale Linie $A = -x$, d. h. den durch den Punkt x der Parabel laufenden Durchmesser derselben. Endlich $f(x) = 0$, wie wir von früher wissen, die zum Punkte x gehörige Parabeltangente. Ein jedes der von den genannten Geraden umgrenzten Gebiete der Ebene bietet bestimmte Vorzeichen von $f(x)$, $f'(x)$, $f''(x)$ dar. Nun kommt es uns aber nicht auf diese Vorzeichen, sondern nur auf die Zahl der Zeichenwechsel an, welche die Reihe $f(x)$, $f'(x)$, $f''(x)$ darbietet. Wir markiren dieselbe für die verschiedenen Teile der Ebene und erhalten so schliesslich die folgende Figur, welche ich die *Cartesische Figur* (x, ∞) nennen darf:

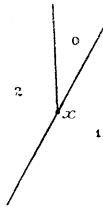


Fig. 5.

Wir verstehen die Cartesische Regel in geometrischer Form, indem wir diese neue Figur mit Fig. 4 (der „richtigen“ Figur $[x, \infty]$) vergleichen. Und dabei bestätigen wir nicht nur die Cartesische Regel, sondern erkennen auch ihre Vorzüglichkeit. In der That sieht man, dass man die „richtige“ Figur vermöge einer geradlinigen Feldereinteilung, an der (unter Einrechnung der unendlich fernen Geraden) drei gerade Linien participiren, in der durch den Cartesischen Satz vorgesehenen Weise unmöglich besser approximiren kann, als dies durch die Cartesische Figur geschieht.

Wir erläutern ferner, in gleichem Sinne, den Budan-Fourier'schen Satz. Es handelt sich bei demselben allgemein um die Zahl der reellen Wurzeln von $f(z) = 0$, welche zwischen zwei beliebig vorgegebenen Grenzen, x und y ($x < y$) liegen. Man bildet die beiden Functionsreihen:

$$(14) \quad \begin{cases} f(x), f'(x), f''(x) \text{ und} \\ f(y), f'(y), f''(y), \end{cases}$$

bestimmt zuerst die Zahl $V(x)$ der Zeichenwechsel, welche die erstere Reihe darbietet, ferner die Zahl $V(y)$ der Zeichenwechsel der zweiten Reihe, und hat dann in $V(x) - V(y)$ eine Zahl, welche von der Zahl der zwischen x und y gelegenen reellen Wurzeln von $f(z) = 0$ höchstens um ein positives Vielfaches von 2 abweicht. Wieder übersetzen wir diese Regel in eine geometrische Figur. Indem wir ganz ähnlich verfahren, wie vorhin, ergibt sich die folgende Feldereinteilung:

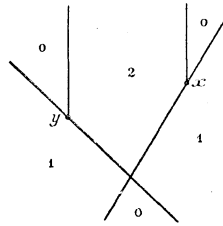


Fig. 6.

Ein Vergleich mit Fig. 3 bestätigt darauf die Richtigkeit des Budan-Fourier'schen Satzes: überall da, wo Fig. 3 und Fig. 6 den Punkten der Ebene verschiedene Zahlen beilegen, ist die Zahl der Fig. 6 um ein positives Vielfaches von 2 grösser. Aber wir fragen angesichts unserer Figuren nicht nur nach der Richtigkeit, sondern auch nach der Zweckmässigkeit des Budan-Fourier'schen Satzes. Und da kommen wir zu einem Resultate, welches bei einem so elementaren Gegenstande überraschen muss und eben darum geeignet sein dürfte, die geometrische Betrachtungsweise, für die wir hier eintreten, nicht nur als eine beiläufige Erläuterung, sondern als eine notwendige Ergänzung der gewöhnlich gegebenen Entwicklungen erscheinen zu lassen: *Figur (6) mit ihren, vier verschiedenen geraden Linien angehörigen Begrenzungs-*

stücken ist als Annäherung an Figur (3) keineswegs besonders zweckmässig gewählt, man kann der Figur (3) mit einer nur aus drei geraden Linien gebildeten Figur viel näher kommen. Man hat einfach eine Figur zu zeichnen, welche man als projektive Verallgemeinerung der Cartesischen Figur betrachten kann (sofern man bei letzterer die unendlich ferne Gerade mitzählen will), d. h. die nachstehende Figur, welche neben den Tangenten der beiden Parabelpunkte x , y das geradlinige Verbindungsstück xy enthält:

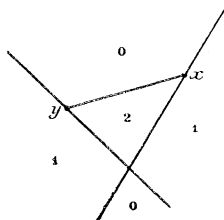


Fig. 7.

Will man das analytische Kriterium aufstellen, welches dieser Figur entspricht, so ist es bequem, wieder homogen zu machen, also statt $f(z)$ die binäre Form $f(z_1, z_2)$ und statt x und y die Variabelnpaare x_1, x_2 und y_1, y_2 einzuführen. Ich setze ausserdem symbolisch $f(z_1, z_2) = a_x z^2$. Bei Figur (7) handelt es sich dann einfach um die Zeichenwechsel der Functionsreihe:

$$(15) \quad a_x^2, a_x a_y, a_y^2.$$

Es ist kaum nötig, dass ich beim Beweise dieser Behauptung oder der damit aufgestellten Regel für die Abzählung der Wurzeln im Intervall x — y verweile. Es handelt sich einfach darum, in die Gleichung $f(z_1, z_2) = 0$ für $z_1 = x_1 + \lambda y_1$, für $z_2 = x_2 + \lambda y_2$ zu substituieren und nun für die so entstehende Gleichung in λ die Zahl der positiven Wurzeln durch das Cartesische Theorem festzulegen, resp. zu umgrenzen. Das ist so einfach, dass es Wunder nehmen müsste, wenn dieser Ansatz nicht schon in früherer Zeit bemerkt sein sollte. Und in der That findet sich derselbe beispielsweise bei *Jacobi* in *Crelle's Journal* Bd. 13, 1835 (*Observationum ad theoriam aequationum pertinentes*). Nur fügt *Jacobi* merkwürdigerweise hinzu: *regula a clarissimo Fourier proposita multis nominibus praestat.*

Es erübrigt nur noch, dass ich angebe, wie man bei der Normcurve dritten Grades diejenige räumliche Figur construirt, welche man als Verallgemeinerung der ebenen Figur (7) zu betrachten hat. Bezeichnet man die gegebene cubische Gleichung symbolisch mit $a_x^3 = 0$, so handelt es sich zumal um die geometrische Definition der Ebenen

$$(16) \quad a_x^3 = 0, \quad a_x^2 a_y = 0, \quad a_x a_y^2 = 0, \quad a_y^3 = 0.$$

Diese ist natürlich äusserst einfach. Die drei Schnittpunkte, welche die einzelne dieser Ebenen mit der Normcurve gemein hat, fallen alle nach x oder y ; die folgende Tabelle gibt die Multiplicitäten, mit der x und y als Schnittpunkte zählen, genauer an:

	x	y
a_x^3	3	0
$a_x^2 a_y$	2	1
$a_x a_y^2$	1	2
a_y^3	0	3

In dieser Tabelle tritt das einfache Gesetz, welches für $n = 2$ in Fig. 7 befolgt ist, in einer für alle n erkennbaren Form hervor. — Wir sollten jetzt ferner eine genaue Beschreibung der verschiedenen Stücke geben, in welche der Raum entsprechend der Zahl der bei den Functionen (16) auftretenden Zeichenwechsel durch unsere Ebenen zerlegt wird. Daran würde sich dann der Vergleich mit denjenigen Raumeinteilungen schliessen, die als Analoga der ebenen Figuren (3), (4), (5), (6) anzusehen sind. Hier ist offenbar ohne geeignete Modelle nicht durchzukommen. Es wird sehr dankenswert sein, wenn jemand die Herstellung solcher Modelle in die Hand nehmen wollte.

Göttingen, den 9. Juni 1892.

Über äquidistante Curvensysteme auf krummen Flächen.

Von A. Voss in Würzburg.

In der Arbeit „Über ein neues Princip der Abbildung krummer Flächen“, Math. Ann. Bd. 19, S. 1, 1881, hatte ich, wie ich glaubte, zuerst auf diejenigen Curvensysteme hingewiesen, für die das Längenelement auf einer Fläche die Form

$$1) \quad ds^2 = du^2 + dv^2 + 2f du dv$$

annimmt. Dieselben lassen sich praktisch dadurch sehr leicht herstellen, dass man ein aus parallelogrammatischen Maschen bestehendes Netz von an den Kreuzungsstellen unter sich verknüpften unausdehnbaren und vollkommen biegsamen Fäden auf der Fläche ausbreitet. Inzwischen habe ich aus einer Bemerkung des Herrn *Darboux* im dritten noch nicht vollendeten Buche seiner *Théorie générale des surfaces* entnommen, dass Herr *Tchébycheff**) bereits im Jahre 1878 auf diese *äquidistanten Curvensysteme*, wie ich sie nenne, aufmerksam gemacht hat. Herr *Darboux* giebt auch die Form der partiellen Differentialgleichung,**) von der ein solches „habillement“ der Fläche abhängt, in der allgemeinsten Gestalt, ohne indess etwas weiteres hinzuzufügen. Bei der Schwierigkeit, die es hat, den so leicht praktisch zu realisirenden Process der Flächenbekleidung analytisch zu verfolgen, werden vielleicht einige Angaben hierüber nicht ungeeignet er-

*) *Tchébycheff*, Sur la coupe des vêtements, Assoc. franç. pour l'avancement des Sc. Congrès de Paris, p. 154, 1878. Diese Arbeit ist mir bisher nicht zugänglich gewesen.

***) *Darboux*, *Théorie générale*, Tom. III, S. 133 und 206.

scheinen, welche die in meiner früheren Arbeit gegebenen Resultate teils recapituliren, teils erweitern.*)

§ I. Allgemeine Eigenschaften äquidistanter Curvensysteme.

I. Bringt man das Längenelement 1) auf die Form

$$ds^2 = (du + dv)^2 \frac{(1 + f)}{2} + (du - dv)^2 \frac{(1 - f)}{2}$$

oder, wenn $f = \cos z$, $u + v = u'$, $u - v = v'$ gesetzt wird

$$2) \quad ds^2 = \cos^2 \frac{z}{2} du'^2 + \sin^2 \frac{z}{2} dv'^2,$$

so erkennt man sofort**): *Die Diagonalcurven eines äquidistanten Systems bilden ein Orthogonalsystem, in Bezug auf welches das Längenelement von der Form 2) ist.* Umgekehrt ist jedes Orthogonalsystem, für das

$$ds^2 = e du^2 + g dv^2, \quad e + g = 1$$

ist, Diagonalsystem eines äquidistanten Systemes.

II. Aus dem Ausdrücke für das Krümmungsmass:

$$K = - \frac{z_{uv}}{\sin z}$$

ergibt sich für die Curvatura integra eines von zwei Paaren der Curven u , v gebildeten Vierseites, dessen innere Winkel A , B , C , D sind:

$$\Gamma = \int K \sin z \, du \, dv = 2\pi - (A + B + C + D);$$

das heisst: *Die Curvatura integra ist gleich dem negativ genommenen Excess der Winkel des Vierseits.****)

III. *Zu einer beliebigen Schar von Curven gehört im Allgemeinen entweder gar keine zweite, die mit ihr ein äquidistantes System bildet, oder nur eine einzige.* Nur auf den *Developpabeln*

*) Bereits in meiner früheren Arbeit enthaltene Sätze werde ich unter A mit Hinzufügung der Seitenzahl citiren.

**) A. S. 3.

***) A. S. 3.

kann eine Curvenschar mit *mehreren* Curvenscharen äquidistante Systeme liefern, und dies auch nur dann, *wenn die gegebene Schar aus geodätischen Linien besteht, die bei der Abwicklung in ein System von parallelen Geraden übergehen.* Auch kann nur bei Developpabeln die eine Schar der Curven eines äquidistanten Systems von geodätischen Linien gebildet werden.

IV. Ein äquidistantes Netz, das z. B. die Gestalt eines Rechteckes mit den Seiten AB, AC hat, *kann im Allgemeinen auf einer Fläche so ausgebreitet werden, dass die beiden Seiten AB, AC mit zwei beliebig auf der Fläche von einem Punkte A' aus gezogenen Curven A'B', A'C' zusammenfallen.* Der Bereich aber, in welchem eine solche Ausbreitung möglich ist, findet dabei im Allgemeinen bald eine *Grenze*, da der Coordinatenwinkel z von 0 und π verschieden bleiben muss. Trägt man nämlich von den Punkten einer Curve C auf der Fläche gleich lange unendlich kleine Strecken δs in der Tangentenebene auf, deren Richtung den Winkel φ mit der von C bildet, und denkt man sich das Bogenelement in der Form

$$e^2 du^2 + g^2 dv^2$$

gegeben, aber so, dass $e = 1$ für die gewählte Curve $v = v_0$ ist, so ergibt sich

$$\varphi = \varphi_0 + \int_{u_0}^u \left(\frac{\partial e}{\partial v} \right)_{v_0} \frac{du}{g}$$

falls die Endpunkte der Strecken δs eine Curve C bilden sollen, die eine auf C unmittelbar folgende eines äquidistanten Systems liefert. Ist daher $\left(\frac{\partial e}{\partial v} \right)_{v_0}$ von constantem Vorzeichen, so wird φ im allgemeinen sehr bald die zulässigen Grenzen überschreiten; vorausgesetzt ist dabei natürlich, dass g nicht verschwindet.

Ist die Curve C eine *geodätische* Linie, so ist $\left(\frac{\partial e}{\partial v} \right)_{v_0} = 0$ und φ *constant*. Eine geodätische Linie ändert also ihre Länge nur um eine Grösse zweiter Ordnung, wenn ihre Punkte unter constantem Winkel mit ihrer Tangente um eine infinitesimale Strecke δs auf der Fläche verschoben werden. Zieht man jetzt auf der Fläche

zwei geodätische Linien AB, AC, die sich unter dem Winkel α schneiden, und bezeichnet man den vierten Winkel eines Vierseits äquidistanter Linien, von dem zwei anstossende Seiten aus AB, AC gebildet sind, durch β , so ist der *Winklexcess* gleich $\beta - \alpha$. Bei constanter positiver Krümmung $+1$ ist z. B.

$$\alpha - \beta = F$$

wenn F den Inhalt des Vierseits bedeutet, d. h. β nähert sich mit wachsendem F der Null; bei constanter negativer Krümmung -1 ist dagegen

$$\beta - \alpha = F$$

d. h. β wächst beständig. Beides lässt sich sehr leicht an einer Kugel oder Pseudosphäre zur Anschauung bringen.

V. *Die geodätischen Krümmungen der Coordinatenlinien* u, v. Bezeichnet man die geodätischen Krümmungsradien der Curven $v = \text{const}$ ($u = \text{const}$) durch γ , (γ_1) so ist

$$-\frac{1}{\gamma} = \frac{\partial z}{\partial u}, \quad -\frac{1}{\gamma_1} = \frac{\partial z}{\partial v}$$

Man hat also für die Curvatura integra die Formel

$$\Gamma = \int \frac{\partial}{\partial v} \frac{1}{\gamma} du dv = \int \left(\frac{1}{\gamma} - \frac{1}{\gamma_0} \right) du$$

Das liefert den Satz:

Der Excess der Winkelsumme eines von zwei Paaren äquidistanter Curven gebildeten Vierseits ist gleich der Differenz der geodätischen Krümmungen jedes Paares der gegenüberliegenden Seiten.

VI. *Die partielle Differentialgleichung äquidistanter Systeme.**) Legt man ein isometrisches Orthogonalsystem zu Grunde, so dass

$$ds^2 = \lambda (du^2 + dv^2)$$

ist, so muss nach I

$$\lambda (du^2 + dv^2) = e du'^2 + g dv'^2, \quad e + g = 1$$

*) A. S. 16.

werden. Daraus ergibt sich, wenn

$$\mu^2 = \frac{\lambda}{\left(\frac{\partial u'}{\partial u}\right)^2 + \left(\frac{\partial u'}{\partial v}\right)^2} - \lambda$$

gesetzt wird

$$\begin{aligned} 3) \quad \frac{\partial v'}{\partial u} &= \mu \frac{\partial u'}{\partial v} \\ \frac{\partial v'}{\partial v} &= -\mu \frac{\partial u'}{\partial u} \end{aligned}$$

sodass die partielle Differentialgleichung für u' wird

$$\begin{aligned} 4) \quad & -\lambda [u'_{uu} + u'_{vv}] + u'^2_{v'} u'_{uu} + 2u'_u u'_v u'_{uv} + u'^2_{u'} u'_{vv} \\ & + \left(\frac{u'^2_{u'} + u'^2_{v'}}{2\lambda}\right) (\lambda_u u'_u + \lambda_v u'_v) = 0. \end{aligned}$$

§ II. Bestimmung äquidistanter Systeme auf einzelnen Flächengattungen.

1. Bei jeder Biegung einer Fläche geht ein äquidistantes System wieder in ein solches über; die partielle Differentialgleichung 4) hängt daher auch nur von λ ab. Sie kann auf den *Developpabeln* leicht allgemein integriert werden. Denn hier geht durch Abwicklung auf die Ebene das Netz über in ein solches mit parallelogrammatischen Maschen, und ein solches entsteht immer durch Translation einer beliebigen Curve.*)

2. Bei den auf eine *Rotationsfläche abwickelbaren Flächen* ist λ eine Function von u allein. Versucht man nun die Gleichung 4) durch die Annahme

$$u' = U + V$$

wo U (V) Function von u (v) allein ist, zu lösen, so folgt

$$V'' + pV' + q = 0$$

wo p und q nur von u abhängen.

*) A. S. 18.

Hieraus ergibt sich, wenn $\frac{\partial p}{\partial u}$, $\frac{\partial q}{\partial u}$ nicht verschwinden,

$$V' = \text{const.}$$

Setzt man demgemäss $u' = U + av$, so folgt

$$U = k \int \sqrt{\frac{a^2 - \lambda}{\lambda - k^2}} du$$

oder wenn man das Längenelement der Fläche in der gewöhnlichen Form

$$ds^2 = (1 + f'^2) du^2 + u^2 dv^2$$

voraussetzt,

$$5) \quad \begin{aligned} v' &= a \int \frac{du}{u} \sqrt{\frac{u^2 - k^2}{a^2 - u^2} (1 + f'^2)} - kv \\ u' &= k \int \frac{du}{u} \sqrt{\frac{a^2 - u^2}{u^2 - k^2} (1 + f'^2)} + av \end{aligned}$$

Den willkürlichen Constanten a und k entsprechend, erhält man so zweifach unendlich viele Systeme äquidistanter Curven, wenn man

$$\begin{aligned} u' + v' &= u'' = \text{const} \\ u' - v' &= v'' = \text{const} \end{aligned}$$

setzt. Da aus jeder äquidistanten Teilung der Kugel durch Quadratur eine Fläche negativer constanter Krümmung hergeleitet werden kann, so liefern die Gleichungen 5) zugleich eine von zwei Constanten abhängige Schar von Flächen constanter negativer Krümmung.

Auf gewissen Flächen, bei denen $\frac{\partial p}{\partial u}$, $\frac{\partial q}{\partial u}$ zum Verschwinden gebracht werden können, lässt sich noch ein *singuläres Netz* äquidistanter Curven angeben, in welches eine Constante nicht eingeht.

3. Ist das Längenelement von der Form

$$\frac{du^2 + dv^2}{U + V}$$

so setze man

$$u' = \int \frac{du}{\sqrt{U - c}}$$

$$v' = \int \frac{dv}{\sqrt{V + c}}$$

wo c eine willkürliche Constante.

4. Bei den *Translationsflächen* endlich liefern die Translationscurven ein äquidistantes System.*) Zur Darstellung an Modellen eignen sich besonders solche Flächen, welche wie z. B. das Paraboloid

$$z = au, \quad y = bv, \quad z = cu^2 + dv^2$$

oder auch die Schraubenfläche

$$z = au, \quad x = b\rho \cos u, \quad y = c\rho \sin u,$$

deren Gleichungen durch die Substitution

$$\rho = kv \cos u, \quad u + v = U, \quad u - v = V$$

die Form

$$2z = a(U + V)$$

$$2x = bk(\cos U + \cos V)$$

$$2y = ck(\sin U + \sin V)$$

annehmen, unendlich viele reelle Systeme von Translationscurven enthalten.

§ III. Prozesse, durch welche aus einer äquidistant getheilten Fläche andere ebenso getheilte Flächen hergeleitet werden.

Von dem schon erwähnten Process der Biegung abgesehen, scheinen nur wenige verhältnismässig einfach zu realisirende Methoden angebar zu sein, durch die aus einer Fläche andere abgeleitet werden können, auf denen wieder ein System von Äquidistanten bekannt ist.

Auf den Flächen *negativer constanter Krümmung* und *nur auf diesen* bilden die *Haupttangentencurven* ein äquidistantes

*) A. S. 14.

System.)* Trägt man ferner auf der Normale einer solchen Fläche eine *constante* Strecke auf, so erzeugen die Endpunkte eine *Parallelfäche* der Fläche negativer constanter Krümmung, welche durch die den Haupttangencurven entsprechenden Curven *wieder äquidistant geteilt ist*.

Wichtiger scheint indessen die ebenfalls leicht zu beweisende Bemerkung, dass *wenn man* — unter u und v die Argumente der Haupttangencurven verstanden — *auf der Normale die variable Strecke*

$$\lambda = \frac{k}{c} \sin c(u \pm v)$$

aufträgt, wieder zwei einfach unendliche Scharen äquidistant geteilter Flächen entstehen. Unter c^2 ist dabei das Krümmungsmass, unter k eine willkürliche Constante zu verstehen.

Eine allgemeine Untersuchung zeigt, dass aus einem äquidistanten System durch Auftragung einer Strecke auf der Normale nur dann eine durch die Endpunkte dieser Normalen äquidistant geteilte Fläche hervorgehen kann, wenn die Originalfläche entweder eine *Fläche negativer constanter Krümmung*, oder eine *Rotationsfläche*, oder eine *Cylinderfläche*, oder endlich eine *Ebene* ist. In dem ganz speciellen letzteren Falle ergeben sich die schon in III besprochenen Translationsflächen. Durch diesen Satz gewinnt die oben gegebene Construction eine allgemeinere Bedeutung; sie ist, abgesehen von den genannten trivialen Fällen, *nur* bei den Flächen constanter negativer Krümmung möglich.

§ IV. Flächen, welche die Diagonalcurven eines äquidistanten Systems zu Krümmungslinien haben.

Vermöge der leicht zu erweisenden Identitäten

$$\frac{\partial}{\partial u} \left(\frac{g x_u - f x_v}{\sqrt{H}} \right) = p \left(\frac{gE - fF}{\sqrt{H}} \right) + \frac{x_u g_u - e_v x_v}{2\sqrt{H}}$$

$$\frac{\partial}{\partial v} \left(\frac{e x_v - f x_u}{\sqrt{H}} \right) = p \left(\frac{eG - fF}{\sqrt{H}} \right) + \frac{e_v x_v - x_u g_u}{2\sqrt{H}}$$

*) A. S. 7. Derselbe Satz findet sich auch schon in der Arbeit von Hrn. *Hazzidakis*, Journ. v. Borchardt, Bd. 88, S. 68, 1878; die Priorität gebührt indessen Hrn. *Dini* (Teorica delle superficie, Ann. di Matematica Ser. II Tom. 4.)

in denen $e, f, g; E, F, G$ die Fundamentalgrößen, $H = eg - f^2$, und $x(y, z); p(q, r)$ die Coordinaten sowie die Richtungscosinus der Normale bedeuten, folgt für

$$e = g = 1, E = G$$

die Gleichung

$$\frac{\partial}{\partial u} \left(\frac{x_u - x_v f}{\sqrt{1 - f^2}} \right) = \frac{\partial}{\partial v} \left(\frac{(x_v - x_u f)}{\sqrt{1 - f^2}} \right)$$

Man kann daher

$$\frac{x_u - x_v f}{\sqrt{1 - f^2}} = X_v$$

$$\frac{x_v - x_u f}{\sqrt{1 - f^2}} = X_u$$

setzen, wo X, Y, Z die Coordinaten eines Punktes einer neuen Fläche bedeuten, welche durch Quadratur aus der ersten abgeleitet wird, und deren Normale in dem Punkte X, Y, Z mit der Normalen in x, y, z parallel läuft.

Die Voraussetzung $E = G$ bedingt, dass die *Diagonalcurven des äquidistanten Netzes die Krümmungslinien sind*. Auf sie bezogen, nimmt nach § I das Längenelement die Form

$$6) \quad ds^2 = \cos^2 z \, du^2 + \sin^2 z \, dv^2$$

an, während es in Bezug auf die Äquidistanten

$$ds^2 = du'^2 + dv'^2 + 2 \cos 2z \, du' dv'$$

ist. Aus jeder dieser Flächen lässt sich durch Quadratur eine Fläche von entgegengesetzt gleichem Krümmungsmass, welche auf die erste äquivalent abgebildet ist, herleiten, welche wieder auf ihre Krümmungslinien bezogen das Längenelement

$$ds'^2 = du^2 \sin^2 z + dv^2 \cos^2 z$$

besitzt, indem man

$$X_u = x_u \frac{\sin z}{\cos z}, \quad X_v = -x_v \frac{\cos z}{\sin z}$$

setzt. Nimmt man allgemeiner

$$\xi_u = x_u \frac{\cos(z - \alpha)}{\cos z}, \quad \xi_v = + x_v \frac{\sin(z - \alpha)}{\sin z}$$

wo α eine willkürliche Constante ist, so wird das Längenelement der auf ihre Krümmungslinien bezogenen Fläche ξ, η, ζ

$$ds''^2 = \cos^2(z - \alpha) du^2 + \sin^2(z - \alpha) dv^2$$

oder auch

$$ds''^2 = du'^2 + dv'^2 + 2 \cos 2(z - \alpha) du' dv'$$

Aus jeder dieser Flächen kann daher eine einfach unendliche Schar von Flächen hergeleitet werden, deren Krümmungslinien Diagonalcurven eines äquidistanten Netzes sind. Dabei wird der Winkel $2z$, unter dem sich die Curven des Netzes schneiden, den Wert $2(z - \alpha)$ annehmen; zugleich bleiben die geodätischen Krümmungen der äquidistanten Curven ungeändert.

Die Existenz einer ∞^1 Schar wird durch den Umstand bedingt, dass die Bedingungen, denen z genügen muss, nur die Differentialquotienten von z , nicht aber z selbst enthalten.

Die Flächen constanter negativer Krümmung haben in Bezug auf ihre Krümmungslinien das Längenelement (6). Durch die Transformation erhält man indess nur Flächen, welche von den in § III betrachteten Parallelfächen nicht wesentlich verschieden sind. Dabei mag noch erwähnt werden: Eine Fläche, welche ein System von Äquidistanten enthält, längs denen die Normalkrümmungen der Fläche durchweg ein und denselben constanten Wert haben, kann als Parallelfäche einer Fläche negativer constanter Krümmung angesehen werden.

§ V. Flächen, deren Krümmungslinien in mehrfacher Weise die Diagonalcurven äquidistanter Netze bilden.

Eine Fläche, welche in *zweifacher* Weise zu Diagonalcurven eines äquidistanten Systems die Krümmungslinien hat, besitzt in Bezug auf die letzteren das Längenelement

$$ds^2 = \frac{du^2 + dv^2}{U + V}$$

und gestattet demgemäss *eine* ∞^1 *Schar solcher äquidistanter Systeme*. An Stelle derselben kann man auch die Flächen betrachten, welche, wie z. B. die Flächen zweiten Grades das *Liouville'sche* Bogenelement

$$ds^2 = (U + V) (du^2 + dv^2)$$

besitzen. Auf die weiteren hierher gehörigen Untersuchungen, die eine grosse Anzahl merkwürdiger Beziehungen vermöge des in § IV betrachteten Processes liefern, kann indess an diesem Orte nicht eingegangen werden, da es in bequemer Weise kaum ausführbar scheint, sie durch Modelle der Anschauung näher zu bringen.

Würzburg, den 15. Juli 1892.

Über die Auflösung höherer Singularitäten einer algebraischen Curve in elementare.

Von A. Brill in Tübingen.

Dass durch Zeichnungen und Modelle der Geometrie Gedanken von weittragender Bedeutung erwachsen sind, die dem bloss rechnenden Mathematiker so gut wie dem abstracten Synthetiker verborgen geblieben wären, wird niemand bestreiten, der *Newton's* enumeratio linearum curvarum tertii ordinis oder *Cramer's* Analyse des lignes courbes oder *Plücker's* grundlegende geometrische Werke eingesehen hat. Aber nachdem es der projectiven Geometrie gelungen war, die Theorie der Kegelschnitte von der Vorstellung des einzelnen Falles loszulösen, galt es eine Zeitlang für überflüssig und nicht schicklich, ein geometrisches Werk mit Figuren auszustatten. Man konnte sie leicht entbehren, denn das Interesse jener Zeit beschränkte sich auf solche Eigenschaften der geometrischen Gebilde, die von ihrer reellen Existenz unabhängig waren. Zu neuem Ansehen verhalfen der sinnlichen Darstellung erst wieder die Entdeckungen von *Zeuthen* und *Klein* über die Realitätsverhältnisse der algebraischen Curven, die an die Figur direct anknüpften. Noch heute bieten die Tafeln, die den oben genannten Werken angehängt sind, und denen sich die zu *Zeuthen's* „Systemer af plane Kurver“ (Abh. d. Akad. zu Kopenhagen, Bd. 10, 1873) anreihen, eine Fülle von Anschauung, die jeden mit Vorstellungskraft Ausgestatteten aufs lebhafteste anmuten. Lehrreich ist besonders die Darstellung ganzer Systeme von Curven mit veränderlichen Parametern, zumal für das Verständnis von Curven mit besonderen Vorkommnissen, welche zwischen andern einfachen eingeschaltet auftreten. Es hat einen Reiz, zu verfolgen, wie mit der Veränderung der Constanten der Zusammenhang der

Zweige sich ändert, wie Ovale durchs Unendliche sich dehnend auf der gegenüberliegenden Seite der Zeichenebene wieder zum Vorschein kommen, wie Curvenäste durch Bildung neuer Doppelpunkte sich mit anderen vereinigen oder abschnüren, oder wie einfach singuläre Punkte mit andern zu höhern zusammenwachsen.

Solche Beobachtungen an der Zeichnung waren es, die mich veranlassten, das Hilfsmittel der stetigen Deformation von Curven mit gewöhnlichen Singularitäten in solche mit zusammengesetzten „maskirten“ in grundsätzlicher Weise für das Verständnis der letzteren zu verwerten, wobei dann später das Bedürfnis einer strengern Begründung gebot, die Anschauung durch algebraische Methoden zu ersetzen.

Die Singularitäten erscheinen zur Zeit — hauptsächlich durch die oben genannten Arbeiten — in den Mittelpunkt der Theorie der algebraischen Curven gerückt. Seit *Puiseux's* Untersuchungen nimmt auch die Theorie der algebraischen Functionen an ihnen ein hervorragendes Interesse, an sie knüpft seit *Riemann* und *Clebsch* der Begriff des Geschlechtes an. Nach beiden Richtungen hin, der geometrischen wie der functionentheoretischen, erweist sich der Satz von Cayley über die Äquivalenz einer höheren Singularität mit einer gewissen Anzahl von elementaren als wichtig. Aber es fehlte lange an einer Begründung und Umgrenzung desselben. *H. J. S. Smith* hat in dieser Absicht die Reihenentwickelungen, die eine Singularität definiren, auf den Einfluss untersucht, den sie auf die Discriminanten der Curven-gleichung und der zu ihr reciprocen Gleichung besitzen, und ist zu wichtigen Beziehungen zwischen den zugehörigen Zahlen gelangt. Aber abgesehen davon, dass *Smith's* Beweis zum Teil auf nicht algebraischer Grundlage beruht und indirect ist, lässt er auch die Frage unerledigt, ob jene Äquivalenz mehr als bloss eine numerische ist, d. h. inwieweit jede höhere Singularität durch wirkliches Zusammenrücken von nur einfachen (elementaren) singulären Punkten *entstehen* kann.

In einer Abhandlung „Über die Singularitäten algebraischer Curven und eine neue *Curvenspecies*“ (*Math. Annalen* Bd. 17) habe ich versucht, durch stetige Umwandlung einer Curve, welche mit einer beliebigen, durch vorgegebene Entwickelungen definirten

Singularität behaftet ist, in eine solche von gleicher Ordnung, Classe und gleichem Geschlecht, welche nur die einfachen Vorkommnisse aufweist, die zuletzt aufgeworfene Frage zuerst und damit implicite auch die frühere zu beantworten.

Der vorliegende Anlass legt es nahe, auf den Ausgangspunkt für diese Untersuchung: die *gestaltliche* Deformation, zurückzugreifen. Dies erfordert indess, wenn die Grundlage sicher sein soll, algebraische Entwicklungen, die ich im Anschluss an eine Übersicht über die Ergebnisse jenes Aufsatzes voranzustellen mir erlauben werde.

Die Absicht ist zunächst die, nachzuweisen, dass mit dem Auftreten einer höheren Singularität in die Formeln für das Geschlecht, die Classe der Curve und die Anzahl ihrer Wendepunkte zwei ganze Zahlen linear eintreten, welche zusammen mit noch zwei andern ihnen dualistisch entsprechenden in Hinsicht auf die Plücker'schen Formeln die Singularität vollständig charakterisiren. — Von der Grösse dieser Zahlen, die durch das Verhalten der adjungirten Curven, bezw. der ersten Polare und der Hesse'schen Curve bestimmt ist, sehen wir hier ab.

In jener Abhandlung wird nun gezeigt*), dass jede durch Reihenentwickelungen definirte Singularität vorkommen kann auf einer „rationalen“ Curve (einer Curve vom Geschlecht Null, deren Coordinaten als rationale Functionen eines Parameters darstellbar sind) von übrigens noch besondern Eigenschaften, darunter der, dass Ordnung und Classe gleich und, weil bestimmt durch die Stelle, wo man die Reihenentwickelungen abbricht, noch in gewissen Grenzen willkürlich annehmbare Zahlen sind.

Bekannt ist das Verhalten der ersten Polaren, der Hesse'schen und der adjungirten Curve in den *einfachsten* Singularitäten: Doppelpunkt (mit getrennten Tangenten) und Rückkehrpunkt. Für Curven, die keine vielfachen höhern Punkte enthalten, ist die Anzahl der Wendepunkte linear von der Anzahl jener einfachsten Singularitäten abhängig, ebenso das Geschlecht und die Classe der Curve.

Doppel- und Rückkehrpunkte nebst den ihnen dualistisch entsprechenden Doppeltangenten und Wendetangenten (-punkten)

*) Die Ausführung für einen besondern Fall findet man unten.

mögen „*elementare Singularitäten*“ genannt werden. Für die rationalen Curven lassen sich nach Clebsch (Crelle's Journal, Bd. 64) Gleichungen bilden, denen die Werte der Parameter genügen, die den elementaren Singularitäten zugehören. Kommen sie getrennt vor, so sind die Wurzeln verschieden. Der Grad dieser Gleichungen entspricht der Anzahl, bezw. der doppelten Anzahl der betreffenden mit endlichem Parameter versehenen ausgezeichneten Stellen der Curve.

Die vier Gleichungen können mehrfache Wurzeln erhalten, wenn eine höhere Singularität auftritt. Hat man die ihr entsprechende Vielfachheit ermittelt, so fragt es sich, ob diese Zahlen bereits die an der Geschlechtsformel und in den Plücker'schen Gleichungen anzubringende Reduction bestimmen. Ist dies für die rationale Curve gezeigt, so gilt es für jede andere algebraische Curve, weil in der Umgebung der singulären Stelle das Verhalten ihrer Polaren u. s. w. mit dem für die rationale übereinstimmt.*

Nun lässt sich die rationale Curve, welche die Singularität besitzt, durch genau definirte kleine Constantenänderungen in eine andere rationale überführen, für welche die Gleichungen, denen die elementaren Singularitäten genügen, an Stelle der mehrfachen Wurzeln lauter verschiedene haben, die von diesen sich beliebig wenig unterscheiden, und deren Anzahl je gleich dem Exponenten des mehrfachen Factors ist. Durch vorgängige passende Wahl des Grades der rationalen Curve kann man ferner bewirken, dass alles Übrige, also namentlich auch die sonstigen im Endlichen gelegenen singulären Punkte und die im Unendlichen gelegene höhere Singularität bei der Variation an Zahl und an Charakter sich nicht ändern. Weil nun auch noch Grad, Classe, Geschlecht der Curve dieselben bleiben, so müssen auch die von der betrachteten Singularität herrührenden Zahlen, die in die Plücker'schen Ausdrücke eingehen, von der Variation unberührt bleiben. Und zwar bezieht sich dies nicht nur auf die beiden ersten Formeln (für Classe und Wendepunkte), sondern, wegen der Unveränderlichkeit der Factorenzahl für alle vier Gleichungen, auch auf die ihnen dualistisch entsprechenden.

Jene Vielfachheitszahlen definiren hiernach nicht bloss die Reductionen an den Formeln für das Geschlecht u. s. w. — dies

hatte schon H. J. S. Smith bewiesen —, sondern es ist auch dargethan, dass die gleichen Factoren durch verschiedene vertreten werden können, d. h. dass in den angegebenen Beziehungen jede höhere Singularität durch eine Anzahl ihr äquivalenter elementarer *ersetzbar* ist.

Jene Curvengattung, der sowohl die mit der höheren Singularität behaftete als die variirte Curve angehört, hat die Eigenschaft, durch die (ihrerseits von einander unabhängigen) Gleichungen, denen die Parameter der Wendepunkte und der Rückkehrpunkte genügen, völlig bestimmt zu sein. Die willkürlichen Veränderungen betreffen daher nur die gleichen Linearfactoren dieser beiden Gleichungen, wodurch dann diejenigen für die Parameter der Doppelpunkte und der Doppeltangenten eindeutig bestimmt sind, und zwar, wenn man gewisse besondere Wertsysteme der Variationen ausschliesst, in der Weise, dass auch sie nur verschiedene Wurzeln besitzen.

Die Ausstellung, die diesen Aufsatz veranlasst hat, enthält einige Blätter mit Zeichnungen, die Übergänge darstellen, bei denen eine höhere Singularität sich in die äquivalenten elementaren auflöst. Sie entsprechen dem besondern Fall, dass dieselbe eine „unicursale“ ist (ein „superlinear branch“ nach Cayley), d. h. dass ihre Entwicklungen einen einzigen Cyklus bilden. Wir stellen hier die algebraischen Hilfsmittel für die Behandlung dieses Falles zusammen.

Die Entwicklungen in einem unicursalen Element (es enthält nur *einen* reellen Curvenzweig, wenn die Entwicklungscoefficienten reell sind) können zusammenfassend dargestellt werden durch eine Reihe für die Ordinate y , die im Allgemeinen nach gebrochenen Potenzen der Abscisse x aufsteigt:

$$y = a_0 x^p + a_1 x^{\frac{q_1}{p}} + \dots,$$

wo die $a_0 a_1 \dots$ Constante; $p, q < q_1 < q_2 < \dots$ ganze positive Zahlen sind, und wo ohne Beschränkung der Allgemeinheit $q > p$ angenommen werden kann.

Setzt man diese Reihe, die, als dem Element einer algebraischen Function zugehörig, nach Cauchy immer einen Convergencebereich in der Umgebung von $x = 0, y = 0$ besitzt, fort bis zu dem Glied:

$$a_k \frac{q_k}{x^p},$$

für das noch q_k und p teilerfremd sein mögen*), so kann man setzen:

$$\begin{aligned} x &= \lambda^p = x(\lambda); \\ y &= a_0 \lambda^q + a_1 \lambda^{q_1} + \dots + a_k \lambda^{q_k} = y(\lambda). \end{aligned}$$

Diese Gleichungen stellen nun eine „rational ganze“ Curve dar, für welche

1) die Gleichung $\rho(\lambda) = 0$ für die Parameter aller im Endlichen vorkommenden Rückkehrpunkte gegeben ist durch:

$$\frac{dx}{d\lambda} = x'(\lambda) = 0,$$

also durch:

$$(1) \quad \rho(\lambda) = p\lambda^{p-1} = 0$$

2) Die Gleichung $\omega(\lambda) = 0$ für die Parameter der Wendepunkte der Curve ist:

$$(2) \quad \omega(\lambda) = \frac{d}{d\lambda} \left(\frac{y'(\lambda)}{x'(\lambda)} \right) = \frac{1}{p} \lambda^{q-p-1} (a_0(q-p) + a_1 q_1(q_1-p) \lambda^{q_1-q} + \dots) \dots$$

3) wo ferner die Parameter λ, λ_1 der zwei in einem Doppelpunkt sich durchsetzenden Zweige den Gleichungen genügen:

$$(3) \quad \frac{x(\lambda_1) - x(\lambda)}{\lambda_1 - \lambda} = 0 \quad \frac{y(\lambda_1) - y(\lambda)}{\lambda_1 - \lambda} = 0$$

oder, in λ und $D = \lambda_1 - \lambda$ geschrieben (a. a. O. S. 376, wo einige Zahlencoefficienten der einen Formel hiernach zu verbessern sind):

$$(3a) \quad \left\{ \begin{aligned} 0 &= \rho + \rho' \frac{D}{2} + \rho'' \frac{D^2}{3!} + \dots \\ 0 &= \frac{1}{3!} \left(\rho\omega' + \frac{\omega\rho'}{2} \right) + \frac{D}{4!} (\rho\omega'' + 3\rho'\omega' + \rho''\omega) \\ &\quad + \frac{D^2}{5!} \left(\rho\omega''' + 4\rho'\omega'' + 6\rho''\omega' + 3\frac{\rho'''\omega}{2} \right) + \dots \end{aligned} \right.$$

*) Bezüglich der Bedeutung dieser Annahme vergl. man a. a. O. § 5 (S. 378) und § 9 (S. 401).

In diesen Formeln sind durch Striche die Ableitungen nach λ bezeichnet, $\mathfrak{B}!$ ist $= 1.2.3$, u. s. w.

4) Endlich ergeben sich die Parameter der Berührungspunkte der Doppeltangenten aus Gleichungen wie (3), gebildet für die *Linienkoordinaten* u, v , die mit x, y durch die Gleichung zusammenhängen: $ux - y - v = 0$; oder kürzer nach Vertauschung von ω mit ρ aus (3a).

Es folgt aus diesen Gleichungen, dass die der singulären Stelle entsprechende Wurzel $\lambda = 0$: $(p - 1)$ fach in der Gleichung für die Rückkehrpunkte, $(q - p - 1)$ fach in der für die Wendepunkte (-tangenten) und, wenn p und q teilerfremd sind*), $\frac{1}{2}(p - 1)(q - 3)$ fach bez. $\frac{1}{2}(q - p - 1)(q - 3)$ fach in den Gleichungen für die eigentlichen Doppelpunkte (mit getrennten Tangenten) und für die Doppeltangenten auftritt.

Statt auf die obigen Ausdrücke $x(\lambda), y(\lambda)$ kann man die Definition der Curve auch auf die Annahme der ganzen Functionen $\rho(\lambda), \omega(\lambda)$ stützen. In der That, es ist:

$$\begin{aligned} x(\lambda) &= \int_0^\lambda \rho(\lambda) d\lambda & u(\lambda) &= \int_0^\lambda \omega(\lambda) d\lambda \\ y(\lambda) &= \int_0^\lambda \rho(\lambda) u(\lambda) d\lambda & v(\lambda) &= ux - y = \int_0^\lambda x(\lambda) \omega(\lambda) d\lambda \end{aligned}$$

Die vollkommene Analogie der so definirten Linien- mit den Punktekoordinaten springt in die Augen.

Der Proceß der *Constantenvariation* besteht nun darin, dass man an Stelle des Factors von $\rho(\lambda)$ [bezw. von $\omega(\lambda)$], der aus einer Potenz von λ besteht, je eine ganze Function in λ von gleichem Grade setzt, deren Coëfficienten — bis auf den der höchsten Potenz — sehr kleine willkürlich angenommene Grössen sind. Man substituirt also für $\rho(\lambda), \omega(\lambda)$ die ganzen Functionen:

$$\begin{aligned} \rho_1(\lambda) &= p(\lambda - \alpha_1)(\lambda - \alpha_2) \dots (\lambda - \alpha_{p-1}) \\ \omega_1(\lambda) &= \frac{1}{p}(\lambda - \beta_1)(\lambda - \beta_2) \dots (\lambda - \beta_{q-p-1}) \\ &\quad (a_0(q-p) + a_1 q_1(q_1 - p)\lambda^{q-1} + \dots), \end{aligned}$$

*) Die Modificationen, die diese Zahlen erfahren, wenn p, q nicht teilerfremd sind, findet man a. a. O. § 9 S. 400 angegeben.

die sich, wenn alle α und β gleich Null sind, auf $\rho(\lambda)$ und $\omega(\lambda)$ reduciren, und bilde nun wieder mit Hilfe von ρ_1 und ω_1 die Ausdrücke für x, y, u, v wie oben. Den willkürlich annehmbaren kleinen Grössen α, β entsprechen dann „penultimate“ Curvenformen, welche diejenigen elementaren Singularitäten *nebeneinander* enthalten, die in der höheren Singularität *vereinigt* sind. In Bezug auf die Wendepunkte (α) und die Rückkehrpunkte (β) verfügt man über Anordnung, Realität u. s. w. durchaus unbeschränkt. Was die Doppelpunkte und -Tangenten angeht, so wird die Forderung, dass sich die in der penultimate Form auftretenden nicht wieder zu mehrfachen Punkten u. s. w. vereinigen, erfüllt, wenn man vermeidet, die α, β so zu wählen, dass weder die Discriminante der aus (3a) durch Elimination von D entstehenden „Doppelpunktsgleichung“ in λ , noch die für die Doppeltangentengleichung verschwindet, sowie dass die Resultante aus je zweien der vier Gleichungen Null wird.

Aus dem Studium dieser Discriminanten und Resultanten ergab sich ein merkwürdiger Satz, der sich auf den Fall *reeller* Coefficienten in der Entwicklung und der variirten Parameterausdrücke für x, y bezieht. Bezeichnet man mit r und w die Gesamtzahl der Grössen α bzw. β , d. h. der aus der Singularität hervorgegangenen Rückkehr- und Wendepunkte, mit r' und w' die *reellen* unter diesen, mit d' und t' die isolirten (aus der Singularität hervorgegangenen) Doppelpunkte und Doppeltangenten, so besteht, wie auch die Auflösung erfolgen möge, immer die Beziehung:

$$r' - w' + 2(d' - t') = r - w.$$

Der Betrag der linken Seite dieser Gleichung, der auch im Falle einer mehrelementigen Singularität von der Art der Variation nicht abhängt, ist in den ausgestellten Blättern für jede Singularität als ihr „Realitätsindex“ besonders angeführt.

Die ausgestellten Zeichnungen und die zugehörigen Rechnungen hat im Jahre 1883 Herr *Ch. Schultheiss*, damals Studirender der *Mathematik* an der *technischen Hochschule* in

München, ausgeführt. Die Zahlenannahmen sind auf den Blättern selbst bemerkt, die Bezeichnungen die dieser Note. Um die Singularitäten auch für das Auge zu trennen, hat man die Ordinaten teilweise in anderem Masstab wie die Abscissen aufgetragen.

Eine Vorstellung von den Zeichnungen mögen die folgenden Beispiele geben:

1. Beispiel. Entwicklung: $y = x^{\frac{4}{3}} + \dots$, oder $x = \lambda^3$, $y = \lambda^4$. $\rho(\lambda) = 3\lambda^2 = 0$ ist die Gleichung für die Rückkehrpunkte. Wendepunkte ($\omega(\lambda) = \frac{4}{3}$) existieren keine. Setzt man

$$\rho_1(\lambda) = 3(\lambda^2 - \varepsilon), \quad \omega_1(\lambda) = \omega(\lambda) = \frac{4}{3},$$

so erhält man für die Punkt- und Liniencoordinaten der variirten Curve:

$$\begin{aligned} x &= -3\varepsilon\lambda + \lambda^3 & u &= \frac{4}{3}\lambda \\ y &= -2\varepsilon\lambda^2 + \lambda^4 & v &= -2\varepsilon\lambda^2 + \frac{1}{3}\lambda^4 \end{aligned}$$

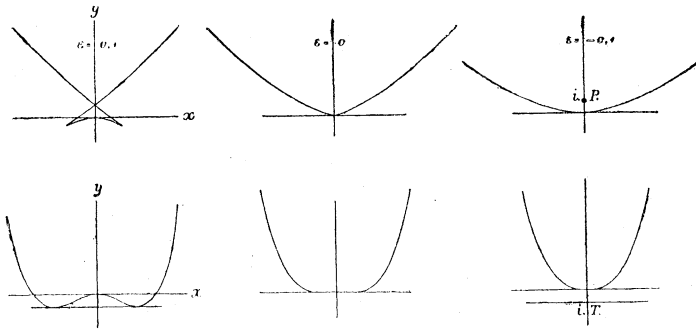
Für die Doppelpunktparameter hat man die Gleichungen:

$$\begin{aligned} 0 &= 3(\lambda^2 - \varepsilon) + 3\lambda D + D^2 \\ 0 &= \lambda + \frac{D}{2}, \end{aligned}$$

Daher: $\lambda = -\lambda_1 = \sqrt{3\varepsilon}$, oder einen Doppelpunkt in $x = 0$, $y = 3\varepsilon^2$. Doppeltangenten treten (im Endlichen) nicht auf. Die Rückkehrpunkte sind: $x = \pm 2\varepsilon\sqrt{\varepsilon}$, $y = -\varepsilon^2$. Der Realitätsindex ist = 1. Die Gleichung einer der adjungirten Curven ($n-1$ ter (oder von niedrigerer) Ordnung lässt sich in der Form darstellen (a. a. o. § 11 S. 407):

$$x(y + \varepsilon^2) = 0.$$

Im Folgenden sind drei Typen gezeichnet nebst ihren reciprocen Formen, indem einmal x, y , das anderemal $0,15 u, v$ als rechtwinklige Coordinaten aufgetragen sind.



2. Beispiel. Entwicklung $y = x^{\frac{5}{3}} + \dots$, oder $x = \lambda^3$,
 $y = \lambda^5$. $\rho(\lambda) = 3\lambda^2 = 0$; $\omega(\lambda) = \frac{10}{3}\lambda = 0$ sind die Gleichungen für die Rückkehr- und Wendepunkte. Man setze für die variierte Curve:

$$\rho_1(\lambda) = 3(\lambda^2 - \varepsilon); \quad \omega_1(\lambda) = \frac{10}{3}(\lambda - \eta).$$

Dann wird:

$$x = -3\varepsilon\lambda + \lambda^3$$

$$y = 5\varepsilon\eta\lambda^2 - \frac{5}{3}\varepsilon\lambda^3 - \frac{5}{2}\eta\lambda^4 + \lambda^5$$

$$u = -\frac{10}{3}\eta\lambda + \frac{5}{3}\lambda^2$$

$$v = 5\varepsilon\eta\lambda^2 - \frac{10}{3}\varepsilon\lambda^3 - \frac{5}{6}\eta\lambda^4 + \frac{2}{3}\lambda^5$$

Die Coordinaten der Rückkehrpunkte sind:

$$x = \pm 2\varepsilon\sqrt{\varepsilon}; \quad y = \varepsilon^2 \left(\frac{5}{2}\eta \pm \frac{2}{3}\sqrt{\varepsilon} \right).$$

Die Gleichung für die Parameter der Doppelpunkte ist:

$$\varkappa^4 + 2\varkappa^3a + \varkappa^2(4a^2 - 7) + 4\varkappa a + 12a^2 + 16 = 0,$$

wo $a = \frac{5}{4} \frac{\eta}{\sqrt{-\varepsilon}}$ und $\varkappa = \frac{\lambda}{\sqrt{-\varepsilon}}$ ist.

Die Discriminante dieser Gleichung ist:

$$\varepsilon(\eta^2 - \varepsilon)(25\eta^2 - 16\varepsilon)^4,$$

wo der erste Factor dem Zusammenrücken der zwei Spitzen, der zweite dem Auftreten einer Schnabelspitze, der dritte dem Auf-
rücken einer Spitze auf einen gewöhnlichen Curvenzweig entspricht.

Für $\eta = 0$ erhält man, wenn ε negativ ist, isolirte Doppelpunkte in

$$x = 4\varepsilon\sqrt{-\varepsilon}; \quad y = \frac{16}{3}\varepsilon\sqrt{-\varepsilon}.$$

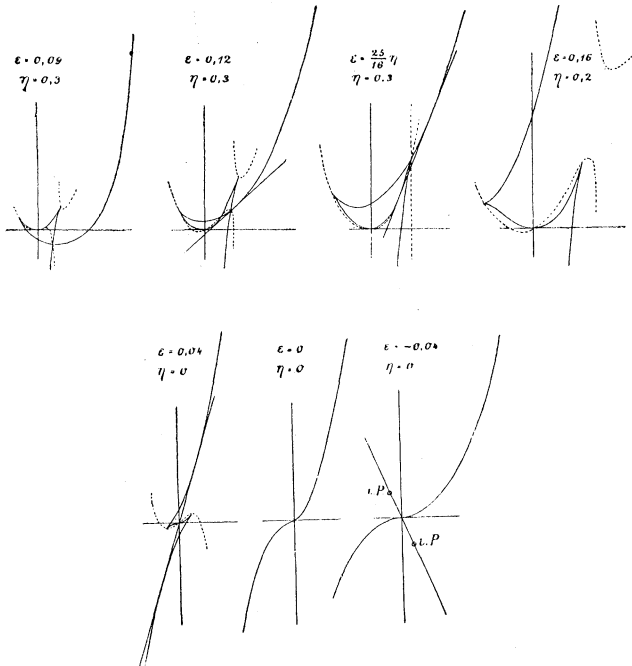
Der Realitätsindex ist = 1.

Ich füge noch die Gleichung einer adjungirten Curve dritter Ordnung (s. oben) an, die schematisch (punktirt) eingezeichnet ist:

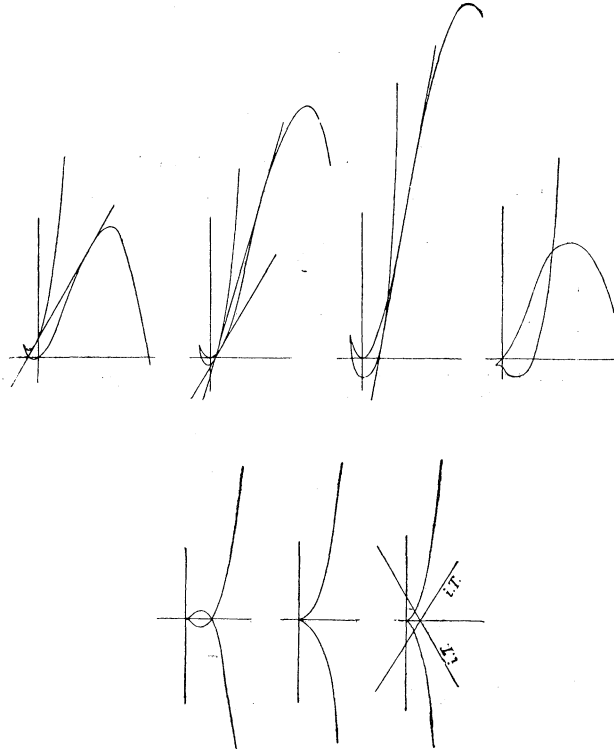
$$(y - \alpha x)(x - \beta) = x(x - \gamma)^2 \delta$$

wo $\alpha = \frac{4}{3}\varepsilon$, $\beta = \frac{8}{5}\frac{\varepsilon^2}{\eta}$, $\gamma = \frac{5}{2}\varepsilon\eta$, $\delta = \frac{2}{5}\eta$

ist, und lasse hier einige Typen folgen (die Ordinaten sind im 10 fachen Masstab der Abscissen aufgetragen):



Die entsprechenden reciprocon Formen, die durch Auftragen von $\frac{u}{5}$ und $10v$ als rechtwinkligen Coordinaten entstehen, sind:



3. Beispiel (Schnabelspitze): $y = x^2 + x^{\frac{5}{2}} + \dots$ oder $x = \lambda^2, y = \lambda^4 + \lambda^5$.

Für $\rho_1 = 2\lambda$,

$$\omega_1 = \left(4 + \frac{15}{2}\lambda\right) (\lambda - \varepsilon) = \frac{15}{2} \left(\lambda^2 + \frac{8}{15}\lambda a + \frac{b}{5}\right),$$

wo $a = 1 - \frac{15}{8}\varepsilon$, $b = -\frac{8}{3}\varepsilon$ gesetzt ist, wird:

$$x = \lambda^2 \qquad u = \frac{3}{2}b\lambda + 2a\lambda^2 + \frac{5}{2}\lambda^3$$

$$y = b\lambda^3 + a\lambda^4 + \lambda^5 \qquad v = \frac{b}{2}\lambda^3 + a\lambda^4 + \frac{3}{2}\lambda^5.$$

Die Parameter des Doppelpunktes sind: $\lambda = -\lambda_1 = 2\sqrt{\frac{2\varepsilon}{3}}$.

Die Gleichung für die Berührungspunkte der Doppeltangente lautet:

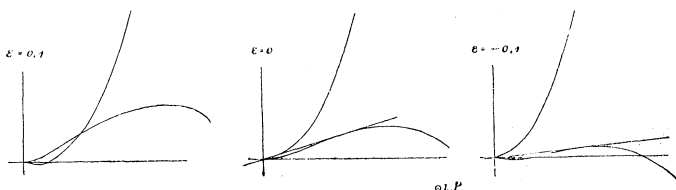
$$0 = \left(\frac{5}{2}\lambda^2 - 2a\lambda - 2b\right)^2 + \left(\frac{5}{2}\lambda - a\right)\left(5a\lambda^2 + \frac{15}{2}b\lambda + ab\right).$$

Ihre Discriminante zerfällt wieder in Factoren:

$$b\left(4a^2 - \frac{45}{4}b\right)(a^2 + 5b)^4,$$

deren Verschwinden dem Auftreten einer Schnabelspitze, dem Zusammenrücken zweier Wendepunkte und dem Falle, dass eine Wendetangente noch einmal berührt, entsprechen. Der Realitätsindex ist $= 0$.

Die folgenden Typen zeigen den Übergang von positiven Werten von ε durch Null zu negativen (die Ordinaten sind in doppeltem Masstab aufgetragen):



Die Zerfällung der Discriminanten der Singularitätengleichungen für die hier betrachteten besonderen rationalen Curven, die inzwischen Herr *F. Meyer* (Math. Ann. Bd. 38) auf allgemeine rationale ausgedehnt hat, besitzt insofern eine weitere Bedeutung, als sie den algebraischen Kern einer bekannten Relation zwischen den reellen Singularitäten einer algebraischen Curve, die Herr *F. Klein* aufgestellt hat (Math. Ann. Bd. 10), wenigstens für rationale Curven blosslegt.

Tübingen, im Juli 1892.

Über die constructiven Postulate der Raumgeometrie in ihrer Beziehung zu den Methoden der Darstellenden Geometrie.

Von G. Hauck in Berlin.

Einleitung.

Für das Arbeitsgebiet der Darstellenden Geometrie sind hauptsächlich zwei Gesichtspunkte massgebend: 1) die Aufgabe, gegebene drei-dimensionale Objecte durch zweidimensionale Gebilde darzustellen oder abzubilden, 2) die Aufgabe, die ideellen räumlichen Constructionen, welche bei der Lösung von geometrischen Problemen zunächst nur in der inneren Vorstellung vollzogen werden, praktisch zu verwirklichen.

Man geht bei dem gewöhnlichen Lehrgang in der Regel von der ersten Aufgabe aus, indem man, anknüpfend an den natürlichen Sehprocess die verschiedenen Abbildungsmethoden entwickelt, und behandelt dann die zweite Aufgabe auf Grund der ersten, indem man die Constructionen, die eigentlich an den Raumobjecten selbst zu vollziehen wären, in deren Abbildungen ausführt. Auch der geschichtliche Entwicklungsgang der Wissenschaft weist auf diesen Weg als den naturgemässen; der Begriff der Projection stand bereits zur Verfügung, als die wissenschaftliche Behandlung der zweiten Aufgabe in Angriff genommen wurde.

Trotzdem bietet der Versuch, den umgekehrten Weg zu gehen, das heisst: die zweite Aufgabe an die Spitze zu stellen und unabhängig von dem Begriff der Abbildung zu behandeln, ein hohes Interesse. Das Bestreben, die ideellen Raumconstructions zu realisiren, hat an und für sich mit dem Sehprocess nichts zu schaffen. Erst durch die Behandlung dieser Aufgabe

a priori, wie sie im folgenden versucht werden soll, gewinnt man ein klares Urteil über die *innere Notwendigkeit* der Methoden, die zur Lösung der Aufgabe dienen; man erkennt, was an den ihnen zu Grunde liegenden Anschauungen notwendig und aus welchen Zweckmässigkeitsgründen das Nicht-notwendige aufgenommen ist.

Man wird bei einem solchen Versuche von den ideellen *constructiven Postulaten* der Raungeometrie ausgehen müssen, welche man auf wirklich vollziehbare Operationen zu reduciren bestrebt sein wird.

Eine Erörterung jener Postulate möchte schon an sich angezeigt erscheinen. Es will mich bedünken, als ob darüber vielfach eine gewisse Unbekümmertheit und Unklarheit herrschte, und als ob namentlich die Verschiedenheit, die in dieser Beziehung zwischen den Anschauungen der *Euklidischen* Geometrie und der *neueren* Geometrie besteht, nicht genügend zum Bewusstsein gekommen wäre. Während den *Axiomen* der Geometrie die eingehendsten Untersuchungen gewidmet worden sind, hat man sich hinsichtlich der *Postulate* meist nur auf die Constructionen in der Ebene beschränkt (Mascheroni, Steiner). Das Problem der Bestimmung des Schnittpunkts einer Geraden mit einer Ebene scheint mir in seiner fundamentalen Bedeutung für die räumlich-constructive Geometrie, wie sie bei den folgenden Betrachtungen zu Tage treten wird, bisher nicht genügend gewürdigt worden zu sein.

§ 1. Die constructiven Postulate der Euklidischen und der neueren Geometrie.

Euklid stellt zunächst für die Ebene die Postulate auf: Es sei möglich,

1) von jedem Punkt nach jedem andern eine gerade Linie zu ziehen,

2) eine begrenzte gerade Linie stetig gerade fort zu verlängern,

3) aus jedem Punkte in jedem Abstände einen Kreis zu beschreiben.

Diese Postulate übertragen sich dann auch auf den Raum, insoferne sich ihre Gültigkeit auf *jede* durch drei Punkte bestimmte Ebene erstreckt. Euklid denkt sich also, es sei immer möglich, *durch irgend drei beliebige Punkte des Raumes eine Ebene zu legen und in ihr die Constructionen der ebenen Geometrie auszuführen.* Man könnte diese letztere Forderung, die Euklid zwar nicht direct ausspricht, deren Voraussetzung aber aus seinen thatsächlichen Constructionen folgt, zu den obigen drei planimetrischen Postulaten noch als ergänzendes *stereometrisches Postulat* hinzufügen.

Jede ausgedehntere räumliche Construction setzt sich aus gewissen Fundamentalconstructionen zusammen. Von diesen ist die bedeutsamste die Bestimmung der Schnittlinie zweier Ebenen oder des Schnittpunktes einer geraden Linie mit einer Ebene. Da sich jede dieser zwei Aufgaben unmittelbar auf die andere zurückführen lässt, so ist es gleichgiltig, welche man als die ursprüngliche nimmt. Wir geben im folgenden der zweiten den Vortritt und bezeichnen sie kurz als „*Schnittpunktproblem*“.

Merkwürdigerweise gibt sich nun bei Euklid, dessen constructiver Inhalt überhaupt ein beschränkter ist, nirgends ein Anlass zur Anwendung jener zwei Aufgaben, so dass er keinen Grund hat, sich überhaupt mit denselben zu befassen. Dagegen gibt er die Lösung der Aufgabe: auf eine gegebene Ebene von einem ausserhalb derselben gegebenen Punkt eine Senkrechte zu fällen, — mit deren Hilfe sich das Schnittpunktproblem sofort erledigt.

Um von einem Punkt A (vergl. Fig. 1) eine Senkrechte auf eine Ebene P zu fällen, zieht man in P eine beliebige Gerade BC , fällt (in der durch BC und A bestimmten Ebene) $AD \perp BC$, errichtet (in der Ebene P) $DE \perp BC$ und fällt (in der durch AD und DE gedachten Ebene) $AF \perp DE$: so ist AF die verlangte Senkrechte.

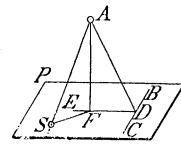


Fig. 1.

Soll nun der Schnittpunkt einer Geraden mit einer Ebene bestimmt werden, so fällt man (vergl. Fig. 1) von einem beliebigen Punkt A der gegebenen Geraden die Senkrechte AF auf die gegebene Ebene und errichtet in der durch die Gerade und die

Senkrechte gedachten Ebene auf AF in F eine Senkrechte: so schneidet diese die gegebene Gerade in dem gesuchten Schnittpunkt S .

Es möchte vielleicht auffallend oder gar paradox erscheinen, dass die Lösung dieser Aufgabe, die wir doch als *lineare* Aufgabe zu betrachten gewöhnt sind, die mehrfache Anwendung des *Zirkels* verlangt. Eine Lösung, die bloss mit geraden Linien operirt, lässt sie nicht zu.

Es hängt dies eben mit den durch die Euklidischen Postulate gegebenen Constructionsbedingungen zusammen und dürfte in letzter Instanz zu der *Theorie der Ebene* in Beziehung zu bringen sein.

Mit der Anschauungsweise der *neueren Geometrie* steht es allerdings in directem Widerspruch. Diese hilft sich denn auf einfache Weise dadurch, dass sie für ihre Constructions das *neue Postulat* einführt: es sei mit einer Geraden und einer Ebene eo ipso auch deren Schnittpunkt, oder mit zwei Ebenen eo ipso auch deren Schnittlinie bestimmt. Der Begriff „*lineare Construction*“ wird von der Ebene auf den Raum übertragen; während er aber dort die bloss Benützung von geraden Linien in sich schliesst, kommt im Raum noch die Ebene hinzu, und es wird nun, entsprechend dem analytischen Ursprung jenes Begriffes der Schnitt zweier Ebenen oder einer Ebene mit einer Geraden ganz ebenso postulirt wie in der Ebene der Schnitt zweier Geraden.

Es findet sich zwar dieses Postulat meines Wissens nirgends ausdrücklich ausgesprochen, es wird nur stillschweigend, vielleicht auch unbewusst angenommen. Aber über seine thatsächliche Annahme kann kein Zweifel bestehen. Wenn man z. B. sagt, durch den Schnitt eines Ebenenbüschels mit einer geraden Linie sei eine Punktreihe bestimmt, so denkt niemand daran, die einzelnen Schnittpunkte alle erst durch besondere Constructions zu ermitteln, sondern die Schnittpunkte sind mit dem Ebenenbüschel und der Geraden eo ipso vorhanden. Schon das Dualitätsprincip verlangt mit Notwendigkeit eine Gleichberechtigung zwischen Punkt und Ebene; wenn daher die Bestimmung der Verbindungslinie zweier Punkte postulirt wird, so muss notwendig das-

selbe auch für die Schnittlinie zweier Ebenen verlangt werden. Während also das in Frage stehende Postulat vom Standpunkt der Euklidischen Geometrie als überflüssig und daher unzulässig bezeichnet werden muss, kann vom Standpunkt der neueren Geometrie seine Berechtigung nicht beanstandet werden. Nur darf es nicht versteckt unterschoben, sondern muss offen ausgesprochen werden.

Die stillschweigende Annahme des *Schnittpunktpostulates* durch die neuere Geometrie, verbunden mit dem Umstand, dass Euklid die betreffende Aufgabe nicht ausdrücklich behandelt, gibt wohl die Erklärung für die in der Einleitung erwähnte Unsicherheit und Unbekümmertheit, die sich vielfach hinsichtlich der constructiven Postulate der Raumgeometrie bemerkbar macht.

§ 2. Reducirung der Euklidischen Postulate.

Wir halten vorerst an den Euklidischen Postulaten fest und gehen darauf aus, die auf sie gegründeten ideellen Raumconstructions in eine für die praktische Ausführung geeignetere Form zu bringen. Man wird zu diesem Zwecke vor allem bemüht sein, das Construire in allen möglichen Ebenen in Wegfall zu bringen, indem man jene Constructionen sämtlich auf eine und dieselbe Ebene zu übertragen sucht. Dies ist in der That möglich: man kann die Constructionen so reduciren, dass man nur in einer einzigen, ein für allemal bestimmten Ebene zu zeichnen hat und dass von Operationen im Raum nur das Ziehen von geraden Linien und das Abmessen von Punktabständen (mittelst Stechzirkel oder Masstab) verbleibt.

Bei dieser Reduction kommt die Hilfsaufgabe der Bestimmung des Schnittpunktes einer Geraden mit einer Ebene fortgesetzt zur Anwendung. Da sie nach der in § 1 gegebenen Lösung das Zeichnen in 4 verschiedenen Ebenen erfordert, so erscheint es zweckmässig, sich zuerst mit dieser Fundamentalaufgabe zu befassen.

Man wird zunächst versuchen, das Anwendungsgebiet der etwas umständlichen Construction möglichst einzuschränken. (Da-

zu mag vorgehend gleich bemerkt werden, dass, auch wenn man im Sinne der neueren Geometrie den Schnittpunkt einer Geraden mit einer Ebene als eo ipso gegeben postuliert, man auch hier gut thun wird, das Mass der Forderung nur auf das Notwendigste zu beschränken.) In dieser Hinsicht lässt sich nun leicht zeigen, dass es nur erforderlich ist, die Schnittpunkte *der Strahlen irgend eines Strahlenbündels mit einer einzigen Ebene* durch die bewusste Construction (bezw. durch Postulat) zu bestimmen; für jede andere Gerade und Ebene ergibt sich dann der Schnittpunkt durch eine einfache *Linenconstruction*. Bezeichnen wir das Centrum jenes Strahlenbündels als *Hauptpunkt*, die Strahlen als *Hauptstrahlen*, ferner jene einzige Ebene als *Hauptebene*, so gestalten sich die betreffenden Linienconstructions wie folgt:

Um den Schnittpunkt S einer beliebigen Geraden AB (vergl. Fig. 2) mit der Hauptebene P zu finden, zieht man nach zwei beliebigen Punkten A, B der Geraden Strahlen vom Hauptpunkt O , bestimmt deren Schnittpunkte a, b mit der Hauptebene: so schneidet die Verbindungslinie ab die gegebene Gerade in dem gesuchten Spurpunkt S .

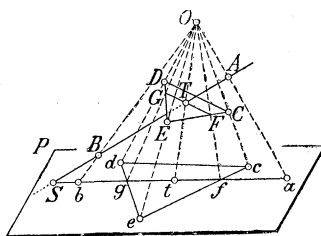


Fig. 2.

Um ferner (vergl. Fig. 2) den Schnittpunkt T einer Geraden AB mit einer beliebigen, durch drei Punkte C, D, E bestimmten Ebene zu finden, zieht man nach den fünf Punkten A, B, C, D, E Hauptstrahlen und bestimmt deren Schnittpunkte a, b, c, d, e mit der Hauptebene. Schneidet dann die Linie ab den Umfang des Dreiecks cde in f und g , und zieht man Of und Og , welche die entsprechenden Seiten des Dreiecks CDE in F und G schneiden, so erhält man im Schnittpunkt der Linie FG mit der Geraden AB den gesuchten Punkt T .

Hiernach bleibt die Anwendung der in § 1 besprochenen Construction nur auf die Schnittpunkte von Hauptstrahlen mit der Hauptebene beschränkt. — Man wird also weiter bestrebt sein, [die genannte Construction in dieser Begrenzung so zu modificiren, dass nur in der Hauptebene gezeichnet zu werden

braucht und im Raum nur Linien zu ziehen und Punktabstände zu messen sind.

Zunächst lässt sich die Euklidische Lösung der Hilfsaufgabe -- von einem Punkt O eine Senkrechte auf eine Ebene P zu fällen -- folgendermassen modificiren: Man verbindet (vergl. Fig. 3) den Punkt O mit drei beliebigen Punkten p, q, r der Ebene P und klappt die zwei Dreiecke $p q O$ und $p r O$ in die Ebene um, indem man die Abstände $p O, q O, r O$ abmisst und aus p, q, r mit den betreffenden Abständen Kreisbögen

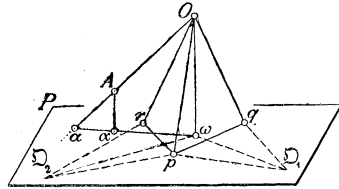


Fig. 3.

in der Ebene P beschreibt, welche sich in \mathfrak{D}_1 und \mathfrak{D}_2 schneiden. Fällt man dann von \mathfrak{D}_1 und \mathfrak{D}_2 auf $p q$ und $p r$ Senkrechte, welche sich in ω schneiden, so ist $O\omega$ die verlangte Senkrechte.

Hat man nun den Schnittpunkt irgend eines Hauptstrahles OA mit der Hauptebene zu bestimmen, so fällt man ausser der ein für allemal bestimmten Senkrechten $O\omega$ nach demselben Verfahren auch noch vom Punkt A die Senkrechte $A\alpha$ auf die Hauptebene. Zieht man dann $\omega\alpha$, so schneidet diese den Hauptstrahl OA im gesuchten Schnittpunkt a .

Nach diesen Vorbereitungen hält es nunmehr nicht schwer, allgemein bei jeder Euklidischen Raumconstruction die in allen möglichen Ebenen sich bewegenden planimetrischen Operationen in eine einzige Ebene zu übertragen. Es geschieht dies mittelst des Umklappungsverfahrens. Als Constructionsebene dient wieder die Hauptebene:

Die Ebene im Raum, in der eine planimetrische Operation auszuführen sei, sei bestimmt durch die drei Punkte A, B, C (vergl. Fig. 4). Um zunächst die Spurlinie der Ebene zu erhalten, bestimmt man die Spurpunkte der Linien AB, BC, CA auf die oben (S. 45, Mitte) angegebene Weise: Zieht man nach A, B, C Hauptstrahlen und bestimmt deren Schnittpunkte a, b, c mit der Hauptebene, so schneiden sich ab und AB, bc und BC, ca und CA in den drei Spurpunkten S, T, U , welche in

einer Geraden liegen, nämlich in der Spurgeraden der Ebene ABC . Man kann nun die Umklappung $\mathfrak{U}\mathfrak{B}\mathfrak{C}$ des Dreiecks ABC um diese Spurgerade zeichnen, indem man die Strecken SA , SB , UA , UC abmisst, aus S mit SA und aus U mit UA Kreisbögen beschreibt, die sich in \mathfrak{U} schneiden, endlich auf $S\mathfrak{U}$ und $U\mathfrak{U}$ die Strecken $S\mathfrak{B} = SB$ und $U\mathfrak{C} = UC$ aufträgt. Die übrigen Punkte der Dreiecksebene, die bei der auszuführenden Construction ins Spiel kommen, z. B. X , werden dann in die Umklappung übertragen, indem man XB und XC zieht, welche die Spurgerade in V und W schneiden mögen, ferner $V\mathfrak{B}$ und $W\mathfrak{C}$ zieht, welche sich in \mathfrak{X} schneiden. Vollzieht man sodann die verlangte planimetrische Construction in der Hauptebene, so hat man schliesslich die resultirenden neuen Punkte auf umgekehrtem Wege aus der Umklappung in den Raum zu übertragen. Ist also \mathfrak{X} ein resultirender Punkt in der Umklappung, so zieht man $\mathfrak{X}\mathfrak{B}$ und $\mathfrak{X}\mathfrak{C}$, welche die Spurgerade in V und W schneiden, zieht ferner VB und WC , welche sich im Raumpunkt X schneiden.

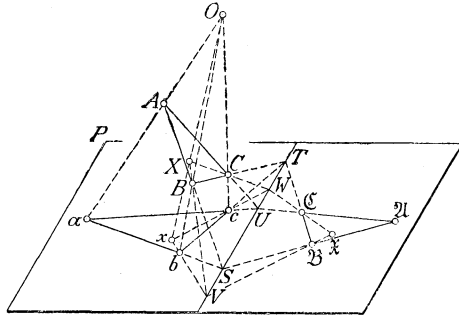


Fig. 4.

Hiemit ist nun bewiesen, dass *die constructiven Postulate Euklids reducirt werden können auf die folgenden einfacheren: Es sei möglich,*

- 1) *im Raum Punkte durch Linien zu verbinden, die Linien beliebig zu verlängern und Strecken auf ihnen abzumessen.*
- 2) *in einer einzigen Ebene Kreise zu beschreiben.*

Es verdient besonders hervorgehoben zu werden, dass der Versuch, die Operationen der Euklidischen Geometrie auf die Benützung einer einzigen Constructionsebene zu reduciren, schon bei dem Schnittpunktproblem ganz von selbst auf den Begriff der „Projection“ geführt hat, insoferne man das Hauptstrahlenbündel als *projicirendes Strahlenbündel*, die Hauptebene als *Projections-*

ebene auffassen und also z. B. in Fig. 2 Dreieck cde als Projection von Dreieck CDE betrachten kann. Hier ergibt sich also der Begriff der Projection direct aus der Aufgabe, die ideellen Raumconstructionen praktisch zu verwirklichen, ganz unabhängig vom Sehprocess, aus dessen mathematischer Abstraction jener Begriff in der Regel abgeleitet wird.

§ 3. Weitere Reduction mit Hilfe des Schnitt-Punktpostulates. Methode der cotirten Projectionen.

Die Constructionen auf noch einfachere Operationen im Raum als das Ziehen von geraden Linien und das Abmessen von Strecken zurückzuführen, ist, wie wir sehen werden, nicht möglich, solange wir an den Euklidischen Postulaten festhalten; es kann aber ermöglicht werden durch Annahme des *Schnittpunktpostulates*.

Der nächste Schritt zur weiteren Reduction würde der Versuch sein, das Ziehen von Geraden und Abmessen von Strecken im Raum *ausschliesslich auf Hauptstrahlen zu beschränken*. Bezeichnet man den Abstand eines Punktes von seiner Projection als seine „Cote“, (unter Verallgemeinerung des mit dieser Bezeichnung gewöhnlich verbundenen Begriffs), so kommen bei dem Abmessen offenbar bloss Coten in Betracht; denn die Länge einer beliebigen auf einem Hauptstrahl liegenden Strecke ergibt sich als Differenz der Coten ihrer Endpunkte.

Mustert man nun die im vorigen Paragraphen besprochenen Constructionen, so scheinen sich dieselben in der That leicht derart modificiren zu lassen, dass von Operationen im Raum nur das Ziehen von Hauptstrahlen und das Abmessen bzw. Auftragen von Coten zur Anwendung kommt. Die Modification besteht darin, dass man das Ziehen von anderen Raumgeraden und das Abmessen von Raumstrecken in den Umklappungen ihrer projectirenden Ebenen vornimmt.

Was zuerst die Bestimmung des Schnittpunkts einer Geraden mit einer beliebigen Ebene anlangt (vergl. Fig. 2, S. 6), so waren, um den Schnittpunkt T zu gewinnen, im Raum die Linien CE ,

DE , FG zu ziehen. Dies kann nun dadurch umgangen werden, dass man sich zuerst die Cotenlängen fF und gG ermittelt, indem man die projicirenden Dreiecke ceO und deO umklappt, (man misst z. B. die Coten cO , cC , eO , eE ab, setzt daraus die Umklappung von Dreieck ceO samt der Linie CE zusammen, zeichnet die Linie fO mit Schnittpunkt F ein und misst fF ab). Sind die Längen von fF und gG gefunden, so ist es weiterhin leicht, die Umklappung der projicirenden Ebene abO mit sämtlichen in ihr liegenden Linien zu zeichnen, wodurch man die Projection t sowie die Länge der Cote tT des gesuchten Schnittpunktes gewinnt. Schliesslich erhält man dann den Punkt T im Raum, indem man den Hauptstrahl Ot zieht und auf ihm die Cote tT aufträgt.

In ähnlicher Weise lässt sich die (durch Fig. 4, S. 8) illustrierte Lösung der Aufgabe modificiren: ein beliebig im Raum liegendes Dreieck ABC in die Hauptebene umzuklappen und umgekehrt einen Punkt \mathfrak{X} der Umklappung in den Raum zu übertragen. Um zunächst die Spurgerade SU zu finden, klappt man das projicirende Dreieck abO samt den Punkten A und B um, alsdann ergibt sich Punkt S als Schnittpunkt der Linie ab mit der Umklappung von AB . Analog bestimmt sich U mittelst Umklappung des Dreiecks acO . Da diese zwei Umklappungen zugleich die wahren Längen von SA und SB , UA und UC enthalten, so kann nunmehr die Umklappung $\mathfrak{A}\mathfrak{B}\mathfrak{C}$ des Dreiecks ABC sofort gezeichnet werden. Um weiter den Raumpunkt X aus seiner Umklappung \mathfrak{X} zu erhalten, bestimmt man zuerst die Projection x , indem man $\mathfrak{X}\mathfrak{B}$ und $\mathfrak{X}\mathfrak{C}$ zieht, welche die Spurgerade in V und W schneiden, dann Vb und Wc zieht, die sich in x schneiden. Endlich bestimmt man die Cotenlänge xX , indem man das projicirende Dreieck xcO umklappt, in der Umklappung Punkt C einträgt und WC zieht, welche von der Umklappung von xO die gesuchte Cotenlänge abschneidet. Punkt X im Raum ergibt sich dann durch Auftragen der Cote xX auf dem Hauptstrahl Ox .

Man beachte bei diesen Modificationen wohl, dass, während es sich vorher nur um ein *Abmessen* von Strecken im Raum handelte, nunmehr auch das *Auftragen* von Strecken auf Hauptstrahlen ins Spiel kommt.

Nun darf aber nicht vergessen werden, dass in allen diesen Constructionen noch die vorherige Bestimmung der Projectionen der einzelnen Raumpunkte, also die Bestimmung der Schnittpunkte von Hauptstrahlen mit der Hauptebene steckt. Die Lösung dieser letzteren Aufgabe aber, wie sie im vorigen Paragraphen gegeben wurde (vergl. Fig. 3, S. 7), lässt sich in keiner Weise auf das bloße Ziehen von Hauptstrahlen und Abmessen von Coten zurückführen. Wir kommen also zu dem Schluss, dass die versuchte Reduction nicht möglich ist, solange man an den Euklidischen Postulaten festhält, dass sie aber möglich wird, sobald man das Postulat der neueren Geometrie für Hauptstrahlen und Hauptebene adoptirt.

So gelangt man dazu, die folgenden neuen Postulate betreffs der im Raum zu vollziehenden Operationen aufzustellen:

Es sei möglich, von einem festen Punkt (Hauptpunkt) einen Strahl nach jedem Punkt des Raumes zu ziehen, dessen Schnittpunkt mit einer festen Ebene (Hauptebene) zu bestimmen und auf ihm eine Strecke abzumessen und aufzutragen.

Oder anders ausgedrückt:

Für jeden Punkt des Raumes sei dessen auf ein gegebenes Projectionssystem bezogene Projection bestimmbar und seine Cote abmessbar und auftragbar.

Damit sind wir nun zu der darstellend-geometrischen „Methode der cotirten Projectionen“ gelangt.

Bei der praktischen Verwertung der Methode wird der Hauptpunkt oder das Projectionscentrum am bequemsten im Unendlichen in zur Hauptebene senkrechter Richtung angenommen, wodurch sich die vorbesprochenen Fundamentalconstructionen principiell nicht ändern, wohl aber erheblich vereinfachen.

Auch die *axonometrische Constructionsmethode* kann in gewissem Sinn unter denselben Gesichtspunkt untergeordnet werden.

§ 4. Die Methode der doppelten Projection.

Bei der zuletzt vorgenommenen Reduction blieb als Restbestand von Operationen im Raum 1) das Ziehen von Strahlen in einem bestimmten Strahlenbündel, 2) das Abgreifen und Auftragen

von Massen auf diesen Strahlen. Das zweite ist jedenfalls eine weniger einfache Operation als das erste. Man kann daher versuchen, die Constructionen noch weiter zu modificiren dadurch, dass man die zweite Operation in Wegfall bringt und an ihre Stelle eine zweite Auflage der ersten Operation treten lässt.

Man wird also neben dem aus Hauptstrahlenbündel und Hauptebene bestehenden *ersten Projectionssystem* noch ein zweites Hauptstrahlenbündel einführen, welches mit einer zweiten Hauptebene ein *zweites Projectionssystem* bildet. Der Einfachheit halber kann man (vergl. Fig. 5) den zweiten Hauptpunkt O' in der ersten Hauptebene P annehmen und die zweite Hauptebene P' durch den ersten Hauptpunkt O legen.

Die gegenseitige Lage der Hauptebenen und Hauptpunkte mag man sich etwa dadurch bestimmt denken, dass die gemeinschaftliche Schnittkante g der Hauptebenen (*Grundschnitt*), der von ihnen gebildete Winkel w , und in jeder Hauptebene der betreffende Hauptpunkt gegeben sei. Es ist alsdann leicht, die Entfernung OO' der zwei Hauptpunkte zu bestimmen. Fällt man

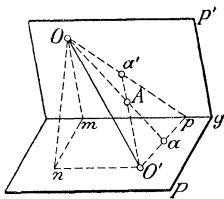


Fig. 5.

nämlich (vergl. Fig. 5) in P' von O die Senkrechte Om auf g und errichtet in P auf g im Punkt m eine Senkrechte, welche die durch O' mit g gezogene Parallelen in n schneidet, so enthält Dreieck Omn bei m den Winkel w , Dreieck OnO' ist bei n rechtwinklig; beide Dreiecke können also in wahrer Gestalt gezeichnet

werden, wodurch sich die Länge von OO' ergibt.

Es ist noch daran zu erinnern, dass gemäss den Erörterungen in § 2 für die zweite Hauptebene nicht das Schnittpunktpostulat vorauszusetzen ist. In der That erkennt man (vergl. Fig. 5), dass wenn a und a' die beiden Projectionen eines Raumpunktes A sind, die Linien Oa' und $O'a$ sich in einem Punkt p des Grundschnitts g schneiden müssen. Ist also in der ersten Hauptebene die Projection a vermöge des Schnittpunktpostulates bestimmt, so findet sich die zweite Projection a' dadurch, dass man $O'a$ bis zum Schnitt p mit g zieht, dann Op zieht, welche von $O'A$ in a' geschnitten wird.

Die bei der Methode der cotirten Projectionen erforderliche Operation des Abmessens und Auftragens von Coten im Raum kann nunmehr auf folgende Weise umgangen werden:

1) Ist (vergl. Fig. 5) die Länge der Cote aA abzumessen, so bestimmt man auch noch die zweite Projection a' des Punktes A auf die oben angegebene Weise. Hierauf kann man (mittelst der abgemessenen Strecke pO und der ein für allemal bestimmten $O'O$) das Dreieck $O'pO$ in die erste Hauptebene umklappen, in der Umklappung Punkt a' eintragen, $O'a'$ und Oa mit Schnittpunkt A einzeichnen und die umgeklappte Cotenlänge aA abmessen.

2) Ist umgekehrt der Raumpunkt A mittelst Auftragens der Cote aA auf dem Hauptstrahl Oa zu bestimmen, so zieht man $O'a$ bis p und pO . Hierauf klappt man Dreieck $O'pO$ in die erste Hauptebene um, zieht in der Umklappung Oa , trägt auf ihr aA gleich der gegebenen Cote auf und zieht $O'A$ bis a' . Ueberträgt man dann Punkt a' aus der Umklappung auf die Linie Op in der zweiten Hauptebene, so bestimmt sich der Punkt A im Raum als Schnittpunkt der zwei Hauptstrahlen Oa und $O'a'$.

Man bemerke, dass die Functionen der zwei Hauptebenen nicht gleichwertig sind. Während die mit dem Schnittpunktpostulat behaftete erste Hauptebene als die eigentliche Constructionsebene fungirt, beschränken sich die Operationen in der zweiten Hauptebene lediglich auf das Ziehen von Strahlen durch O und das Abmessen, bezw. Auftragen von Strecken (Coten) auf ihnen. Es erscheinen also die vorher im Raum vollzogenen Abmessungsoperationen nunmehr in die zweite Hauptebene verlegt. — Übrigens können die Rollen der zwei Hauptebenen selbstverständlich beliebig getauscht werden.

Wir sind mit diesem Verfahren zu der darstellend-geometrischen „*Methode der doppelten Projection*“ gelangt.

Bei der praktischen Verwertung der Methode können zum Zweck der Vereinfachung der Constructionen die zwei Hauptpunkte im Unendlichen in zum Grundschnitt senkrechter Richtung angenommen und kann der Winkel w der zwei Hauptebenen gleich 90° gewählt werden. Man hat dann die „*Grund- und Aufriss-Methode*“ von *Monge*.

§ 5. Die Auffassungsweise der Darstellenden Geometrie.

Es ist schliesslich auf einen wesentlichen Unterschied zwischen unserer seitherigen Betrachtungsweise und der gewöhnlichen Anschauungsweise der Darstellenden Geometrie aufmerksam zu machen, wodurch die an das Schnittpunktpostulat sich knüpfenden Schwierigkeiten aufgehoben werden.

Die Euklidische Geometrie geht von der Vorstellung aus, dass die Punkte *im Raum* in ihrer gegenseitigen Lage unmittelbar gegeben seien, und schliesst ihre ideellen Constructionen an die Raumpunkte direkt an. Indem wir von dieser Auffassung unseren Ausgang nahmen, mussten wir bei unseren Versuchen, jene ideellen Constructionen durch Uebertragung auf eine einzige Constructionsebene zu realisiren, die im Raum gegebenen Punkte erst in Beziehung zur Constructionsebene setzen dadurch, dass wir ihre Projectionen bestimmten.

Nun können wir aber diese Vorstellungsfolge auch umkehren, indem wir uns nicht die Punkte im Raum, sondern ihre Projectionen und Coten (bezw. doppelten Projectionen) ursprünglich gegeben denken, so dass also die Punkte im Raum nicht unmittelbar, sondern mittelbar durch jene Bestimmungselemente gegeben erscheinen. An Stelle der an die Raumpunkte anknüpfenden ideellen Forderung der Bestimmung der Projectionen und Coten tritt dann die ideelle Aufgabe, umgekehrt aus den gegebenen Projectionen und Coten (bezw. doppelten Projectionen) die Lage der Punkte im Raum zu ermitteln, bezw. sich in der inneren Vorstellung zu vergegenwärtigen.

Dies ist nun in der That die gewöhnliche Auffassungsweise der *Darstellenden Geometrie*. Durch sie kommen die Bedenken, die sich gegen die Annahme des Schnittpunktpostulates für die Constructionsebene erheben lassen, in Wegfall. Denn die Frage, wie denn nun eigentlich die Projection eines im Raum gegebenen Punktes praktisch bestimmt werden soll, wird dadurch gegenstandslos.

Berlin, den 5. August 1892.

Historische Studie über die organische Erzeugung ebener Curven von den ältesten Zeiten bis zum Ende des achtzehnten Jahrhunderts.

Von A. v. Braunmühl in München.

Wenn ich es hier versuche eine kurze Skizze der Bestrebungen zu entwerfen, die seit Entstehung unserer geometrischen Wissenschaften darauf gerichtet waren, complicirtere Linien als die Gerade und den Kreis auf organischem Wege zu erzeugen, so kann es weniger meine Absicht sein, Vollständigkeit in der Aufzählung der hiezu erfundenen Instrumente zu erreichen oder gar eine eingehende Beschreibung und Kritik derselben von mechanischem Standpunkte aus zu geben, als vielmehr diejenigen Momente in den einzelnen Entwicklungsepochen der Geometrie klarzulegen, aus denen das Bedürfnis nach solchen Mitteln hervorging. Dabei habe ich meine Untersuchung bis gegen Ende des 18. Jahrhunderts fortgeführt, weil bis dahin alle Vorbereitungen getroffen waren, um eine systematische Begründung der geometrischen Bewegungslehre zu ermöglichen, die man heute in dem Namen Phoronomie zusammenfasst.

Unsere Kenntnis von den geometrischen Bestrebungen der Culturvölker beginnt ungefähr im siebenten Jahrhundert vor Chr. mit dem Auftreten des griechischen Weisen *Thales*, dem Gründer der jonischen Schule. Allein die Kenntnisse dieser Schule, soweit sie sich aus den spärlichen Nachrichten ersehen lassen, die auf uns gekommen sind, müssen noch als sehr primitiv bezeichnet werden, und fanden ihre weitere Ausbildung erst in der italischen Schule, deren Gründer *Pythagoras* war (569—468).

Obgleich uns nur wenige Namen von hervorragenden Männern aus jener Zeit bekannt sind, die zur Förderung unserer Wissenschaft beitrugen, so tritt doch der Charakter der letzteren bereits mit grosser Deutlichkeit hervor, denn die mathematischen Kräfte centralisirten sich damals bereits auf die Lösung dreier Probleme, die auch in der Folge die hervorragendsten Geister des ganzen Altertums beschäftigten, und die Erweckung und Ausbreitung der verschiedensten Gedanken im Gefolge hatten. Es sind dies das sogenannte delische Problem, nämlich die Aufgabe einen Würfel zu construiren, der doppelt so gross ist als ein gegebener, dann das Problem, einen Winkel in drei oder mehr gleiche Teile zu teilen und endlich die Quadratur des Zirkels.

Die intensive Beschäftigung mit diesen drei Problemen, welche allen Versuchen einer Auflösung mittelst Zirkel und Lineal beharrlichen Widerstand entgegensetzten, war es, die den scharfsinnigen Mathematikern des Altertumes den Gedanken an die Erzeugung complicirterer Curven nahelegte, mit deren Hilfe die Lösung dieser Aufgaben gelingen sollte und auch mehr oder weniger gelang. Das erste Problem, dessen sagenhaften Ursprung*) wir übergehen, wurde, nachdem es *Hippokrates* von Chios (um 450) auf die Aufgabe zurückgeführt hatte: zu zwei gegebenen Strecken zwei mittlere Proportionale zu construiren, von *Plato* mittelst eines Instrumentes gelöst, das jedoch nur ein unsicheres Herausprobiren der gesuchten Lösung ermöglichte. Diese von dem Commentator *Eutokius* von Askalon**) stammende Nachricht (der auch *Platos* Instrument abbildet) gibt wohl zum erstenmal Kunde von einem Instrumente zur Lösung geometrischer Aufgaben und verdient deshalb hier wenigstens erwähnt zu werden, obgleich dasselbe nicht zur Erzeugung einer Curve verwendet wurde.

Mit dieser empirischen Lösung nicht zufrieden, suchten *Plato's* Schüler nach neuen Mitteln, um die schwierige Aufgabe zu bewältigen und fanden sie auch bald in den Kegelschnitten, deren Entdeckung wahrscheinlich dem *Menächmus* oder dem fast gleich-

*) Vgl. M. Cantor: Euklid u. sein Jahrhundert. Zeitschr. f. Math. u. Phys. Jhrg. 12. Suppl., pg. 18.

***) Eutocii Ascalonitae in Archimedis libros de sphaera et cylindro atque aëros quosdam Commentaria. Basileae 1542. pg. 15.

zeitigen *Aristaeus*, (im 5. Jahrhundert) der 5 Bücher über die Kegelschnitte schrieb, zuzuerkennen ist. Menächmus löste das delische Problem auf zwei Arten, indem er einmal zwei Parabeln und dann eine Parabel und eine Hyperbel verwendete, und da diese Methoden nur dann praktisch angewendet werden konnten, wenn Instrumente erfunden waren, welche eine mechanische Erzeugung dieser Curven gestatteten, so werden wir kaum fehlgreifen, wenn wir die Erfindung der ersten Kegelschnittzeichner bereits in die Zeit des Menächmus verweisen. In der That bemerkt auch Eratosthenes an einer Stelle, dass Menächmus zur Construction seiner Curven Instrumente gebraucht habe, über deren Beschaffenheit er aber leider nichts verrät*).

Zur Behandlung des zweiten Problems, der sogenannten Trisection des Winkels, wurde, wie Proklus in seinem Commentar zum Euklid angibt, von *Hippias*, einem Zeitgenossen des Sokrates, eine transcendente Curve erfunden, die auch *Dinostratus*, der Bruder des Menächmus, sowohl auf dieses Problem, als auch zur Quadratur des Kreises anwandte. Von letzterer Verwendung erhielt sie den Namen Quadratrix des Dinostratus. Dass die Alten auch diese neue Curve, wie es wahrscheinlich ist, mechanisch erzeugten, darüber findet sich allerdings in der Literatur keine Spur, dagegen wurde man durch die Neuerfindung dieser und ähnlicher krummer Linien zu der bekannten Einteilung derselben in Classen**) geführt, indem man die Gerade und den Kreis als „ebene Örter“, die Kegelschnitte als „körperliche Örter“ und die übrigen Curven als „lineare Örter“ bezeichnete, welche letztere man auch nach ihrer Erzeugung „mechanische“ nannte. Diese Einteilung der Örter findet sich vorzugsweise auch in jenen Schriften wieder, welche zur Zeit der Glanzperiode der griechischen Mathematik verfasst wurden, die mit der Gründung der Alexandrinischen Schule durch Ptolemäus Lagi begann und die Heroen

*) Eutokius I. c. p. 22. führt einen Brief des Eratosthenes an den König Ptolemaeus von Aegypten an, in welchem jener sagt: „Accidit enim omnibus his (Boarbeitern des Problems) descriptio demonstrativa, verum non posse, quae invenerunt, manu efficere, et in usum deducere, praeterquam in brevitate Menaechni: et haec difficulter.“

**) Vgl. z. B. Newton: *Arithmetica universalis* Lugduni 1732 pg. 212, und Chasles, *Geschichte der Geometrie d. v. Sohneke*, Halle 1839. pg. 2.

der Mathematik des Altertumes, Euklid, Archimedes, Apollonius und andere hervorbrachte. Aber leider haben wir gerade aus dieser an geistiger Arbeit so reichen Epoche nur einen Bericht über eine instrumentale Erzeugung einer Curve überkommen, nämlich der sogenannten Conchoide oder Muschellinie des *Nikomedes*. Dieser Mathematiker, der im 2. Jahrhundert vor Christus lebte, nahm das delische Problem abermals in Angriff und gab eine Construction desselben an, die uns Pappus^{*)} und Eutokius überliefert haben, und welche die Lösung der Aufgabe erforderte, durch einen festen Punkt eine Gerade so zu legen, dass das von ihr durch zwei feste Linien abgeschnittene Stück eine gegebene Länge hat. Hiezu durfte man nur den Ort bestimmen, den der eine Endpunkt jenes constanten Stückes beschreibt, wenn der andere die eine der beiden festen Linien durchläuft, während die Gerade sich um den festen Punkt dreht. Die durch den beweglichen Endpunkt erzeugte Curve war jene Conchoide. Nikomedes hat zu ihrer Construction ein Instrument erfunden, dessen Zusammensetzung aus der nebenstehenden Fig. 1. ohne weiteres ersichtlich sein wird, die wir aus des Eutokius Commentar pag. 24 entnehmen^{**}). Welch vielfache Verwendung diese leicht und sicher zu erzeugende Curve später noch fand, werden wir weiter unten sehen, und bemerken hier nur, dass sie Nikomedes auch zur Lösung der Trisection des Winkels verwendete, eine Lösung, die zwar nicht erhalten ist, aber leicht reconstruirt werden kann^{***}).

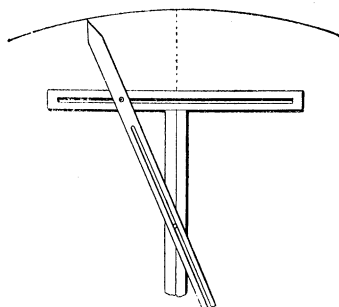


Fig. 1.

*) Pappi Alexandrini collectiones mathematicae. Ed. Commandinus. Venetiis 1588. lib. 3. pg. 5, ferner lib. IV. pg. 55. — Eutokius l. c. pg. 24.

***) Das von Nikomedes verfasste, leider verlorene Buch heisst *περὶ κογχιδῶν γραμμῶν*. M. Curtze hat in seinen *Reliquiae Copernicanae*, Zeitschr. f. Math. u. Phys. Bd. 29. die verschiedenen Stellen gesammelt, welche sich über die Conchoiden in den uns überlieferten Schriften der Alten finden.

****) Vgl. Cantor: Vorlesungen über Geschichte d. Mathematik, Leipzig 1880, I. pg. 305.

Im Anschluss hieran erwähnen wir noch die Erfindung der Cissoide oder Epheulinie durch *Diokles*, der ebenfalls im 2. Jahrhundert vor Christus lebte und mittelst dieser Curve das delische Problem löste. Doch wissen wir nicht, ob er eine mechanische Erzeugung der Curve gekannt hat, die erste uns überlieferte rührt von Newton her, worauf wir noch näher zu sprechen kommen.

Verfolgen wir die spärlichen Nachrichten, die von den späteren geometrischen Arbeiten der Griechen auf uns gekommen sind, so finden wir erst um die Mitte des 5. Jahrhunderts nach Chr. wieder eine interessante Notiz in den Commentaren, die *Proklus* (410—485), Vorsteher der platonischen Schule in Athen, zu Euklids Werken geschrieben. Dieser gibt nämlich die mechanische Erzeugung der Ellipse durch die Bewegung eines Punktes einer Geraden an, deren Endpunkte auf zwei Schenkeln eines Winkels hingeleiten. *) Bei der praktischen Verwendung, die die Griechen ihren geometrischen Erfindungen gaben, ist es wohl kaum zu bezweifeln, dass des Proklus Gedanke auch mechanisch ausgeführt wurde. Somit müssen wir ihm die Erfindung jenes Principes für Kegelschnittzeichner zuschreiben, auf welchem bis in die neueste Zeit herein unzählige Instrumente beruhen, die sich nur durch die technische Ausführung unterscheiden.

An Proklus' Ellipsenerzeugung schliesst sich die Erfindung eines Instrumentes zur mechanischen Beschreibung der Parabel an, das von *Isidorus von Milet*, einem Philosophen derselben Schule, herrührt und von seinem Erfinder ebenfalls zur Lösung der delischen Aufgabe verwendet wurde. Der schon wiederholt erwähnte Eutokius, ein Schüler des Isidorus, der diese Nachricht überliefert hat, gibt nur an, dass das betreffende Instrument die Gestalt des griechischen λ besessen habe **).

Das ist die geringe Ausbeute, die wir für unseren Zweck aus dem Vermächtnis der griechischen Mathematiker auffinden konnten. Mit der Verbrennung jener berühmten Bibliothek in Alexandria, der Metropole griechischer Bildung, durch den ara-

*) Procli Diadochi in primum Euclidis elementorum librum Commentarii Ed. Friedlein. Leipz. 1873 pg. 106.

**) Dies erwähnt Eutokius bei Gelegenheit der Ausführung der Construction des Menächmus für die Würfelverdoppelung l. c. pg. 21.

bischen Chalifen Omar im Jahre 640 nach Chr. erlag die Cultur des Altertums dem Verhängnis, um nach kurzer Zeit gerade wieder in dem Volke zu neuer Blüte zu gelangen, von dessen Barbarei sie vernichtet worden war. Denn kaum hundert Jahre nach der Gründung des arabischen Weltreiches finden wir die Wissenschaften unter den Abbasiden in hohem Aufschwung, und namentlich war es die Mathematik, die die Araber, theils von den Indern, theils von den Griechen überkommen, wenn auch mit wenig selbständigen Ideen bereichert, doch mit grossem Fleisse und Sachkenntnis der Nachwelt überliefert haben.

Auch in der arabischen Literatur treten wieder die drei berühmten Probleme der Griechen in den Vordergrund, und es sind uns verschiedene Lösungen derselben durch arabische Mathematiker aus dem 11. Jahrhundert nach Chr. bekannt; dazu kommt aber noch, dass die Araber die Lösung der gesamten Gleichungen dritten und einiger vierten Grades mittelst der Kegelschnitte gaben, Untersuchungen, die uns erst in den letzten Decennien namentlich durch Franz Wöpcke bekannt geworden sind. Was die instrumentale Erzeugung der Curven anlangt, so ist uns aus der arabischen Literatur zunächst die sogenannte Gärtner-Construction der Ellipse mittelst einer in den beiden Brennpunkten befestigten und durch den beschreibenden Stift gespannten Schnur bekannt, die von dem jüngsten der drei Brüder *Mohammed*, *Ahmed* und *Alhasan*, den Söhnen des Musa Jbn Schakir, eines einflussreichen Mannes am Hofe des Chalifen Almamun (regierte 813 bis 833) stammt.*)

Ausserdem hat uns Wöpcke, der ausgezeichnete, leider zu früh verstorbene Kenner der mathematischen Literatur der Araber mit drei Abhandlungen über einen allgemeinen Kegelschnittzirkel (*compas parfait*) bekannt gemacht, die bezüglich aus dem 10., 11., und 12. Jahrhundert von den Arabern *Ahmed Jbn Mohammed Jbn Abdel-Djelöl es-Sidjzi*, *Abou Sehl Ouidjen Jbn Ouestem el-Kouhi* und *Mohammed Jbn Hocëin* stammen.**)

*) Vgl. M. Cantor. Vorl. ü. G. d. M. Bd. I. pg. 629 und Woepecke, Journal asiatique 1855. pg. 223.

**) Trois traités Arabes sur le compas parfait, publiés et traduits par Fr. Woepecke. Notices et extraits des manuscrits de la Bibliothèque national et

Manuscript voranstehenden Abhandlung des letzten der drei Mathematiker findet sich die Abbildung des Instrumentes, die wir in Fig. 2 wiedergeben. Dieses Instrument verdankt seine Entstehung der von den Arabern schon frühzeitig gemachten Beobachtung, dass die Linien, welche der Endpunkt des Schattens eines

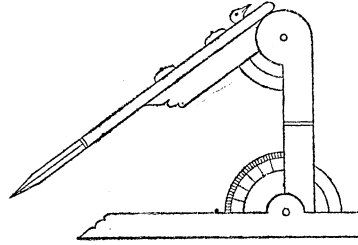


Fig. 2.

Gnomons beschreibt, Kegelschnitte sind (vgl. l. c. pag. 17.) Das Instrument gibt also direct die Curve als Schnitt eines Kegels mit einer Ebene; es besteht aus einer (in unserer Figur senkrechten) Axe, die unter einem beliebigen Winkel gegen die Zeichnungsebene eingestellt werden kann; auf dieser Axe sitzt eine um dieselbe drehbare Hülse auf, die einen Zirkelkopf trägt, um welchen ein Zirkelfuss gedreht werden kann, der sich unter beliebigem Winkel gegen die Axe einstellen lässt und ein Röhrchen trägt, in welchem ein langer Zeichnungsstift so verschiebbar ist, dass derselbe während der Drehung des Instrumentes im Contacte mit der Zeichenebene erhalten werden kann. Während der älteste der drei Autoren, Ahmed Jbn Mohammed, das Instrument nur ganz kurz beschreibt, behandeln es die beiden anderen eingehend und bestimmen in übersichtlicher und klarer Darstellung die verschiedenen Stellungen, die die Teile des Instrumentes haben müssen, um Gerade, Kreis, Parabel, Ellipse oder Hyperbel zu verzeichnen.

Mohammed Jbn el Hocoïn teilt in einer Einleitung zu seiner Schrift mit, dass die Alten (ob er darunter die Griechen oder Vorfahren eigenen Stammes versteht, lässt sich leider nicht ent-

autres Bibliothèques. 1874. t. 22. Das hier veröffentlichte Manuscript befindet sich in der Bibliothek zu Leyden. Nr. 1076. Auf diese wichtige Veröffentlichung wurde ich durch eine gütige Mitteilung des Herrn M. Cantor aufmerksam gemacht. — Woepcke gibt als Einleitung zu seiner Übersetzung eine Ableitung der Formeln, die zwischen dem Öffnungswinkel des Kegels α , der Neigung seiner Axe β gegen die Schnittebene, der grossen Axe $2a$ und dem Parameter $2p$ des Kegelschnittes bestehen, mittelst des Dandelin'schen Satzes. Diesen Satz benützte in neuester Zeit Herr Hildebrandt zur Construction eines Kegelschnittzeichners; vgl. E. Fischer. Dingler polytechn. Journal Bd. 282. pg. 241.

scheiden) ein allgemeines Instrument zum Zeichnen der Kegelschnitte erdacht hätten, und dass er in einem Werke des berühmten Abou'r Reihân el-Biroumi die Notiz gefunden habe, dass Abou Sehl Ouidjen ein solches Instrument angab, dass er aber das Werk des letzteren, worin es mitgeteilt sei, nicht habe auffinden können. Deshalb habe er sich selbst an die Erfindung eines solchen Apparates gemacht, die ihm auch mit Beihilfe seines Herrn des Scheik Abou'l Ma'ali Mouça Ben Jounos gelungen sei. Das fragliche Werk des Abou Sehl ist nun aber gerade unsere zweite Abhandlung, die also doch nicht so ganz unauffindbar gewesen zu sein scheint! Dieselbe übertrifft an Klarheit und Reichhaltigkeit die des Hocein entschieden, zumal da Anweisungen gegeben werden, wie mittelst des Instrumentes Kegelschnitte zu zeichnen sind, die gegebenen Bedingungen genügen.

Das Bedürfnis nach solchen Instrumenten war bei den Arabern teils den Anforderungen der Kunst (vgl. l. c. p. 21), teils denen der Wissenschaft entsprungen. So führt Woepeke in seinem Werke *L'Algèbre d'Omar* 1851. pag. 93 einen Mechanismus an, dessen sich der Mathematiker *Jbn Ahaïtham* zur Construction eines Archimedischen Problems bediente, das auf die Gleichung $x^3 - cx^2 + a^2b = 0$ führt und in Ahaïthams Auffassung die wenn auch unbewusste Construction einer Fusspunktencurve der Parabel verlangt. Ebenso haben die Araber, nach Woepeke, die Kreisconchoide zu den Problemen dritten Grades benützt, deren Kenntniss sie wahrscheinlich schon von den Griechen überkamen.*)

*) Vgl. hierüber auch M. Curtze: *Reliquiae Copernicanae* in der Zeitschr. f. M. u. Ph. Bd. 19. pg. 449 und 450 und in der von ihm besorgten Herausgabe des „*Liber trium fratrum*“, *Nova Acta Acad. Caes. Leopold. Car. germ. naturae curiosorum.* t. 49. 1887 pg. 155. Hier wird die Trisection des Winkels mittelst der von Woepeke als „*géométrie mobile*“ bezeichneten Methode geleistet. Woepeke sagt hierüber: „Le procédé de la géométrie mobile consiste à faire pivoter autour du point D une règle, divisée en parties aliquotes du rayon, jusqu'à ce que le nombre des parties interceptées entre la circonférence de cercle et le prolongement de AB soit égal au nombre de ces parties qui correspond à la longueur du rayon.“ Die Zeichnung des beschriebenen Ortes würde die Kreisconchoide liefern. Dasselbe Verfahren findet sich dann wieder bei Campanus in seiner Uebersetzung des Euklid und bei Jordanus Nemorarius im 13. Jahrhundert, der in seinem „*Liber de triangulis*“ die Construction der drei Brüder wörtlich reproducirt.

Im Abendland, wo nur allmählig durch gelehrte Mönche die Wissenschaft der Araber in den Klöstern Eingang gefunden hatte, ohne jedoch in breitere Schichten des Volkes zu dringen, lag die Geometrie noch lange Zeit tief darnieder, bis endlich vom Ende des 15. Jahrhunderts ab, teils aus den Reihen der Praktiker*) Männer wie *Lionardo da Vinci* und *Albrecht Dürer* auftraten, die die geometrischen Wissenschaften förderten, teils Übersetzer und Commentatoren, wie *Commandinus* und der Grieche *Maurolykus* die Geometrie der Griechen wieder aus ihrem tausendjährigen Schlafe erweckten, so dass die geometrische Forschung anfangs zwar langsame Fortschritte machte, bald aber an Allgemeinheit die griechischen Vorbilder übertraf.

Fassen wir zunächst die beiden eben genannten grossen Künstler ins Auge, so tritt uns *Lionardo da Vinci***) (1452 bis 1519) als der Erfinder des bekannten Ovalwerkes oder der Ellipsendrehbank entgegen, die in wenig veränderter Form noch heute im Gebrauch ist; *Albrecht Dürer* aber gibt in seiner „Underweysung der messung mit dem zirkel vñ richtscheyt“, Nürnberg 1525, ausser verschiedenen Methoden die Kegelschnitte punktweise zu construiren, zwei Instrumente zur Zeichnung von Curven an. Das eine (Fig. 3) dient zur Zeichnung einer von ihm „muschellini“ genannten Curve 4. Ordnung, „die in mancherley sachen zu brauchenn ist“. Das in der Figur sichtbare Rädchen wird in der horizontal liegenden Rinne, die in 32 Teile geteilt ist, verschoben, während der um die Axe des Rädchens drehbare Zeiger längs der in 32 ebenso grosse Teile getheilten verticalen geschlitzten Schiene

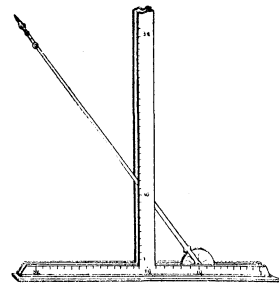


Fig. 3.

*) Die deutschen Bauhütten des Mittelalters haben erwiesenermassen nach bestimmten geometrischen Normen gearbeitet; S. Günther: Zur Geschichte der Math. im Mittelalter. Ztschr. f. M. u. Ph. Bd. 20. Hist. Abtl. pg. 2.

**) Dass Lionardo das Ovalwerk erfand, ergibt sich aus einer Bemerkung in der Schrift Lomazzo's: *Idea del tempio della pittura*. 1590 pg. 17, woselbst der Verfasser mit Berufung auf Melzi, einen Schüler Lionardo's, angibt, dass derselbe das Ovalwerk construirt habe: „Oltre di ciò egli ritrovò l'arte d'intornir gli ovali che è cosa degna di molta maraviglia.“

jedesmal auf dieselbe Nummer eingestellt wird, auf welcher der Mittelpunkt des Rädchens steht; hiebei markirt die Spitze des Zeigers die Punkte der Curve. Das zweite Instrument ist verfertigt „damit man an vil end /hoch/ nyder/ zur seythen/ für sich oder hynder sich/ eyne schlangenlini deuten vñ reyssen mag.“ Die in Fig. 4. ersichtlichen Stangen können an den getheilten Rädern (deren Radien sich wie $4 : 2\sqrt{2} : \sqrt{2}$ verhalten) unter beliebigen Winkeln eingestellt und ausserdem verlängert oder verkürzt werden und lassen sich um die Axen der Räder nach allen Richtungen bewegen. Man erkennt, dass man mit diesem Instrumente je nach Stellung, Bewegung und Anzahl der Stangen die verschiedensten cyklischen Curven erzeugen kann, als deren Erfinder also Dürer gelten muss.*) So erhält man z. B. wenn die beiden mittleren Stangen festgestellt, und nur die erste und letzte beweglich gelassen werden, die Punkte einer gewöhnlichen Epicycloide mit einer Schleife, sobald man die beiden Arme um gleich viele auf den Rädchen abzulesende Grade in gleichem Sinne dreht. Diese Epicycloide zeichnet Dürer und nennt sie eine „spinnenlini“; ihre Erzeugung durch zwei aufeinander rollende Kreise von gleichen Radien kennt er jedoch noch nicht.

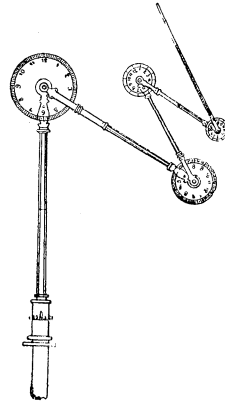


Fig. 4.

Während Lionardo und Dürer das praktische Interesse im Auge hatten, tritt uns in dem Venetianer *Francesco Barozzi* (Barocius), dem Übersetzer und Commentator des Proklus und Heron ein Mathematiker entgegen, der in seinem 1586 verfassten Buche über Asymptoten**) zwei Apparate

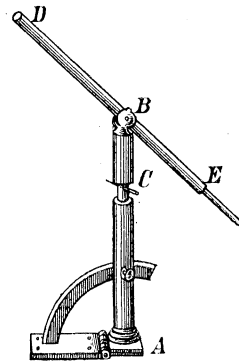


Fig. 5.

*) S. Günther: Albrecht Dürer, einer der Begründer der modernen Curvenlehre. Bibliotheca mathematica v. Eneström. 1886. pg. 139.

**) Bezüglich der genaueren Citate verweise ich auf meine Notiz über die ersten Kegelschnittzirkel. Zeitschr. f. M. und Phys. B. 35. Hist. Abtl.

zur Construction von Kegelschnitten angibt, die auf demselben Gedanken beruhen, wie das von uns früher angeführte der Araber. Barocius, der sein Instrument wahrscheinlich unabhängig von seinen arabischen Vorläufern 1566 erfand, gibt daselbst auch noch die Zeichnung und Beschreibung eines von einem Zeitgenossen *Giulio Thieme* (†1588) erfundenen Zirkels, dessen mangelhafte Abbildung wir aber hier nicht wiedergeben wollen. Das in Fig. 5. abgebildete Instrument ist dem der Araber so ähnlich, dass es ohne weitere Erklärung verständlich sein dürfte.

Ein ähnliches Instrument zum Zeichnen von Ellipsen, wahrscheinlich für Handwerker bestimmt, findet sich in dem 1578 erschienenen *Theatrum machinarum et instrumentorum* von Bessoni, ebenso schlecht gezeichnet als erklärt, woselbst auch ein Zirkel zum Beschreiben von Spiralen angegeben ist. Doch halten wir uns hierbei nicht länger auf und erwähnen, der Zeit etwas vorgehend, den Kegelschnittzirkel des Astronomen *Christoph Scheiner* (1573—1650), der auf dem gleichen Principe wie die Instrumente des Barozzi und der Araber beruht, aber eine etwas bessere Ausführung zeigt. Scheiner construirte ihn speciell zum Zeichnen der Schattencurven. Diese Curven, bereits den Arabern als Kegelschnitte bekannt, scheinen im Mittelalter erst durch den oben erwähnten Maurolykus*) wieder als solche erkannt worden zu sein, als derselbe einen Tractat über die Sonnenuhren schrieb, die damals die Mathematiker vielfach beschäftigten. Dieser Zirkel besteht (Fig. 6.) aus einer Axe AB, die unter beliebigem Winkel

pag. 161, die eine Biographie des im Text erwähnten Giulio Thieme veranlasste: G. Thieme, uomo d'arme e di scienze del secolo XVI. Venezia da Fedele Lampertico 1891. Interessante Notizen über Barocius finden sich in *Libri: Histoire de sciences mathématiques*. t. 4. p. 85—87. — Eine sehr schöne Zusammenstellung der neueren Apparate zum Zeichnen der Kegelschnitte findet man in: E. Fischer: Beiträge zur Geschichte der Zeicheninstrumente. *Dinglers polytechnisches Journal*. B. 188. 217. 261.

*) Die Stelle findet sich in den 1553 und 1578 erschienenen „*De lineis horariis libri tres*.“ Ausg. 1575. pag. 81—82. Von da ab werden in der Literatur über Gnomonik die Stundenlinien stets als Kegelschnitte construiert, so z. B. in dem zu Rom 1562 erschienenen Werkchen des Commandinus: „*De horologiorum descriptione*“ pag. 56, sowie in des berühmten Christoph Clavius: „*Fabrica et usus instrumenti ad horologiorum descriptionem*“. Romae 1586. pag. 46.

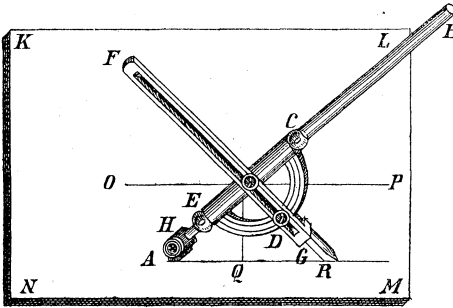


Fig. 6.

des Schlitzes um die Schraube D aufwärts und abwärts geschoben werden kann, trägt den Zeichenstift und wird unter einem bestimmten Winkel gegen die Axe eingestellt, was in der Weise geschehen kann, dass, während man Halbkreis und Schiene DF um die Axe dreht, der Stift beständig die Zeichnungsebene berührt. Scheiner's Schüler, Georg Schönberger, der das Instrument in seinen „Exegeses fundamentorum gnomonicorum“. In-golstadt 1614, beschreibt, gibt genau die Stellungen an, die Axe und Stift haben müssen, damit man die drei verschiedenen Gattungen von Kegelschnitten erhalte. Zur Construction von Sonnen-

gegen die Zeichnungsebene festgestellt werden kann und die ganze Vorrichtung trägt. Der graduirte Halbkreis CDE ist in einer Hülse um die Axe leicht drehbar, und kann in beliebiger Höhe auf derselben durch die Hohlkugeln C und E festgestellt werden. Die Schiene FG, die längs

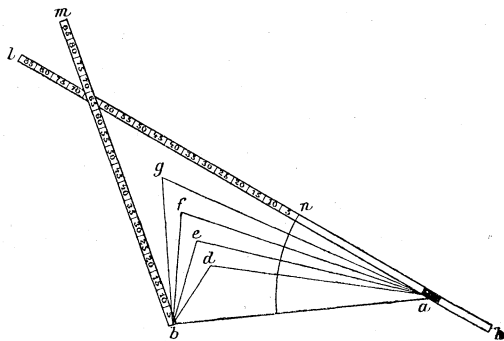


Fig. 7.

uhren, für die es bestimmt war, mag das Instrument wohl brauchbar gewesen sein, obwohl es kaum sehr feine Zeichnungen geliefert haben wird.

Zu diesen Kegelschnittzeichnern gesellt sich noch ein Instrument, das die Hyperbel aus ihren Brennpunkten und der constanten Differenz der Radienvectoren zu erzeugen lehrt und sich in einem hinterlassenen Manuscript des berühmten Italiensers *Guido Ubaldo del Monte* (1545—1607), einem Schüler des Commandinus und

Zeitgenossen Galileis findet.*) In Fig. 7 sind a und b die beiden Brennpunkte. Die Schiene bm wird in b auf der Zeichenebene festgesteckt, in a ist ein Schieber mit einem Stift, durch den die Schiene kl ebenfalls befestigt und zugleich je nach der Axenlänge an der zu zeichnenden Hyperbel verlängert und verkürzt werden kann. Ferner sind auf den gleichen Längen bm und ln gleiche Masstäbe aufgetragen, so dass man die beiden Lineale durch Drehung um ihre festen Punkte in den Punkten zur Kreuzung bringen kann, die mit gleichen Nummern versehen sind. Diese Kreuzungspunkte sind dann die Punkte der Hyperbel. Es scheint dieses Instrument das älteste zu sein, das zu einer wenigstens punktweisen Erzeugung der Hyperbel aus einer ihrer Eigenschaften dient. Anschliessend an die Mitteilung desselben gibt Ubaldo auch die auf demselben Principe beruhende continuirliche Beschreibung der Hyperbel durch Fäden, die der Gärtnerconstruction der Ellipse durch Alhasan entspricht.

Wir haben eingangs unserer Abhandlung gesehen, dass die Griechen die Curven in drei Classen einteilten: die ebenen, die körperlichen und die linearen oder mechanischen Örter. Diese Unterscheidung behauptete sich bis zum Erscheinen der Geometrie von *René Descartes* (1596—1640) im Jahre 1637. Dieser grosse Philosoph und Mathematiker, der in jenem bescheidenen Werkchen die Grundlage unserer analytischen Geometrie schuf**), unterzieht jene Einteilung im 2. Buche desselben einer eingehenden Analyse und kommt zu dem Schlusse, dass dieselbe keineswegs berechtigt sei, da die Kegelschnitte sowohl als die höheren Curven ebensogut als ebene Örter aufzufassen seien, wie Gerade und Kreis, indem sie wie diese durch Bewegung eines Punktes in der Ebene erzeugt werden können, und jegliche Bewegung, die durch ein Instrument hervorgebracht werden kann, in der geometrischen Forschung in gleicher Weise berechtigt sei. Auch sagt er sehr treffend, dass die leichtere oder schwierigere Ausführung eines

*) Libri: Histoire des sc. math. en Italie. t. 4. pag. 380. Note VII.

**) Geometria a Renato Des Cartes anno 1637 gallice edita. Editio Franc. Schooten. Amstelodami 1659. pag. 17—23. Bezüglich der Vorläufer Descartes' in seiner Coordinatenmethode vgl. M. Curtze: Die mathem. Schriften des Nicole Oresme, Zeitschr. f. M. u. Ph. B. XIII Suppl. p. 68-92.

Instrumentes viel eher den Gebrauch desselben aus der Mechanik als aus der Geometrie verbannen müsse, da es ja bei letzterer nur auf die Exactheit des Gedankens (*ratiocinatio*) ankomme, die bei jeder Erzeugung von Curven gleich vollständig sein könne (*aeque perfecta esse potest*). Dagegen will er nicht ganz consequent die von Leibniz als transcendent bezeichneten Curven, wie die Spirale, die Quadratrix und andere, von der Geometrie ausgeschlossen wissen. An diese Gedanken anschliessend gibt er als Beispiel eine Erzeugung höherer algebraischer Curven an, die man durch ein in Fig. 8. abgebildetes Instrument erreicht, das nach seiner Ansicht ebensogut zu verwenden ist, als ein Zirkel. Dasselbe besteht Fig. 8. aus einem festzuhaltenden Lineale YZ ; um Punkt Y ist eine zweite Schiene YX drehbar, die in B ein senkrecht zu ihr be-

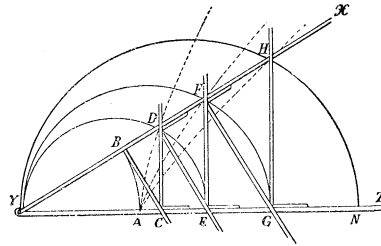


Fig. 8.

festigtes Lineal BC trägt, während die übrigen in beliebiger Zahl vorhandenen Winkel-Lineale CD , DE etc. sich bei Oeffnung des Winkels XYZ in leicht ersichtlicher Weise längs der Schienen XY und YZ verschieben, wobei Punkt B einen Kreis, die Punkte D , E , F etc. aber complicirtere Curven beschreiben. Hieran anschliessend zeigt er an einem einfacheren Beispiele (Erzeugung einer Hyperbel aus ihren Asymptoten und einer Axe), wie man eine solche durch beliebige Bewegung erzeugte Curve mit Beziehung auf ein festes Coordinatensystem durch eine Gleichung zwischen zwei Veränderlichen darstellen kann, und hiedurch eine sachgemässere Einteilung der Curven nach dem Grade ihrer Gleichung erhält. Doch verfolgen wir diesen Gedanken, der für die Curvenlehre so fruchtbar wurde, nicht weiter und beschränken wir uns auf die Wiedergabe der mechanischen Erzeugung der sogenannten Cartesischen Ovale, die er in demselben Werke pag. 54 angibt. Sie verdanken ihre Entstehung optischen Betrachtungen, indem sie die Eigenschaft besitzen, Lichtstrahlen, welche von einem Punkte ausgehen, durch Refraction wieder in einem Punkte zu vereinigen. In Fig. 9. ist $FA = AG$ und FG in L so geteilt,

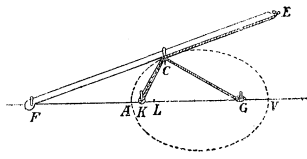


Fig. 9.

dass $FL : LG = m : n$ gleich einem constanten Brechungsindex ist. Ferner ist AL in K halbirt. Nun dreht man um F eine bewegliche Schiene, während man einen in E an derselben befestigten Faden mit dem Stifte in C stets an die Schiene andrückt.

Dieser Faden läuft von E über C um den Zapfen in K , dann wieder nach C zurück, um in dem zweiten Zapfen in G zu enden. Die Länge dieses Fadens ist also $GA + AL + FE - AF$. Punkt C beschreibt das Oval.

Einer der ersten, der die Tragweite der reformatorischen Ideen Descartes' wenigstens teilweise erkannte und mit Wort und Schrift für die anfangs heftig angegriffenen Lehren eintrat, war der Niederländer *Franz von Schooten*, der Jüngere (1615—1660), der auch Descartes' Geometrie in lateinischer Übersetzung und, nach dem Gebrauche jener Zeit, mit Commentaren versehen, herausgab. Er ist als der erste zu bezeichnen, der die Kegelschnitte als ebene Curven auffassend, eine systematische Erzeugung derselben aus ihren Eigenschaften versuchte, wodurch er zur Construction einer Reihe mehr oder weniger verwendbarer Instrumente gelangte, die er in einem „De organica conicarum sectionum in plano descriptione tractatus“ betitelten Werke 1675 herausgab.

Schooten beginnt seine Darstellung, indem er die einfache Geradföhrung angibt, die entsteht, wenn der Endpunkt D (Fig. 10.) eines der constanten Schenkel eines gleichschenkligen Dreiecks ABD auf der Basis gleitet, während der andere Schenkel sich um seinen Fusspunkt A dreht. Ein Punkt C , der sich auf dem ersteren in einer Entfernung von der Spitze gleich dem constanten Dreiecksschenkel befindet, beschreibt dann eine Gerade AC , während jeder andere Punkt des gleitenden Schenkels E eine Ellipse durchläuft. Darauf gründet sich das Instrument in Fig. 10., das auch in *der* Form angegeben wird,

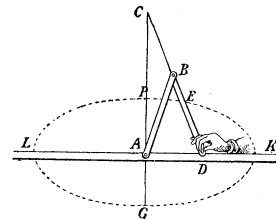


Fig. 10.

wo Punkt E ausserhalb der Strecke BD liegt. Da aber bei dieser Bewegung der Punkt C auf der Axe läuft, so kann man das Gelenk AB weglassen und durch einen Schlitz der Axe AC ersetzen, in dem ein Zapfen C der verlängerten Schiene DBC sich bewegt; dadurch erhält man die bekannte organische Beschreibung des Proklus wieder, für welche Schooten mehrere Ausführungen angibt. An zweiter Stelle zeigt er, dass der eine Basispunkt C eines unveränderlichen gleichschenkligen Dreiecks BCD in Fig. 11., das mit seiner Spitze B an einem um A beweglichen Gelenk BA ($=BD=BC$) in einem Charnier drehbar befestigt ist, eine Gerade AC beschreibt, wenn sein anderer Basispunkt D auf der Linie AD gleitet. Irgend ein weiterer mit dem Dreieck fest verbundener Punkt dagegen durchläuft eine Ellipse. Nach diesem Principe construirt er ebenfalls ein Instrument,

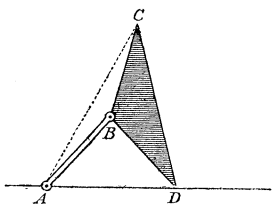


Fig. 11.

ähnlich wie das in Fig. 10. abgebildete, nur trägt ein Punkt auf CD in Fig. 11. den Stift. Des weitern ergibt sich aus diesem Princip, dass man auch zwei schief gegeneinander liegende Schienen zur Führung der Punkte C und D in Fig. 10. anwenden kann.

An dritter Stelle benützt Schooten das Princip der constanten Radiusvectorsumme und gibt ausser der Fadenconstruction des Alhasan zwei Instrumente an, in denen die Fäden durch Schienen ersetzt sind. Dieselben sind aber wegen der notwendigen mehrfachen Charnierverbindungen in ihrer Beweglichkeit jedenfalls sehr gehindert, so dass sie kaum eine praktische Verwendung zulassen. Das Gleiche gilt von seinen zur Construction der Hyperbel aus den Axen oder conjugirten Durchmesser sowie aus der constanten Differenz der Brennstrahlen abgeleiteten Instrumenten, die in grosser Zahl angeführt werden. In Fig. 12. geben wir eines derselben wieder, das noch relativ am

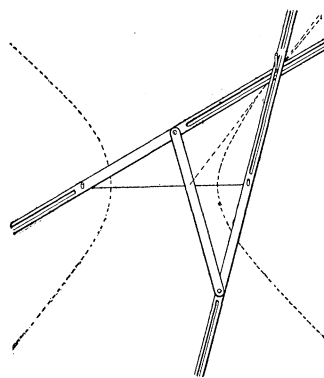


Fig. 12.

bequemsten verwendbar ist und wohl keiner weiteren Beschreibung bedarf. Für die Parabel endlich werden zwei Apparate angegeben, mit welchen man dieselbe aus Brennpunkt und Directrix erzeugt. Das eine Instrument, das wir in Fig. 13. wiedergeben, ist wohl im Princip dasselbe, welches schon Isidorus von Milet erfunden hat (vgl. pag. 5).

Die Erzeugung der Kegelschnitte durch Bewegung finden wir auch noch in des Niederländers *Johann de Witt* (1625 bis 1672) „*Elementa curvarum linearum*“, wo dieselben erhalten werden, indem der eine Schenkel eines mit gleichförmiger Geschwindigkeit um seinen Scheitel rotirenden Winkels eine sich gleichförmig parallel verschiebende Gerade schneidet. Diese Idee hatte auch Cavalieri 1647 gehabt, und sie bildet den Keim der berühmten organischen Erzeugung der Kegelschnitte durch Newton und Maclaurin, auf die wir weiter unten noch zu sprechen kommen.

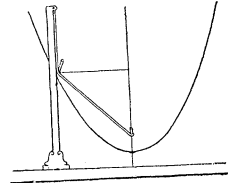


Fig. 13.

In diesen Männern trat uns vornehmlich der Mathematiker entgegen, dem es darum zu thun ist, die Erzeugungsweise der Curven zu studiren; anders bei *Benjamin Bramer*, weyl. Fürstl. Hess. Rent- und Baumeister zu Ziegenhayn, der in seinem 1634 entstandenen und 1684 zum erstenmale erschienenen „*Apollonius Cattus oder Kern der gantzen Geometriae*“ ohne, nach seiner Behauptung, vorhergehende Schriften über Kegelschnitterzeugung zu kennen, eine Reihe

von Instrumenten zeichnet, beschreibt und mathematisch begründet, die für praktische Zwecke dienlich sein sollen. Darunter ist neben den schon wiederholt erwähnten Fadenconstructions der drei

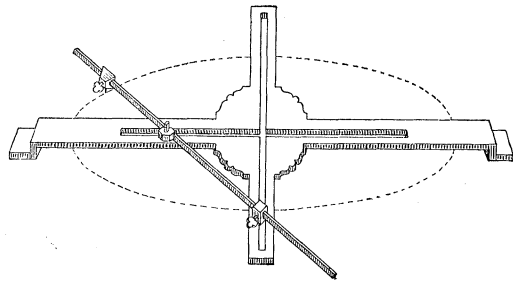


Fig. 14.

Kegelschnitte zum erstenmale eine leidlich gute Ausführung des

Ellipsographen der Alten, die wir in Fig. 14. abbilden. Ferner gibt er zwei Apparate an, die auf demselben Principe, wie Barozzi's und Scheiner's Zirkel beruhen. Wir können hier nur den ersten anführen, da der zweite, sein sogenanntes „Universal-Conisches Instrument“ eine Abbildung erforderte, die wir im Texte nicht unterbringen können, und übrigens, wenn er auch ingeniös ausgedacht ist, doch wohl praktisch kaum mit Vorteil verwendet werden kann.

Der in Fig. 13. dargestellte Apparat besitzt in C D einen Stift, der in einem Röhrchen C E läuft, während die Zeichnungsebene A B gegen die Axe G H des Instrumentes beliebig geneigt werden kann. Die Drehung des Röhrchens geschieht mittelst des Schlüssels J. Hat die Zeichnungsebene die in der Figur angegebene Stellung, so entsteht eine Parabel, während man Ellipsen erhält, wenn A B nach oben, und Hyperbeln, wenn sie nach hinten geneigt wird.

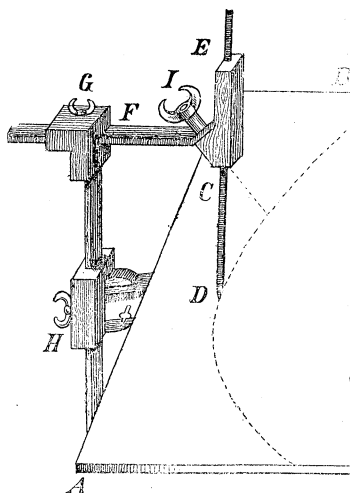


Fig. 15.

Wir haben im Fortgang unserer Entwicklung gesehen, wie bis zum Ende des 17. Jahrhunderts einerseits die praktischen Bedürfnisse, andererseits das fortschreitende Wachstum der geometrischen Wissenschaften vielfach Erzeugungsweisen von Curven und Instrumente zur Ausführung derselben zu Tage förderten, und müssen nun zunächst des Einflusses gedenken, den die durch Vieta (1540—1603) und Descartes angebahnte Verbindung der Algebra mit der Geometrie auf diese Bestrebungen ausübte.

Wohl hatten sich schon die Araber der Curven zur Auflösung der Gleichungen dritten und vierten Grades bedient, und eine genaue Durchforschung der uns leider noch zu wenig bekannten Literatur aus den Zeiten der Glanzperiode dieses Volkes dürfte noch manche bisher unbekanntes Resultate ans Licht bringen; aber diese Forschungen der Orientalen waren bis auf unsere

Zeit fast gänzlich unbekannt geblieben. *Vieta's* Entdeckung, dass jede cubische Aufgabe in den Problemen der Würfelverdoppelung und der Trisection des Winkels enthalten ist*) sowie *Descartes'* Construction der höheren Gleichungen mittelst der Kegelschnitte müssen daher als selbständige Nacherfindungen aufgefasst werden. Letzterer hatte im dritten Buche seiner Geometrie die Auflösung der Gleichungen dritten und vierten Grades gelehrt und als oberstes Princip hingestellt, dass man zur Construction derselben Curven von möglichst niedrigem Grade, wie die Kegelschnitte, verwenden solle. An ihn schloss sich im 17. und 18. Jahrhundert eine ganze Reihe von Gelehrten an, aus deren Arbeiten wir das für uns interessanteste gleich hier im Zusammenhange herausheben, um später nicht noch einmal auf die geometrische Auflösung der Gleichungen zurückkommen zu müssen.

Manche Autoren, wie der Niederländer *Fr. van Schooten* und der Belgier *de Sluze* (1659), sowie die Engländer *Baker* (1684) und *Halley* (1687)**) vervollständigten *Descartes'* Methode und fassten die gefundenen Resultate in Regeln zusammen, die eine raschere Verwendung erlaubten, während *Isaak Newton*, wie überall, so auch in diesem Zweige der reinen Mathematik, neue Gesichtspunkte eröffnete. *Descartes* und seine Nachfolger hatten sich hauptsächlich des Kreises und der Parabel zur Construction der Gleichungen bedient; *Newton* aber bemerkte in seiner „*Arithmetica universalis*“ 1732, pag. 213, dass er nicht den Grad oder die Einfachheit der die Curve bestimmenden Gleichung als massgebend für ihre Auswahl zur Construction halte, sondern lediglich ihre leichtere *instrumentale Erzeugungsweise*, weshalb er es auch für vorteilhafter hielt die *Nikomedische Conchoide* als die

*) Vgl. M. Cantor. Vorl. über G. d. M. II. pag. 539, oder Suter: Geschichte der Mathematik I. pag. 166.

***) *Fr. de Schooten*: Commentar zu *Descartes* Geometrie. Vgl. Anm. ** zu pg. 13. *De Sluze*: *Mesolabium seu duae mediae proportionales per circulum et ellipsin vel hyperbolam infinitis modis exhibitae*. Leod. 1659. — *Baker*: *Clavis geometrica catholica* 1684. — *Halley*: *De constructione problematum solidorum sive aequationum tertiae vel quartae potestatis, unicā datā parabolā ac circulo efficiendā*, dissertatiuncula. *Philosophical transactions* 1687, Nr. 188. Auch als Anhang zu *Newtons Arithm. univ.* p. 274 gedruckt.

Kegelschnitte zu benützen. Von den letzteren aber zieht er wieder die Ellipse wegen ihrer leichteren und genaueren Construirbarkeit der Parabel vor (pag. 234). So vollzieht denn Newton die Auflösung der Gleichungen dritten und vierten Grades mit Benützung einerseits der Conchoide, andererseits der Ellipse. Auch führt er l. c. pag. 130 und pag. 231 eine organische Erzeugung der Cissoide des Diokles an, um auch diese Curve zur Construction der beiden mittleren Proportionalen verwenden zu können. Die einfache Beschreibung dieser Curve, die sich leicht durch ein Instrument realisiren lässt, besteht darin, dass in Fig. 16. der eine Schenkel DE des rechten Winkels DEF beständig durch Punkt D geht, während der Endpunkt F des anderen Schenkels, der gleich AD gemacht ist, auf der zu AD senkrechten Geraden AF gleitet. Die Mitte C von EF beschreibt dann die verlangte Curve.

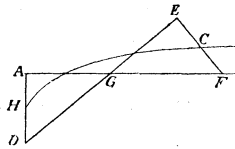


Fig. 16.

Bisher hatte man die Gleichungen graphisch dadurch gelöst, dass man ihre Wurzeln als Schnittpunkte zweier Curven aufsuchte, die entweder nach Descartes von möglichst niedrigem Grade oder nach Newton möglichst leicht instrumental erzeugbar sein mussten. Diese letztere Forderung brachte nun *Jac. Bernoulli* und den *Marquis de l'Hôpital* (1720)*) auf den Gedanken eine Gleichung von der Form

$$a = bx + cx^2 + dx^3 + ex^4 + \dots + nx^n$$

dadurch zu construiren, dass sie direct die Schnitte der Linie $y = a$ mit der Curve $y = bx + cx^2 + dx^3 + \dots$ aufsuchten. In derselben Weise verfahren auch *Gabriel Cramer* und *Andreas von Segner***), der die Sache noch dahin vereinfachte, dass er die Schnittpunkte der Curve

$$y = -a + bx + cx^2 + \dots + nx^n$$

mit der x-Axe aufsuchte. Segner, der angibt selbständig auf diesen Gedanken gekommen zu sein, ohne Cramers Methode zu kennen, wurde wie dieser von dem Gesichtspunkte geleitet, dass

*) De l'Hôpital: *Traité analytique des sections coniques*. Paris 1720. pag. 348. *Jac. Bernoulli*; *opera* pag. 690.

***) *Cramer*: *Introduction à l'analyse des lignes courbes algébriques*. Genève 1750. pag. 92. *Segner*: *Novi Commentarii Acad. Petrop.* 1761. p. 111.

sich solche parabolische Curven wenigstens punktweise mit genügender Genauigkeit construiren lassen, wenn auch, wie er sagt, die Herstellung eines Instrumentes zu ihrer mechanischen Erzeugung sehr schwierig sei, weshalb er sie nicht versucht habe.

Diese Bemerkung veranlasste 1768 den Engländer *Rowning* zu dem Versuche der Construction eines solchen Apparates, den er in den *Philosophical Transactions* 1771. V. 60 p. 240 beschreibt und abbildet. Dieser beruht auf folgendem Principe. Sei z. B. die Gleichung 3. Grades zu lösen;

$$a + bx + cx^2 + dx^3 = 0 (= y),$$

dann bedeute in Fig. 17. ZZ, SS ein rechtwinkliges Axensystem. Man macht

$$O A = \frac{a}{n}, A B = \frac{b}{n}, B C = \frac{c}{n}, C D = \frac{d}{n},$$

wobei jede dieser Grössen je nach ihrem positiven oder negativen Zeichen von dem Endpunkte der letzten Strecke aufwärts oder abwärts aufzutragen ist. Durch den letzten Endpunkt, in unserem Beispiele D, zieht man eine Parallele zu ZZ, die die

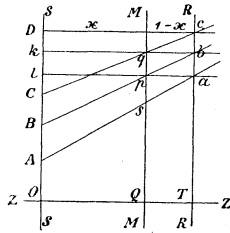


Fig. 17.

in der Entfernung 1 von O senkrecht zu ZZ gelegte Gerade RR in c trifft. cC schneidet dann eine beliebige Parallele MM zu RR in q; zieht man qk || ZZ, so trifft diese RR in b, bB schneidet MM in p und pl || ZZ trifft die RR in a, während endlich aA die MM in s durchsetzt; dann ist, wie man leicht zeigt,

$$Qs = \frac{y}{n} = \frac{a + bx + cx^2 + dx^3}{n}$$

Bleiben nun die Linien SS, ZZ, RR, Dc, cC, beständig fest und verschiebt man MM parallel zu sich selbst, so dass q beständig auf MM bleibt und auf cC gleitend die Linie kb parallel zu sich selbst mitführt, so verschiebt sich b längs RR und p gleitet auf MM und der sich um B drehenden Linie Bb und zieht die Linie la beständig parallel zu sich selbst mit. Gelangt nun Punkt s, der die parabolische Curve verzeichnet, auf die Abscissenaxe, so gibt die Entfernung Os = x eine reelle Wurzel der Gleichung y = Qs = 0 an.

Dieses Princip hat Rowning, wie schon bemerkt, in einem Apparat verwirklicht und zwar für den Fall einer Gleichung 2. Grades, dessen Abbildung wir aber im Text nicht wiedergeben können. Das Instrument wurde, wie der Erfinder bemerkt, von einem ausgezeichneten Mechaniker in London ausgeführt. Ueber die praktische Verwendbarkeit eines solchen naturgemäss complicirten Apparates brauchen wir uns nicht weiter zu verbreiten, es genügt uns darauf hingewiesen zu haben, wie die Gleichungstheorie auch die mechanische Erzeugung der höheren parabolischen Curven veranlasst hat.

Damit haben wir in Kurzem den Einfluss geschildert, den die Algebra auf die Erzeugung der Curven zu üben vermochte, und kehren wieder zu den geometrischen Forschungen zurück. So eifrig sich einzelne Zeitgenossen Descartes bemühten, die analytische Methode desselben zu verwerthen, so dauerte es doch noch geraume Zeit, bis es gelang, wirklichen Vorteil aus derselben zu ziehen, und wir sehen daher, dass die bedeutendsten Mathematiker seines Jahrhunderts, wie *Fermat* (1608—1665), *Blaise Pascal* (1623—1662) und andere sich noch mit Vorliebe der Methode der Alten bedienten. Dazu trug auch hauptsächlich die Richtung bei, die die geometrische Forschung genommen hatte, seitdem Cavalieris „*Geometria indivisibilium*“ 1635 erschienen war. Diese Richtung gipfelt in drei Problemen: der Quadratur der Curven, dem Problem der Tangentenlegung und der Rectification der krummen Linien, welche den Boden bereiteten, auf dem die Infinitesimalrechnung empor spross, die dann im Verein mit Descartes' analytischer Geometrie die Methoden der Alten auf lange Zeit fast ganz verdrängte. Von jenen Curven, die hauptsächlich zur Behandlung dieser drei Probleme in's Auge gefasst wurden, tritt uns zunächst eine entgegen, die in der Geschichte der Mathematik eine hervorragende Rolle spielt, die Cykloide. Obgleich die epicyklische Bewegung schon Hipparch im 2. Jahrhundert vor Christus bekannt war, und Albrecht Dürer, wie wir sahen, cyklische Curven zeichnete, so ist doch auf die Entstehung der gewöhnlichen Cykloide, die durch einen Punkt eines auf der Geraden rollenden Kreises erzeugt wird, erst *Galilei* (1590) aufmerksam geworden*), von dem auch

*) Vgl. Cantor. Vorl. üb. G. d. M. II. p. 780.

ihr Name stammt. Sein berühmter Schüler *Toricelli* (1608 bis 1647), der fast gleichzeitig mit *Roberval* (1602—1675) zuerst wieder das Interesse auf sie hinlenkte, erwähnt dann in seinem 1644 erschienenen Werke „Opera geometrica“ auch diejenigen Cykloiden, welche durch einen ausserhalb oder innerhalb des rollenden Kreises befindlichen Punkt beschrieben werden. Da für uns nur die mechanische Erzeugung der Curven von Bedeutung ist, so übergehen wir den hervorragenden Einfluss, den dieselbe vermöge ihrer interessanten Eigenschaften auf die Entwicklung der mathematischen Wissenschaften hatte, und wenden uns zur Geschichte der allgemeinen cyklischen Curven.

Eine solche Curve, die von Pascal und Roberval auch Roulette oder Trochoide genannt wurde,*) wird durch einen Punkt erzeugt, der mit einem Kreise fest verbunden ist, welcher ausserhalb oder innerhalb auf der Peripherie eines festen Kreises rollt. *De la Hire* (1640—1718), der in seinem „Traité des épicycloïdes et leur usage dans les mécaniques“ 1699**) die Epicykloiden und deren Verwendung zur Verzahnung der Räder eingehend behandelt, nimmt in der Einleitung die Erfindung dieser Curvenerzeugung für sich in Anspruch, indem er nur erwähnt, *Desargues* habe sie zur Construction eines Zahnrades angewendet, jedoch ohne, soviel ihm bekannt, etwas darüber veröffentlicht zu haben. Dabei schweigt er aber gänzlich von dem Dänen *Olaf Roemer*, der damals in Paris lebte, und den Leibniz ausdrücklich als den Erfinder (1674) der cyklischen Verzahnung bezeichnet.***) Ein sehr specieller Fall dieser Rollcurven findet sich schon von *Cardanus* 1570 †) er-

*) Roberval: De Trochoïde, Mémoires de l'Académie 1666. t. 6. p. 361.
Pascal: Histoire de la Roulette. Oeuvres t. V. pag. 163 und pag. 200.

**) Mémoires de l'Académie. t. 9. p. 341. Vgl. bezüglich der einschlägigen Literatur: L. Burmester, Lehrbuch der Kinematik. Leipzig 1888. 2. Abschnitt, Anmerkungen.

***) Leibniz berichtet hierüber in einem Briefe an Bernoulli vom 18. Januar 1698, indem er sagt, es sei ihm unbegreiflich, dass de la Hire sich die Erfindung habe zueignen wollen, „nam eram Parisiis eo tempore quo is (Olaf Roemer) invenit, remque non tantum ab ipso Roemero sed et Hugenio intellexi quo tempore La Hire in Academiam Scientiarum Regiam erat receptus.“

†) Cardanus. Opus novum de proportionibus numerorum, motuum etc. Basil. 1570. prop. 137. pag. 186.

wähnt, nämlich jener, wo ein Punkt der Peripherie eines Kreises der in einem andern von doppeltem Radius rollt, eine Gerade erzeugt. Jene speciellen Curven aber, die von einem Punkte der Peripherie des rollenden Kreises beschrieben werden, sind zum erstenmale als Cykloiden bezeichnet und untersucht in Newtons berühmten Werke „Principia philosophiae naturalis mathematica“ 1686 pag. 158. Man nennt dieselben jetzt bekanntlich Epicykloiden oder Hypocykloiden, je nachdem der rollende Kreis ausserhalb oder innerhalb des festen sich bewegt.

Diese Curven sind aber einer doppelten Erzeugung durch zwei Kreispaare fähig, deren feste Kreise concentrisch sind. Dabei ist der Radius des rollenden Kreises bei der Erzeugung durch das eine Kreispaar gleich dem Abstände der Mittelpunkte des anderen Kreispaares, und wenn R , r , in Fig. 18. die Radien des ersten R' , r' , die des zweiten Paares sind, so besteht die Beziehung:*)

$$\frac{R}{r} - \frac{R'}{r'} = 1$$

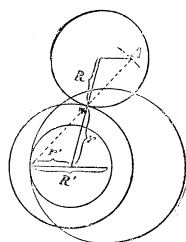


Fig. 18.

Diese doppelte Erzeugung wurde schon von De la Hire und fast ein Jahrhundert später 1781 von *L. Euler* (1707—1783), der des ersteren Arbeit nicht kannte, angegeben**), jedoch behandelten beide Autoren nur den Fall, dass der beschreibende Punkt A auf der Peripherie des rollenden Kreises liegt.

De la Hire, welcher mit staunenswerter Gewandtheit die Methoden der Alten zu handhaben verstand, verallgemeinerte alsbald, ohne Descartes' Analysis zu benützen, das Problem der Rollcurven in seinem 1706 in den *Mémoires de l'Académie* pag. 340 veröffentlichten „*Traité des roulettes*“. Er lässt eine beliebige Curve in einer beweglichen Ebene, mit der ein Punkt derselben irgendwie fest verbunden ist, auf einer zweiten Curve

*) Vgl. bezüglich dieses Satzes Burmester l. c. pg. 137, dem auch Fig. 16 entnommen ist. Herr Burmester hat ganz kürzlich diese doppelte Bewegung durch einen schönen Apparat veranschaulicht.

**) De la Hire l. c. pag. 255. Euler. *Acta academiae Petrop.* 1784 pro anno 1781. pars I. pg. 48.

abrollen, die in einer festen Ebene liegt, und untersucht die Eigenschaften der Bahn des bewegten Punktes: der Roulette.

Inzwischen hatte *Huygens* (1629—1695) bei Gelegenheit seiner Studien über die Pendeluhr 1673*) die Evoluten der Curven gefunden und speciell für die Cykloide und die Kegelschnitte bestimmt. Diese benützte De la Hire, um zu zeigen, dass man jede Curve als Roulette eines Punktes einer Geraden auffassen kann, die an einer zweiten Curve hinrollt. Die so erhaltene Roulette ist also nichts anderes als eine Evolvente der gegebenen Curve, die nach Huygens' Auffassung durch den Endpunkt eines Fadens beschrieben wird, den man stets gespannt haltend an der Evolute abwickelt. Als speciellen Fall dieses Problems behandelt de la Hire pag: 369 auch die Kreisevolvente.

Nachdem noch 1707 *Nicole****) die Differentialgleichung der Rouletten für den allgemeinsten Fall gegeben und so de la Hire's Theorie vervollständigt hatte, wandte sich letzterer der allgemeinen Erzeugung der Conchoiden zu, indem er 1707 in dem Artikel „Des conchoides générales“****) sich diese Curven folgendermassen erzeugt denkt. In einer beweglichen Ebene liegt eine constante Strecke A P, mit der ein beliebiger Punkt C durch P C fest verbunden ist. Diese Ebene gleitet über eine zweite feste Ebene so, dass der Endpunkt A eine beliebige Curve der letzteren, die Basiscurve, durchläuft, während P A beständig durch einen festen Punkt jener Ebene geht. Punkt C beschreibt dann eine Conchoide. Als specielle Fälle werden die Conchoide des Nikomedes, die Kreisconchoide und die parabolische Conchoide betrachtet, Curven, deren Erzeugung und gestaltliche Verhältnisse auch in einem demselben Bande der Memoiren angehörigen Aufsätze von *Reaumur* (1683—1757) (pag. 197), näher untersucht werden, wo auch die Conchoiden auf elliptischer und hyperbolischer Basis ihre Behandlung finden.

Ausser der cyklischen und conchoidischen Erzeugung haben wir noch ein eigentümliches Verfahren zu erwähnen, wodurch es gelingt eine unbegrenzte Menge von Curven, ähnlich den Car-

*) *Horologium oscillatorium*. Paris 1673. pag. 59.

**) *Mémoires de l'Académie*. 1707. pag. 81.

***), *Mémoires de l'Académie*. 1708. pag. 32. (vom 10. Dez. 1707).

tesischen Ovalen zu erzeugen. Dasselbe rührt von Ehrenfried Walter v. *Tschirnhausen* (1651—1708), einem Freunde Leibniz's 1681*) her, der sich ebenfalls mit dem Tangentenproblem beschäftigte und eine Methode entdeckte zu haben glaubte, die allerdings mit einiger Modification für die eigens zu diesem Zweck erfundene Curvengattung, nicht aber allgemein galt. Tschirnhausen denkt sich eine Reihe von festen Focalpunkten mit Stiften versehen, in zweien derselben einen Faden befestigt und denselben um die übrigen Stifte so geschlungen, dass man ihn mit einer Bleifeder spannen und bewegen kann; dann beschreibt die Feder eine Tschirnhausen'sche Focalcurve; vgl. z. B. Fig. 19 die den Fall von 4 Brennpunkten erläutert. Man erkennt sofort, dass die Änderung der gegenseitigen Lage und der Anzahl der Brennpunkte eine Menge von Curven zu erhalten gestattet, die Tschirnhausen in Geschlechter teilt. Ausserdem verallgemeinert Tschirnhausen seine Methode noch, indem er statt der Brennpunkte wieder die so gefundenen Ovale gesetzt denkt, um welche sich der Faden windet, um wieder neue Curven zu beschreiben, vgl. z. B. Fig. 20. Das Problem, die Tangenten an diese Curven zu legen, erhielt eine gewisse Berühmtheit und wurde von den ersten Mathematikern jener Zeit auf verschiedene Arten gelöst.

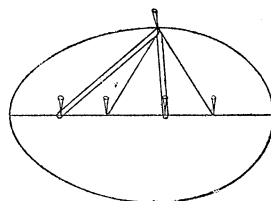


Fig. 19.

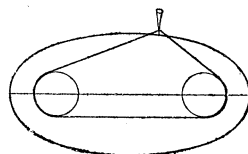


Fig. 20.

Grosses Interesse erregten auch die Tractorien oder Tractrix-curven, auf welche Huygens 1693 bei Gelegenheit seiner Untersuchungen über die Quadratur der Hyperbel stiess**). Es interessirte ihn daran hauptsächlich der Umstand, „dass man sie durch eine einfache Bewegung beschreiben kann“, indem die einfachste derselben von einem schweren Punkte durchlaufen wird, den

*) Tschirnhausen erwähnt seine Curven zuerst in einem Briefe an Leibniz vom 7. April 1681 und hat sie dann in seiner „*Medicina mentis et corporis*“ 1687 pag. 68 und 69, veröffentlicht.

***) Leibnizens mathem. Schriften, herausgegeben von O. J. Gerhardt I. Abtl. Bd. II. pag. 164—165.

man an einem Faden befestigt, dessen Ende man längs einer Geraden fortzieht. Die Richtung des Fadens ist hiebei beständig tangential an die Curve, und da seine Länge constant ist, so ist die erzeugte Bahn die Curve der constanten Tangenten. Die constante Tangente kann man auch, wie Huygens bemerkt (l. c. 517) durch ein Lineal ersetzen; wir werden weiter unten ein Instrument kennen lernen, wobei dies zur Anwendung kommt.

Allgemeine Tractorien ergeben sich, wenn man das Fadenende statt auf einer Geraden auf irgend einer beliebigen Curve führt. Auch diese scheint Huygens schon gekannt zu haben, da er die zuerst angeführte Tractrix als diejenige bezeichnet „*quae inter Tractorias (ita enim vocari possunt) simplicissima censenda est*“. *Leibniz*, dem Huygens von diesem Probleme Mitteilung machte, sagt in einem Briefe vom 11. Oktober 1693^{*)}, dass er auf dasselbe durch den Arzt *Perraut*, den bekannten Herausgeber des Vitruv, aufmerksam gemacht worden sei, und bei Betrachtung desselben erkannt habe, dass es mit der Quadratur der Hyperbel zusammenhänge. Dabei bemerkt er sofort, dass man als Leitcurve jede beliebige Curve annehmen und somit durch diese Bewegung jede Curve mechanisch erzeugen könne. Ferner äussert sich Leibniz dahin, dass diese tractorische Erzeugung der Curven, nach seiner Ansicht ebensogut in der Geometrie zuzulassen sei, wie die cyklische oder die Erzeugung mittelst der Evoluten und dass er keinen Grund einsehe, warum man (nach Descartes) als geometrische Curven nur die algebraischen anerkenne. Seine Lösung der Quadratur mittelst der Tractorien, die er Huygens mittheilte, fand jedoch nicht dessen Beifall, indem derselbe ganz richtig bemerkt, dass eine exacte organische Erzeugung der höheren Tractrixlinien viel zu schwierig sei.

An diese Erfindung der Tractrixcurven knüpft sich noch eine andere Curvenbeschreibung, die von *Johann Bernoulli* (1667 bis 1748) herrührt^{**)}. Derselbe lässt eine beliebige Curve an einer andern ebenfalls beliebigen Curve so hingleiten, dass sie sich beständig parallel bleibt und untersucht die Curven, die ihre Punkte beschreiben. Diese Bewegung nennt er „*motus reptorius*“

^{*)} Brief Huygens an Leibniz vom 29. Mai 1694 l. c. pag. 175.

^{**)} Joh. Bernoulli opera. t. I. „*Motus reptorius*“, pag. 415.

und unterscheidet einen „motus subreptionis“ und einen „motus obreptionis“, je nachdem die bewegliche Curve innerhalb oder ausserhalb der festen Curve hingeleitet. Diese Bewegung muss nach Bernoullis Ansicht der von Leibniz und Huygens behandelten tractorischen mindestens an die Seite gestellt, wenn nicht vorgezogen werden, da die Parallelverschiebung die einfachste Bewegung sei und da man durch sie aus geometrischen (algebraischen) Curven wieder geometrische erhalte.

Die geschilderten Versuche, die verschiedenartigsten Bewegungen in die Geometrie einzuführen, mussten notwendig den Wunsch rege machen, Instrumente zu besitzen, mit denen sie sich realisiren liessen. Solche Apparate und Instrumente wurden in grosser Zahl von dem Venetianer Conte Gianbattista *Suardi* angegeben, der im Jahre 1752 ein reich ausgestattetes Werk*) veröffentlichte, in welchem er zur Beschreibung aller damals bekannten Curvengattungen Instrumente mittheilte. Wir erwähnen hier zunächst zwei Apparate zur graphischen Erzeugung der gewöhnlichen Cykloide und der übrigen cyklischen Curven, von welchen er eine ganze Fülle der verschiedenartigsten Formen mittheilt, die er mit seinem zweiten Instrumente (Fig. 22.) erhalten hat.

Der erste Apparat zur Construction der gemeinen Cykloide beruht auf folgendem Princip. Ist (Fig. 21.) DRV der rollende Kreis und V der erzeugende Punkt, so denkt sich Suardi den Kreis fest, legt in R die Tangente ERT an denselben und macht $RT = \text{arc. } RV$. Fällt man dann $TN \perp DR$ und zieht OR parallel der Basis DK , so ist der Schnittpunkt S ein Punkt der Curve ($RS = RT$). Dreht sich nun der Radius CR um C und bleibt, während bei dieser Bewegung R den festen Kreis durch-

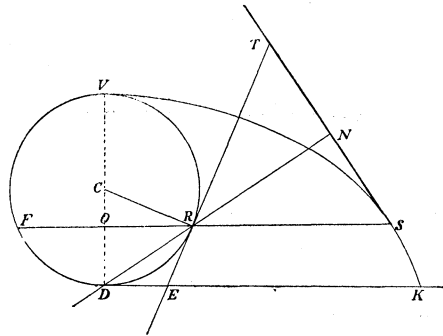


Fig. 21.

*) Nuovi istromenti per la descrizione di diverse curve antiche e moderne etc. del conte Gianbattista Suardi. Brescia. 1752.

läuft, beständig $RT = \text{arc}.RV$, $\sphericalangle N = \frac{\pi}{2}$ und $ORS \parallel DK$, so beschreibt S die Cykloide. Für das auf dieser Auffassung beruhende Instrument gibt Suardi eine sehr gute Zeichnung im Grundriss und Aufriss sowie eine Totalansicht.

Den zweiten Apparat, bei weitem den brauchbarsten von allen, nennt Suardi die „penna geometrica“, und unter diesem Namen findet er sich auch bei George Adams, mathematischem Instrumentenmacher in London, der ihn in seinem Verzeichnisse verkäuflicher Instrumente führte und in seinen „Geometrischen und graphischen Versuchen“ (deutsch von Geissler), London 1795 pag. 176 beschrieb und abbildete. Der Gedanke, der diesem Apparate zugrunde liegt, ist sehr einfach; die cykliche Curve wird nämlich in derselben Weise continuirlich erzeugt, wie sie Albrecht Dürer

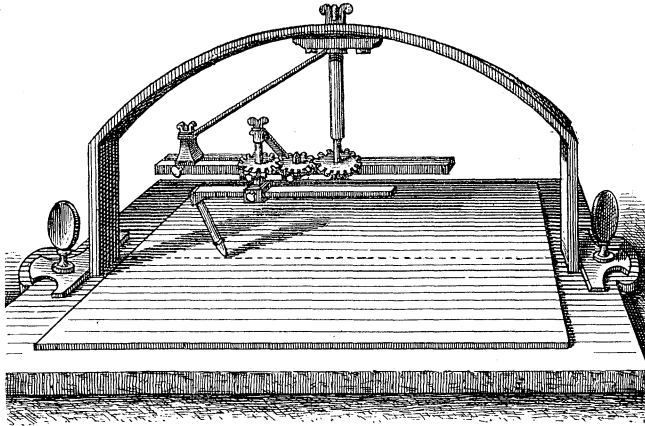


Fig. 22.

mit seinem Instrumente punktweise verzeichnete. Um ein festes Centrum dreht sich ein Arm von constanter Länge, um dessen Endpunkt ein den Stift führender zweiter Arm mit constanter, übrigens beliebig regulirbarer Geschwindigkeit rotirt. Es ist dies also genau die Entstehung der Epicykeln, wie sie sich Hipparch und Ptolemäus gedacht hatten. Die Abhängigkeit der beiden Bewegungen wird entweder durch eine Schnur oder besser (vgl. Fig. 22.) durch Zahnräder regulirt. Von diesem Apparat

gibt Suardi ebenfalls eine Zeichnung in Grundriss und Aufriss, sowie zwei Totalansichten, je nachdem die Transmission durch eine Schnur oder durch Zahnräder hergestellt ist. Unsere Abbildung gibt den letzteren Apparat in $\frac{1}{3}$ der Grösse von Suardi's Zeichnung. Man erkennt sofort, wie durch die Wahl der Zahnräder und durch die Verkürzung oder Verlängerung der beiden Arme die verschiedensten Curven erhalten werden können. Suardi zeigt sich über die ausgezeichnete Verwendbarkeit seines Instrumentes hoch erfreut, indem er pag. 99 sagt: „Quello istromento delle ruote sta presso di me „e per lo sperimento più volte fatto nella presenza di Personaggi in questa materia, e nelle matematiche versatissimi posso asserire, che riesce a maraviglia . . .“. Er zählt auch die erzeugbaren Curven und gelangt zu dem Resultate, dass 1273 verschiedene Gattungen von cyklischen Curven erhalten werden können. So gibt er an, wie man als Bahncurve des erzeugenden Punktes eine Gerade, einen Kreis, eine Ellipse erhält und zeigt, was besonders bemerkt werden muss, dass die cyklische Erzeugungsweise der Ellipse unmittelbar auf die bekannte Ellipsenerzeugung von Proklus führt, eine Bemerkung, die nach Rittershaus*) erst unserem Jahrhundert angehören würde. Ausserdem gibt Suardi noch die Zeichnungen von einer Menge sogenannter geometrischer Blumen**), die er mit seinem Instrumente erhielt, indem er nach einander 12 Räder von verschiedenen Radien einführte. Auch zum Zeichnen von Spiralen hat er seinen Apparat eingerichtet, indem er statt der Zahnräder eine Schnur einsetzt, die sich um einen Kreis- oder elliptischen Cylinder, einen Kreis- oder elliptischen Conus aufwindet, der an Stelle der Hauptaxe angebracht werden kann und den festgestellten zweiten Arm gegen das Centrum hinzieht. Hiedurch ergeben sich Spiralen der verschiedensten Gestalt***). Von Interesse ist auch die theo-

*) Rittershaus gibt in seinem Aufsätze „Über Ellipsographen“, Verhandl. des Gewerbevereins für Preussen 1874 an, dass Jopling 1820, *Mechanics Magazine* Vol. 9. pg. 216, diesen Zusammenhang der beiden Erzeugungsweisen zuerst erkannt habe.

**) Solche Blumen hatte schon Guido Grandi 1728 gezeichnet: *Flores Geometrici*.

***) Einen eigenen Spiralenzirkel für Archimedische Spiralen hatte 1742 Tillios gefertigt. *Machines approuvées par l'Académie* t. 7. p. 163.

retische Betrachtung der Zusammensetzung von mehr als zwei Bewegungen, die Suardi an die Besprechung seines Instrumentes anknüpft. So erzeugt er die Gerade durch drei gleiche Gelenke, von denen sich die beiden letzten in entgegengesetzter Richtung, aber mit gleicher Winkelgeschwindigkeit (*velocità angolare*) wie das erste bewegen; zugleich wird bemerkt, dass irgend ein Punkt des letzten Gelenkarmes bei dieser Bewegung eine Ellipse beschreibt. In ähnlicher Weise werden auch mit Abänderung der Winkelgeschwindigkeiten und unter Beibehaltung von drei oder Einschaltung von mehr Gelenken die Gerade, der Kreis und die Ellipse erhalten.

Wir wollen nun noch einen kurzen Blick auf die übrigen Instrumente werfen, die Suardi's reicher Erfindungsgabe entsprangen. Er construirte ein Instrument zur Beschreibung der Nikomed'schen Conchoide, das sich mit einer kleinen Abänderung auch zum Zeichnen der Kreisconchoide einrichten lässt, deren Erfindung er sehr galant der Contessa Maria Gaetani Agnesi zuschreibt, die sich mit Mathematik beschäftigte*). Ferner ersann er einen Apparat zum Zeichnen der Cissoide, der auf dem Princip der Newton'schen Erzeugungsweise dieser Curve beruht, dann einen solchen zur Erzeugung einer gewissen blattförmigen Curve vierter Ordnung mit zwei Spitzen, deren Gleichung er selbst aufstellte, endlich Instrumente für die Quadratrix des Dinostratus und für die Cardioide. Diese herzförmige Curve, die auch als eine Epicykloide aufgefasst werden kann, als welche sie Gabriel Cramer**) erzeugte, rührt von einem sonst unbekanntem Mathematiker, Namens *Koërsma* her und wurde zuerst von dem französischen Akademiker *Carré* untersucht***). Ihren Namen erhielt sie von *Castillione* †).

*) Maria Gaetani Agnesi. *Institutiones Analyticae* Lib. I. § 4. cap. 5. probl. 4. — M. Curtze in seinen *Reliquiae Copernicanae* Zeitschr. f. M. u. Phys. Bd. 19. pg. 450. macht es sehr wahrscheinlich, dass schon Nikomedes diese Curven kannte.

**) Gabriel Cramer. *Introduction à l'analyse des lignes courbes*. Genève 1750. pag. 431. Er bemerkte jedoch nicht, dass diese Curve die unter dem Namen Cardioide bekannte ist.

***) Caré *Mémoires de l'Académie* 1705. pg. 71.

†) *Philosophical Transactions*. 1741. pg. 778.

Mehr Interesse verdient ein Instrument zum Zeichnen der logarithmischen Linie sowie zur Erzeugung der Tractrix von Huygens. Die erstere Curve, welche seit der Erfindung der Logarithmen eine gewisse Rolle spielte, besitzt bekanntlich die Eigenschaft eine constante Subtangente zu haben. Darauf beruht die Construction von Suardi's

einfachem Instrument, welches in Fig. 23 abgebildet ist. Während das prismatische Lineal Ac , das in g einen festen Stift und in dc eine verstellbare Schiene cT trägt, an dem Handgriff MA gegen E gezogen wird, läuft das horizontal stehende Rädchen K längs Tc hin, indem es von dieser Schiene beständig berührt wird, wobei sich das

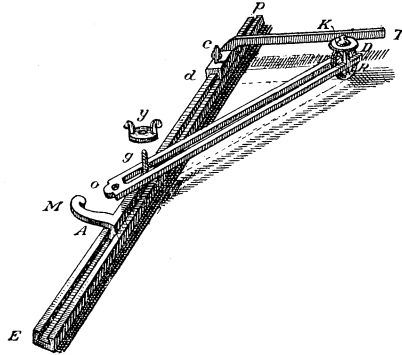


Fig. 23.

geschlitzte Lineal OD vermöge des verticalen Rades R längs des Stiftes g verschiebt, und da hiebei Rg die Tangente der von dem Berührungspunkt des Rädchens R beschriebenen Curve und Rd die Ordinate ist, so ist die constante Strecke dg die Subtangente; somit verzeichnen die spitzen Zähne, mit denen das Rad R versehen ist, die verlangte Curve. Um die Eindrücke der Zähne deutlich zu machen, ist das Rad durch eine Kugel bei K beschwert. Schiebt man dagegen den Stift g durch das Loch O der Schiene OD , entfernt den Arm cT als überflüssig und benützt das Instrument wie vorhin, so erhält man als Spur des Rädchens R die gewöhnliche Tractrix.

Als mit der Erfindung und dem Ausbau der Infinitesimalrechnung die Probleme des Tangentenziehens, der Quadratur und Rectification mit einem Schlage in ihrer Allgemeinheit lösbar geworden waren, und ausserdem die analytische Methode Descartes namentlich auch durch Newton *) an Ausbildung gewonnen hatte, treten uns diese beiden Zweige der Wissenschaft fast beständig

*) *Arithmetica universalis*. Lugd. Batav. 1732.

vereint entgegen und beherrschen von der ersten Hälfte des 18. Jahrhunderts an fast allein die Fortentwicklung der Mathematik. Nur eine kleine Anzahl von Gelehrten, darunter allerdings sehr bedeutende, interessirten sich noch für die rein geometrische Forschungsweise der Alten, und ihre Bemühungen, die Methoden derselben zu verallgemeinern, stützten sich dabei auf die Vorarbeiten von Desargues, Pascal und de la Hire. Auch auf das uns speciell interessirende Problem der Curvenerzeugung übten diese Bestrebungen ihren Einfluss aus, den wir noch kurz charakterisiren wollen.

Schon Newton hatte in seiner *Enumeratio linearum curvarum tertii ordinis*. 1706*) gelegentlich gezeigt, dass man sämtliche Kegelschnitte erhalten könne, indem man zwei unveränderliche Winkel mit gleicher Geschwindigkeit um ihre Scheitel sich drehen lässt: bewegt sich der Schnittpunkt des einen Schenkelpaares hierbei beständig auf einer Geraden, so beschreibt der Schnittpunkt des anderen Paares die verlangte Curve. Ferner hatte er auch ohne Beweis angegeben, dass wenn der erstere Schnittpunkt sich auf einem Kegelschnitt bewegt, der des zweiten Paares eine Curve dritter oder vierter Ordnung erzeugt, die in jenem Drehpunkt einen Doppelpunkt besitzt, durch den der Kegelschnitt etwa geht.

Diese Bemerkungen genügten, den schottischen Mathematiker *Colin Mac-Laurin* (1698—1746) zur Schaffung seiner „*Geometria organica seu descriptio linearum curvarum universalis*. Lond. 1720“ zu veranlassen, worin er Newtons Gedanken zu einer vollständigen Theorie der Erzeugung höherer Curven erweiterte. Zu diesem Zwecke liess er einerseits den Schnittpunkt des einen Schenkelpaares auf verschiedenen Curven laufen und untersuchte die Erzeugnisse des zweiten Schenkelpaares, andererseits vermehrte er die Anzahl der Pole, indem er die Schnittpunkte der einzelnen Schenkelpaare auf Curven führte und die Curven bestimmte, die der Schnittpunkt des letzten Paares durchläuft. Auch setzte er an Stelle der Winkel Gerade, deren gegenseitige Bewegung ebenfalls durch Führung ihrer Schnittpunkte auf festen Curven geregelt wird. Durch seine Betrachtungen gelang ihm auch die Lösung eines

*) Newton opera omnia t. I. pg. 556—557.

von Newton als schwierig bezeichneten Problem, nämlich eine höhere Curve zu erzeugen, die keinen Doppelpunkt besitzt. In einem Supplemente zu diesem Werke, von dem er in den Philosophical Transactions. Vol. 39. 1732 *) spricht, das aber nicht mehr erschien, zeigt er ferner, dass eine unbegrenzte Vermehrung der Pole, wie sie sein Zeitgenosse *Braikenridge* **) vorgeschlagen hatte, im Allgemeinen keine Erhöhung des Grades der erzeugten Curve verursache. So kann man, um ein bekanntes Beispiel anzuführen, die n Seiten eines Polygons um n feste Pole sich drehen und $n-1$ seiner Ecken auf ebensovielen Geraden fort-rücken lassen, dann beschreibt der letzte Eckpunkt doch nur eine Curve zweiter Ordnung, wie gross auch n genommen wird.

Alle diese jetzt dem Gebiete der sogenannten neueren synthetischen Geometrie zugehörigen Betrachtungen haben eine rein wissenschaftliche Bedeutung, da eine Realisirung dieser Bewegungen in exacter Weise wohl nicht möglich ist.

Blicken wir nun zum Schlusse noch einmal zurück auf den ausgedehnten Weg, den wir mit flüchtigen Schritten durchheilt haben, so sehen wir zunächst, wie die alten Griechen nur allmählich und durch ihre Probleme gezwungen den Begriff einer andern als der Kreiserzeugung in der Geometrie zuliessen, wie dann die Araber sich schon mit grösserer Freiheit der mechanischen Erzeugung der Kegelschnitte und überhaupt einer gewissen „Geometrie der Bewegung“ bedienten, wie im Mittelalter die Anforderungen der Praxis zur Vermehrung der Curven beitrugen, und endlich im 17. Jahrhundert Descartes und Newton die organische Beschreibung beliebiger *algebraischer* Curven in der Geometrie zuliessen. Allmählich fand dann auch die organische Beschreibung *transcendenter* Curven in der Geometrie Eingang und mechanische und geometrische Anschauungen verbanden sich. Die ersten, die diese wieder zu trennen und jede der beiden Wissenschaften in

*) Ein anderes Princip zur punktweisen Erzeugung von Curven aus gegebenen, das der harmonischen Mittel, gibt Mac-Laurin in der Schrift: De linearum geometricarum proprietatibus gener. 1748, die man gewöhnlich als Anhang seines Treatise of Algebra. Lond. 1748 findet.

**) Philosophical Transactions Nr. 436. pg. 25. A general method of describing Curves, by the intersection of right lines.

ihre natürlichen Grenzen zu bannen suchten, waren *D'Alembert**) und *Euler*, welche scharf hervorhoben, dass die Geometrie nur den von einem bewegten Punkte durchlaufenen Weg in's Auge zu fassen habe, während die Mechanik die Zeit und die Kräfte in Rechnung zieht, in welcher und durch welche diese Bewegung vor sich geht. Damit waren der geometrischen Untersuchung alle Bewegungen als solche ohne Rücksicht auf die sie erzeugenden Kräfte zugewiesen, und es war das Gebiet umgrenzt, das man später mit dem Namen Phoronomie belegte und das in unserem Jahrhundert zu einer eigenen Wissenschaft sich ausbildete.

*) *Traité de dynamique*. Paris 1758. Discours préliminaire pag. VII. — Euler: *Formulae generales pro translatione quacunque corporum rigidorum*. 1775. pag. 199, und deutsche Ausgabe der *Theoria motus corporum rigidorum* p. 557. —

Über die Methoden der theoretischen Physik.

Von L. Boltzmann in München.

Von der Redaction des Katalogs aufgefordert, dieses Thema zu behandeln, sah ich alsbald, dass nur wenig Neues zu sagen bleibt; so vieles und gediegenes wurde gerade in neuerer Zeit hierüber geschrieben. Ist ja doch für unsere Zeit eine fast übertriebene Kritik der Methoden der naturwissenschaftlichen Forschung charakteristisch; eine potenzierte Kritik der reinen Vernunft möchte man sagen, wenn dieses Wort nicht vielleicht all zu unbescheiden wäre. Es kann auch nicht meine Absicht sein, diese Kritik nochmals zu kritisiren; nur einige orientirende Worte will ich für jene bringen, welche diesen Fragen ferner stehen, aber doch Interesse dafür hegen.

In der Mathematik und Geometrie war es zunächst unzweifelhaft das Bedürfnis nach Arbeitersparnis, welches von den rein analytischen wieder zu den constructiven Methoden sowie zur Veranschaulichung durch Modelle führte. Scheint dieses Bedürfnis auch ein rein praktisches, selbstverständliches, so befinden wir uns doch gerade hier schon auf einem Boden, wo eine ganze Gattung modern methodologischer Speculationen emporwuchs, die in der präzisesten, geistreichsten Weise von *Mach* zum Ausdrucke gebracht wurden. Dieser behauptet geradezu, der Zweck der Wissenschaft sei nur Arbeitersparnis.

Fast mit gleichem Rechte könnte man, bemerkend, dass bei Geschäften die grösste Ersparnis wünschenswert ist, diese einfach für den Zweck der Verkaufsbuden und des Geldes erklären, was ja in gewissem Sinne in der That richtig wäre. Doch wird man nur ungern, wenn die Distanzen und Bewegungen, die Grösse, physikalische und chemische Beschaffenheit der Fixsterne ergründet,

wenn Mikroskope erfunden und damit die Urheber unserer Krankheiten entdeckt werden, dies als blosser Sparsamkeit bezeichnen.

Allein es ist am Ende Sache der Definition, was man als Aufgabe, was als Mittel zu deren Erreichung bezeichnet. Hängt es ja sogar von der Definition der Existenz ab, was existirt, ob die Körper, ob deren lebendige Kraft, oder überhaupt deren Eigenschaften, so dass wir vielleicht noch einmal unsere eigene Existenz einfach hinweg definiren können.

Doch genug hievon; das Bedürfnis nach der äussersten Ausnützung der Mittel unserer Auffassungskraft existirt, und da wir mit dem Auge die grösste Fülle von Thatsachen auf einmal erfassen (wir sagen charakteristisch genug übersehen) können, so folgt hieraus das Bedürfnis, die Resultate des Calcüls anschaulich zu machen und zwar nicht bloss für die Phantasie, sondern auch sichtbar für das Auge, greifbar für die Hand, mit Gips und Pappe.

Wie wenig geschah in dieser Beziehung noch in meinen Studienjahren! Mathematische Instrumente waren fast unbekannt, und die physikalischen Experimente wurden häufig so angestellt, dass niemand davon etwas sah, als der Vortragende selbst. Da ich obendrein wegen Kurzsichtigkeit auch die Schrift und Zeichnung auf der Schultafel nicht sah, so wurde meine Einbildungskraft stets in Atem gehalten, fast hätte ich gesagt zu meinem Glücke. Doch letztere Behauptung liefe ja dem Zweck dieser Katalogstudie zuwider, der nur die Anpreisung des unendlichen Rüstzeuges von Modellen in der heutigen Mathematik sein kann, und sie wäre auch vollständig unrichtig. Denn hatte auch meine Vorstellungsgabe gewonnen, so war es doch nur auf Kosten des Umfangs der erworbenen Kenntnisse geschehen. Damals war die Theorie der Flächen zweiten Grades noch der Gipfelpunkt geometrischen Wissens und zu ihrer Versinnlichung genügte ein Ei, ein Serviettenreif, ein Sattel. Welche Fülle von Gestalten, Singularitäten, sich aus einander entwickelnder Formen hat der Geometer von heute sich einzuprägen, und wie sehr wird er dabei durch Gipsformen, Modelle mit fixen und beweglichen Schnüren, Schienen und Gelenken aller Art unterstützt.

Daneben gewinnen aber auch die Maschinen immer mehr an Boden, welche nicht zur Versinnlichung dienen, sondern an

Stelle des Menschen die Mühe der Ausführung wirklicher Rechnungsoperationen übernehmen, von den vier Species bis zu den complicirtesten Integrationen.

Dass beide Gattungen von Apparaten auch von den an die stete Handhabung von Instrumenten ohnedies gewöhnten Physikern in der ausgedehntesten Weise verwendet werden, ist selbstredend. Alle möglichen mechanischen Modelle, optische Wellenflächen, thermodynamische Flächen aus Gips, Wellenmaschinen aller Art, Apparate zur Versinnlichung der Gesetze der Lichtbrechung und anderer Naturgesetze sind Beispiele von Modellen erster Art. In der Construction von Apparaten zweiter Art ging man soweit, dass Versuche gemacht wurden, die Werte der Integrale von Differential-Gleichungen, welche in gleicher Weise für ein schwer zu beobachtendes Phänomen, wie die Gasreibung, und ein leicht messbares, wie die Verteilung des elektrischen Stromes in einem leitenden Körper von entsprechend gewählter Gestalt, durch Beobachtung des letzteren Phänomens einfach abzulesen und dann zur Berechnung der Reibungsconstante aus dem ersteren Phänomen zu verwerthen. Man erinnere sich auch der graphischen Auswertung der in der Theorie der Gezeiten, in der Elektrodynamik etc. vorkommenden Reihen und Integralen durch Lord *Kelvin*, welcher in seinen „lectures of molecular dynamics“ sogar die Idee der Gründung eines mathematischen Instituts für solche Rechnungen ausspricht.

In der theoretischen Physik kommen jedoch noch Modelle zur Verwendung, welche ich einer dritten besondern Gattung zuzählen möchte, da sie ihren Ursprung einer besonderen Methode verdanken, die gerade in jenem Wissenszweige immer mehr zur Anwendung kommt. Ich glaube, dass dies mehr dem praktisch physikalischen Bedürfnisse als erkenntnis-theoretischen Speculationen zu verdanken ist. Trotzdem aber hat diese Methode vielfach ein eminent philosophisches Gepräge, und wir müssen daher neuerdings den Boden der Erkenntnistheorie betreten.

Auf der von *Galilei* und *Newton* geschaffenen Grundlage hatten namentlich die grossen Pariser Mathematiker um die Zeit der französischen Revolution und später eine scharf definirte Methode der theoretischen Physik geschaffen. Es wurden mechanische

Voraussetzungen gemacht, woraus mittels der zu einer Art von geometrischer Evidenz gelangten Principien der Mechanik eine Gruppe von Naturerscheinungen erklärt wurde. Man war sich zwar bewusst, dass die Voraussetzungen nicht mit apodiktischer Gewissheit als richtig bezeichnet werden konnten, aber man hielt es doch bis zu einem gewissen Grade für wahrscheinlich, dass sie der Wirklichkeit genau entsprächen und nannte sie deshalb Hypothesen. So dachte man sich die Materie, den zur Erklärung der Lichterscheinungen notwendigen Lichtäther und die beiden elektrischen Fluida als Summen mathematischer Punkte. Zwischen je zwei solchen Punkten dachte man sich eine Kraft wirksam, deren Richtung in ihre Verbindungslinie fällt und deren Intensität eine noch zu bestimmende Function ihrer Entfernung sein sollte (*Boscovic*). Ein Geist, dem alle Anfangspositionen und Anfangsgeschwindigkeiten aller dieser materiellen Theilchen, sowie alle Kräfte bekannt wären und der auch alle daraus resultirenden Differentialgleichungen zu integriren verstünde, könnte den ganzen Weltlauf voraus berechnen, wie der Astronom eine Sonnenfinsternis (*Laplace*). Man stand nicht an, diese Kräfte, welche man sich als das ursprünglich Gegebene, nicht weiter Erklärbare dachte, als die Ursachen der Erscheinungen, die Berechnung derselben aus den Differentialgleichungen als ihre Erklärung zu bezeichnen.

Dazu kam später die Hypothese, dass diese Theilchen auch in ruhenden Körpern in Bewegungen begriffen seien, welche zu den Wärmeerscheinungen Veranlassung geben und deren Natur besonders in den Gasen sehr genau definiert wurde (*Clausius*). Ihre Theorie führte zu überraschenden Vorausberechnungen, so der Unabhängigkeit der Reibungsconstante vom Drucke, gewisser Beziehungen zwischen Reibung, Diffusion und Wärmeleitung etc. (*Maxwell*).

Die Gesamtheit dieser Methoden war so erfolgreich, dass es geradezu als Aufgabe der Naturwissenschaft bezeichnet wurde, die Naturerscheinungen zu erklären und die früher so genannten beschreibenden Naturwissenschaften triumphirten, als ihnen die Hypothese *Darwins* erlaubte, die Lebensformen und Erscheinungen nicht bloß zu beschreiben, sondern ebenfalls zu erklären. Sonder-

barerweise machte fast gleichzeitig die Physik die entgegengesetzte Schwenkung.

Namentlich *Kirchhoff* schien es zweifelhaft, ob die bevorzugte Stellung, welche man den Kräften dadurch zuwies, dass man sie als Ursachen der Erscheinungen bezeichnete, eine berechnete sei.

Ob man mit *Kepler* die Gestalt der Bahn eines Planeten und die Geschwindigkeit in jedem Punkte oder mit *Newton* die Kraft an jeder Stelle angebe, beides seien eigentlich nur verschiedene Methoden, die Thatsachen zu beschreiben und das Verdienst *Newtons* sei nur die Entdeckung, dass die Beschreibung der Bewegung der Himmelskörper besonders einfach wird, wenn man die zweiten Differentialquotienten ihrer Coordinaten nach der Zeit angibt (Beschleunigung, Kraft). Mit einer halben Seite waren die Kräfte aus der Natur hinwegdefinirt und die Physik zur eigentlich beschreibenden Naturwissenschaft gemacht. Das Gebäude der Mechanik war zu fest, als dass diese Veränderung der Aussenseite sein Inneres hätte wesentlich beeinflussen können. Auch die auf die Vorstellung von Molekülen verzichtenden Elasticitätstheorien waren schon älter (*Stokes, Lamé, Clebsch*). Doch auf die Entwicklung anderer Zweige der Physik (Elektrodynamik, Theorie der Pyro- und Piëzoelectricität etc.) gewann die Ansicht grossen Einfluss, dass es nicht Aufgabe der Theorie sein könne, den Mechanismus der Natur zu durchschauen, sondern bloss von möglichst einfachen Voraussetzungen ausgehend (dass gewisse Grössen lineare oder sonst einfache Functionen seien etc.), möglichst einfache Gleichungen aufzustellen, die die Naturerscheinungen mit möglichster Annäherung zu berechnen erlauben; wie sich *Hertz* charakteristisch ausdrückt, nur die direct beobachteten Erscheinungen nackt durch Gleichungen darzustellen, ohne die bunten, von unserer Phantasie ihnen ungehängten Mäntelchen der Hypothesen.

Indessen waren mehrere Forscher schon früher dem alten Systeme von Kraftcentren und Fernkräften von einer andern Seite noch empfindlicher zu Leibe gegangen; man könnte sagen von der entgegengesetzten, weil sie das bunte Mäntelchen der mechanischen Veranschaulichung besonders liebten; man könnte

sagen von benachbarter, da sie ebenfalls auf die Erkenntnis eines den Erscheinungen zu Grunde liegenden Mechanismus verzichteten und in den von ihnen ersonnenen Mechanismen nicht diejenigen der Natur erblickten, sondern bloss Bilder oder Analogien.*) Mehrere Männer, an der Spitze *Faraday*, hatten sich eine ganz verschiedene Naturanschauung gebildet. Während das alte System bloß die Kraftcentra für das Reale, die Kräfte für mathematische Begriffe gehalten hatte, sah *Faraday* deutlich das Weben und Wirken der letzteren von Punkt zu Punkt im Zwischenraume; das Potential, früher eine nur die Rechnung erleichternde Formel, war ihm das im Raume real existirende Band, die Ursache der Kraftwirkung. *Faraday's* Ideen waren viel unklarer, als die früheren mathematisch genau präcisirten Hypothesen und mancher Mathematiker aus der alten Schule schätzte *Faraday's* Theorien gering, ohne jedoch durch die Klarheit seiner Anschauungen zu gleich grossen Entdeckungen zu gelangen.

Bald wurde namentlich in England allenthalben nach möglichst anschaulicher und greifbarer Darstellung der Begriffe und Vorstellungen getrachtet, die früher nur in der Analyse eine Rolle gespielt hatten. Diesem Streben nach Anschaulichkeit entsprang die graphische Darstellung der Grundbegriffe der Mechanik in *Maxwell's* „matter and motion“, die geometrische Darstellung der Superposition zweier Sinusbewegungen, alle durch die Quaternionentheorie bedingten Veranschaulichungen, so die geometrische Deutung des Symbols

$$\Delta = \frac{d^2}{dx^2} + \frac{d^2}{dy^2} + \frac{d^2}{dz^2} \text{ **)}$$

*) Man vergleiche die fast ätherisch fein ausgearbeitete, krystallklare aber farblose Elasticitätstheorie in *Kirchhoff's* Vorlesungen mit der von *Thomson* im 3. Bande der math. and phys. papers gegebenen derb realistischen Theorie nicht des idealen elastischen Körpers, sondern des Stahls, Kautschuks, Leims, oder mit der oft kindlich naiven Sprache *Maxwell's*, der mitten in den Formeln eine wirklich gute Methode, Fettflecken auszuputzen, zum Besten gibt.

**) *Maxwell*, treat. on el. and magn. 1873, vol. I art. 29: nature of the operator ∇ and ∇^2 ; dieselbe wurde später auch von anderen bemerkt: *Mach*, Über Hrn. Guebhard's Darstellg. der Äquipotentialcurven, Wien, Sitzungsber., Bd. 86, pg. 8, 1882. Vgl. auch *Wied. Beibl.*, Bd. 7, pg. 10, c. r. der *Pariser Acad.*, Bd. 95, pg. 479.

Dazu kam ein zweiter Umstand. Die überraschendsten und weitgehendsten Analogien zeigten sich zwischen scheinbar ganz disparaten Naturvorgängen. Die Natur schien gewissermassen die verschiedensten Dinge genau nach demselben Plane gebaut zu haben oder, wie der Analytiker trocken sagt, dieselben Differentialgleichungen gelten für die verschiedensten Phänomene.

So geschieht die Wärmeleitung, die Diffusion und die Verbreitung der Elektrizität in Leitern nach denselben Gesetzen. Dieselben Gleichungen können als Auflösung eines Problems der Hydrodynamik und der Potentialtheorie betrachtet werden. Die Theorie der Flüssigkeitswirbel, sowie die der Gasreibung zeigt die überraschendste Analogie mit der des Elektromagnetismus etc. Vergl. hierüber auch *Maxwell* „scient. pap.“, vol. 1, pag. 156.

Solche Einflüsse drängten auch *Maxwell*, als er an die mathematische Ausarbeitung der *Faraday*'schen Vorstellungen ging, von vorne herein in eine ganz neue Bahn. Schon *Thomson* *) hatte eine Reihe von Analogien zwischen Problemen der Elastizitätstheorie und solchen des Elektromagnetismus hervorgehoben. *Maxwell* erklärte schon in seiner ersten Abhandlung über Elektrizitätslehre **), dass er keine Theorie der Elektrizität zu geben beabsichtige, d. h. dass er selbst nicht an die Realität der incompressibeln Flüssigkeit und der Widerstandskräfte glaube, die er dort annimmt, sondern dass er bloss ein mechanisches Beispiel zu geben beabsichtigt, welches grosse Analogie mit den elektrischen Erscheinungen zeigt und die letzteren auf eine Form bringen will, in der sie der Verstand möglichst leicht erfassen kann. ***) In seiner zweiten Schrift †) geht er noch viel weiter und construirt aus Flüssigkeitswirbeln und Frictionsrollen, die sich innerhalb Zellen mit elastischen Wänden bewegen, einen bewunderungswürdigen Mechanismus, welcher als mechanisches Modell für den Elektromagnetismus dient. Dieser Mechanismus wurde

*) Cambridge a. Dublin math. journal, 1847; math. and phys. pap., vol. I.

***) *Maxwell*, On Faradays lines of force. Cambr. phil. trans., vol. X. Scient. pap., vol. I, pg. 157.

*) *Maxwell*, Scient. pap., vol. I, pg. 157.

†) *Maxwell*, On physical lines of force. Scient. pap., vol. I, pg. 451. Phil. mag. (4), vol. 21, pg. 161, 281, 338, 1861, vol. 23, pg. 12, 85, 1862.

natürlich von Jenen verspottet, welche ihn wie *Zöllner* für eine Hypothese im alten Sinne des Wortes hielten und meinten, *Maxwell* schreibe ihm Realität zu, was dieser selbst doch so entschieden ablehnt und nur bescheiden hofft, „dass durch derartige mechanische Fictionen weitere Forschungen auf dem Gebiete der Elektrizitätslehre mehr gefördert als gehindert sein würden“. Und sie waren gefördert; denn *Maxwell* gelangte durch sein Modell zu jenen Gleichungen, deren eigentümliche, fast unbegreifliche Zaubermacht der hiezu Berufenste, nämlich *Heinr. Hertz*, in seinem Vortrage über die Beziehungen zwischen Licht und Elektrizität*) pag. 11 so drastisch schildert. Ich möchte den Worten *Hertz'* nur beifügen, dass *Maxwell's* Formeln lediglich Konsequenzen seiner mechanischen Modelle waren und *Hertz'* begeistertes Lob in erster Linie nicht der Analyse *Maxwell's*, sondern dessen Scharfsinn in der Auffindung mechanischer Analogien gebührt.

Erst in *Maxwell's* dritter wichtiger Schrift**) und in seinem Lehrbuche***) schälen sich die Formeln mehr von dem Modelle los, welcher Process dann durch *Heavyside*, *Poynting*, *Rowland*, *Hertz*, *Cohn* vollendet wurde. *Maxwell* benutzt noch immer die mechanische Analogie oder, wie er sagt, die dynamische Illustration. Aber er specialisirt sie nicht mehr ins Detail, sondern er sucht vielmehr die allgemeinsten, mechanischen Voraussetzungen auf, welche auf Erscheinungen zu führen geeignet sind, die dem Elektromagnetismus analog sind. *Thomson* wurde durch Erweiterung seiner schon citirten Ideen auf den quasilastischen und den quasilabilen Äther, sowie auf dessen Veranschaulichung durch das gyrostatisch-adynamische Modell geführt.

Natürlich übertrug *Maxwell* die gleiche Behandlungsweise auch auf andere Zweige der theoretischen Physik. Als mechanische Analogien sind zum Beispiele auch *Maxwell's* Gasmoleküle aufzufassen, die sich mit einer der fünften Potenz ihrer Entfernung verkehrt proportionalen Kraft abstossen, und es fehlte

*) Bonn, bei Emil Strauss, 1890.

**) Maxwell, A dynamical theory of the el. magn. field. Scient. pap. I, pg. 526. Roy. soc. trans. vol. 155, pg. 459, 1865.

***) Treat on el. and magn. Oxford, Clar. press 1881.

in der ersten Zeit wieder nicht an Forschern, welche, *Maxwell's* Tendenz missverstehend, seine Hypothese für unwahrscheinlich und absurd erklärten.

Allmählich jedoch fanden die neuen Ideen in allen Gebieten Eingang. Aus dem Gebiete der Wärmetheorie erwähne ich hier nur *Helmholtz'* berühmte Abhandlungen über die mechanischen Analogien des zweiten Hauptsatzes der Wärmetheorie. Ja, es zeigte sich, dass sie dem Geiste der Wissenschaft besser entsprachen, als die alten Hypothesen und auch für den Forscher selbst bequemer waren. Denn die alten Hypothesen konnten nur aufrecht erhalten werden, so lange alles klappte; jetzt aber schadeten einzelne Nichtübereinstimmungen nicht mehr, denn einer blossen Analogie kann man es nicht übel nehmen, wenn sie in einzelnen Punkten hinkt. Daher wurden bald auch die alten Theorien, so die elastische Theorie des Lichtes, die Gastheorie, die Schemata der Chemiker für die Benzolringe etc., nur mehr als mechanische Analogien aufgefasst und endlich generalisirte die Philosophie *Maxwell's* Ideen bis zur Lehre, dass die Erkenntnis überhaupt nichts anderes sei, als die Auffindung von Analogien. Damit war die alte wissenschaftliche Methode wieder hinwegdefiniert und die Wissenschaft sprach nur mehr in Gleichnissen.

Alle diese mechanischen Modelle bestanden vorerst freilich nur im Gedanken, es waren dynamische Illustrationen in der Phantasie und sie konnten auch in dieser Allgemeinheit nicht praktisch ausgeführt werden. Doch reizte ihre grosse Bedeutung dazu an, wenigstens ihre Grundtypen auch praktisch zu verwirklichen.

Über einen von *Maxwell* selbst und einen vom Schreiber dieser Zeilen unternommenen derartigen Versuch ist im zweiten Teile dieses Katalogs berichtet. Auch das Modell *Fitzgerald's* befindet sich gegenwärtig auf der Nürnberger Ausstellung, sowie das Modell *Bjerknes'*, welche ähnlichen Tendenzen ihren Ursprung verdanken. Weitere hieher zu zählende Modelle wurden von *Oliver Lodge*, *Lord Rayleigh* und andern construiert.

Sie alle zeigen, wie die neue Richtung den Verzicht auf vollständige Congruenz mit der Natur durch um so schlagenderes

Hervortreten der Ähnlichkeitspunkte wettmacht. Ihr gehört ohne Zweifel die nächste Zukunft; doch ebenso verfehlt, als es früher war, die alte Methode für die allein richtige zu halten, ebenso einseitig wäre es, sie, die so viel geleistet, jetzt für vollständig abgethan zu halten und nicht neben der neuen zu cultiviren.

München, August 1892.

Über mechanische Integrationen.

Von Dr. Alfred Amsler in Schaffhausen.

Alle mechanischen Integrationen von Functionen, welche sich auf Flächenelemente beziehen, lassen sich mit denselben Hilfsmitteln ausführen, mit denen man den Flächeninhalt einer geschlossenen Curve ermitteln kann.

Im folgenden sollen die Principien einiger der interessantesten mechanischen Integrationen, welche in der Wissenschaft und in der Technik Verwendung finden können, auseinandergesetzt werden.

Von mechanischen Hilfsmitteln, welche bei den verschiedenen Instrumenten die Integration besorgen, sind mir drei bekannt, nämlich

1) Eine *Rolle*, deren *rundlicher* oder *flacher* Rand mit sanftem Druck gegen eine Fläche anliegt. Der Rollenrand muss glatt sein oder darf doch wenigstens keine schiefen Kerben haben. Findet eine relative Bewegung zwischen Fläche und Rolle statt, so wird die Rolle durch Reibung von der Fläche in Umdrehung versetzt. Wird die Rolle so auf der Fläche bewegt, dass der Berührungspunkt einen Weg von der Länge s senkrecht zur Rollenaxe beschreibt, so *rollt* die Rolle auf der Fläche. Ist r der Radius der Rolle und ϑ der Winkel, um welchen sich die Rolle gedreht hat, so ist $r\vartheta = s$

Ich nenne die Grösse $r\vartheta$ die Abwicklung der Rolle und bezeichne sie mit u . In diesem Falle ist also $u = s$. Verschiebt man die Rolle in der Richtung ihrer Axe, so findet kein Rollen statt, sondern blosses Gleiten, ohne dass sich die Rolle dreht, dann ist $u = 0$.

Bewegt man die Rolle so, dass ihr Berührungspunkt eine geradlinige Bahn beschreibt, welche mit der Rollenaxe den Winkel α bildet, so findet gleichzeitig Rollen und Gleiten statt und es wird

$$u = s \sin \alpha.$$

Ändert man die Richtung der Rollenaxe, ohne die Lage des Berührungspunktes der Rolle zu ändern, so findet weder Gleiten noch Rollen statt und die Rolle dreht sich nicht um ihre Axe.

Es sind dies alle Bewegungsarten, welche eine solche Rolle ausführen kann.

Beschreibt der Berührungspunkt auf der Fläche eine beliebige unendlich kleine Bahn ds , während die Rollenaxe gleichzeitig ihre Richtung ändert, so hat man daher $du = \sin \alpha ds$, und beschreibt der Berührungspunkt eine Bahn von endlicher Länge, so wird die Rollenabwicklung $u = \int \sin \alpha ds$.

Bei dieser Ableitung wurde nichts vorausgesetzt über die Beschaffenheit der Fläche, auf welcher die Rolle sich bewegt. Es ist auch weiter keine Voraussetzung nötig, als dass die Fläche keine Kanten und Ecken habe, und dass die Rollenaxe stets senkrecht sein soll zur Normalen, welche man im Berührungspunkt der Rolle auf die Fläche errichten kann.

Je nach dem Zweck, den man bei Anwendung dieses Integrationsprinzips verfolgt, hat man durch passende kinematische Verbindungen dafür zu sorgen, dass sich der Winkel α in der richtigen Weise ändert. Bei wirklich ausgeführten Instrumenten kommt als Fläche, auf welcher die Rolle läuft, nur vor der Kreis-kegel, die Ebene oder die Kugel.

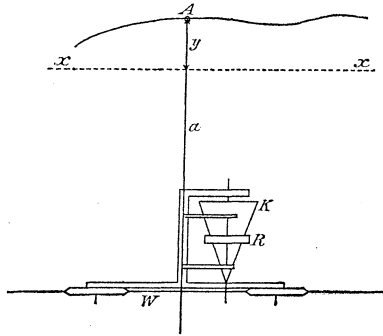
Mit diesen Hilfsmitteln kann man eine grosse Menge verschiedener Integrale auswerten; die Genauigkeit der Resultate genügt bei sachverständiger Ausführung der Instrumente den weitestgehenden Ansprüchen. Eine auf einer Fläche theils rollende, theils gleitende Rolle dürfte wohl das *einfachste* mechanische Integrationsmittel sein.

Das älteste Planimeter, von Gonnella im Jahre 1824 erfunden, enthält als Integrationsmechanismus eine Rolle, welche auf einem Kegel läuft. Das Instrument ist schematisch in nachstehender Figur dargestellt, und mag als Typus aller sogenannten Linear-

planimeter, oder besser Orthogonalplanimeter (im Gegensatz zu Polarplanimeter) gelten.

Dessen Einrichtung besteht im Wesentlichen in Folgendem:

Die Räder eines Wagens W laufen in der geraden Nuth eines auf der Zeichnungsebene ruhenden Lineals. Am Wagen



ist ein Arm angebracht, der einen drehbaren Kegel trägt, dessen Axe in einer zur Nuth senkrechten Ebene liegt und gegen die Zeichnungsebene so geneigt ist, dass die oberste Erzeugende des Kegels parallel zur Zeichnungsebene ist. Mit dem untersten Punkt des Endkreises ruht der Kegel auf der Zeichnungsebene. In einer Führung am Wagen lässt sich, senkrecht gegen die Nuth des Lineals und parallel zur Zeichnungsebene, eine Stange a verschieben, welche an einem Ende einen Fahrstift A und in der Mitte eine auf dem Kegel aufliegende Rolle trägt, deren Axe parallel zu a ist. Führt man den Fahrstift auf der Curve $y = f(x)$ von A_1 bis A_2 , so verschiebt sich der Wagen um die Strecke x ; der Kegel dreht sich in Folge der Reibung auf der Zeichnungsfläche proportional zur Grösse der Verschiebung des Wagens. Dreht sich der Kegel um einen bestimmten Winkel, so dreht sich auch die darauf ruhende Rolle und zwar ist die Drehung der letztern proportional zur Entfernung des Berührungspunktes der Rolle mit dem Kegel von der Kegelspitze. Diese Entfernung ist aber gleich y , und die Drehung des Kegels ist proportional zum Zuwachs von x , folglich ist die Drehung der Rolle proportional zu $\int y dx$.

Wird an Stelle des Kegels eine horizontale Scheibe gebracht, welche sich unter Anwendung passender Hilfsmittel proportional zur Verschiebung des Wagens W dreht, so ist die Drehung der Rolle, welche auf dem Durchmesser der Scheibe senkrecht zum Wagen verschiebbar ist, proportional zur Entfernung des Berührungspunktes der Rolle mit der Scheibe vom Centrum der Scheibe, und die Rollendrehung wird wieder proportional zu $\int y dx$, wenn der Punkt A eine Curve durchläuft.

Diese Construction wurde im Jahre 1825 ebenfalls von Gonnella ausgeführt.

Das aus dem Jahre 1827 datirende Oppikofer'sche Planimeter ist identisch mit dem Kegelplanimeter Gonnella's. Das unter dem Namen Wetli'sches Planimeter bekannte Instrument ist ähnlich der zweiten Planimeterconstruction Gonnella's. Die Frage, wem die Priorität der Erfindung des ersten mechanischen Planimeters zukommt, findet sich ausführlich erörtert in *Antonio Favaro*, Beiträge zur Geschichte der Planimeter, Separat-Abdruck aus der „Allgemeinen Bauzeitung“ Wien 1873. Ebendasselbst findet man auch eine reichhaltige Zusammenstellung der Originalliteratur über die verschiedenen Planimeterconstructions bis 1873.

Die Polarplanimeter, welche heutzutage im allgemeinen Gebrauch sind und deren Theorie als Ausgangspunkt für anderweitige Integrationen folgen wird, haben als Integrationsmechanismus die Combination von Rolle und Ebene, die complicirteren auch wohl von Rolle oder Cylinder und Kugel.

Vergl. *J. Amsler*, Über die mechanische Bestimmung des Flächeninhalts, der statischen Momente und der Trägheitsmomente ebener Figuren, insbesondere über einen neuen Planimeter, Schaffhausen 1856; Separat-Abdruck aus der „Vierteljahrsschrift der naturforschenden Gesellschaft in Zürich“; sowie die französische Zeitschrift „Cosmos“ des Abbé Moigno, 29. Februar 1856.

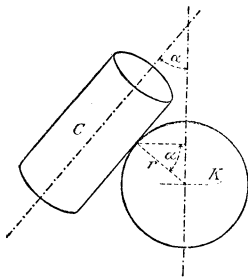
2) Ein zweiter Integrationsmechanismus, welcher dem zuerst beschriebenen nahe verwandt ist, ist eine Combination von irgend *zwei Flächen*, welche sich aufeinander *wälzen*.

Bei wirklich ausgeführten Instrumenten kommen nur folgende Flächen vor: Kugel, Kreiscylinder, Ebene, Kreiskegel. Der

Zweck, welcher durch Anwendung dieser complicirten Mittel verfolgt wird, ist die Vermeidung gleitender Reibung, wie sie bei dem zuerst beschriebenen Integrationsmittel vorkommt.

Wendet man Kugel und Cylinder an, so bleibt die Betrachtung genau dieselbe wie bei Anwendung einer Kugel, auf welcher eine Rolle läuft; nur hat man dort an Stelle von Rolle den Ausdruck Cylinder zu setzen und zu beachten, dass, wenn sich der Berührungspunkt von Cylinder und Kugel in der Richtung der Cylinderaxe verändert, der Cylinder in seine neuen Lagen durch Walzen anstatt durch Gleiten kommt.

Weniger allgemein aufgefasst und für alle ebenen Integrationen noch hinreichend, kann man den



Mechanismus auch folgendermassen definiren. Die Rotationsachsen der Kugel K und des Cylinders C sollen in einer und derselben Ebene liegen und den veränderlichen Winkel α mit einander bilden. Dreht sich die Kugel um einen unendlich kleinen Winkel φ um ihre Rotationsaxe und bezeichnet r den Radius der Kugel, so ist die Abwicklung du des Cylinders C

$$du = r \varphi \cos \alpha.$$

Ändert man den Winkel α , so wälzt sich der Cylinder auf der Kugel, ohne sich zu drehen. Ändert man den Winkel α , während man die Kugel dreht, so wird nach einer relativen Bewegung des Systems von endlicher Grösse die Cylinderabwicklung $u = r \int \cos \alpha \varphi$.

Durch passende kinematische Verbindungen hat man dann wieder für die zweckdienliche Herstellung des Winkels zu sorgen. Ein Planimeter mit diesem Integrationsmechanismus ist beschrieben in der Abhandlung „Neuere Planimeter-Constructions“ von J. Amsler-Laffon, Zeitschrift für Instrumentenkunde, Berlin 1884. Es ist dies meines Wissens die einzige Planimeterconstruction, bei welcher gar kein Gleiten vorkommt.*) Die Bedingung des

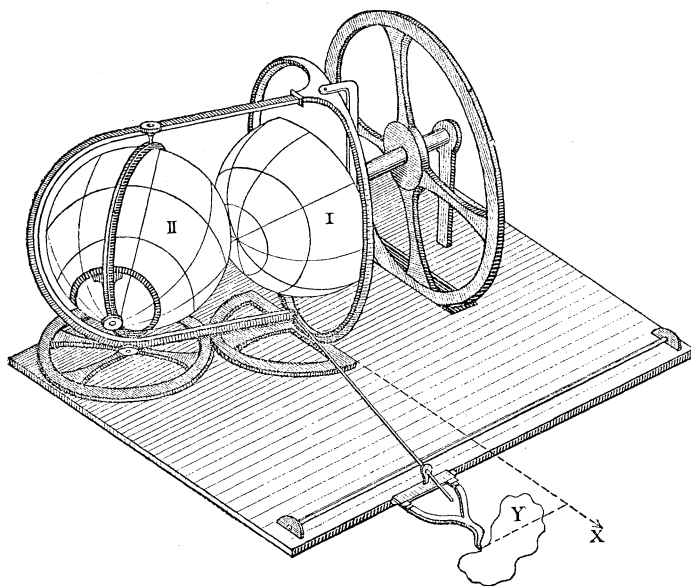
*) Es sei gestattet hier die folgende historische Bemerkung einzufügen:

Bereits zu Anfang des Jahres 1855, kurz nachdem die ersten (Sang's) Planimeter nach England kamen, hat *Clerk Maxwell* ein *Planimeter ohne*

blossen Wälzens ohne Gleiten ist bei den sogenannten Kugelplanimetern von Coradi nur *annähernd* erfüllt.

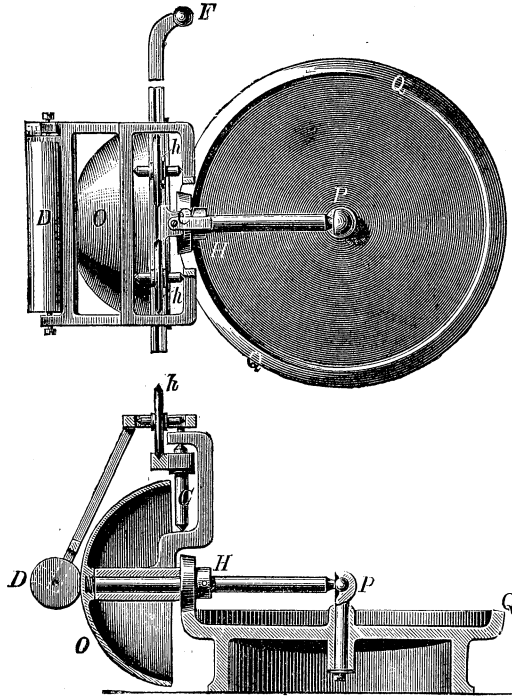
Da Planimeter dieser Kategorie seit einiger Zeit auch in praktischen Gebrauch gekommen sind, will ich hier das oben citirte Instrument meines Vaters als Typus dieser Gattung Instrumente kurz beschreiben.

gleitende Reibung construirt, bei welchem sich zwei Kugeln von gleichem Radius aufeinander abwälzen. Die betr. Publication Maxwell's, datirt vom 22. Januar 1855, findet sich in den Transactions of the Royal Scottish Society of Arts vol. IV, part. IV, und ist betitelt: „*Description of a new form of the Planimeter, an Instrument for measuring the Areas of plane figures drawn on Paper*“ (Wieder abgedruckt in den Werken Bd. I p. 230 ff.).



Die Charakteristik des Instrumentes (das unseres Wissens nie ausgeführt worden ist) ist kurz die folgende: Eine Kugel I mit horizontaler Axe dreht sich proportional der Bewegung eines Wagens in der Richtung der x -Axe (vergl. nebenstehende, der genannten Abhandlung entnommene Figur). Eine zweite Kugel II, um eine verticale und eine horizontale Axe wird dagegen gepresst. Die Umdrehung dieser zweiten Kugel um ihre horizontale Axe ist proportional der Drehung der ersten Kugel und der Entfernung der Berührungspunkte beider Kugeln von der Drehaxe der ersten Kugel. Die Verbindungslinie der Mittelpunkte beider Kugeln wird stets senkrecht geführt zu einem

Die Axe H trägt eine Kugelcalotte O und ein konisches Zahnrädchen, welches auf dem horizontalen gezahnten Kreis Q läuft. Der Fahrstift F ist an einem Arm befestigt, der um die



verticale Axe C drehbar ist. Letztere geht durch das Centrum der Kugel O. Auf der obern Seite des Fahrarms ist parallel zur Richtung C F eine Nuth angebracht, in welcher die beiden

Stäbe, welcher den Mittelpunkt der ersten Kugel mit einem in der Richtung der y-Axe gleitenden Schlitten verbindet, welcher den Fahrstift trägt. Man beweist leicht, dass das y der Curve dann stets proportional ist der Entfernung des Berührungspunktes beider Kugeln von der Drehaxe der ersteren. Die Umdrehung der zweiten Kugel um ihre horizontale Axe ist dann proportional dem umfahrenen Flächenstück.

Maxwell hat auch (in eben dieser Abhandlung) ein *Polarplanimeter* angegeben, bei welchem die Bewegung des in einer Hülse verschiebbaren Fahrarms durch einen auf einer Hyperbel gleitenden Hebel auf den Integrator übertragen wird. Dieser letztere ist von der oben beschriebenen Art.

Die Redaction.

Räder h eines Wagens laufen. Der Wagen trägt den Cylinder D , welcher die Kugel auf dem horizontalen grössten Kreis mit leichtem Druck berührt. Bewegt man den Fahrstift F auf einem Kreisbogen, dessen Centrum P ist, so dreht sich die Kugelcalotte um einen Betrag, der proportional ist zu der Länge des von C durchlaufenen Weges, welchen ich wieder mit s bezeichne. Ist $F C$ senkrecht zu $P C$, so rotirt der Cylinder D nicht. Bildet $F C$ den Winkel α mit jener ursprünglichen Lage, so berührt der Cylinder die Kugel in einem Punkt, dessen Abstand von der Rotationsaxe der Kugel gleich ist $r \sin \alpha$, wenn r den Radius der Kugel bedeutet. Dreht man nun das Instrument in dieser Lage um den Punkt P , ohne die relative Lage von $F C$ und $C P$ zu verändern, so rotirt der Cylinder D proportional zu $r \sin \alpha$ und zu s . Die Drehung des Cylinders wird mithin gleich $c r \sin \alpha$, wobei c eine Constante bedeutet, welche von den Dimensionen des Instruments abhängt.

Führt man den Fahrstift F auf einem Kreisbogen, dessen Centrum C ist, so dreht sich die Kugelcalotte nicht, dagegen ändert der Cylinder seine Lage auf der Kugel. Der Cylinder wälzt sich, ohne zu gleiten, in seine neue Lage, wobei der Wagen sich auf der Nuth des Fahrarms etwas verschiebt. Der Cylinder rotirt bei dieser Bewegung nicht. Beschreibt der Fahrstift F irgend eine Curve, so findet gleichzeitig Drehen der Kugel und Wälzen des Cylinders statt und letzterer rotirt dabei um einen Betrag der gleich ist $c r \int \sin \alpha ds$, welcher Wert proportional ist zum Flächeninhalt der von F beschriebenen Curve. Wäre der Rahmen, welcher den Cylinder D trägt *nicht* beweglich in der Richtung des Fahrarms, so würde das Instrument trotzdem noch obiges Integral richtig angeben. Allerdings könnte dann der Cylinder seine Lage auf der Kugel nicht mehr ändern, ohne zu gleiten. Auch ist es theoretisch durchaus nicht nötig, dass die Axe C durch den Kugelmittelpunkt geht, wenn sie nur die Rotationsaxe der Kugel schneidet. Selbstverständlich muss dafür gesorgt sein, dass unter allen Umständen der Cylinder die Kugel stets berührt.

Ferner ist es nicht nötig, dass der Cylinder die Kugel in einem grössten Kreis berühre, der Cylinder kann sogar während

der Bewegung des Instruments seine Lage auf der Kugel *beliebig* verändern, wenn dabei nur seine Axe sich selbst parallel bleibt. Liegen jedoch die Rotationsaxe des Cylinders und die Rotationsaxe der Kugel nicht in ein und derselben Ebene, so findet bei jeder Rotation der Kugel ein Gleiten des Cylinders auf der Kugel statt.

Soll nämlich blosses Rollen von Cylinder auf Kugel stattfinden, so muss die Fortbewegungsrichtung der beiden materiellen Punkte, in welchen die beiden Flächen sich berühren, für beide Punkte dieselbe sein. Denkt man sich also im Berührungspunkt eine Tangente an den Parallelkreis der Kugel gelegt, so muss diese Linie auch gleichzeitig Tangente des Cylinderkreises sein, der durch den Berührungspunkt geht. Dieses ist aber nur möglich, wenn sich die Rotationsaxen von Kugel und Cylinder schneiden. Liegen die beiden Rotationsaxen nicht in einer Ebene, so bilden die Tangenten der beiden Berührungskreise einen Winkel ψ miteinander. Bedeutet u_1 den Weg, welchen der Berührungspunkt auf dem Parallelkreis der Kugel bei deren Rotation zurücklegt, und u_2 den resultirenden Weg des Berührungspunktes auf dem Cylinderkreis, so ist $u_2 = u_1 \cos \psi$.

Es findet also eine schiefe relative Bewegung statt, welche Gleitung bedingt. Sollte keine Gleitung stattfinden, so müsste die Bedingung $u_2 = u_1$ erfüllt sein.

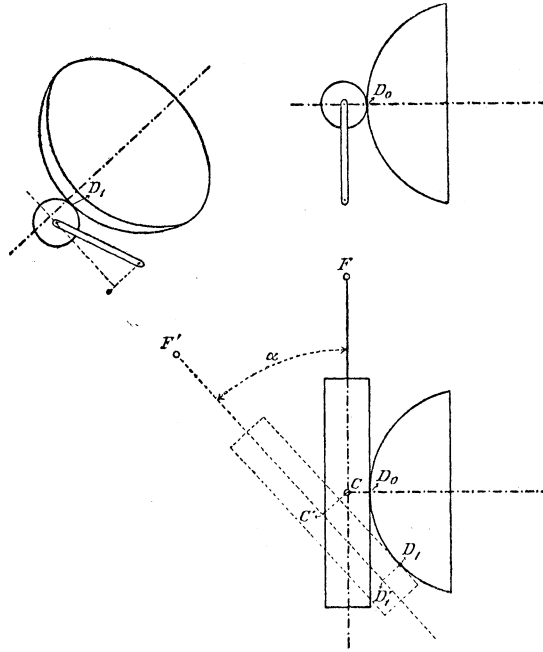
Würde bei dem beschriebenen Planimeter der Cylinder die Kugel nicht in dem horizontalen grössten Kreis berühren, sondern höher oder tiefer, so wäre die Entfernung des Berührungspunktes von der Rotationsaxe der Kugel *nicht* gleich, sondern grösser als

$r \sin \alpha$, nämlich gleich $\frac{r \sin \alpha}{\cos \psi}$. Es würde mithin $u_1 = c \frac{r \sin \alpha}{\cos \psi} ds$

und $u_2 = u_1 \cos \psi = cr \sin \alpha ds$ sein,

womit nachgewiesen ist, dass auch in diesem Fall das Instrument richtige Resultate giebt. Ohne den Cylinder oder den ihn tragenden Rahmen in der Richtung der Rotationsaxe des Cylinders beweglich zu machen, ist es nicht möglich, ein Gleiten des Cylinders auf der Kugel zu vermeiden, wohl aber kann man durch zweckmässige Wahl der verticalen Axe C des Fahrarms die Gleitung bedeutend reduciren, was beim Kugelplanimeter von Coradi in

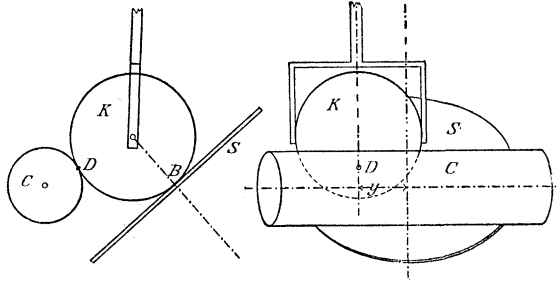
geschickter Weise durchgeführt ist. Dort ist die Axe C durch den Schnittpunkt der Rotationsachsen von Kugel und Cylinder gerichtet. Das den Cylinder tragende Rähmchen ist drehbar um



eine Axe parallel zum Fahrarm. Dreht man den Fahrarm um den Winkel α aus seiner ursprünglichen Lage heraus, so kommt der Cylinder durch unvollkommenes Wälzen in seine neue Lage. Der Betrag, um welchen der Cylinder dabei gleitet, ist gleich der Differenz der krummlinigen, auf der Kugel gemessenen Entfernung D_0 D_1 und der Entfernung der Projectionen der Punkte C und D_1 auf die schiefe Cylinderaxe C_1 D_1 . Bei kleinen Werten von α ist jene Differenz verschwindend klein. Bei jeder schiefen Lage des Cylinders berührt dieser die Kugel in einem Punkt, der tiefer liegt als D_0 , es wird in Folge dessen bei einer Rotation der Kugelcalotte ebenfalls ein partielles Gleiten des Cylinders stattfinden. Da nun bei kleinen Werten von α der Berührungspunkt wenig tiefer als D_0 liegt, so ist auch das resultirende Gleiten des Cylinders sehr unbedeutend.

Die Combination von Kugel und Ebene, oder Kugel und Kreiskegel, genügt für sich allein nicht zur Auswertung eines Integrals. Um ein Resultat zu bekommen, muss man noch einen Cylinder zu Hilfe nehmen.

Man denke sich eine ebene Scheibe S und einen Cylinder C dessen Axe parallel zur Scheibenebene gerichtet ist. Eine Kugel K liege gleichzeitig gegen den Cylinder und die Scheibe an und



zwar so, dass die Kugel die Scheibe in einem Punkt eines Durchmessers berührt. Die Berührungspunkte der Kugel mit der Scheibe und dem Cylinder seien resp. B und D .

Eine Vorrichtung soll gestatten, die Kugel in der Richtung der Cylinderaxe so zu verschieben, dass sich dabei die Kugel frei drehen kann und Cylinder und Scheibe stets berührt. Dreht sich die Scheibe um ihre Axe um den Winkel φ während die Lage der Kugel unverändert bleibt, so dreht sich letztere um eine Axe, welche parallel zur Cylinderaxe ist. Diese Drehung wird von der Kugel direct auf den Cylinder übertragen. Bezeichnet y die Entfernung des Scheibenmittelpunkts vom Berührungspunkt der Kugel mit der Scheibe, so wird der vom Cylinder abgewickelte Bogen

$$du = y \, d\varphi.$$

Verschiebt man die Kugel in der Richtung der Cylinderaxe, so rollt sie einerseits der Scheibe entlang, andererseits dem Cylinder entlang; eine Drehung des Cylinders findet nicht statt.

Bringt man daher die Scheibe in Drehung, während man die Lage der Kugel passend verändert, so erhält man nach einer Bewegung des Systems von endlicher Grösse als Cylinderabwicklung

$$u = \int y \, d\varphi.$$

Bringt man diesen Mechanismus z. B. an Stelle des Kegels oder der Scheibe im Gonnella'schen Planimeter und die Kugel an Stelle der Rolle, so hat man ein Linearplanimeter ohne Gleitung. Will man wirklich keine Gleitung haben, so muss die Gabel, welche die Kugel hin- und herschiebt, mit Führungsrollen versehen sein, deren Axen parallel zur Verbindungslinie von B und D gerichtet sind.

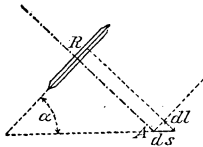
Dieser Integrationsmechanismus ist zwar complicirt, hat aber, wie die Linearplanimeter die Eigentümlichkeit, in jedem Augenblick das fertige Resultat anzugeben, ohne dass man das System in die Anfangslage zurückbringen muss. Der Mechanismus wurde von Sir W. Thomson bei einem Apparat zur Auswertung der Coëfficienten periodischer Reihen angewendet.

(Siehe W. Thomson, Natural Philosophy.)

3) Der dritte Integrationsmechanismus ist von den beiden vorhergehenden wesentlich verschieden. Der Mechanismus besteht in einer *Rolle* mit *scharfem Rand*, welche auf einer Fläche rollt, ohne seitlich gleiten zu können; dagegen muss sie sich um ihren Berührungspunkt auf der Fläche drehen können. Statt einer scharfkantigen Rolle kann man auch irgend eine sich nicht drehende Schneide auf der Fläche laufen lassen. Die Abwicklung kommt hier nicht in Betracht; die Rolle soll nur eine gewisse *Lage* oder eine gewisse *Richtung* fixiren.

Zur Erkenntnis der Wirkungsweise der Rolle im ersten Fall, denke man sich eine scharfkantige Rolle R, welche sich auf ihrer Drehungsaxe verschieben lässt.

Bewegt sich ein Punkt A der Drehungsaxe parallel zur Ebene der Rolle und sorgt man dafür, dass sich die Richtung der Rollenebene nicht ändern kann, so rollt die Rolle auf der Fläche in der Richtung der Rollenebene; die Entfernung des Punktes A von der Rollenebene, auf welche es nun ankommt, ändert sich dagegen nicht. Bewegt man dagegen den Punkt A in der Richtung der Rollenaxe, so bleibt die Rolle stehen und die Axe gleitet ein Stück weit durch die Rolle. Ich nenne diese Strecke l. Bewegt man den Punkt A auf der beliebigen unendlich



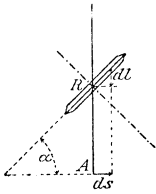
kleinen Bahn ds , und sorgt dafür, dass sich der Winkel α welchen die Rollenebene mit der Bewegungsrichtung von A bildet, nicht ändert, so wird $dl = ds \sin \alpha$. Ändert sich der Winkel gleichzeitig unendlich wenig, so hat dies auf die Länge dl keinen Einfluss. Bewegt man den Punkt A auf einem endlichen Curvenstück, so wird

$$l = \int \sin \alpha \, ds.$$

Durch passende kinematische Verbindungen hat man dann wieder für die Herstellung des Winkels α zu sorgen.

Das einzige mir bekannte Instrument, welches auf diesem Princip basirt, ist ein Polarplanimeter meines Vaters (siehe J. Amsler, Vierteljahrsschrift 1856.)

Um die Wirkungsweise einer scharfkantigen Rolle, welche eine gewisse *Richtung* fixiren soll, einzusehen, denke man sich eine Stange R A so mit der Rolle verbunden, dass der Berührungspunkt der Rolle auf der Fläche sich nur in der Richtung der Stange verschieben lässt, und dass die Richtung der Rollenebene gleichzeitig beliebig verändert werden kann. Verschiebt man nun die Stange A R parallel zu sich selbst, so dass A die zu A R senkrechte Bahn ds beschreibt, so rollt die Rolle in der Richtung ihrer Ebene. Dabei verschiebt sich der Punkt R auf der Stange um die Strecke dl . Es ist $dl = \operatorname{tg} \alpha \, ds$. Durchläuft A ein endliches Curvenstück und sorgt man durch passende kinematische Verbindungen für die Herstellung des Winkels α , so erhält man $l = \int \operatorname{tg} \alpha \, ds$.

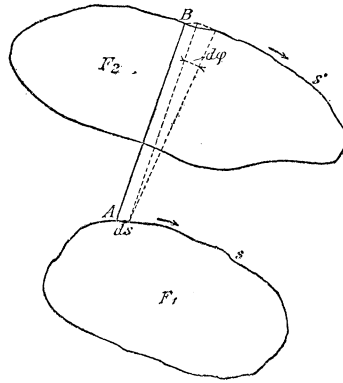


Ein Instrument, welches auf diesem Integrationsprincip basirt, ist das zeichnende Planimeter (Integraph genannt) von Abdank-Abakanowicz.

Es soll nun gezeigt werden, wie man die besprochenen Integrationsmechanismen angewendet hat und anwenden kann, um Integrale von praktischer Bedeutung auszuwerten. Ich beschränke mich der Einfachheit wegen auf die Anwendung des erstgenannten Integrationsmittels, nämlich einer Rolle, welche auf einer Fläche teils rollt, teils gleitet, bemerke jedoch, dass man dasselbe auch

leisten könnte mit Zugrundelegung der andern Integrationsprincipien.

Ich betrachte zunächst eine begrenzte Gerade a , deren Endpunkte A und B auf zwei beliebigen, in derselben Ebene liegen-



den festen Curven s und s' gleiten. Bei einer unendlich kleinen Parallelbewegung bestreicht die Gerade a die Fläche

$$a \sin \alpha ds$$

wenn α den Winkel bedeutet, welchen a mit der Bewegungsrichtung des Punktes A und ds die Länge der Bahn von A bedeutet.

Dreht sich die Gerade a um den Punkt A um den Winkel $d\varphi$, so bestreicht a die Fläche $\frac{a^2 d\varphi}{2}$.

Finden beide Bewegungen gleichzeitig statt, so ist das bestrichene Flächenelement

$$dF = a \sin \alpha ds + \frac{a^2}{2} d\varphi.$$

Führt die Gerade a eine endliche Bewegung aus, so ist daher die von a bestrichene Fläche

$$F = a \int \sin \alpha ds + \frac{a^2}{2} \varphi$$

wobei das Integral über den ganzen vom Punkt A durchlaufenen Weg auszudehnen ist; φ ist der Winkel zwischen Anfangs- und

Endlage der Geraden a . Fallen diese zusammen, so ist entweder $\varphi = 0$ oder $= 2\pi$ je nachdem die Gerade a während der Bewegung *keine* oder *eine* ganze Umdrehung gemacht hat; und es wird dementsprechend

$$F = a \int \sin \alpha \, ds$$

$$\text{oder } F = a \int \sin \alpha \, ds + a^2 \pi$$

Sind F_1 und F_2 die Flächeninhalte von s resp. s' , und nehme ich den künftig bloß in Betracht kommenden Fall an, dass A und B die beiden Curven in demselben Sinn durchlaufen, so ergibt eine einfache Betrachtung, die ich hier nicht näher ausführen will, dass

$$F = F_2 - F_1$$

$$\text{mithin } F_2 - F_1 = a \int \sin \alpha \, ds$$

$$\text{oder } F_2 - F_1 = a \int \sin \alpha \, ds + a^2 \pi.$$

Gleitet der Punkt auf s hin und her, so ist

$$F_1 = 0 \text{ und } F_2 = a \int \sin \alpha \, ds.$$

Denkt man sich nun, dass die Gerade a eine Stange vorstellt, welche eine Rolle trägt, die auf der Zeichnungsebene ruht und deren Axe parallel zu a ist, so hat man ein Instrument, um Flächeninhalte zu messen. Wird nämlich der Punkt A durch eine kinematische Verbindung auf der Curve s und der Punkt B mit der Hand auf der Curve s' geführt, so gibt die Rolle den Wert des Integrals $\int \sin \alpha \, ds$ an, wenn die Stange a wieder in die Anfangslage zurückgekehrt ist.

Bezeichne ich wie früher die Rollenabwicklung mit u , so hat man

$$u = \int \sin \alpha \, ds$$

$$\text{und } F_2 = au$$

Wählt man für die Curve s einen Kreis, so kommt man zu dem bekannten Polarplanimeter von *J. Amsler-Laffon*.*)

*) Siehe *J. Amsler*, Vierteljahresschrift 1856.

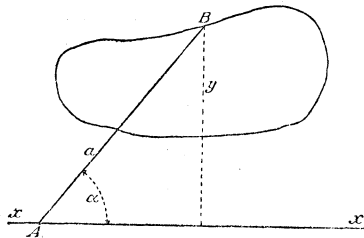
Ich nehme nun an, der Punkt A werde auf einer Geraden x geführt. Für den Inhalt der von B umfahrenen Figur hat man wieder

$$au = a \int ds \sin \alpha.$$

Setze ich $ds = dx$, $a \sin \alpha = y$, so wird

$$au = \int y dx,$$

worin y als Function von x anzusehen ist.



Durch die Substitutionen $y = a \sin \alpha$, $dx = ds$ kann ich umgekehrt jedes Integral von der Form

$$\int y^n dx,$$

welches sich über eine geschlossene Curve $y = f(x)$ erstreckt, und worin n eine positive ganze Zahl bedeutet, durch Integrale von der Form

$$\text{const.} \int ds \sin \beta$$

ausdrücken, also durch Integrale, welche mit den bisher angewandten Hilfsmitteln mechanisch ausgewertet werden können, wenn man nur im Stande ist, jederzeit den Winkel β , der eine Function von α ist, durch einen Mechanismus herzustellen. Macht man jene Substitution, so wird

$$\int y^n dx = a^n \int ds \sin^n \alpha \dots \dots \dots$$

Nun ist

$$\text{für } n = 2p + 1$$

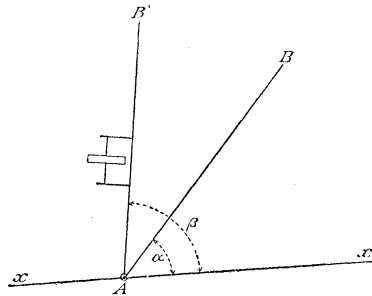
$$(-1)^p 2^{2p} \sin^{2p+1} \alpha = \sin(2p+1)\alpha - \frac{2p+1}{1} \sin(2p-1)\alpha + \dots,$$

und für $n = 2q$

$$(-1)^q 2^{2q-1} \sin^{2q} \alpha = \cos 2q \alpha - \frac{2q}{1} \cos (2q - 2) \alpha + \dots$$

Setzt man für $\sin^n \alpha$ diese Werte in $\int ds \sin^n \alpha$ ein, so erhält man für $\int y^n dx$ einen Ausdruck, der nur noch Integrale von der Form $c \int \sin m \alpha ds$ oder $c \int \sin \left(\frac{\pi}{2} - m \alpha\right) ds$ enthält (m bedeutet eine positive ganze Zahl, c eine Constante), sodass also $\beta = m \alpha$ oder $\beta = \frac{\pi}{2} - m \alpha$ wird.

Ist mit der Stange AB eine zweite Stange AB' bei A durch ein Scharnier verbunden, und durch einen Mechanismus dafür gesorgt (was auf verschiedene Arten möglich ist), dass in jedem Moment der Bewegung der Winkel β , welchen AB' mit der Ge-



raden x bildet, gleich $m \alpha$ ist, so wickelt, wenn man mit B die geschlossene Figur $y = f(x)$ umfährt, eine an der Stange AB' angebrachte Rolle einen Bogen ab, der gleich ist

$$u' = \int \sin \beta ds, \text{ wenn die Rollenaxe parallel zu AB',}$$

$$u' = \int \cos \beta ds, \text{ wenn dieselbe senkrecht zu AB' an der Stange befestigt ist.}$$

Zur Auswertung eines jeden in dem für $\int y^n dx$ substituirten Ausdruck vorkommenden Integrals ist eine Stange mit daran befestigter Rolle erforderlich; alle Stangen müssen in A scharnierartig mit einander verbunden sein und jederzeit mit der Geraden x

einen Winkel bilden, der gleich ist einem ganzen Vielfachen von α . Die Summe der mit den entsprechenden Constanten multiplicirten Rollenabwicklungen ergibt dann den Wert des Integrals

$$\int y^n dx,$$

welches sich über den ganzen von B durchlaufenen geschlossenen Weg erstreckt.

Ein Beispiel dieser Art Instrumente ist der Integrator von *J. Amsler-Laffon*, welcher die Integrale

$$\int y dx, \int y^2 dx \text{ und } \int y^3 dx,$$

gleichzeitig auswertet (Vergl. *J. Amsler*, Vierteljahresschrift).

Nachdem es gelungen ist, das Integral $\int y^n dx$ mit denselben Hilfsmitteln auszuwerten, mit denen sich $\int y dx$ mechanisch bestimmen lässt, kann man sich fragen, ob es nicht auch gelingt, durch Umfahren einer Figur Integrale von der Form $\int y^n x^m dx$ mechanisch auszuwerten. Es ist dies in der That möglich und auch für den Fall $m = 1$ von der Firma *J. Amsler-Laffon und Sohn* mehrfach ausgeführt worden zum Zweck der Untersuchung von Rotationskörpern aus deren Schnitt durch die Rotationsaxe (ballistische Untersuchungen). Eine Beschreibung dieses Instruments ist bis jetzt noch nicht publicirt worden.

Sind x und y die Coordinaten eines Punktes der ebenen Figur, welche durch Rotation um die x -Axe den Rotationskörper erzeugt, so ist das Volumen desselben

$$V = \pi \int y^2 dx,$$

das statische Moment des Körpers in Bezug auf die y -Ebene

$$M_y = \pi \int y^2 x dx,$$

das Trägheitsmoment in Bezug auf dieselbe Ebene

$$I_y = 2\pi \int y^2 x^2 dx,$$

und das Trägheitsmoment in Bezug auf die Rotationsaxe

$$I_x = \frac{\pi}{2} \int y^4 dx.$$

Die Integrale erstrecken sich über die die Rotationsfläche erzeugende Curve und über die Rotationsaxe.

Die Ermittlung von V und I_x kann mit den bekannten Hilfsmitteln geschehen; anders verhält es sich mit M_y und I_y , welche die Bestimmung von Integralen der Form $\int y^n x^m dx$ erfordern. Zu diesem Ende muss man das bisherige Integrationsprincip etwas modificiren. Die Grösse $y^n x^m$ als variable Function und dx als Argument in den Mechanismus hineinzulegen, ginge aus kinematischen Gründen nicht an. Es bleibt daher nichts anderes übrig als y als Function von x und $x^m dx$ als variables Differential zu verwenden. Zur Erläuterung der Art, wie dies geschehen kann, diene die mechanische Integration im einfachsten Falle $\int y^2 x dx$.

Setzt man $y = 2a \sin \alpha$, so wird

$$y^2 = 4a^2 \sin^2 \alpha = -2a^2 \cos 2\alpha + 2a^2$$

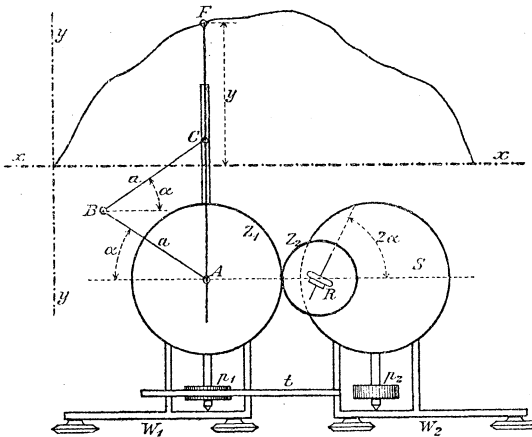
und

$$\int y^2 x dx = -2a^2 \int x \cos 2\alpha dx + 2a^2 \int x dx$$

Über eine geschlossene Curve ausgedehnt ist $\int x dx = 0$, und es bleibt

$$\int y^2 x dx = -2a^2 \int x \cos 2\alpha dx$$

Um dieses Integral zu bestimmen, dient folgender Mechanis-



mus. In der Nuth eines Lineals parallel zur Rotationsaxe xx laufen die Räder zweier Wägen W_1 und W_2 . Der Wagen W_1

gibt einer Stange senkrecht zu xx Führung. Am Ende trägt die Stange den Fahrstift F . AB und BC sind zwei gleich lange Stangen, welche in B durch ein Scharnier verbunden sind. Die Stange AB dreht sich um den Punkt A und dreht ein damit starr verbundenes Zahnrad z_1 , welches in ein halb so grosses Zahnrad z_2 eingreift. Letzteres Zahnrad trägt eine Rolle R , deren Axe mit der Linie xx den Winkel 2α bildet, wenn AB (oder BC) den Winkel α mit xx bildet. Die Rolle R liegt mit sanftem Druck auf einer drehbaren ebenen Scheibe S auf, welche vom Wagen W_2 getragen wird. Der Wagen W_2 wird vom Wagen W_1 in Bewegung gesetzt und zwar so, dass sich die Entfernung der beiden Wagen in gleichem Verhältnis ändert, als der Wagen W_1 sich längs des Lineals bewegt. Gleichzeitig erhält die Scheibe S eine Drehung proportional zur Fortbewegung des Wagens W_2 . Es geschieht dies folgendermassen. Am Wagen W_2 ist eine horizontale Zahnstange t befestigt, welche auf einem verticalen Zahnrad p_1 ruht, dessen Axe senkrecht zum Lineal vom Wagen W_1 getragen wird und welches auf einer Zahnung des Lineals läuft. Bewegt sich der Wagen W_1 , so rollt das Zahnrad p_1 auf dem Lineal und treibt die Zahnstange und damit den Wagen W_2 von W_1 weg, so dass die Entfernung von W_1 und W_2 proportional ist zu x . In Folge dessen wird auch die Entfernung des Punktes, in welchem die Rolle R die Scheibe S berührt, vom Mittelpunkt der Scheibe in gleichem Verhältnis wachsen wie x .

Der Wagen W_2 trägt ebenfalls ein verticales Zahnrad p_2 , welches auf dem Lineal rollt. Von der Axe dieses Zahnrades aus wird die Scheibe S durch ein konisches Räderpaar in Umdrehung versetzt. Die Bewegung des Wagens W_2 ist proportional zu x , also ist auch die Drehung der Scheibe S zu x proportional.

Nehmen wir an, die Rolle R berühre die Scheibe S im Centrum, wenn sich der Fahrstift auf der y -Axe befindet. Verschiebt man den Fahrstift um die Strecke x , so wird auch die Entfernung der Rolle R vom Mittelpunkt der Scheibe $= \text{const. } x$. Verschiebt man nun den Fahrstift um dx parallel zur x -Axe, so dreht sich die Scheibe S , und zwar so, dass ein Punkt des Kreises der Scheibe S , in welchem die Rolle R die Scheibe berührt, einen Weg beschreibt, der gleich ist $\text{const. } x \, dx$. Da

nun die Rollenaxe den Winkel 2α mit xx bildet, wird durch jene Drehung die Rolle um $\text{const. } x \cos 2\alpha \, dx$ gedreht. Ausser dieser Drehung erhält die Rolle noch eine weitere Drehung, welche von der relativen Bewegung von Rolle und Scheibe herrührt; dieser Teil der Drehung beträgt $\text{const. } \sin 2\alpha \, dx$. Bewegt man den Fahrstift in der Richtung der y -Axe, ohne x zu verändern, so dreht sich die Rolle um ihren Berührungspunkt, ohne jedoch zu rotiren. Bei einer endlichen Bewegung des Fahrstifts bekommt man daher als Gesamtrollendrehung

$$u = \text{const} \int x \cos 2\alpha \, dx + \text{const} \int \sin 2\alpha \, dx.$$

Das Integral $\int \sin 2\alpha \, dx$ lässt sich durch eine Rolle ermitteln, welche auf einer am Wagen W_1 angebrachten Scheibe läuft, so dass nun die Aufgabe, das Integral $\int x \cos 2\alpha \, dx$ zu ermitteln, gelöst ist.

Die Auswertung des Integrals $\int y^n x^m \, dx$, in welchem $m > 1$ ist, bietet deswegen grössere mechanische Schwierigkeiten, weil es nun darauf ankommt, die Entfernung des Wagens W_2 von W_1 so zu reguliren, dass sie proportional ist zu x^{m-1} , was aber immerhin möglich ist.

Es liegt nun nahe zu untersuchen, ob man nicht auch dadurch zur mechanischen Auswertung neuer Integrale von geometrischer oder mechanischer Bedeutung geführt wird, dass man annimmt, ein Endpunkt der Stange a , z. B. A durchlaufe eine geschlossene Curve s , während die Stange selbst stets durch einen festen Punkt P geht.

Trägt die Stange a (s. Fig. nächste S.) eine Rolle, deren Axe parallel zu a ist, so ist deren Abwicklung u , nachdem A die Curve s durchlaufen hat, wieder gleich

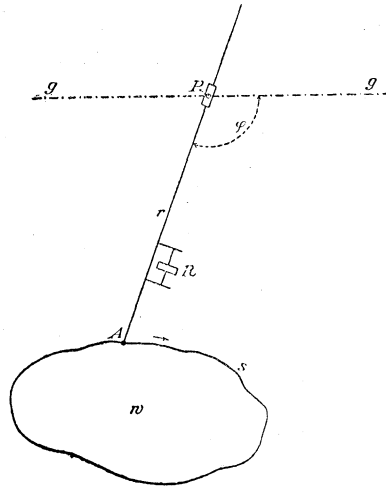
$$u = \int \sin \alpha \, ds + 2 n b \pi,$$

wenn die Stange a n volle Umdrehungen gemacht hat.

b bedeutet den constanten Abstand des Punktes A von der Ebene des Rollenrandes; a hat die frühere Bedeutung.

Es seien r , φ die Polarcoordinaten des Punktes A in Bezug auf eine beliebige durch P gehende feste Gerade g als Polaraxe und P als Coordinatenanfangspunkt. Der Winkel φ soll während

der Bewegung von a abnehmen, wenn $\sin \alpha$ positiv ist, wachsen, wenn $\sin \alpha$ negativ wird. Bei jeder unendlich kleinen Bewegung



von a besteht dann die Relation

$$ds \sin \alpha = - r d\varphi.$$

Liegt P ausserhalb der von A durchlaufenen Curve s , was ich zunächst annehmen will, so ist $n = 0$, und die Stange a oder deren Verlängerung schneidet die Curve s in jedem Augenblick in einer geraden Anzahl von Punkten. Ich fasse zwei benachbarte Lagen der Stange a ins Auge, welche die Curve s resp. in den Punkten A_1, A'_1 und A_2, A'_2 treffen mögen. Durchläuft der Punkt A die Strecke A_1, A_2 , so wickelt die an der Stange a angebrachte Rolle einen Bogen ab, der gleich ist

$$du_1 = ds_1 \sin \alpha_1 = - r_1 d\varphi$$

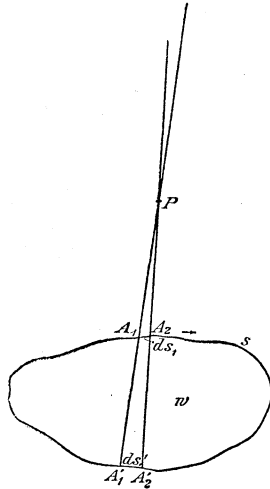
wenn $A_1 P = r_1$, $A_1 A_2 = ds_1$, $\alpha_1 =$ Winkel $P A_1 A_2$ gesetzt wird. Durchläuft A die Strecke $A'_2 A'_1$, so wickelt die Rolle den Bogen ab

$$du'_1 = ds'_1 \sin \alpha'_1 = r'_1 d\varphi,$$

wobei ds'_1, α'_1, r'_1 ähnliche Bedeutung wie die nicht gestrichelten Buchstaben haben. Es ist daher

$$du_1 + du'_1 = ds_1 \sin \alpha_1 + ds'_1 \sin \alpha'_1 = (r'_1 - r_1) d\varphi = d\varphi \int_{r_1}^{r'_1} dr$$

wenn man unter r den Radiusvector irgend eines in dem Rechteck $A_1 A_2 A'_2 A'_1$ liegenden Punktes versteht.



Da man in jedem Moment der Bewegung dieselbe Betrachtung anstellen kann, so ist die Richtigkeit folgender Gleichung evident:

$$u = \int ds \sin \alpha = \iint dr d\varphi$$

Das Doppelintegral erstreckt sich über die ganze von s eingeschlossene Fläche. Setze ich noch $r dr d\varphi = dw$, so geht die Gleichung über in

$$u = \int \frac{dw}{r}$$

Da dw das Element jener Fläche ist, welches die Entfernung r von P hat, so stellt das Integral das *Potential* der mit Masse von der Dichtigkeit 1 belegt gedachten von s eingeschlossenen Fläche in Bezug auf den Punkt P dar.

Liegt P innerhalb der Curve s und ist $n = 1$, so ist

$$du = ds \sin \alpha + b d\varphi = d\varphi \int_0^r dr + b d\varphi, \text{ mithin}$$

$$u = \int \frac{dw}{r} + 2 b \pi$$

also ist $u - 2 b \pi$ gleich dem Potential der von s begrenzten Figur in Bezug auf den Punkt P.

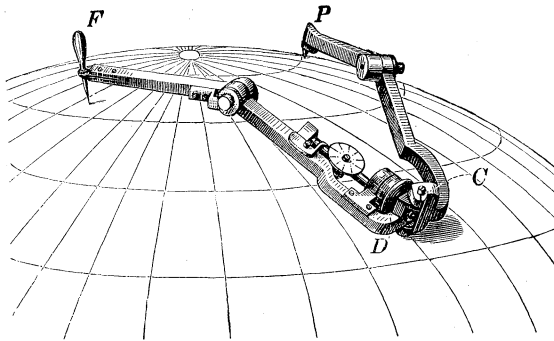
Mit folgendem einfachen Instrument ist man daher im Stand, das Potential einer ebenen Figur in Bezug auf irgend einen in ihrer Ebene gelegenen Punkt P durch blosses Umfahren derselben zu messen. Eine Hülse ist um eine durch P gehende und auf der Zeichnungsebene senkrecht stehende Axe drehbar. In der Hülse lässt sich die Stange a verschieben, welche einen verticalen Stift A zum Umfahren der Figur und eine auf der Zeichnungsebene mit Reibung aufliegende Rolle trägt, deren Axe parallel zur Stange ist.

Die Lösung des Problems, das Potential einer ebenen Figur in Bezug auf einen Punkt ihrer Ebene mechanisch auszuwerten, führt unmittelbar zu der Frage, ob es möglich ist, den gefundenen Mechanismus so zu erweitern, dass man mit seiner Hilfe das Potential auch in Bezug auf einen ausserhalb der Ebene der Figur liegenden Punkt bestimmen kann.

Die Lösung dieser Aufgabe, sowie die sich unmittelbar daraus ergebenden Probleme den Flächeninhalt einer sphärischen Figur aus ihrer stereographischen Projection, oder aus ihrer ebenen Projection vom Mittelpunkt der Kugel als Projectionscentrum mechanisch zu bestimmen, würde hier zu weit führen und ich verweise daher auf die Originalpublicationen (*A. Amsler*, *Mechan. Bestimmung des Potentials und der Anziehung*; *Carl's Repertorium für Physik*, Band XV und *Alfred Amsler*, *Über den Flächeninhalt und das Volumen durch Bewegung erzeugter Curven und Flächen*, und *über mechanische Integrationen*, Schaffhausen 1880).

Ich bemerke noch, dass alle Sätze, welche sich auf den Flächeninhalt durch Bewegung erzeugter Curven in der Ebene

beziehen, auch noch Geltung haben auf der *Kugel*, wenn man die bewegliche Gerade durch ein Stück eines grössten Kreises ersetzt. Auch das Planimeter kann verwendet werden zur Messung der wirklichen Flächeninhalte einer auf einem Globus gezeichneten Figur.



Vorstehende Figur zeigt ein Polarplanimeter, welches zur Messung sphärischer Figuren eingerichtet ist. (Siehe *J. Amsler-Laffon*, Neuere Planimeter-Constructions, Zeitschrift für Instrumentenkunde 1884.)

Mechanische Integration von Differentialgleichungen zwischen zwei Variablen.

Die bisher besprochenen Integrationsmethoden und kinematischen Verbindungen lösten allgemein die Aufgabe mit Hilfe eines Mechanismus aus der Gleichung

$$dy = f(x) dx.$$

zu jedem Wert von x den zugehörigen Wert von y zu bestimmen, wenn das Gesetz $f(x)$ durch eine gezeichnete Curve gegeben ist oder in der Bewegung eines Gliedes einer kinematischen Verbindung liegt, und ausserdem ein zusammengehöriges Wertepaar (x_0, y_0) bekannt ist.

So wenig als dort von einem analytischen Ausdruck für y die Rede sein konnte, wird dies hier der Fall sein, sondern

man wird sich begnügen müssen, für discrete Werte der einen Variablen jeweils die zugehörigen numerischen Werte der andern zu erhalten; oder aber man wird statt eines analytischen Ausdrucks entweder wieder eine Curve erhalten, die durch den Mechanismus gezeichnet wird, oder das Gesetz der Abhängigkeit der beiden Variablen wird wieder ausgesprochen sein in der Bewegung einzelner Teile des Mechanismus.

Nach diesen Bemerkungen ist ersichtlich, dass auch bei der mechanischen Integration von Differentialgleichungen von der Voraussetzung ausgegangen werden muss, dass die in den Differentialgleichungen vorkommenden Functionen durch eine kinematische Verbindung ausgedrückt werden können oder graphisch gegeben seien, was eigentlich dasselbe besagt, da in letzterem Fall die Hand, die mit einem Teil des Mechanismus die gezeichnete Curve verfolgt, die kinematische Verbindung ersetzt. Ferner ist klar, dass man mittelst eines Mechanismus nicht das allgemeine Integral, sondern nur particuläre Integrale einer Differentialgleichung erhalten kann, und dass daher ausser der Differentialgleichung selbst noch so viele zusammengehörige Wertepaare der beiden Variablen gegeben sein müssen, dass im Integral der Differentialgleichung keine willkürlichen Constanten vorkommen können.

Da die Mechanismen zur Auflösung der Differentialgleichungen der Natur der Sache nach so complicirt sind, dass sie schwerlich je in praktischen Gebrauch kommen werden und zudem für jede Art von Differentialgleichungen wieder ein anderes Instrument hergestellt werden müsste, will ich nicht näher, weder auf diesen Gegenstand, noch auf die mehrfachen Integrationen eingehen, sondern mich mit dem Hinweis auf die diesbezüglichen Mitteilungen in meiner Abhandlung „Über den Flächeninhalt etc.“ begnügen.

Über Instrumente zur Harmonischen Analyse.

Von O. Henrici in London.

Nach *Fourier* kann jede periodische Bewegung eines Punktes mit der Periode T in eine endliche oder unendliche Anzahl von einfachen periodischen Bewegungen mit den Perioden T , $\frac{1}{2}T$, $\frac{1}{3}T$. . . zerlegt werden.

Diese einfachen periodischen Bewegungen sind die Sinus-Bewegungen, wie sie bei den kleinen Schwingungen eines Pendels ausgeführt werden. Sir *Wm. Thomson* (jetzt Lord *Kelvin*) nennt sie einfach harmonische Bewegungen.

Bewegt sich ein Punkt gleichförmig auf einem Kreise, so beschreibt seine Projection auf irgend einem Durchmesser eine einfache harmonische Bewegung. Eine solche kann man mechanisch in folgender Weise hervorbringen. Eine, sagen wir horizontale, Axe trägt eine excentrische Scheibe. Über diese greift von oben eine Gabel, in der verticalen Ebene der Scheibe liegend. Die Gabel kann sich nicht vertical, wohl aber horizontal in ihrer eigenen Ebene bewegen. Wird nun die Axe gleichförmig gedreht, so beschreibt jeder fest mit der Gabel verbundene Punkt eine horizontale einfach harmonische Bewegung. Einen solchen oder einen ähnlichen Mechanismus wollen wir immer voraussetzen, wenn in den zu beschreibenden Mechanismen von einfach harmonischen Bewegungen die Rede ist.

Die harmonische Analyse einer gegebenen periodischen Bewegung besteht nun in der Bestimmung der Amplituden und Phasen der componirenden einfach harmonischen Bewegungen oder, analytisch ausgedrückt, in der Bestimmung der Coëfficienten welche in der Entwicklung einer Function in eine *Fourier'sche* Reihe auftreten.

Setzen wir die Periode T hier der Einfachheit wegen gleich 2π und schreiben

$$f(t) = \frac{1}{2}t_0 + A_1 \cos t + A_2 \cos 2t + \dots \\ + B_1 \sin t + B_2 \sin 2t + \dots,$$

so ist für jedes n

$$A_n = \frac{1}{\pi} \int_0^{2\pi} f(t) \cos nt \, dt, \quad B_n = \frac{1}{\pi} \int_0^{2\pi} f(t) \sin nt \, dt.$$

Es handelt sich also um die Ermittlung dieser beiden Integrale. Instrumente zur harmonischen Analyse sind daher Integratoren, welche Integrale der obigen Form ermitteln.

Eine solche harmonische Analyse ist für viele praktische Untersuchungen nötig. Thomson's Instrument ist zunächst er-sonnen, um die täglichen Änderungen der Temperatur und des Luftdruckes zu analysiren. Diese Arbeit ist für eine Reihe von Jahren in der Meteorological Office in London ausgeführt und veröffentlicht. Als andere Anwendungen erwähne ich die Entwicklung der Intensität eines alternirenden elektrischen Stromes in eine Fourier'sche Reihe, sowie eine ähnliche Entwicklung des Temperaturzustandes im Innern des Cylinders einer Dampfmaschine zur Bestimmung der Wärme, welche durch die Wandung des Cylinders strömt. In letzterem Falle ist das Indicordiagramm harmonisch zu analysiren.

W. Thomson's Analysator.

In Sir *Wm. Thomson's* (Lord *Kelvin*) Harmonic Analyser, dem ersten ausgeführten Instrumente dieser Art, ist die zu analysirende Curve auf einem Cylinder verzeichnet, der der Curven-cylinder heissen mag. Während dieser gedreht wird, erhält eine Zahnstange durch passenden Mechanismus eine einfach periodische Bewegung. Diese wird auf eine Scheibe übertragen, deren gezahnter Rand in die Zahnstange eingreift. Die Scheibe oscillirt also harmonisch um ihren Mittelpunkt, und zwar n -mal während einer Umdrehung des Cylinders. In dem ausgestellten Modell hat n die Werte 0, 1, 2, in dem Instrument, welches in der Meteorological Office in London gebraucht wird, hat n auch den Wert 3.

Diese Scheiben sind doppelt vorhanden mit Ausnahme der ersten, für welche $n = 0$, ihre Phasen unterscheiden sich um einen rechten Winkel. Die Axen der Scheiben sind rechtwinklig zur Cylinderaxe und unter einem Winkel (45°) gegen die Horizontalebene geneigt.

Vor jeder Scheibe liegt, ohne sie zu berühren, ein horizontaler Cylinder, dessen Umdrehung die Werte der Integrale gibt. Sie mögen Registrir-Cylinder genannt werden.

Zwischen Scheibe und Cylinder liegt eine frei bewegliche Kugel, welche mittelst einer von oben darüber greifenden Gabel hin und her bewegt werden kann. Der Berührungspunkt mit dem Cylinder beschreibt hierbei eine Erzeugende, derjenige mit der Scheibe den horizontalen Durchmesser. Es schadet jedoch nicht, wenn der Berührungspunkt nicht genau den Durchmesser, sondern eine Sehne bestreicht. Hier soll aber angenommen werden, dass er auf dem Durchmesser liegt.

Wird die Scheibe gedreht, während die Kugel ihren Mittelpunkt berührt, so wird der Cylinder nicht gedreht. Ist aber die Kugel um die Strecke y vom Mittelpunkt der Scheibe verschoben, so erhält, für eine Drehung der Scheibe um den Winkel $d\varphi$, der Cylinder eine solche Drehung, dass der Berührungspunkt die Strecke $y d\varphi$ beschreibt und der Cylinder sich um den Winkel $d\psi = \frac{y}{c} d\varphi$ dreht, wo c noch den Radius des Cylinders bedeutet.

Die Maschine arbeitet nun in folgender Weise. Der Curven-cylinder wird mit der einen Hand gedreht, während die andere den Fahrstift so führt, dass er auf der Curve bleibt. Der Fahrstift, der sich auf der oberen Erzeugenden des Cylinders bewegt, ist fest verbunden mit einer horizontalen Stange, welche die Gabeln der verschiedenen Kugeln trägt. Wenn also der Fahrstift um die Strecke y verschoben ist, so sind alle Kugeln um die gleichen Strecken vom Mittelpunkt ihrer Scheiben verschoben. Ist der Curven-cylinder um einen Winkel ϑ gedreht, so hat eine Zahnstange die Strecke $a \sin n\vartheta$ eine andere die Strecke $a \cos n\vartheta$ durchlaufen. Die der ersten Stange entsprechende Scheibe, deren Halbmesser b sei, hat sich daher um einen Winkel φ gedreht, so dass

$$b\varphi = a \sin n\vartheta \text{ und } b d\varphi = na \cos n\vartheta d\vartheta.$$

Die Drehung des entsprechenden Registrir-Cylinders ist also nach dem obigen für eine Drehung $d\vartheta$ des Curven-Cylinders

$$d\phi = \frac{na}{bc} y \cos n\vartheta d\vartheta.$$

Für eine volle Umdrehung des Curven-Cylinders ist also

$$a_n = \frac{1}{\pi} \int_0^{2\pi} y \cos n\vartheta d\vartheta = C \cdot \phi,$$

wo C eine Constante bedeutet, welche von den Dimensionen des Instruments abhängt.

Die Übertragung der Bewegung von der Scheibe auf den Registrircylinder mittelst einer frei beweglichen Kugel ist von dem kürzlich verstorbenen Prof. *James Thomson*, Bruder Lord Kelvin's, erfunden. Sie hat den Zweck, alle bei anderen Integratoren auftretenden gleitenden Reibungen zu vermeiden. Dieser Mechanismus ist seitdem von Prof. *Hele Shaw* benutzt worden zur Construction verschiedener Integratoren; auch von Rev. *Fred. Smith* in Oxford, dessen in Abteilung I. ausgestellter Integrator ohne gleitende Reibung arbeitet. Prof. Hele Shaw hat jedoch gefunden, dass seine bisher ausgeführten Instrumente an neuen Fehlern leiden. Diese rühren teilweise daher, dass die Kugel eine bedeutende Masse hat und daher bei rascher Bewegung ein bedeutendes Moment erhält, welches Gleiten verursacht; teilweise wohl auch daher, dass die Berührung der Kugel mit anderen Körpern nicht in geometrischen Punkten stattfindet. Lord Kelvin's Harmonic Analyser zeigte den Fehler, dass sich der Registrircylinder drehte, wenn die Kugel bei ruhender Scheibe hin und her bewegt wird, und zwar tritt dieser Fehler immer in demselben Sinne auf. Diesem ward dadurch abgeholfen, dass die Axen der Cylinder durch kleine Gewichte vorwärts, von der Scheibe weg, gedrückt werden.

Unter diesen Umständen scheint es zweifelhaft, ob James Thomson's Mechanismus wirklich viel mehr leistet wie Amsler's Instrumente mit Registrirrollen, welche gleichzeitig rollen und gleiten, so lange wenigstens, als glattes Papier benutzt wird oder

wenn die Rollen, wie in Coradi's Planimeter, immer auf speciell präparirten Flächen laufen.

Es scheint daher, dass die neuen zu beschreibenden Instrumente zur harmonischen Analysis, das von mir und namentlich das von Mr. Sharp angegebene, wenn sie sorgfältig ausgeführt werden, für manche praktische Zwecke ebenso brauchbare Resultate geben werden, als die *sehr viel* teurere und nicht leicht transportable Maschine von Lord Kelvin.

Neues Instrument.

Betrachten wir hier zuerst die Integrale, für welche $n = 1$ ist. Wir haben dann, wenn wir noch $t = x$, $f(x) = y$ setzen,

$$A_1 = \frac{1}{\pi} \int_0^{2\pi} \frac{2\pi}{y} \cos x \, dx, \quad B_1 = \frac{1}{\pi} \int_0^{2\pi} \frac{2\pi}{y} \sin x \, dx.$$

Um diese Integrale zu bestimmen, kann man die Curve $y = f(x)$ zwischen den Werten von $x = 0$ bis $x = 2\pi$ auf die Oberfläche eines Cylinders vom Radius 1 zeichnen.

Diesen Cylinder denken wir uns horizontal gelegt und um seine Axe drehbar. Die obere Linie des Cylinders enthält dann in jeder Lage einen Punkt der Curve. Die Curve läuft in sich zurück. Der dem Werte $x = 0$ entsprechende Punkt soll der Nullpunkt heissen. Jeder andere Punkt P der Curve ist dann durch den Wert eines x bestimmt, welcher hier als der Winkel ϑ erscheint, um den der Cylinder gedreht werden muss, um statt des Nullpunktes den Punkt P nach oben zu bringen.

Die Tangentialebene, welche den Cylinder oben berührt, wird dann horizontal liegen. Dieser Ebene erteilen wir jetzt eine horizontale einfach harmonische Bewegung rechtwinklig zur Axe, d. h. wenn der Cylinder sich um den Winkel x gedreht hat, soll die Ebene um die Strecke $z = c \sin x$ sich vorwärts bewegen, so dass nach einer vollen Umdrehung des Cylinders die Ebene in ihre Anfangslage zurückkehrt.

Der Punkt P auf der Curve beschreibt dann auf der Tangentialebene eine Curve, welche dasselbe y hat als die gegebene Curve, während die Abscisse statt x den Wert $z = c \sin x$ hat.

Ein Flächenelement der neuen Curve hat daher den Wert $y \, dz = c y \cos x \, dx$, und die ganze Curve schliesst die Fläche

$$U = c \int_0^{2\pi} y \cos x \, dx$$

ein. Diese Fläche dividirt durch $c\pi$ ist also gleich dem gewünschten Coefficienten A_1 . Hierbei ist der Wert von c beliebig. Derselbe kann also so gewählt werden, wie es bei der Ausführung eines Instrumentes passend erscheint. Ein auf diese Betrachtungen gegründetes Instrument habe ich in folgender Weise ausgeführt. Eine der Cylinderaxe α parallele Axe β wird durch Zahnräder so mit α verbunden, dass beide gleichzeitig eine Umdrehung machen. Die Axe β trägt eine excentrische Scheibe, welche mittelst einer darüber gehenden Gabel einer horizontalen Platte die gewünschte harmonische Bewegung erteilt. Die obere Fläche dieser Platte liegt in der Tangentialebene des Cylinders. Auf der Verlängerung dieser Platte wird also die Curve beschrieben, deren Inhalt U zu bestimmen ist. Dies geschieht mittelst eines gewöhnlichen Amsler'schen Planimeters. Der Pol wird in die Platte gesetzt und bewegt sich mit ihr. Der Fahrstift wird längs eines Lineals, welches über der oberen Linie des Cylinders liegt, so bewegt, dass er immer auf der Curve bleibt, während der Cylinder gedreht wird. Dies gibt sofort U und daher A_1 . Wird bei Beginn der Bewegung die excentrische Scheibe um einen rechten Winkel gedreht, so erhält man den Coefficienten B_1 statt A_1 . Um auch A_n und B_n zu bestimmen, setzen wir $n t = x$ und erhalten

$$A_n = \frac{1}{n\pi} \int_0^{2n\pi} f(t) \cos x \, dx$$

Hier ist $t = x/n$. Wird die Curve $y = f(t)$ in der Richtung des t auf das n -fache ausgedehnt, so wird eine neue Curve erhalten $y = f(x)$, welche für jedes x das zugehörige y gibt. Diese Curve wird n -mal den Cylinder umschliessen und mittelst dieser können nun A_n und B_n erhalten werden. Durchläuft der Fahrstift diese Curve, so dreht sich β n -mal. Dies kann man jedoch einfacher dadurch erreichen, dass man β sich n -mal drehen lässt, während der Cylinder mit der ursprünglichen Curve sich einmal

dreht. Dies ist durch Einschalten passender Räder leicht bewerkstelligt.

Das ausgeführte Modell erlitt während der Anfertigung verschiedene Änderungen. Dadurch ward es schliesslich zu complicirt und arbeitete nicht gut. Es wäre aber leicht, ein Instrument auszuführen, welches diese Übelstände nicht zeigt. Ein Übelstand ist, dass für jeden Coëfficienten die Curve einmal mit dem Fahrstift durchlaufen werden muss.

Anderes Instrument.

Man erhält durch teilweise Integration der Integrale

$$\int_0^{2\pi} y \cos nx \, dx \quad \text{und} \quad \int_0^{2\pi} y \sin nx \, dx$$

$$A_n = \frac{1}{n\pi} \int_0^{2\pi} \sin nx \, dy; \quad B_n = \frac{1}{n\pi} \int_0^{2\pi} \cos nx \, dy.$$

Der Mechanismus zur Ermittlung dieser Integrale wird nun ein ganz anderer. Die Anwendung einer harmonischen Bewegung ist nicht nötig. Sei die Curve $y = f(x)$ wieder auf dem Cylinder verzeichnet. Wir brauchen dann die Summe aller dy , jedes multiplicirt mit $\sin nx$ oder mit $\cos nx$, d. h. wir haben in jedem Augenblick dy zu zerlegen in zwei rechtwinklige Componenten, deren einer den Winkel nx mit dy macht. Bewegt man eine Rolle, wie sie in Amsler's Planimeter die Integration registriert, in einer geraden Linie, während die Axe der Rolle einen Winkel ϑ mit der Geraden macht, so registriert diese Rolle die Länge $l \sin \vartheta$, wo l die wirklich beschriebene Länge bezeichnet. Ähnlich registriert eine Rolle, welche ihre Axe rechtwinklig zur ersten hat, die Länge $\pm l \cos \vartheta$.

Ein auf diese Principien basirtes Instrument ist das in Abt. I ausgestellte von *Henrici*. Ein Wagen, parallel der Axe des Cylinders beweglich, trägt einen Fahrstift, der die obere Erzeugende des Cylinders bestreicht. Während der Cylinder mit der einen Hand gedreht wird, führt die andere den Fahrstift längs der Curve, bei welcher Bewegung der Wagen mit bewegt wird. Der Wagen trägt ferner an einer verticalen Axe ϵ zwei Registrirrollen R_1

und R_2 , deren Axen einen rechten Winkel einschliessen. Diese rollen auf einer horizontalen Platte und zwar immer auf derselben. Diese kann daher aus passendem Material hergestellt werden. Wird der Cylinder um den Winkel x gedreht, so dreht sich die Axe ϵ durch passenden Mechanismus um den Winkel nx . Bei einer kleinen Drehung des Cylinders um den Winkel dx bewegt sich der Fahrstift um die Strecke dy parallel zur Cylinderaxe. Die Registrirrollen drehen sich daher um die Winkel $dy \cos nx$ und $dy \sin nx$. Sie geben also während einer vollen

Drehung des Cylinders die Integrale $\int_0^{2\pi} dy \cdot \cos nx$ und $\int_n dy \sin nx$,

und daher sofort die Coëfficienten A_n und B_n .

Hierbei ist zu bemerken, dass die Registrirrollen nur dann richtige Resultate geben, wenn ihre Berührungspunkte in der geometrischen Axe von ϵ liegen, oder wenn die Ebenen dieser Rollen durch ϵ gehen. Sonst ist eine Correctur nötig. Wenn ϵ sich einmal dreht, so wird die Rolle einen Kreis durchrollen, welcher eine Ablesung C ergibt. Diese ist durch Umdrehung um ϵ leicht zu ermitteln. Von der Ablesung der Rolle nach Umdrehung der Curve ist also nC abzuziehen.

Es wäre nicht schwierig, mit dem Wagen statt einer Axe ϵ eine Reihe $\epsilon_1, \epsilon_2, \epsilon_3 \dots$ solcher Axen zu verbinden, welche sich $1, 2, 3 \dots$ mal drehen, wenn der Curvencylinder eine Umdrehung gemacht hat. Trägt jede dieser Axen ein Paar Registrirrollen, so ergibt deren Ablesung sofort die entsprechenden Coëfficienten A_n und B_n .

In dem ausgestellten Modell ist die Übertragung der Drehung des Cylinders auf die Axe ϵ in folgender Weise hergestellt. Der Cylinder trägt auf der Verlängerung seiner Axe eine Scheibe V , welche auf einer horizontalen Scheibe H ruht. Die Umdrehung des Cylinders bewirkt daher auch eine Umdrehung der Scheibe H . Um diese Drehung der Scheibenaxe auf die Axe ϵ der Registrirrollen zu übertragen, sind beide durch zwei Gelenkstangen $A_1 A$ mit einander verbunden, welche in B durch ein Charnier verbunden sind. Die Enden können sich frei um ϵ respective um die Scheibenaxe drehen. Diese Axen sowie die Charnieraxe

tragen, fest mit ihnen verbunden, Scheiben, um welche endlose Stahlbänder gelegt sind. Schematische Zeichnung des Apparates vergl. Teil II pag. 212.

Es ist für gute Arbeit des Instrumentes nötig, dass die letzt erwähnten drei Axen parallel sind. Das Modell leidet hier an dem Fehler, dass diese Bedingung nicht genau erfüllt ist.

Um endlich zu bewirken, dass Axe ϵ n Umdrehungen macht bei einer Umdrehung des Cylinders, kann die oben erwähnte Scheibe V auf der Axe des Cylinders verschoben werden, so dass sie auf einem kleineren oder grösseren Kreise der Scheibe H rollt.

Statt das die Curve tragende Papier auf dem Cylinder zu befestigen, kann man es lose auf den Cylinder legen, wenn eine Vorrichtung getroffen wird, mittelst welcher der Cylinder das Papier während seiner Drehung mit sich zieht. Dies ist in Sir Wm. Thomsons Maschine der Fall.

Man kann nun aber auch den Process umkehren, indem man das Papier auf ein Zeichenbrett befestigt und den Cylinder auf dem Papier rollen lässt.

Man könnte dies auf folgende Weise realisiren. Ein Wagen läuft auf drei Rädern. Das eine ist nur ein Laufrad. Die beiden andern haben den Durchmesser des Curvencylinders und laufen in Richtung der x -Axe. Die zu analysirende Curve muss also ihre Basislänge gleich dem Umfang dieser Räder haben. Der Wagen trägt ferner die Axe ϵ mit den Registrirrollen, welche durch die Wagenaxe getrieben wird, ähnlich wie im ausgestellten Modell. Eine Bewegung des Fahrstiftes treibt den Wagen um die gleiche Strecke in derselben Richtung vorwärts. Eine Bewegung in Richtung der y dagegen lässt den Wagen ruhen, treibt aber die Axe ϵ mit den Registrirrollen auf dem Wagen entlang. Die Registrirrollen selbst laufen dabei auf einer präparirten Fläche.

Bei einer solchen Anordnung hat man den Vorteil, dass man nur mit einer Hand zu arbeiten hat, da die Bewegung des Fahrstiftes längs der Curve den ganzen Mechanismus in Bewegung setzt. Dies wäre beim Gebrauch ein grosser Gewinn,

Sharp's Analyser.

Mr. Sharp hat jedoch ganz kürzlich eine Modification des von mir ausgestellten Instruments eronnen, welche einen einfacheren Mechanismus hat und, wenn richtig ausgeführt, nicht nur gute Resultate erwarten lässt, sondern auch leichter zu handhaben sein wird.

Ein Wagen läuft hier in Richtung der y , geführt in ähnlicher Weise wie einer von Coradi's Planimetern, oder wie dessen Integraph. Er konnte vielleicht besser auf einer Schiene laufen wie Amsler's Integrator. Dieser Wagen trägt in Richtung der x eine Zahnstange, welche in dieser Richtung sich frei hin und her bewegen kann. Mit dieser verbunden ist der Fahrstift. Ein auf dem Wagen ruhendes Zahnrad Z greift in die Zahnstange ein und treibt direct oder durch eingeschaltetes Räderwerk die Axe ε mit den zwei Registrirrollen. Letztere laufen auf dem Papier oder auf einer präparirten Platte, welche an der Seite der gezeichneten Curve auf dem Papier ruht.

Wird der Fahrstift in der Richtung der x um die Strecke x bewegt, so bleibt der Wagen in Ruhe, die Zahnstange verschiebt sich um die Länge x und dreht das Rad um einen Winkel x , falls der Radius von Z der Einheit gleich ist. Eine Axe ε , welche n Umläufe für einen des Zahnrades macht, dreht sich also um den Winkel $n x$. Die Registrirrollen registriren hierbei nichts. Wird jetzt der Fahrstift und mit ihm der Wagen um die Strecke dy verschoben, so registriren die Rollen die Werte, welche $dy \cos nx$ und $dy \sin nx$ proportional sind.

Ist nun die Basis der zu analysirenden Curve von der Länge 2π , so geben die Registrirrollen die Werte der Integrale

$$\int_0^{2\pi} dy \cos nx \quad \text{und} \quad \int_0^{2\pi} dy \sin nx$$

und daher die Werte von A_n und B_n .

Ist die Basis der Curve, also die Periode von $y = f(x)$, nicht gleich 2π , so hat man sie dem Umfange des Rades Z gleich zu machen, oder vielmehr die Curve in der Richtung der x so zu dehnen, dass ihre Periode dem Umfange des gegebenen Zahnrades gleich wird.

Während der Fahrstift die Curve durchläuft, bewegt sich der Wagen bei wachsendem y vorwärts, bei abnehmendem rückwärts. Die Zahnstange aber geht immer vorwärts in Richtung des x welches immer wächst, da ja y eine einwertige Function von x sein muss, wenn eine Entwicklung in eine Fourier'sche Reihe möglich ist.

Dieser Umstand ist sehr wichtig für die leichte Handhabung des Instruments. Wm. Sharp schlingt um die Axe ϵ eine Schnur, führt diese horizontal über eine Rolle und spannt sie durch ein herabhängendes Gewicht, welches die Zahnstange in Richtung der x zu bewegen strebt. Es ist so zu reguliren, dass es der Reibung im Räderwerk fast das Gleichgewicht hält. Der Fahrstift kann also sehr leicht in der x -Richtung bewegt werden. Man kann daher, ohne die Leichtigkeit der Handhabung zu zerstören, eine Anzahl Axen $\epsilon_1, \epsilon_2, \epsilon_3 \dots$ anbringen, welche sich während einer Umdrehung des Zahnrades ein, zwei, drei \dots mal drehen. Wenn jede dieser Axen sodann ein Paar Registrirrollen trägt, so ergibt ein einmaliges Durchlaufen der Curve sofort die Coëfficienten erster, zweiter, dritter \dots Ordnung.

Lässt man alle Registrirrollen auf einer präparirten Platte laufen, welche auf dem Papier ausserhalb der zu analysirenden Curve liegt, so dürfte die Genauigkeit des Instruments für die meisten praktischen Zwecke vollauf genügend sein.

Der Coëfficient A_0 ist nicht auf diese Weise bestimmbar. Sein Wert ist

$$\frac{1}{2} A_0 = \frac{1}{2\pi} \int_0^{2\pi} y \, dx$$

Er gibt den Mittelwert aller y und erfordert die Ermittlung der Fläche zwischen der x -Axe und der Curve $y = f(x)$. Sie kann also mit Hilfe eines gewöhnlichen Planimeters gefunden werden.

In Sir Wm. Thomson's Analyser gibt einer der Registrircylinder sofort dies Integral. Mr. Sharp hat ebenfalls eine Vorrichtung angegeben, welche denselben Zweck erreicht.

Hat man die Coëfficienten A_n, B_n durch das Instrument gefunden, so bleibt noch übrig die Amplitude und Phase zu be-

stimmen, welche die durch $y = A_n \cos nx + B_n \sin nx$ bestimmten Curven besitzen. Setzt man

$$A_n \cos nx + B_n \sin nx = a_n \cos (nx + \alpha)$$

so ist

$$a_n^2 = A_n^2 + B_n^2 \text{ und } \tan \alpha = \frac{B_n}{A_n}, \sin \alpha = \frac{B_n}{a_n}.$$

Zur Bestimmung dieser Grössen a_n und $\sin \alpha$ hat Gen.-Lieut. *Strachey* einen Rechenschieber construirt, welcher in Abteilung I ausgestellt ist.

Man erhält also schliesslich die Reihe

$$\eta = \frac{1}{2} a_0 + a_1 \cos (x + \alpha_1) + a_2 \cos (2x + \alpha_2) + \dots$$

Ist diese erhalten, so ist es von Interesse, alle durch die verschiedenen Glieder einzeln repräsentirten, einfach harmonischen Curven in richtiger Lage auf der Basis der gegebenen Curve zu verzeichnen. Hierzu dient der gleichfalls in Abteilung I ausgestellte Apparat des Gen.-Lieut. *Strachey*, durch welchen einfach harmonische Curven von gegebener Amplitude und Phase gezeichnet werden können.

Zweiter Teil.

I. Abteilung.

Arithmetik; Algebra, Functionentheorie; Integralrechnung.

Erster Abschnitt. Arithmetik.

A. Rechenapparate.

- 1 Beschreibung und Gebrauch der logarithmischen Rechenstäbe etc.** von **J. H. Lambert**, Augsburg 1772, und **Zusätze zu den logarithmischen Tabellen etc.** von **J. H. Lambert**, Berlin 1770.
Ausgestellt von Prof. **Ch. A. Vogler**, Berlin.

- 2 Sammlung von Rechenschiebern und Anlegemasstäben** aus dem **Math.-mech. Institut von Dennert & Pape**, Altona.

- 3 Rechenschieber** von **Albert Nestler**, Lahr in Baden.

Preise im Einzelverkauf:

Rechenschieber aus <i>Buchsholz</i> in den Längen	21 cm	26 cm	52 cm
ohne Läufer	<i>M.</i> 5.—	<i>M.</i> 5.—	<i>M.</i> 18.—;
desgl. mit Läufer	„ 6.—	„ 6.—	„ 24.—;
desgl. mit Läufer und <i>Lupe</i>	„ 12.—	„ 12.—	„ 30.—;
Rechenschieber mit <i>Celluloidauflage</i> in den Längen	26 cm	52 cm	
ohne Läufer	<i>M.</i> 6.—	<i>M.</i> —	
desgl. mit Läufer	„ 7.50	„ 36.—.	

- 4 Rechenschieber** von **A. Hasselblatt**, Prof. am technologischen Institut in St. Petersburg. Veröffentlicht 1890.

Dieser Rechenschieber ist aus vier auf einander geleimten und zusammengepressten Lagen Carton hergestellt und durch einen wasserdichten Überzug gegen die Einflüsse der Wärme und Feuchtigkeit geschützt. Er ist kürzer, aber breiter und dünner als die üblichen Rechenschieber aus Holz ($208 \times 71 \times 5$ mm statt $260 \times 32 \times 10$ mm). Die aus zwei Cartonlagen bestehende „Zunge“ trägt an beiden Rändern dieselbe, einmal wiederholte, logarithmische Teilung von 100 mm Länge, während von den benachbarten Rändern des „Stabes“ („Lineales“) der

obere eine ebensolche, der untere eine logarithmische Teilung im doppelten Masstabe hat. Dieser mittlere Teil ist demnach wie die Vorderseite eines gewöhnlichen Rechenschiebers *ohne Läufer* eingerichtet. Die Teilungen für \sin , \tan und \log , welche sich bei anderen Rechenschiebern gewöhnlich auf der Rückseite der Zunge befinden, sind auf der Vorderseite des Stabes angebracht und noch um eine Vorrichtung zur Bestimmung der Cuben und Cubikwurzeln vermehrt. Letztere besteht aus einer, die ganze Länge einnehmenden, logarithmischen Teilung und einer ihr gegenüber gestellten, dreimal wiederholten logarithmischen Teilung mit nur ein Drittel so grosser Längeneinheit. Die abgeschrägten Kanten des Rechenschiebers enthalten Teilungen in Millimeter und Sechszehntel Zoll engl., auf der Rückseite stehen mathematische und physikalische Constanten, Tabellen für Massverwandlungen, Gewichtsberechnungen u. s. w. (Preis in Russland $2\frac{1}{2}$ Rubel.)

(Hasselblatt, Mehrke.)

5 Logarithmisch-graphische Rechentafel von Steuerrat **Scherer** in Cassel.

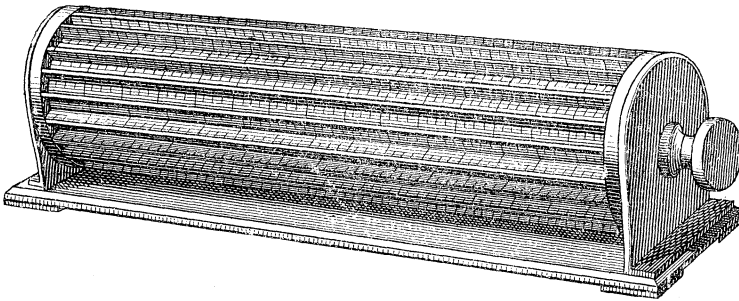
Die Tafel besteht aus einer Grundplatte von Stahlblech und einem Schieber von Glimmer. Auf der Grundplatte mit den Abmessungen 33×21 cm sind in 20 parallelen Linien die 10 Stücke einer logarithmischen Teilung von 1,5 m Länge zweimal von unten nach oben abgetragen. Um in allen Lagen des Schiebers ablesen zu können, ist in der Verlängerung jedes Stückes das nächstfolgende noch einmal angetragen. Eine ebenso grosse logarithmische Teilung ist in Streifen von 5 mm Breite und 5 mm Zwischenraum auf die Unterseite des Schiebers gedruckt, der 18×12 cm Grösse hat. Auf der Grundplatte sind rechts und links noch zwei gewöhnliche Masstäbe von je 15 cm mit Teilstrichen von 1—100 angebracht, auf welchen man die 2.—4. Stelle der Mantisse des Logarithmen irgend einer Zahl der Tafel ablesen kann, während die erste Stelle unter der betreffenden Reihe der Teilung angeschrieben ist. Der Apparat entspricht somit einem Rechenschieber von 3 m Länge und einer viertelligen Logarithmentafel. Zur Berechnung von $1 \sin \alpha$ und $1 \cos \alpha - \alpha$ in Graden neuer Teilung ausgedrückt —, dient ein besonderer Sinus-Schieber. An der Innenseite des beigegebenen Umschlages sind an zwei senkrechten Linien die Wurzelzahlen von 0,00 bis 100,00 und ihnen gegenüber die Quadratzahlen masstäblich aufgetragen.

Preis (ohne Sinus-Schieber) M. 12—, Sinus-Schieber (Kreis 400°). M. 5— (Scherer.)

6 Thacher's Calculating Instrument (cylindrical slide-rule). Verfertigt und ausgestellt von **W. F. Stanley**, Math. mech. Institut, London.

Das 1881 patentirte Instrument beruht auf denselben Principien, wie der logarithmische Rechenschieber und wird in entsprechender Weise gehandhabt. Die einmal wiederholte, mit A bezeichnete Hauptteilung ist 30 engl. Fuss = 9,144 m lang und in zwanzig gleich lange Stücken zer-

legt, welche auf der Oberfläche eines Metall-Cylinders parallel mit dessen Axe untergebracht sind. Dieser Cylinder entspricht dem „Schieber“ (der „Zunge“) eines Rechenstabes. Aus zwei, durch zwanzig parallele Metall-Rippen verbundenen Ringen ist ein durchbrochener Hohlzylinder gebildet, der innerhalb zweier festen Ringe um seine eigene (wagerechte) Axe gedreht werden kann und in welchem der erstgenannte Cylinder sich verschieben und drehen lässt. Der Querschnitt einer jeden Rippe



ist ein gleichschenkliges Dreieck mit nach aussen gekehrter Spitze. Die schiefen Seitenflächen der Rippen tragen zwei logarithmische Teilungen, von welchen die mit B bezeichnete an A grenzt und mit A congruent ist, die mit C bezeichnete, weiter aussen angebrachte, den doppelten Masstab von B hat und demnach zu jeder in B aufgesuchten Zahl die Quadratwurzel liefert. Die Teilungen sind auf Pergament gedruckt.

Preis M. 150.— Im übrigen sei hier und bei den folgenden Apparaten *Stanley's* auf dessen Preisliste verwiesen

(Mehmke.)

7 Sheppard's slide rule for cubing quantities, ausgestellt von **W. F. Stanley**, math.-mech. Institut, London.

Rechenstab mit zwei neben einander gleitenden Schiebern zur augenblicklichen Bestimmung eines Productes aus drei Factoren.

24" duodecimal rule (für engl. Fuss und Zoll), aus Buchsbaumholz M. 24—;

11" decimal rule (für metrisches Mass), aus Buchsbaumholz M. 24—.

8 Universal-Proportion-Tables, Rechenschieber in Rost- bez. in cylindrischer Form nach **J. D. Everett** und **Hannyngton**. Ausgestellt von Prof. **J. D. Everett**, F. R. S., Queens College, Belfast, Ireland.

1. *Everett's Table*. Ein Rechenschieber, von dem jeder der beiden Teile aus einer Anzahl paralleler Streifen besteht. Der bewegliche Teil greift dabei in die Zwischenräume des festen Teiles ein. Die Tafeln sind aus Carton (Bristol board) mit Überdruck von Kupferplatten. Preis 20 Mark.

2. Dieselbe, construiert nach Major General *Hannyngton* aus Holz mit Abänderungen, die durch das Material bedingt sind. Um die doppelte

Scala auf dem Schlitten zu vermeiden, ist die Scala auf dem festen Stück zum Teil vierfach, ein beigefügter Schlitten gestattet die Berechnung von Quadraten und Quadratwurzeln. Preis in der ausgestellten Grösse ungefähr 60 Mark. Die Rechenschieber werden auch in grösserem und kleinerem Masstabe ausgeführt.

3. Dieselbe in Cylinder-Form aus Holz. Die Scala auf dem festen Teile ist doppelt wie in der gewöhnlichen Form, die auf dem Schlitten einfach. Nicht zum Verkaufe construiert.

Die Modelle 1 und 3 wurden von Everett ungefähr 1865 ausgeführt und sind im Philosophical Magazine beschrieben. Die Anordnung von Hannington datirt ungefähr 10 Jahre später.

(Everett.)

- 9 **Prof. Fuller's calculating slide rule**, ausgestellt von **W. F. Stanley**, math.-mech. Institut, London.

Die auf einem Cylindermantel in einer Schraubenlinie aufgetragene logarithmische Teilung ist 500 engl. Zoll = 12,7 m lang, das Instrument entspricht also einem Rechenschieber von 25,4 m Länge.

Preis M. 60—.

- 10 **Alex. E. M. Boucher's Calculator**, ausgestellt von **W. F. Stanley**, math.-mech. Institut, London.

Die äussere Form ist diejenige einer Remontoir-Taschenuhr. Die auf 4 concentrischen Kreisen untergebrachte logarithmische Teilung hat eine Gesamtlänge von 15 engl. Zoll = 38 cm, weshalb das Instrument an Genauigkeit einem Rechenschieber von 76 cm Länge gleichkommt. Auf der Rückseite sind Teilungen für goniometrische Functionen und Logarithmen vorhanden.

Preis in vernickeltem Neusilbergehäuse M. 31,60.

- 11 **Weber's Rechenkreis** von **R. Weber**, Prof. Forstakademie Aschaffenburg (jetzt Univ. München). Ausgestellt von Prof. **Mehmke**, techn. Hochschule Darmstadt.

Zwei niedrige Cylinder von etwa 13 cm Durchmesser, die unabhängig von einander um ihre gemeinsame Axe gedreht werden können, tragen auf ihren Umfängen beide dieselbe logarithmische Teilung. Bei aufrechter Stellung der Ziffern ist die Axe senkrecht. Der Gebrauch ist derselbe, wie bei Sonne's Rechenscheibe.

- 12 **Rechenscheibe** von Geh. Baurat Prof. **Ed. Sonne**, Darmstadt. Jahr der Veröffentlichung 1864. Hergestellt von **Landsberg & Wolpers**, Hannover.

Eine feststehende Kreisscheibe von etwa 14 cm Durchmesser ist von einem um sie drehbaren Kreisringe eingeschlossen. Der Rand der Scheibe und der ihn berührende innere Rand des Ringes sind mit einer den ganzen Umfang ausfüllenden logarithmischen Teilung versehen. Die Scheibe trägt noch einen concentrischen, gleichmässig getheilten Kreis,

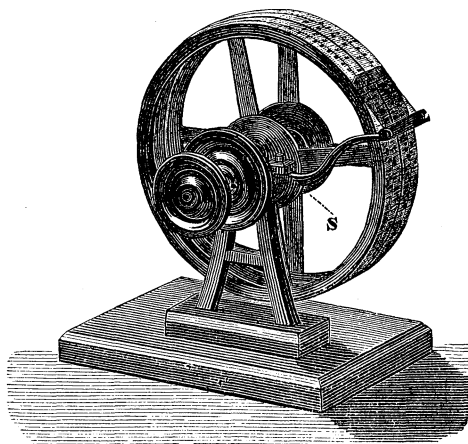
welcher zur Bestimmung der Logarithmen gegebener Zahlen dient. Ein um den Mittelpunkt der Scheibe drehbarer Zeiger vermittelt den Übergang von irgend einer der drei Teilungen zu einer andern. Der Gebrauch ist demjenigen des Rechenschiebers ähnlich.

13 Rechenscheibe mit Kennzifferzählwerk, von demselben. Hergestellt von **Landsberg & Parisius**, Hannover.

Durchmesser der Scheibe 11,5 cm. Der gleichmässig geteilte Kreis fehlt. Ein Zählwerk gibt die Zahl der vollen Umdrehungen an, welche der Zeiger während einer nur aus Multiplicationen und Divisionen zusammengesetzten Rechnung gemacht hat und dient so zur Bestimmung der Stellenzahl des Ergebnisses der Rechnung.

14 A. Beyerlen's drehbarer Rechenschieber (Rechenrad), D.R.P. Nr. 31889, von **A. Beyerlen & Co.** in Stuttgart.

Zwei neben einander befindliche, mittelst zweier Handscheiben um ihre gemeinsame, wagerechte Axe drehbare Räder von 125 mm Durchmesser tragen auf ihren Stirnen an den inneren Kanten eine logarithmische, an den äusseren eine gleichmässige Teilung mit dem Umfange eines Rades als Längeneinheit. Beim Drehen der kleineren Handscheibe dreht sich nur das Rad rechts, beim Drehen der grösseren bewegen sich beide Räder übereinstimmend, so dass ihre gegenseitige Stellung unverändert



bleibt. An einem festen Träger befindet sich vorne, an den Rädern anliegend, ein Stück Gelatinepapier mit einer zur Axe parallelen roten Linie. Um $x = \frac{a}{b} c$ zu finden, dreht man erst beide Räder zusammen und dann das rechte Rad allein so, dass die Stelle a der logarithmischen Teilung links, und die Stelle b derjenigen rechts unter die rote Linie

kommen, dann wieder beide zusammen, bis die Stelle *c* der logarithmischen Teilung rechts unter der roten Linie erscheint, dann steht links hiervon das Ergebnis. Die beiden äusseren Teilungen dienen zum Addiren und Subtrahiren wie auch in Verbindung mit den inneren Teilungen zur Bestimmung des Logarithmus einer gegebenen Zahl oder umgekehrt der Zahl zu einem gegebenen Logarithmus. Die Teilungen sind auf Papier gedruckt.

Preis *M.* 20.—.

15 Zwei Rechenschieber zur Berechnung specieller trigonometrischer Formeln von General-Lieut. **R. Strachey**, London.

Der erste dieser Rechenschieber dient zur Berechnung der Formeln:

$$\frac{p}{q} = \operatorname{tg} x$$

$$P = \frac{p}{\sin x}$$

(Vgl. den Schluss des Aufsatzes von *Henrici* im ersten Teil des Kataloges.)

Der zweite dient zur Berechnung der Formel:

$$h = \frac{\sin a}{\sin(a' - a)} \text{ b. ctg } z.$$

16—20 Serie von Rechenschiebern, speziell für technische Zwecke, ausgestellt von **W. F. Stanley**, math.-mech. Institut, London.

16 Ganga Ram's slide rule.

No. 1. Zur Bestimmung der Dimensionen von Haupt- und Querbalken für alle Spannweiten; *M.* 21—.

No. 2. Zur Berechnung der Stärken von Stützmauern unter den verschiedenen Bedingungen; *M.* 12—.

No. 3. Zur Berechnung der Spannungen in Trägern aller Formen und Spannweiten; *M.* 16—.

17 Hudson's horse power scale zur Berechnung der Leistungen und Dimensionen von Dampfmaschinen.

Aus Buchsbaumholz in Futteral *M.* 12,60; aus Carton in Lederfutteral *M.* 6—.

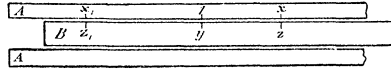
18 Hudson's computing scale for pumps, zur Berechnung einfach und doppelt wirkender Pumpen, aus Carton in Futteral *M.* 6—.

19 Hudson's computing scale for girders, beams and shafts, zur Berechnung von Trägern, Balken und Wellen, aus Carton in Futteral *M.* 6—.

20 Froude's displacement slide rule, *M.* 40—.

Näheres vergleiche den *Spezialkatalog* von Stanley.

21 Modell des doppellogarithmischen Rechenschiebers von Ing. F. Blanc in Hamburg.



Derselbe dient hauptsächlich zur mechanischen Bestimmung von Potenzen und Wurzeln mit beliebigen Exponenten, sowie von Logarithmen, die zu einer beliebigen Basis gehören.

Die beiden Ränder (A) des Stabes tragen übereinstimmende logarithmische Teilungen, wie solche am gewöhnlichen Rechenschieber sich finden, so dass allgemein die Entfernung des mit x bezeichneten Teilstriches von dem mit 1 bezeichneten gleich $\log x$ Längeneinheiten ist. Die Ränder des Schiebers (B) dagegen sind mit „doppellogarithmischen“ Teilungen versehen. Bei der oberen dieser Teilungen nämlich beträgt die Entfernung des Teilstriches, an welchem die Zahl z steht, von dem Teilstriche 10 allgemein $\log \log z$ Längeneinheiten, wobei naturgemäss immer $z > 1$ ist; bei der unteren ist als Basis der Logarithmen nicht 10, sondern $\frac{1}{10}$ und als Anfang der mit 0,1 bezeichnete Punkt genommen, so dass hier die an den Teilstrichen stehenden Zahlen alle < 1 sind und überdies jede von ihnen gleich dem reciproken Werte der senkrecht über ihr auf der oberen Teilung stehenden Zahl ist. Zur Abkürzung sind bei den Schieberteilungen die ganzzahligen Potenzen von 10 mit römischen Ziffern bezeichnet worden; so hat man für I, II, III, . . . und -I, -II, -III . . . zu lesen: 10, 100, 1000 . . . und 0,1, 0,01, 0,001, . . .

Stehen nun bei irgend einer Stellung des Schiebers den Zahlen x und x_1 einer Teilung A die Zahlen z und z_1 der angrenzenden Teilung B gegenüber, dann ist offenbar

$$\log x - \log x_1 = \log \log z - \log \log z_1,$$

woraus die fundamentale Beziehung

$$\sqrt[x]{z} = \sqrt[x_1]{z_1} \quad \text{oder auch} \quad z^{x_1} = z_1^x$$

folgt. Sind also von vier in dieser Beziehung stehenden Zahlen drei gegeben, so kann die vierte abgelesen werden, nachdem der Schieber in die richtige Stellung gebracht ist. Wird insbesondere $x_1 = 1$ genommen und die gegenüberstehende Zahl y genannt, so ist

$$z = y^x,$$

woraus sich folgende Regeln ergeben: 1) Um die Potenz y^x zu berechnen, suche man die Basis auf dem Schieber, stelle sie der 1 der angrenzenden Teilung A gegenüber, suche auf letzterer Teilung den Exponenten x , dann steht diesem gegenüber das Ergebnis; 2) um die Wurzel

$$\sqrt[x]{z}$$

zu berechnen, suche man die Basis z auf dem Schieber, stelle sie dem

Wurzelexponenten x auf der benachbarten Teilung A gegenüber, dann kann gegenüber dem Striche 1 der letzteren Teilung das Ergebnis abgelesen werden; 3) um den Logarithmus der Zahl z für die Basis y zu berechnen, suche man die Basis auf dem Schieber, stelle sie der 1 auf der angrenzenden Teilung A gegenüber, dann findet sich das Ergebnis gegenüber dem Teilstriche z des Schiebers. Behufs Bestimmung natürlicher Logarithmen ist ein besonderer Teilstrich für die Zahl e angebracht. Der Schieber hat in der Mitte noch zwei Teilungen für die halbe Summe und halbe Differenz je zweier senkrecht über einander stehenden Zahlen seines oberen und unteren Randes. Mit Hilfe derselben können auf Grund der Regel 1) die Werte der Ausdrücke

$$\frac{1}{2} (y^x + y^{-x}) \text{ und } \frac{1}{2} (y^x - y^{-x}),$$

und wenn man $y = e$ nimmt, die Werte der hyperbolischen Functionen $\text{Cof } x$ und $\text{Sin } x$ gefunden werden.

(Blanc, Mehmke.)

- 22 Réglettes calculatrices** von **H. Genaille** und **Ed. Lucas**, Paris 1885, ausgestellt von Prof. **Mehmke**, techn. Hochschule Darmstadt.

a. Les *réglettes Népériennes*, neue Ausgabe der von Neper 1617 beschriebenen, auf Peter Apian's Multiplicationsmethode beruhenden Rechenstäbchen, welche die Multiplication mit einziffrigen Zahlen auf eine Addition zurückführen;

b. les *réglettes multiplicatrices*, stellen eine Vervollkommnung der Neper'schen Rechenstäbchen dar, indem bei ihrer Benützung die bei letzteren noch erforderliche Addition in Wegfall kommt;

c. les *réglettes multisectrices*, von ähnlicher Einrichtung wie die vorhergehenden; sie liefern durch ein mechanisches Verfahren den Quotienten und Rest bei der Division einer beliebigen Zahl durch eine einziffrige.

(Mehmke.)

- 23 Rechenmaschine** von **Chr. L. Gersten** (von 1733 bis 1744 Professor der Mathematik in Giessen, erfunden 1722, im Besitz und ausgestellt vom **Grossherzogl. Hessischen Museum** in Darmstadt.

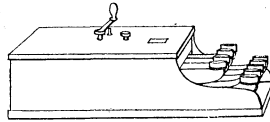
Die Maschine dient zum Addiren und Subtrahiren. Man stellt den einen Summanden resp. den Minuenden durch Drehen der Zifferscheiben über den vorhandenen senkrechten Schlitzen in der oberen resp. unteren wagerechten Reihe von Schaulöchern ein, die zu addirende resp. subtrahirende Zahl dagegen mit Hilfe von Schiebern in den genannten, seitlich mit Zähnen versehenen Schlitzen und bewegt hierauf jeden der vorhandenen Elfenbeinköpfe senkrecht herunter, so weit es geht, und wieder zurück, dann erscheint in den oberen resp. unteren Schaulöchern die Summe resp. Differenz. Die addirte resp. subtrahirte Zahl zeigt sich in einer dritten wagerechten Reihe von Schaulöchern.

(Mehmke.)

24 **Webb's adder.** Additionsmaschine, ausgestellt von Ingenieur **A. Beyerlen** Stuttgart.

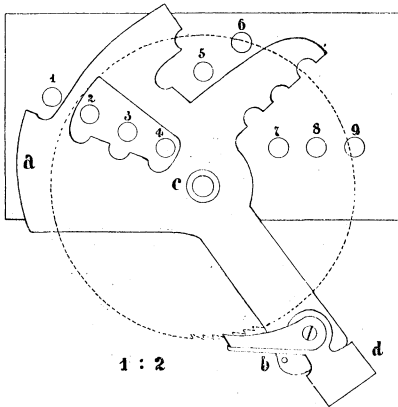
25 **Additionsmaschine** von **Max Mayer** D. R. P. Nr. 44398. Gefertigt von Mechaniker **A. Barthelmes**, München.

Die Maschine dient zur Addition grösserer Zahlenreihen. Jede der neun vorhandenen Tasten bewegt beim Niederdrücken den Bügel a und



1 : 6

mittelt des an diesem angebrachten Schaltzahnes b das mit 100 Zähnen versehene, in der Zeichnung punktiert angedeutete Zahlenrad.



1 : 2

wird einer der mit 1—9 bezeichneten Stifte gehoben. Dadurch, dass der Bügel an diesen stösst und stehen bleibt, beschränkt sich die Bewegung des Zahlenrades auf so viel Zähne, als die Ziffer der niedergedrückten Taste angibt. Das Zahlenrad wird in seiner neuen Stellung festgehalten, während Bügel, Stift und Taste in ihre ursprüngliche Lage zurückkehren. Ein Rädchen zählt die Umdrehungen des Zahlenrades und gibt so die Hunderter an. Sind mehrziffrige Zahlen

zu addiren, so addirt man zuerst die Einer, dann unter Berücksichtigung des Uebertrages die Zehner u. s. w. Die Nullstellung erfolgt durch Drehung der Kurbel und des im Deckel angebrachten Knopfes.

Preis im Einzelverkauf M. 50.

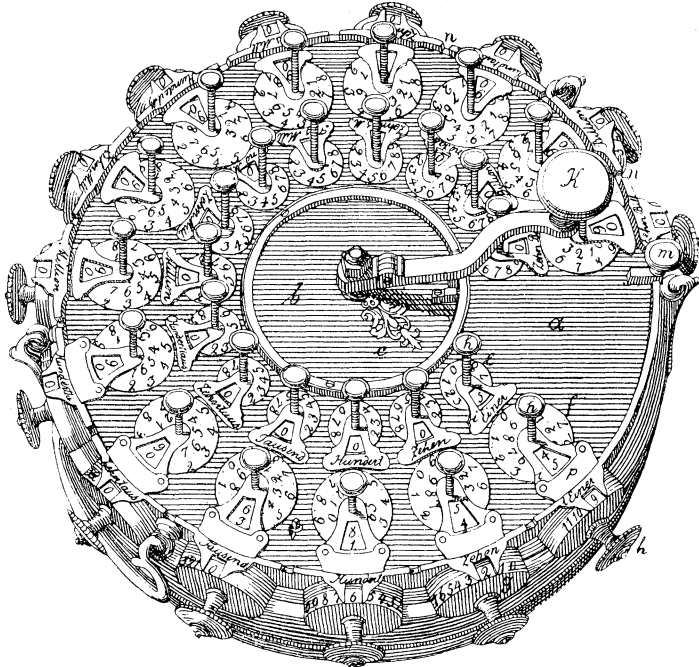
(M. Mayer, Mehmke.)

26 **Hahn'sche Rechenmaschine**, nach der Erfindung von Pfarrer **Hahn** in Echterdingen, ausgeführt 1809 von dessen Sohn, dem k. württembergischen Hofmechaniker **Hahn** in Stuttgart. Im Besitze und ausgestellt von Sr. Durchlaucht **Wilhelm, Herzog von Urach, Graf von Württemberg** in Stuttgart.

Die Maschine (in Cylinderform) ist das vierte Exemplar der Hahn'schen Maschinen; sie gestattet Berechnungen bis zu zwölf Stellen und ist noch jetzt in vollständig gangbarem Zustande.

- 27 **J. H. Müller's Rechenmaschine**, erfunden 1782 von Ingenieurhauptmann **J. H. Müller** in Giessen, ausgeführt in Darmstadt 1783. Im Besitz und ausgestellt vom **Grossherz. Hessischen Museum** in Darmstadt.

Das cylindrische Gehäuse von vergoldetem Messing hat ungefähr 28,5 cm im Durchmesser und 9,5 cm Höhe. Der wagerechte Deckel besteht aus dem drehbaren äusseren Ringe a und dem unbeweglichen kreisförmigen Teile b in der Mitte. Auf dem Ringe a befinden sich in zwei concentrischen Kreisen zwei Reihen von je 14 emaillirten Zahlenscheiben. Die (kleineren) Scheiben e der inneren Reihe sind mit den Ziffern 0, 1 . . . 9 beschrieben. Die (grösseren) Scheiben f der äusseren Reihe zeigen diese



Ziffern zweimal, schwarz am Umfange und rot in einem inneren Kreise, und zwar letztere in verkehrter Ordnung, so dass jede schwarze Ziffer mit der im gleichen Halbmesser stehenden roten die Summe 9 ergibt. An der unbeweglichen, gekrümmten Seitenwand des Gehäuses befinden sich ebenfalls 14 Zahlenscheiben g, welche auf ihrem emaillirten breiten Rande die Ziffern 0, 1 . . . 9 tragen, die 6 ersten Scheiben rechter Hand auch noch die Ziffern 10 und 11. Jede Zahlenscheibe kann mittelst eines Knopfes h gedreht werden, bis irgend eine gewünschte Ziffer in dem zu dieser Scheibe gehörigen „Fenster“ i erscheint. Um zwei Zahlen zu addiren, (bezw. von einander zu subtrahiren) setzt man die eine (bezw.

den Minuendus) mittelst schwarzer (roter) Ziffern auf den Scheiben *f*, die andere mittelst der Scheiben *g* zusammen und dreht die Kurbel *K* einmal herum, dann zeigt sich die Summe (Differenz) in schwarzen (roten) Ziffern auf den Scheiben *f*. Die Multiplication wird ausgeführt, indem man die Zahlenscheiben *f* alle auf schwarze Nullen, die Scheiben *g* auf den Multiplicandus stellt, hierauf die Kurbel so oft dreht, als der Multiplicator Einer hat, (wobei der auf dem inneren Teile *b* des Deckels befestigte Zeiger *c* auf die Einer-Scheiben der Zahlenreihen *e* und *f* weisen muss), dann unter Heben der Falle *m* den Ring *a* dreht, bis der Zeiger *c* auf die Zehner-Scheiben des Ringes weist und die Falle in den folgenden Einschnitt *n* kommt, nun die Kurbel so oft dreht, als der Multiplicator Zehner hat u. s. w. Es bildet sich hierbei der Multiplicator auf den Zahlenscheiben *e* der inneren Reihe. Bei der in einer wiederholten Subtraction bestehenden Division wird der Dividendus mit roten Ziffern auf die Scheiben *f*, der Divisor auf die Scheiben *g* gebracht; der Quotient erscheint auf den Zahlenscheiben *e* der inneren Reihe.

Wird die Maschine gezwungen, eine Zahl von einer kleineren abzu ziehen, so ertönt ein Glöckchen; ebenso, wenn man eine Summe oder ein Product bilden will, das zu gross ist, um von der Maschine noch dargestellt werden zu können. Zum Zwecke des Rechnens mit benannten Zahlen können die 6 ersten Zahlenscheiben *f* rechter Hand herausgenommen und durch solche ersetzt werden, die anderen Grundzahlen, als 10, z. B. 4, 6, 9, 12, entsprechen. Die Elfenbeintäfelchen *p* dienen dazu, um darauf die Benennungen der Einheiten zu schreiben. (Mehmke.)

- 28 Beireis'sche Rechenmaschine**, ausgestellt von Geh. Reg.-Rat Prof. **Reuleaux**, Techn. Hochschule Berlin-Charlottenburg.

Die Maschine hat einer der Sammlungen des Hofrates und Prof. *Beireis* in Helmstätt (geboren 1730, gest. 1803) angehört und ist durch den Aussteller von dem Besitzer eines Teiles des Nachlasses erworben worden. Die Maschine ist verschieden von der Hahn'schen sowohl bezüglich des Schaltwerkes als der Zehner-Übertragung. Ihre Bauart ist nicht nachahmenswert. Beachtenswert ist die in der Urschrift beiliegende Anweisung zum Gebrauche der Maschine. (Reuleaux.)

- 29 Schuster'(Hahn-)sche Rechenmaschine**, ausgestellt von Geh. Reg.-Rat Prof. **Reuleaux**, techn. Hochschule Berlin-Charlottenburg.

Die Maschine ist eine *Hahn'sche* (Schuster war der Schwager des Pfarrers Hahn und Kleinuhrmacher in Ansbach und fertigte seine Maschinen genau nach den Hahn'schen.) Die ausgestellte Maschine ist in den Jahren 1789–90 hergestellt und war damals für 1000 Reichsthaler zum Verkaufe ausgedoten. Die Maschine ist in vollständig gangbarem Zustand und führt alle Rechnungsarbeiten aus, welche auf der *Thomas'schen* möglich sind. (Reuleaux.)

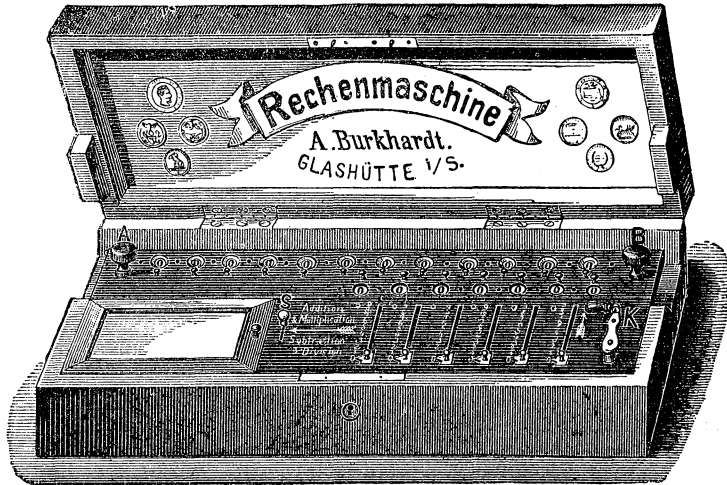
30 Schuster' (Hahn-)sche Rechenmaschine. Aus der **geodätischen Sammlung der techn. Hochschule München.**

Die Rechenmaschine, vollständig gangbar, ist von **Chr. Schuster** in Ansbach in den Jahren 1807—1820 verfertigt und wurde 1821 vom bayer. Staate für 1000 Gulden erworben.

(M. Schmidt.)

31 Rechenmaschine von **A. Burkhardt** in Glashütte i. S.

In Bezug auf die Handhabung und äussere Gestalt stimmt diese Maschine mit dem bekannten „Arithmometer“ von Thomas überein, das Innere weist jedoch Verbesserungen und Ergänzungen auf.



Preis: 6-stellig	M. 375.—,
8-stellig	M. 475.—,
10-stellig	M. 675.—.

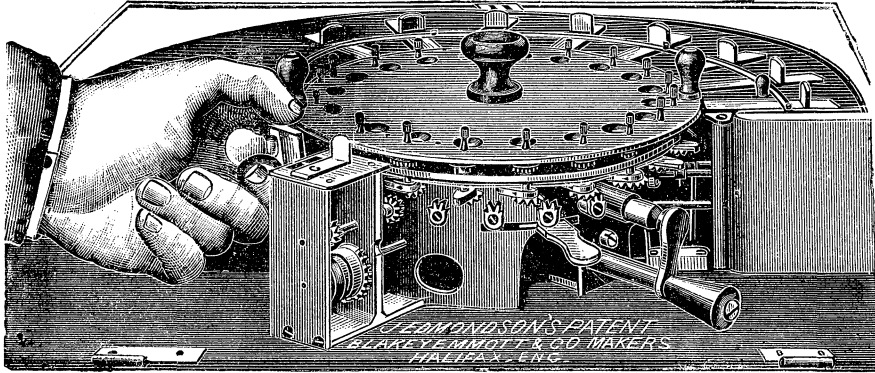
(Mehnke.)

32 Unterrichtsmodell zur Thomas'schen Rechenmaschine, ausgeführt von **A. Burkhardt** in Glashütte i. S. **Kinematische Sammlung der techn. Hochschule Berlin-Charlottenburg,** Vorstand Geh. R. Professor **Reuleaux.**

33 Circular Calculating-Maschine von **Joseph Edmondson** in Halifax, England, ausgestellt von Prof. **O. Henrici,** City and guilds of London Institute.

Mittelst flacher Schieber wird der Multiplicand resp. Divisor auf der äusseren, unbeweglichen, halbkreisförmigen Stellplatte eingestellt. der drehbare innere Kreis nimmt gleichzeitig das Product und den Multiplier resp. den Dividenden und Quotienten auf. Die kreisförmige Bauart gestattet, jede Ziffer des Productes (Dividenden) jeder Ziffer der Stellplatte gegenüber zu bringen, wodurch das bei geraden Maschinen zuweilen

nöthige Versetzen einer schon eingestellten Zahl vermieden wird, sie erlaubt ferner eine nicht aufgehende Division beliebig fortzusetzen und bietet noch andere Vorteile dar. Mit Hilfe des „Auslöschers“ kann man

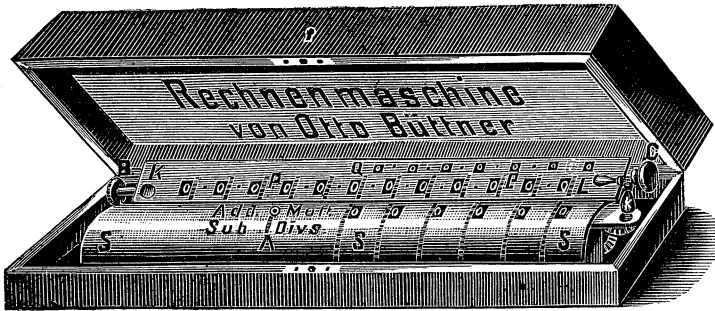


nach Belieben alle Ziffern des inneren Kreises, oder nur einen Teil derselben, auf Null bringen. Die Kurbel ist seitlich angebracht.

Preis M. 500.

(Mehmke.)

- 34 **Modell zur Erläuterung des Mechanismus der Edmondson'schen Rechenmaschine.** Ausgestellt von Prof. O. Henrici, City and guilds of London Institute, London.
- 35 **Büttner's** Rechenmaschine, D. R.-P. Nr. 47243, ausgestellt von der Firma **W. Brückner** in Dresden.



Diese Rechenmaschine gleicht äusserlich der bekannten von Thomas, nimmt aber weniger Raum ein und unterscheidet sich von ihr hauptsächlich in folgenden Punkten: 1. Bei der Subtraction und Division bedarf es keiner Umsteuerung, sondern man kann auch die Kurbel rückwärts drehen; 2. auch der „Quotient“ Q ist mit einer Vorrichtung zum

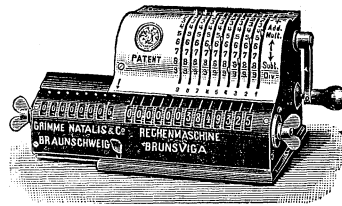
„Auslöschen“ versehen; 3. im „Stellwerk“ S stehen die Ziffern immer in einer geraden Linie nebeneinander, so dass jede eingestellte Zahl unmittelbar abgelesen werden kann; 4. das „Lineal“ L ist nach vorn geneigt, was die Übersicht erleichtert.

Preis: 6-stellig M. 325.—,
 8-stellig M. 425.—,
 10-stellig M. 625.—.

(Mehmke.)

36 Rechenmaschine „Brunsviga“ patentirt, erfunden von **Odhner**, hergestellt von **Grimme, Natalis & Co.** in Braunschweig.

Um eine Zahl in die Maschine einzuführen, stellt man dieselbe mit Hilfe der in den Schlitzen der gebogenen Deckplatte beweglichen Hebel



ein und dreht hierauf die Kurbel, welche in der Ruhe senkrecht nach unten steht und in dieser Stellung durch einen federnden Eingriff festgehalten wird, einmal über vorne nach hinten (im Sinne des oberen Pfeiles). Die Zahl erscheint dann in den grossen Löchern des Zifferkastens. Will man eine zweite Zahl einmal oder mehrmals zu jener addiren, resp. von ihr subtrahiren, so stellt man sie auf der Deckplatte ein und dreht die Kurbel ebenso oft im Sinne des oberen resp. unteren Pfeiles herum, dann findet sich das Ergebnis wieder in den grossen Löchern des Zifferkastens, in dessen kleinen Löchern zugleich die Zahl der Drehungen angezeigt wird. Die Multiplication und Division erledigt man, wie bei andern Rechenmaschinen, durch wiederholtes Addiren resp. Subtrahiren; bei den Zehnern, Hundertern . . . ist dann der Zifferkasten um 1, 2 . . . Stellen nach rechts zu verschieben, was unter Niederdrücken des vorne angebrachten Hakens geschieht. Die Zahlen in den grossen resp. kleinen Löchern des Zifferkastens werden auf Null gebracht, indem man die Flügelschraube auf der rechten resp. linken Seite von vorne nach hinten dreht. Die Maschine ist nur 30 cm lang, 15 cm breit und 12 cm hoch.

Preis M. 150.

(Mehmke.)

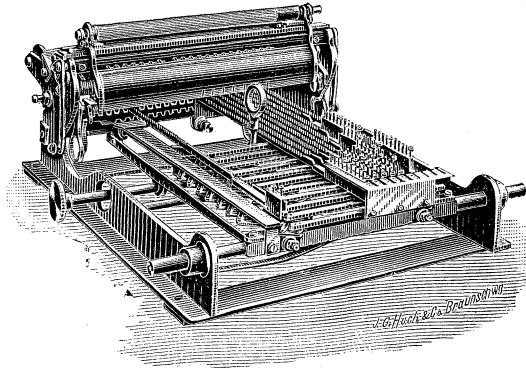
37 Rechenmaschine nach Prof. **Selling**, Univ. Würzburg, construiert von **Max Ott**, Werkstätte für Präzisionsmechanik in München.

Die Maschine verdankt ihre Entstehung der Absicht, die Mängel der Thomas'schen Rechenmaschine, — das einförmige Kurbeldrehen und die

stossweise Zehnerübertragung — zu umgehen und weicht sowohl in der Theorie als auch der Construction von allen bis jetzt vorhandenen Rechenmaschinen wesentlich ab.

Sie besteht aus zwei getrennten Mechanismen, welche während des Rechnens abwechselnd mit einander in Verbindung gebracht werden, und zwar dem „Scherensystem mit Claviatur und Zahnstangen“ und dem „Zahnradsystem mit den Zifferrädern“.

Zur Herstellung der Teilproducte ist die Nürnberger Schere benützt, deren Kreuzungspunkte ihren Abstand bekanntlich proportional verändern.



Durch den Weg, welchen diese Kreuzungspunkte (Multiplikand) zurücklegen, wenn die Schere um einen gewissen Abstand geöffnet oder geschlossen wird (Multiplicator) werden die Teilproducte gebildet und durch die, jene Bewegung aufnehmenden Zahnstangen auf die Radsysteme übertragen. Zur Verbindung der Zahnstangen mit den betreffenden Kreuzungspunkten (Schiene), d. h. zum Einstellen des Multiplikanden, genügt ein Druck auf die Tasten der Claviatur.

Die Radsysteme, welche die Längsbewegung der Zahnstangen aufnehmen und in eine rotirende verwandeln, bestehen aus je einem zusammengehörigen Zahn- und Zahlenrad und sind sämtlich unter sich durch sog. Planetenräder (Elemente von doppelter Bewegung) mit einander verbunden, welche letztere die Zehnerübertragung vermitteln.

Entsprechend dieser continuirlichen Zehnerübertragung stehen die einzelnen Ziffern beim Ablesen nicht genau am Indexstrich, sondern sind bereits um so viele Zehntel vorgerückt, als die nächstfolgende Ziffer Einheiten hat. Durch Hochheben eines Ringes wird die Nullstellung der Räder vor Beginn der Rechnung bewirkt.

Durch die Vermeidung von Federn und Hebeln ist ein fehlerhaftes Functioniren der Maschine ausgeschlossen.

(M. Ott.)

- 38 Die analytische Maschine** von **Charles Babbage**. (Nicht vollendet.) In photographischer Abbildung ausgestellt vom **South Kensington Museum**, London.

Die Maschine dient zur Berechnung mathematischer und astronomischer Tabellen. Sie liefert Wortereihen beliebiger Functionen, indem sie deren Differenzenreihen selbständig bildet und addirt. 1823 auf Kosten der englischen Regierung begonnen, hatte sie bereits 340,000 Mark gekostet, als 1833 die Arbeit daran für immer eingestellt wurde. Sie hat der Maschine von Georg und Eduard Scheutz zum Vorbild gedient.

(Mehmke.)

B. Apparat zur Wahrscheinlichkeitsrechnung.

- 39 Quicunx, zur Illustration des Fehlergesetzes**, von **Francis Galton** F. R. S.

Das Princip, auf welchem das Instrument beruht, besteht darin, dass jedes von vielen Objecten einer grossen Menge von kleinen und unabhängigen Zufällen ausgesetzt wird. Die Objecte sind hier fallende Schrotkörner und die Zufälle sind durch Reihen von Nadeln bewirkt, gegen welche die Körner fallen und gleich oft nach rechts oder links abgelenkt werden. Einzelne Körner können wieder und wieder nach derselben Seite abgelenkt werden; im allgemeinen jedoch werden Ablenkungen nach beiden Seiten gleich oft stattfinden.

Ein Kasten, dessen vordere Fläche aus einer Glasscheibe besteht, hat eine Tiefe von ungefähr 5 mm. Oben bilden Cartonstreifen einen Trichter. Unter der Öffnung desselben sind Reihen von Nadeln senkrecht in die Rückwand gesteckt.

Eine passende Quantität feinen Schrotetes liegt im Kasten. Dieser läuft, wenn der Kasten umgestürzt wird, in den am oberen Ende befindlichen Behälter mit einer Öffnung über dem Trichter. Wird der Kasten wieder umgedreht, so fallen die Schrotkörner in den Trichter, durch dessen untere enge Öffnung auf die Nadeln und in interessanter Weise durch diese abwärts, bald rechts, bald links abgelenkt. Diese Nadeln sind quicunx-artig verteilt, so dass jedes Schrotkorn in jeder Reihe der Nadeln eine trifft. Beim Herabfallen verbreitet sich der Strom der Schrotkörner, bis diese schliesslich in den unten angebrachten Fächern zur Ruhe gelangen. Der Umriss der Schrothaufen in diesen Fächern bildet dann angenähert die bekannte Fehlercurve und reproducirt sich mit grosser Treue bei Wiederholung des Experiments. Wären die Reihen der Nadeln sehr zahlreich, so wäre die Ausbreitung des Schrotetes proportional der Quadratwurzel aus der Anzahl der Reihen; wobei die Ausbreitung gemessen wird durch den Abstand (gleich dem doppelten

des wahrscheinlichen Fehlers) zwischen denjenigen Verticalen, ausserhalb welcher an jeder Seite ein Viertel des Schrotes liegt.

Eine zweite Anordnung des Apparates illustriert das Gesetz, wonach der wahrscheinliche Fehler eines Systemes, hervorgerufen durch die Wirkung zweier unabhängiger Ursachen, denen je für sich die wahrscheinlichen Fehler h und k zukommen, den Wert $\sqrt{h^2+k^2}$ hat. Das Quicunx in der ersten Anordnung wird durch eine auf halber Höhe angebrachte Reihe von Löchern in zwei Teile H und K geteilt. Denken wir uns nun diese Fächer zeitweilig unten geschlossen. Der durch H fallende Schrot wird dann in ihnen Haufen bilden, deren Höhe einem wahrscheinlichen Fehler h entspricht. Wird jetzt der Boden eines dieser Fächer geöffnet, so wird der Schrot durch K fallen und in den unteren Fächern eine Figur bilden, die einem wahrscheinlichen Fehler k entspricht. Dasselbe tritt für jedes Fach ein. Das Gesamtergebn, wenn alle oberen Fächer geöffnet werden, wird identisch sein mit demjenigen, welches erhalten würde, wenn der Schrot durch H und K fiel, ohne durch die oberen Fächer aufgehalten zu werden, in welchem Falle der wahrscheinliche Fehler $\sqrt{h^2+k^2}$ sein würde.

Durch andere Variationen des Apparates können andere Eigenschaften des Fehlergesetzes illustriert werden; so die Identität des Resultates, wenn der Schrot durch H und dann durch K fällt, mit demjenigen, wenn er erst durch H und dann zurück durch H bis zu einer Entfernung gleich der Höhe von K fällt. Dies würde zeigen, dass $\sqrt{h^2+k^2}$ gleich anwendbar ist, ob das System der Fehlerquellen aus der Summe oder aus der Differenz zweier anderen zusammengesetzt ist.

(F. Galton.)

Zweiter Abschnitt. Algebra, Functionentheorie.

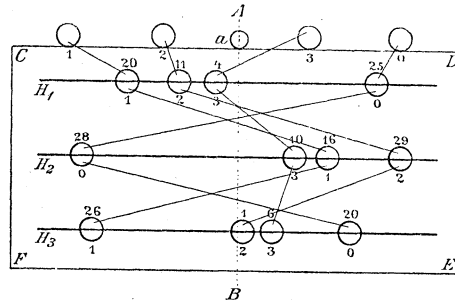
C. Apparate zur Auflösung von Gleichungen und zur Construction functioneller Abhängigkeiten.

40 **Apparat zur Auflösung linearer Gleichungen**, von Prof. **Veltmann**, Bonn-Poppelsdorf, ausgeführt von Mechaniker **Wolz** in Bonn, Aussteller: Prof. **Veltmann**.

So wie der Apparat hier ausgeführt ist, ist derselbe zur Auflösung von drei Gleichungen bestimmt.

Über einem rechteckigen Kasten $CDEF$ haben die Hebel H_1, H_2, H_3 ihre Drehpunkte und Schwerpunkte in einer horizontalen Linie AB und bewegen sich in Ebenen senkrecht zu dieser Linie. An jedem Hebel sind vier durch die Kreise angedeutete Blechcylinder von gleichem Durch-

messer, oben offen, unten geschlossen, aufgehängt. Die Aufhängepunkte befinden sich mit den Drehpunkten der Hebel in gerader Linie. Die Cylinder sind an jedem Hebel unterhalb der Kreise mit den Nummern



0 bis 3 bezeichnet. Die oberhalb stehenden Zahlen bedeuten die links positiv, rechts negativ zu nehmenden Hebelarme. Dieselben müssen übereinstimmen mit den Coëfficienten und Absolutgliedern der aufzulösenden Gleichungen. Der Apparat wäre also hier eingestellt zur Auflösung folgender Gleichungen:

$$\begin{aligned}
 & - 25 + 20 x_1 + 11 x_2 + 4 x_3 = 0 \\
 1) \quad & + 28 - 16 x_1 - 29 x_2 - 10 x_3 = 0 \\
 & - 20 + 26 x_1 - 1 x_2 - 6 x_3 = 0
 \end{aligned}$$

An den Enden eines jeden Hebels hängt zur Tarirung mittels Gewichten je eine (hier fortgelassene) Wagschale, deren Aufhängepunkt mit denjenigen der Cylinder in gerader Linie liegt. Ausserhalb des Kastens sind an der Wand CD desselben ebenfalls durch Kreise angedeutete, unten geschlossene, oben offene vertical stehende mit Masstab versehene Glasylinder befestigt. Je zwei gleich nummerirte Cylinder an zwei benachbarten Hebeln sind, wie durch Linien angedeutet ist, unter sich sowie auch mit den Glasylindern von gleichen Nummern durch gläserne Heberöhren verbunden, deren verticale Schenkel bei horizontaler Stellung der Hebel in die Cylinder bis ungefähr 10 cm vom Boden hinabreichen. Je vier auf diese Weise durch Röhren verbundene gleich nummerirte Cylinder wollen wir als eine Cylinderkette bezeichnen. In jeder der vier Cylinderketten wird dann, wenn eine Flüssigkeit in dieselbe gebracht wird, diese wegen der Communication durch die Heberöhren in gleichem Niveau stehen. Die Röhren sind an einem (hier weggelassenen) auf dem Kasten stehenden Holzgestell befestigt. Der Kasten wird so weit mit Wasser gefüllt, dass die Cylinder bei horizontaler Stellung der Hebel ungefähr zur Hälfte eintauchen.

An der Wand CD des Kastens ist ausserhalb eine mit Teilung versehene Wasserstandsrohre a angebracht, welche mit dem Wasser im

Kasten communicirt. In die Cylinder wird eine Flüssigkeit gebracht, deren specifisches Gewicht sich zu dem des Wassers verhält, wie der äussere Querschnitt eines Metalcyinders zu dem inneren. Eine Flüssigkeitssäule in dem Cylinder (die Heberöhre wird hiebei nicht abgerechnet) hat dann dasselbe Gewicht, wie eine Wassersäule von gleicher Höhe und dem äusseren Querschnitt des Cyinders. Als Gewichtseinheit werde eine derartige Säule von der Höhe = 1 cm angenommen.

Unter diesen Voraussetzungen ändert sich die am Aufhängepunkte eines Cyinders angreifende Kraft nicht, wenn der Cylinder mehr oder weniger tief eintaucht, dabei aber der Unterschied des inneren und äusseren Niveaus constant bleibt. Denn wenn der Cylinder z. B. tiefer eintaucht, so verdrängt er eine höhere Wassersäule aus der Stelle; um ebenso viel hat aber auch die Höhe der Flüssigkeitssäule in dem Cylinder zugenommen. Hieraus folgt dann weiter, dass, wenn der Unterschied: innere Niveauhöhe minus äussere, sich ändert, die Kraft sich um ebensoviel ändert, gleichviel ob gleichzeitig die Tiefe des Eintauchens des Cyinders eine andere wird oder nicht.

Man bringe die Hebel in horizontale Stellung. Dann füge man in den Glascylindern soviel Flüssigkeit zu oder nehme durch Stechheber soviel weg, dass in allen Cylinderketten das Niveau mit dem im Kasten nahezu übereinstimmt. Jetzt tariere man die Hebel, sodass sie ungefähr in dieser Stellung ins Gleichgewicht kommen und lese das Niveau in den Glascylindern sowie im Kasten ab.

Hierauf füge man in sämtlichen Glascylindern oder auch nur einem Teil derselben eine angemessene Menge Flüssigkeit hinzu. Das Gleichgewicht wird hierdurch gestört; die Hebel entfernen sich aus der horizontalen Lage und zugleich treten die Heberöhren in Thätigkeit. Nach einiger Zeit stellt sich ein neuer Gleichgewichtszustand her, bei welchem die Hebel verschiedene Neigungen gegen den Horizont haben und die Flüssigkeit in den Cyindern eines Hebels verschieden hoch steht. In den Cyindern einer Kette aber ist das Niveau wieder überall dasselbe wegen der Communication durch die Heberöhren. Man lese wieder die Niveaus in den Glascylindern sowie im Kasten ab und subtrahire den früheren Überschuss des ersteren über dem letzteren von dem jetzigen.

Die Unterschiede in Centimetern seien resp. y_0, y_1, y_2, y_3 , in den Cyindern 0, 1, 2, 3. Dann sind diese Grössen die an jedem Hebel neu in Wirkung getretenen Kräfte. Da dieselben an den in der Figur angegebenen Hebelarmen angreifend sich das Gleichgewicht halten, so genügen sie den Gleichungen

$$\begin{array}{l} - 25 y_0 + 20 y_1 + 11 y_2 + 4 y_3 = 0 \\ 2) \quad + 28 y_0 - 16 y_1 - 29 y_2 - 10 y_3 = 0 \\ - 20 y_0 + 26 y_1 - 1 y_2 - 6 y_3 = 0 \end{array}$$

Um also die Auflösung der gegebenen Gleichungen (1) zu erhalten, hat man nur zu setzen:

$$x_1 = \frac{y_1}{y_0}, x_2 = \frac{y_2}{y_0}, x_3 = \frac{y_3}{y_0}.$$

Diese Werte der x werden nicht genau sein. Die Fehler mögen f_1, f_2, f_3 sein, sodass die wahren Werte $x_1 + f_1, x_2 + f_2, x_3 + f_3$ sind. Setzt man diese in die Gleichungen (1) ein, so erhält man

$$\begin{aligned} & (-25 + 20x_1 + 11x_2 + 4x_3) + 20f_1 + 11f_2 + 4f_3 = 0 \\ \mathbf{3)} & (28 - 16x_1 - 29x_2 - 10x_3) - 16f_1 - 29f_2 - 10f_3 = 0 \\ & (-20 + 26x_1 - 1x_2 - 6x_3) + 26f_1 - 1f_2 - 6f_3 = 0 \end{aligned}$$

Aus diesen Gleichungen können die Correctionen f bestimmt werden. Man würde also die drei Gleichungen (3) mit den drei Unbekannten f aufzulösen haben, was wieder mit Hilfe des Apparats geschieht. Die Coëfficienten der Unbekannten sind dieselben wie in der Gleichung (1); die Hebelarme der Cylinder 1, 2, 3 können also unverändert bleiben. Die Absolutglieder sind andere, nämlich gleich den Ausdrücken in den Klammern, in welchen x_1, x_2, x_3 die erhaltenen Näherungswerte bedeuten. Sie werden sehr klein sein, weil die Näherungswerte x_1, x_2, x_3 nahezu eine richtige Auflösung der Gleichungen (1) darstellen. Man wird sie etwa 10mal grösser nehmen und dann die Gleichungen (3) durch Zurückführung auf homogene Gleichungen in derselben Weise mit Hilfe des Apparats auflösen, wie vorher die Gleichungen (1). Die erhaltenen Werte der f sind aber dann ebenfalls 10mal zu gross, müssen also durch 10 dividirt und dann zu den vorhin erhaltenen Werten von x_1, x_2, x_3 addirt werden. Hierdurch erhält man genauere Werte der x . Diese kann man in derselben Weise benutzen, um noch genauere Werte zu erhalten etc.

(Veltmann.)

41 Modell eines Apparates zur Auflösung viergliedriger (insbesondere vollständiger cubischer) sowie fünfgliedriger Gleichungen. 1889 vom **Aussteller** entworfen. Prof. **Mehmke**, techn. Hochschule Darmstadt.

Der Apparat ist aus drei parallelen, nicht in einer Ebene liegenden, gleichmässig getheilten Axen — sie mögen die U-, V- und W-Axe heissen — und einer auf einem Cylinder gezeichneten cubischen Ellipse mit ungleichmässiger Teilung zusammengesetzt. Will man die Gleichung

$$x^3 + ax^2 + bx + c = 0$$

auflösen, so verbindet man die mit a resp. b und c bezifferten Punkte der U-, resp. V- und W-Axe durch eine Ebene. An den Schnittpunkten derselben mit der genannten Curve können die Wurzeln der Gleichung abgelesen werden.

Bestimmt man die Lage einer veränderlichen Ebene durch die — von den Nullpunkten der Axen gerechneten und mit bestimmten Vorzeichen versehenen — Abschnitte u, v, w , welche sie auf den Axen bildet, so

stellt eine lineare Gleichung zwischen u , v , w einen Punkt vor. Die Gleichung des mit der Ziffer t versehenen Teilpunktes der genannten cubischen Ellipse ist

$$ut^2 + vt + w + t^3 = 0.$$

Zur Auflösung einer viergliedrigen Gleichung der Form

$$x^n + ax^m + bx^l + c = 0$$

benötigt man diejenige eingeteilte Raumcurve, bei welcher der zum Werte t gehörige Teilpunkt die Gleichung

$$ut^m + vt^l + w + t^n = 0$$

hat. Um auf ähnliche Weise die fünfgliedrige Gleichung

$$x^n + ax^m + bx^l + cx^k + d = 0$$

aufzulösen, benützt man diejenige Curvenschar — sie liegt auf einer Cylinderfläche mit zu den Axen parallelen Mantellinien — bei welcher der mit t bezeichnete Teilpunkt der zum Parameterwert λ gehörigen Curve der Schar die Gleichung

$$ut^m + vt^l + wt^k + (t^n + \lambda) = 0$$

hat. Man legt wieder durch die mit a resp. b und c bezeichneten Punkte der Axen eine Ebene und schneidet sie, mit der zum Parameterwert d gehörigen Curve der Schar, dann lassen sich an den Schnittpunkten die gesuchten Wurzeln ablesen.

(Mehmke.)

42 Graphisch-mechanischer Apparat zur Auflösung viergliedriger (insbesondere vollständiger cubischer) Gleichungen. 1886 vom **Aussteller** entworfen. Prof. **Mehmke**, techn. Hochschule, Darmstadt.

Der Apparat besteht aus einer Glastafel mit einem auf der Unterseite eingeritzten Paar von sich rechtwinklig kreuzenden Geraden und aus einer Tafel von Pergament, auf die ein rechtwinkliges Coordinatensystem mit gleichmässig getheilten Axen, sowie die Parabel, deren Gleichung in diesem Systeme $y = \frac{1}{4}x^2$ ist, unverwischbar gezeichnet sind. Behufs Auflösung der Gleichung

$$x^3 + ax^2 + bx + c = 0$$

zeichnet man auf der Pergamenttafel mit Bleistift die zur Gleichung $x = -a$ gehörige Gerade G und markirt ferner den Punkt p mit den Coordinaten $(-a + c, b)$, legt das durchsichtige Geradenkreuz auf und bewegt es in der Weise, dass der Schnittpunkt seiner Geraden beständig auf G bleibt und die eine Gerade immer durch p läuft, und zwar so lange, bis die andere Gerade die Parabel berührt. Dann lässt sich am Schnittpunkt der letzteren Geraden mit der X -Axe eine Wurzel der

gegebenen Gleichung ablesen. Benützt man statt der Parabel die Curve zur Gleichung

$$\left(\frac{y}{n-2}\right)^{n-2} = \left(\frac{x}{n-1}\right)^{n-1},$$

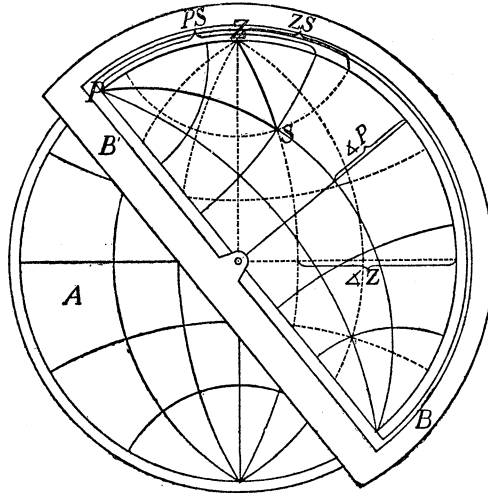
so ergeben sich durch dasselbe Verfahren die $(n-2)$ -ten Potenzen von den reellen Wurzeln der Gleichung

$$x^n + ax^2 + bx + c = 0.$$

(Mehmke.)

- 43 Trigonometer** von **C. Braun S. J.**, Mariaschein in Ungarn, angefertigt und ausgestellt von der Fabrik physikalischer Apparate von **A. Kreidl**, Prag.

Das Trigonometer besteht in der Hauptsache aus einer in grösserem Masstab ausgeführten *perspectivischen* Projection (A) einer halben Kugeloberfläche mit engmaschigem Gradnetz. Ich habe die stereographische Äquatoreal-Projection dafür gewählt. Denn obgleich auch die orthographische, oder die globulare (James'sche), oder ähnliche perspectivische Projectionen verwendet werden können, so hat doch die stereographische sehr wesentliche Vorzüge, namentlich die, dass sie nur Kreislinien enthält, somit leichter und genauer gezeichnet werden kann, und dass die Linien gegen den Rand hin nicht so zusammengedrängt erscheinen wie bei der orthographischen.



Über dieser Projection liegt, in einen transporteur-förmigen Rahmen (B) gespannt, eine zweite der unteren völlig gleiche Projection, welche

aber nur die Hälfte des Kreises füllt und auf Pauselinen oder Paus Pergament in roter Farbe gedruckt ist, so dass durch dieselbe hindurch die untere Zeichnung völlig scharf wahrgenommen wird.

Die Mittelpunkte beider Zeichnungen sind in solider Weise durch eine Axe verbunden. Die obere Zeichnung kann somit auf der unteren concentrisch gedreht werden, und die Drehung wird an dem eingetheilten Rand mittels kleiner Nonien abgelesen.

Es ist einleuchtend, dass bei dieser Anordnung jeder Punkt der Zeichnung sofort in *zwei* Systemen von Polar-Coordinationen dargestellt erscheint. Die numerirten Parallelkreise geben die Poldistanz des Punktes an, und die Meridiane den Winkel am Pol. Wenn also die Coordinaten eines Punktes in dem System der unteren Zeichnung notirt und durch eine aufgelegte Spitze markirt werden, so gibt dieselbe Notirung gleichzeitig in der oberen Zeichnung die Coordinaten in Bezug auf ein anderes System, welches gegen das erste unter einem beliebigen Winkel geneigt sein kann. Man kann aber die Auflösung der sphärischen Dreiecke auf eine Transformation der Coordinaten zurückführen, und somit können auch alle sphärischen Dreiecke mittels dieser Vorrichtung aufgelöst werden.

Um also ein sphärisches Dreieck, z. B. das von Pol, Zenith und Stern gebildete $\triangle PZS$ aufzulösen, wenn beispielsweise die Seite PZ (Complement der Polhöhe), PS (Poldistanz) und ZS (Zenithdistanz), also drei Seiten gegeben sind, wird man die obere Zeichnung so auf der unteren drehen, dass der Winkel der beiden Durchmesser $= PZ$ ist (cf. Fig.). Dann sucht man in der unteren Zeichnung am Rand die Zenithdistanz ZS und notirt den betreffenden Parallelkreis; ebenso in der oberen Zeichnung die Poldistanz PS und notirt den zugehörigen Parallelkreis. Dieser Durchschnittspunkt (S) ist der dritte Punkt des Dreieckes. Der durch denselben gehende Meridian der unteren Zeichnung gibt an dem Äquator derselben die Grösse des Winkels bei Z (respective dessen Supplement Z' oder das Azimuth des Sternes), und der durchgehende Meridian der *oberen* Zeichnung gibt an deren Äquator den Winkel bei P , d. h. den Stundenwinkel. In ganz ähnlicher Weise kann jedes sphärische Dreieck aufgelöst werden. Eine geringe Praxis reicht hin, um sich davon zu überzeugen.

Nur in dem einen Fall, wenn die drei Winkel eines sphärischen Dreieckes gegeben sind, reicht der Apparat nicht aus. Dieser Fall kommt übrigens in der Praxis vielleicht *nie* vor. Nötigenfalls kann man aber auch dann sehr leicht zum Ziel kommen, wenn man statt des vorliegenden Dreieckes das zugehörige Polar-Dreieck auflöst.

Die Operationen gehen bei einiger Übung sehr rasch von Statten und gegenüber der Rechnung kann damit eine sehr grosse Zeitersparnis erzielt werden. Die mittlere Genauigkeit beträgt bei sorgfältiger Ablesung fünf Minuten. (Aus den „Math. naturwissensch. Ber. aus Ungarn“).

(P. Braun.)

44 Vier verschiedene Abacus von **Maurice d'Ocagne**, ingénieur des ponts et chaussées, Paris.

Ein Abacus oder eine graphische Rechentabelle setzt sich aus einer Vereinigung geometrischer, mit Zahlen bezeichneter Elemente (Punkte, Gerade oder Curven) zusammen, welche ein mathematisches Gesetz zwischen mehreren Variablen darstellt, wobei jedem System von Zahlen die aufeinanderfolgenden Werte einer Variablen entsprechen.

Herr *M. d'Ocagne* hat neuerdings eine allgemeine Theorie der Abacus begründet und sie in seinem Buche: „Nomographie. Les calculs usuels effectués au moyen des abaques“, Paris, Gauthier-Villars 1891, veröffentlicht.

Unter den Methoden, welche er aus der allgemeinen Theorie ableitet, ist jene der „isoplethen Punkte“, in Kapitel IV—VI des genannten Werkes enthalten, sein specielles geistiges Eigentum.

Die hier ausgestellten Abacus sind Anwendungen dieser Methode. Man hat dabei durch die Daten der betreffenden Aufgabe auf dem Abacus eine Gerade bestimmt, deren Schnitt mit einer geteilten Scala die gesuchte Unbekannte ergibt. Diese Abacus sind klarer, bequemer zu handhaben und leichter genau zu interpolieren, als die Abacus der isoplethen Geraden, aus denen sie dualistisch abgeleitet sind. Ausserdem gestatten sie einen mehr als doppelten Eingang (Abacus 3 und 4).

Um auf dem Abacus Gerade zu ziehen, kann man sich eines Lineals oder eines feinen Striches auf durchsichtigem Träger bedienen. Am bequemsten ist es aber, einen dünnen Faden zwischen den Punkten zu spannen, welche den Daten entsprechen.

Bezüglich der näheren Ausführungen vergleiche man die auf den einzelnen Abacus angebrachte Gebrauchsanweisung, sowie die Entwicklungen in Kapitel IV—VI (Fig. 28, 29, 34 Tafel VIII) des genannten Werkes.

1) Abacus zur Berechnung der Neigung der Stützmauer einer horizontalen Terrasse.

Man habe das rechteckige Profil ABCD der Stützmauer berechnet. Dieselbe soll durch eine nach innen geneigte BMNC ersetzt werden. Es sei p das Verhältnis der Gewichte gleicher Volumina Erde und Mauerwerk; $l = BM : BA$; $h = AP : AD$, dann muss zur Erzielung gleicher Stabilität die Bedingung:

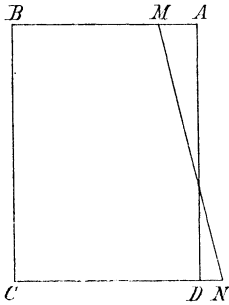
$$(1 + l) h^2 + l (1 + p) h - \frac{1}{3} (1-l) (1-2p) = 0$$

erfüllt sein.

Diese Bedingung wird durch einen Abacus mit 3 parabolisch gekrümmten Scalas für l , p und h ausgedrückt. Nimmt man p und l als gegeben an, so braucht man nur die entsprechenden Punkte der be-

treffenden Scalen mit einer Geraden (Faden) zu verbinden, dann schneidet diese die Scala der h in dem gesuchten Werte h .

2) Abacus zur Berechnung des Verhältnisses k der Profile der geraden und der schiefen Stützmauer (bezw. zur Auffindung der Stützmauer vom kleinsten Flächeninhalt des Profiles).



Hat man zu einem gegebenen Wertepaar p, l mittels des ersten Abacus h gefunden, so lässt sich mit diesem zweiten Abacus in ganz analoger Weise das Verhältnis:

$$k = \frac{\text{Inhalt } ABCD}{\text{Inhalt } MBCN} = 2h + 1 - 2hl$$

berechnen, welches möglichst gross werden soll.

3) Abacus der sphärischen Distanzen.

λ und λ' seien die geographischen Breiten zweier Orte auf der Erde, L ihr Längenunterschied. Die sphärische Distanz φ lässt sich dann durch die Formel:

$$2 \cos \varphi = (1 + \cos L) \cos (\lambda - \lambda') - (1 - \cos L) \cos (\lambda + \lambda')$$

ausdrücken.

Zur Berechnung derselben mittels des Abacus bilde man $\lambda + \lambda'$ und $\lambda - \lambda'$, suche ersteren Wert am linken, letzteren am rechten Rande auf und verbinde die betreffenden Punkte durch einen Faden. Dieser werde von der Senkrechten, die dem Werte von L an der oberen Scala entspricht, im Punkte P geschnitten. Geht man von P in einer Horizontalen an den rechten Rand, so liest man dort die gesuchte Distanz φ ab.

4) Abacus für die Auflösung der allgemeinen cubischen Gleichung:

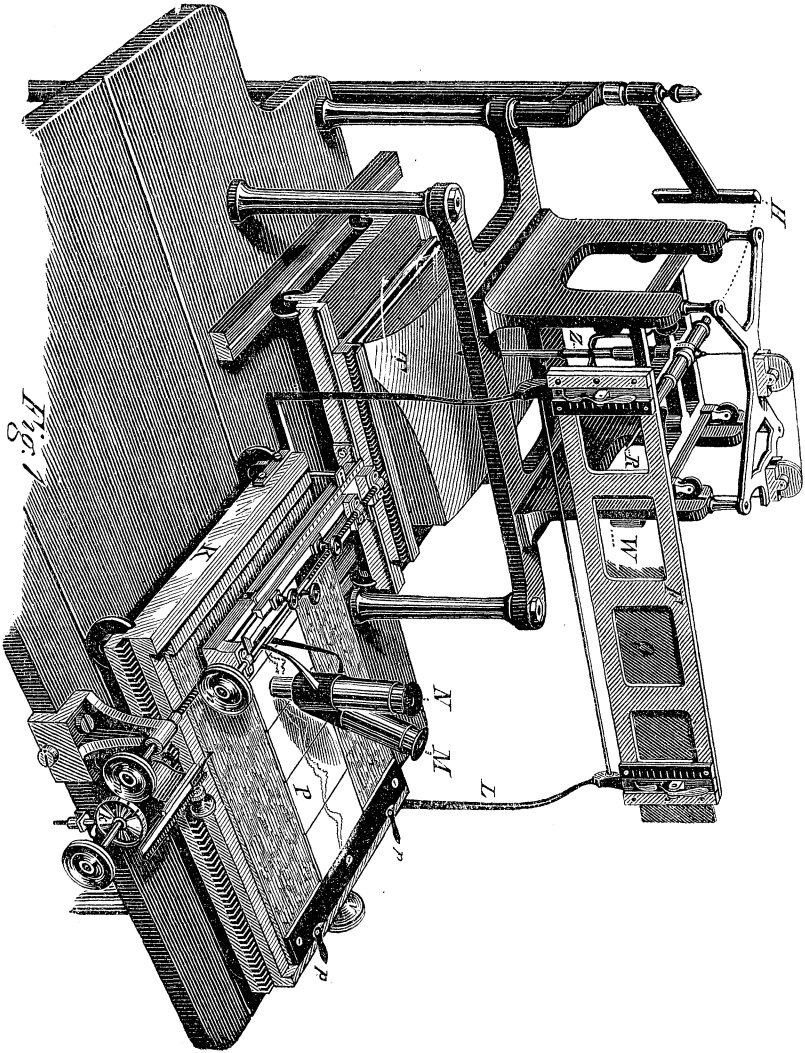
$$z^3 + nz^2 + pz + q = 0.$$

Die Scalen für p und q sind am linken und rechten Rande des Abacus. Man verbindet die entsprechenden Punkte durch eine Gerade, sucht ihre Schnitte mit der Curve, die dem Werte n entspricht und geht von diesen Punkten in einer Verticalen zur horizontalliegenden Scala der z in der Mitte des Abacus über, wo man die positiven Wurzeln ablesen kann. Die negativen berechnen sich aus der Gleichung:

$$z^3 - nz^2 + pz - q = 0.$$

(M. d'Ocagne, Finsterwalder.)

- 45 **Trace-Computer, Apparat zum Auftragen von Curven, deren Ordinaten gegebene Functionen zweier anderer Curven sind, von F. Galton, F. R. S. London, ausgeführt von Beck, London.**



Das Instrument, gegenwärtig zum Entwerfen und Punktiren der Dampfspannungscurve aus den entsprechenden Curven der Thermometer

mit trockener und feuchter Kugel benutzt, kann zu ähnlichen Zwecken aller Art verwendet werden, wenn man nur geeignete modellirte Tafeln fertigen lässt. Man kann dasselbe zum Entwerfen und Punktiren einer Curve benutzen, deren Ordinaten gegebene Functionen der Ordinaten zweier beliebiger anderer Curven sind, während alle drei gemeinsame Abscissen haben.

Die Maschine besteht aus drei Theilen.

Der *erste Theil* ist ein auf Schienen beweglicher Wagen K (nur in der ersten Figur sichtbar); die Bewegung desselben wird durch Drehen der untersten von den drei rechts unten in der Zeichnung befindlichen Scheiben regulirt. Die Axe derselben ist mit einem Getriebe versehen, welches in eine Zahnstange, die am Wagen befestigt ist, eingreift. An derselben Axe ist noch eine zweite Scheibe angebracht, in der Figur mit K bezeichnet. Diese Scheibe ist mit Nuthen versehen, in welche eine schwache Feder als Sperrhaken einfallen kann, damit man den Wagen um bestimmte kleine Strecken fortbewegen kann. Auf dem Wagen K ist ein Gestell angebracht, welches auf demselben auf und ab gleitet, wenn man den mit V bezeichneten Schraubenkopf (rechts vom Wagen) umdreht. Dieses Gestell hat Klemmen p, p und ist noch sonst passend arrangirt, um eine Reihe von 5 Zinktafeln festzuhalten, die mit P bezeichnet sind, und in welche die Curven des trockenen und feuchten Thermometers zuvor mit dem von mir erfundenen (Report 1871 p. 31) Pantagraphen (siehe pag. 232 dieses Kataloges) eingeritzt wurden. An dem Wagen ist vertical ein Rahmenwerk F parallel zur Vorderseite des Instruments an zwei Ständern angebracht (der äussere ist in der Figur mit L bezeichnet). In das Rahmenwerk ist eine lange Zinkplatte Q eingeschoben, dazu bestimmt, die von der Maschine punktirte Curve aufzunehmen. Diese Platte ist nur zum Theil in der Figur ausgeführt, um den dahinter liegenden Mechanismus nicht zu verdecken. Es bewegen sich nun die Platte mit der Dampfspannungcurve und diejenige mit den beiden thermometrischen Curven miteinander, so zwar, dass alle drei, wenn sie durch eine zu den Seiten des Apparates parallele Verticalebene geschnitten werden, Ordinaten ergeben, die zu gleichen Abscissen gehören, und zwar befindet sich speciell die Lage der Fadenkreuze des Mikroskopes M, das auf die Curve des trockenen Thermometers gerichtet ist, und des Mikroskopes N, das auf die Curve des feuchten Thermometers gerichtet ist, mit dem Stift R, der die Dampfspannungcurve punktirt, immer in derselben Verticalebene, parallel zu den Seiten des Apparates. Der *zweite Theil* des Instrumentes, bezüglich dessen man Fig. 2 vergleichen möge, besteht aus einer Tafel T mit gekrümmter Oberfläche, die gleichfalls wieder auf einem Wagen seitlich verschoben werden kann, während dieser selbst senkrecht dazu auf Schienen beweglich ist. Der Wagen ist T förmig, an seinem Vorsprung nach vorne befindet sich eine Schraube m, durch deren Drehung der Wagen sich auf den Schienen vor- und

rückwärts bewegt. Das Mikroskop M, welches auf die Curve des trockenen Thermometers eingestellt ist (dasselbe besitzt eine Schlitten-
 vorrichtung, die man vor dem Beginn der Operation einstellt), ist an dem Vorsprunge befestigt und nimmt deshalb an den Hin- und Her-
 Bewegungen der Tafel T teil. Kurz die Bewegung der Tafel in der Y-
 Richtung entspricht der Ordinate der Curve des trockenen Thermometers und einer Abscisse, die man erhält, wenn die Curve durch die

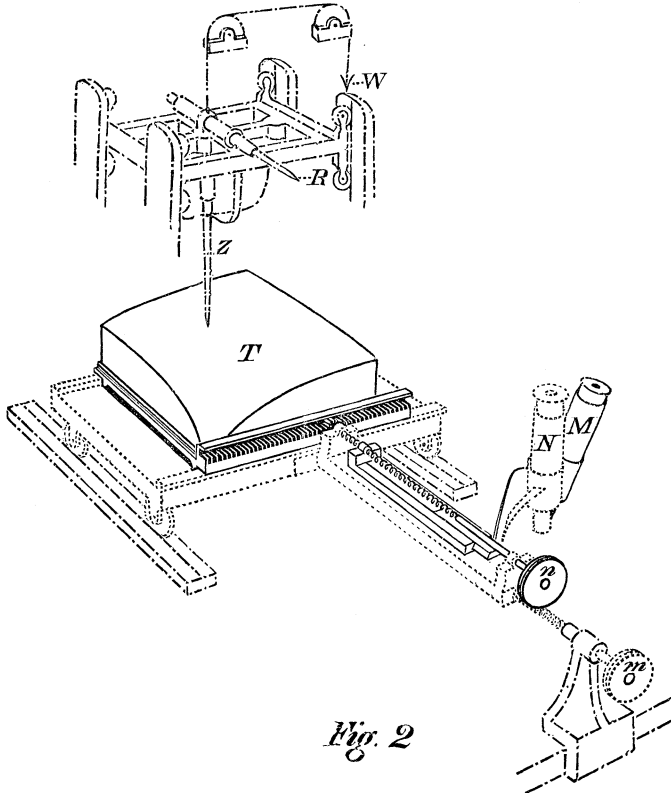


Fig. 2

oben angedeutete Verticalebene geschnitten wird. Ferner befindet sich an demselben Vorsprunge noch eine andere Schraube n, welche zweierlei Verrichtungen hat. Erstens schiebt sie das auf die Curve des feuchten Thermometers gerichtete Mikroskop hin und her und zweitens bewirkt sie durch ein Getriebe am Ende ihrer Axe, welches in eine Zahnstange eingreift, die mit der Tafel T in fester Verbindung steht, dass letztere auf dem Wagen in einer X-Richtung gleitet. Kurz, die Bewegung der Tafel in der X-Richtung entspricht der Ordinate der

Curve des feuchten Thermometers, genau wie die Bewegung der Tafel in der Y-Richtung der Ordinate der Curve des trockenen Thermometers für dieselbe Abscisse entsprach.

Die Tafel T ist eine krumme Oberfläche, die sich aus den Tabellen über Dampfspannung ergibt: Angenommen ihre rechte und linke Seite (Y-Richtung) wäre nach Temperaturgraden von 17° bis 93° geteilt und ihre Vorder- und Hinterseite (X-Richtung) nach den gewöhnlichen Differenzen zwischen den Temperaturen der feuchten und trockenen Kugel d. h. von 0° bis 23° , so ist die Höhe z eines beliebigen Punktes der Fläche, der zu den Ordinaten x , y gehört, den Tabellenwerten über Dampfspannung proportional gemacht worden, die der Temperatur y° des trockenen Thermometers und dem Überschuss von x° des trockenen über das feuchte entsprechen. Die mechanische Ausführung einer geeigneten Tafel für eine beliebige Function von zwei Variablen ist bei der vortrefflichen Einrichtung unserer Mechaniker ersten Ranges weder schwierig noch teuer. Es werden circa 400 Löcher mit einem genau getheilten Bohrer eingebohrt bis zu einer Tiefe, welche den Tabellenwerten entspricht und die Fläche zwischen denselben wird weggefeilt und geglättet. Die Punkte, welche zwischen den wirklich gemessenen liegen, werden also thatsächlich graphisch interpolirt. Es war Gelegenheit, für dieses Instrument zwei Tafeln anzufertigen; beide wurden sorgfältig geprüft und ausserordentlich genau befunden*); trotzdem kosteten sie nicht mehr als 120 Mark das Stück.

Der *dritte Teil* des Apparates ist oben in Figur 2 deutlich zu sehen. Er besteht aus einem Griffel Z mit einem Gegengewichte W, der vertical und mit geringem Drucke auf der Tafel stehen kann. Der Griffel trägt oben ein horizontales Rohr, in welchem ein Stift R gleitet. Auf diesen schlägt, so oft es nötig ist, ein Hammer H, der, mit dem Fusse in Bewegung gesetzt, den in Figur 1 punktirt gezeichneten Bogen beschreibt; der Stift selbst punktirt auf der Platte G eine Curve, deren Ordinaten sich wie die Höhen der Tafel ändern, welche durch den aufsitzenden Griffel in dem Momente, in welchem der Hammer aufschlägt, markirt werden.

Die Wirkungsweise des Instrumentes ist nun leicht zu übersehen: Der Wagen läuft eine kurze Strecke, dann werden die Schrauben m und n gedreht, bis die Fadenkreuze der Mikroskope M und N auf den zugehörigen Curven stehen und schliesslich veranlasst ein Druck des Fusses den Stift, einen Punkt einzustossen. Das ist der ganze Vorgang; der eben erwähnte Sperrhaken regulirt die Bewegung derart, dass die markirten Punkte halbstündigen Intervallen entsprechen, was

*) Siehe Report 1871, pag. 30 wegen Beschreibung der Prüfung der ersten Tafel. Diese Tafel wurde verworfen, weil man die absolute Scala, nach der sie construiert war, ungeeignet fand. Sie wurde durch die jetzt im Gebrauche befindliche, ebenso genaue ersetzt.

für den vorliegenden Fall als das zweckmässigste sich ergeben hat. So entsteht rasch eine Punktreihe, welche durch Gravirung verbunden die Original-Zinkplatte gibt, deren Zeichnung mit Wagner's Pantagraph auf die Kupferplatten des „Quarterly Weather Report“ übertragen wird.

Von kleineren Details des Apparates seien noch einige wichtigere Punkte hier erwähnt. Es kann der Rahmen F die Platte Q in verschiedenen Höhen festhalten, so dass eine Anzahl von Curven unter einander punktirt werden können. Auf diese Weise enthält jede einzelne Platte Q unserer sieben Stationen die Dampfspannungscurven der eingeführten fünftägigen Periode. Ferner ist es mitunter wünschenswert, das Instrument für andere Curven zu verwenden, bei denen z. B. x und y durch $x - w$ und $y - w$ ersetzt wird, wo w selbst variabel ist. Für diesen Fall ist noch vorne am Wagen ein Schlitten u angebracht, an dem man einen Zeiger in derselben Verticalebene mit dem Stift und der Lage der Fadenkreuze der beiden Mikroskope anbringen und einstellen kann. Angenommen, es wäre z. B. die Neigung der barometrischen Ebene durch drei Stationen gegen den Horizont darzustellen; dann müssten drei Reihen von Zinkplatten (jede Reihe für eine Station) übereinander gelegt werden. Die Mikroskope M und N und der Zeiger müssten einzeln auf die zuverlässigen Linien in jeder dieser Reihen eingestellt werden; dann wären für jede folgende Stellung des Wagens drei Operationen erforderlich: erstens müsste die Schraube (ganz rechts in Figur 1) gedreht werden, bis das Gestell mit allen Platten sich so bewegt, dass die Curve in der untersten Reihe unter den Zeiger zu stehen kommt; dann sind M und N bezüglich auf die Curven der oberen und mittleren Plattenreihe einzustellen und schliesslich die Punktirung wie zuvor auszuführen.

(F. Galton, aus dem Report of the meteorological committee
R. Soc. London. 1871.)

D. Modelle und Zeichnungen zur Algebra und Functionentheorie.

- 46 **Geometrische Darstellung der Discriminanten der Gleichungen dritten und vierten Grades**, von Gymnasiallehrer G. Kerschensteiner in Schweinfurt.

Die Gleichung dritten Grades:

$$G_3 \equiv x^3 + 3ax^2 + 3bx + c = 0$$

hat als Discriminante den Ausdruck

$$\Delta_3 \equiv c^2 - 3a^2b^2 + 4a^3c + 4b^3 - 6abc.$$

Deutet man a, b, c als Coordinaten, so stellt $\Delta_3 = 0$ eine Fläche vierten

Grades dar. Da die vorgelegte Gleichung eine Gleichung allgemeiner Art ist, so kann sie nicht nur eine Doppelwurzel, sondern auch eine dreifache Wurzel besitzen. Alle Werte von a, b, c , für welche $G_3 = 0$ eine dreifache Wurzel hat, genügen den Gleichungen

$$a = \lambda, \quad b = \lambda^2, \quad c = \lambda^3,$$

wovon man sich unmittelbar durch Substitution dieser Werte in $G_3 = 0$ überzeugt. Eliminiert man aus diesen 3 Gleichungen die Grösse λ , so erhält man die beiden Cylinder

$$\begin{aligned} a^2 - b &= 0 \\ b^3 - c^2 &= 0 \end{aligned}$$

deren einer eine gewöhnliche, deren anderer eine *Neil'sche* Parabel als Leiteurve besitzt. Die räumliche Curve, nach welcher sich diese beiden Cylinder schneiden, liegt notwendig auf der Fläche $\Delta_3 = 0$, und da die Gleichung für die Coordinaten dieser Curve eine dreifache Wurzel hat, so muss dieselbe eine Rückkehrkante der Fläche sein. Wir können die Gleichung $\Delta_3 = 0$ in der That leicht auf eine Form bringen, so dass diese Eigenschaft der Fläche, eine Rückkehrkante zu besitzen, unmittelbar zum Ausdruck kommt. Ordnet man nämlich $\Delta_3 = 0$ nach Potenzen von c :

$$c^2 + 2c(2a^3 - 3ab) = 3a^2b^3 - 4b^3$$

und ergänzt die linke Seite zum vollen Quadrat, so kommt als neuer Ausdruck der Discriminantenfläche:

$$\Delta_3^*) \equiv [c + a(2a^2 - 3b)]^2 + 4(b - a^2)^3 = 0$$

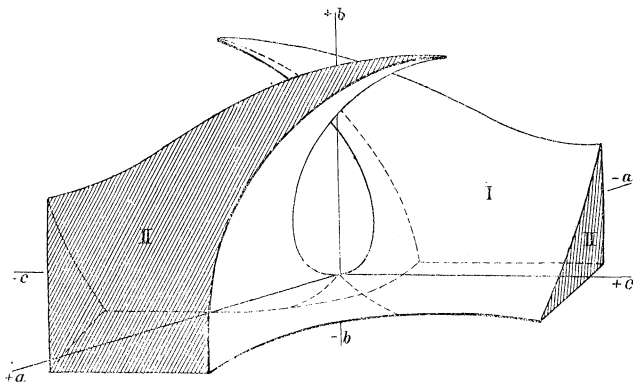


Fig. 1.

Die Discussion der Fläche selbst bietet nunmehr keine Schwierigkeiten. Fig. 1 stellt das zwischen $a = b = c = \pm \text{const.}$ liegende Stück derselben dar. Die Fläche teilt den ganzen Raum in 2 Räume R_1 und

*) Man beachte, dass $c + a(2a^2 - 3b)$ der Coefficient von x^3 in der Covariante Q , $b - a^2$ der Coefficient von x^2 in der *Hesse'schen* Covariante H ist; im Falle eben $G_3 \equiv (x - \lambda)^3$ ist, verschwinden sowohl Q als H identisch.

R_{II} , und für alle Punkte des Raumes R_I besitzt die Gleichung $G_3 = 0$ eine, für die Punkte des Raumes R_{II} drei reelle Wurzeln, und zwar ist im Raume R_I der Ausdruck $\Delta_3 =$ positiv, in R_{II} dagegen negativ.

Die Gleichung vierten Grades besitzt vier Constante. Um also deren Discriminante geometrisch deuten zu können, wird man sie vorher so transformiren müssen, dass eine derselben einen bestimmten Wert annimmt. Für gewöhnlich transformirt man sie so, dass sie in die Hauptgleichung:

$$G_4 \equiv x^4 + 6ax^2 + 4bx + c = 0$$

übergeht. Die Discriminante dieser Gleichung hat *Kronecker* bereits vor 30 Jahren behufs Untersuchung der Realität der Wurzeln geometrisch discutirt. Ich will im Folgenden die Discussion der Discriminantenfläche selbständig kurz skizziren. Bekanntlich setzt sich die Discriminante einer Gleichung G_4 aus den beiden Invarianten i und j der Form G_4 in der Weise zusammen:

$$\Delta_4 = i^3 - 27j^2$$

In den Grössen a, b, c ausgedrückt, erhält man:

$$\Delta_4 \equiv (c + 3a^2)^2 - 27(ac - a^3 - b^2)^2$$

Aus dieser Form erkennt man, dass die Fläche $\Delta_4 = 0$ eine Rückkehrkante besitzt, welche sich als Schnitt der beiden Cylinder

$$c + 3a^2 = 0 \text{ (Gewöhnliche Parabel)}$$

$$b^2 + 4a^3 = 0 \text{ (Neil'sche Parabel)}$$

in ihrem räumlichen Verlauf leicht verfolgen lässt. Da aber $G_4 = 0$ auch zwei Paar gleiche Wurzeln besitzen kann, so muss die Discriminantenfläche auch eine Doppelcurve haben, in welcher sich die Fläche selbst durchsetzt. In der That, entwickelt man in $\Delta_4 = 0$ die beiden Potenzen, so reducirt sich die Gleichung der Discriminantenfläche auf

$$\Delta_4 \equiv c(c - 9a^2)^2 - 27b^2(b^2 - 2ac + 2a^3) = 0$$

Daraus ist ersichtlich, dass die Fläche G_4 in der Ebene $b = 0$ die Parabel $c - 9a^2 = 0$ zur Doppelcurve hat. Während nun aber eine Rückkehrkante niemals isolirt verlaufen kann, ist das bei einer Doppelcurve sehr wohl möglich, und man hat nun zu untersuchen, inwieweit auf dieser Doppelcurve die Fläche sich wirklich selbst durchsetzt. Setzt man daher in der zuletzt erhaltenen Darstellung von Δ_4 :

$$b = (b + \beta)_b = 0$$

$$c = (c + \gamma)_c = 9a^2$$

wo β und γ unendlich kleine Grössen sind, vernachlässigt alle Glieder, die höhere als zweite Potenzen von β und γ zu Factoren haben, so erhält man nach geeigneter Reduction

$$\frac{\gamma}{\beta} = \pm 4 \sqrt{-3a}$$

Daraus folgt, dass nur für negative a zwei reelle Fortschreitungsrichtungen existiren, dass also für positive a die Doppelcurve $c - 9a^2 = 0$ isolirt verläuft.

Weitere singuläre Curven besitzt die Fläche nicht, da $G_4 = 0$ nur dann eine vierfache Wurzel besitzt, wenn $a = b = c = 0$.

Auf Grund der so ermittelten Eigenschaften der Fläche ist die weitere Discussion derselben sehr einfach. Fig. 2 stellt das zwischen den Ebenen $a = b = c = \pm \text{const.}$ liegende Stück derselben dar. Die Fläche teilt den Raum in 3 Räume R_I R_{II} R_{III} , für deren Punkte

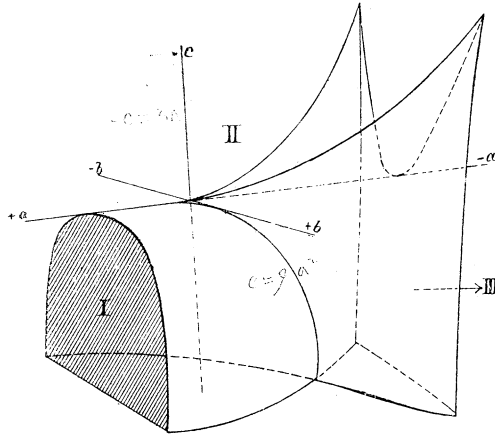


Fig. 2.

die Gleichung $G_4 = 0$ der Reihe nach: 0, 2, 4 reelle Wurzeln besitzt. Man kann durch einfache Vorzeichencombinationen der Ausdrücke Δ_4 , a und $P = c - 9a^2$ die drei Räume auch algebraisch definiren. Man hat nämlich:

Raum	reelle W.	Δ	a
R_I	0	+	+, oder wenn negativ $P = +$
R_{II}	2	-	
R_{III}	4	+	-, und auch $P = -$

Ungleich schwieriger wird die Discussion der Discriminantenfläche, wenn man nicht die oben benützte Hauptgleichung zu Grunde legt, sondern die Gleichung

$$G'_4 \equiv x^4 + 4ax^3 + 6bx^2 + 4cx + 1 = 0$$

In diesem Falle wird die Gleichung derselben:

$$\Delta'_4 \equiv (1 - 4ac + 3b^2)^3 - 27(b + 2abc - b^3 - c^2 - a^2)^2 = 0$$

Dieser Ausdruck lässt zwar die Existenz der Rückkehrkante erkennen, gestattet aber keineswegs a priori eine Vorstellung von dem räumlichen Verlauf derselben, wie dies im vorausgehenden Falle die beiden projectirenden Cylinder gewährten. Man kann sich nun, da die rationale Elimination einer der Coordinaten aus den Gleichungen $i = 0, j = 0$ in diesem Falle unausführbar ist, einen solchen Cylinder in folgender

Weise verschaffen. Wenn die Gleichung $G'_4 = 0$ die dreifache Wurzel λ , die einfache Wurzel μ besitzt, so müssen die Beziehungen bestehen:

$$\begin{aligned} 3\lambda + \mu &= -4a \\ \lambda^2 + \lambda\mu &= 2b \\ \lambda^3 + 3\lambda^2\mu &= -4c \\ \lambda^3\mu &= 1 \end{aligned}$$

oder nach Elimination von μ :

$$\begin{aligned} 1) \quad 3\lambda + \frac{1}{\lambda^3} + 4a &= 0 \\ 2) \quad \lambda^2 + \frac{1}{\lambda^2} - 2b &= 0 \\ 3) \quad \lambda^3 + \frac{3}{\lambda} + 4c &= 0 \end{aligned}$$

Aus 2) folgt:
$$\lambda = \pm \sqrt{b \pm \sqrt{b^2 - 1}}$$

Die vier Ausdrücke, welche man erhält, wenn man diese Werte von λ etwa in Gleichung 3 einführt, müssen identisch verschwinden. Also auch das Product dieser Ausdrücke, nämlich

$$0 \equiv \Pi(\lambda^4 + Cc\lambda + 3) \equiv \Pi[(\pm\sqrt{b \pm \sqrt{b^2 - 1}})^4 + 4c(\pm\sqrt{b \pm \sqrt{b^2 - 1}}) + 3]$$

Dies liefert den projicirenden Cylinder:

$$P \equiv (4c^2 - b(b^2 + 3))^2 - (b^2 - 1)^3 = 0,$$

welcher sehr leicht zu discutiren ist, da diese Gleichung sich nach c bequem auflösen lässt. Sie stellt zwei, bezüglich c symmetrisch gelegene Schnabelspitzen dar.

Um nun zum Ausdruck der Doppelcurve zu gelangen, hat man folgende Überlegung zu machen. Soll die Gleichung $G'_4 = 0$, zwei Paar Doppelwurzeln besitzen, so muss, weil das constante Glied $= 1$ ist, sobald λ die eine Doppelwurzel ist, die andere entweder $+\frac{1}{\lambda}$ oder $-\frac{1}{\lambda}$ sein.

Im ersten Falle ist die Gleichung $G'_4 = 0$ eine reciproke. Dann ist aber $a = c$, d. h., die Doppelcurve der Fläche liegt in der Ebene $a - c = 0$. Die Discriminante einer reciproken Gleichung vom Grade $2n$ aber lässt sich, wie ich an anderer Stelle gezeigt habe, in sehr einfacher Weise durch die Discriminante ihrer Resultente φ ausdrücken. Sind nämlich ξ_i die Wurzeln der Gleichung G_{2n} , η_i die Wurzeln ihrer Resultente φ_n , so hat man:

$$\Pi(\xi_\rho - \xi_\mu)^2 = 16n(n-1)\varphi(+2)\varphi(-2) \cdot \left\{ \Pi(\eta_k - \eta_l)^2 \right\}^2,$$

wo $\varphi(+2)$, $\varphi(-2)$ nichts anderes als die Substitutionsresultate von ± 2 in die Resultente φ_n sind.

Diesen Satz benützend, erhält man als Schnitt der Ebene $a = c$, in welcher die Doppelcurve liegen muss, mit der Fläche Δ_4 sofort:

$$16^{12} (4a^2 + 2 - 6b)^2 (8a + 6b + 2) (-8a + 6b + 2) = 0.$$

Dieser Schnitt zerfällt also in eine Parabel als Doppelcurve und ihre beiden Tangenten in den Punkten $b = \pm 1$, $a = \pm 1$.

Die zwei Berührungspunkte der Tangenten sind zugleich die Ausgangspunkte der Rückkehrkante, wie aus der Gleichung $P \equiv 0$ unmittelbar ersichtlich ist. In der That erhält auch G'_4 für $b = 1$, $a = c = \pm 1$ eine 4fache Wurzel. Auf dem endlichen Bogenstück zwischen diesen singulären Punkten der Fläche verläuft die Doppelcurve der Ebene $a = c$ isolirt.

Im zweiten Falle, wenn $G'_4 = 0$ die Doppelwurzeln $+\lambda$ und $-\frac{1}{\lambda}$

hat, ergibt sich in ähnlicher Weise, dass der in der Ebene $a + c = 0$ gelegene Schnitt die Form hat:

$$0 = (4a \sqrt{-1 + 3b - 1}) (-4a \sqrt{-1 + 3b - 1}) (2a^2 - 3b - 1)$$

Die Fläche besitzt also noch eine Parabel als Doppelcurve, die wie die Untersuchung lehrt, nirgends isolirt verläuft.

Damit sind alle Singularitäten erschöpft. Berücksichtigt man nun, dass Δ'_4 in Bezug auf a und c symmetrisch ist, sowie, dass der Schnitt $a = 0$ in Δ'_4 mit dem Schnitt $c = +1$ in Δ_4 übereinstimmen muss, so findet man ohne weitere Rechnung, dass die Discriminantenfläche die Gestalt der Fig. 3 hat. Sie teilt den Raum in 6 im Endlichen getrennte Teile R_I, R_{II}, R_{III} , in welchen $G'_4 = 0$ der Reihe nach 0, 2, 4 reelle Wurzeln hat, entsprechend den Vorzeichen $+, -, +$ der Discriminante.

(G. Kerschesteiner.)

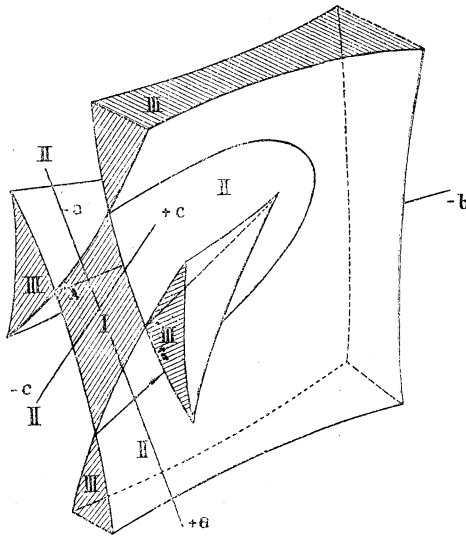


Fig. 3.

47 Gypsmodell von Sylvester's Amphigenous Surface, einer Fläche 9. Ordnung, ausgeführt und ausgestellt von Prof. O. Henrici, City and Guilds Central Institution, London.

Prof Sylvester hat in seiner grossen Abhandlung „*On the real and imaginary Roots of Algebraical Equations* (Phil. Trans. 1864)“ eine

invariante Bestimmung der Realität der Wurzeln einer Gleichung 5. Grades gegeben und dieselbe in ein geometrisches Gewand gekleidet, welches durch das Modell veranschaulicht wird.

Er nimmt drei Invarianten der Gleichung J, D und L von der 4., 8. und 12. Ordnung. D insbesondere ist die Discriminante. Er setzt

$$G \equiv JK^4 + 8LK^3 - 2J^2LK^2 - 72JL^2K - 432L^3 + J^3L^2;$$

wo $128K \equiv J^2 - D$ ist. G ist also von der 9. Ordnung in den J, D, L. Nimmt man diese oder ihnen proportionale Grössen x, y, z als rechtwinkelige Coordinaten, so ist $G = 0$ die Gleichung einer Fläche 9. Ordnung, welche im Modell repräsentirt ist.

Die Coordinaten der Punkte auf der Fläche $G = 0$ lassen sich rational durch zwei Parameter ausdrücken. Als den einen kann man J wählen, der andere heisse φ . Dann hat man

$$D = \frac{(\varphi + 2)^2(\varphi - 3)}{\varphi^2(\varphi + 1)}J^2, \quad L = \frac{1}{256} \frac{J^3}{\varphi^3(\varphi + 1)}.$$

Der Wert $\varphi = -2$ gibt $D = 0$, $J^3 = 2048L$. Aber D wird unendlich klein zweiter Ordnung. Die Ebene $D = 0$, welche die Discriminantenebene heissen mag, berührt die Fläche also längs einer cubischen Parabel.

Für $\varphi = \infty$ erhält man $L = 0$, $D = J^2$, eine Parabel in der Ebene $L = 0$. Diese ist Cuspidalcurve der Fläche. Ihre Schnitte geben Spitzen zweiter Art.

Endlich gibt $\varphi = -\frac{3}{4}$ für welchen Wert $\frac{dL}{d\varphi}$ und $\frac{dD}{d\varphi}$ verschwinden, eine zweite Cuspidalcurve mit den Gleichungen

$$L = -\frac{1}{27}J^3, \quad D = -\frac{125}{3}J^2.$$

Ihre Schnitte sind gewöhnliche Spitzen.

Diese beiden Curven, welche der Fläche ihren Charakter geben, berühren im Anfangspunkt der Coordinaten einander, die Axe der J ist gemeinschaftliche Tangente.

Im Modell ist die Axe der L vertical, positiv abwärts, die der J die horizontale Tangente der Cuspidalcurven im Mittelpunkt. Die Axe der D, welche ganz in der Fläche liegt, ist durch eine rote Linie markirt. Die Discriminantenebene ist durch ein lose aufgesetztes Stück Carton vertreten, auf welchem die Axe der J und L verzeichnet ist. Die schwarz markirte Curve ist der, dem in Sylvester's Abhandlung abgebildeten Schnitte $J = 1$ congruente Schnitt $J = -1$.

Im Modell kann man sich auch dadurch orientiren, dass für den pfeilerartig emporsteigenden Teil J, D, L die Zeichen $- + -$ haben.

Es ist auch zu bemerken, dass mit einem Zeichenwechsel von J und L auch G sein Zeichen wechselt, d. h. die Fläche $G = 0$ fällt nach einer halben Umdrehung um die D-Axe mit ihrer ursprünglichen Lage zusammen und theilt daher den Raum in zwei congruente Teile.

Zur Construction wurde $6J = x, \frac{2}{3}D = y, 1024L = z$ gesetzt und $\frac{1}{8}$ Englischer Zoll als Längeneinheit gewählt.

Das Modell ist begrenzt durch die Ebenen $x = \pm 32 \cdot 2, y = \pm 31, z = \pm 50 \cdot 6$.

Kehren wir zu Sylvester's Theorie zurück. J, D, L sind Invarianten einer lineären Form 5. Grades. Jeder Gleichung 5. Grades mit *reellen* Coëfficienten entspricht daher ein reelles Wertsystem von J, D, L und G , daher ein reeller Punkt im Raum und zwar entspricht ein solcher Punkt einer ganzen Familie von Gleichungen, für welche obige Invarianten dieselben Werte haben. Aber auch für Gleichungen mit imaginären Coëfficienten können diese Invarianten reell sein. Ihnen entsprechen also auch reelle Punkte. Diese heissen *nonfacultativ*, die anderen, welche Gleichungen mit reellen Punkten entsprechen, *facultativ*. Die einen werden von den andern durch die Fläche $G = 0$ getrennt, wie im Modell die Fläche den Gips von der Luft trennt. Punkte in letzterer nehmen wir als facultativ an. Mit diesen allein haben wir es zu thun.

Die Discriminantenebene teilt diesen Raum in drei Teile. Auf ihrer positiven Seite liegt die parabolische, auf der andern die doppelt gekrümmte Cuspidalcurve. Auf der positiven Seite liegt ferner der Teil der Fläche, welcher die Discriminantenebene berührt. Der Luftraum an dieser Seite wird daher in zwei Teile geteilt, die sich längs der Berührungcurve begrenzen. Der eine dieser Teile ist dadurch bestimmt, dass er zwischen den Flächen teilen, welche an der parabolischen Cuspidalcurve zusammenhängen, liegt. Dieser Teil heisse A , der andere Teil an der positiven Seite der Discriminante C und der auf der negativen Seite der Discriminante gelegene Raum B . Dann hat man den Satz: Liegt der einer Gleichung 5. Grades mit reellen Coëfficienten entsprechende Punkt im Raum A , so sind alle Wurzeln reell, im Raum B sind zwei und in C vier Wurzeln imaginär. In der Discriminantenebene sind natürlich immer wenigstens zwei Wurzeln einander gleich. Sie wird durch die Berührungcurve in zwei Teile geteilt. In dem Teile, welcher den Raum A von B trennt, sind alle Wurzeln reell und zwei gleich. In dem Teile zwischen C und B sind zwei Wurzeln imaginär und zwei gleich. Auf der Berührungcurve selber sind *zwei* Paare gleicher Wurzeln und zwar auf dem oberen Zweige sind diese Wurzeln reell, auf dem unteren imaginär. Im Coordinatenanfang endlich sind drei Wurzeln einander gleich.

(O. Henrici.)

48 Drei Modelle Riemann'scher Flächen. Nach Angabe von Prof. **H. A. Schwarz**, Univ. Berlin. Verlag **L. Brill**, Darmstadt.

Spezialkatalog 197—199.

(197) Modell einer *zweiblättrigen einfach zusammenhängenden Riemann'schen Fläche*, welche in ihrem Innern einen Windungspunkt *erster* Ordnung enthält.

(198) Modell einer *dreiblättrigen einfach zusammenhängenden Riemann'schen Fläche*, welche in ihrem Innern einen Windungspunkt *zweiter* Ordnung enthält.

(199) Modell einer *dreifach zusammenhängenden Riemann'schen Fläche* mit *einer* in sich zurückkehrenden Begrenzungslinie. (Siehe Riemann's Gesammelte mathematische Werke, herausgegeben von H. Weber, Seite 89, Figur 3.)

49 16 Modelle zur Darstellung von Functionen einer complexen Veränderlichen. Im **math. Institut der techn. Hochschule München** ausgeführt (1886) unter Leitung von Prof. **W. Dyck**. Verlag von **L. Brill**, Darmstadt.

Vergl. *Specialkatalog 173—182*.

Die vorliegende Serie von Modellen ist entstanden im Anschluss an eine einleitende Vorlesung über Functionentheorie. Die Schwierigkeit einer möglichst anschaulichen Schilderung des Verhaltens einer Function in der Umgebung singularer Stellen liess den Wunsch aufkommen, auch auf diesem Gebiete und wenigstens für die wichtigsten singulären Vorkommnisse das Hilfsmittel räumlicher Anschauung zu besitzen, das schon auf einer Reihe anderer Gebiete so zweckmässig und fördernd im Unterricht sich erwiesen hat.

Um den Verlauf einer Function einer complexen Veränderlichen in der Umgebung gewisser singularer Stellen und ebenso den Gesamtverlauf gewisser Typen von Functionen einer complexen Veränderlichen durch eine räumliche Darstellung zu veranschaulichen, sind, in der bekannten Weise, sowohl der reelle als auch der imaginäre Teil der Functionswerte über der Ebene des complexen Argumentes als Ordinaten aufgetragen. So wird jede Function eines complexen Argumentes durch zwei, mit R und I bezeichnete Flächen versinnlicht, deren gleichzeitige Betrachtung ein Bild des Functionsverlaufes liefert. Zur genaueren Charakteristik der Wertsysteme sind auf den Flächen Niveaulinien in gleichen Abständen (die Einheit des Masstabes = 3 cm) aufgetragen und die zugehörigen Orthogonaltrajectorien. Dabei stehen die jedesmal zusammengehörigen Modelle R und I in der Beziehung zu einander, dass die Projection der Niveaulinien und Falllinien der einen Fläche in die Ebene des complexen Arguments mit der Projection der Falllinien bezw. Niveaulinien für die andere Fläche in eben diese Ebene identisch ist.

Die Serie enthält folgende Darstellungen:

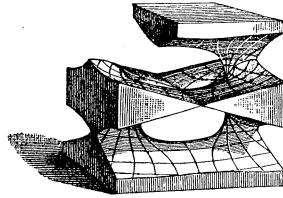
Die Modelle I, II und III, ausgeführt von Lehramtsandidat *Wildbrett*, veranschaulichen das Verhalten einer Function in der Nähe von Verzweigungsstellen und zwar:

I. (173.) Für $w^2 = z^2 - 1$.

II. (174.) Für $w^2 = z^4 - 1$.

III. (175.) Für $w^4 = 1 - z^2$.

Die Modelle IV und V, ausgeführt von Lehramts-candidat *Wildbrett*, Assistent *Burkhardt* und stud. *Kleiber*, dienen zur Darstellung des Zusammenrückens zweier logarithmischer Unendlichkeitspunkte in einen (einfachen) algebraischen und zwar gibt Modell:



IV. (176.) Die Function $w = \frac{1}{z}$.

V. (177.) Die Function $w = \frac{1}{2\varepsilon} \log \frac{z - \varepsilon}{z + \varepsilon}$ ($\varepsilon = \frac{\pi}{4}$).

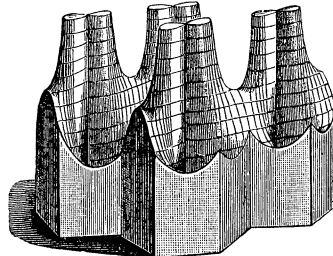
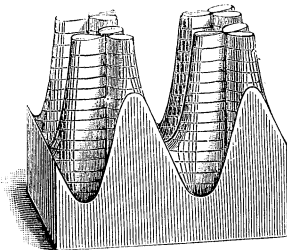
Modell VI, ausgeführt von stud. *Kleiber*, gibt das Verhalten einer Function in der Umgebung des einfachsten, wesentlich singulären Punktes durch

VI. (178.) $6w = e^{\frac{1}{6z}}$.

Die Modelle VII—X, ausgeführt von Assistent *Burkhardt* und Lehramts-candidat *Wildbrett*, veranschaulichen den Verlauf der elliptischen Functionen $p(u)$ und $p'(u)$ (in der Weierstrass'schen Normalform) und zwar speciell:

VII. u. VIII. (179. 180.) Für die Invarianten $g_2 = 4, g_3 = 0$.

IX. u. X. (181. 182.) Für die Invarianten $g_2 = 0, g_3 = 4$.



In den Modellen VII und VIII ist die Symmetrie der Flächen innerhalb des Periodenquadrates (es sind jedesmal vier solcher modellirt) ausser durch die Relationen

$$p(-u) = p(u), \quad p'(-u) = -p'(u)$$

durch die hier speciell geltenden Beziehungen

$$p(iu) = -p(u), \quad p'(iu) = ip'(u)$$

bezeichnet. Die Modelle kennzeichnen ebenso wie die folgenden Nr. IX und X in charakteristischer Weise das Verhalten einer Function in der Umgebung eines zweifachen [für $p(u)$] bzw. dreifachen [für $p'(u)$] Unendlichkeitspunktes.

In den Modellen IX und X hat man für die Bezeichnung der in den Flächen ersichtlichen Symmetrien die Relationen:

$$p(\varepsilon u) = \varepsilon^4 p(u), \quad p'(\varepsilon u) = \varepsilon^3 p'(u),$$

wo ε eine sechste Einheitswurzel bezeichnet.

(Dyck.)

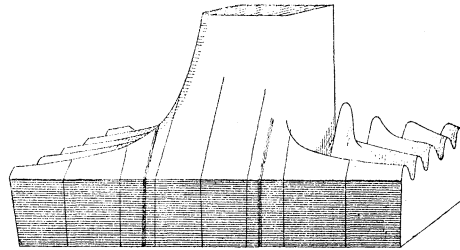
- 50 Vier Tafeln zur Veranschaulichung des Verlaufes der elliptischen Functionen $p(u)$ und $p'(u)$.** Ausgeführt (1886) von Assistent **Burkhardt** und Lehramtscandidat **Wildbrett** im **Math. Institut der techn. Hochschule in München** (Prof. **Dyck**).

Die Tafeln schliessen direct an die vorstehenden Modelle VII—X für die Invarianten $g_2 = 4$, $g_3 = 0$ und $g_2 = 0$, $g_3 = 4$ an.

Vergl. hiezu den *Specialkatalog* von **Brill** und die den Modellen beigegebene Abhandlung.

- 51 Darstellung der elliptischen Function $\varphi = \text{am}(u, k)$ durch eine Fläche.** Ausgeführt im **Mathematischen Institut der technischen Hochschule München** unter Leitung von Prof. **Brill**, ausgeführt von stud. math. **Kuen** und **Wolff** (1880). Verlag von **L. Brill**, Darmstadt.

Specialkatalog 80 (pag. 13 und 70).



Die Grösse φ wurde vertical, k und u horizontal aufgetragen (Masstab für k -Axe wurde $\frac{3}{2}$ mal so gross als der für die 2 andern Grössen genommen). Für $k^2 < 1$ genügen zur Construction des Modelles die Legendre'schen Tabellen und in diesem Intervall erstreckt sich die Fläche auch in verticaler Richtung in's Unendliche. Zur Construction des Modells für die Werte $k^2 > 1$ muss man das elliptische Integral:

$$u = \int_0^{\varphi} \frac{d\varphi}{\sqrt{1 - k^2 \sin^2 \varphi}}$$

in ein anderes solches Integral mit einem Modul $\lambda^2 < 1$ transformiren, am besten durch die Annahme $\lambda^2 = \frac{1}{k^2}$. Es ergibt sich dann, dass im Intervall $k^2 > 1$ das Modell in verticaler Richtung sich

nicht ins Unendliche erstreckt, sondern eine endliche Höhe besitzt, die um so kleiner wird, je grösser k^2 ist. Näheres vgl. die dem Modell beigegebene Abhandlung. (Kuen.)

- 52 Bogen und Scala zum Abmessen der numerischen Werte der elliptischen Functionen**, von Prof. **A. G. Greenhill**, President London Math. Soc., Artillery College Woolwich.

Die Theorie des Instruments beruht auf der Eigenschaft von *Bernoulli's elastischer Curve*, wonach die Ordinate y und der Bogen s derselben durch die Relation verknüpft sind:

$$y = 2ck \cos \alpha \frac{s}{c},$$

während der Modularwinkel φ gleich ist dem halben Winkel, unter welchem der Bogen die Sehne schneidet. (Greenhill.)

- 53 Modell zur Theorie der elliptischen Modulfunctionen**, von **F. Klein** Univ. Göttingen. Ausgestellt vom **Math. Institut der techn. Hochschule in München**.

Das Modell stellt die reguläre (168 blättrige) Riemann'sche Fläche (vom Geschlechte $p = 3$) dar, welche der Galois'schen Resolvente der Modulargleichung für Transformation siebenter Ordnung der elliptischen Functionen entspricht. Die 2.168 Gebiete der Einteilung stossen zu je 2.2, 2.3, 2.7 zusammen. Die Anordnung der Gebiete auf ein (durch's Unendliche zusammenhängendes) Axenkreuz soll eine in der Gruppe der Modulargleichung enthaltene Oktaederuntergruppe hervorheben.

(Dyck.)

- 54 Drei Kugeln mit aufgezeichneten quadratischen Orthogonal-Curven-Systemen**, ausgeführt (1891) von Assistent **J. Kleiber** im **Math. Institut der technischen Hochschule München** (Prof. Dyck).

Transformirt man durch die Formeln

$$a) z' = k e^{\alpha z}$$

$$b) z' = k^2 \cdot \frac{1}{z}$$

$$c) z' = k^2 \cdot \frac{e^{\alpha z} + a}{e^{\alpha z} - a} \quad [\alpha = 1 + 2i]$$

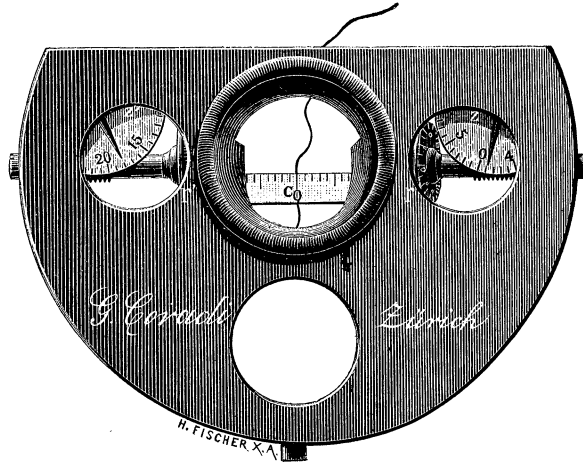
das in der Gauss'schen Ebene $z = x + iy$ gelegene quadratische Gitter $x = c\eta$, $y = c'\eta$, wo c und c' ganze Zahlen, η die Länge der Quadratseite bedeutet, so erhält man in der Ebene 3 sog. quadratische Orthogonalsysteme, die in geeigneter Weise stereographisch auf die Kugel projicirt, auch auf dieser je eine quadratisch orthogonale Einteilung, im Fall a) von Loxodromen, in den Fällen b) und c) von Kreisen liefern.

(Kleiber.)

*Dritter Abschnitt. Integralrechnung.***E. Curvometer.**

- 55** **Linienmesser (Curvometer)**, construiert und ausgestellt von **G. Coradi, Zürich.**

Das Instrument dient zur *Messung horizontaler Längen auf Karten und Plänen*. Die Axen der beiden Messrollen und der Führungspunkt *c* liegen



in einer Linie und die Ränder der beiden Rollen, mit welchen das Instrumentchen auf dem Plan aufliegt, haben genau gleichen Abstand vom Punkte *c*. Die Teilung beider Rollen ist in gleicher Richtung beziffert. Dreht man nun das Instrumentchen um den Punkt *c*, ohne es vorwärts zu bewegen, so wird die Summe beider Abwicklungen = 0 sein; bewegt man das Instrumentchen in gerader Linie fort, so gibt jede der Rollen die Hälfte des von *c* durchlaufenen Weges an. Befährt man nun irgend eine Curve, indem man die Axen der Rollen senkrecht zum jeweiligen Curvelement hält (eine Abweichung von der Senkrechten um 8° gibt erst eine Differenz von $\frac{1}{100}$), so wird die Summe der beiden Ablesungen den vom Punkt *c* durchlaufenen Weg angeben; 1 Teil an den Rollen bedeutet 1 Millimeter. Eigene Versuche ergaben bei geraden Linien eine Genauigkeit von ca. $\frac{1}{2000}$.

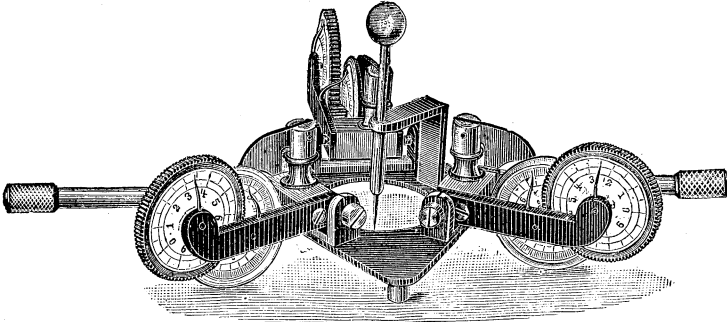
(Coradi.)

- 56** **Vier Kartometer**, D. R.-P. Nr. 45727, construiert von **E. Fleischauer** in Gotha, ausgeführt und ausgestellt von **L. Tesdorpf** in Stuttgart.

I. Beschreibung.

Die wesentlichen Teile dieses Instruments zur Messung der Länge unregelmässig gestalteter Linien sind:

- 1) die Grundplatte, an welcher die Halter für
- 2) die — einseitig gesperrten — Räder angebracht sind und welche in ihrem Mittelpunkt
- 3) den Fahrstift trägt; endlich dienen
- 4) zwei Führungsstangen zur Handhabung des Instruments.



Bei den ausgestellten Instrumenten sind 3 bez. 5 und 7 Räder vorhanden. Die Fahrräder sind mit Zifferblättern versehen und je ein weiteres Rad, welches mit zehnfacher Übersetzung vom Fahrrad angetrieben wird, gestattet die Vielfachen der ganzen Radumdrehungszahlen abzulesen. Die in gleichen Winkelabständen angebrachten Fahrräder, deren Spurkränze auf dem Papier aufliegen, sind einseitig gesperrt: sie können sich nur nach aussen drehen, während jede Drehbewegung, welche ein Rad einwärts ausführen will, durch die Schneide einer Sperrklinke, die sich in eine um die Radstirn gelegte Gummibandage einpresst, aufgehalten wird. Der jeweilige Stand des Instruments ist die Summe der vollständigen Ablesungen an den drei Radzählwerken.

II. Andeutung der Theorie.

(Vgl. den Aufsatz von Prof. *Hammer* in Zeitschr. für Instrumentenkunde, 9. Jahrgang, April 1889, S. 136 ff.) Bezeichnet λ den Winkel, welchen die Fahrrichtung mit der Ebene eines der Rädchen einschliesst und ds den durchlaufenen Weg, so ist die Summe der Radablesungen durch die Formel:

$$\frac{ds}{2} \sum_{\kappa=0}^{\kappa=n} \left| \cos\left(\frac{\kappa \pi}{n} - \lambda\right) \right|$$

gegeben, aus welcher geschlossen werden kann, dass jene Σ um so unabhängiger von λ , d. h. der Fahrrichtung wird, je grösser n , d. h. die Anzahl der Rädchen ist.

Nur bei einer sehr grossen Anzahl von Rädern würde das Instrument ohne weiteres theoretisch befriedigende Resultate geben; noch bei 5 Rädern könnte bei einseitiger Handhabung im *schlimmsten Falle* der regelmässige Fehler auf etwas über 5% der durchfahrenen Länge steigen, bei

7 Rädern würde sich dieser Betrag bereits auf $\frac{1}{2}$, bei 9 Rädern auf weniger als $\frac{1}{3}$ jener Zahl ermässigen. Aber auch schon mit 3 Rädern lassen sich praktisch genügende Resultate erreichen. Die Annahme, auf welcher die Anwendung des Instruments beruht, ist folgende: ist N_1 der Stand des Instruments (vgl. I) *vor*, N_2 *nach* Durchfahung einer bestimmten, beliebig geformten Linie, also $N_2 - N_1 = n$ die Anzahl der von allen Rädern zusammen während der Durchfahung ausgeführten Umdrehungen, so ist n der durchfahrenen Länge proportional.

III. Gebrauchsanweisung.

1. Zunächst hat man die *Constante* des Instruments, am besten indirect in folgender Art zu bestimmen: Man führt den Fahrstift sorgfältig über den Umfang eines Kreises von genau abgestochenem Halbmesser von einem Punkte des Umfangs aus bis zum gleichen Punkte zurück, und wiederholt zweckmässig sogleich diese Umfahung in entgegengesetzter Richtung; vor und nach jeder Umfahung notirt man den Stand der Zählwerke und während der Umfahung sieht man darauf, dass die Führungsstangen ihre Richtung *ungefähr* beibehalten.

2. Bei Bestimmung der Länge einer vorgelegten unregelmässigen Linie bringt man das Instrument so auf die Zeichnung, dass der Fahrstift im Anfangspunkt steht und die Führungsgriffe bequem liegen, notirt den Stand der Zählwerke und durchfährt nun die gegebene Linie so, dass die Führungsgriffe ungefähr ihre ursprüngliche Richtung beibehalten. Ist der Fahrstift im Endpunkte angelangt, so wird der Stand der Zählwerke wieder abgelesen. Ist n die Differenz der Ablesungssummen vor Beginn und nach Beendigung der Durchfahung, so ist $k \cdot n$ die gewünschte Länge. Es ist aber, da der Apparat nur 3 Räder besitzt, dringend zu raten, die Befahrung der Linie zu wiederholen, wobei das Instrument so zu legen ist, dass die neue, für *diese* Befahrung ebenfalls wieder *ungefähr* beizubehaltende Richtung der Führungsstangen mit der bei der ersten Befahrung vorhandenen nahezu einen rechten Winkel einschliesst. Man erhält so eine zweite Angabe für die Länge der durchfahrenen Strecke, welche unter Umständen von dem ersten Ergebnis nicht unerheblich abweicht, während, wie man sich durch wiederholte Befahrung der gegebenen Linie in *derselben* Lage des Instruments überzeugen kann, der *unregelmässige* mittlere Fehler einer Befahrung wesentlich kleiner ist. Das *Mittel* beider Bestimmungen ist von dem weitaus grössten Teil des sich auf diese Art zeigenden *regelmässigen (einseitigen)* Fehlers befreit.

Preise der Instrumente.

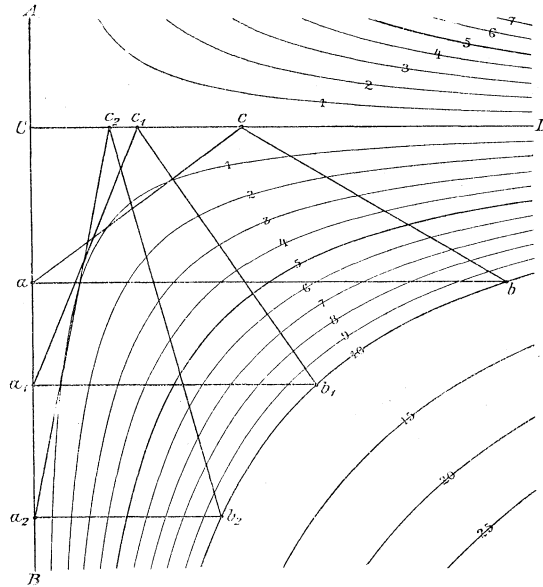
Nr. I. Kartometer mit 3 Rollenpaaren	M. 25.—
Nr. II. Derselbe mit 5 Rollenpaaren	„ 40.—
Nr. III. Derselbe mit 7 Rollenpaaren	„ 50.—

(Prospect Tesdorpf, Finsterwalder.)

F. Planimeter.

57 Zwei Hyperbeltafeln auf Glas, als Planimeter dienend, von M. Kloth in Osnabrück.

In den Quadranten $\triangle ACD$ und $\triangle BCD$ befinden sich Hyperbeln, deren jede die Eigenschaft hat, dass das Product der Abstände eines ihrer Punkte von den beiden Axen constant ist. — Diese gleichseitigen



Hyperbeln sind also geometrische Orte für die Eckpunkte $b, b_1, b_2 \dots$ gleich grosser Dreiecke abc bzw. $a_1 b_1 c_1$ bzw. $a_2 b_2 c_2 \dots$, deren Grundlinien parallel der Axe CD sind. — Trägt man die Curvenzeichnung transparent auf eine Glastafel derart auf (Photographie auf Glas), dass die Axe AB mit der linken Kante der Glastafel parallel ist, und versieht die Curven mit einer Bezifferung, welche dem Flächeninhalt der bez. Dreiecke entspricht, so bildet diese Anordnung ein einfaches Mittel graphischer Flächenberechnung.

Bei Ermittlung des Flächeninhalts eines Dreiecks beispielsweise legt man die Glastafel derart auf das Dreieck, dass ab von CD gedeckt wird, während a und C zusammenfallen, und verschiebt die Tafel längs eines an die linke Kante angelegten Lineals soweit, bis c in CD fällt; sodann liest man aus der Lage des Punktes b gegen das Curvensystem den Flächeninhalt des Dreiecks ab. — Bei Ermittlung des Flächeninhalts eines Vierecks bildet die eine der beiden Diagonalen die Operationsbasis, u. s. w.

Die Tafeln sind in den für geometrische Karten gebräuchlichen Masstabsverhältnissen entworfen.

Der Verkaufspreis beträgt 7 Mark pro Stück.

(Kloth.)

- 58 Planimeter nach Wetli-Hansen** aus dem mechanisch-optischen Institute von **Hermann Ausfeld** in Gotha. Ausgestellt vom **Geodätischen Institut der techn. Hochschule München**. (Vorstand Prof. **M. Schmidt**.)

Das Planimeter ist durch wesentliche im Jahre 1849 durch *Wetli* angegebene Verbesserungen der *Oppikofer'schen* Erfindung entstanden und unterscheidet sich von der ersten *Wetli'schen* Construction durch weitere von Hofrat *Hansen* und dem Verfertiger *Ausfeld* in Gotha her-rührende Verbesserungen. Es kann als *Linear-Scheiben-Planimeter* bezeichnet werden.

(M. Schmidt.)

- 59 Hyperbelplanimeter**, von **J. Stadler**, ausgestellt von der **Lehrkanzel für Geodäsie der k. k. techn. Hochschule in Graz** (Prof **J. Wastler**).

Dieses Instrument wurde in der ersten Hälfte der fünfziger Jahre von Herrn *Josef Stadler*, Bergrat und Director der kaiserlichen Berg- und Hütteawerke zu *Eisenerz* in *Steiermark*, eronnen und im Jahre 1855 durch den Bergbeamten *Georg Smollin* unter *Stadlers* Leitung ausgeführt. Ein Aufsatz über dasselbe aus der Feder des Erfinders steht in der Zeitschrift „Erfahrungen im berg- und hüttenmännischen Bau- und Aufbereitungswesen“, herausgeg. von *Rittinger*, und zwar im Jahrgange 1857. Obwohl die Erfindung hiemit der Öffentlichkeit übergeben war, blieb sie doch völlig unbekannt, und *Stadler* selbst legte offenbar späterhin, nachdem von anderer Seite einfachere und praktisch brauchbarere Instrumente construiert worden waren, auf die weitere Ausnützung der diesem Planimeter zugrunde liegenden Idee keinen Wert. Es war ihm überdies eine andere Idee gekommen, die in dem zweiten hier ausgestellten Instrumente, dem „Rollplanimeter“ verwirklicht wurde. Welche Umstände aber *Stadler* gehindert haben, dieses letztere zu vollenden und bekannt zu machen, hat sich nicht ermitteln lassen. Er ist im Jahre 1871 gestorben, und die Modelle, welche in seinem Nachlasse gefunden wurden, blieben bis zum Jahre 1884 im Besitze der Familie, ohne dass sonst jemand etwas von ihnen wusste. Dann wurden sie, als historisch merkwürdige Stücke, in die Instrumentensammlung der Lehrkanzel für Geodäsie an der k. k. technischen Hochschule in Graz aufgenommen.

Aus dem oben erwähnten Aufsätze geht hervor, dass *Stadler*, ohne die Principien und die Construction der früher erfundenen Planimeter von *Wetli* und *Ernst* zu kennen, auf die blosse Nachricht hin, „dass

man Instrumente construiert habe, welche den Flächeninhalt jeder, wie immer regelmässig oder unregelmässig begrenzten Figur anzuzeigen vermögen, wenn man nur den Umfang der Figur mit einer zu diesem Zwecke an dem Instrumente angebrachten Spitze umfährt,“ sich selbständig an die Lösung der Aufgabe gemacht habe „aus dem Umfange einer Figur ihren Flächeninhalt abzuleiten“. Der Gedanke, auf welchem das hierauf von ihm erfundene Instrument beruht, ist folgender. Es sei (Fig. 1) die Umfangslinie L auf das rechtwinklige Coordinatensystem XOY bezogen, OM = x, MP = y seien Abscisse und Ordinate eines Punktes P derselben, MM'PP'e in Elementarflächenstreifen von der Breite MM' = dx. R ist ein Rotationskörper, dessen Axe parallel der Axe OY gerichtet ist, oder etwa mit derselben zusammenfällt, AB a b ein Rahmen, von dem zunächst angenommen wird, dass

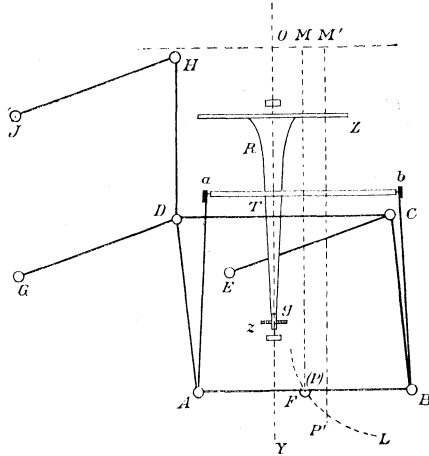


Fig. 1.

er stets parallel zur Ebene der Figur verbleibt, während der an irgend einer Stelle mit ihm fest verbundene Fahrstift F die Linie L entlang geführt wird und die Kante ab auf dem Rotationskörper aufruht. Diese Bewegung des Rahmens ist durch die beiden parallelogrammatischen Führungsmechanismen ABCD, JHDG, derart beschränkt, dass die Kante a b stets der Axe OX parallel bleibt. Unter dieser Voraussetzung erteilt die Rahmenkante ab dem Rotationskörper R, wenn der Fahrstift F von P nach P' rückt, durch die Reibung eine Umdrehungsbewegung, infolge deren der augenblickliche Berührungspunkt T den Weg dx auf dem zugehörigen Parallelkreise zurücklegt. Ist also ξ der Radius dieses Parallelkreises, so ist

$$d\omega = \frac{dx}{\xi}$$

der Winkel, um welchen sich der Rotationskörper dreht. Will man nun haben, dass dieser Winkel dem Flächenstreifen $MM'PP'e = y dx$ proportional sei, so muss, unter k^2 eine constante Zahl verstanden,

$$d\omega = \frac{dx}{\xi} = \frac{1}{k^2} \cdot y dx.$$

also:

$$\xi = \frac{k^2}{y}$$

sein. Bezeichnet man daher mit α die Entfernung der beiden parallelen Rahmenkanten AB und ab, mit η die Ordinate OT von T, so folgt aus der angestellten Betrachtung die Beziehung

$$\xi(\eta + \alpha) = k^2$$

als Gleichung der Meridiancurve des Rotationskörpers, und sie stellt, wie man sieht, eine gleichseitige Hyperbel dar, welche die Asymptoten $\xi = 0, \eta = -\alpha$ hat.

Die oben gestellten beiden Forderungen: 1) dass der Rahmen AB ab stets parallel der Ebene der Figur verbleibe; 2) dass die Differenz MF — OT, unter OT die Ordinate des Berührungspunktes T verstanden, den constanten Wert α behalte, sind in brauchbarer Weise mechanisch nicht zu erfüllen. Beim *Stadler*'schen Apparate dreht sich der Rahmen AB ab um die Kante AB; ab ist eine drehbare cylindrische Walze von sehr kleinem Durchmesser. Im Aufriss stellt sich dann die Lage dieser wesentlichen Teile schematisch wie in Fig. 2 dar. Es sei darin μ die Meridiancurve von R, T der augenblickliche Berührungspunkt der Walze ab mit dieser, $mT = \rho$ der Radius der letztern, $mn = \alpha$ die Distanz der Walzenaxe von der Drehungsaxe des Rahmens, F der Fahrstift, von dem ohne wesentliche Änderung des Resultates angenommen werden kann, dass seine Axe durch die letztgenannte Drehungsaxe gehe. Man kann nun nach der Gestalt der Curve μ fragen, welche der Forderung genügt, dass stets:

$$NT \cdot OP = k^2$$

ist. Setzt man $ON = \eta, NT = \xi, Pn = \beta$, so ergibt dies für die Curve μ die Differentialgleichung:

$$\begin{aligned} & \left[(\xi\eta - k^2)^2 + \xi^2 [(\xi - \beta)^2 + \rho^2 - \alpha^2] \right]^2 \left[1 + \left(\frac{d\eta}{d\xi} \right)^2 \right] = \\ & = 4\rho^2 \xi^2 \left(\xi\eta - k^2 - \xi(\xi - \beta) \frac{d\eta}{d\xi} \right)^2. \end{aligned}$$

Man kann sich aber auch die Construction so ausgeführt denken, dass der Rahmen ABab wirklich stets parallel zur Ebene der Figur, also $mn \parallel OH$ bleibt; dann erhält man die einfachere Differentialgleichung:

$$\left[\xi(\eta + \alpha) - k^2 \right]^2 \left[1 + \left(\frac{d\eta}{d\xi} \right)^2 \right] = \rho^2 \xi^2.$$

Keine dieser beiden Differentialgleichungen ist im gewöhnlichen Sinne integrel, man kann ihnen aber durch Reihen von der Form:

$$\eta + \alpha = \frac{k^2}{\xi} + \xi \mathfrak{P}(\xi)$$

genügen, so dass für hinlänglich kleine ξ die Curve von der Hyperbel beliebig wenig abweicht. An dem vorliegenden Instrumente ist die Meridiancurve von R jedoch auch wirklich keine Hyperbel, sondern es wurde ihr, wie *Stadler* angibt, die exacte Form dadurch erteilt, dass nach beiläufiger Herstellung der geforderten Gestalt, mit dem Fahrstifte Rechtecke von gemeinschaftlicher Basis, deren Höhen in bekanntem Verhältnis standen, umfahren und die hiebei ins Spiel kommenden Parallelkreise des Rotationskörpers solange corrigirt wurden, bis die Angaben des Apparates den Verhältnissen entsprachen. Schliesslich wurde der Rotationskörper zwischen den fixirten Kreisen gleichförmig abgedreht. Seine Meridiancurve entspricht also einem Integrale der ersten der beiden obenstehenden Differentialgleichungen.

Der Rotationskörper R ist mit der in 600 Teile getheilten Zählsscheibe Z verbunden, welche durch das Getriebe g ihre Bewegung auf die kleinere Zählsscheibe Z überträgt, die zur Ablesung der ganzen Umdrehungen von Z dient.

(Lichtenfels.)

60 Rollplanimeter, von **J. Stadler**, ausgestellt von der **Lehrkanzel für Geodäsie der techn. Hochschule in Graz (Prof. J. Wastler)**.

Das Hyperbelplanimeter summirt direct die Elemente $y dx$ und könnte also zu einem Integraphen umgestaltet werden. Dem gegenüber gehört

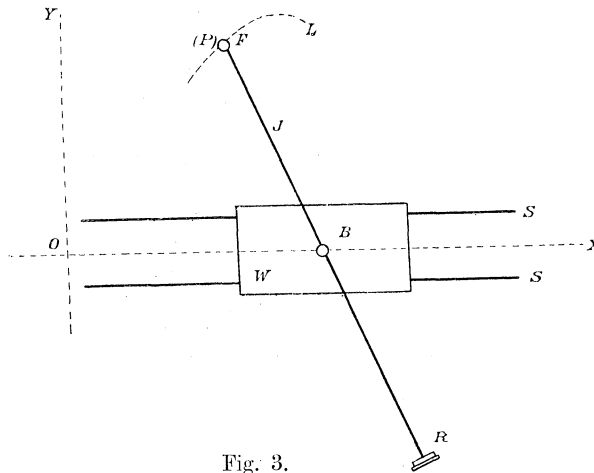


Fig. 3.

das Rollplanimeter zur Classe jener Instrumente, welche einen Ausdruck von der Form $y dx + du$ summiren, wo u eine eindeutige Ortsfunction

im Integrationsgebiete, und also $\int du = 0$ ist. Auf den Schienen SS (Fig. 3) bewegt sich ein kleiner Wagen W, der einen Zapfen B trägt, um welchen die Stange J sich drehen kann. An dem einen Ende dieser Stange ist der Fahrstift F, am andern die Messrolle R angebracht, die auf der Ebene, auf welcher der Apparat steht, ihre Bewegungen ausführt. Bezieht man die Punkte der Umfangslinie L der zu messenden Figur, und ebenso den Berührungspunkt R der Rolle mit der Ebene derselben auf ein rechtwinkliges Axensystem XOY, dessen Abscissenaxe parallel zu SS durch die Axe von B gelegt ist, nennt x, y die Coordinaten von P, resp. F, ξ, η jene von R, setzt $BF = a$, $BR = b$, und den Winkel $XBF = \alpha$, so hat man die Beziehungen:

$$\xi = x - (a + b) \cos \alpha, \quad \eta = -b \sin \alpha, \quad \eta = a \sin \alpha,$$

woraus: $d\xi = dx + (a + b) \sin \alpha \cdot d\alpha$; $d\eta = -b \cos \alpha \cdot d\alpha$

folgt. Da nun $d\sigma = d\xi \cdot \sin \alpha - d\eta \cdot \cos \alpha$

die Componente des Verrückungspunktes R senkrecht zur Axe der Rolle ist, und diese $= \rho \cdot d\omega$, wenn ρ den Radius der Rolle, $d\omega$ den der Verrückung entsprechenden Drehungswinkel bedeutet, so hat man:

$$\rho d\omega = dx \sin \alpha + (a \sin^2 \alpha + b) d\alpha$$

$$\text{oder:} \quad d\omega = \frac{1}{a\rho} y dx + \frac{a \sin^2 \alpha + b}{\rho} d\alpha.$$

Durchläuft F eine geschlossene Curve, so ist:

$$\int d\omega = \frac{1}{a\rho} \int y dx.$$

Wann das vorliegende Instrument construirt worden ist, lässt sich nicht angeben. Es findet sich weder irgendwo publicirt, noch auch ist irgend eine Aufzeichnung über dasselbe vorhanden. Wahrscheinlich ist es kurze Zeit nach dem Hyperbelplanimeter entstanden. Dem Wesen nach ist es mit Coradi's Rollplanimeter identisch und kann als ein, freilich ganz unbekannt gebliebener, Vorläufer dieses einfachen Instrumentes angesehen werden. Das vorliegende Exemplar ist nicht fertig, die Messrolle hat keine Teilung.

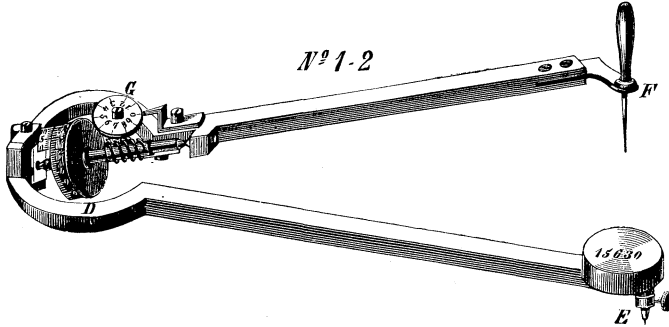
In der Geschichte des Planimeter haben die vorliegenden beiden Instrumente keine Rolle gespielt. Sie geben jedoch Zeugnis von der aussergewöhnlichen Begabung ihres Erfinders, den ein ungünstiges Geschick in eine weltabgeschiedene Stellung verschlagen hat, wo er, ohne Verkehr mit der wissenschaftlichen Welt und mit Berufsgeschäften überhäuft, seinen Lieblingsideen nicht frei nachgehen und seinen Leistungen nicht zur Anerkennung verhelfen konnte.

(Lichtenfels.)

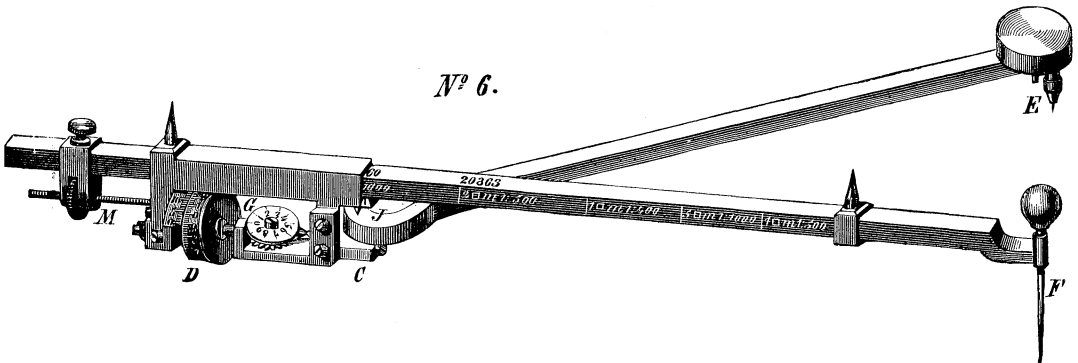
61–64 Vier Polar-Planimeter, erfunden und ausgestellt von **J. Amsler-Laffon & Sohn**, Schaffhausen.

61 Eines der ersten Polarplanimeter von J. Amsler-Laffon (1854).

- 62 Planimeter Nr. 1** (nach der Bezeichnung des Amsler'schen Kataloges, auf welchen bezüglich näherer Detailangaben und der Preise auch bei den folgenden Nummern verwiesen sei); ausgeführt seit dem Jahre 1855, gibt das Resultat nur in *einer* bestimmten Masseinheit.



- 63 Planimeter Nr. 6** (Amsler's Katalog; ausgeführt seit 1856); gibt den Flächeninhalt in mehreren Masseinheiten oder Massverhältnissen, und dient auch speciell zur Messung der *mittleren Ordinate von Indicatorgrammen*.



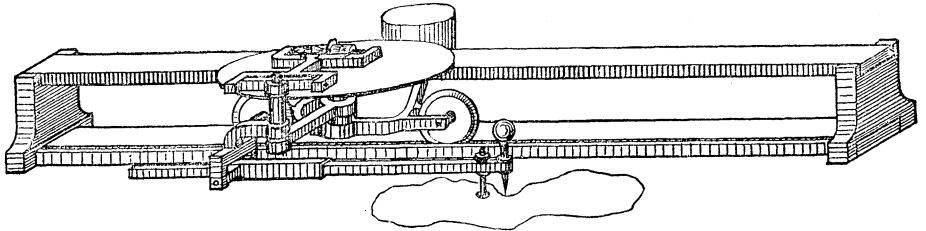
Hierzu dient eine *Hebeschraube*, welche erlaubt, den [Fahrstift vom Papier abzuheben, ohne den Stand der Rolle zu ändern; es wird dadurch das successive Messen mehrerer Diagramme vereinfacht.



The diagram shows a lifting screw mechanism with a horizontal arm and a vertical screw. A lever is attached to the arm, and a stylus is attached to the end of the lever. The screw is used to lift the stylus from the paper without changing the position of the wheel.

- 64 Planimeter Nr. 9** (Amsler's Katalog); construiert seit dem Jahre 1882, unterscheidet sich von den andern Planimetern dadurch, dass sein Spiel ganz unabhängig ist von der Beschaffenheit des Papiers, auf welchem die zu messende Figur gezeichnet ist.

Die Integrirrolle läuft (rollt und gleitet) auf einer papierüberzogenen horizontalen Scheibe, deren Axe die Axe der Integrirrolle im Allgemeinen nicht schneidet. Die letztere ist mit dem Fahrarm fest verbunden. Die Drehung der Integrirrolle ist proportional der Drehung der Scheibe, der Entfernung des Berührungspunktes der Rolle vom Mittelpunkt der Scheibe und endlich proportional dem Cosinus des Winkels, welchen die Axe der Rolle mit der Verbindungslinie des Berührungspunktes derselben mit dem Scheibemittelpunkt einschliesst.



Das Planimeter ist ein „*Linearplanimeter*“, insoferne die Scheibe auf einem kleinen Wagen, dessen Räder in den Nuthen eines Lineals laufen, hin und her bewegt wird. Der Lauf dieses Wagens bestimmt eine x -Coordinate, deren Länge durch eine Übersetzung proportional als Drehung der Scheibe übertragen wird.

Das Planimeter ist nach gleichem Principe auch als *Polarplanimeter* (zuerst 1882) construirt (Planimeter Nr. 8 des Amsler'schen Kataloges). (Dyck.)

- 65** **Polarplanimeter von Miller-Starke** und
66 **Linealplanimeter von Miller-Breithaupt**, erfunden und ausgeführt 1855 bzw. 1861—62 von den Genannten. Ausgestellt vom **Geodätischen Institut der Bergakademie zu Leoben** (Prof. Lorber).

1. Das Polar-Planimeter.

Dieses Planimeter wurde von dem unterzeichneten Prof. Miller-Hauenfels wie dies direct aus der 2. bis 7. Auflage des Handbuches der niederen Geodäsie von Prof. Friedr. *Hartner* zu entnehmen ist, selbstständig i. J. 1855 erfunden.

In meinem ursprünglichen Entwurfe war dieses Planimeter eine Art Kugel- oder Präcisionsplanimeter, wie es die vorstehende Skizze zeigt.

Es war a die beschwerte Polarscheibe, ab der innere, bf der äussere oder Fahrarm mit dem Fahrstifte bei f . c war ein ebener Ring mit 3 schrägen Stahlplättchen, welche auf einer freibeweglichen Hohlkugel ruhten, auf deren oberstem Punkte das Gleitröllchen d ruhte. Auf derselben Axe sass bei e die Zählrolle samt Zubehör. Die Hohlkugel ist, soweit sie aus dem Ringe hervorschaut, schattirt, ihr vom Ringe verdeckter, grösster Horizontalumkreis aber punktirt angedeutet. Selbstverständlich war das Gelenk bei b durch ein Röllchen unterstützt.

Ich entwarf mir eine Theorie des Instrumentes, die mich selbst vollkommen von der Richtigkeit meiner Construction überzeugete, theilte aber meine Idee dem befreundeten Professor *Hartner* mit, der in die 2. Auf-

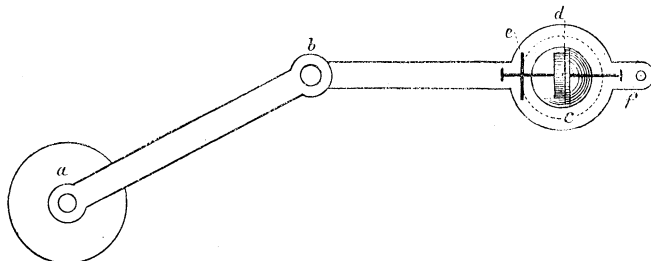


Fig. 1.

lage seiner früher erwähnten Geodäsie (Wien 1856) S. 429 eine von ihm bearbeitete Theorie aufnahm. Später trat ohne mein Zuthun Gustav *Starke* in Wien an mich mit dem Antrage heran, das neue Instrument in der mechanischen Werkstätte anfertigen zu lassen, welche damals unter der Leitung seines Vaters stand und bei welcher er angestellt war. Ich war natürlich sehr erfreut hierüber, weil sich dieses Institut unter Mitwirkung des unvergesslichen Professors *Stampfer* zu einem verdienten Rufe emporgearbeitet hatte.

G. *Starke* änderte jedoch die Lage der Gleitrolle dahin ab, dass sich dieselbe unmittelbar auf der Zeichnungsfläche bewegte und nach diesem Muster wurden von ihm im Laufe der Jahre Hunderte von Polarplanimetern angefertigt.

Es findet sich auch in den späteren Auflagen des erwähnten *Hartner'schen* Werkes, von der Theorie begleitet, die genaue Abbildung dieses Instrumentes. Ebenso hat Oberbergrat F. *Lorber* in der Zeitschrift für Vermessungswesen 1884 S. 17, dann 1888 S. 175 und 186, endlich in der Zeitschrift des österr. Ingenieur- und Architekten-Vereins 1884, S. 8 die Theorie und die Fehleruntersuchungen über die verschiedenen Polarplanimeter veröffentlicht.

Weder Prof. *Hartner* noch G. *Starke* war das auf ähnlichem Principe beruhende *Amsler'sche* Planimeter zu jener Zeit bekannt, als ich denselben das von mir construirte Polarplanimeter mittheilte. Sicher hätte aber wenigstens der erstere als Geodäsie-Professor der hervorragendsten technischen Hochschule einer grossen Monarchie darum wissen müssen, wenn *Amsler's* Idee schon bekannt gewesen wäre.

2. Das Lineal-Planimeter

wurde in den Jahren 1861 und 62 von *Breithaupt* in Cassel nach meiner Angabe angefertigt und ist das ausgestellte Exemplar das einzige seiner Art verblieben. Es besteht aus einem Lineale mit Führungsbahn und

einem darauf rollenden Wugelchen, in dessen Mitte das eine Ende der Fahrstange um eine verticale Axe drehbar befestigt ist. Letztere enthalt auch den Fahrstift und Zahlapparat derart, dass sich die Gleitrolle in der verticalen Drehungsaxe befindet. Dieselbe konnte auch in der Verlangerung oder sonst wo innerhalb der mathematischen Linie der Fahrstange angebracht werden.

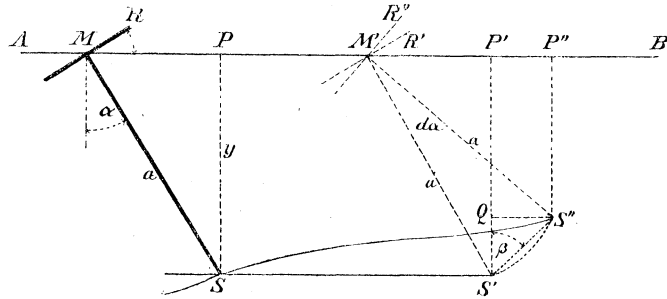


Fig. 2.

Es sei SS'' das zu durchlaufende Curvenelement, dann werde die Fahrstange a zuerst parallel zu sich selbst von MS nach $M'S'$ bewegt und dann um M' aus der Lage $M'S'$ nach $M'S''$. Die Gleitrolle (vom Radius R) hat sich dabei um einen Winkel $d\psi$ gedreht

$$d\psi = \frac{MM' \cos \alpha}{R}$$

wenn α den Neigungswinkel der Rolle gegen die Gleitlinie AB bezeichnet. Nun ist andererseits, wie direct aus der Figur abzulesen:

$$y = a \cos \alpha$$

$$dx = MM' - a \cos \alpha d\alpha$$

und daher

$$\begin{aligned} y dx &= a \cdot MM' \cos \alpha - a^2 \cos^2 \alpha d\alpha \\ &= a \cdot R d\psi - a^2 \cos^2 \alpha d\alpha \end{aligned}$$

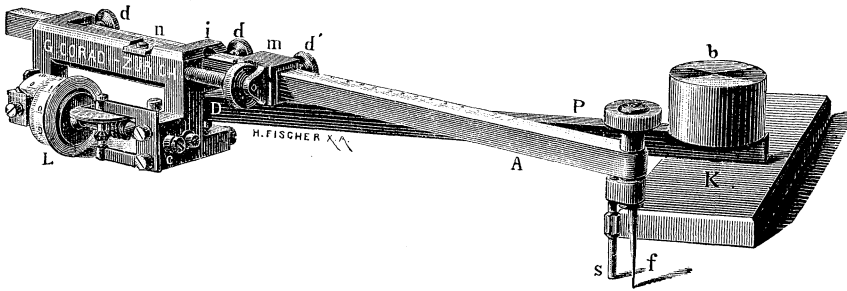
Integrirt man also ber eine geschlossene Contour, so kommt das zweite Integral auf der rechten Seite in Fortfall und man hat direct

$$F = \int y dx = aR \cdot \psi$$

(A. Miller R. v. Hauenfels.)

67 Einfaches Polarplanimeter (nach Amsler); ausgefhrt und ausgestellt von der **mathematisch-mechanischen Werkstatfe** von **G. Coradi, Zurich**.

Im Spezialkatalog von Coradi (1891) (welchen man hier und im folgenden auch bezuglich der Preise der Coradi'schen Instrumente vergleichen wolle) mit Nr. 39 bezeichnet. Der Fahrstab A tragt eine Teilung in $1/2$ mm. Nonius und Index an der Hulse. Das Instrument hat (*wie alle folgenden Polarplanimeter*) einen *Kugelpol* (K in obenstehender Figur). Control-lineal ist beigegeben.



68—75 Roll- und Polarplanimeter der Constructionen Hohmann-Coradi, ausgeführt in der **mathematisch-mechanischen Werkstätte von G. Coradi, Zürich.**

68, 69 Zwei Präcisionspolarplanimeter, Construction 1880—81, von **J. Hohmann** in Speyer (jetzt Regierungs- und Kreis-Baurat in Regensburg) und **G. Coradi** in Zürich. *Erstes Instrument*, nach dem Patent von 1880 ausgeführt, Eigentum des **k. Strassen- und Flussbauamtes Bayreuth**, ausgestellt durch Reg.-Rat **Hohmann**; *Zweite Construction* (Fig. 1), ausgestellt vom **Geodätischen Institut der technischen Hochschule München.**

Die beiden Planimeter repräsentiren den Typus der *beiden ältesten Constructionen von Hohmann und Coradi*. Erste Ausführung Patentschrift Nr. 12377 (vom 15. Juli 1880); Zweite Ausführung dargestellt in der Zeitschrift für Vermessungswesen (Bd. 9 1881):

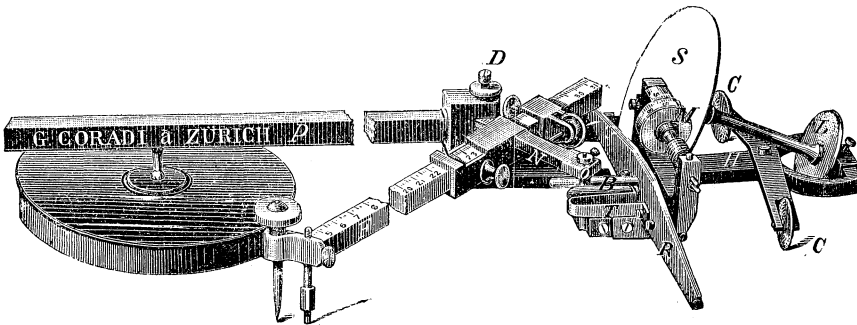


Fig. 1.

Die Integrirrolle **M** wälzt und gleitet auf einer Scheibe **S**. Die Axe der Integrirrolle schneidet immer die Axe der Scheibe. Die Drehung der Integrirrolle ist proportional der Drehung der Scheibe und dem Abstand der Integrirrolle von der Axe der Scheibe (Gonella'scher Integrationsmechanismus). Die Drehung der Scheibe **S** wird vermittelt durch das mit

ihr fest verbundene Laufrad L, welches auf der Zeichenebene um den Pol des Apparates, ohne zu gleiten, läuft. Die Drehung misst also einen Weg um den Pol des Apparates. Die Integrirrolle ist in einem Schlitten verschiebbar, und wird gegen die senkrecht (erste Ausführung) oder schief (zweite Ausführung) stehende Scheibe gedrückt.

Diese beiden ersten Constructionen sind nur als *Polarplanimeter* ausgeführt, nicht als *Rollplanimeter*. In der von Hohmann (a. a. O. Zeitschrift für Vermessungswesen Bd. 9) gegebenen Ableitung der Wirkungsweise des Instrumentes tritt aber die Bemerkung auf, an Stelle des Poles eine zweite, mit der ersten umfanggleiche Scheibe zu setzen, wodurch der Apparat sich in ein Rollplanimeter verwandelt.

(Dyck, Finsterwalder.)

70 **Linearrollplanimeter.** (Fig. 2.)

71 **Einfaches Präcisionspolarplanimeter.** (Fig. 3.)

72 **Freischwebendes Präcisionspolarplanimeter.** (Fig. 4) **Construction Hohmann-Coradi, 1882—84.**

Nr. 70 und Nr. 72 ausgestellt vom **geodätischen Institut der technischen Hochschule München**, Nr. 71 ausgestellt von **G. Coradi, Zürich**.

Die vorstehenden Planimeter repräsentiren *das zweite Constructionsprincip der Planimeter Hohmann-Coradi*. Vergl. „Die Präcisionsplanimeter von Hohmann (1882, Erlangen); „Abhandlungen über das Präcisionsplanimeter und das freischwebende Präcisionsplanimeter und dessen Modificationen“ sowie über das Linearrollplanimeter (1884, Erlangen); endlich Aufsätze von Prof. Lorber, F. H. Reitz u. a.

Die Integrirrolle wälzt und gleitet auf einer Scheibe. Die Axe der Integrirrolle schneidet im Allgemeinen die Axe der Scheibe nicht, dagegen ist die Integrirrolle starr mit dem Fahrarm verbunden. Die Scheibe liegt horizontal. Die Drehung der Integrirrolle ist proportional der Drehung der Scheibe, der Entfernung des Berührungspunktes der Rolle vom Mittelpunkt der Scheibe, endlich proportional dem Cosinus des Winkels, welchen die Axe der Rolle mit der Verbindungslinie des Berührungspunktes derselben mit dem Scheibenmittelpunkt einschliesst.

Beim *Linearrollplanimeter* übertragen die beiden conischen Räder R_2 und R_3 (Fig. 2) die Drehung der Laufrollen R_1 , R_4 auf die Scheibe A. Die Drehung der Scheibe A misst also einen Weg in Richtung einer X Axe. Bei den beiden *Polarplanimetern* wird die Drehung der Scheibe S (in Fig. 3 und Fig. 4) nicht mehr wie bei der früheren Construction (Fig. 1) direct durch ein auf der Zeichenebene laufendes Rad (L) übertragen, sondern ein (nur in Fig. 4 sichtbares) Rad E mit geriffeltem Rande, welches um den Rand einer *Polplatte* P läuft, vermittelt die Drehung der Scheibe, welche also ebenso wie früher einen Weg um den Pol des Apparates misst. Die Unterschiede der beiden Polarplanimeter Nr. 3 und 4 sind nicht principieller Art.

(Dyck, Finsterwalder.)

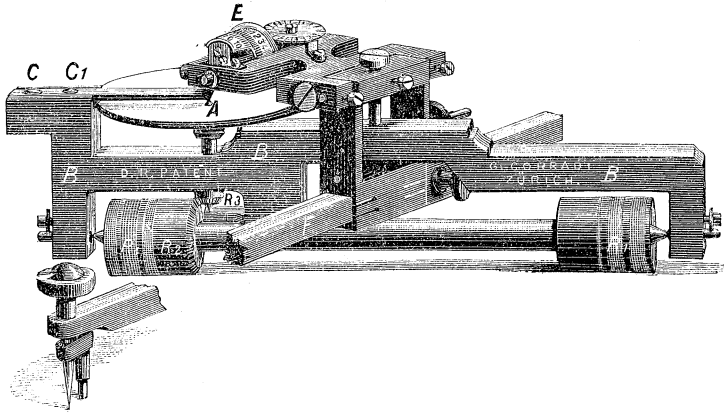


Fig. 2.

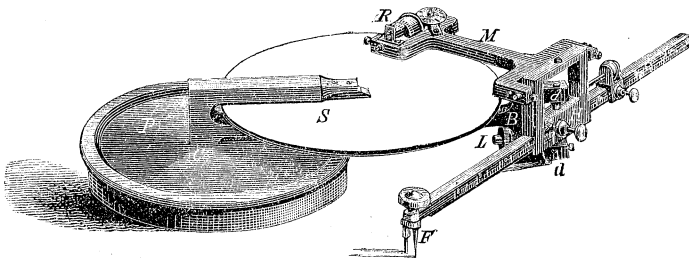


Fig. 3.

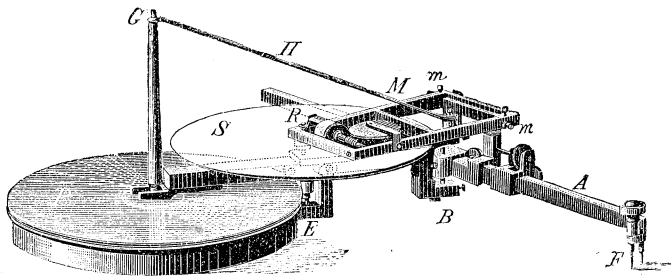


Fig. 4.

- 73 Grosses Kugelrollplanimeter (Fig. 5).
- 74 Einfaches Kugelpolarplanimeter (Fig. 6).
- 75 Freischwebendes Kugelpolarplanimeter (Fig. 7). Construction Hohmann-Coradi 1888.

Die Instrumente Nr. 73 und Nr. 75 ausgestellt von G. Coradi, Zürich,

Instrument Nr. 74 ausgestellt vom **geodätischen Institut der technischen Hochschule München**.

Diese drei Instrumente repräsentiren das *dritte Princip der Hohmann-Coradi'schen Constructionen*. Man vergl. bez. desselben einen Aufsatz

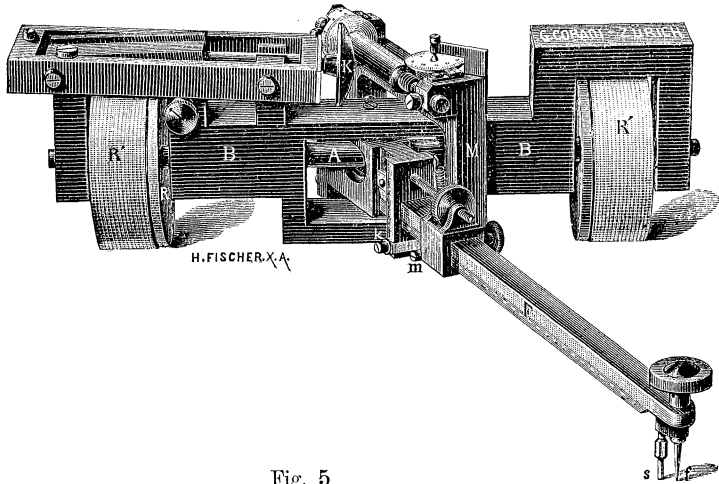


Fig. 5.

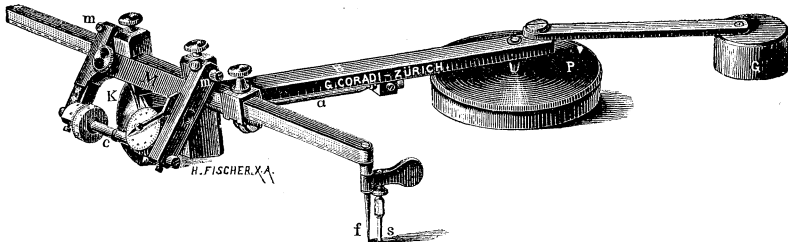


Fig. 6.

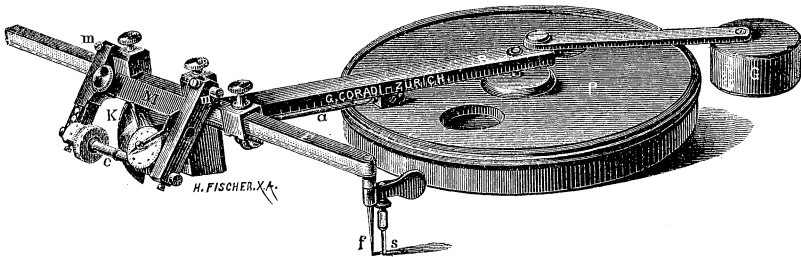


Fig. 7.

von Prof. *Lorber* (Zeitschrift für Vermessungswesen Bd. XVII, 1888), sowie einen von Seiten des „Journal des géomètres“ herausgegebenen

Aufsatz von *V. Lefrançois* (Grenoble 1890), welcher auch die Theorie der übrigen Constructionen Coradi's umfasst.

Die Scheibe ist durch eine um eine horizontale Axe drehbare Kugelschale *K* ersetzt. An die Stelle der Integrirrolle tritt eine cylindrische Integrirwalze, welche gegen die Kugelschale gedrückt wird. Kugelaxe und Walzenaxe schneiden sich. *) Die Drehung der Walze ist proportional der Drehung der Kugel und der Entfernung der Berührungspunkte von Walze und Kugel von der Drehaxe der letzteren.

Beim *Kugelrollplanimeter* erfolgt die Drehung der Kugelschale *K* durch directe Übertragung der Drehung der Rollen *R' R'* auf die Axe der Kugel. Beim *einfachen Kugelpolarplanimeter* läuft der Rand der Kugelschale direct auf dem Zeichenpapier, während beim *freischwebenden Kugelpolarplanimeter* die Drehung der Kugel vermittelt wird durch die mit feiner Verzahnung versehene Axe *a*, welche in eine ebensolche Verzahnung auf dem Rande einer *Polplatte P* eingreift.

(Dyck, Finsterwalder.)

- 76 Planimeter, nach Amsler**, construirt und ausgestellt vom **math. mech. Institut von A. Ott, Kempten.**

Bezüglich der weiteren Beschreibung sowie der Preise der von A. Ott gefertigten Instrumente sei auf den *Specialkatalog* verwiesen.

- 77 Zwei Planimeter nach Amsler**, construirt und ausgestellt vom **math.-mech. Institut von Dennert & Pape, Altona.**

Bezüglich Beschreibung und Preis vergl. *Specialkatalog*.

G. Weitere Instrumente zur mechanischen Integration.

- 78 Zwei Integraphen. System Abdank-Abakanowicz. Construction Coradi.** Grösseres Modell ausgestellt von Professor **Lorber**, Bergakademie Leoben, kleineres Modell aus der **kinematischen Sammlung der technischen Hochschule München.**

Während die Planimeter durch Umfahren einer geschlossenen ebenen Figur mit einem Fahrstift den Flächeninhalt (oder andere auf die Fläche bezügliche Integrale) in einer an der Integrirrolle ablesbaren *Zahl* ergeben, zeichnet der Integraph während des Durchlaufens einer Curve $y = f(x)$ direct die *Integralcurve* $z = \int f(x) dx$, gibt also nicht nur das *Endresultat* einer auf ein geschlossenes Gebiet ausgedehnten Flächenbestimmung, sondern den ganzen *Verlauf* des Integralwertes als Function

*) Die bei der Ausführung auftretende Abweichung ist ohne Belang.

der oberen Grenze. Die Grösse der z -Werte kann ausserdem noch an einem Masstabe abgelesen werden.

Der Grundgedanke, auf welchem die vorliegenden Integraphen basiren, ist in der im Teil I enthaltenen Abhandlung von Dr. *Amsler* kurz bezeichnet. Bezüglich der mannigfachen interessanten Versuche und Umformungen, welche der Apparat von den ersten Formen bis zu seiner jetzigen einfachen Gestalt erfahren hat, vergleiche man das Buch von *Abdank-Abakanowicz* „*Les Integraphes; la courbe integrale et ses applications*“ Paris, Gauthier Villars 1889; in deutscher Übersetzung (mit Zusätzen versehen) von *E. Bitterli*, Leipzig, bei Teubner 1889.

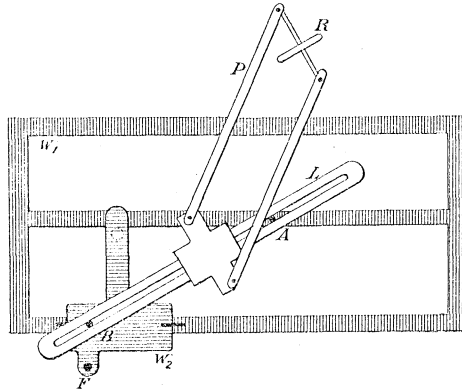


Fig. 1.

Das Instrument besteht im Wesentlichen aus zwei Teilen: Dem Wagen W_1 , der auf vier (bez. beim kleineren Instrument auf drei) Laufrollen sich auf der Zeichenebene — in Richtung einer (in der Figur verticalen) Axe x — bewegt. Senkrecht dazu läuft auf dem Rahmen des Wagens ein zweiter kleiner Wagen W_2 , welcher den Fahrstift F trägt. Beim Durchlaufen der Curve mit dem Fahrstift erscheint diese somit auf ein Coordinaten-System x, y bezogen.

Der zweite Teil des Instrumentes dient dazu, ein Rad R , welches die Integraleurve $z = \int f(x) dx$ zu beschreiben hat, mit seiner Ebene stets der Richtung $\frac{dz}{dx} = f(x)$ parallel zu stellen: Um einen festen Punkt A des Wagens W_1 ist ein Lineal L drehbar und längs eines in demselben befindlichen Schlitzes verschiebbar. Das Lineal läuft ferner (mit seinem Schlitz) beständig durch einen festen Punkt B des Wagens W_2 . Dadurch wird erreicht, dass die Tangente des Neigungswinkels des Lineales L gegen die Richtung der x -Axe stets proportional ist der Grösse $\frac{dz}{dx} = f(x)$ d. i. der y -Ordinate der zu integrierenden Curve. Durch ein Parallelo-

gramm P wird endlich die Stellung des Lineals L auf die Rolle R übertragen. Diese letztere läuft also beim Durchlaufen der Curve $y = f(x)$

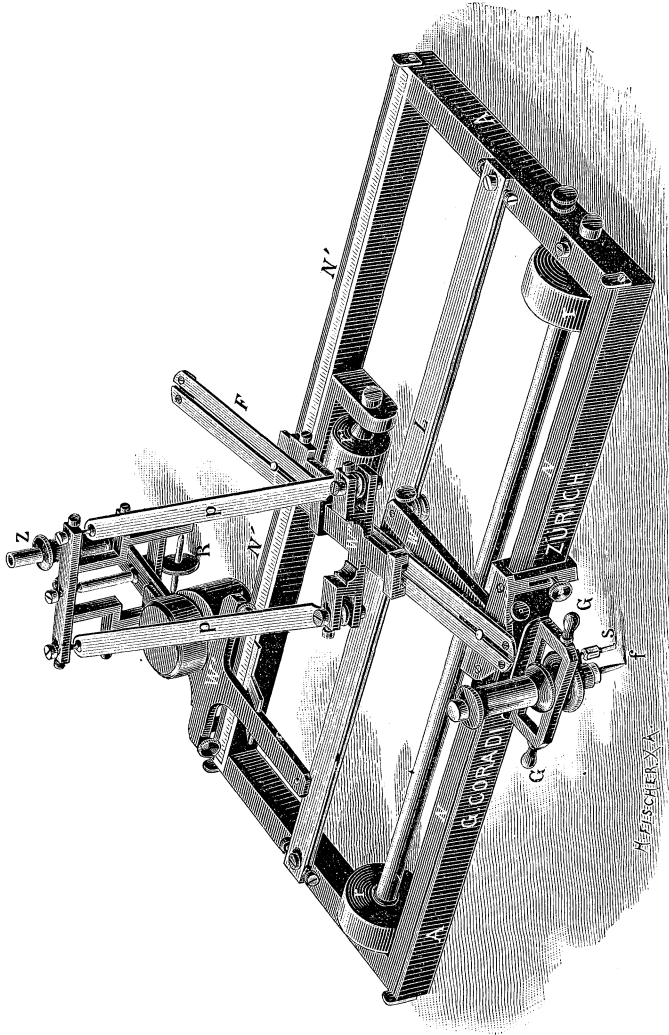


Fig. 2.

mit dem Fahrstift in jedem Momente in der Richtung der Tangente an die Integralcurve. Das Rad (bez. ein damit verbundener, seitlich gestellter Zeichenstift) beschreibt also die Curve $z = \int f(x)dx$. Das Rad R führt bei seiner Bewegung einen ebenfalls auf dem Rahmen des Wagens W_1

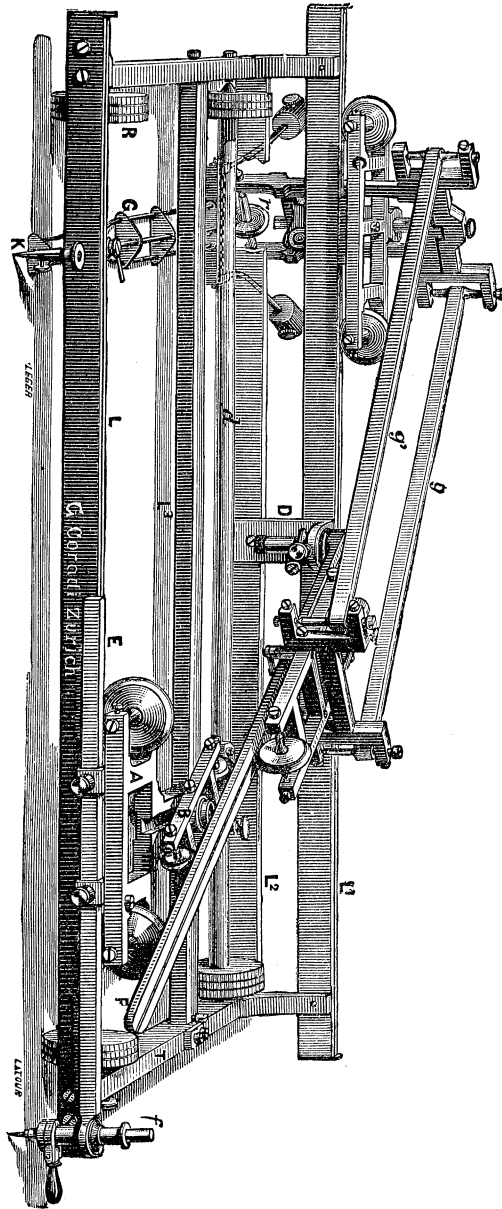


Fig. 3.

laufenden kleinen Wagen (in der schematischen Figur weggelassen) mit Nonius mit sich, der die Grösse der z-Ordinate an jeder Stelle auf einem auf dem Rahmen angebrachten Masstab ablesen lässt.

Bezüglich näherer Beschreibung sei auf das oben erwähnte Buch des Erfinders verwiesen.

Die beigegebenen Figuren 2 und 3 zeigen die gegenwärtig von Coradi ausgeführten beiden Modelle der Integraphen.

(Dyck.)

79 Tafel mit „Integralcurven“, eine Reihe von algebraischen Singularitäten darstellend, mit dem Integraphen von Abdank-Abakanowicz-Coradi gezeichnet im Math. Institut der techn. Hochschule München.

Es ist nicht uninteressant bei der Anwendung der Abdank-Abakanowicz-schen Integraphen das successive Entstehen der Integralcurven zu verfolgen und insbesondere das Entstehen singulärer Punkte derselben.

Auf der Tafel sind die Integrationen der folgenden Haupttypen von Curven in der Umgebung des Nullpunktes ausgeführt:

	Grundcurve:	Integralcurve:
I.	$y = \pm x$	$y = \pm \frac{1}{2} x^2$
	$y = x^2$	$y = \frac{1}{3} x^3$
	$y = x^3$ u. s. w.	$y = \frac{1}{4} x^4$

Beachtet man, dass jeder Schnitt der Grundcurve mit der Abscissenaxe einem Maximum bezw. Minimum der Integralcurve entspricht, jedes Maximum bez. Minimum der Grundcurve einen Wendepunkt der Integralcurve hervorruft, so kann man (wie dies die jedesmal neben den obigen Typen gezeichneten Übergangsformen zeigen) das Entstehen der rechts stehenden Integralcurven nach der Zahl der ihnen entsprechenden (reellen) Wendepunkte und Doppeltangenten anschaulich verfolgen.

Noch interessanter ist es, das Spiel des Apparates zu beobachten für die folgenden Typen:

	Grundcurve:	Integralcurve:
II.	$y = x^{\frac{1}{2}}$	$y = \frac{2}{3} x^{\frac{3}{2}}$
	$y = x^{\frac{1}{3}}$	$y = \frac{3}{4} x^{\frac{4}{3}}$
	$y = x^{\frac{1}{4}}$	$y = \frac{4}{5} x^{\frac{5}{4}}$
	$y = x^{\frac{1}{5}}$ u. s. w.	$y = \frac{5}{6} x^{\frac{6}{5}}$

Jedem Aste der Grundcurve mit verticaler Tangente entspricht ein Zweig mit Spitze in der Integralcurve. Löst man nun die vorstehend

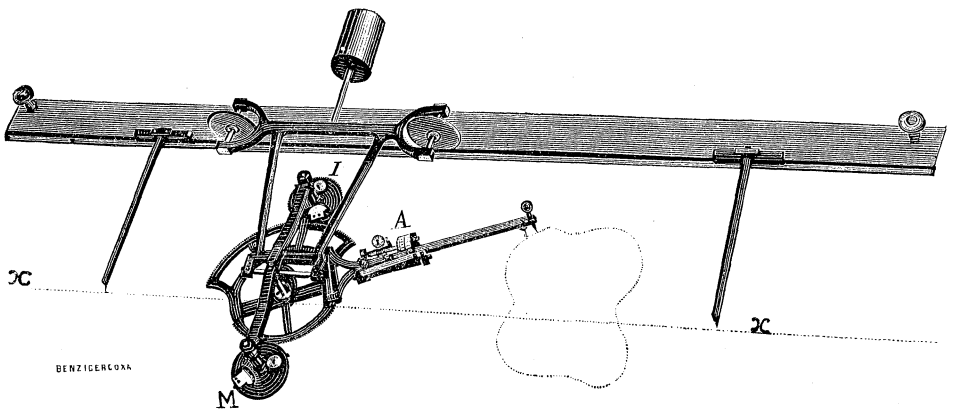
verzeichneten Typen durch Deformation der Grundcurve (jedesmal wieder neben dem Haupttypus gezeichnet) in der Art auf, dass der Wendepunkt mit verticaler Tangente sich abändert in eine Curve mit zwei einfachen verticalen Tangenten; die Curve mit vierpunktigen verticalen Tangenten in eine solche, welche drei einfache verticale Tangenten besitzt, so ergeben sich bei der mechanischen Integration die bekannten Auflösungen der obigen singulären Stellen in Äste mit zwei, mit drei, mit vier u. s. w. Spitzen.
(Dyck.)

80—84 Fünf Instrumente zur mechanischen Ausführung verschiedener Integrationen, erfunden und ausgeführt von **J. Amsler-Laffon & Sohn**, Schaffhausen. Und zwar:

- 80 Integrator (Momentenplanimeter).**
- 81 Stereographometer.**
- 82 Integrierender Papierdickenmesser.**
- 83 Integrierender Wärmeausdehnungsmesser.**
- 84 Präcisionsgefällmessapparat.**

80 Integrator (Momentenplanimeter).

Instrument zur Bestimmung des *Flächeninhalts* einer Figur, sowie des *statischen Moments* und des *Trägheitsmoments* in Bezug auf irgend eine Momentenaxe.



Das Instrument besteht im Wesentlichen aus einem Wagen, dessen Räder in der geradlinigen Nuth eines Lineals laufen. Der Wagen trägt drei Zahnräder, deren Durchmesser und Zähnezahlen so gewählt sind, dass, wenn das mittlere Zahnrad um einen Winkel α gedreht wird, das äussere Zahnrad sich um 2α und das innere Zahnrad um 3α dreht. Die beiden kleinen Zahnräder tragen die auf der Zeichnungsebene sanft auf-

liegenden Messrollen M und I. Am mittleren Zahnrad ist ein Arm angebracht, welcher ebenfalls eine auf der Zeichnungsfläche laufende Messrolle A trägt.

Um eine Figur zu messen, legt man das Lineal so auf die Zeichnungsfläche, dass, wenn die Querstücke der beiden Hilfsarme in der Nuth des Lineals liegen, ihre Spitzen auf die Momentenaxe xx fallen.

Nun setzt man den Fahrstift des Instruments auf einen Punkt der zu messenden Figur, liest den Stand der Rollen A, M, I ab, deren Ablesungen resp. a_0, m_0, i_0 sein mögen, umfährt die Figur mit dem Fahrstift und liest die Rollen wieder ab.

Sind die Endablesungen a_1, m_1, i_1 , so ist dann

$$\text{Flächeninhalt } A = 0,1 (a_1 - a_0) \text{ cm}^2$$

$$\text{Statisches Moment } M = 0,6 (m_1 - m_0) \text{ em} \cdot \text{cm}^2$$

$$\text{Trägheitsmoment } I = 10 (a_1 - a_0) - 4 (i_1 - i_0) \text{ cm}^2 \cdot \text{cm}^2.$$

Theorie:

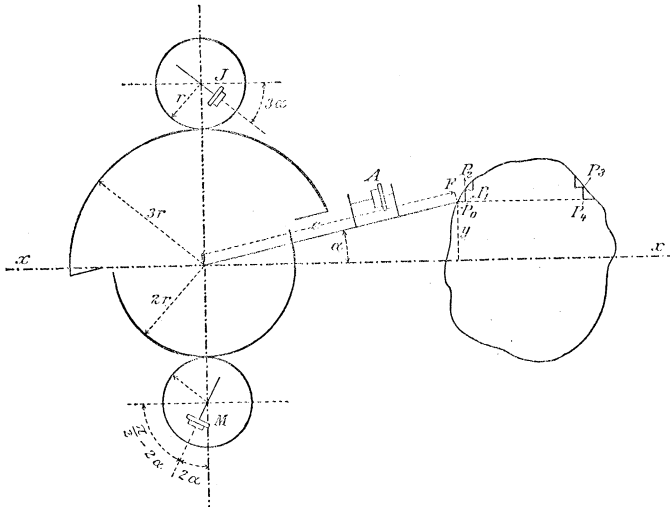
Bekanntlich gelten für die vorher mit A, M, I bezeichneten Grössen die Formeln

$$A = \int y \, dx$$

$$M = \frac{1}{2} \int y^2 \, dx$$

$$L = \frac{1}{3} \int y^3 \, dx$$

worin x und y die Ordinaten der eine Fläche begrenzenden geschlossenen Curve bedeuten.



Bezugnehmend auf vorstehende Figur kann man die Ordinate y ausdrücken durch die constante Länge c und den variablen Winkel α .

Es ist

$$y = c \sin \alpha.$$

Substituiert man diesen Ausdruck für y in obigen Integralen, so bekommt man

$$A = c \int \sin \alpha \, dx$$

$$M = \frac{c^2}{2} \int \sin^2 \alpha \, dx$$

$$I = \frac{c^3}{3} \int \sin^3 \alpha \, dx$$

Bekanntlich ist nun

$$\sin^2 \alpha = -\frac{\sin\left(\frac{\pi}{2} - 2\alpha\right)}{2} + \frac{1}{2}$$

$$\sin^3 \alpha = \frac{3 \sin \alpha}{4} - \frac{\sin 3\alpha}{4}$$

Diese Werte in obige Integrale eingesetzt, gibt

$$A = c \int \sin \alpha \, dx$$

$$M = -\frac{c^2}{4} \int \sin\left(\frac{\pi}{2} - 2\alpha\right) \, dx + \frac{c^2}{2} \int dx$$

$$I = \frac{c^3}{4} \int \sin \alpha \, dx - \frac{c^3}{12} \int \sin 3\alpha \, dx$$

Da die Curve, auf welche sich die Integrale beziehen, geschlossen ist, so sind in dem Integral $\int dx$ ebenso viele negative als positive Elemente dx enthalten und es ist daher $\int dx = 0$.

Die Construction des Integrators ist nun derart, dass die Axen der mit A , M , I bezeichneten Rollen mit der Momentenaxe xx die resp. Winkel bilden

$$\alpha, \left(\frac{\pi}{2} - 2\alpha\right), 3\alpha$$

wenn der Arm c , welcher den Fahrstift trägt, mit der Linie xx den Winkel α bildet.

Wenn der Fahrstift F auf der Linie xx liegt, so sind die Axen der Rollen A und I parallel zu xx und die Axe der Rolle M ist senkrecht zu xx .

Man denke sich nun an Stelle der wirklichen Curve s ein Polygon aus unendlich kleinen geradlinigen Stücken, welche theils parallel, theils senkrecht zu xx sich unendlich nahe an die Curve s anschmiegen.

Ein solches Polygon hat bis auf unendlich Kleines denselben Inhalt und dieselben Momente wie die von s eingeschlossene Fläche. Bewegt man den Fahrstift auf dem unendlich kurzen zu xx parallelen Stück $P_0 P_1 = dx$, so drehen sich die drei Rollen A , M , I um Beträge, die gleich sind resp.

$$k_1 \sin \alpha \, dx, \quad k_2 \sin\left(\frac{\pi}{2} - 2\alpha\right) \, dx, \quad k_3 \sin 3\alpha \, dx$$

wobei k_1, k_2, k_3 Constanten bedeuten, welche von der Länge c und den Rollendurchmessern abhängen. Bewegt man den Fahrstift von P_1 nach P_2 , so führen die Rollen Drehungen aus, welche nicht in Betracht fallen, da sie wieder aufgehoben werden, wenn der Fahrstift im weiteren Verlauf sich von P_3 nach P_4 bewegt und also der Mechanismus genau dieselbe Bewegung im umgekehrten Sinn ausführt, wie beim Durchlaufen des Stückes P_1, P_2 .

Dieselbe Betrachtung liesse sich für jedes Element des Polygons durchführen. Es werden mithin die Drehungen der 3 Rollen, welche früher mit $a_1 - a_0, m_1 - m_0, i_1 - i_0$ bezeichnet wurden, gleich sein

$$a_1 - a_0 = k_1 \int \sin \alpha \, dx$$

$$m_1 - m_0 = k_2 \int \sin \left(\frac{\pi}{2} - 2\alpha \right) dx$$

$$i_1 - i_0 = k_3 \int \sin 3\alpha \, dx$$

und folglich

$$A = \frac{c}{k_1} (a_1 - a_0)$$

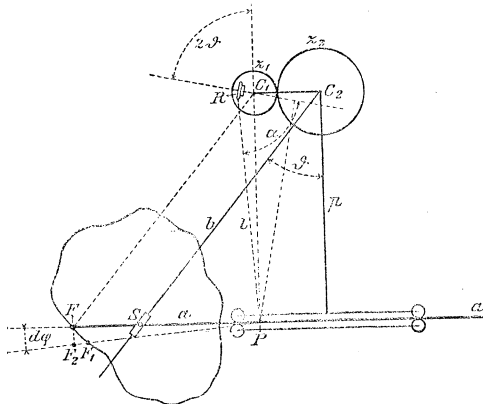
$$M = -\frac{c^2}{4 k_2} (m_1 - m_0)$$

$$I = \frac{c^3}{4 k_1} (a_1 - a_0) - \frac{c^3}{12 k_3} (i_1 - i_0)$$

(A. Amsler.)

81 Stereographometer.

Instrument zur Bestimmung des wirklichen Flächeninhalts einer sphärischen Figur aus ihrer stereographischen Projection.



Das Instrument besteht im Wesentlichen aus den drei Stangen a, b und p , den zwei ineinandergreifenden Zahnrädern z_1 und z_2 , und der vom

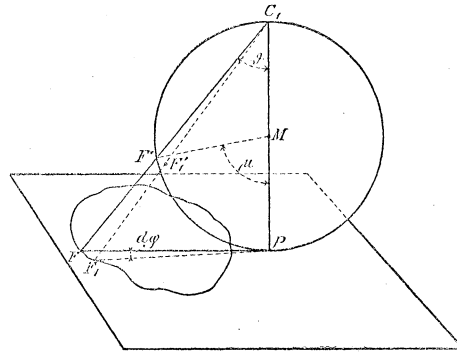
Zahnrad z_1 getragenen Messrolle R , welche mit sanfter Reibung auf der Zeichnungsfläche aufliegt. Die Stange p trägt einerseits an einem Träger die beiden Zahnräder z_1 und z_2 , von denen z_2 doppelt so viele Zähne hat als z_1 . Am andern Ende trägt die Stange p Führungsrollen, welche die Stange a rechtwinkelig zu p führen. Bei P ist eine mit dem Träger der Führungsrollen starr verbundene Nadelspitze angebracht, welche in die Zeichnungsfläche gedrückt wird. Um die Nadelspitze als Pol dreht sich das ganze Instrument. Die Stange b ist an einem Ende am Zahnrad z_2 befestigt und dreht sich mit diesem um die Axe C_2 . Auf der andern Seite gleitet die Stange b in einer Hülse S , welche drehbar mit der Stange a verbunden ist. Letztere ist bei F mit einem Fahrstift versehen, mit welchem man die zu messende Figur umfährt. Ändert man durch Drehen der Stange b den Winkel ϑ , so ändert sich die Richtung der Rollenaxe um das Doppelte. Die Rolle ist so mit dem Zahnrad z_1 verbunden, dass der Winkel zwischen der Rollenaxe und der Linie $C_1 P$ stets gleich ist 2ϑ .

Setzt man die Nadelspitze P auf den Fusspunkt des Perpendikels, welches man vom Projectionsmittelpunkt aus auf die Zeichnungsebene fallen kann und umfährt die Zeichnung mit dem Fahrstift F , so gibt die Umdrehung der Rolle R mit einer Constanten multiplicirt, den Flächeninhalt der sphärischen Figur, deren Projection man umfahren hat.

Theorie:

Man denke sich eine um M als Mittelpunkt beschriebene Kugel, welche die Zeichnungsebene im Punkt P berührt.

$C_1 P$ sei der Kugeldurchmesser, welcher senkrecht auf der Zeichnungsebene steht.



Irgend ein Punkt F der Figur s in der Zeichnungsebene ist dann das stereographische Bild des Punktes F' auf der Kugeloberfläche.

Bezeichnet man mit μ den Winkel PMF' und mit φ den Winkel, welchen die Ebene PC_1F' mit einer festen, durch P C_1 gehenden Ebene

einschliesst, so ist bekanntlich der Flächeninhalt einer Figur s' auf der Kugel gleich

$$A' = \frac{p^2}{4} \int \cos \mu \, d\varphi$$

worin die Integration über den ganzen Umfang der Figur zu erstrecken ist

Beachtet man, dass $\mu = 2\vartheta$, so erhält man auch

$$A' = \frac{p^2}{4} \int \cos 2\vartheta \, d\varphi.$$

Ist F_1 ein auf der Curve liegender zu F benachbarter Punkt, so ist offenbar Winkel $F P F_1 = d\varphi$. Nun denke man sich das Dreieck $P C_1 F$ in die Zeichnungsebene heruntergeklappt und die Eckpunkte desselben mit den gleichbezeichneten Punkten $P C_1 F$ des Instruments identificirt. Bewegt man den Punkt F auf der gezeichneten Curve s in eine benachbarte Lage F_1 , so ist wieder $\sphericalangle F P F_1 = d\varphi$.

Sehen wir nun zu, wie gross die Abwicklung der Rolle R wird, wenn sich F nach F_1 bewegt. Statt den Fahrstift F direct nach F_1 zu führen, bewege ich denselben zuerst auf einem Kreisbogen $F F_2$, dessen Winkelöffnung $d\varphi$ ist und dann erst von F_2 nach F_1 . Denkt man sich die ganze Curve s in derselben Art durchwandert, so beschreibt der Fahrstift eine Curve, deren Inhalt von demjenigen der Curve s nur unendlich wenig verschieden ist. Dasselbe wird der Fall sein mit dem correspondirenden Punkt F' auf der Kugel.

Bewegt sich F nach F_2 , so dreht sich das ganze Instrument um den Punkt P ; die relative Stellung der verschiedenen Teile des Instruments bleibt dabei unverändert. Wird die Entfernung des Berührungspunktes der Rolle R vom Pol P mit l bezeichnet, so bewegt sich R auf dem Kreisbogen $l d\varphi$, wenn sich F nach F_2 bewegt. Dabei dreht sich die Rolle um den Betrag $l \sin \alpha d\varphi$, wenn Winkel $P R C_1 = \alpha$.

Bewegt sich F von F_2 nach F_1 , so findet keine Drehung um den Pol P statt; nur die Stange b dreht sich um den Winkel ϑ um den Punkt C_2 ; dies hat eine Drehung $2 d\vartheta$ des Zahnrades z_1 zur Folge und die Rolle dreht sich daher um den Betrag $R C_1 2 d\vartheta$. Dabei ist zu beachten, dass $R C_1$ eine Constante ist.

Wenn sich der Fahrstift von F nach F_1 bewegt, so ist mithin die Drehung der Rolle gleich

$$du = l \sin \alpha d\varphi + R C_1 2 d\vartheta$$

und hat der Fahrstift die ganze Curve durchlaufen, so wird die resultirende Rollendrehung

$$u = \int l \sin \alpha \, d\varphi + 2 R C_1 \int d\vartheta.$$

Wie aus der Figur ersichtlich, ist

$$l \sin \alpha = R C_1 + P C_1 \cos 2\vartheta$$

oder da

$$P C_1 = p \text{ ist,}$$

$$l \sin \alpha = R C_1 + p \cos 2\vartheta, \text{ mithin}$$

$$u = R C_1 \int d\varphi + p \int \cos 2 \vartheta d\varphi + 2 R C_1 \int d\vartheta$$

Liegt der Pol ausserhalb der Curve s so ist $\int d\varphi = 0$, liegt er innerhalb der Curve, so wird $\int d\varphi = 2\pi$. Da die Stange b am Ende der Bewegung wieder die Anfangslage annimmt, so ist offenbar unter allen Umständen $\int d\vartheta = 0$ und folglich

$$u = p \int \cos 2 \vartheta d\psi, \text{ wenn } P \text{ ausserhalb der Curve } s \text{ liegt und}$$

$$u = 2\pi R C_1 + p \int \cos 2 \vartheta d\varphi, \text{ wenn } P \text{ innerhalb der Curve } s \text{ liegt.}$$

Vergleicht man diese hier gefundenen Ausdrücke mit der für den Flächeninhalt A' der sphärischen Figur aufgestellten Formel, so erhält man

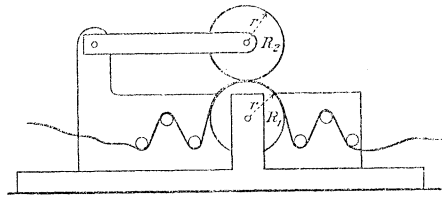
$$A' = \frac{p}{4} u \quad \text{oder} \quad A' = \frac{p}{4} u - \frac{p \pi R C_1}{2}$$

je nachdem der Pol P ausserhalb oder innerhalb der Curve s liegt. Die Grössen $\frac{p}{4}$ und $p \frac{\pi R C_1}{2}$ sind Constante des Instruments.

(A. Amsler.)

82 Integrierender Papierdickenmesser.

Dieses Instrument dient zur Bestimmung der mittleren Dicke eines Papier- oder dünnen Blechstreifens.



Wird ein Papierstreifen von bestimmter Länge über eine Cylinderfläche gelegt, so hat der Papierstreifen, auf der convexen Seite gemessen, eine grössere Länge, als auf der concaven Seite. Der Längenunterschied hängt ab von der Krümmung der Cylinderfläche und von der Dicke des Papiers. Diese Thatsache wird in dem Instrument verwertet zum Messen der Papierdicke. Der zu messende Papierstreifen, dessen Länge man übrigens nicht zu kennen braucht, wird zwischen zwei gegeneinander liegenden Rollen durchgezogen und zwar so, dass sich der Streifen ein Stück weit auf eine der beiden Rollen auflegt. Diese Rolle misst dann die Länge der concaven Seite des Streifens, die andere Rolle dagegen misst die convexe Seite. Sind die Rollendurchmesser bekannt, so bestimmt sich die Papierdicke aus dem Verhältnis der Rollenumdrehungen. Es sei r_1 der Radius der Messrolle R_1 , r_2 der Radius der Rolle R_2 , d die unbekannte Dicke des zu messenden Papiers, φ_1 die Drehung der Rolle R_1 und φ_2 die correspondirende Drehung der Rolle R_2 . Dann hat man die Gleichung

$$\varphi_1 (r_1 + d) = \varphi_2 r_2$$

woraus sich ergibt

$$d = \frac{\varphi_2 r_2 - \varphi_1 r_1}{\varphi_1}.$$

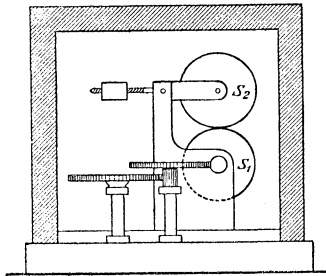
Wie aus dieser Formel ersichtlich ist, kommt es zwar auf die Länge des Papierstreifens nicht an; derselbe soll jedoch so lang sein, dass φ_1 und φ_2 merklich verschieden werden.

Der ausgestellte Apparat ist ein Versuchsapparat und soll nur das Princip veranschaulichen.

(A. Amsler.)

83 Integrierender Wärmeausdehnungsmesser.

Dieses Instrument dient zur Bestimmung der relativen Ausdehnungscoëfficienten von Metallen, von denen man nur ganz kleine Stücke zur Verfügung hat.



Dreht man eine runde Scheibe, auf deren Rand eine zweite drehbare Scheibe mit schwacher Reibung aufliegt, so wird die zweite Scheibe von der ersten auch in Drehung versetzt und zwar verhalten sich die Drehungen der beiden Scheiben umgekehrt wie ihre Umfänge. Sind die beiden Scheiben aus demselben Material gemacht und haben sie unter sich gleiche Temperatur, so wird sich das Verhältnis der Umfänge der beiden Scheiben nicht ändern, wenn man die Temperatur ändert, das Verhältnis der Drehungen wird daher nach wie vor dasselbe bleiben.

Bestehen dagegen die beiden Scheiben aus verschiedenen Materialien, deren Ausdehnungscoëfficienten verschieden sind, so ändert sich bei einer Temperaturänderung auch das Verhältnis der Umfänge und es wird sich in Folge dessen auch das Verhältnis der Drehungen ändern. Diese Änderung des Verhältnisses der Drehungen bei verschiedenen Temperaturen gibt nun ein Mass zur relativen Bestimmung des Ausdehnungscoëfficienten der beiden Scheiben. Zu bemerken ist, dass es gar nicht nötig ist, dass die beiden Scheiben genau rund sind.

Das Princip des Apparats kann auch angewendet werden, um Temperaturen zu messen; ferner liesse es sich zweckmässig anwenden zur genauen Registrirung der Durchschnittstemperaturen während längerer Zeit. Man würde zu diesem Zweck die Scheibe S_1 des Apparats von

der Minutenaxe einer gewöhnlichen Uhr antreiben, die andere S_2 aus einem andern Material, dessen Ausdehnungscoefficient von demjenigen der Scheibe S_1 stark verschieden ist, auf der Scheibe S_1 laufen lassen.

Der ausgestellte Apparat soll nur das Princip veranschaulichen. Ein für genaue Messungen tauglicher Apparat müsste sorgfältig in einem Wärmekasten eingeschlossen sein, dessen Temperatur man nach Belieben reguliren könnte.

Um den Apparat als *genaues Thermometer* zu gebrauchen, müsste man die relativen Tourenzahlen der beiden Scheiben bei zwei genau herstellbaren Temperaturen (z. B. beim Gefrierpunkt und beim Siedepunkt des Wassers) bestimmen und so die Constanten des Apparats feststellen.

(A. Amsler.)

84 Präcisionsgefällmessapparat.

Dieses Instrument dient zur genauen Ermittlung der Niveaudifferenzen an verschiedenen, nahe bei einanderliegenden Stellen eines fließenden Gewässers, gleichgiltig, ob dessen Oberfläche ruhig oder wellig sei. Die Beobachtungsstellen wählt man beim praktischen Gebrauch 10 bis 50 Meter von einander entfernt. Das Instrument kann daher unter anderem auch zweckmässig zum Studium der Variationen des Wasserstandes im Querprofil eines Flusses und überhaupt in Fällen verwendet werden, wo sich directes Nivellement der Kleinheit der zu messenden Höhenunterschiede wegen oder wegen Wellenbewegung nicht ausführen lässt.

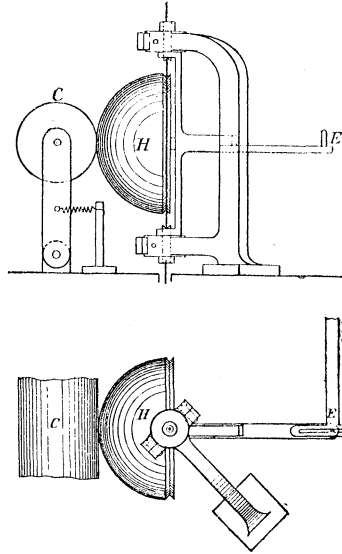
Der Apparat basirt auf dem Princip der communicirenden Röhren. An den beiden Stellen, deren Niveaux verglichen werden sollen, werden die Enden von zwei Röhren bis auf den Grund des Gewässers versenkt, die Mündung nach abwärts gerichtet. Am Ufer werden die beiden Röhren unten an zwei verticale, oben communicirende Glasröhren angeschlossen. Nun wird die Luft so lange aus dem Röhrensystem ausgepumpt, bis in den Glasröhren Wassersäulen sichtbar werden. Die Höhendifferenz dieser beiden Wassersäulen ist dann gleich der Niveaudifferenz der beiden beobachteten Stellen des Gewässers.

(A. Amsler.)

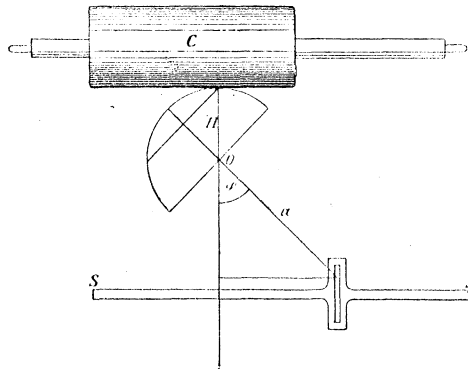
85 Smith's Integrator speciell zur Auswertung der Arbeit in Verbindung mit Dynamometern oder Ergometern bestimmt. Construiert von Prof. F. J. Smith, Trinity College Oxford.

Dies Instrument besteht wesentlich aus drei Theilen, einem horizontalen Cylinder C, einer Halbkugel H und einer der Axe des Cylinders parallelen Stange S. Der Cylinder wird von einer Axe getragen, die sich mit ihm dreht, während der Cylinder selbst sich frei auf der Axe hin und her bewegen kann. Die Halbkugel kann sich um einen verticalen Durchmesser und ebenfalls um ihre horizontal liegende Symmetrieaxe drehen.

Die Stange, welche sich nur in ihrer eigenen Richtung hin und her bewegen kann, trägt rechtwinklig zu ihrer Längsrichtung einen Arm mit



einem Schlitz, in dem ein fest mit der Symmetrieaxe der Halbkugel verbundener Stift E gleiten kann. Wird die Stange um eine Länge η vor-



wärts geschoben, so dreht sich die Halbkugel um die verticale Axe um einen Winkel φ , so dass $a \sin \varphi = y$, wo a die Entfernung des Stiftes vom Centrum der Halbkugel ist. Zugleich wird der Cylinder auf seiner Axe verschoben. Wird nun die Halbkugel um die Symmetrieaxe um den Winkel $d\varphi$ gedreht, so dreht sich der Cylinder um einen Winkel $d\theta$ so

dass $c d\theta = R d\psi$ wo $R = r \sin\varphi = \frac{r}{a} y$, r der Radius der Halbkugel, c der Radius des Cylinders ist. Wir erhalten also $d\theta = \frac{r}{ac} y d\psi$.

Die Drehung der Halbkugel wird durch eine Schnur bewirkt, welche um eine am Rande der Halbkugel eingeschnittene Rinne läuft. Der Winkel $d\psi$ ist daher proportional der Strecke dx , um welche die Schnur sich bewegt hat. So folgt:

$$d\theta = A y dx \text{ und} \\ \int y dx = B \theta$$

wo A und B von den Dimensionen des Instrumentes abhängende Constanten bedeuten.

θ wird durch ein Zählwerk an der Cylinderaxe gemessen.

Die besondere Art, in welcher x und y dem Integrator zugeführt werden, ist dadurch bedingt, dass das Instrument bestimmt ist in Verbindung mit einem Erg-messer benutzt zu werden, und zwar ist dann y die Kraft, x der unter der Wirkung der Kraft zurückgelegte Weg.

(F. J. Smith.)

86 Harmonic Analyser von Lord Kelvin (C. William Thomson), Universität Cambridge.

Bezüglich der Beschreibung des Apparates sei auf den im ersten Teil befindlichen Bericht von Henrici über Harmonische Analysatoren, sowie auf die im ersten Teil der „*Natural-Philosophy*“ von Thomson (2. Auflage, Cambridge 1879) enthaltenen Aufsätze über „Continuirliche Rechenmaschinen“ (abgedruckt aus den Proceedings der Royal Society) verwiesen. Diese Aufsätze umfassen die folgenden Beschreibungen:

1. Flutrechnungs-Maschine.
2. Maschine zur Auflösung eines Systems linearer Gleichungen.
3. Eine Integrirmaschine mit neuem kinematischen Princip: „Scheiben-, Kugel- und Cylinder-Integrator“.
4. Instrument zur Berechnung des Integrals aus einem Product zweier gegebener Functionen.
5. Mechanische Integration linearer Differentialgleichungen zweiter Ordnung mit variablen Coëfficienten.
6. Mechanische Integration der allgemeinen linearen Differentialgleichung von beliebiger Ordnung mit variablen Coëfficienten.
7. Harmonischer Analysator zur Berechnung der Flutconstituenten; zweite, dritte Flutconstituenten.

87 Tide-Predictor (Flutberechnungsmaschine), von Lord Kelvin (W. Thomson), Universität Cambridge; Photographische Abbildung, ausgestellt vom South Kensington Museum.

Man vergleiche hierzu ebenfalls den im 1. Teil enthaltenen Aufsatz von Henrici, sowie die genannten Aufsätze in Thomson's Natural Philosophy und den Bericht von H. Scott und R. H. Curtis in den Proceedings of the Royal Society.

- 88 James Thomson's „Ball and Disc Movement“** Photographische Abbildung des Scheiben-Kugel- und Cylinder-Integrators von James Thomson Ausgestellt vom **South Kensington Museum London.**

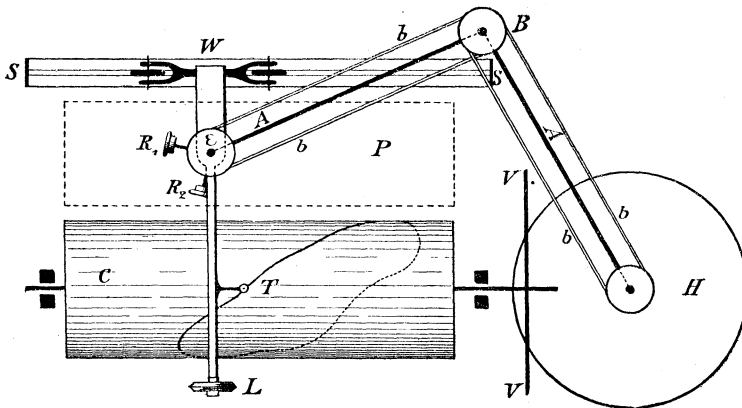
Man vergl. hierzu die Ausführung in den Aufsätzen von Amsler und Henrici in Teil I dieses Kataloges.

- 89 Instrument zur Aufzeichnung harmonischer Curven** von Lieut. General **R. Strachey**, London.

Vergl. den mehrfach genannten Aufsatz von Henrici in Teil I des Kataloges.

- 90 Harmonischer Analysator**, von Prof. **O. Henrici**, city and guilds of London Institute.

Man vergleiche hierzu den Aufsatz von Henrici über Harmonische Analysatoren im I. Teil dieses Kataloges, sowie die nachstehende Figur, die noch kurz im folgenden erläutert sei:



Ein Wagen W läuft mit zwei Rädern auf der Schiene SS , ein Lauf-
rad L dient als dritte Unterstützung. Der Wagen trägt die Axe ε mit
den Registrirrollen R_1 und R_2 , welche auf der Platte P rollen, und den
Fahrstift F , welcher immer die obere Erzeugende des Cylinders bestreicht.
Die Axe der Scheibe H ist mit der Axe ε durch die Stangen A, A ver-
bunden, welche durch ein Charnier um B frei beweglich sind. Die Dreh-
ung des Cylinders C wird durch das vertical stehende (auf der Axe ent-
sprechend verschiebbare) Rad VV auf die Scheibe H übertragen. Durch
die endlosen Stahlbänder wird dann weiter die Drehung der Scheibe H
auf ε übertragen. Im Modell liegt die Schiene S unter der Platte P .

(O. Henrici.)

- 91 **Harmonischer Analysator**, construirt von den Herren **A. Sommerfeld** und **E. Wiechert**, verfertigt in der mathematischen Abteilung des physikalischen Instituts zu Königsberg unter Leitung von Herrn Prof. **Volkman** von dem Mechaniker des Instituts Herrn **Gross** im Laufe des Jahres 1890; ausgestellt vom **Physikalischen Institut der Univ. Königsberg**.

Die Maschine, welche in der Sitzung der Physikalisch-ökonomischen Gesellschaft zu Königsberg im Mai 1891 demonstrirt und zum erstenmale in den Schriften derselben, Band 32 Sitzungsber. pag. 28, veröffent-

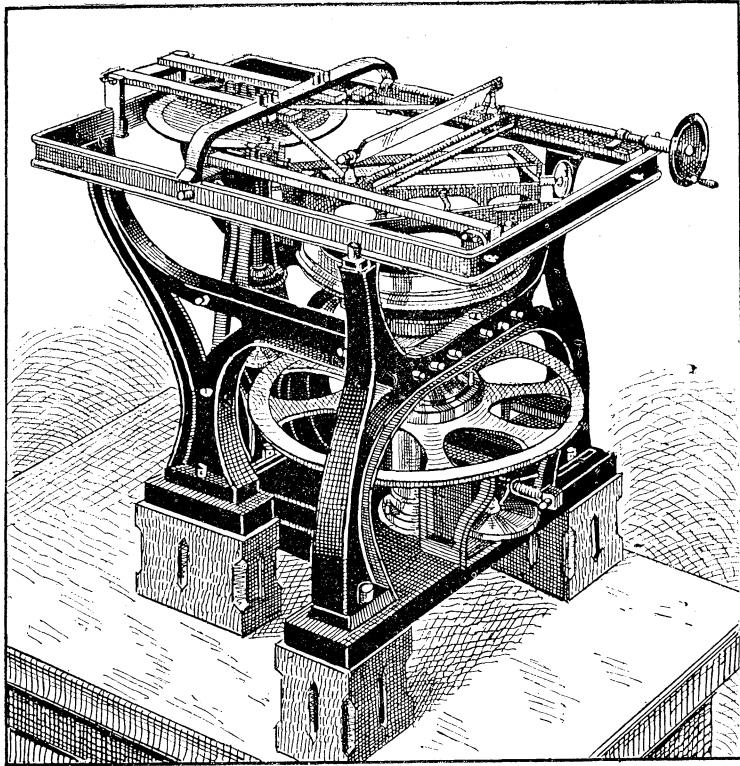


Fig. 1.

licht wurde, hat die Aufgabe, aus den (etwa durch Beobachtung) gegebenen Werten einer willkürlichen Function $y = f(x)$ die *Coefficienten ihrer Fourier'schen Entwicklung* zu ermitteln, d. h. die Grössen a_n, b_n in der Gleichung:

$$y = a_0 + a_1 \cos x + b_1 \sin x + a_2 \cos 2x + b_2 \sin 2x \dots$$

Es geschieht dieses durch Auswertung der bestimmten Integrale:

$$a_n = \frac{1}{\pi} \int_0^{2\pi} f(x) \cos nx \, dx, \quad b_n = \frac{1}{\pi} \int_0^{2\pi} f(x) \sin nx \, dx;$$

als specieller Fall tritt die einfache Integration auf bei dem Coëfficienten

$$a_0 = \frac{1}{2\pi} \int_0^{2\pi} f(x) \, dx.$$

Zu Beginn ist die Curve, welche die vorgelegte Function darstellt, auf eine mit Papier beklebte Walze aufzuzeichnen; sodann werden die Coëfficienten *nacheinander* bestimmt. Hierbei können zwei Processe unterschieden werden, welche in praxi gleichzeitig stattfinden: 1) die *Construction* der Curve $z = f(x) \cos nx$ bzw. $z = f(x) \sin nx$ aus der gegebenen Curve $y = f(x)$, 2) die *Integration* dieser neuen Curve, d. h.

die Auswertung von $\int_0^{2\pi} z \, dx$. Diejenigen Teile, welche der Construction

dienen, liegen vorn, d. h. dem Arbeitenden zugekehrt; (in Figur 1 befindet sich die vordere Seite rechts); sie gruppieren sich um eine verticale Axe, welche *Constructionsaxe* genannt werden soll. Diejenigen Teile, welche der Integration dienen, liegen um eine hintere, gleichfalls verticale Axe, die *Integrationsaxe* (auf der linken Seite der Figur 1). Ein oben befindlicher Schieber übernimmt die Vermittelung zwischen den vorderen und hinteren Teilen. Zur Vereinfachung der Beschreibung werden einige unnötige Annahmen über Grösse und Lage einzelner Teile gemacht, auf welche später hingewiesen werden wird.

Construction.

Vergleiche Fig. 2, welche eine Ansicht von oben darstellt. C und J sind die Durchstossungspunkte der Constructions- und Integrationsaxe mit der Ebene der Figur. Die Walze abcd, welche die gegebene Curve trägt, hat eine Länge von 210 mm und einen Umfang von 200 mm. Ihre Axe liegt bei den sogleich zu beschreibenden Bewegungen stets in derselben horizontalen Ebene und schneidet die Constructionsaxe. Die Curve ist bezogen auf ein rechtwinkliges Coordinatensystem, dessen y-Axe ef der Walzenaxe parallel und dessen x-Axe auf einem durch C gehenden Kreise die Walze umläuft. Durch einen von der Walze wenig abstehenden Faden ef wird die jeweilig höchste Linie auf der Walze markirt. Der Schnitt P desselben mit der gegebenen Curve bestimmt in jedem Augenblicke zu dem in Frage kommenden x das zugehörige $y = CP$. Ein zweiter Faden gh, dicht über dem ersten, ist an dem Schieber ghik befestigt. Der Schieber ist nur in der Richtung CJ beweglich; diese gibt die z-Richtung der zu konstruierenden Curve an und zwar sei im Punkte C die z-Coordinate gleich 0. Ist nun der Winkel φ zwischen Walzenaxe und z-Richtung in jedem Augenblicke gleich nx bzw. $nx - \frac{1}{2}\pi$, wobei n den Index des auszu-

wertenden Coefficienten bedeutet, so wird $CQ = f(x) \cos nx = z$ bezw. $CQ = f(x) \sin nx = z$. Die Ordinate der zu construirenden Curve ist also gegeben durch diejenige Strecke, um welche der Faden gh aus seiner „Null-Stellung“ $g'h'$ verschoben werden muss, damit er durch den ausgeschnittenen Curvenpunkt P hindurchgeht.

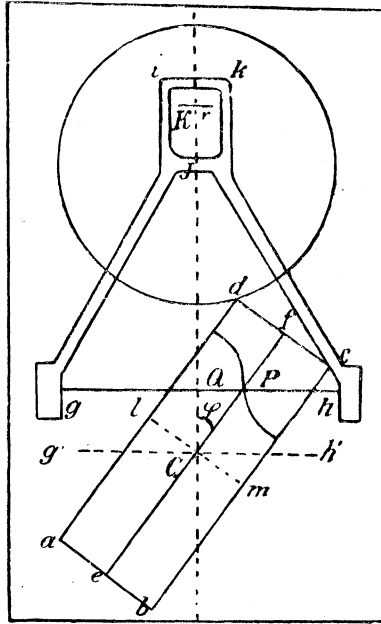


Fig. 2.

Um dem Winkel φ die verlangte Grösse zu geben, wird die Walze in zweifacher Weise gedreht; erstens um ihre eigene Axe, so dass x sich mit der Geschwindigkeit V ändert, zweitens um die Constructionsaxe mit der Winkelgeschwindigkeit $W = nV$. V ist proportional mit V' , der Winkelgeschwindigkeit der Walze bei ihrer Drehung um ihre eigene Axe. Das Verhältnis von V und V' hängt ab von dem Masstab, den man bei der Zeichnung der Curve für x benutzt. Die Anfangslage der Walze ist parallel oder senkrecht zur z -Richtung, je nachdem es sich um ein Cosinus- oder Sinus-Glied handelt.

Integration.

Wollte man an dem Schieber einen Zeichenstift befestigen, so würde dieser auf einen mit der Geschwindigkeit V bewegten Papierstreifen die Curve $z = f(x) \cos nx$ bezw. $f(x) \sin nx$ aufzeichnen. Statt dessen wird die Integration direct angeschlossen, indem an Stelle des fingierten Stiftes ein Integrationsrädchen v angebracht wird, wie es

von *Amsler's* Planimeter her bekannt ist. Dieses ist um seine in der z -Richtung gelegene Axe leicht beweglich. Es rollt auf einer Scheibe aus Spiegelglas, der Integrations-scheibe, welche um die Integrationsaxe mit der Winkelgeschwindigkeit U rotirt. U und V sind einander proportional. K bedeutet den Berührungspunkt des Radumfanges mit der Scheibe. Ändert sich x um dx , so dreht die Scheibe sich um den Winkel $U/V dx$. Dadurch wird dem Rädchen eine Drehung übermittle, welche proportional ist erstens zu dx , zweitens zu JK , dem Abstände des Rädchens vom Scheibemittelpunkte. Es soll angenommen werden, dass r in J berühre, wenn der Faden des Schiebers gh durch C geht. Dann ist $JK = CQ = z$; die Drehung des Rädchens wird proportional zu $z dx$ und seine Gesamtdrehung, während x um 2π wächst, proportional zu $\int_0^{2\pi} z dx$.

Um also den Wert des gesuchten Integrales (bis auf einen Factor, der besonders bestimmt wird), zu erhalten, hat man nur die Zahl der Umdrehungen des Integrationsrädchens abzulesen, was vermittelt einer Teilung auf dem Rädchen und zweier Zähl-scheiben bis auf 5 Stellen gesehen kann.

Herstellung des verlangten Verhältnisses zwischen U, V, W .

Hierzu Fig. 3, welche eine Seitenansicht der vorderen Teile darstellt. Um die Bedingung $W = nV$ zu erfüllen, ist auf der Walzenaxe ein Stahlrad mit dem Radius s angebracht. Dieses liegt auf der oberen, ebenen, horizontalen Fläche eines Eisenringes T auf, der mit der Constructionsaxe concentrisch ist und sich um diese mit der Winkelgeschwindigkeit R dreht. Der Abstand des Auflagepunktes von der Constructionsaxe sei S . Dann wird vermittelt des Rades s der Walze die Rotationsgeschwindigkeit V' erteilt, die der relativen Geschwindigkeit $R - W$ des Ringes in Bezug auf die Walzenaxe proportional ist, $V' = S/s (R - W)$. V' steht in constantem Verhältnis zu V und zwar wählt man meistens $V' = 4V$. Aus der Bedingung $W = nV$ folgt also eine Bedingung für das Verhältnis von R und W . Dieser in *praktischer Weise* zu genügen, war die eigentliche Schwierigkeit bei dem Bau der Maschine.

Es sind an der Constructionsaxe 2 verschiedene Systeme beweglicher Teile zu unterscheiden, ein *inneres* und ein *äusseres*, mit den bez. Rotationsgeschwindigkeiten W und R . Zu dem inneren gehört die Walze mit dem Stahlrad s , die Stahlaxe A und auf dieser befestigt das Rad r_1 , zu dem äusseren der Ring T , das „Übertragungsrad“ O , die Kapsel K , welche r_1 umschliesst. An K und O ist ein Gehäuse H befestigt, in welches ein Rollenpaar (r_3, r_4) mit gemeinsamer Axe a eingeschoben werden kann; r_4 legt sich gegen r_1 , r_3 gegen den feststehenden Klotz G , der ein Rad r_2 repräsentirt. In dem Klotz befindet sich die Kernspitze, auf der die äusseren Teile laufen. Die Spitze der Axe A für die inneren

Teile liegt auf der Basis von K auf. Dem äusseren System wird nun die Winkelgeschwindigkeit R primär erteilt. Weil sich r_3 gegen das feste Rad r_2 anlegt, kommt ausserdem eine Drehung des Rollenpaares um die Axe a mit der Winkelgeschwindigkeit $R \frac{r_2}{r_3}$ zu Stande. Weil sich ferner r_4 mit dem beweglichen Rad r_1 berührt, wird diesem und gleichzeitig dem gesamten inneren System eine Winkelgeschwindigkeit $W = \left(1 - \frac{r_4 r_2}{r_3 r_1}\right) R$ erteilt. Man kann nun die Grösse von r_3 und r_4 so bestimmen, dass das oben erwähnte Verhältnis zwischen W und R stattfindet. Die Bestimmung

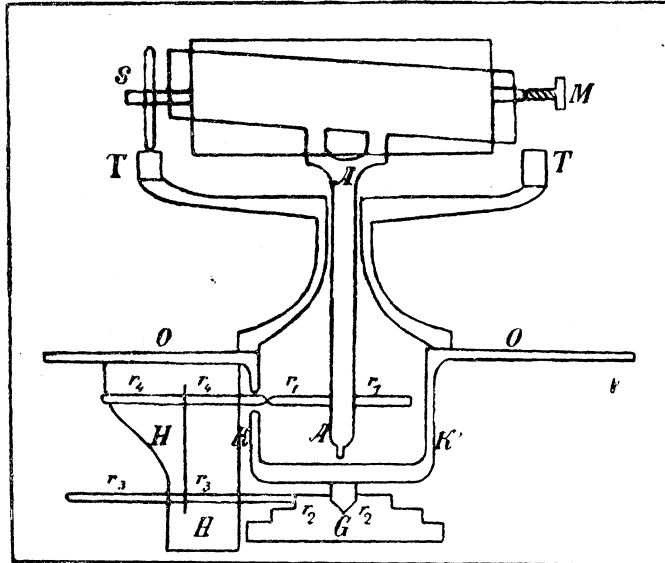


Fig. 3.

fällt verschieden aus für die verschiedenen Glieder der Reihe, deshalb ist dem Gehäuse H für jedes Glied ein neues Rollenpaar einzufügen. Damit die Dimensionen aller Rollenpaare in passenden Grenzen bleiben, musste dem Klotz G eine terrassenförmige Gestalt gegeben werden, so dass 3 verschiedene Räder r_2 zur Verfügung stehen. Die Grösse von r_1 ist ein für alle Mal fest. Die Herstellung der Räder wird erleichtert und die Genauigkeit vergrössert durch den wichtigen Umstand, dass man im Stande ist, bei gegebenen Radien r_1, r_2, r_3, r_4 das Verhältnis $W : V$ innerhalb gewisser Grenzen beliebig zu variiren und somit auf den erforderlichen Wert n zu bringen, dadurch, dass man den Abstand S des Rades s von der Constructionsaxe verändert, indem man die Walze mittelst der Mikrometerschraube M in Richtung ihrer Axe verschiebt.

Ausserdem war verlangt, dass die Winkelgeschwindigkeit Ω der Integrations Scheibe proportional sei zu V oder, was dasselbe ist, zu R . Um dieses zu erreichen, ist an der Integrationsaxe ein Rad, das „zweite Übertragungsrad“ befestigt, welches sich gegen das erste Übertragungsrad O anlegt. Dann verhalten sich U und R wie die Radien der Übertragungsräder.

Bei sämtlichen Geschwindigkeitsübertragungen, von denen die Rede war, kommen *Reibungsräder* und nicht *Zahnräder* zur Anwendung. Zahnräder, welche ebenso genau arbeiten, wie gedrehte Reibungsräder, würden ausserordentlich kostbar sein und höchst wahrscheinlich ihre Genauigkeit bald einbüßen. Andererseits wurde vor der Anwendung der Reibungsräder festgestellt, dass dieselben tadellos functioniren, wenn 1. der Druck, mit dem sie aneinandergespresst werden, genügend gross und 2. der Widerstand, der sich ihrer Bewegung entgegensetzt, genügend klein ist. Diesen Bedingungen musste überall Rechnung getragen werden. So werden die beiden Übertragungsräder durch eine Feder aneinandergespresst; eine andere Feder drückt das Rollenpaar (r_3, r_4) gegen die Räder r_1, r_2 . Die zweite Bedingung eines geringen Widerstandes wird bei der Genauigkeit, mit welcher die Maschine gearbeitet und justirt ist, und der geringen Geschwindigkeit, mit welcher sie gedreht wird, von selbst erfüllt.

Gebrauch der Maschine.

Zur Orientirung dient Figur 4. Auf derselben erblickt man links ein Uhrwerk mit Gewichten, welches die Maschine in Bewegung setzt. Zwar ist eine gleichmässige Geschwindigkeit der Bewegung theoretisch nicht erforderlich, da immer nur die Verhältnisse von Geschwindigkeiten in Frage kommen, aber praktisch dennoch wünschenswert, weil die schweren Metallmassen zu träge sind, um plötzliche Geschwindigkeitsänderungen fehlerfrei mitzumachen. Der Arbeitende befindet sich nicht unmittelbar an der Maschine, sondern beobachtet durch ein Fernrohr in der Entfernung von 3 m. Hierdurch wird einmal die Bequemlichkeit ausserordentlich vermehrt, andererseits werden parallaxtische Fehler bei der Einstellung des Schiebers vermieden. Über dem Faden des Schiebers befindet sich ein Spiegel, in welchem der Beobachter das Bild der Walze und der beiden Fäden erblickt. Seine Aufgabe ist es, den Schnittpunkt der Fäden beständig auf die Curve einzustellen. Zu diesem Zwecke dreht er mit seiner Rechten eine Kurbel, durch die vermittelt einer Uebertragungsstange und einer Schraube der Schieber bewegt wird. Eine Schnur zu seiner Linken führt zu einer Bremse des Uhrwerks. Durch diese kann das Uhrwerk angehalten oder sein Gang verlangsamt werden. Das letztere ist wichtig, wenn die Curve sehr steile Partien hat oder gar un stetig verläuft, so dass es bei unverminderter Geschwindigkeit derselben zu folgen schwierig bez. unmöglich wäre.

Als ein Vorzug der Maschine darf es angesehen werden, dass die

Aufzeichnung der Curve mit der Maschine selbst geschehen kann, ohne dass es nötig wäre, neue Hilfsmittel zu benutzen. Zu diesem Zwecke wird die Walze in der Z-Richtung festgestellt, in gleicher Richtung ein Masstab an dem Gestell der Maschine angebracht. Auf dem Schieber befindet sich eine Marke, welche sich gegen den Masstab anlegt; man stellt mit dieser die Y-Coordinate des zu zeichnenden Curvenpunktes ein. Für die Einstellung der X-Coordinate wird das Übertragungsrad O benutzt, auf dem eine Teilung angebracht ist. Dreht man dieses um einen Scalenteil vorwärts, so bewegt sich die Walze um ein bestimmtes entsprechendes Stück. Der an dem Schieber befestigte Zeichenstift ist eigentümlich construirt. Er ist in einer Hülse drehbar und wird durch eine Feder von der Walze abgehoben. Will man einen Curvenpunkt markiren, so drückt man den Stift herunter und erteilt ihm eine Rotation um seine

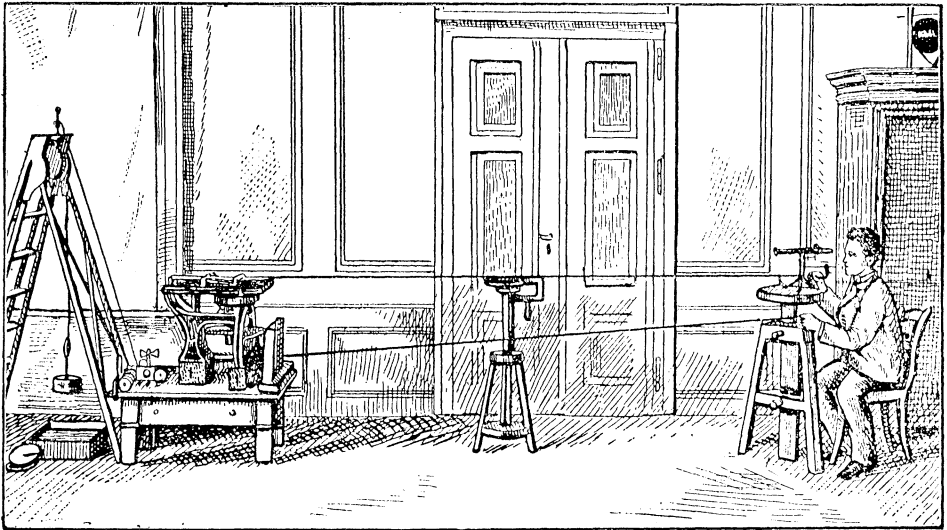


Fig. 4.

Axe. Er wird im Allgemeinen einen kleinen Kreis zeichnen, dessen Mittelpunkt in jedem Falle den richtigen Punkt darstellt. Auf diese Weise werden Fehler wegen excentrischer Lage des Stiftes oder ungleichmässiger Abnutzung der Spitze mühelos vermieden. Mehr noch würden ins Gewicht fallen Fehler, welche durch Verzerrung oder Verbiegung des Papiers hervorgerufen werden müssten, wenn man die Zeichnung etwa auf dem Reisbrette ausführen und das Papier nachträglich auf die Walze bringen wollte. Diese sind bei der beschriebenen Methode von vorn herein ausgeschlossen.

Ist die Curve aufgezeichnet, so kann man zur Coëfficientenberechnung schreiten. Man setzt zunächst das zu dem betreffenden Gliede gehörige Rollenpaar ein, giebt der Mikrometerschraube die entsprechende ein für alle Mal bestimmte Stellung, regulirt die Anfangslage der Walze und zwar in verschiedener Weise, je nachdem ein Sinus- oder Cosinuglied berechnet werden soll; endlich liest man die Stellung des Integrationsrädchens vor und nach der Integration ab; die Differenz der Ablesung ergibt bis auf einen Factor den gesuchten Coëfficienten.

Was die Justirung betrifft, so ist es nur nötig, die folgenden 3 Axen: die Integrationsaxe, die Drehungsaxe des oben beschriebenen äusseren und die des inneren Systemes parallel zu stellen, die beiden letzteren Axen zu centriren und die Schienen zu reguliren, zwischen denen der Schieber gleitet. Dagegen ist es z. B. nicht nötig, dass die Axe der Walze und der Kreis $y = 0$, wie der Einfachheit der Beschreibung wegen angenommen wurde, durch die Constructionsaxe hindurchgeht, ein Umstand, welcher bei der Einrichtung der Mikrometerschraube benutzt ist; auch ist die genaue Lagerung des Planimeterrädchens gleichgültig.

Um von der *Genauigkeit* ein richtiges Bild zu erhalten, fasse man die Integrationszahlen geometrisch als Amplituden der betreffenden Sinus-(Cosinus-) Function auf. Sie lassen sich dann in Millimetern angeben und zwar liegt ihr Wert bei den Dimensionen der Maschine zwischen 0 und 100 mm. *Der Fehler ist dabei stets kleiner als $\frac{1}{10}$ mm.* Eine etwaige Ungenauigkeit in der Bewegung des Räderwerkes ist an einem Teilkreise zu erkennen. Dieselbe wird durch Interpolation zwischen 2 Beobachtungen leicht herausgeschafft.

Unterschiede mit Sir W. Thomson's Harmonic Analyser.

Dieselben bestehen hauptsächlich in folgenden Punkten: a) Während bei dieser Maschine die einzelnen Glieder nacheinander berechnet werden, liefert die Thomson'sche Maschine die Coëfficienten gleichzeitig. Der dadurch erzielten grösseren Schnelligkeit steht allerdings eine bedeutende Complication des Baues gegenüber. Denn es sind dort gewissermassen so viel besondere Integrirmaschinen nebeneinander gesetzt, als Coëfficienten bestimmt werden sollen. b) Thomson wendet die Cylinder-Kugel-Integratoren J. Thomsons und nicht das Planimeterrädchen an, weil das Gleiten des Rädchens in der zu seiner Ebene senkrechten Richtung zu Fehlern Veranlassung gebe. Die hier benutzte Einrichtung wird von diesem Vorwurf wohl nicht getroffen, weil die gleitende Bewegung des Rädchens gegen die rollende bedeutend zurücktritt, was durch passende Wahl des Durchmessers der Übertragungsräder möglich war. c) Thomsons Analysator wertet die Glieder bis zu $n = 3$ aus, hier ist diese Beschränkung bei Herstellung der nötigen Rollenpaare nicht vorhanden. d) Thomson benutzt bei Geschwindigkeitsübertragungen Zahnräder, hier sind principiell Reibungsräder eingeführt worden.

(A. Sommerfeld.)

Zum Instrument von Sommerfeld und Wiechert.*)

Dies Instrument unterscheidet sich wesentlich von den bisher beschriebenen. Die Integration wird durch eine Amsler'sche Registrirrolle bewirkt, welche auf einer geschliffenen Glasplatte läuft. Zugleich ist das Gleiten dieser Rolle möglichst vermindert. Der von Sir Wm. Thomson gerügte Fehler dieser Rollen wird jedenfalls nur sehr gering sein.

Die Curve $y = f(x)$ ist auf einen Cylinder verzeichnet. Die Zerlegung von y geschieht hier nicht durch eine harmonische Bewegung, sondern dadurch, dass sich der Cylinder während einer Umdrehung um seine Axe zugleich um eine zur letzteren senkrechte Axe dreht.

Das sinnreiche, vorstehend genau beschriebene Instrument wird unzweifelhaft grosse Genauigkeit geben. Es erfordert aber für jeden Coefficienten A_n und B_n ein besonderes Durchlaufen der Curve. Dieses dürfte für eine specielle Untersuchung im physikalischen Laboratorium von geringer Bedeutung sein. Handelt es sich aber darum, eine grosse Anzahl von Curven zu analysiren, so ist dies ein wesentlicher Nachtheil. Im meteorologischen Institut in London sind für den Zeitraum von zwölf Jahren die täglichen barometrischen und thermometrischen Curven analysirt und zwar bis zu den Gliedern $n = 3$. Mit dem Instrumente von Sommerfeld und Wiechert wäre also die Arbeit siebenmal so gross.

Es mag hier noch bemerkt sein, dass Thomson's Analysator, wie er in der Metereological Office ausgeführt ist, Vorrichtungen besitzt, um durch Einschalten von Rädern auch höhere Coefficienten als die für $n = 3$ zu bestimmen.

Im Vergleich mit den von mir (Nr. 90) angegebenen Analysatoren, die allerdings nur im ersten Modell hergestellt sind, ist hervorzuheben, dass mein Bestreben dahin ging, ein Instrument zu schaffen, welches billig, transportabel und leicht zu handhaben ist, welches also namentlich für technische Zwecke dienlich wäre, wo es auf äusserste Genauigkeit nicht ankommt. In dieser Beziehung dürfte die Construction von Wm. Sharp sich besonders auszeichnen, welche ich in kurzer Zeit ausgeführt zu sehen hoffe. Es wird in Grösse und Handlichkeit einem Amsler'schen Integrator oder einem Coradi'schen Integraphen gleichkommen und wie diese auf das Reissbrett gelegt, auf dem die Curve gezeichnet ist.

An Genauigkeit wird es aber wohl von dem Instrumente von Sommerfeld und Wiechert erheblich übertroffen werden.

(O. Henrici.)

*) Wir schalten hier eine uns von Herrn *Henrici* im Nachtrag zu seinem im I. Teile des Kataloges veröffentlichten Aufsätze zugehende Note ein.

Die Redaction.

92 Integrator zur numerischen Auswertung des elektromagnetischen Punkt-Potentials, von stud. phys. J. Schütz in München.

Sei mit S irgend eine geschlossene Strombahn, mit P ein Punkt ausserhalb derselben und mit V das magnetische Potential eines die Strombahn S mit der Intensität I durchfliessenden elektrischen Stromes im Punkte P bezeichnet, so ist $V = k\Phi$, wo k eine Constante, und Φ ein Integral bedeutet, dessen analytische Auswertung nur in vereinzelten speciellen Fällen möglich ist. Doch hat dieses Integral bekanntlich eine sehr einfache geometrische Bedeutung; legt man nämlich durch den Punkt P und irgend einen Punkt A der Strombahn eine Gerade PA, und lässt diese längs der Leitlinie S einen Kegelmantel erzeugen, so schneidet dieser aus einer um den Punkt P mit dem Radius 1 geschlagenen Kugeloberfläche eine Calotte heraus, deren Flächeninhalt dem Φ proportional, oder — bei passender Wahl der Constanten k — geradezu gleich ist.

Sei B ein dem Punkte A unendlich benachbarter Punkt auf S, ferner PM eine ganz beliebig durch P gelegte feste Gerade, so werden die drei Geraden PM, PA und PB die oben definierte Einheits-Kugeloberfläche in drei Punkten M', A', B' durchstossen, welche ein sphärisches Dreieck von der Grösse $d\Phi = p d\alpha$ bestimmen, wenn $d\alpha$ der Winkel ist, den die Ebenen PMA und PMB einschliessen und p die Projection des Kreisbogens M'A' auf PM ist. Die gesamte Calotte wird somit sein:

$$\Phi = \int_0^{2\pi} p d\alpha,$$

wobei p im Allgemeinen von Punkt zu Punkt variirt. Es sei noch der Fusspunkt der Projection der PA' auf PM' mit N bezeichnet, so dass $p = M'N$ ist. Beim vorliegenden Apparate nun ist PA' die optische Axe eines Fernrohres; PM' ist die Axe eines cylindrischen Stabes; in einer spangenartigen Durchbrechung dieses Stabes ruht das Fernrohr so, dass es in der Ebene M'PA' um den Punkt P drehbar ist. Das Fernrohr, beziehungsweise eine halbhülsenförmige Verlängerung desselben trägt im Punkte A' ein Stäbchen A'N. Der Stab PM' trägt eine auf ihm verschiebbare Kreisscheibe, deren Ebene normal auf PM' steht. An dieselbe ist möglichst nahe ihrem Mittelpunkte ein Röhrchen angelötet. Durch dieses Röhrchen nun ist das Stäbchen A'N hindurchgesteckt. Letzteres ist somit gezwungen, bei jeder Lage des Fernrohres normal zur Axe PM' zu bleiben. Genau unterhalb M' befindet sich eine zweite horizontale Kreisscheibe derart, dass sich die oben erwähnte verticale Scheibe auf ihr mit Friction bewegt. Diese Scheibenvorrichtung, welche der Verfertiger auf eine im math. Seminar der Herren Proff. Dyck und Finsterwalder erhaltene Anregung hin getroffen, ge-

stattet, das Resultat direct, ohne Verwendung eines eigenen Planimeters, abzulesen. Hierzu braucht nur die horizontale Scheibe mit einer Einteilung und einem fixen Zeiger versehen zu sein. Man justirt den Apparat so, dass der Durchschnittspunkt des Ocular-Fadenkreuzes mit dem Aufpunkte P zusammenfällt. Hierauf sucht man mittelst des Fernrohres die ganze Strombahn S ab. Unsicherheit in der Führung des Fernrohres hat auf das Resultat keinen Einfluss. War zu Anfang der Zeiger auf 0 gestellt, so zeigt er zum Schlusse die Zahl an, welche dem Werte Φ zukommt.

(J. Schütz.)

- 93 Modell des Reitz'schen Ebbe- und Flutintegrators**, ausgestellt von der **Seewarte Hamburg**, Director Geh. Adm. Rat **Neumayer**

Dieser Integrator ist auf Helgoland, in Cadix und Marseille in Thätigkeit. Das Modell besitzt keine Vorrichtung zum Registriren der Fluterscheinungen.

- 94 Modell für das Princip des Seeweg-Integrators**, construit von **Reitz** in Hamburg, berechnet und ausgestellt von Prof. **H. Schubert**, Johanneum Hamburg.

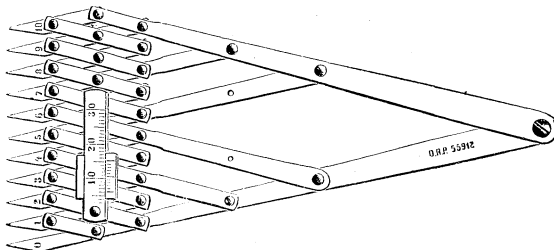
Eine Beschreibung befindet sich beim Modell.

II. Abteilung.

Geometrie.

H. Zeichenapparate.

- 95 **Teilungsmasstab**, D. R.-P. Nr. 55912, Zusatz 2726, von **Fr. Adami** in Bayreuth, ausgestellt von **J. Friedmann**, Bayreuth.



Das Instrument ist in erster Linie zum Teilen von Strecken bestimmt, kann aber in gewissem Umfange auch als Masstab, Winkelmesser, Lineal und Zirkel benützt werden.

Die Einrichtung und der Gebrauch beim Teilen einer gegebenen Strecke in eine Anzahl gleicher Teile erhellen aus obiger Abbildung. Eine auf der Mittellinie der Parallelogramme angebrachte Scala mit Nonius dient zum Ablesen der Länge irgend einer zwischen die Endspitzen gefassten Strecke. Mit einer der beiden Führungsstangen ist ein Transporteur verbunden.

(F. Adami.)

- 96 **Zirkeleinsatz für Winkeldrittung und Winkelconstruction**, von Hauptmann **Hermes** in Berlin, ausgeführt in der Fabrik mathematischer Instrumente von **C. Riefler**, München, Nesselwang.

Die Vorrichtung, Fig. 1, besteht aus dem Einsatzstück DE, welches zum Einsetzen in einen Zirkel dient und dem Gabelstück BC. Letzteres ist mit dem Einsatzstück bei E durch einen Stift derart verbunden, dass die Spitzen B und C bei jeder Öffnung des Zirkels (durch Aufstellen auf das Papier) mit der Zirkelspitze A in eine gerade Linie gebracht werden können.

Um einen beliebigen, unter 120 Grad betragenden Winkel NAP zu dritteln (Fig. 2), trägt man auf dem Schenkel AN die Entfernung BC des Instrumentes gleich AM ab, schlägt mit AM um M einen Kreis, bezw. Bogen und zieht MQ parallel AP. Dann setzt man die Zirkelspitze A

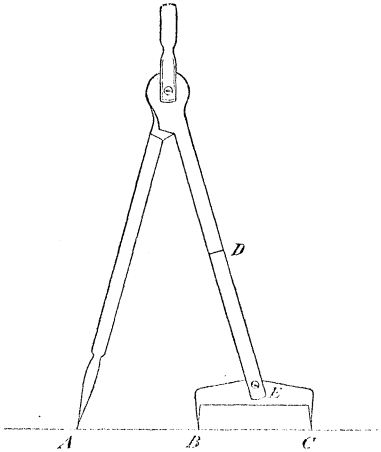


Fig. 1.

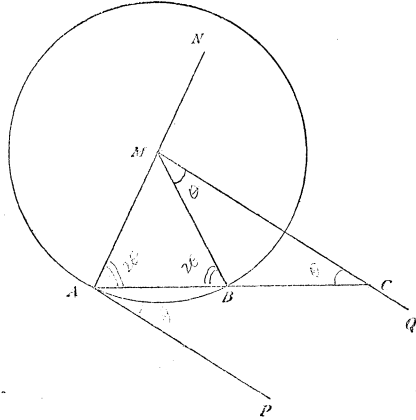


Fig. 2.

in A ein und bewegt das Gabelstück schleppend mit der Spitze C auf MQ, bis die Spitze B auf dem Kreisumfange steht. AC ist dann die Drittelungslinie des Winkels NAP.

Beweis. Man ziehe den Halbmesser MB, dann ist

$$\sphericalangle PAC = ACM = CMB = \frac{1}{2} MBA = \frac{1}{2} MAC \\ \text{oder} = \frac{1}{3} NAP.$$

(Hermes.)

97 Zirkel mit vier Spitzen nach Fiorini-Vergnano, ausgestellt von Ingenieur P. Fiorini, Turin.

98 Zwei Zeichenapparate, Fernpunktlineal und Grosskreiszirkel, von H. Wiener, Privatdoc., Univ. Halle a. S.

1. Fernpunktlineal.

Löst die Aufgabe: Nach dem unerreichbaren Schnittpunkte zweier gegebener Geraden sollen durch gegebene Punkte Gerade gelegt werden.

2. Grosskreiszirkel.

Löst Aufgaben, wie:

Durch drei gegebene Punkte soll ein Kreis gelegt werden, wenn auch der Mittelpunkt unzugänglich ist.

Durch zwei gegebene Punkte ist ein Kreis von gegebenem sehr grossen Radius zu zeichnen.

(H. Wiener.)

- 99** **Perspectivlineal (Fluchtpunktschiene)**, construirt vom **Aussteller** im Jahre 1890, hergestellt von der Firma **J. Schröder** in Darmstadt. Prof. **Mehmke**, techn. Hochschule Darmstadt.

Dieses Instrument dient zum Ziehen gerader Linien nach ausserhalb der Zeichenfläche liegenden, nicht mit dem Lineal erreichbaren Punkten und bildet eine neue Form des bereits vor dem Jahre 1814 von *Peter Nicholson* erfundenen „Centrolineals“, das von *Streckfuss* wieder gefunden und 1865 von ihm unter dem Namen „Fluchtpunktschiene“ beschrieben worden ist. Es beruht auf dem Satze, dass, wenn in der Ebene zwei von drei sich in einem Punkte schneidenden, starr mit einander verbundenen, bewegten Geraden durch feste Punkte gehen, auch die dritte durch einen festen Punkt läuft und besteht demgemäss aus drei durch einen Bolzen verbundenen und um diesen drehbaren Linealen, der Zeichenschiene und zwei Leitschienen, welche mittelst einer Flügelschraube gegenseitig festgestellt werden können.

Neu ist an dieser Construction: 1) dass die festen Stützpunkte der Leitschienen nicht durch leicht sich verbiegende Nadeln oder dünne Stifte, sondern durch Messingcylinder von 1 cm Durchmesser dargestellt und dementsprechend zur Wahrung der geometrischen Richtigkeit die Kanten der Leitschienen um 0,5 cm parallel verlegt sind; 2) dass nach dem Übergang von einem rechts liegenden unzugänglichen Punkte zu einem links liegenden oder umgekehrt durch eine bequem ausführbare Umstellung die nun oben liegende Kante der Zeichenschiene Zeichenkante wird (d. h. durch die Axe des Bolzens geht), was dadurch erreicht ist, dass der Bolzen nach dem Lösen der Flügelschraube durch einen Schlitz im Kopfe der Zeichenschiene aus der ersten Lage in eine zweite gebracht werden kann, wobei die beiden Kanten der Zeichenschiene ihre Rollen vertauschen; 3) dass es durch Anbringung von Teilungen an den Kanten der Zeichenschiene ermöglicht ist, das Instrument unmittelbar auf einen unzugänglichen Punkt einzustellen, der in bekannter Richtung und Entfernung von irgend einem Punkte der Zeichenfläche sich befindet.

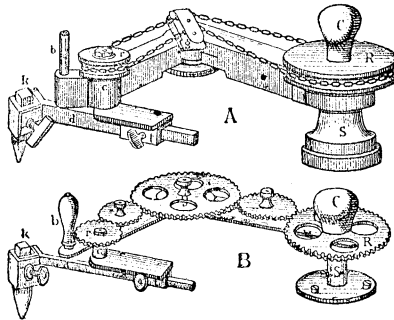
(Mehmke.)

- 100** **Ellipsenzirkel**, nach Angabe von Prof. **K. Rohn**, a. d. techn. Hochschule Dresden.

Derselbe beruht darauf, dass eine Strecke sich mit ihren Endpunkten auf zwei senkrechten Geraden bewegt. Statt der Punkte sind grosse Kreisscheiben benutzt, die in zu einander rechtwinkligen Rahmen geführt werden.

- 101** **Zwei Ellipsographen** von **P. C. Braun** S. J. in Mariaschein (Ungarn), verfertigt und ausgestellt von **A. Kreidl**, Fabrik physikalischer Apparate in Prag.

Der Ellipsograph, welcher in Fig. A in einer einfacheren, in B in der vollkommeneren Form dargestellt ist, besteht im Wesentlichen aus einem

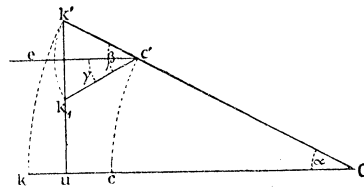


centralen Ständer S, mit der Axe C und einem um diesen beweglichen knieförmigen Führungsarm Cgc, dessen Kniewinkel durch eine im Knie angebrachte Klemmschraube auf eine bestimmte Grösse eingestellt werden kann. Concentrisch zu C und am Ständer fest, sitzt ein Rad (oder Scheibe) R und centrisch zu c ein Rädchen r, deren Halbmesser genau im

Verhältnis 2:1 stehen. Das Rädchen r sitzt fest auf einer, durch den Führungsarm gc hindurchgehenden drehbaren Axe, die unterhalb des letzteren die Zeichenvorrichtung trägt. Diese besteht zunächst aus einer länglichen, rechtwinkligen Platte, welche an derselben Axe c festgenietet ist und ein Hohlprisma von rechteckigem Querschnitt trägt, in welchem das den Zeichenstift tragende Stäbchen verschoben und in geeigneter Entfernung festgeklemmt werden kann.

Die beiden Räder (bzw. Scheiben) R und r stehen so in einer mechanischen Verbindung, dass die Drehung des einen auf dem anderen fortgeleitet wird. Diese Verbindung ist in Fig. A durch eine geeignete Kette bewirkt, welche über das Knie g geleitet wird. In Fig. B erscheint die erforderliche Verbindung durch Zahnräder hergestellt.

Dass bei dieser Verbindung der Zeichenstift eine Ellipse beschreibt, folgt entweder aus bekannten Sätzen über die Bewegung der Ebenen des grossen und kleinen Cardankreises gegeneinander, kann aber in elementarer Weise auch aus Folgendem entnommen werden (Vergl. die Hilfsfigur). Wird der (knieförmige) Zeichenarm Cc mit dem Stifthebel ck aus der Anfangsposition um den Winkel α gedreht, so hat sich der Stifthebel ck,



vermöge der oben beschriebenen Übertragung der Drehung in entgegengesetzter Richtung um $\beta = 2\alpha$ gedreht. Es ist somit die Ordinate $uk = (Cc' - c'k') \sin \alpha$, während die Kreisordinate $uk' = (Cc' + c'k') \sin \alpha$ ist, so dass beide Ordinaten, wie nachzuweisen war, ein constantes Verhältnis haben. (Man vergl. hiezu auch den unter Kinematik in Abteilung III ausgestellten, auf demselben geometrischen Princip beruhenden, jedoch anders ausgeführten Ellipsographen von Slaby.)

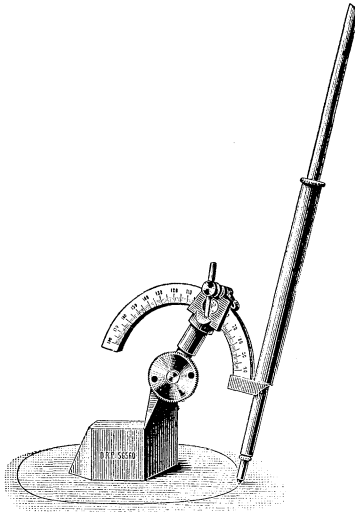
(P. C. Braun.)

102 Kegelschnittzirkel, nach Angabe von Oberlehrer **Hildebrandt**, Braunschweig (D. R. P. 56560) ausgeführt und ausgestellt von **O. Günther**, Mechaniker an der techn. Hochschule zu Braunschweig.

Der Kegelschnittzirkel von Dr. Hildebrandt beruht auf dem Dandelin'schen Satze:

„Schneidet man einen Umdrehungskegel durch eine Ebene und construirt diejenigen beiden Kugeln, welche Kegel und Ebene zugleich berühren, so sind die Punkte, in denen die Ebene von den Kugeln berührt wird, die Brennpunkte des betreffenden Kegelschnittes.“

Die schneidende Ebene wird vom Zeichnungsblatt dargestellt, der Kegel vom Instrument dadurch erzeugt, dass um eine feste Axe ein stabförmiger, in einer Hülse verschiebbarer, und durch sein Gewicht immer auf der Zeichenebene aufsitzender Zeichenstift in constanter Neigung zur Axe rotirt. Die Kegelaxe selbst ist um einen mit dem Fusse des Instrumentes fest verbundenen Punkt in einer Ebene verstellbar und

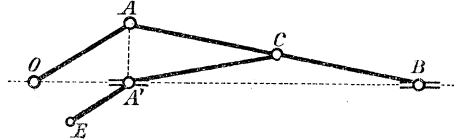


trägt in unveränderlichem Abstand ein mit Fixirschraube versehenes Hohlprisma, durch welches ein wieder verstellbarer, kreisbogenförmiger, mit Gradteilung versehener Bügel läuft, der tangentiell die Hülse des Zeichenstifts trägt. Durch Combination der Möglichkeiten, die Axenrichtung und den am Bügel ablesbaren Axenwinkel zu verändern, kann man schliesslich jeden gewünschten Kegelschnitt innerhalb gewisser, durch das Modell gegebener Dimensionen hervorbringen. Der Abstand des Justirpunktes der Kegelaxe ist so gewählt, dass dessen am Fusse markirte Projection den einen Brennpunkt des zu zeichnenden Kegelschnitts sofort darstellt. Man vgl. im Übrigen den dem Modelle beigegebenen Prospect. Der Preis des Instrumentes beträgt 36 Mk.

(Kleiber.)

103 Elliptograph nach Burstow, ausgeführt und ausgestellt von **W. F. Stanley**, London.

Dieser Elliptograph beruht auf einer Ausführung des folgenden Gedankens: Ist OA ein um O in Bewegung befindliches Glied, und zieht man jeweils durch den Fusspunkt A' der von A auf eine durch O gezogene Axe gefällten Senkrechten zu OA parallel eine Linie $A'E$ von fest gewählter Länge, so beschreibt E eine Ellipse.



Der Fusspunkt A' wird in bekannter Weise dadurch erhalten, dass man ein in A befestigtes erstes Hilfsglied AB mit dem Ende B und ein um den Mittelpunkt C von AB drehbares zweites Hilfsglied CA' von der Länge $\frac{1}{2} AB$ mit seinem Endpunkt A' auf der Axe gleiten lässt. — Die Parallelführung der Glieder $A'E$ und OA wird nicht kinematisch durch einzuschaltende Parallelelogramme, sondern praktisch durch Legung einer Kette über $A CA'$ besorgt. Die Längen OA und $A'E$ des Instrumentes sind veränderbar. (Man vergl. *Math. Drawing and measuring instruments etc.* von **W. F. Stanley**, London).

(Kleiber.)

104 Cymograph, von Prof. **Willis**, ausgeführt und ausgestellt von **W. F. Stanley**, London.

Der Apparat bezweckt, eine vorgegebene Zeichnung oder die Contur eines Gesimses etc. in wahrer Grösse, aber gegen die Position des Originals parallel verschoben erscheinend, wiederzugeben. Kinematisch erledigt sich die Lösung des Problems durch einen Apparat, der aus zwei Gelenkparallelogrammen mit gemeinsamer Seite a besteht. Hält man von den zwei zu a noch parallelen Gliedern das eine fest und beschreibt mit einem Punkte A des andern die Originalfigur, so wird jeder Punkt B desselben Gliedes eine mit dieser congruente und entsprechend verschoben erscheinende Zeichnung liefern. — (Man vergl. *Math. Drawing and measuring instruments, etc.* von **W. F. Stanley**, London.)

(Kleiber.)

105 Serie von Ellipsen, als Curvenlineale zu gebrauchen, von **W. F. Stanley**, London.

106 Apparat zur Erzeugung einer Cykloide, von **M. Spott**, Reallehrer in Neustadt a. H.

Um eine Cykloide zu erzeugen, wird ein dünner Metallstab an einer Schultafel befestigt. Längs desselben wird mittels eines Handgriffes eine kreisförmige Metallscheibe bewegt, wobei an einer der Peripherie

nahen Stelle ein Stück Kreide federnd angebracht ist. Um eine Epicykloide bezw. Hypocykloide darzustellen, wird genannte Scheibe über einen aus dünnem Metalle bestehenden und an der Schultafel zu befestigenden Kreisring geführt und zwar im ersten Falle auf der convexen, im zweiten auf der concaven Begrenzung. (Preis incl. Verpackung 25 M.)

(M. Spott.)

107 Zwei Cykloidenapparate, von Ingenieur **K. A. Mayer** in Einbeck (Hannover).

Der erste Apparat dient zur mechanischen Erzeugung der Hypocykloiden, der zweite (nur in Zeichnung dargestellt) zur Erzeugung der Epicykloiden.

Man vergl. hierzu noch die in Abteilung III unter Kinematik aufgeführten Apparate zur mechanischen Erzeugung ebener und sphärischer Curven.

108 Perspectograph von **M. Stühler** (D.R.P. 63199 und 2960), verfertigt und ausgestellt von **J. Herrmanstörfer** in Nürnberg.

Der Apparat ist zum Entwerfen von Perspectiven bestimmt und von denkbar einfachster Art. Ein Gummifaden, am einen Ende am Zeichenbrett in entsprechender Lage zu befestigen, trägt am andern Ende den Zeichenstift. Längs des Fadens ist eine Perle angebracht, zum Einstellen des gewünschten Abbildungsverhältnisses verschiebbar. Das Auge folgt von fester Visiröffnung aus den Contouren des abzubildenden Gegenstandes; dabei wird der Zeichenstift so auf der Zeichnungsebene geführt, dass die Perle stets in der Visirlinie sich befindet.

Eine als „Präcisionszeichner“ bezeichnete Ausführung des Apparates hat doppelten Faden und noch einige weitere, der genaueren Einstellung und Führung dienende Vorrichtungen.

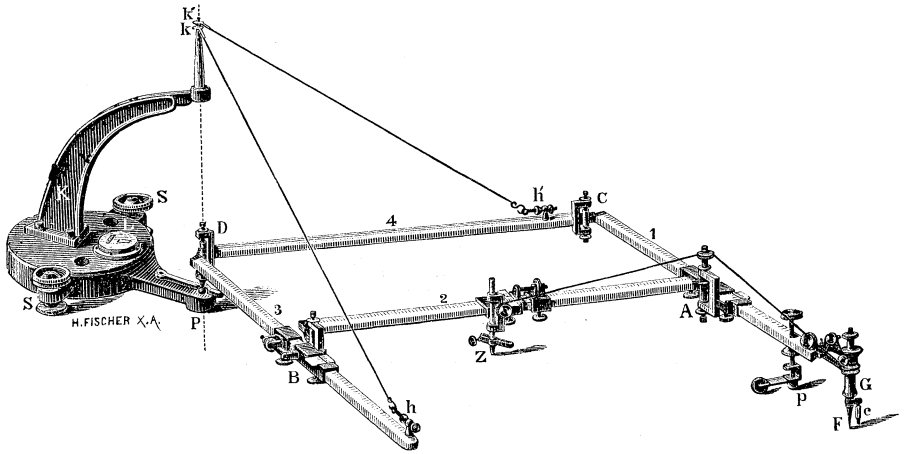
(Dyck.)

109 Freischwebender Pantograph, construiert und ausgeführt von **A. Ott**, **Math. mech. Institut** in Kempten.

Bez. der näheren Angaben sei auf den *Specialkatalog* von *A. Ott* verwiesen.

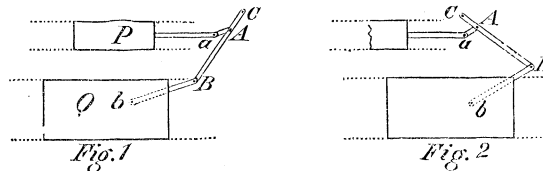
110 Freischwebender Präcisionspantograph, construiert und ausgeführt von **G. Coradi**, Zürich.

(Pantograph Nr. III des Kataloges von G. Coradi (1891). Bezüglich der näheren Details dieser Pantographen, sowie der Verkaufspreise sei auf den genannten *Katalog* verwiesen. (Abbildung siehe nächste Seite.)

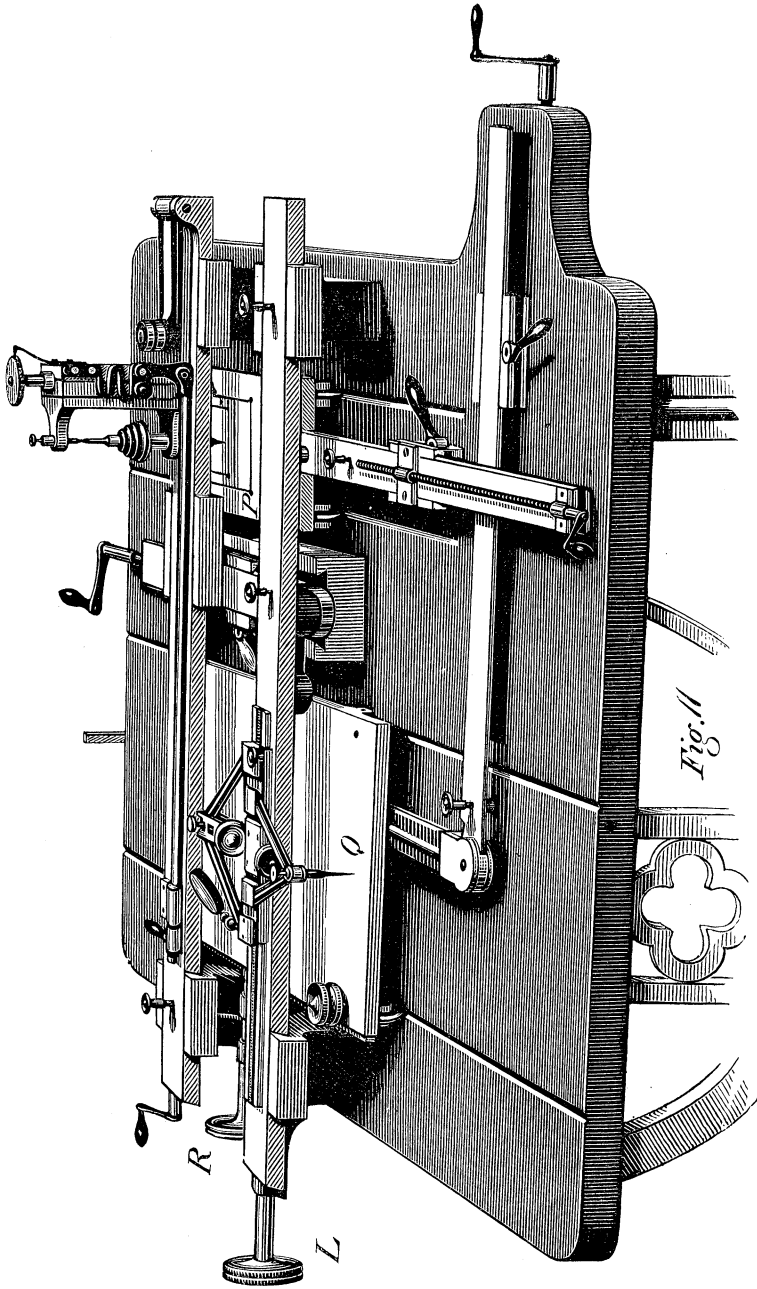


111 **Pantograph, zur Reduction gegebener Figuren nach Länge und Breite** von **F. Galton**, in London, ausgeführt von **Beck**, London.

Der Apparat dient dazu, eine vorgegebene Zeichnung in 2 zu einander senkrechten Richtungen nach verschiedenem Masstab direct oder invers zu verjüngen. Er beruht im Wesentlichen auf folgendem elementaren Satze: (vergl. die aus den Aufsätzen Galtons im Report of the Meteorological committee of the R. S. 1869, 1870, auf die überhaupt wegen Beschreibung der näheren Details verwiesen sei, übernommenen Fig. 1 und 2): „Sind die Punkte a und b zweier Platten P und Q, welche (durch



Schienen) gezwungen sind, sich parallel zu bewegen, so durch Stäbe aA und bB mit einem um C drehbaren Arm CAB verbunden, dass in einer Position der Platten die Dreiecke aAC und bBC entspr. ähnlich sind, dann bleiben letztere auch bei Bewegung der Platten immer entsprechend ähnlich.“ Demnach ist die Verschiebung von Platte P ein constanter Bruchtheil derjenigen von Platte Q. Stellt nun Q die Platte mit der Originalzeichnung vor, P jene, welche die Copie aufnimmt, so ist zunächst die Verjüngung im Sinne der Bewegung der Platten P und Q erreicht. Diese Platten laufen in Schienen, die in Fig. 11 gegen den Beschauer gerichtet sind; ihre Bewegung erzeugt man durch den mit der Linken zu fassenden Schraubenkopf R. Um eine gleichzeitige Verjüngung in der zur Bewegungs-



richtung der Zeichenblätter P, Q senkrechten Richtung herbeizuführen, hat man das oben gegebene Princip auch auf die auf den Blättern P und Q operirenden Zeichenstiftplatten P' und Q' in entsprechender Weise anzuwenden. Diese Platten P' Q' müssen natürlich eine zur Schienenrichtung der Platten P, Q senkrechte Führung haben, welche in ihrer Richtung durch die in Fig. 11 skizzirten Widerlager der Schraubenplatte bei L (d. i. Q') und ihrer parallelen fixirt und durch die mit der Rechten handzubehabende Schraubung am Kopfe L ausgeführt wird.

Wesentlich in den Details des Apparats ist, dass die Verjüngungen in beiden Richtungen unabhängig von einander und in weiten Grenzen verändert werden können.

(Kleiber.)

- 112 Hauck-Brauer's Perspectivischer Apparat. Hauck's erstes Modell**, ausgestellt von Professor **G. Hauck**, techn. Hochschule Berlin-Charlottenburg; **Brauer's Construction**, ausgestellt von Prof. **E. Brauer**, techn. Hochschule Karlsruhe.

1. Hauck's erstes Modell.*)

Der Apparat hat den Zweck, aus dem gegebenen Grundriss und Aufriss eines räumlichen Objectes dessen perspectivisches Bild auf mechanischem Wege zu ermitteln in der Art, dass, wenn man den Grundriss und Aufriss mit zwei Fahrstiften durchfährt, gleichzeitig der durch einen Mechanismus mit den Fahrstiften verknüpfte Zeichenstift das Bild selbständig beschreibt.

Der Mechanismus gründet sich auf eine *geometrische Construction*, welche aus Fig. 1 ersichtlich ist. In derselben bedeuten O_1, O_2, O_3 drei zugeordnete Punkte des Grundrisses, des Aufrisses und des perspectivischen Bildes. P stellt die Grundrissprojection des Auges, g die Grundrissspur der Bildebene (*Grundschnitt*), $P\gamma$ (\perp g) die Projection des Hauptstrahls vor. Es ist dann $P\gamma$ samt g um den Punkt P gedreht worden, bis $P\gamma$ in verticale Lage $P\gamma'$, g in horizontale Lage g' gelangt ist; der Drehungswinkel α ist gleich dem Winkel, den die Bildebene mit der Aufrissebene macht. Weiter stellt sowohl in der Aufrissfigur als in der Bildfigur l die Schnittlinie zwischen Aufrissebene und Bildebene (*Lotschnitt*) vor; K ist die Aufrissprojection des Auges, F der Fluchtpunkt der zur Aufrissebene senkrechten Linien; die durch K und F gehenden beiderseitigen Horizontlinien werden von l in λ_2 und λ_3 geschnitten. —

*) Die erste Publication des Modells, welches die Priorität vor allen einem ähnlichen Zweck dienenden Apparaten für sich beansprucht, erfolgte in der Sitzung der Physikal. Gesellschaft in Berlin am 4. Mai 1883. (Vergl. Verhandlungen der Physikal. Gesellschaft in Berlin 1883, Nr. 8, Sitzung vom 4. Mai, ausgegeben am 16. Mai.) Die eingehende Beschreibung des Apparates findet sich in der Festschrift der Technischen Hochschule zu Berlin zur Feier der Einweihung ihres neuen Gebäudes am 2. Nov. 1884, S. 213 (in fast allen öffentlichen Bibliotheken vorhanden).

Um nun zu zwei zugeordneten Punkten O_1, O_2 den zugeordneten Bildpunkt O_3 zu finden, zieht man PO_1 , dreht diesen Strahl um P um den

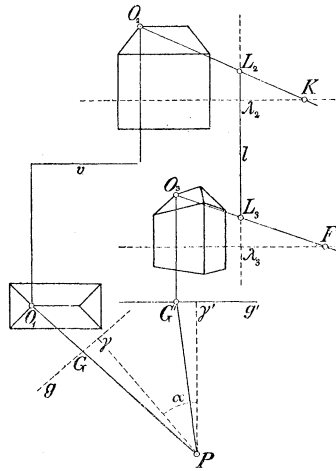


Fig. 1.

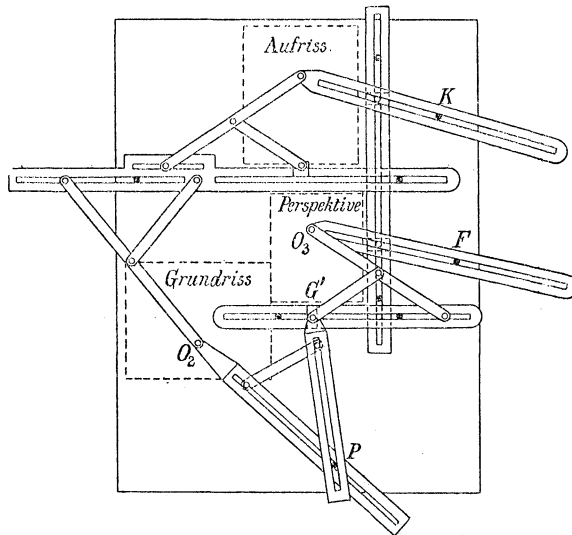


Fig. 2.

Winkel α , markirt den Schnittpunkt G' des gedrehten Strahls mit dem gedrehten Grundschnitt g' und zieht durch G' eine Verticale. Ferner

zieht man KO_2 , welche den Lotschnitt I in L_2 schneidet, macht auf dem Lotschnitt $L_2 L_3 = \lambda_2 \lambda_3$ und zieht FL_3 : dann schneidet FL_3 die Verticale durch G' in dem gesuchten Bildpunkt O_3 .*)

Diese geometrische Construction ist nun in einem Mechanismus übertragen, indem die einzelnen Constructionslinien durch geschlitzte Holzlineale verkörpert sind, welche durch in die Schlitze eingreifende Stifte geführt werden, entweder um einen Stift sich drehend, oder in zwei Stiften schlittenartig gleitend. Die Art der Übertragung wird durch Vergleichung der Fig. 2**) mit Fig. 1 verdeutlicht. — Der Gesamtmechanismus gliedert sich in 3 Teile:

1. Der *Aufrissmechanismus* besteht zunächst aus der *Lotschnittschiene*: In zwei Punkten des Lotschnittes I sind Stifte ins Reissbrett eingesetzt (in Fig. 2 durch schwarze Punkte markirt), in welche der Schlitz eines Lineals eingelegt ist, so dass es längs des Lotschnittes schlittenartig gleitet. Die Lotschnittschiene trägt in den Punkten L_2 und L_3 , deren Abstand $= \lambda_2 \lambda_3$ ist, Stifte; desgleichen sind in den Punkten K und F Stifte ins Reissbrett eingesetzt. Endlich sind einerseits in die Stifte K und L_2 , andererseits in die Stifte F und L_3 geschlitzte Lineale eingelegt, welche an ihren Enden den Aufrissfahrstift O_2 und den Bildzeichenstift O_3 tragen.

2. Der *Grundrissmechanismus* besteht zunächst aus der längs des Grundschnittes g' gleitenden *Grundschnittschiene*, welche einen Stift G' trägt. Ferner ist im Punkt P ein Stift ins Reissbrett eingesetzt, um den sich der Scheitel des (verstellbaren) Winkelhakens α dreht; die Schenkel desselben sind in sich verschiebbar; der eine trägt an seinem Ende den Grundrissfahrstift O_1 , der andere greift in den Stift G' ein. Endlich wird der Zeichenstift O_3 vermittelst eines um G' sich drehenden und in g' gleitenden Evans'schen Lenkers gezwungen, sich senkrecht über G' zu bewegen.

3. Der *Verbindungsmechanismus*. Soll die Bildfigur nur punktweise bestimmt werden, so reicht man mit dem combinirten Grundriss- und Aufrissmechanismus aus. Sollen aber die Linien continuirlich gezeichnet werden, so müssen die zwei Fahrstifte O_1 und O_2 noch durch einen Mechanismus verbunden werden, der bewirkt, dass sie immer nur zugeordnete Punkte markiren können, das heisst: dass die durch O_1 und O_2 gezogenen Verticalen einen constanten Abstand v haben. Demgemäss besteht der Verbindungsmechanismus aus einer horizontalen Gleitschiene (*Verbindungsschiene*), welche zwei Stifte im Abstand v trägt, und aus

*) Die Begründung dieser Construction findet sich im Journal für Mathematik, Bd. 95 (1883), S. 1: „Neue Constructionen der Perspective und Photogrammetrie“, von G. Hauck.

**) In Fig. 2 ist der Buchstabe O_2 zu ändern in O_1 . Ferner mögen in Fig. 2 die Buchstaben O_2 , I, L_2 , L_3 , g' entsprechend der Fig. 1 nachgetragen werden.

zwei sich um diese drehenden Evans'schen Lenkern, durch welche die Fahrstifte gezwungen werden, sich senkrecht über, bezw. unter den zwei Stiften zu bewegen.

2. Brauer's Construction.*)

Die den Brauer'schen Apparat auszeichnende Leichtigkeit und Genauigkeit des Ganges ist dadurch erreicht, dass in der ganz in Metall ausgeführten Construction jede gleitende Reibung vermieden und ausschliesslich Rollenführung verwendet ist. Die hiedurch bewirkte bedeutende Verminderung der Widerstände ermöglichte vor allem eine zweckmässige Änderung in der gegenseitigen Lage der drei Projectionen in der Art, dass der Grundriss senkrecht unter den Aufriss gerückt und also alle drei Projectionen in eine Reihe am Rande des Brettes angeordnet werden konnten, was für die praktische Handhabung des Apparates sehr viel bequemer ist. — Denkt man sich aber in Fig. 1 den Grundriss samt Punkt P nach rechts verschoben in eine Lage senkrecht unter den Aufriss, so geht dabei die Lage des Punktes G' senkrecht unter O_3 verloren. Während also vorher $O_1 O_2$ gebrochen, $G' O_3$ gerade war, wird jetzt $O_1 O_2$ gerade, $G' O_3$ gebrochen. Wird dann noch die Lage von Bildfigur und Aufrissfigur vertauscht, was ohne weiteres geschehen kann, so entsteht die Anordnung Brauer's, wie sie in Fig. 3 skizzirt ist. (Bei den in Hauck's Modell verwendeten mechanischen Mitteln war diese Anordnung nicht möglich, da hier die Gleitführung Bewegungsübertragungen auf grössere Entfernungen nicht zulies, und demgemäss die Bildfigur in die Mitte gelegt werden musste, damit der Zeichenstift von beiden Seiten auf kürzestem Wege durch die Fahrstifte zu beeinflussen.) — Es sei noch bemerkt, dass in Fig. 3 die Aufrissebene durch den Fusspunkt L_1 des Hauptstrahls (in Fig. 1 mit γ bezeichnet) gelegt ist.

Die Übertragung der Fig. 3 in einen Mechanismus ist nun in Brauer's Apparat folgendermassen ausgeführt (vergl. Fig. 4):

Zunächst sind im *Grundrissmechanismus* und *Verbindungsmechanismus* die Hauck'schen Gleitschienen mit Evans-Lenkern durch *Wagen* ersetzt, welche mittelst keilförmig profilirter Räderpaare in Keilnuten geführt und ausserdem durch glatte Tragrollen gestützt werden; durch den Γ -förmig construirten *Verbindungswagen* wird die in dem einen Schenkel verkörperte Linie $O_1 O_2$ parallel geführt, durch den \sqcap -förmig gebildeten *Perspectivwagen* — die gebrochene Linie $G'HIO_3$. — Die *Lotschnittschiene* ist als Schiene mit Nute (auf der Unterseite) construiert, welche durch zwei Rollstühle R, R (s. Fig. 4) geführt wird und mit den Stangen KO_2 und FO_3 durch Zapfengelenke L_2, L_3 verbunden ist.

*) Beschrieben in der „Zeitschrift des Vereins deutscher Ingenieure“, Bd. XXXV (1891), Nr. 28, S. 782. (Diesem Aufsätze sind die Figuren 2 bis 6 entnommen.) — Der Apparat wird von Mechaniker Fraiser in Darmstadt angefertigt.

Die constructive Ausführung der Leitung der einzelnen Stangen durch feste oder bewegliche Punkte (Leitung der Stangen KO_2 und FO_3 durch die auf dem Brett festen Punkte K und F , ferner der Stange PG' durch den auf dem Perspectivwagen festen Punkt G') ist aus Fig. 5 ersichtlich: Auf einem feststehenden verticalen Säulchen ist ein um die Säulenaxe

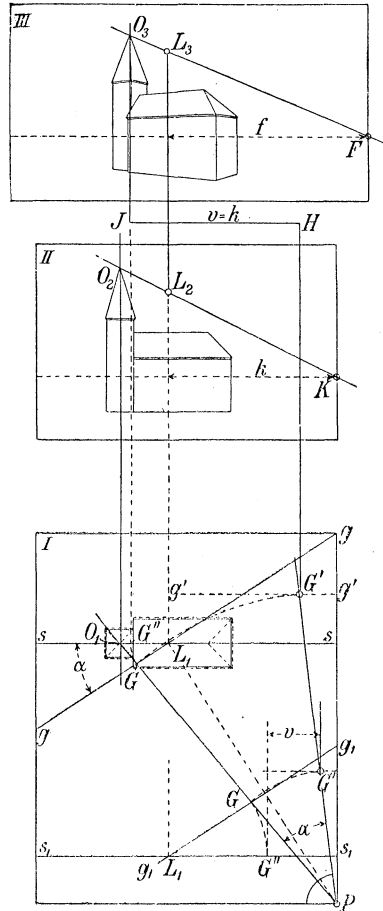


Fig. 3.

drehbarer kleiner Wagen (eine sogen. *Katze*) mit zwei Keilrädern angebracht, welche in einer auf der Unterseite der Γ -profiligen Stange eingeschnittenen Keilnute laufen. — In den Punkten O_1, O_2, O_3 , die durch den Schnitt zweier beweglicher Stangen bestimmt werden, sind zwei Katzen drehbar vereinigt, wie dies Fig. 6 verdeutlicht. Für den Punkt O_1

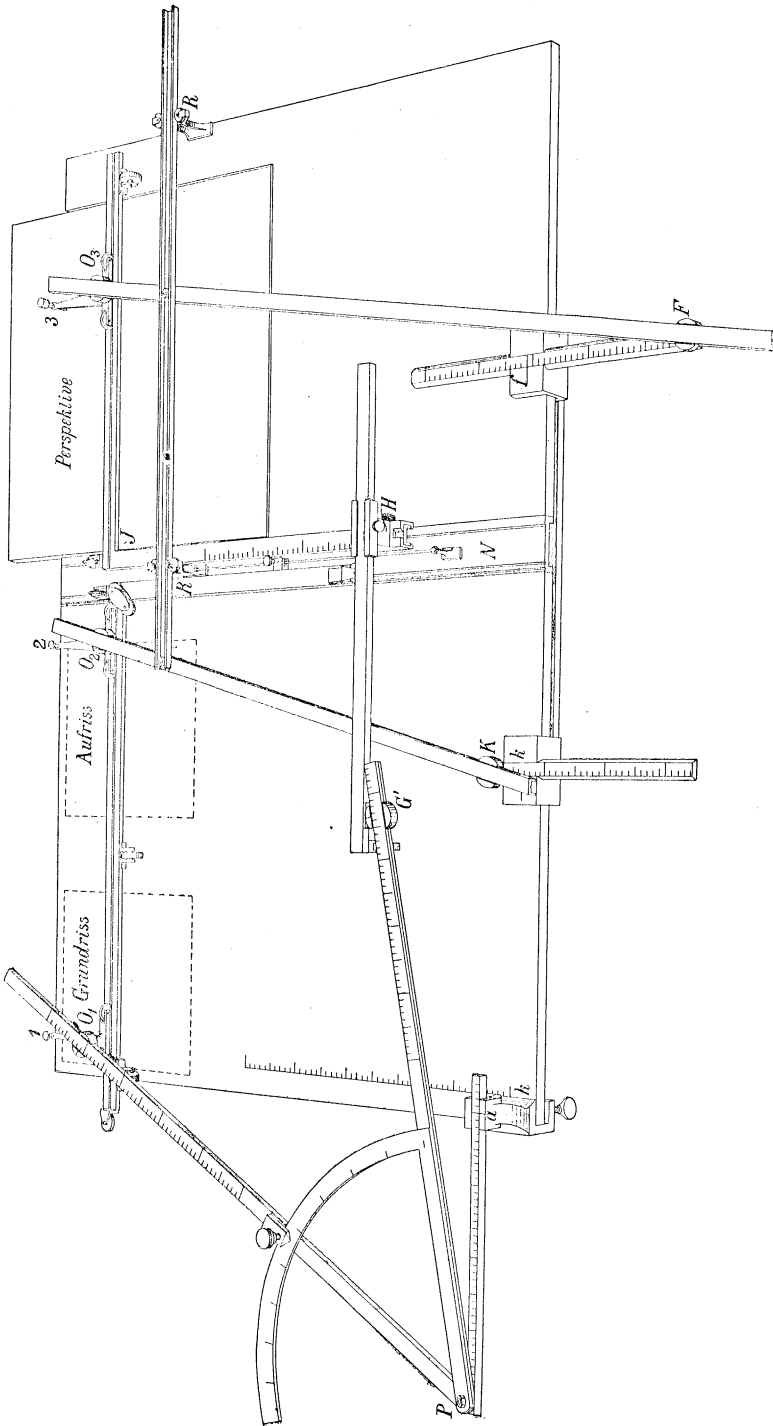


Fig. 4.

z. B. läuft die untere Katze in der Nute des Verbindungswagens, die obere in der auf der Unterseite der Stange PO_1 eingeschnittenen Nute. — Fig. 6 zeigt zugleich den Fahrstift, bezw. Zeichenstift, welcher mittelst einer Zunge an der unteren Katze excentrisch angebracht ist und, da die

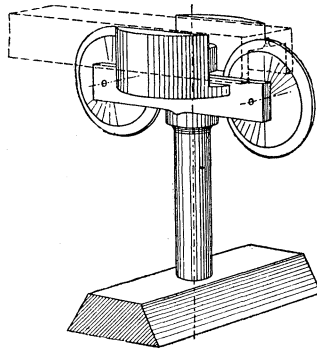


Fig. 5.

Katze parallel geführt wird, eine mit der Katzenaxe congruente Bahn beschreibt. — Statt einer Vorrichtung für das Heben und Senken des Zeichenstiftes ist das aus dem Hauptbrett ausgeschnittene Perspektivbrett (s. Fig. 4) zum Senken und Heben mittelst Fusstrittes eingerichtet.

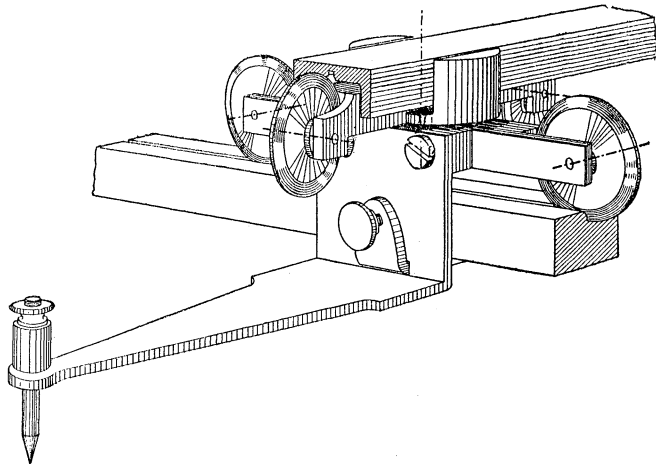


Fig. 6.

Dem Brauer'schen Apparat ist endlich noch eine sehr sinnreiche Vorrichtung zur Benützung des *Seitenrisses* beigegeben.

3. Das Arbeiten mit dem Apparat.

Beim Zeichnen mittelst des Apparates braucht in der Regel nur *ein* Fahrstift geführt zu werden, während der andere leer läuft. Nur in Ausnahmefällen, für welche andere Apparate die Anwendbarkeit gänzlich versagen, werden beide Fahrstifte gleichzeitig geführt. — Alle in natura horizontalen Linien werden in Perspective gesetzt, indem man die Katze, an welcher der Aufrissfahrstift befestigt ist, auf dem Verbindungswagen (mittelst des in Fig. 6 sichtbaren Klemmschräubchens) feststellt und die Linien im Grundriss mit dem Grundrissfahrstift durchfährt; ebenso alle zur Aufrissebene parallelen Linien — mittelst Führung des Aufrissfahrstiftes unter Feststellung der Grundrisskatze. (Bei Hauck's Modell wird der betreffende Evans-Lenker des Verbindungsmechanismus festgestellt.) Dabei werden alle geraden Linien in den drei Hauptrichtungen vom Apparat mit einer dem Lineal gleichkommenden Schärfe und Schnelligkeit gezeichnet, indem man im Verbindungsmechanismus von Grundrisskatze, Aufrisskatze, Verbindungswagen je zwei feststellt und die einzig übrigbleibende Bewegung ausführt. (Bei Hauck's Modell werden von den beiden Evans-Lenkern und der Gleitschiene je zwei festgestellt.) — Zum Zweck der scharfen Zeichnung von *Kreis*-Perspectiven ist dem Brauer'schen Apparat ein kleiner Staungenzirkel zur sicheren Führung des Fahrstiftes im Grundriss, Aufriss oder Seitenriss beigegeben. — Schiefe Gerade und Raumcurven können punktweise bestimmt werden. Sollen aber Raumcurven zu einem besonderen Zwecke in continuirlichem Zuge vom Apparate gezeichnet werden, so werden beide Fahrstifte gleichzeitig geführt. Dies geschieht am besten durch zwei Personen, von denen die eine die Führung übernimmt, durch welche der andere Fahrstift vermöge des Verbindungsmechanismus mit beeinflusst wird, so dass die andere Person, diesem Einfluss nachgebend, nur darauf zu achten hat, dass ihr Fahrstift nicht rechts oder links von seiner vorgeschriebenen Bahn abweicht.

Als *Proben für die Leistungsfähigkeit* des Apparates in Brauer's Construction mögen die Figuren 4, 5 und 6 dienen, welche (im doppelten Masstab) mittelst des Apparates selbst hergestellt worden sind.

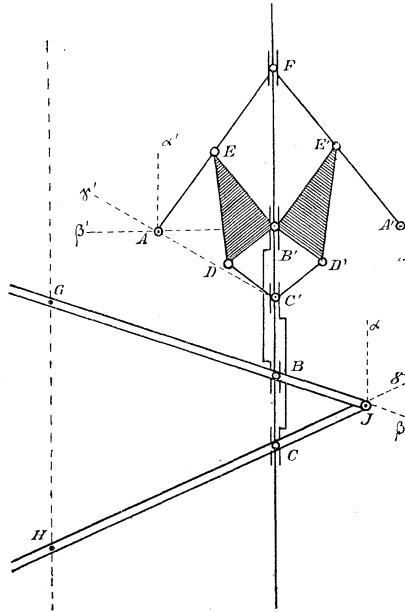
(Hauck.)

113 **Perspectograph** von **E. Ritter**, Architekt in Frankfurt a/M., ausgeführt von **Hartmann & Braun**, Boekenheim-Frankfurt.

Der Apparat besteht aus 2 Teilen: einem Führungsteil und einem sogenannten Froschschenkel. Ersterer setzt sich aus 2 Gleitlinealen GJ und HJ zusammen, die in J gelenkig mit einander verbunden sind. Beide Lineale gleiten auf den Führungsstiften G und H, die am Zeichenbrett befestigt sind. Zu GH parallel ist eine Schiene BC, welche zwei Schlitten trägt, an denen die Stifte P und C angebracht sind, die ausserdem von den beiden Gleitlinealen GJ und HJ geführt werden. Mit letztgenannten

Stiften sind die Drehpunkte B' und C' des Froschschenkelsystems verbunden, das mit denselben auf der Schiene BC gleitet. Das Froschschenkelsystem setzt sich aus zwei beweglichen Rhomben $B'DC'D'$ und $B'EFE'$ zusammen, die durch starre rechte Winkel $EB'D$ und $E'B'D$, verbunden sind. Es bestehen noch die Beziehungen $FE = EA$, $FE' = E'A'$. Nun gilt der Satz:

Beschreibt J eine Figur in der Zeichenebene, so beschreibt A eine dazu collineare und A' die zu der letzteren symmetrische in Bezug auf die Schiene BC .



Dies lässt sich leicht einsehen, wenn man den Satz voraussetzt, dass 2 Ebenen dann sicher collinear auf einander bezogen sind, wenn dreien Strahlenbüscheln der einen drei Strahlenbüschel der andern entsprechen, und sich die einfachsten Bewegungen des Froschschenkelsystems vorstellt. Diese sind: a) Behalten B' und C' ihren Abstand bei, so ist das System starr und kann auf der Schiene BC gleiten, wobei A eine Parallele Aa' zu der letzteren beschreibt. b) Hält man den Punkt B' des Systems fest und verändert man C' auf der Schiene, so beschreibt A eine zur Schiene senkrechte Gerade $A\beta'$. c) Hält man C' fest und wird B' auf der Schiene bewegt, so beschreibt A eine durch C' gehende Gerade $A\gamma'$.

Wird daher J in der Richtung $J\alpha$, d. h. parallel zur Schiene BC bewegt, so bleibt die Distanz BC und da B mit B' und C mit C' starr verbunden sind, auch die Distanz B'C' unverändert; es tritt dann der Fall a) ein und der Punkt A beschreibt eine Parallele $A\alpha'$ zur Schiene BC. *Daher entspricht dem Büschel von Parallelen zu BC wieder ein solches Büschel.*

Bewegt sich ferner J in der Richtung $J\beta = J\beta$, so bleibt B und mithin B' fest; der Punkt A des Froschschenkels beschreibt daher nach b) eine zu BC senkrechte Gerade. Da dies für alle Bewegungen des Punktes J gegen G hin gilt, *so entspricht dem Büschel durch G, welches J beschreibt, das Büschel von Senkrechten zu BC, welches A beschreibt.*

Verschiebt sich endlich J in der Richtung auf den Fixpunkt H zu, also in der Richtung $J\gamma$, so bleibt C und mithin der Punkt C' des Froschschenkelsystems fest und es tritt der Fall c) ein, wonach A eine Gerade durch C' beschreibt, deren Neigungswinkel gegen BC von dem Verhältnis der beiden Rhomben des Froschschenkelsystems abhängig ist. *Beschreibt also J ein Büschel durch H, so beschreibt A ein gegen BC geneigtes Parallelenbüschel.*

Damit ist bewiesen, dass die Zuordnung der Punkte J und A eine collineare ist.

Einstellung und Gebrauch des Apparates können aus einem vom Erfinder herrührenden Prospect entnommen werden, auf den hier verwiesen wird.

(S. Finsterwalder.)

114 **Perspectograph** von Ingenieur **Pietro Fiorini** in Turin.

**J. Modelle für den Elementar-Unterricht
in Planimetrie, Stereometrie, Trigonometrie und
Darstellender Geometrie.**

115 **Modelle für den Unterricht in der Planimetrie**, nach Angabe von **G. Köpp**, ausgeführt von der **Lehrmittelanstalt J. Ehrhard & Co.** in Bensheim (Hessen).

Die Modelle sind teils aus Metall, teils aus Pappe oder Holz. Bezüglich der näheren Beschreibung sowie der Verkaufspreise vergleiche man den illustrierten Katalog der genannten Lehrmittelanstalt.

Modelle zur Veranschaulichung: elementarer Linienformen, — der Sätze über ebene Winkel, — von Drei-, Vier- und Vielecken, — der

Winkelsätze im Dreieck, — der Congruenzsätze von Drei- und Vielecken, — der Ähnlichkeitssätze, — der Sätze über den Flächeninhalt, — der elementaren Sätze über den Kreis.

- 116 Modelle für den Unterricht in der Stereometrie**, nach Angabe von **G. Köpp**, ausgeführt von der **Lehrmittelanstalt J. Ehrhard & Co.** in Bensheim (Hessen).

Die Modelle sind teils aus Metall, teils aus Pappe oder Holz hergestellt und umfassen:

Modelle zur Darstellung: von Rotationskörpern, — der Fundamentalsätze über die gerade Linie und Ebene im Raume, — der Lehre von den körperlichen Ecken.

Zwölf Zusammenstellungen der einfachsten geometrischen Körper, als: Pyramide, Parallelepipet, Prisma, Prismatoid, reguläre Körper, Kegel, Cylinder, Kugel, Rotationsellipsoid. (Näheres *Spezialkatalog*.)

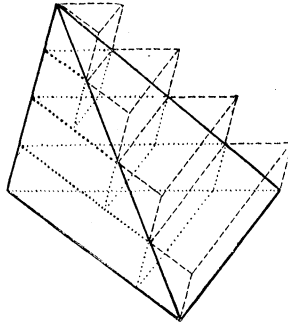
- 117 Tafeln für den Unterricht in der Stereometrie**, zum Gebrauche an Mittelschulen, herausgegeben von **A. Zahn**, (1892.) Verlagsbuchhandlung von **C. Brügel & Sohn** in Ansbach.

37 Tafeln, 55 cm auf 80 cm. Verkaufspreis 22 M.

1. Die gegenseitige Lage von Punkt, Gerade und Ebene im Raum; das Dreikant.
2. Euler'sche Polyeder, Prisma, Pyramide, Prismatoide.
3. Cylinder, Kegel, Kugel.

- 118 Modell zur Darstellung des Tetraederinhalts** von Prof. **M. J. M. Hill**, University College, London.

Das Modell veranschaulicht die Bestimmung des Volumens eines Tetra-

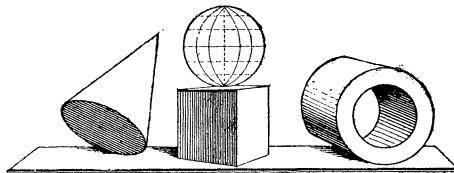


eders als Grenzwert der Volumina einer Reihe von Prismen, deren Basen parallel zur Grundfläche des Tetraeders liegen.

- 119 Modelle für den Unterricht in der sphärischen Trigonometrie**, ausgeführt von der **Lehrmittelanstalt J. Ehrhard & Co.** in Bensheim, (Hessen).

(Näheres *Spezialkatalog*.)

- 120 Vorlegehefte für den Unterricht im Linearzeichnen**, von Prof. **E. Fischer**, techn. Hochschule München. 3 Hefte. Verlag von **Th. Ackermann**, München.
Die Hefte enthalten (neben technischen Vorwürfen) insbesondere Darstellungen aus der elementaren Geometrie, der Stereometrie und der Theorie der Kegelschnitte. Preis eines Heftes 10 Mark.
- 121 Stereoskopische Zeichnungen für den Unterricht in der Stereometrie, Trigonometrie und darstellenden Geometrie**, von **J. Schlotke** in Hamburg. Ausgestellt vom **Math. Institut der techn. Hochschule München**.
- 122 Sammlung von Modellen zur Stereometrie und darstellenden Geometrie (Projectionslehre, Licht und Schattenconstruction)**, aus dem **Polytechnischen Arbeitsinstitut J. Schröder**, Darmstadt.
Bezüglich der einzelnen Modelle vergl. man den *illustrierten Katalog*, sowie das *Preisverzeichnis* der Firma.
- 123 Modelle für den Unterricht in der darstellenden Geometrie** von **O. Böklen**, nach dessen „Vorlagewerk für constructives Zeichnen“ (Stuttgart, Nitzschke), ausgeführt von der **Lehrmittelanstalt J. Ehrhard & Co.** in Bensheim (Hessen).
(Näheres *Specialkatalog*.)
- 124 Apparat und Modelle für die darstellende Geometrie**, nach Angabe von **G. Köpp**, ausgeführt von der **Lehrmittelanstalt J. Ehrhard & Co.** in Bensheim (Hessen).
(Näheres *Specialkatalog*.)
- 125 Apparat zur Einführung in das perspectivische Zeichnen**, nach Angabe von **G. Köpp**, ausgeführt von der **Lehrmittelanstalt J. Ehrhard & Co.** Bensheim (Hessen).
(Näheres *Specialkatalog*.)
- 126 Acht Modelle für die darstellende Geometrie**, nach Angabe von **Möser**, ausgeführt von der **Lehrmittelanstalt J. Ehrhard & Co.** Bensheim (Hessen).
(Näheres *Specialkatalog*.)
- 127 Reliefperspectivische Darstellung eines Würfels, einer Kugel, eines Kegels und eines Hohleylinders**, auf einem Untersatz vereinigt. Ausgeführt im **math. Inst. der techn. Hochschule München** (Prof. **Brill**), von stud. math. **Thoma**. Verlag von **L. Brill**, Darmstadt.



Näheres vergl. *Specialkatalog 155* (pag. 17 und 86.)

- 128 Photographische Darstellungen der Sammlung von Gipsmodellen für den mathematischen Unterricht** von **L. J. Bardin** und **Ch. Muret**, ausgestellt von der Verlagshandlung von **Ch. Delagrave**, Paris.

Bezüglich des Inhaltes der Sammlung, sowie der Preise der einzelnen Objecte wird auf die *Kataloge* der Verlagshandlung verwiesen. Eine Anzahl wissenschaftlicher Werke, die sich auf den geometrischen Unterricht beziehen, ist beigegeben.

K. Polyeder, Polygon- und Polyederteilung von Flächen und Räumen.

- 129 Die regulären (Platonischen) Körper.**
130 Die semiregulären (Archimedischen) Körper.
131 Die regulären (Poinot'schen) Sternpolyeder.

Nach Angabe von **G. Köpp**, ausgeführt von der Lehrmittelanstalt **J. Ehrhard & C.** in Bensheim (Hessen).
 (Näheres *Spezialkatalog*.)

- 132 Die regelmässigen Polyeder**, von **H. Wiener**, Halle a. S.

a) Hergestellt aus Papierstreifen.

b) Hergestellt aus Drähten mit eingespannten Fäden. (Die eingeschriebenen 5 Würfel eines Dodekaeders, die eingeschriebenen höheren regelmässigen Polyeder).

Die Modelle sollen, für die Zwecke des Unterrichts, die Herstellung mit den möglichst einfachen Mitteln illustriren.

- 133—135 Serie von Modellen von gleichseitigen, gleichflächigen und zugleich gleichseitigen und gleichflächigen Polyedern erster und höherer Art.** Von Prof. **E. Hess**, Univ. Marburg.

Vergl. folgende hierauf bezügliche Schriften des Verfassers:

Über die zugleich gleichseitigen und gleichflächigen Polyeder. Kassel. Th. Kay. 1876.

Einleitung in die Lehre von der Kugelteilung. Leipzig. B. G. Teubner 1883. Insbesondere viertes und siebentes Kapitel.

Eine Reihe von Abhandlungen und Mitteilungen in den Sitzungsberichten der Gesellschaft zur Beförderung der gesamten Naturwissenschaften zu Marburg. 1872—1882.

Wegen der Bedeutung und Anwendung dieser Untersuchungen für die Theorie der räumlichen Configurationen vergl.:

J. de Vries Sitzungsber. der kaiserl. Akademie d. Wissensch. in Wien. Bd. C, Abt. II, Juli 1891.

E. Hess. „Über gewisse räumliche Configurationen“. Sitzungsber. d. Gesellsch. z. Bef. d. ges. Naturw. zu Marburg. Mai 1892.

133 A) Convexe Polyeder mit kontinuierlicher Oberfläche.

Ausser mehreren gleicheckigen und gleichflächigen Polyedern erster Art sind von solchen Polyedern höherer Art in Papp- und Faden-Modellen dargestellt:

a) Aus der *Oktaeder-Hexaeder*-Gruppe

1) das $[6(4)_1 + 8(6)_2]$ -flächige 6.4-Eck 5ter Art und

1') das ihm polar-reciproke $[6(4)_1 + 8(6)_2]$ eckige 6.4-Flach 5ter Art,

2) das $[8(3)_1 + 6(8)_3]$ -flächige 8.3-Eck 7ter Art und

2') das ihm polar-reciproke $[8(3)_1 + 6(8)_3]$ -eckige 8-3-Flach 7ter Art, jedes derselben in einer Anzahl von Varietäten.

Bei den gleicheckigen Polyedern sind die beiden componirenden Polyeder: Oktaeder und Hexaeder durch verschiedene Färbung gekennzeichnet; die einzelnen Zellen der gleicheckigen Sechsecke 2ter Art bei 1) und der gleicheckigen Achtecke 3ter Art bei 2) sind entweder durch verschiedene Färbung oder auch durch Fortnahme der mittleren Flächenteile kenntlich gemacht. Von besonderem Interesse sind diejenigen Varietäten, bei welchen Flächenteile von entgegengesetzten Vorzeichen auftreten (meist durch schwarze und weisse Färbung unterschieden), ohne dass sie deshalb aufhörten, zweiseitige Polyeder zu sein, welche das sog. *Möbius*-sche Gesetz der Kanten befolgen.

b) Aus der *Ikosaeder-Pentagondodekaeder*-Gruppe ist als Beispiel eines *gleicheckigen* Polyeders höherer Art

1) das $[20(3)_1 + 12(10)_4]$ flächige $60(3)_1$ -Eck der 19ten Art und zwar diejenige spezielle Varietät, bei welcher je drei Ecken einen gemeinsamen Scheitelpunkt haben; als Beispiel eines *gleichflächigen* Polyeders höherer Art

2) das $[12(5)_1 + 20(3 + 3)_1]$ eckige $20(6 + 3)_4$ -Flach der 11ten Art (vergl. die beiliegende Zeichnung einer Grenzfläche, deren zwei parallele an dem Polyeder durch Färbung kenntlich gemacht sind) dargestellt.

Die zahlreichen dieser Gruppe angehörigen gleicheckigen, gleichflächigen und zugleich gleicheckigen und gleichflächigen Polyeder (zu welchem letzteren auch die bekannten 4 *Kepler-Poinsot*'schen regelmässigen Sternpolyeder gehören) können ebenso, wie auch zahlreiche zu B) und C) gehörige Polyeder aus den

Fadenmodellen 3) des *Ikosaeders*, 4) des *Pentagondodekaeders*, 5) des $[12 + 20]$ flächigen *30-Ecks* (Triakontagons) entnommen werden.

Von zugleich gleicheckigen und gleichflächigen Polyedern höherer Art dieser Gruppe sind drei (vergl. Kugelteilung S. 469—471, I—III) in besonderen Modellen dargestellt, nämlich

- 6) das $20(3 + 2.3)_2$ flächige $60(3)_1$ -Eck der 5ten Art,
- 7) das $20(3 + 2.3)_4$ flächige $60(3)_1$ -Eck der 25ten Art,
- 8) das $30(4 + 4 + 4)_3$ flächige $2.60(3)_1$ -Eck der 15ten Art,

bei welchen je zwei parallele Grenzflächen durch Färbung kenntlich gemacht sind; auch liegt jedem dieser Polyeder eine Zeichnung der Grenzfläche bei. Die drei diesen, sowie dem 4ten Polyeder (IV) polar-reciprok entsprechenden Polyeder können aus den Fadenmodellen 4) und 5) entnommen werden.

c) Aus der Gruppe der Polyeder mit *einer Hauptaxe* sind gleichfalls mehrere gleicheckige und gleichflächige Polyeder erster und höherer Art durch Modelle dargestellt.

d) Einige Modelle von *sphärischen* Figuren und Netzen, welche bei diesen und den nachfolgenden Polyedern in Betracht kommen.

134 B) Convexe Polyeder mit discontinuirllicher Oberfläche.

Von concentrisch regelmässigen Anordnungen regelmässiger Polyeder sind in Modellen (die einzelnen Polyeder eines Systems sind durch verschiedene Färbung gekennzeichnet) dargestellt:

1) Ein System zweier sich regelmässig kreuzender regulärer Tetraeder (Kepler's stella octangula),

2) Ein System von 5 concentrischen regulären Tetraedern,

3) Ein System von 10 concentrischen regulären Tetraedern mit zu je zwei zusammenfallenden Ecken und Flächen.

Bei 2) und 3) ist der innere Kern ein reguläres Ikosaeder, die äussere Hülle ein reguläres Pentagondodekaeder. [Vgl. das Fadenmodell A b) 4].]

4) Ein System von 5 concentrischen regulären Hexaedern; der innere Kern ist ein Rhombentriakontaeder, die äussere Hülle ein reguläres Pentagondodekaeder. [Vgl. Fadenmodell A b) 4].]

5) Ein dem System 4) polar-reciprokes System von 5 concentrischen regulären Oktaedern; der innere Kern ist ein reguläres Ikosaeder, die äussere Hülle ein gleicheckiges $(12 + 20)$ flächiges 30-Eck (Triakontagon). [Vgl. das Fadenmodell A b) 5].]

Ferner sind in Modellen dargestellt:

6) α) β) Zwei Systeme von zwei sich kreuzenden rhombischen Sphenoiden,

7) Ein System von 6 concentrischen $(2 + 2 + 2)$ flächigen 2.4-Ecken; der innere Kern ist ein Hexaeder, die äussere Hülle ein $(6 + 8 + 12)$ flächiges 2.24-Eck,

8) Ein System zweier concentrischer Hexaeder, deren innerer Kern ein $(2 + 8)$ eckiges 2.8-Flach (eine Doppelpyramide) ist,

9) Ein System dreier concentrischer Hexaeder; der innere Kern ist eine Combination eines Hexaeders mit einem Rhombendodekaeder, die äussere Hülle ein gleicheckiges $(6 + 8)$ flächiges 6.4-Eck,

10) Ein System dreier concentrischer Octaeder, dem System 9) polar-reciprok entsprechend; der innere Kern ist ein gleichflächiges $(6 + 8)$ -

eckiges 6.4-Flach, die äussere Hülle hat zu Eckpunkten die Eckpunkte eines Oktaeders und eines concentrischen Cubooktaeders.

135 C) Nicht convexe Polyeder.

Vgl. hierzu die beiden Abhandlungen des Verf.:

„Über einige merkwürdige nicht convexe Polyeder“ (Marburger Berichte Januar 1877) und: „Über einige Polyeder mit einseitiger Oberfläche“ (Marb. Ber. Januar 1879).

a) *Nicht convexe Polyeder mit zweiseitiger Oberfläche.*

1) Ein (8.3)eckiges 24-Flach der 18ten Art, begrenzt von 24 Fünfecken der zweiten Art mit 24 5flächigen Ecken mit je einem einspringenden Flächenwinkel. Der innere Kern ist ein archimedisches (6 + 8 + 12)-eckiges 24-Flach 1ter Art, die äussere Hülle ein archimedisches (6 + 8)-flächiges 8.3 Eck erster Art. Dies, sowie das ihm polar-reciprok entsprechende nicht convexe Polyeder 1') können aus den beiden *Fadenmodellen*

2) des archimedischen (6 + 8) flächigen 8.3-Ecks und

3) des archimedischen (6 + 8 + 12) flächigen 24-Ecks — entnommen werden. Die Grenzflächen der beiden nicht convexen Polyeder 1) und 1') sind auf besonderen Zeichnungen dargestellt.

b) *Nicht convexe Polyeder mit zweiseitiger Oberfläche, deren Oberfläche und cubischer Inhalt Null ist.*

1) und 2) Zwei Modelle von sog. *Stephanoiden*. Die Flächenteile von entgegengesetztem Zeichen sind durch schwarze und weisse Färbung unterschieden.

c) *Nicht convexe Polyeder mit einseitiger Oberfläche (Möbius'sche Polyeder).*

1) Ein Möbius'sches Polyeder, dessen Flächen durch die 6 Flächen eines Hexaeders und die vier auf den dreizähligen Axen senkrecht stehenden, sich im Mittelpunkt schneidenden Ebenen gebildet werden. Die 12 Ecken entsprechen den Eckpunkten eines Cubooktaeders.

2) Ein Möbius'sches Polyeder, welches durch die Erweiterung der Flächen eines Trigondodekaeders entsteht; die Eckpunkte sind eine Combination der Eckpunkte eines regulären Oktaeders und eines concentrischen regulären Tetraeders.

2') Das diesem polar-reciprok entsprechende Polyeder. (Vgl. die zweite der oben angeführten Abhandlungen, sowie Dr. C. Reinhardt. „Zur Möbius'schen Polyedertheorie“. Ber. der kgl. sächs. Gesellsch. d. Wissenschaft. März 1885.)

Ferner:

3) Ein Modell des bekannten *Möbius'schen* Trigondodekaeders (*Möbius*, Ges. Werke Bd. II S. 482).

und 4) α) β) Zwei Modelle des diesem reciproken Polyeders, begrenzt von 6 Fünfecken mit 10 dreiflächigen Ecken.

NB. Die verschiedene Färbung (schwarz und weiss) der Flächen-teile ist bei diesen Modellen nur zum Teil angegeben, da bekanntlich bei dem fortgesetzten Prozesse der Färbung schliesslich jeder Flächenteil beide Färbungen erhalten würde.

(E. Hess.)

136 Einige Modelle von Tetraedern in desmischer Lage, von zwei einander gleichzeitig um- und eingeschriebenen Tetraedern und von zwei Tetraedern in neunfach hyperboloidischer Lage. (Vgl. *F. Schur*. Math. Ann. XX. S. 276). Prof. **E. Hess**, Univ. Marburg.

137 Drei räumliche Winkelspiegel (Polyederkaleidkope) nebst zugehörigen Einlagen, angefertigt von Optiker Dr. **Krüß** in Hamburg, nach Angabe von Prof. **E. Hess**, Univ. Marburg.

(Vgl. hierzu des Verf. Abhandlung: „*Ein Problem der Katoptrik*“, Marb. Ber. 1879 S. 7—20; ebenda vom 15. Februar 1882; ferner: „*Über die Zahl und Lage der Bilder eines Punktes bei drei eine Ecke bildenden Planspiegeln*“ (Marb. Ber. Januar 1888), „*Über Polyederkaleidkope und deren Anwendung auf die Krystallographie*“ (Neues Jahrb. f. Mineralogie. 1889. Bd. I S. 54—65) und: „*Einleitung in die Lehre von der Kugelteilung*“ § 57 S. 262.)

Wie in den aufgeführten Abhandlungen genauer auseinandergesetzt ist, haben folgende Systeme von je drei eine Ecke bildenden Planspiegeln, wenn A_1 die Flächen —, α_i die ebenen Winkel der dreiflächigen Ecken bedeuten:

- 1) $A_1 = 90^\circ, A_2 = A_3 = 60^\circ; \alpha_1 = 180^\circ - 2\eta, \alpha_2 = \alpha_3 = \eta,$
- 2) $A_1 = 45^\circ, A_2 = 60^\circ, A_3 = 90^\circ; \alpha_1 = 90^\circ - \eta, \alpha_2 = 45^\circ, \alpha_3 = \eta,$
- 3) $A_1 = 36^\circ, A_2 = 60^\circ, A_3 = 90^\circ; \alpha_1 = \psi, \alpha_2 = \varphi, \alpha_3 = 90^\circ - \varphi - \psi,$

wobei $\operatorname{tg} \eta = \sqrt{2}, \operatorname{tg} \varphi = \frac{\sqrt{5} - 1}{2}, \operatorname{tg} \psi = \frac{3 - \sqrt{5}}{2} = \operatorname{tg}^2 \varphi$ ist,

die Eigenschaft, von einem im Innern der Ecke befindlichen Punkte $m - 1$ Bilder zu erzeugen, welche mit dem Punkte selbst den Eckpunkten des allgemeinsten gleichseitigen Polyeders

- 1) der Hexakistetraeder-Gruppe, $m = 24,$
- 2) der Hexakisoktaeder-Gruppe, $m = 48,$
- 3) der Diakishexekontaeder-Gruppe, $m = 120$

entsprechen.

Legt man senkrecht zu dem Radiusvector eines innerhalb der spiegelnden Ecke befindlichen Punktes eine Ebene und bestimmt die dreieckige Schnittfigur derselben mit den Seitenflächen der Ecke, so stellen die $m - 1$ Spiegelbilder eines solchen Dreiecks mit diesem zusammen die vollständige Oberfläche eines gleichflächigen Polyeders dar, wobei für besondere Lagen der Ebene sich zwei und mehrere Dreiecke zu einer Grenzfläche vereinigen können. Es lassen sich auf diese Weise alle den angegebenen

Gruppen zugehörigen gleichflächigen (und speciell regulären) Polyeder (erster und höherer Art) mit Hilfe dieser Spiegel zur Anschauung bringen, wenn ein passend ausgeschnittenes Dreieck in richtiger Lage in das Innere einer solchen Ecke gebracht wird.

Aber auch die zugehörigen *gleichheckigen* Polyeder, alle Combinationsgestalten, sowie überhaupt die Oberfläche jedes Körpers, welchem die betreffenden Symmetrieebenen, deren je drei nächst benachbarte die Seitenflächen einer spiegelnden Ecke bilden, zukommen, werden durch jene Spiegelapparate erzeugt, wenn man den durch die Ebenen der Ecke ausgeschnittenen Teil der Oberfläche eines solchen Körpers in der richtigen Lage in die Ecken hineinbringt.

Wenn man das einzulegende Dreieck oder den entsprechenden Teil der Oberfläche möglichst *offen* herstellt, so kann das Innere der ganzen zur Anschauung gebrachten Form, insbesondere die Lage und der Verlauf der sämtlichen Symmetrieebenen und der Symmetriecassen, welche durch die Kanten der Ecken und deren Spiegelbilder dargestellt sind, sehr bequem überblickt und verfolgt werden.

Zu jedem der drei Polyederkaleidoskope ist eine Reihe von passenden Einlagen beigelegt.

(E. Hess.)

138 Die den regulären Polyedern entsprechenden regulären Gebietseinteilungen auf der Kugel, ausgeführt im math. Institut der techn. Hochschule München, (Prof. Dyck).

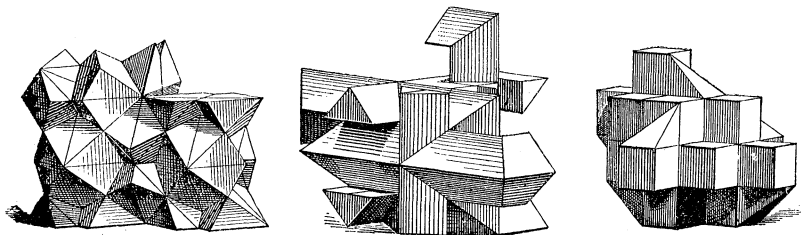
- | | | | | |
|---------------|--|-------------------|-------------------|-------------------|
| 1. Tetraeder. | Einteilung in Dreiecke mit den Winkeln | $\frac{\pi}{2}$, | $\frac{\pi}{3}$, | $\frac{\pi}{3}$. |
| 2. Oktaeder. | „ „ „ „ „ „ | $\frac{\pi}{2}$, | $\frac{\pi}{3}$, | $\frac{\pi}{4}$. |
| 3. Ikosaeder. | „ „ „ „ „ „ | $\frac{\pi}{2}$, | $\frac{\pi}{3}$, | $\frac{\pi}{5}$. |

139 Modelle zur Darstellung von regulären Gebietseinteilungen des Raumes.

Von Prof. A. Schönflies in Göttingen. Verlag L. Brill, Darmstadt.

Spezialkatalog 211-222, (pag. 46 u. 89.)

Die Modelle repräsentieren 12 Typen solcher Einteilungen in Fundamentalbereiche, von denen 10 zu grösseren Bereichen zusammengesetzt sind.



Das Nähere vergl. in der der Modellserie beigegebenen Abhandlung, sowie in des Urhebers Abhandlungen „Über Translationsgruppen“ *Math. Annalen* Bd. 28, 29, 34 und in: Schönflies „*Krystallsysteme u. Krystallstructur*“ Leipzig 1891.

140 Modelle zu Gruppen von Raumtransformationen. Mit Unterstützung der k. Akademie der Wissenschaften zu Berlin nach den Angaben von **A. Schoenflies** angefertigt von Universitäts-Mechaniker **F. Apel** zu Göttingen, ausgestellt von der **K. preuss. Akademie der Wissenschaften zu Berlin**.

Die in Rede stehenden Gruppen betreffen solche Transformationen des Raumes in sich, bei denen die Abstände der einzelnen Punkte ungeändert bleiben. Für jede dieser Gruppen gibt es eine unendliche Reihe von Bewegungen; das Gesetz, nach welchem die zugehörigen Drehungsaxen und Schraubenaxen im Raume verteilt sind, sollen die Modelle veranschaulichen.

Die bezüglichen Gruppen (Raumgruppen) lassen sich isomorph auf solche Gruppen von Raumtransformationen beziehen, die sämtlich einen Punkt fest lassen (Punktgruppen), d. h. auf diejenigen, die von Herrn Klein cyclische Gruppen, Diedergruppen, Tetraedergruppen, Oktaedergruppen und Ikosaeder-

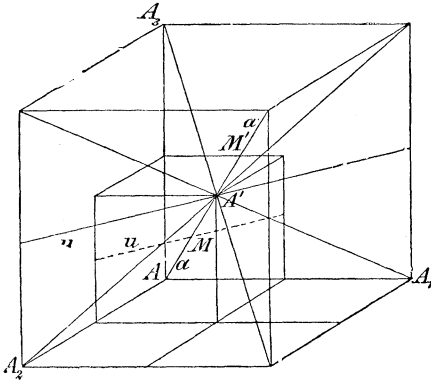


Fig. 1.

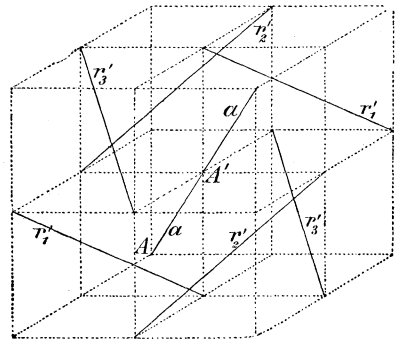


Fig. 2.

gruppen genannt worden sind. Hierzu sind jedoch nur solche von diesen Gruppen tauglich, deren Drehungsaxen die Periode 2, 3, 4 oder 6 haben, resp. — kristallographisch gesprochen — zweizählig, dreizählig, vierzählig oder sechszählig sind. Jeder Operation einer dieser Punktgruppen entspricht in der zu ihr isomorphen Raumgruppe eine unendliche Reihe von Operationen, die aus einer von ihnen durch Multiplication mit unendlich vielen geeigneten Translationen ableitbar sind, und zwar bilden alle diese Translationen selbst eine Gruppe (Translationsgruppe), die bei der isomorphen Beziehung der Identität der Punktgruppe gegenübersteht.

Für die Modelle sind nur solche Gruppen berücksichtigt worden, die den Oktaedergruppen isomorph sind, deren Axen also den Kanten, Flächen-

diagonalen und Körperdiagonalen eines Würfels parallel laufen. Axen von gleicher Farbe sind solche Axen, die durch die Operationen der Gruppe zur Deckung gelangen können. Um den Modellen nicht durch Häufung der Fäden die Übersichtlichkeit zu nehmen, ist die Verteilung der Axen von der Periode 3 an besonderen Modellen kenntlich gemacht worden; es gibt für alle Gruppen nur zwei verschiedene Verteilungsgesetze der dreizähligen Axen, und zwar gilt das Modell 8 (Fig. 1) für die Gruppen, denen die Modelle 1 bis 5 und 10 bis 13 entsprechen, das Modell 9 dagegen (Fig. 2) für 6 und 7. Die Form der Modelle 1 bis 7 entspricht im Allgemeinen dem Fundamentalbereich der in jeder Gruppe enthaltenen Translationsgruppe.

Die Modelle 10 bis 13 zeigen ausser der Axenverteilung die durch die Symmetrieebenen der Gruppen bestimmte Raumteilung, resp. deren Fundamentalbereich.

Die Modelle 1 bis 7 beziehen sich auf diejenigen Gruppen, die in meiner Schrift über Krystallssysteme und Krystallstructur (Leipzig, 1891) mit O_1 , O_2 , O_3 , O_4 , O_5 , O_6 resp. O_7 und O_8 bezeichnet worden sind; den Modellen 10 bis 13 entsprechen die Gruppen Oh^1 , Oh^4 , Oh^7 , Oh^9 (vgl. a. a. O. S. 543–549); es sind dies die einzigen Oktaedergruppen, bei denen die Symmetrieebenen eine von der Würfelteilung verschiedene Raumteilung liefern.

(Schoenflies.)

Vergleiche zu dieser Gruppe auch noch die in Abteilung III aufgezählten:

Modelle zur Theorie der Krystallstructur von **Sohncke**.

Krystallographischen Modelle von **Groth**.

Modelle zur Raumeinteilung von **Herschel**.

Krystallmodelle von **F. Thomas** in Siegen.

Krystallmodelle von **Steigerwald Neffe**, München.

141 **Projectionsmodelle der sechs regelmässigen vierdimensionalen Körper** von Dr. **V. Schlegel** in Hagen i. W. Verlag **L. Brill**, Darmstadt.

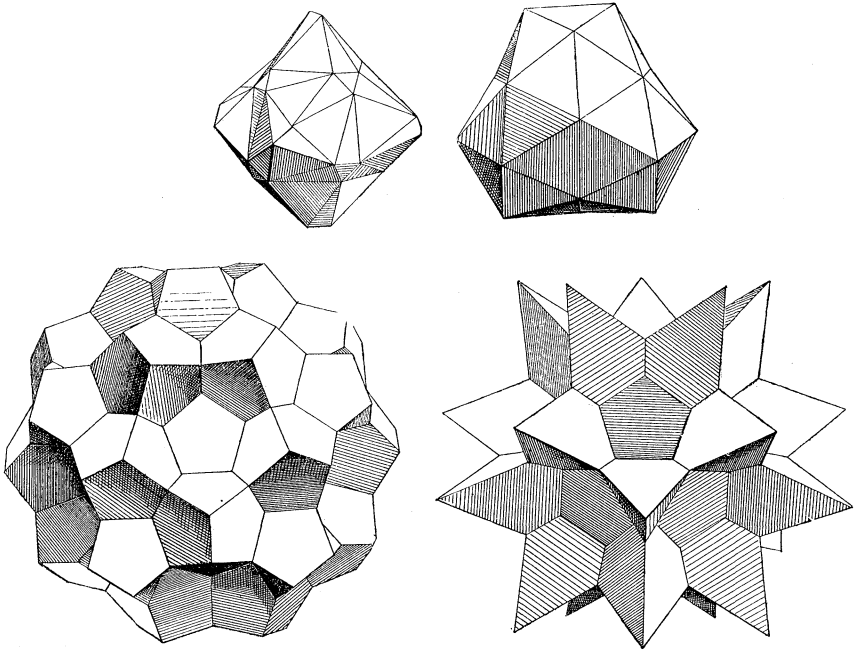
Spezialkatalog 183—186, 200, 201 (pag. 31 u. 87).

183. Fünfeck. 184. Achteck. 185. Sechzehneck. 186. Vierundzwanzigneck. 200. Sechshundertneck. 201. Hundertzwanzigneck.

Vergl. *Schlegel* »Theorie der homogen zusammengesetzten Raumgebilde« Nova Acta d. ksl. leop. Carol. Akad. Bd. 44, Nr. 4, sowie die der Modellserie beigegebene Abhandlung.

142 **Ansichten, Netze und Modelle aus Cartonpapier zu den Projectionsmodellen der zwei letzten regelmässigen, vierdimensionalen Körper** (Sechshundertneck, Hundertzwanzigneck.) Nach Zeichnungen von **V. Schlegel** in Hagen i. W. Verlag **L. Brill**, Darmstadt.

Spezialkatalog 208—210 (pag. 32 u. 89). (Abbildg. s. nächste Seite).



- 143** **Projectionsmodell des vierdimensionalen vierseitigen Prisma's und seine Zerlegung in vier inhaltsgleiche Fünfcelle.** Von **V. Schlegel** in Hagen i. W. Verlag **L. Brill**, Darmstadt.

Spezialkatalog 202 (pag. 33 u. 88.)

Vergl. *Schlegel*: Sur un théorème de géométrie à quatre dimensions. C. r. de l'Association franç. pour l'avanc. des Sciences 1885, sowie die dem Modell beigegebene Note.

L. Ebene Curven.

- 144** **Modell aus Messingrahmen und gespannten Drähten über die Erzeugung von Kegelschnitten durch zwei cyklisch-projective Strahlenbüschel.** Von Prof. **Chr. Wiener** in Karlsruhe. (Ausgeführt 1865).

Projicirt man ein Strahlenbüschel, durch welches der volle Winkel in eine Anzahl gleicher Teile geteilt wird, und nimmt die Projection zweimal, so erhält man zwei cyklisch-projective Strahlenbüschel, derart, dass einem Strahle des einen jeder Strahl des andern als entsprechend

zugeordnet werden kann; darunter befindet sich ein Paar congruenter Büschel. Zwei solche Strahlenbüschel sind durch feine Drähte dargestellt, welche in quadratische Rahmen eingespannt sind. Diese werden lose über einander gelegt und können gegen einander verschoben werden. Hängt man nun ein durch ein Gewichtchen beschwertes Häkchen an dem Kreuzungspunkte irgend zweier Drähte beider Rahmen ein, und dann in regelmässiger Folge Häkchen in den Kreuzungspunkten der folgenden Drähte, so bezeichnen die Häkchen Punkte eines Kegelschnittes, welcher sich beim Verschieben der Rahmen gegen einander durch das Gleiten der Häkchen auf den beiden umfassten Drähten verändert. Es können auf diese Weise alle Arten von Kegelschnitten, Ellipsen und Kreise, Hyperbeln, Parabeln dargestellt werden.

(Chr. Wiener.)

- 145 Die verschiedenen Arten des Kegelschnittbüschels und der Kegelschnittschar**, 12 Blätter Zeichnungen, ausgeführt (1885) im **math. Institut der techn. Hochschule München**. (Prof. **W. Dyck**), von stud. **J. Kleiber**.

Die Blätter stellen die nach den Realitätsverhältnissen der Grundelemente, bezw. deren getrennter oder vereinigter Lage zu unterscheidenden Typen dar.

- 146 Die sieben Haupttypen der ebenen Curven dritter Ordnung, nach Möbius auf einer Kugel dargestellt**. Ausgeführt im **Math. Seminar der Univ. Tübingen**, unter Leitung von Prof. **A. Brill**, von cand. **Dollinger**. Verlag von **L. Brill**, Darmstadt.

Spezialkatalog 204 u. 205 (pag. 40 u. 75).

Von den 7 Typen dieser sphärischen Curven sind drei durch Spaltung eines der 5 Newton'schen Haupttypen entstanden. Sie bestehen aus einem unpaaren Zug und unterscheiden sich nur durch die Lage der Verbindungslinie der Wendepunkte gegen das Dreieck der Wendetangenten. Sie sind hier auf *einer Kugel* (Nr. 204) vereinigt. Die *andere Kugel* (Nr. 205) enthält die Typen mit Oval, mit Doppel-, Rückkehr- und isolirtem Punkt.

Vergleiche hiezu die pag. 275 aufgezählten Fadenmodelle der Kegel dritter Ordnung.

- 47 Die verschiedenen Typen der rationalen Curven vierter Ordnung** ($p = 0$). Fünf Blätter Zeichnungen, ausgeführt im **Math. Institut der techn. Hochschule München** (Prof. **A. Brill**) von stud. **Chr. Wolff**.

Man vgl. hierzu den Aufsatz von *Brill*, *Math. Annalen*, Bd. 12.

- 148 Die verschiedenen Typen der ebenen Curven vierter Ordnung mit zwei Doppelpunkten** ($p = 1$). Drei Blätter Zeichnungen, ausgeführt (1880) nach Angabe von **H. Wiener** von stud. **Chr. Wolff**. **Math. Institut der techn. Hochschule München**.

Man vergl. bez. der gestaltlichen Verhältnisse dieser Curven und der gewählten Constructionsweise die Inaug.-Dissertationen der Herren *Wiener* (München 1880) und *P. Vogel* (Erlangen 1878).

- 149** Zwei Tafeln zur näherungsweise Darstellung einer Curve: a) von $y = \cos x$ durch die Anfangsglieder der Taylor'schen Reihe. b) von $y = \sqrt{x}$ durch die Anfangsglieder der Fourier'schen Reihe, ausgeführt (1892) im Math. Institut der technischen Hochschule München (Prof. Dyck) von stud. Baumer.

Die beiden Tafeln sollen (für Zwecke des Unterrichts) den charakteristischen Unterschied illustriren, der zwischen der näherungsweise Darstellung einer Function mit Hilfe der Taylor'schen Reihe und der mit Hilfe der Fourier'schen Reihe besteht.

Für die Curve $y = \cos x$ sind die neun ersten Näherungscurven gezeichnet, für $y = \sqrt{x}$ die ersten fünf.

(Dyck.)

- 150** Sechs Tafeln über die Schönheit der Linien, hervorgebracht durch Stetigkeit und Regelmässigkeit, von Prof. Chr. Wiener, techn. Hochsch. Karlsruhe, 1888.

Die *formale Schönheit der Linien* beruht allein auf ihrer Gestalt und ist unabhängig von dem Gegenstande, an welchem sie auftreten, während ihre *charakteristische Schönheit* ein Zeichen der Beglückungsfähigkeit dieses Gegenstandes ist. Die formale Schönheit wird durch ihre Gesetzmässigkeit hervorgebracht, und zwar insbesondere durch die Stetigkeit und die Regelmässigkeit, wobei unter Regelmässigkeit die nach einer gewissen Regel stattfindende Wiederholung von Teilen verstanden sein soll. Wir nennen eine krumme Linie zwischen zweien ihrer Punkte stetig von der 1. Ordnung, wenn man auf ihr von dem einen Punkte zum andern gelangen kann, wenn also die Linie keine Unterbrechung erleidet; stetig von der 2. Ordnung, wenn bei diesem Durchlaufen die Tangente alle Zwischenlagen durchschreitet, wenn also die Linie keine Ecken besitzt; stetig von der 3. Ordnung, wenn dabei der Krümmungskreis alle Zwischen gestalten durchläuft, wenn also an keiner Stelle ein Sprung von einer Krümmung zu einer davon verschiedenen stattfindet; und kann ebenso von Stetigkeiten höherer Ordnung sprechen. Die bezeichneten drei Stetigkeiten empfindet ein Beschauer angenehm, und den Mangel, selbst der dritten, fühlt er als unbefriedigend und verletzend, auch wenn er ungeübt ist.

Das erste Blatt zeigt eine Ellipse und 4 Kreisbogenovale (Korb-bogen) von demselben Axenverhältnisse (1 : 2). Die letzteren sind aus 4 Kreisbogen von zweierlei Halbmessern zusammengesetzt. Keine derselben erreicht auch nur annähernd die Schönheit der Ellipse. Am er-

träglichsten ist diejenige, bei welcher das Verhältnis des grösseren zum kleineren Halbmesser ein Minimum ist, weniger, wenn die Differenz dieser Halbmesser am kleinsten wird; noch etwas besser wirkt eine Ovale, welche zwischen den letzt genannten liegt. — Ebenso zeigen construirte Curven 4. Ordnung schönere Formen, als Linien von angenäherten Gestalten, die aus wenigen Kreisbogen zusammengesetzt sind.

Die Regelmässigkeit kann durch Symmetrie hervorgebracht werden; deswegen zeigen Kreisbogenovale, da sie zwei Symmetrieaxen besitzen, doch noch eine gewisse Schönheit. Auf der Symmetrie beruht die Wirkung des Kaleidoskopes, zu welchem auch unschöne Linienzüge durch symmetrische Wiederholung im Winkel zu angenehm wirkenden Sternfiguren zusammengesetzt werden. Auch neben einander liegende wiederholte Formen wirken angenehm, wie Bauglieder, die Bestandteile eines Gitters u. a. Eine Veränderung bei der Wiederholung, wie sie in gesetzmässiger Weise durch die perspective Abbildung hervorgebracht wird, erhöht den Reiz. — Der Kreis hat unendlich viele Symmetrieaxen und wurde von den Alten für die vollkommenste Linie erklärt; er ist aber wegen seiner unveränderlichen Krümmung arm gegen die Ellipse. Es sind noch die Sinuslinie, welche von *Hogarth* für die Schönheitslinie erklärt wurde, sowie ihre perspective Veränderung, dargestellt; ebenso die verschlungene Cykloide, welche als Projection einer Schraubenlinie auftreten kann. Die Schlangenlinie, worunter die Schraubenlinie des Cylinders und die Schneckenlinie des Kegels gemeint sind, erklärte Hogarth für die reizvollste Linie. Besonders befriedigend wirkt eine Schar von gesetzmässig in einander übergehenden Linien, wie die Cassinischen Linien, welche die Lemniskate einschliessen. (Verhandlungen des Naturwissenschaftlichen Vereins in Karlsruhe; Vortrag vom 11. Mai 1888; in dem bald erscheinenden 11. Bande.)

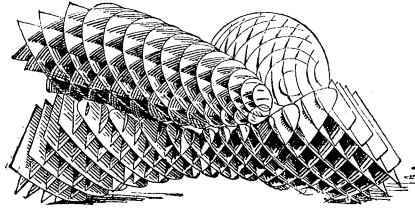
(Chr. Wiener.)

M. Algebraische Flächen.

Flächen zweiter Ordnung.

- 151 **Kreiskegel mit ebenen Schnitten nach einer Ellipse, Hyperbel und Parabel** (aus Gips), nach den Schnitten zerlegbar. Verlag von **L. Brill**, Darmstadt.
- 152 **Kegel mit Kreis-, Ellipsen-, Parabel- und Hyperbelschnitt** (aus Holz) nach Angabe von **G. Köpp**, ausgeführt von der **Lehrmittelanstalt J. Ehrhard & Co.** in Bensheim (Hessen).
(Näheres *Specialkatalog.*)

- 153** **Beweglicher Cylinder, in ein einschaliges Hyperboloid deformirbar**, nach Angabe von **G. Köpp**, ausgeführt von der **Lehrmittelanstalt J. Ehrhard & Co.** in Bensheim (Hessen).
(Näheres *Spezialkatalog.*)
- 154** **Einschaliges Hyperboloid in Fadeneconstruction**, nach Angabe von **G. Köpp**, ausgeführt von der **Lehrmittelanstalt J. Ehrhard & Co.** in Bensheim (Hessen).
(Näheres *Spezialkatalog.*)
- 155** **Carton-Modelle von Flächen zweiter Ordnung**, construirt nach Angabe von Prof. **A. Brill** (München) Univ. Tübingen. Verlag **L. Brill**, Darmstadt.
Spezialkatalog pag. 1 und 57.
5, 6. Zwei Ellipsoide.
10. Einschaliges Hyperboloid.
18. Zweischaliges Hyperboloid.
22. Elliptisches Paraboloid.
26. Hyperbolisches Paraboloid.
16. Kegel.



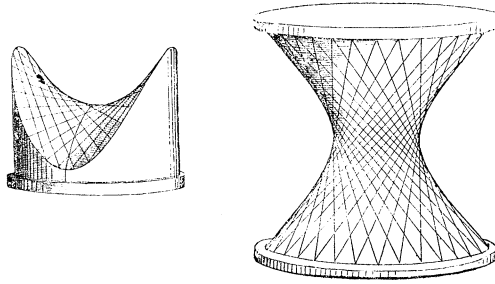
Diese im Jahre 1874 veröffentlichten Modelle verdanken ihr Entstehen der Anregung, die das auf der Mathematischen Versammlung in Göttingen ausgestellte Modell eines elliptischen Paraboloids, von Prof. *Henrici* in London, aus Halbkreisen zusammengesetzt, dem Urheber gab. Er änderte die Construction in zweckentsprechender Weise ab und dehnte das Verfahren auf die Darstellung aller Flächen zweiter Ordnung aus.

Näheres vergl. die der Modellserie beigegebene Abhandlung.

(A. Brill.)

- 156** **Gipsmodelle von Flächen zweiter Ordnung**, ausgeführt (1878) unter Leitung von Prof. **A. Brill** von stud. mech. **R. Diesel**; **Math. Institut der techn. Hochschule München.** Verlag **L. Brill**, Darmstadt.
Spezialkatalog pag. 7 und 57.
1, 2. Zwei Ellipsoide.
8, 9. Zwei einschalige Hyperboloide.
17. Zweischaliges Hyperboloid.

20. Elliptisches Paraboloid.
 23, 24, 25. Drei hyperbolische Paraboloid.
 14. Elliptischer Kegel.



Die gleiche Serie mit aufgetragenen Krümmungslinien vgl. unter I.
 Ebendort unter I . . . vergleiche man auch die Serie confocaler
 Flächen zweiter Ordnung von Schwarz und Neovius.

157 Fadenmodelle von Flächen zweiter Ordnung, dargestellt durch Seidenfäden in Messinggestellen. Verlag **L. Brill**, Darmstadt.

Spezialkatalog pag. 7 u. 58.

11. Unveränderliches Hyperboloid mit Asymptotenkegel. (Fig. 1.)

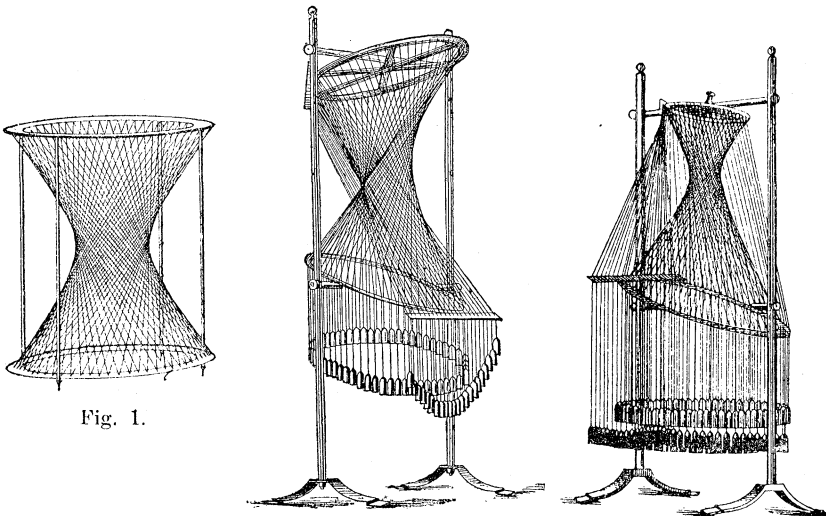


Fig. 1.

Fig. 2.

Fig. 3.

12. Bewegliches Hyperboloid mit einer Schar von Erzeugenden und mit einem berührenden hyperbolischen Paraboloid. Die Leitkreise können auch schief gegeneinander gestellt werden, wodurch man (vgl. Fig. 2) windschiefe Flächen vierter Ordnung erhält.

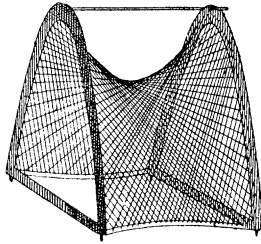


Fig. 4.

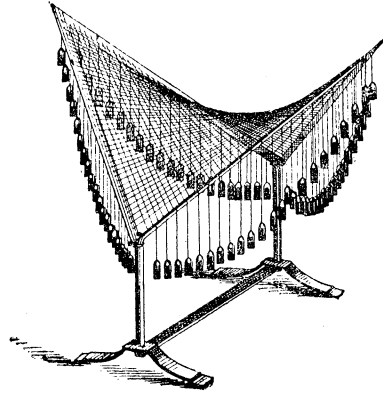


Fig. 5.

13. Bewegliches Hyperboloid mit zwei Scharen von Erzeugenden (Fig. 3.)
 28. Unveränderliches hyperbolisches Paraboloid. (Fig. 4.)
 29. Bewegliches hyperbolisches Paraboloid. (Fig. 5.)

- 158 **Fadenmodelle zur Herstellung der geradlinigen Flächen zweiter Ordnung, sowie der Classenkegelschnitte aus zwei projectiven Punktreihen.** Hergestellt (1878 und 1892) von stud. math. **E. Lange** und **K. Fischer** im **Math. Institut der techn. Hochschule München.**

Es sind in

1. zwei ähnlichen Punktreihen
2. zwei gleichlaufend
3. zwei entgegenlaufend projectiven Punktreihen

die entsprechenden Punkte durch Fäden verbunden; die Lagen der beiden auf einander bezogenen Punktreihen können beliebig geändert und dadurch die verschiedenen Flächen, bez. im Grenzfall Curven zweiter Ordnung erzeugt werden. Man vergl. hierzu die auf dem gleichen Princip beruhenden Modelle von *Buka* (unter N, Nr. 186.)

- 159 **Zwei Kegel mit zwei gemeinsamen Tangentialebenen, nach Angabe von Prof. Ch. Wiener, techn. Hochschule Karlsruhe, ausgestellt vom Math. Institut der techn. Hochschule München.**

Fadenmodell. Die Spitze des einen Kegels ist beweglich. Die in zwei Ellipsen zerfallende Schnittcurve der beiden Kegel ist durch kleine, je in die entsprechenden Erzeugenden eingeschaltete Ringe markirt.

- 160 Zwei Fadenmodelle**, darstellend den Schnitt zweier Flächen 2. O.
 in 4 reellen Geraden
 in 2 reellen Geraden und 2 imaginären Geraden 2. Art (nach *Staudt*),
 von Privatdocent **H. Wiener**, Univ. Halle a. S.
- 161 Modell zweier beweglicher Hyperboloide, welche immer confocal bleiben.** Von Prof. **O. Henrici** in London.

Im Jahre 1873 stellte Prof. *Henrici* einem seiner Schüler im University College die Aufgabe, aus dünnen Stäben ein einschaliges Hyperboloid herzustellen, indem er an drei sich nicht schneidende Stäbe andere anlegte und dieselben, wo sie sich schneiden, durch einen Faden zusammenband. Er sagte, dass das so entstehende Modell bald fest werden würde. Zu seiner Überraschung stellte sich jedoch heraus, dass das Modell beweglich blieb. Es war nicht schwer, nachträglich den Grund hiervon einzusehen und es ergab sich der Satz: Wenn man die Erzeugenden eines einschaligen Hyperboloids als starre Geraden betrachtet, die überall, wo sie sich treffen, fest verbunden sind, aber so, dass an jedem Schnittpunkte eine freie Bewegung der einen um die andere möglich bleibt, so ist das Hyperboloid nicht starr, sondern erlaubt eine Deformation in eine einfach unendliche Anzahl anderer Hyperboloide.

Jeder Punkt auf der Fläche bewegt sich bei der Deformation immer auf der Normalen. Hält man bei der Deformation den Mittelpunkt und die Richtungen der Haupttaxen fest, so bilden die verschiedenen Lagen des Hyperboloids eine Reihe confocaler Hyperboloide, während jeder Punkt die Schnittlinie eines festen confocalen Ellipsoids und eines solchen zweischaligen Hyperboloids durchläuft. Die verschiedenen Lagen eines Punktes sind daher, im Ivory'schen Sinne, entsprechende Punkte auf den verschiedenen Hyperboloiden.

Das bewegliche Hyperboloid lässt sich in doppelter Weise so deformiren, dass alle Erzeugenden in einer Ebene liegen. Man erhält dann die Hesse'schen Grenzflächen, begrenzt durch die Focaleurven des Systems, welche als Einhüllende der Erzeugenden erscheinen. Die eine ist, wie bekannt, eine Hyperbel, die andere eine Ellipse. Es werde nun eine Zeichnung dieser Ellipse gemacht mittelst einer Anzahl Tangenten. Diese werden so gewählt, dass ihre Schnittpunkte auf confocalen Ellipsen respective Hyperbeln liegen, d. h. durch die Tangente wird der ausserhalb der Ellipse liegende Teil der Ebene in Vierecke zerlegt. Geht man nun von einem Schnittpunkte aus längs einer Diagonale eines solchen Vierecks und in demselben Sinne längs der Diagonale des nächsten Vierecks, so erhält man eine Reihe von Punkten auf einer Ellipse oder Hyperbel,

je nachdem man die eine oder die andere Diagonale wählt. Um dies zu erreichen, verfährt man wie folgt. Zunächst wählt man die Axen der Focalellipse und verzeichnet das dieser Ellipse umschriebene Rechteck, dessen Seiten diesen Axen parallel sind und bestimmt ihre Brennpunkte. Mittelst der letzteren findet man die Scheitelpunkte derjenigen Ellipse, welche durch die Ecken dieses Rechtecks geht und der ersten confocal ist. Das durch diese Punkte bestimmte Parallelogramm ist wieder der ersten Ellipse umschrieben. Durch die Punkte, wo die Seiten des Parallelogramms diejenigen des Rechtecks schneiden, lässt sich abermals eine confocale Ellipse legen, deren Scheitelpunkte wieder mittelst der Brennpunkte zu ermitteln sind. Von diesen zieht man Tangenten an die erste Ellipse. Man hat dann 16 Tangenten der letzteren. Diese geben jede doppelt gerechnet die 32 Erzeugenden, aus denen jedes Hyperboloid des Modelles gebildet ist. Auf diese Zeichnung wurden die Stäbe längs den Tangenten gelegt und die Schnittpunkte markirt. An den markirten Stellen erhielten die Stäbe kleine Einkerbungen und wurden nachher durch Zwirnfäden zusammengebunden. Es entstand so ein Modell, welches sehr frei beweglich ist. Auf demselben sind die Krümmungslinien derjenigen Curven, welche man erhält, wenn man von einem Schnittpunkte auf die oben beschriebene Weise zum nächsten übergeht.

Bei der Deformation des Modelles beschreibt dann eine solche Curve ein confocales Ellipsoid oder zweischaliges Hyperboloid.

Das so angefertigte Modell wurde im Januar 1874 der London Math. Society vorgelegt.

Bald darauf wurden zwei weitere Modelle nach derselben Zeichnung angefertigt und so verbunden, dass sie sich zusammen bewegen und zugleich confocal bleiben. Dies ward auf folgende Weise bewerkstelligt. Bekanntlich bilden sechs confocale Flächen, zwei von jeder Art, eine Anzahl krummflächiger Parallelepipede, welche alle ihre Diagonalen von gleicher Länge haben. Vier solche Diagonalen-Paare, durch Stäbe repräsentirt, wurden angebracht und zeigten sich genügend, die gewünschte Verbindung herzustellen.

Es ist dies das Modell, welches ausgestellt ist.

Es dürfte von Interesse sein, auch die Anfertigung der Stäbe zu beschreiben. Die Stäbe aus Tannenholz, wie sie zu Matten vielfach benützt werden, sind zu zerbrechlich. Ich wählte daher Lance-wood, welches, wenigstens in England, zu Wagenschäften, sowie zu Masstäben etc. vielfach benützt wird. Es ward auf einer Sägemühle in dünne Stäbe geschnitten und dann, um diese abzurunden, durch die Löcher einer zum Drahtziehen gebrauchten Platte gezogen. Es ist hierbei nötig, die Stäbe einige Zeit in Wasser zu legen und sowie sie zu hart werden, wiederholt zu erweichen.

Es mögen hier noch einige weitere Eigenschaften des beweglichen Hyperboloids angegeben werden.

Es ist von Interesse zu bemerken, dass das bewegliche Hyperboloid erlaubt, eine durch Tangenten, jede doppelt gezählt, bestimmte Ellipse durch eine endliche räumliche Deformation in eine Hyperbel überzuführen.

Ferner erhält man einen sehr anschaulichen Beweis von Brianchon's Theorem. Markirt man nämlich auf dem Hyperboloid ein durch sechs Erzeugende gebildetes Sechseck, so sieht man sofort, dass dessen Diagonalen sich in einem Punkte schneiden, weil sie nämlich die Schnittlinien von drei Ebenen sind. Deformirt man nun, bis die Fläche in eine Focalcurve des Systems übergeht, so erhält man, als Grenzfall, Brianchon's Satz.

Auch die weitere Entwicklung der Theorie und Anwendung des beweglichen Hyperboloids möge erwähnt werden. Bald nachdem ich das erste Modell der Math. Soc. vorgelegt hatte, stellte Prof. *Greenhill* an der Universität Cambridge eine auf dasselbe bezügliche Examinationsaufgabe. Diese ward nachher von *Cayley* behandelt (*Messenger of Mathematics*) und hiedurch ward die Eigenschaft der Beweglichkeit weiter bekannt. Dann haben sich verschiedene Mathematiker mit derselben beschäftigt. Namentlich haben *Darboux* und *Mannheim* schöne Anwendungen auf Poinso'ts Theorie rotirender Körper gemacht.

(O. Henrici.)

Flächen höherer Ordnung.

(Vergl. hiez u auch eine Reihe der unter N, O, P aufgezählten Modelle.)

- 162** Zwei stereoskopische Photographien des Modelles einer Fläche dritter Ordnung mit 27 reellen Geraden. Von Prof. Chr. Wiener, Karlsruhe. Verlag von B. G. Teubner. Leipzig 1869. Ausgestellt vom Math. Institut der techn. Hochschule München.
- 163** Serie von Flächen dritter Ordnung, sämtliche charakteristische Typen derselben darstellend, sowie die wichtigsten ihrer Hesse'schen Flächen. Ausgeführt 1884 von Prof. Rodenberg (Darmstadt), Hannover. Verlag von L. Brill, Darmstadt.

Spezialkatalog:

30. Die Diagonalfäche (Fig. 1).

31- 35. Fläche mit vier reellen conischen Knotenpunkten und col-lineare Verwandlungen derselben.

36, 37. Fläche mit drei reellen conischen Knotenpunkten.

38. Fläche mit einem biplanaren Knotenpunkt B_3 , dessen zwei Tangentialebenen reell sind.

39. Fläche mit einem biplanaren Knotenpunkt B_3 , dessen Tangentialebenen conjugirt imaginär sind.

40. Fläche mit drei reellen biplanaren Knotenpunkten B_3 .
 41–44. Flächen mit biplanaren Knotenpunkten höherer Ordnung
 (B_4, B_5, B_6).
 45–48. Flächen mit uniplanarem Knotenpunkt U_6 , bez. U_7, U_8 .

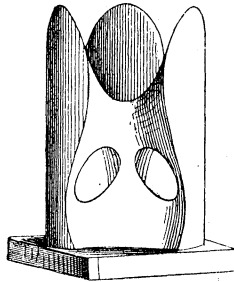


Fig. 1.

- 49–52. Regelflächen dritter Ordnung.
 53. Drahtmodell zur Darstellung der Abbildung der Flächen mit
 1, 2, 3, 4 conischen Knotenpunkten auf den Punktraum (reelles Penta-
 eder).
 54 und 55. Hesse'sche Fläche zur Fläche mit vier reellen conischen
 Knotenpunkten (Nr. 31; Fig. 2.)
 56. Hesse'sche Fläche zur Fläche mit drei reellen conischen Knoten-
 punkten (Nr. 36; Fig. 3).

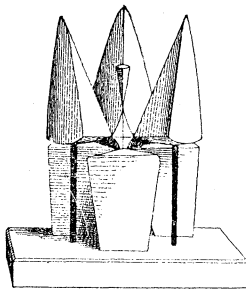


Fig. 2.

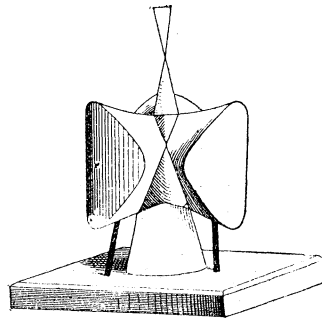


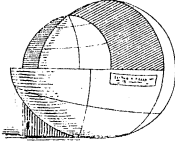
Fig. 3.

Näheres vergl. pag. 14 und 60 des Specialkataloges von *L. Brill*,
 sowie die der Modellsreihe beigegebene Abhandlung, in welcher auch die
 Literatur über den Gegenstand angeführt ist.

- 164 **Zehn Modelle von Cykliden**, ausgeführt im **math. Institut der technischen Hochschule München** (Prof. **A. Brill**) von Assistent **P. Vogel** und stud. math. **S. Finsterwalder** (1880 und 1884). Verlag von **L. Brill**, Darmstadt.

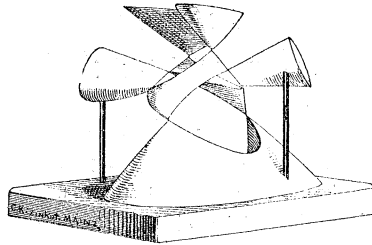
Spezialkatalog 57—66, pag. 11, 21 und 65.

Die Modelle 57—63 stellen *Dupin'sche Cykliden* dar (vergl. eine Abhandlung von Clerk Maxwell im Quart. Journ. of Math. Bd. 9). — Nr. 58, 59 sind Abgüsse der im Besitze des math. Seminars in Berlin befindlichen, von Herrn *Kummer* angefertigten Originale. Die Modelle 64—66 stellen allgemeine Cykliden dar; Nr. 64 mit 2 imaginären Doppelpunkten, Nr. 65 mit 2 imaginären und einem reellen, Nr. 66 mit einem uniplanaren Knotenpunkt, der durch Zusammenziehen der drei Knoten in 65 entstanden ist.



- 165 **Drei Modelle der Kummer'schen Fläche**, ausgeführt im **math. Institut der techn. Hochschule München** (Prof. **F. Klein**), von stud. math. **K. Rohn** (1877). Verlag von **L. Brill**, Darmstadt.

Spezialkatalog 67—69, pag. 5 und 66; wo auch die einschlägige Literatur citirt ist.



Die drei Modelle unterscheiden sich nach der Realität der Knotenpunkte: 16, 8, 4 der Knotenpunkte (und Doppeltangentialebenen) reell.

- 166 **Serie von Flächen vierter Ordnung mit vier längs Kreisen berührenden Ebenen**, nach Geh. Rat Prof. **Kummer**, Univ. Berlin. Verlag von **L. Brill**, Darmstadt.

Spezialkatalog 70—75; pag. 19 und 67.

Die sechs Modelle sind Copien der im Besitze des math. Seminars der Universität Berlin befindlichen Originale. Man vergl. die Abh. von *Kummer* in den Monatsber. der k. Akad. d. W., Berlin 1862.

Die Gleichung aller dieser Flächen lässt sich auf die Form

$$\varphi^2 - \lambda p q r s = 0$$

bringen, wo $\varphi = 0$ die Gleichung einer Kugel, p, q, r, s die linken Seiten der Gleichungen der Ebenen eines regulären, mit der Kugel concentrischen Tetraeders bedeuten. Dabei ergibt das gegenseitige Grössenverhältnis

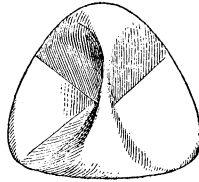


Fig. 1.

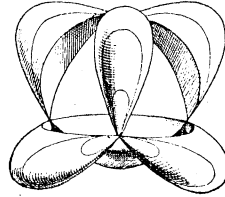


Fig. 2.

von Kugel und Tetraeder die verschiedenen Typen, unter denen sich insbesondere auch die Steiner'sche (sog. Römische) Fläche befindet (Nr. 72; Fig. 1).

167 Drei Modelle der Steiner'schen Fläche, ausgeführt von Prof. K. Rohn, an der techn. Hochschule Dresden.

Bei der allgemeinen Steiner'schen Fläche mit *drei reellen* Doppelgeraden:

$$2xyzw + a_1y^2z^2 + a_2z^2x^2 + a_3x^2y^2 = 0$$

haben die Pinchpoints auf diesen die Coordinaten:

$$0, 0, 1, \pm \sqrt{a_1 a_2}, \text{ ferner } 0, 1, 0, \pm \sqrt{a_1 a_3}, \text{ endlich } 1, 0, 0, \pm \sqrt{a_2 a_3}.$$

Bei gleichem Vorzeichen der a sind alle Pinchpoints null, bei verschiedenem aber nur auf einer Doppelgeraden. Dieser Fall ist modellirt; die Ebenen, welche längs Kegelschnitten berührt, sind imaginär; die benützte Gl. ist: $4xyz + y^2z^2 + z^2x^2 - 4x^2y^2 = 0$.

Die Steiner'sche Fläche mit *Selbstberührungsgerade* und einer *Doppelgeraden*, die durch Zusammenrücken zweier Doppelgeraden aus der allgemeinen entsteht, zeigt nur noch 3 Pinchpoints (außerhalb des dreifachen Punktes) und zwar *einen* auf der Doppel- und *zwei* auf der Selbstberührungsgeraden. Durch ersteren Punkt und je einen der beiden letzteren gehen die beiden Ebenen, die die Fläche längs eines Kegelschnittes berühren. Modellirt ist die Fläche: $x^2z - x^4 - x^2z^2 - y^2z^2 = 0$, sie trägt auf der y -Axe die Pinchpoints $\pm \frac{1}{2}$, auf der z -Axe den Pinchpoint 1.

Die Steiner'sche Fläche mit *Selbstosculationsgeraden* besitzt nur noch einen einzigen Pinchpoint und durch ihn eine längs eines Kegelschnitts (im Modell ein Kreis) berührende Ebene. Im Modell schneidet auch die Ebene durch die singuläre Gerade senkrecht zur Osculationsebene einen Kreis aus. Die Gleichung der Fläche ist: $-wx^3 + (xz - y^2)^2 = 0$.

(Rohn.)

168 **Drei Gipsmodelle, einer Familie von Flächen vierter Ordnung angehörnd.** Von Ingenieur **K. A. Mayer** in Einbeck (Hannover).

169 **Modell einer Fläche vierter Ordnung mit zwei sich schneidenden Doppelgeraden (sog. böhmisches Gewölbe) und einer Fläche achter Ordnung, angefertigt (1885) im math. Institut der techn. Hochschule München (Prof. A. Brill) von stud. math. Finsterwalder.** Verlag von **L. Brill**, Darmstadt.

Specialkatalog 77 und 78; pag. 21. 22 und 69.



Die Fläche vierter Ordnung entsteht dadurch, dass ein Kreis sich mit seinem Mittelpunkte auf einem festen Kreise fortbewegt, dabei mit seiner Ebene immer parallel zu sich selbst und senkrecht zum festen Kreise bleibend.

Die Fläche achter Ordnung entsteht durch Bewegung einer Kreislinie, deren Ebene senkrecht zur Ebene zweier sich senkrecht schneidender Geraden bleibt, während die Endpunkte eines Durchmessers bezw. auf diesen Geraden gleiten.

170 **Gipsmodell der Fläche, welche die Kugeln von gleichem Radius einhüllt, deren Mittelpunkte auf einer Parabel liegen; angefertigt von Prof. O. Henrici, ausgestellt von der Londoner Mathematischen Gesellschaft.**

Die Fläche ist von der 6. Ordnung. Sie hat eine Doppelcurve und eine Cuspidalcurve. Auf einer Seite der Ebene, in welcher die Leitparabel liegt, ist die äussere Fläche, auf der anderen der im Innern liegende Teil mit den singulären Curven dargestellt. Die Doppelcurve ist eine Parabel, welche der Leitparabel congruent ist, aber in einer zur letzteren rechtwinkligen Ebene liegt. Die Fläche kann also auch als Einhüllende der Kugel aufgefasst werden, welche so rollt, dass sie beide Zweige einer Parabel berührt. Die Doppelcurve tritt an zwei Punkten A aus der Fläche heraus und wird dann isolirte Curve.

Die Cuspidalcurve besteht aus zwei endlichen Zweigen, die sich in den Punkten A Spitzen bildend vereinigen.

(O. Henrici.)

171 **Fläche 6. Ordnung, geometrischer Ort der Mittelpunkte der Sehnen einer symmetrischen Raumcurve 4. Ordnung 1. Species.** Ausgeführt im **mathematischen Institut der technischen Hochschule München** (unter Leitung von Prof. **Finsterwalder**) vom gepr. Lehramtscand. **F. Böhmländer**.

Die Mittelpunktsfläche der Sehnen einer Raumcurve kann immer als Rückungsfläche aufgefasst werden, die durch Bewegung parallel zu sich selbst der auf die halbe Dimension reducirten Raumcurve entsteht, wobei ein Punkt wieder eine gleiche Raumcurve beschreibt. Auf einer solchen Fläche liegt demnach eine doppelte Schar congruenter Raumcurven.

Von den beiden Modellen stellt das grössere, zerlegbare den Teil der Fläche dar, der von den Mittelpunkten reeller Sehnen erfüllt wird, auf dem kleineren Modell ist die Fläche erweitert, wodurch noch die reellen Mittelpunkte von Sehnen mit conjugirt imaginären Endpunkten zur Erscheinung kommen. Der mittlere Teil beider Modelle ist der Ort der Mittelpunkte von Sehnen, deren Endpunkte auf verschiedenen Zweigen der Curve liegen, der umgebende Teil enthält die Mittelpunkte der Sehnen eines Zweiges. Die Enveloppe der Curvenschar auf diesem Teil ist die ursprüngliche Raumcurve.

(Finsterwalder.)

Vergleiche hier und für die folgende Lit. N. noch eine Reihe der unter No. 128 aufgeführten Modelle des Verlages von *Delagrave*, Paris.

N. Raumcurven und abwickelbare Flächen; Regelflächen.

- 172 Die Raumcurven dritter Ordnung auf Cylindern zweiter Ordnung.** Ausgeführt im **Mathem. Institut der techn. Hochschule München** (unter Leitung von Prof. **Klein**) von stud. math. **E. Lange** (1879). Verlag von **L. Brill**, Darmstadt.

Spezialkatalog 90 (pag. 13 und 73), sowie die dem Modell beigegebene Abhandlung.

a) Die cubische Ellipse. b) Die cubische Hyperbel. c) Die cubische Parabel. d) Die cubisch-hyperbolische Parabel.

- 173 Die vier Gestalten der Raumcurve 3. Ordnung.** Vier Fadenmodelle und vier Drahtmodelle von Privatdocent **H. Wiener**, Univ. Halle a/S.

Die Gestalten der Raumcurve dritter Ordnung sind dargestellt

a) durch die abwickelbare Fläche ihrer Tangenten.
b) als Punktcurven durch Drähte.

- 174 Modell aus Holzrahmen und Seidenfäden über die cubische hyperbolische Parabel als teilweiser Schnitt zweier Cylinder zweiten Grades**, ausgeführt von dem Studirenden **Duffing**, 1881, im **Seminar für darstellende Geometrie an der techn. Hochschule zu Karlsruhe** unter Leitung von Prof. **Chr. Wiener**.

Von den im Seminar angefertigten derartigen Modellen der Raumcurven 3. Ordnung ist dieses Beispiel ausgewählt. Ein parabolischer und ein hyperbolischer Cylinder mit seinen beiden Asymptotenebenen sind aus Fäden von verschiedener Farbe dargestellt und so angeordnet, dass die eine Asymptotenebene durch die unendlich ferne Erzeugende des parabolischen Cylinders geht. Dadurch haben beide Cylinder eine unendlich

ferne Erzeugende gemein, und der Rest ihrer Schnitteurve ist die cubische hyperbolische Parabel, welche die Gerade und die Parabel zu Asymptoten hat, in welchen der parabolische Cylinder von den genannten Asymptotenebenen geschnitten wird. Die Curven sind durch weisse bzw. schwarze Perlen dargestellt, durch welche je ein Faden der beiden sich schneidenden Flächen geht.

(Chr. Wiener).

175 Vier Fadenmodelle zu der Raumcurve vierter Ordnung erster Art und ihrer abwickelbaren Fläche. Hergestellt (1884) von **H. Wiener**, jetzt Privatdocent Univ. Halle a/S. Verlag von **L. Brill**, Darmstadt.

Spezialkatalog 91—94 (pag. 24 und 74). Die Modelle sollen die Haupteigenschaften derjenigen Raumcurven vierter Ordnung, die der Schnitt der Flächen zweiter Ordnung eines Büschels sind, sowie der abwickelbaren Fläche ihrer Tangenten und der Doppelcurve dieser Fläche zur Anschauung bringen.

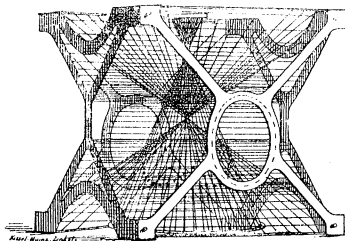


Fig. 1.

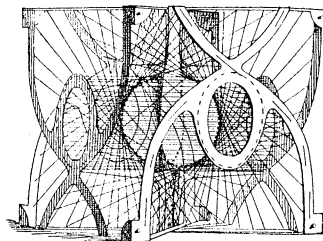


Fig. 2.

91. *Erster Fall*: Die Curve liegt auf vier reellen Kegeln. Darstellung der Curve als Schnitt dieser Kegel. (Fig. 1.)
92. „ „ Die abwickelbare Fläche der Tangenten der Curve.
93. *Zweiter Fall*: Die Curve liegt auf zwei reellen und zwei imaginären Kegeln. Darstellung als Schnitt jener beiden. Die abwickelbare Fläche ihrer Tangenten. (Fig. 2.)
94. *Dritter Fall*: Die Curve liegt auf vier imaginären Kegeln. Darstellung als Schnitt zweier geradliniger Hyperboloide. Die abwickelbare Fläche der Tangenten.

176 Modelle aus Holzrahmen und Seidenfäden über die Raumcurve 4. Ordnung 2. Art als teilweiser Schnitt einer Regelfläche 3. Grades mit einem einschaligen Hyperboloide. Construiert und ausgeführt im **Seminar für darstellende Geometrie an der techn. Hochschule zu Karlsruhe** unter Leitung von Prof. **Chr. Wiener**.

Diese beiden Flächen bilden die fragliche Schnitteurve, wenn sie ausserdem 2 Gerade gemein haben, welche nicht in einer Ebene liegen,

oder welche in der Doppelgeraden der Fläche 3. Grades zusammenfallen. (Vgl. *Chr. Wiener, Lehrbuch der darstellenden Geometrie*, Bd. 2, S. 459.) Der letztere Fall ist in den Modellen zu Grunde gelegt; beide Regelflächen sind durch Fäden dargestellt, und ihre Schnittlinie durch Perlen oder durch einen aufgelegten stärkeren Faden. Die Fälle sind nach der Anzahl der reellen unendlich fernen Punkte unterschieden. Diese verschiedenen Fälle sind durch die gegen einander concentrisch gelegten Richtkegel der beiden Flächen hergestellt, deren Erzeugenden bezw. mit einer Erzeugenden der sich schneidenden Flächen parallel sind. Die Schnittlinien der Richtkegel mit einer Ebene sind eine Curve 3. Ordnung mit einem Doppelpunkte, welcher der Doppelgeraden entspricht, und ein durch diesen Doppelpunkt gehender Kegelschnitt. Ausserdem haben diese Curven 4 Punkte gemeinsam, von deren Reellität die Reellität der unendlich fernen Punkte unserer Raumcurve abhängt.

a) *Die 4 unendlich fernen Punkte sind alle imaginär.* Das Modell ist von dem Studirenden *Eisele* im Jahre 1881 hergestellt.

b) *Zwei unendlich ferne Punkte sind reell und getrennt.* Stud. *Ullmann*, 1881.

Man erkennt das Schneiden der Curve mit den Erzeugenden der einen Schar des Hyperboloides in je 3 Punkten und der anderen Schar in je einem Punkte. Die Curve windet sich schraubenartig im Sinne der letzteren Erzeugenden.

c) *Die 4 unendlich fernen Punkte sind reell und fallen zusammen.* Stud. *Zimmermann*, 1882.

d und e) *Die 4 unendlich fernen Punkte sind reell und getrennt.* Studirender und Assistent *Tesch*, 1892.

d) Die Curve besteht aus 4 Ästen; jeder Ast strebt seinen beiden unendlich fernen Punkten auf den verschiedenen Seiten eines elliptischen Schnittes des Hyperboloides zu.

e) Wie vorher; nur streben zwei Äste ihren unendlich fernen Punkten auf den verschiedenen Seiten jenes elliptischen Schnittes zu, zwei auf derselben Seite. Einer der ersteren Äste zeigt den Verlauf einer Schlangenlinie.

(Chr. Wiener.)

177 **Drei Modelle aus Holzrahmen und Seidenfäden über die Raumcurve 4. Ordnung 2. Art als Schnitt zweier Flächen F und G 2. Grades und deren Imaginärprojectionen in Bezug auf einen Punkt P, der eine gemeinsame Polarebene P zu F und G besitzt.** Construiert und ausgeführt im Seminar für darstellende Geometrie an der technischen Hochschule zu Karlsruhe unter Leitung von Prof. **Chr. Wiener.**

Unter der Imaginärprojection eines Kegelschnittes k in seiner Ebene (vergl. die angeführte darstellende Geometrie, Bd. 1, S. 315 ff.) in Bezug auf einen Punkt P und seine Polare p zu k verstehe ich die Gesamtheit

der Punkte, welche auf Strahlen, die von P ausgehen, in Bezug auf k einander conjugirt und zugleich durch P und p harmonisch getrennt sind. Diese Punkte sind reell auf den Strahlen, welche den k imaginär schneiden. Die Imaginärprojection ist wieder ein Kegelschnitt und heisst auch die zu k in Bezug auf P und p conjugirte Curve. Ist P unendlich fern, so sind jene Punktepaare die ideellen Doppelpunkte der auf den Strahlen gebildeten Involution conjugirter Punkte; ihre Abstände von p , gemessen auf dem Strahle, sind die ihres Faktors i beraubten rein imaginären Coordinaten der Curvenpunkte. Für zwei Kegelschnitte k und l derselben Ebene werden die imaginären Schnittpunkte dargestellt durch ihre Imaginärprojectionen in Bezug auf einen Punkt P , welcher dieselbe Gerade p zur Polaren in Bezug auf k und l besitzt, wenn man die Imaginärprojectionen k' und l' von k und l in Bezug auf P und p zum Schnitt bringt. Die Strahlen aus P durch je 2 solche Schnittpunkte besitzen dann dieselbe Involution conjugirter Punkte zu k und l , oder sie besitzen von beiden Curven ihre gemeinsamen Punkte.

Entsprechend kann man von einer Fläche F 2. Grades die Imaginärprojection F' in Bezug auf einen Punkt P und seine Polarebene P bestimmen; sie ist wieder eine Fläche 2. Grades (Bd. 2, S. 89 ff.); und entsprechend die Imaginärprojection der Schnittcurve zweier Flächen F und G 2. Grades in Bezug auf einen Punkt P und seine in Bezug auf beide Flächen gemeinsame Polarebene P (Bd. 2, S. 317 ff.). (Solcher Paare P und P gibt es 4, welche das den beiden Flächen gemeinsame Polartetraeder bilden.)

a) *Die beiden Flächen F und G sind eine Kugel und ein Umdrehungscylinder, der die Kugel berührt und durch ihren Mittelpunkt geht.* Als Ebene P werde diejenige gewählt, welche durch die die Kugel berührende Erzeugende des Cylinders und durch den Kugelmittelpunkt geht; ihr gemeinsamer Pol P zu F und G ist der unendlich ferne Punkt einer auf P senkrechten Geraden. Die Schnittlinie von F und G hat eine lemniscatenartige Gestalt und projicirt sich aus P auf P als Stück einer Parabel. Die Imaginärprojectionen von F und G sind bezw. ein gleichseitiges Umdrehungshyperboloid und ein gleichseitiger hyperbolischer Cylinder; ihr Schnitt projicirt sich aus P auf P als die Ergänzung jenes Parabelstückes zur ganzen Parabel. Der projicirende Cylinder der Schnittcurve von F und G und ihrer Imaginärprojection ist daher ein voller parabolischer Cylinder.

Das Modell ist von dem Studirenden *Seiffert* (1885) angefertigt. Die Kugel ist aus Parallelkreisen aus Draht vorgestellt.

b) *Die Flächen F und G sind eine Kugel und ein mit ihr concentrisches abgeplattetes Umdrehungsellipsoid, das von der Kugel ganz eingeschlossen wird.* Die Schnittlinie ist durchaus imaginär. Als P und P sind bezw. die Äquatorebene des Ellipsoides und der unendlich ferne Punkt einer auf ihr senkrechten Geraden gewählt. F' und G' sind ein gleichseitiges

und ein ungleichseitiges Umdrehungshyperboloid und ihre Schnittlinie besteht aus zwei gleichen zu P parallelen und symmetrischen Kreisen. Angefertigt von den Studirenden *Häuser* (1886) und *Joos* (1890).

e) *Das Entsprechende, wenn das Ellipsoid excentrisch gegen die Kugel liegt, aber wieder ganz von ihr eingeschlossen wird.* Die Imaginärprojection der imaginären Schnittlinie projectirt sich aus P auf P als ein Kreis, dagegen auf eine durch die Mittelpunkte beider Flächen und durch P gelegte Ebene senkrecht als zwei Stücke einer Parabel.

Das Modell wurde 1888 begonnen und 1891 von dem Studirenden *Baumann* vollendet.

(Chr. Wiener.)

- 178 Sieben Fadenmodelle der abwickelbaren Flächen der Raumcurven vierter Ordnung zweiter Species, construiert (1892) von Prof. K. Rohn an der technischen Hochschule zu Dresden. Verlag von L. Brill, Darmstadt.**

Specialkatalog 231—337 (pag. 50 und 74). Von den als unvollständiger Schnitt einer Fläche zweiter mit einer Fläche dritter Ordnung darstellbaren Raumcurven sind (durch ihre abwickelbaren Flächen) dargestellt:

231. Raumcurve 4. Ordnung mit 4 reellen Tangenten, die sie noch ausserdem schneiden; sie besitzt keine reellen Punkte mit Wendeebenen und liegt ganz im Endlichen.

232. Raumcurve 4. Ordnung mit 4 reellen Punkten mit Wendeebenen.

233. Raumcurve 4. Ordnung ohne reelle Punkte mit Wendeebenen und ohne reelle, sie schneidende Tangenten.

234. Raumcurve 4. Ordnung mit zwei Streckungspunkten, d. i. Punkten, in denen drei consecutive Curvenpunkte in gerader Linie liegen.

235 und 236. Raumcurve 4. Ordnung mit zwei reellen Punkten mit Wendeebenen und zwei reellen, sie schneidenden Tangenten.

237. Raumcurve 4. Classe, die aus VI durch reciproke Raumtransformation abgeleitet ist.

- 179 Modelle von developpablen Flächen algebraischer Raumcurven. Fadenmodelle von Prof. Björling in Lund, im Verlag der Gleerup'schen Universitäts-Buchhandlung in Lund. Ausgestellt vom Mathem. Institut der technischen Hochschule München.**

Der grössere Teil dieser Flächen wird als osculirende Developpable von bestimmten Raumcurven erhalten, nur zwei derselben Nr. 2 und 6 sind Developpable, die zwei Kreisen umgeschrieben sind, während Nr. 8 eine zwei congruenten Ellipsen in zwei parallelen Ebenen mit zu einander senkrechten Axenrichtungen umschriebene Developpable ist. Man sehe die den Modellen beigegebenen Erläuterungen, in welchen

auch die Charaktere der Flächen angegeben sind. (Vergl. auch Salmon anal. Geom. d. Raumes II. Aufl. pag. 78.)

Von *Björling* rührt noch eine zweite (hier nicht ausgestellte) Serie von Modellen von Raumcurven und Developpablen-Singularitäten her.

1. Developpable einer cubischen Parabel. $x^2 = ay$, $xy = bz$; Gleichung der Fläche:

$$4bx^3z - 3ax^2y^2 - 6abxyz + 4a^3y^3 + ab^2z^2 = 0.$$

2. Abwickelbare Fläche, die zwei Kreisen umbeschrieben ist, die sich in zwei zu einander senkrechten Ebenen befinden und beide die Schnittlinie derselben berühren.

3. Die Rückkehrcurve dieser abwickelbaren Fläche hat die Gleichung $3x^2 + 3y^2 + 2xz = 0$, $z^2 = ax$, ist 4. Ordnung und besitzt einen stationären Punkt und eine stationäre Ebene. Die Doppelcurve ist eine Hyperbel. Gleichung der Fläche

$$x \cdot (9x^2 + 9y^2 + z^2 + 6xz - ak)^2 + 4(3x^2 + 3y^2 + 2xz) \cdot (9x^2z + 9y^2z + z^3 + 6xz^2 + axz + 3ax^2 + 3ay^2) = 0.$$

4. Osculirende Developpable der Curve vierter Ordnung $y^2 + z^2 = a^2$, $y^2 = ax$. Letztere besitzt vier stationäre Ebenen und einen im Unendlichen liegenden isolirten Doppelpunkt. Die Doppelcurve besteht aus zwei ebenen Curven dritter Ordnung. Gleichung der Fläche:

$$(xy^2 + xz^2 + az^2 - a^3) = 4y^2(ax + z^2 - a^2)(y^2 + z^2 - a^2).$$

5. Desgl. der Curve vierter Ordnung $x^2 + y^2 + z^2 = a^2$, $x^2 + y^2 = ax$. Die Cuspidalcurve besitzt zwei reelle und zwei imaginäre stationäre Ebenen und einen Doppelpunkt. Die Doppelcurve ist in zwei ebene Curven dritter Ordnung zerfallen. Gleichung der Fläche

$$[(x - a)^3 + xy^2 + (a - 2x)z^2]^2 = 4y^2(ax + z^2 - a^2)[(x - a)^2 + y^2 - z^2].$$

6. Developpable, umgeschrieben zwei Kreisen in senkrechten Ebenen, von welchen der eine die Ebene des andern berührt. Die Rückkehrcurve ist hier sechster Ordnung und besitzt vier reelle stationäre Tangenten, zwei reelle stationäre Punkte und eine Doppelschmiegungebene. Die Doppelcurve ist vierter Ordnung und besteht aus einem Kreis und einer Parabel.

7. Osculirende Developpable der Curve vierter Ordnung:

$$x^2 + y^2 + z^2 = 30^2, \quad x^2 + y^2 = 31x,$$

welche sechzehn stationäre Tangentialebenen besitzt, wovon vier reell sind. Die Doppelcurve sechzehnter Ordnung zerfällt in vier ebene Curven vierter Ordnung, von welchen zwei reell sind.

8. Developpable, umschrieben zwei congruenten Ellipsen, die in parallelen Ebenen so liegen, dass die grosse Axe der einen parallel der kleinen der andern ist. Die Rückkehrkante ist zwölfter Ordnung und besitzt zwei vierfache Punkte (einen im Unendlichen), vier isolirte Doppelpunkte und vier Spitzen.

(Aus den Erläuterungen von Björling.)

180 Fadenmodell einer developpablen Fläche vierter Ordnung, ausgeführt und ausgestellt von Privatdoc. **J. Keller**, Polytechnicum Zürich.

Ein gerader Kreiskegel, dessen Mittelpunkt F auf der Bildebene liegt, dessen Axe auf dieser senkrecht steht und dessen Erzeugenden mit der Axe Winkel von 45° einschliessen, bildet die Grundlage der Betrachtung. Jede Ebene des Raumes schneidet diesen Kegel in einer Curve 2. Grades, deren Orthogonalprojection auf die Bildebene den Kegelschnittpunkt F zum Brennpunkte, die Spur der Ebene zur entsprechenden Directrix f und die trig. Tangente des Neigungswinkels der Ebene zur Bildebene als numerische Excentricität c besitzt. Die Betrachtungen über Curven 2. Grades auf der Bildebene mit einem gemeinschaftlichen Brennpunkte (monoconfocale Kegelschnitte) übertragen sich damit auf Fragen über gewisse Lagen von Ebenen im Raume. — (Siehe meine Veröffentlichungen hierüber: „Über monoconfocale Kegelschnitte“, 27. Jahrgang, pag. 1—29 und „Orthogonalconjugirte Scharen monoconfocaler Kegelschnitte“, 32. Jahrgang, pag. 33—79 der Vierteljahrsschrift der naturforschenden Gesellschaft in Zürich.)

Schneide die Ebene E aus unserem Fundamentalkegel den Kegelschnitt K , dessen Orthogonalprojection auf die Bildebene K ist, dann entsprechen allen Ebenen des Raumes, welche K , berühren, Kegelschnitte der Bildebene, welche mit K monoconfocal sind und ihn berühren. Schliessen die Ebenen ausserdem mit der Bildebene einen constanten Winkel φ ein, so kommt den entsprechenden Kegelschnitten auf der Bildebene eine constante num. Excentricität, somit auch ein constantes Axenverhältnis zu. Wenn endlich der Winkel φ übereinstimmt mit dem Winkel α , den die Ebene E selbst mit der Bildebene einschliesst, so besitzen die bezüglichlichen Kegelschnitte dasselbe Axenverhältnis wie K . Diesen Specialfall illustriert unser Modell. Für die Ebene E ist $\operatorname{tg} \alpha = \frac{2}{3}$; ihr entspricht auf der Bildebene der Kegelschnitt K von der num. Excentricität $\frac{2}{3}$, also dem Axenverhältnis $\frac{1}{3} \sqrt{5}$. Die betreffenden Tangentialebenen umhüllen eine developpable Fläche von der Ordnungszahl 4; sie besitzt auf der Ebene (x, z) eine Doppelcurve von der 2. Ordnung und ihr Schnitt mit der Bildebene (x, y) ist eine Curve 4. Ordnung, deren Tangenten die Directricen der bezüglichlichen Kegelschnitte sind. Man erkennt im Modell auch die Rückkehrcurve der dev. Fläche. Der Ebene E^* , die mit E symmetrisch zur Bildebene liegt, entspricht die symmetrische Fläche F_4^* .

(J. Keller.)

- 181 Fünf Fadenmodelle der Typen der Kegel dritter Ordnung**, von Privatdocent **H. Wiener**, Univ. Halle a. S.

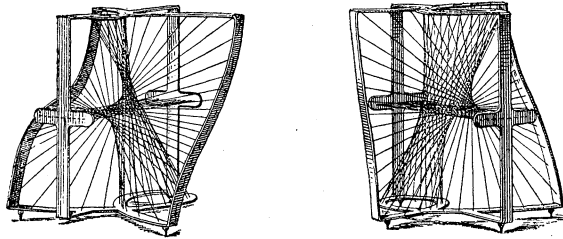
Vergleiche hiezu auch die pag. 255 aufgezählten Darstellungen der ebenen Curven dritter Ordnung auf einer Kugel.

- 182 Vier einfache Fadenmodelle**, von Privatdocent **H. Wiener**, Univ. Halle a. S.

Die Modelle stellen dar:

- a) Eine bewegliche Umdreh-Regelfläche mit den beiden Scharen von Erzeugenden.
- b) Geradlinige Flächen, die durch eine Raumcurve vierter Ordnung mit (unendlich fernem isolirten) Doppelpunkt hindurchgehen:
 1. Das rechtwinklige Paraboloid.
 2. Einen Kreiscylinder und 2 parabolische Cylinder.
 3. Das Cylindroid.

- 183 Vier Fadenmodelle der Regelflächen dritten Grades**, angefertigt im mathem. Seminar der techn. Hochschule zu Karlsruhe unter Leitung von Prof. **Chr. Wiener** von stud. techn. **C. Tesch**. Verlag **L. Brill**, Darmstadt.



Spezialkatalog 223—226; pag. 44 und 64.

- 184 Serie von Regelflächen vierter Ordnung**, konstruirt von Prof. **K. Rohn**, techn. Hochschule Dresden. Verlag von **L. Brill**, Darmstadt.

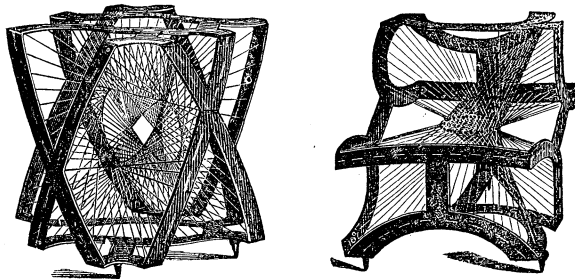


Fig. 1.

Fig. 2.

Spezialkatalog 163—172; pag. 27 und 68. Man vergl. hier den Aufsatz von *Rohn*: „Über die verschiedenen Arten der Regelflächen 4. Ordnung“, *Math. Ann.* Bd. 28, sowie die der Modellsreihe beigegebene Abhandlung.

Die Modelle gliedern sich nach der Einteilung der Regelflächen in:

1. Flächen mit zwei Doppelgeraden (Nr. 163—167).
2. Flächen mit Doppelgerade und Doppelkegelschnitt (Nr. 170).
3. Flächen mit Doppelcurve dritter Ordnung (Nr. 171, 172).
4. Flächen mit einer dreifachen Geraden (Nr. 168, 169).

185 Windschiefe Fläche 4. Ordnung mit einer Doppelgeraden und einem geraden Leitkegel. Fadenmodell, ausgeführt (1881) im **Math. Institut der techn. Hochschule München** (Prof. **Brill**) von stud. **S. Finsterwalder**.

Es ist ein spiegeinder Kreis-Cylinder und eine durch die Axe gehende leuchtende Linie gegeben. Denkt man sich die Linie an den einzelnen Tangentialebenen des Cylinders gespiegelt, so entsteht die modellirte Fläche aus den Spiegelbildern. Die leuchtende Gerade wird Doppelinie, welche in den Schnittpunkten mit dem Cylinder Pinchpoints hat.

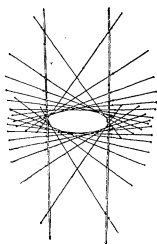
186 Fünf bewegliche Modelle aus Stahlstäben für den Unterricht in synthetischer und darstellender Geometrie, von Prof. **F. Buka**, techn. Hochschule Berlin-Charlottenburg, angefertigt und ausgestellt von **Winkelmann & Söhne**, Verlagsbuchhandlung, Berlin.

Die Construction der Modelle schliesst sich möglichst eng der Methode der synthetischen Geometrie an. Die Träger von Punktreihen I. Ordnung sind durch Eisenstäbe, solche II. Ordnung durch Messingreifen ersetzt; die Punkte der Punktreihen werden durch kleine Messingringe vertreten, welche an den bestimmten Stellen freibeweglich an die Träger angeschlossen sind. Je zwei homologe Punkte werden durch einen dünnen Stahlstab verbunden. Sind auf diese Weise möglichst einfache Gebilde erzeugt — etwa aus projectiv gleichen Punktreihen Parallelstrahlenbüschel — so sieht man aus ihnen bei stetiger Veränderung der relativen Lage der Leitgebilde die allgemeinen Formen — im erwähnten Falle Parabeln und Paraboloiden — entstehen.

Modell I. Zwei projectiv gleiche Punktreihen I. Ordnung mit den Verbindungslinien homologer Punkte zeigen den stetigen Übergang aus Parallelstrahlenbüscheln in Parabeln, hyperbolische Paraboloiden und gewöhnliche Strahlenbüschel. Durch Combination des Modelles mit einem gleichartigen wird ein Rhombus mit zwei zu seinen Seiten parallelen Scharen Gerader hergestellt und derselbe durch stetige Bewegung in Parabeln und Paraboloiden mit beiden Scharen Gerader — darunter gleichseitige — übergeführt.

Modell II. Mit Hilfe zweier projectiven Punktreihen I. Ordnung und der Verbindungslinien homologer Punkte erhält man in continuirlicher

Folge Strahlenbüschel I. Ordnung, Ellipsen (darunter den Kreis), einmantelige Hyperboloide und Hyperbeln.



Modell III. Eine Punktreihe I. und eine zu ihr projective II. Ordnung (Kreis) zeigen — zum Teil in stetiger Folge — verschiedene prägnante Formen der 3 Typen geradliniger Flächen III. Ordnung (mit ihren Doppelgeraden) und den Übergang derselben in solche II. Ordnung.

Modell IV. Zwei projectiv gleiche und gleich grosse Kreise zeigen, je nachdem sie behufs Verbindung homologer Punkte gleichstimmig oder ungleichstimmig in parallele Ebenen gelegt werden,

durch stetige Bewegung

1. den Übergang aus dem Parallelstrahlenbüschel in elliptische-Cylinder, Rotationscylinder, in Rotations- und allgemeine Hyperboloide und Kegel, sowie in verschiedene Flächen IV. Ordnung
2. den Übergang aus dem Parallelstrahlenbüschel in das geradlinige Kreiskonoid und verschiedene andere Arten geradliniger Flächen IV. Ordnung mit Doppelcurven, endlich in eine dem Plücker'schen Conoid verwandte Flächenfamilie III. Ordnung.

Aus dem Modell lassen sich auch Hyperboloide mit beiden Scharen Gerader herstellen.

Modell V. Mit Hilfe einer Schraubenlinie von ca. 4 Umgängen können die verschiedensten Arten rechts und links geschränkter windschiefer (darunter axialer) Schraubenflächen, ihre Selbstschnitte, ihr Schnitt mit einer zur Axe normalen Ebene, der Schnitt zweier Schraubenflächen von gleicher Axe etc. gezeigt werden. — Die axialen Schraubenflächen lassen sich durch stetigen Übergang in einander überführen.

Zur bequemen Handhabung der Modelle I—IV und zur Fixirung der erzeugten Flächen und Curven dient ein mit 2 verschiebbaren Kugelenken versehenes Stativ.

Sämtliche Modelle bestehen in allen ihren Teilen nur aus Metall und sind in solchem Masstabe angefertigt, dass die erzeugten Gebilde selbst in grösseren Auditorien von den Zuhörenden schon während des Vortrages deutlich gesehen werden können.

(Buka.)

Preis der ganzen Serie mit Stativ 200 \mathcal{M} . Bei Einzel-Bezug kostet Modell Nr. I (Doppelmodell) 40 \mathcal{M} , Nr. II 25 \mathcal{M} , Nr. III 30 \mathcal{M} , Nr. IV 35 \mathcal{M} , Nr. V 60 \mathcal{M} und das Stativ 30 \mathcal{M} .

187 Schraubenlinie mit ihrer abwickelbaren Fläche, ausgeführt 1892 von Stud. **K. Fischer**, im **Math. Institut der techn. Hochschule München** (Prof. **Dyck**.)

Das Modell dient zur Demonstration der Lage des auf die Curve bezüglichen Coordinatensystems.

- 188** **Drei Fadenmodelle der Regelschraubenflächen.** Im Seminar für darstellende Geometrie an der techn. Hochschule zu Karlsruhe unter Leitung von Prof. Chr. Wiener ausgeführt von Assistent C. Tesch. Verlag von L. Brill, Darmstadt.

Spezialkatalog 227—230 pag. 48 und 73.

Die Regelschraubenflächen entstehen dadurch, dass eine Gerade sich längs einer Schraubenlinie so bewegt, dass sie stets denselben Winkel mit der Normalebene auf die Axe der Schraubenlinie einschliesst. Je nachdem dieser Winkel gleich, kleiner oder grösser ist als der von der Tangente an die Schraubenlinie mit jener Normalebene gebildete, erhält man die drei in Nr. 227 und 228; 229; 230 dargestellten Fälle.

- 189** **Sechs Modelle zur Analysis situs von Raumcurven.** Von Privatdocent H. Brunn, Univ. München.

Die Modelle beziehen sich auf eine in den Sitzungsberichten der k. Akademie der Wissenschaften zu München, Jahrg. 1892, Heft I veröffentlichte Arbeit „Über Verkettung“, und stimmen bis auf das Schnüremodell überein mit Figuren desselben.

Eine Anzahl geschlossener, verschlungener Curven oder „Ringe“ bildet eine „Kette“. Die Anzahl der Querschnitte an verschiedenen Ringen, welche mindestens, bezw. höchstens nötig ist, um sämtliche Glieder der Kette von einander zu trennen, heisse ihre Minimal-, bezw. Maximal-Zerschneidungszahl.

Die Modelle No. 2, 3, 4, 5 sind Ketten, für welche diese charakteristischen Zahlen gleich der Einheit sind. Es lässt sich kein Glied in diesen Ketten aufschneiden oder hinwegdenken, ohne dass dieselben vollständig zerfallen. Es sind Ketten „ohne Unterketten“. Durch Modell Nr. 5 ist ersichtlich, dass solche Ketten ohne Unterketten mit beliebig grosser Gliederzahl gebildet werden können. Modell Nr. 1 dagegen ist eine Kette, für welche die Zerschneidungszahlen gleich zwei sind. Wenn man einen Ring A aufschneidet, so hängen die beiden andern immer noch zusammen, und bilden somit eine Unterkette der ursprünglichen Kette. Die Modelle Nr. 1 und 2 sind bereits bei Tait (Vergl. am oben ang. Ort Nr. 2) in etwas anderem Zusammenhange erwähnt. Das Schnüremodell Nr. 6 endlich soll bequem die Bildung und Auflösung beliebiger Ketten ermöglichen. Das Aufhaken, bezw. Zuhaken einer Schnur entspricht der Ausführung, bezw. Aufhebung eines Schnittes. Ein hübsches Experiment ist es, mittels dieser Schnüre das im II. Teil des erwähnten Aufsatzes geschilderte specielle Verfahren der Bildung von Ketten ohne Unterketten darzustellen und den Zerfall der ganzen Kette durch Aufhaken eines ganz beliebigen Ringes herbeizuführen.

Die Zerschneidungszahlen finden praktische Anwendung z. B. bei der Frage, wie viele Glieder einer Metalkette von gegebener Form mindestens geschweisst oder gelötet werden müssen.

(H. Brunn.)

O. Modelle zur Liniengeometrie.

Brennlinien; Strahlensysteme, Brennflächen, Centraflächen; Complexe.

- 190 Brennlinien, entstanden durch Reflexion bezw. Brechung der von einem leuchtenden Punkt ausgehenden Strahlen an einem Kreise.** 6 Blatt Zeichnungen von stud. math. **S. Finsterwalder** (1881—82). **Math. Institut der techn. Hochschule München** (Prof. Brill).

Die ersten 3 Blätter beziehen sich auf die Reflexion bei verschiedener Entfernung des leuchtenden Punktes vom Mittelpunkt. Die Brennlinien sind als Evoluten Pascal'scher Schneckenlinien (secundäre Brennlinien, Linien gleicher Phase der Lichtbewegung) construiert. In den Fällen, wo die Entfernung ∞ , oder gleich dem Radius ist, werden die Brennlinien Epicykloiden. Die einfallenden Strahlen sind nach gleichen Winkelabständen geordnet, so dass die Dichtigkeit der reflectirten Strahlen ein Mass der Helligkeit abgibt.

Die drei letzten Blätter beziehen sich auf die Brechung. Der Brechungsindex ist zu $\frac{3}{2}$ angenommen. Jedem einfallenden Strahl entsprechen geometrisch 2 gebrochene Strahlen, unter gleichem Winkel zur Normalen liegend, von denen der eine physikalisch mögliche schwarz, der andere nach Cayley sog. falschgebrochene rot gezeichnet ist. Die grünen Kreise sind Huyghens'sche Elementarwellen, deren Enveloppe die secundäre Brennlinie (hier ein Cassinisches Oval) liefert. Besonders bemerkenswert ist der in Fig. V dargestellte Fall, wo der leuchtende Punkt in einem der sog. „aplanatischen“ Punkte der Kugel liegt, und die falsch gebrochenen Strahlen sich dann in dem conjugirten aplanatischen Punkte schneiden. Da bei der Umkehr der Bewegungsrichtung im einfallenden Strahl der falsch- und richtig gebrochene Strahl die Rolle vertauschen, so folgt hieraus der praktisch wichtige Satz, dass Strahlen, die auf einen Punkt zulaufen durch eine passend gewählte Kugellinse „in aller Strenge“ in einem andern Punkte vereinigt werden, unabhängig von der Apertur der Linse. (Vgl. Cayley's „Memoir upon Caustics“ Phil. Trans. of th. London S. Bd. 147).

(S. Finsterwalder.)

- 191 **Modell einer speciellen Fläche zwölfter Ordnung**, angefertigt im **Math. Institut der technischen Hochschule München** (Prof. **Brill**) von stud. math. **Finsterwalder** (1882). Verlag von **L. Brill**, Darmstadt.

(*Spezialkatalog* 79; pag. 17 und 70.)

Die Fläche entsteht durch Aufeinanderschichten der verschiedenen Katakaustiken eines Kreises, wobei die Kreise einen geraden Cylinder, die leuchtenden Punkte eine seine Axe unter 45° schneidende Linie bilden.

Vergl. hiezu noch die unter Nr. 274 aufgeführten Wandtafeln für den math.-optischen Unterricht von *Füchtbauer*.

- 192 **Drei Arten unendlich dünner Strahlenbündel** von Prof. **E. Kummer** in Berlin, ausgeführt von **W. Apel**, Universitätsmechaniker in Göttingen. Verkaufspreis 50 M.

Diese Modelle illustriren das Verhalten aller zu einander unendlich benachbarten Strahlen eines beliebigen Strahlensystems. Wie Kummer im Anschluss an Hamiltons Untersuchungen im 57. Bd. des Crelle'schen Journalen gezeigt hat, existirt auf jedem Strahl eines Systems ein stets reeller Mittelpunkt und zwei reelle oder conjugirt imaginäre Brennpunkte in gleicher Entfernung von demselben. Sind erstere reell, so kann man alle zu dem Strahle benachbarten als durch zwei zu dem Ausgangsstrahl in den Brennpunkten senkrecht stehende, unendlich kurze Brennlinien gehend annehmen. In dem Falle, wo das Strahlensystem aus den Normalen zu einer Fläche gebildet wird, haben diese Brennlinien noch die specielle Eigenschaft, dass die durch sie und den Ausgangsstrahl gelegten Ebenen, die Brennebenen des Ausgangsstrahls, senkrecht zu einander stehen.

In den Modellen sind nun zur Darstellung der Verhältnisse von den doppelt unendlich vielen zu einem Strahl benachbarten Strahlen diejenigen herausgegriffen, welche durch eine kleine geschlossene Curve um den Ausgangsstrahl (hier speciell ein kleiner Kreis auf der Deckfläche des Modells) gehen. Diese bilden dann eine windschiefe Begrenzungsfläche des unendlich dünnen Strahlenbündels. Im Falle reeller Brennpunkte hat diese Fläche Doppelgerade. Für Normalensysteme stehen diese ausserdem senkrecht zu einander. Bei imaginären Brennpunkten werden auch die Doppelgeraden imaginär und die Begrenzungsflächen erhalten eine hyperboloidische Gestalt. In diesem Falle kann man auch von einem Drehsinn der Nachbarstrahlen gegen den Ausgangsstrahl reden. Die drei Modelle stellen neben den Grenzfällen (Kegel und Cylinder) alle mathematisch möglichen unendlich dünnen Strahlenbündel dar.

(Finsterwalder.)

- 193 **Lineares Strahlensystem (Congruenz) mit conjugirt imaginären Leitlinien** und
 194 **Lineares Strahlensystem (Congruenz) mit zusammenfallenden Leitlinien**, ausgeführt 1877 von stud. math. **K. Rohn** (nunmehr Professor in Dresden) im **Math. Institut der techn. Hochschule München**.

Im erstgenannten Modell sind die Strahlen einesteils nach Erzeugenden einer Schar von Hyperboloiden, andernteils nach solchen von Paraboloiden geordnet.

Im zweiten Modell sind die Strahlen nach Büscheln geordnet, deren Ebenen durch die Leitlinie gehen, während die Mittelpunkte auf derselben liegen. Die Reihe der Mittelpunkte auf der Leitlinie ist projectivisch zum Büschel der Ebenen.

- 195 **Strahlensystem 5. Ordnung, entstanden durch Brechung eines excentrisch gelegenen Strahlenbündels in einem centrirten Linsensystem**. Nach Angabe von Prof. **S. Finsterwalder** ausgeführt von Assistent **G. Diem**. **Math. Institut der techn. Hochschule München**.

Ein leuchtender Punkt befinde sich ausserhalb der Axe eines centrirten Linsensystems, aber noch in einer so geringen Entfernung von derselben, dass die von ihm in das Linsensystem gelangenden Strahlen als wenig geneigt gegen die Axen angesehen werden können. Ausserdem sei die Öffnung des Linsensystems klein im Verhältnis zu den Radien der Linsen. In erster Annäherung werden sich dann die gebrochenen Strahlen in einem Bildpunkte schneiden. Dabei werden die $\cos.$ der Winkel der Strahlen gegen die Axen gleich 1, die $\sin.$ den Winkeln gleich gesetzt. In zweiter Annäherung kann man die Potenzen jener Winkel bis zur fünften excl. berücksichtigen und erhält dann die Abweichung der gebrochenen Strahlen von dem gemeinsamen Schnittpunkt. Die Theorie zeigt, dass innerhalb dieser Näherung der Charakter dieser Abweichung ganz unabhängig von der Complication des Linsensystems ist und die gebrochenen Strahlen immer durch ein zu 2 Ebenen symmetrisch gelagertes Strahlensystem 5. Ordnung dargestellt werden können. Dasselbe steht in naher Verwandtschaft mit dem Normalensystem der Flächen 2. Ordnung. Seine Brennfläche ist bis auf eine homogene Deformation identisch mit der eines elliptischen Paraboloides. Dieselbe wurde zuerst von R. Hamilton entdeckt und beschrieben, doch in so knapper Kürze, dass die Untersuchung, über die nur ein Referat an die Öffentlichkeit kam, ganz in Vergessenheit geriet. (Reports of the B. Association 1834.)

Erst im Jahre 1867 hat *L. Seidel**) die allgemeine Form der Gleichung der Fläche gegeben, ebenfalls ohne die Ableitung zu publiciren. Nach

*) Sitzungsber. der K. Akad. d. Wiss. zu Berlin 1867. Schon 1857 hatte *L. Seidel* eine Beschreibung der Fläche ohne Formeln gegeben. Gelehrte Anzeigen der k. bayr. Akademie der Wiss. 1857.

dieser Gleichung hat stud. math. *L. Schleiermacher* (jetzt Professor in Aschaffenburg) ein Gipsmodell der Brennfläche hergestellt, das zum Vergleiche mit ausgestellt ist. Die vollständige Ableitung der Gleichung aus den von Seidel aufgestellten dioptrischen Näherungsformeln gab 1890 *S. Finsterwalder* in den Abhandlungen der bayer. Akad. II. Cl. XVII. Bd. III. Abt. 1891.

Bezüglich der Ausführung des Modelles ist zu bemerken, dass die Strahlen nach windschiefen Flächen 4. Ordnung angeordnet sind, welche einfallenden Strahlen entsprechen, die durch die Ränder verschieden grosser concentrischer Blenden hindurchgehen. Dabei ist die Ebene der Blenden so gewählt, dass die windschiefen Flächen nach 2 Ebenen symmetrisch werden und elliptische Querschnitte haben. Je näher die einfallenden Strahlen an der Blendenmitte sind, um so hellgelber ist die Farbe der Fäden, welche die gebrochenen Strahlen im Modelle darstellen. Gegen die Randstrahlen zu wird der Ton immer rötlicher.

Bezüglich der Dimensionen des Modells im Verhältnis zur Wirklichkeit sei bemerkt, dass beispielsweise ein besseres Fernrohrobjectiv einige Kilometer Brennweite besitzen müsste, bis die Brennfläche am Rande des Gesichtsfeldes Querdimensionen von der Art des Modelles erhielt.

(Finsterwalder).

- 196 Brennfläche, welche von einem zur Axe wenig geneigten Parallelstrahlensystem nach dessen Durchgang durch ein centrirtes Linsensystem eingehüllt wird.** Ausgeführt im **Math. Institut der techn. Hochschule München.** (Prof. Brill) von stud. **L. Schleiermacher**, Verlag von **L. Brill**, Darmstadt.

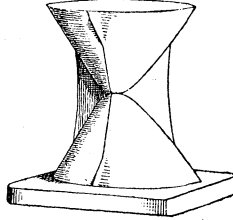
Specialkatalog 149—151 (pag. 3 u. 86).

(Vgl. Seidel, Schumachers Astron. Nachrichten, Nr. 1027 ff., Monatsberichte der Berliner Akademie, Dec. 1872, Finsterwalder, Abh. der bayer. Akad. von 1891.) Die Fläche ist von der 9. Ord. Vergl. hiezu noch das unter Nr. 195 ausgestellte Fadenmodell von Prof. Finsterwalder.

- 197 Centrafläche des dreiaxigen Ellipsoids**, ausgeführt (1862) von stud. **H. A. Schwarz** (jetzt Prof., Univ. Berlin); vervielfältigt von Bildhauer **Lohde** in Berlin. Ausgestellt vom **Math. Institut der techn. Hochschule München.**

Man sehe hiezu den Bericht von *Kummer* „Über ein Modell der Krümmungsmittelpunktsfläche des dreiaxigen Ellipsoids“ in den Monatsberichten der k. pr. Akademie d. W., 1862, pag. 426; ferner den Aufsatz von *Cayley* „On the Centro Surface of an Ellipsoid“, Transactions of the Cambridge Philos. Soc., Bd. 12,

- 198 **Centrafläche des einschaligen Hyperboloids.** Ausgeführt (1877) im **Math. Institut der techn. Hochschule München** (Prof. **A. Brill**) von stud. **W. Dyck**. Verlag von **L. Brill**, Darmstadt.



Spezialkatalog 152—154. (pag. 3 u. 86.) Die Fläche ist 12. Ordnung. Bez. weiterer Angaben vergl. die beigegebene Abhandlung.

- 199 **Cylindroid** von Prof. **Rob. S. Ball**, L. L. D., F. R. S., Univ. Dublin. Ausgestellt von der **London Mathematical Society**.

Diese Fläche, deren Gleichung $z(x^2 + y^2) = 2mxy$ wurde von Plücker im Zusammenhang mit der Theorie des linearen Complexes behandelt. Wegen ihrer kinematischen und physikalischen Bedeutung sehe man „Theory of Screws“ von R. S. Ball, Dublin 1876.

- 200 **Cylindroid mit Complexcurven**, ausgeführt (1891) im **Math. Institut der techn. Hochschule München** (Prof. **Finsterwalder**) von Assistent **G. Diem**.

Jeder Complex ersten Grades von Geraden ist bestimmt durch seine Axe und eine Constante k . (Die Gleichung des Complexes sei in der einfachsten Form $p_{12} + k p_{34} = 0$). Die Axen der Complexes eines Büschels sind alle einer Ebene parallel und erfüllen ein Cylindroid. Die auf der Fläche gezeichneten Geraden stellen solche Axen dar. Trägt man auf jeder Axe, von ihrem Schnittpunkt mit der Doppelgeraden des Cylindroids aus den Wert von k , der dem betreffenden Complex des Büschels zukommt, ab, so bilden die Endpunkte dieser Strecken eine sogenannte Complexcurve. Variirt man auf der Fläche die Directricen des Büschels, so erhält man dadurch andere Werte von k , und somit andere Complexcurven.

(Diem.)

- 201 **Vier Modelle zur Theorie der Liniencomplexe zweiten Grades.** Von Prof. **F. Klein**, jetzt Univ. Göttingen.

Bekanntlich hat *Plücker* in den letzten Jahren seines Lebens bei seinem Studium der Liniencomplexe zweiten Grades zahlreiche auf deren Theorie bezügliche Modelle anfertigen lassen. Das allgemeine Interesse an den wirklichen Gestalten auch complicirterer Flächen war ihm aus

seiner physikalischen Beschäftigung erwachsen*); die nähere Gliederung seiner Ansätze habe ich hernach, so gut das unter Benutzung des Nachlasses gelingen wollte, in der 1869 erschienenen zweiten Abteilung der „Neuen Geometrie des Raumes“ zur Darstellung gebracht. Die so auf Plücker selbst zurückgehenden Modelle bildeten indess keine vollständige Serie, waren auch im einzelnen ungleichwertig, und es lag gewiss nicht im Sinne ihres Urhebers, wenn dieselben später trotzdem verschiedentlich als zusammengehörige Collection verbreitet worden sind. Ich habe deshalb im Herbst 1871, um das Wesentliche der Sache herauszuheben, von mir aus 4 neue Modelle der hauptsächlich in Betracht kommenden Flächentypen veröffentlicht, wobei ich die Verhältnisse so wählte, dass die jedesmal in Betracht kommenden singulären Punkte und Ebenen sämtlich reell ausfielen. Von diesen Modellen repräsentirt:

- Nr. 1. die allgemeine Kummer'sche Fläche (die Singularitätenfläche der Complexe zweiten Grades) mit 16 Doppelpunkten und 16 Doppelenen,
- Nr. 2. die allgemeine Complexfläche, d. h. die Kummer'sche Fläche mit Doppelgerade und noch 8 Doppelpunkten und 8 Doppelenen,
- Nr. 3. die besondere Complexfläche, deren Leitlinie eine Complexgerade ist (mit Rückkehrgerade und noch 4 Doppelpunkten bzw. Doppelenen),
- Nr. 4. diejenige Complexfläche, deren Leitlinie eine singuläre Linie des Complexes ist (mit Selbstberührunggerade und noch 2 Doppelpunkten bzw. Doppelenen).

Besagte Modelle können ja auch noch heute beim Studium der Liniengeometrie wie überhaupt als Beispiele von Flächen höherer Ordnung interessiren, wenn sie leider auch von dem Mechaniker nicht so sorgfältig ausgeführt worden sind, als dies wünschenswert gewesen wäre. Aber man muss zufügen, dass man inzwischen gelernt hat, die bei diesen Flächen vorkommenden Gestalten sehr viel vollkommener zu beherrschen, als dies durch einzelne nach irgend welchem Princip herausgegriffene Beispiele geschieht. Ich habe 1877 in einem Vortrage vor der Münchener Naturforscherversammlung darauf hingewiesen, dass sich die sämtlichen hier in Betracht kommenden Flächenformen aus einander durch Continuität ableiten lassen. Dieser Satz ist dann 1881 durch *Rohn* (in Bd. 18 der Mathematischen Annalen) auf eine besonders einfache Aussage zurückgebracht worden. Man erzeugt nämlich alle hier möglichen Gestalten in übersichtlicher Weise von den Flächen zweiten Grades aus. Man hat einfach auf irgendwelcher Fläche zweiten Grades nach Belieben 4 Er-

*) Plücker selbst erzählte mir einmal, dass er namentlich durch den Verkehr mit *Faraday* dazu angeregt worden sei; dieser selbst habe die Modellconstruction als Mittel benutzt, um sich als Nichtmathematiker die ihm jeweils notwendigen mathematischen Formeln verständlich zu machen.

zeugende der einen Art und 4 Erzeugende der anderen Art zu ziehen, und nun die Felder, in welche die Fläche dabei zerlegt wird, abwechselnd doppelt zu überdecken, bezw. freizulassen. Die verschiedenen, zu unterscheidenden gestaltlichen Möglichkeiten entstehen dabei, je nachdem man diese 2mal 4 geraden Linien reell oder imaginär oder auch zum Teil zusammenfallend wählen will. Insbesondere entsteht die „Complexfläche“ mit ihren beiden oben angeführten Specialisationen, wenn man 2, bezw. 3 oder alle 4 Erzeugenden der einen Art zusammenfallen lässt. Dies setzt natürlich voraus, dass die Erzeugendensysteme als solche reell sind, dass man also auf einer geradlinigen Fläche zweiten Grades operirt. Besonders schön ist übrigens gerade der Fall, wo eine nichtgeradlinige Fläche zweiten Grades vorgegeben ist, auf der natürlich nur zwei conjugirt imaginäre Quadrupel von Erzeugenden angenommen werden können, die sich in 4 reellen Punkten der Fläche durchsetzen. Da hat man dann entweder die ganze Fläche verschwinden zu lassen, worauf man nur 4 isolirte Punkte übrig behält, oder die ganze Fläche doppelt zu überdecken, was zwei in einander gekapselte Mäntel ergibt, die in den 4 Punkten als Doppelpunkten zusammenhängen, womit man den von der Fresnel'schen Fläche her bekannten Typus erhält.

(F. Klein.)

P. Modelle und Zeichnungen zur Krümmungstheorie.

Allgemeines; Confocale Flächen zweiter Ordnung; Krümmungslinien.

- 202 Fläche vierter Ordnung mit einer Doppelgeraden** von Geh. Rat Prof. **Kummer**, Univ. Berlin. Verlag von **L. Brill**, Darmstadt.

Spezialkatalog 76; pag 19 und 69.

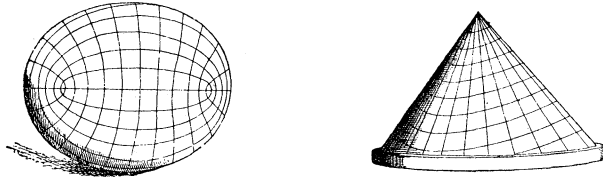
Die Fläche ist nach einem in Besitz des math. Seminars der Universität Berlin befindlichen Originale hergestellt. Sie stellt den geometrischen Ort der Krümmungskreise aller Normalschnitte in einem gewöhnlichen Punkte positiver Krümmung einer Fläche dar. Sie bildet gleichzeitig das einfachste Beispiel einer im endlichen geschlossenen sog. „Doppelfläche“ (Fläche mit umkehrbarer Indicatrix).

- 203 Serie von Flächen zweiter Ordnung mit den Krümmungslinien.** Ausgeführt 1878 im **Math. Institut der techn. Hochschule München**, unter Leitung von Prof. **A. Brill**, von stud. **R. Diesel**. Verlag von **L. Brill**, Darmstadt.

Spezialkatalog 95—101 (pag. 7 und 75).

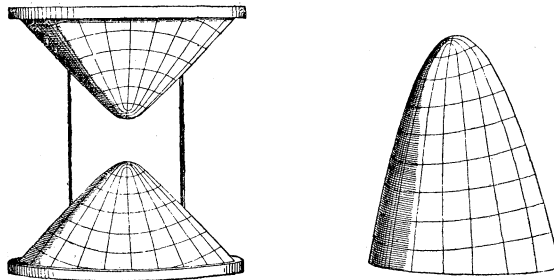
95, 96. Zwei Ellipsoide.

97. Einschaliges Hyperboloid.



98. Elliptischer Kegel.

99. Zweischaliges Hyperboloid.



100. Elliptisches Paraboloid.

101. Hyperbolisches Paraboloid je mit den Krümmungslinien.

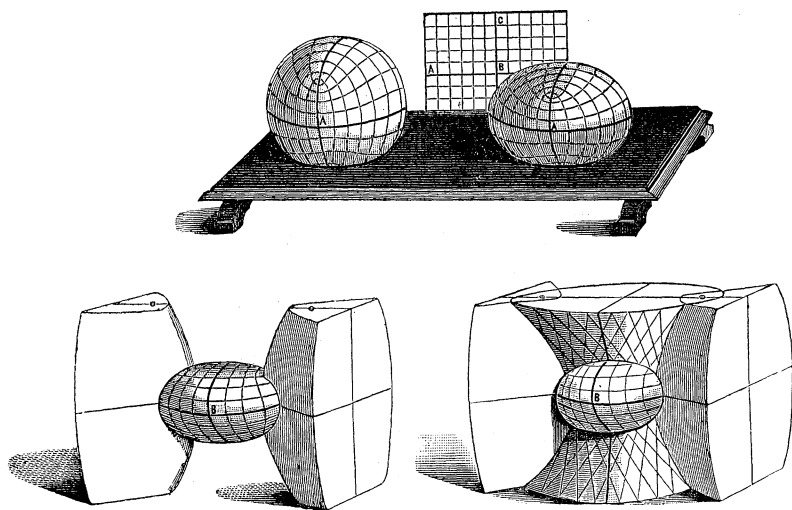
- 204 Modelle zur Lehre von den confocalen Flächen zweiten Grades**, zum Teil ausgeführt von Prof. **E. R. Neovius**, a. d. Univ. Helsingfors (1885), zum Teil (1887) ausgeführt im **Math. Seminar der Univ. Göttingen** unter Leitung von Prof. **H. A. Schwarz** von stud. **R. Haussner**. Verlag von **L. Brill**, Darmstadt.

Spezialkatalog 188—196 (pag. 35 und 76).

188—190. *Krümmungslinien des Ellipsoids; conforme Abbildung des Ellipsoids auf der Kugel*. Die Einteilung des Ellipsoids durch die aufgezeichneten 18 Krümmungslinien ist so getroffen, dass die auf der Fläche entstehenden Vierecke Quadraten möglichst nahe kommen.

Die Forderung ist durch die conforme Abbildung des Ellipsoids auf ein ebenes Rechteck präzisirt, in welchem diese Vierecke in Quadrate übergehen. Die Nabelpunkte des Ellipsoids entsprechen dabei den Eckpunkten dieses Rechtecks. Modell 190 stellt die conforme Abbildung auf der Kugel dar, bei welcher den drei Hauptschnitten des Ellipsoids drei grösste Kreise der Kugel entsprechen.

191–196. Die zum Ellipsoid gehörigen confocalen (ein- und zweischaligen) Hyperboloide, in den verschiedenen Combinationen mit dem Ellipsoid, zur Veranschaulichung der gegenseitigen Lage der confocalen Flächen. Auf den Hyperboloiden sind Krümmungslinien *nicht* aufgezichnet, weil eine *anschliessende* Fortsetzung der auf dem Ellipsoid getroffenen Verteilung der Krümmungslinien auf die Hyperboloide *nicht möglich* ist, wie sich direct aus dem Umstande folgern lässt, dass die Möglichkeit einer derartigen Fortsetzung die (unmögliche) Einteilung



des Raumes in kleinste Würfel mit Hilfe der confocalen Flächen 2. Grades mit sich bringen würde. Die auf dem einschaligen Hyperboloid aufgetragenen zwei Scharen von Erzeugenden bezeichnen je zu zweien die Brennstrahlen des Kegels, welcher von ihrem Schnittpunkt an das Ellipsoid berührend gelegt ist.

Bezüglich der weiteren Beziehungen dieser Modelle zur oben berührten Frage der conformen Abbildung vergl. man Neovius „Anwendung der Theorie der elliptischen Functionen auf eine die Krümmungslinien des Ellipsoids betr. Aufgabe“, Acta Soc. Fennicae, Bd. 15, 1885. (Dyck.)

- 205 Fläche, auf welche das Ellipsoid durch parallele Normalen conform abgebildet wird. Im Mathematischen Seminar der Universität Göttingen, unter Leitung von Prof. Schwarz, ausgeführt von K. Reinbeck in Einbeck. Verlag L. Brill, Darmstadt.

Die Fläche wird durch ihre Krümmungslinien in unendlich kleine Quadrate geteilt. Mit Hilfe des Modells lässt sich eine Vorstellung

gewinnen von der Gestalt derjenigen Flächen, auf welche die übrigen Flächen zweiten Grades durch parallele Normalen conform abgebildet werden.

- 206 Zwei Modelle zu Staude's Fadeneconstruction des Ellipsoids aus zwei confocalen Flächen zweiten Grades bzw. den zwei Focaleurven des confocalen Systems.** Construiert (1884) von **O. Staude** (jetzt Prof., Univ. Rostock). Verlag von **L. Brill**, Darmstadt.

Spezialkatalog 109, 110 pag. 21 und 78.

Vergl. die den Modellen beigegebene Abhandlung, sowie den Aufsatz von Staude Math. Annalen Bd. 20.

- 207 Röhrenschraubenfläche mit Krümmungslinien**, ausgeführt 1882 im **Math. Institut der techn. Hochschule München** (Prof. **Brill**) von Assistent **Th. Kuen**. Verlag von **L. Brill**, Darmstadt.

Die Fläche ist die Enveloppe aller Kugeln von constantem Radius, deren Centra auf einer Schraubenlinie liegen. Das eine System der Krümmungslinien besteht aus den zur mittleren Schraubenlinien senkrechten Kreisen, das andere aus transcendenten Curven (weiss), die jedoch nicht Schraubenlinien wie die blau gezeichneten sind. Das Problem führt auf Kreisfunctionen, die Asymptotencurven führen dagegen auf elliptische Functionen.

Siehe bez. der Krümmungslinien auch noch die unter No. 231 aufgeführten Zeichnungen von *Finsterwalder*.

Asymptotencurven.

- 208 Serie von 12 Modellen verschiedener Rotationsflächen mit aufgezzeichneten Asymptotencurven.** Ausgeführt (1885) im **Math. Institut der techn. Hochschule München** (Prof. **A. Brill**) von stud. **Herting** (Nr 113—123) und **Sievert** (Nr. 124). Verlag von **L. Brill**, Darmstadt.

Spezialkatalog 113—124 (pag. 21 und 78).

Dargestellt sind folgende Fälle:

Meridiancurve der Rotationsfläche:	Projection der Asymptotencurven in Polarcordinaten:
113. $r = z^2;$	$\varphi = \sqrt{\frac{1}{3}} \log r$
114. $27 r = z^3;$	$\varphi = \sqrt{\frac{2}{3}} \log r$
115. $z r^2 = 8;$	$\varphi = \sqrt{3} \log r$
116. $z r = 6;$	$\varphi = \sqrt{2} \log r$

117. $z = 6 \log r;$ $\varphi = \log r$
 118. $25 r^2 = z^2;$ $\varphi = \sqrt{\frac{1}{3}} \log r$
 119. $z = a \sqrt{r - a};$ $\varphi = \sqrt{\frac{1}{2}} \log [2 (r + \sqrt{r (r - a)}) - a]$
 120. $z = a (r - a)^{\frac{1}{3}};$ $\varphi = \sqrt{\frac{2}{3}} \log [2 (r + \sqrt{r (r - a)}) - a]$
 121. $z = a (r - a)^{\frac{2}{3}};$ $\varphi = \sqrt{\frac{1}{3}} \log [2 (r + \sqrt{r (r - a)}) - a]$
 122. $z = a (r - a)^2;$ $r = a \cos^2 \frac{\varphi}{2}$
 123. $z = \frac{1}{c} \left[r \sqrt{d^2 - r^2} - d^2 \arccos \frac{r}{d} \right];$ $\varphi = \arccos \frac{r}{d}$
 124. $z = \cos r;$ $\varphi = \int \sqrt{\frac{-\cotg r}{r}} dr.$

Näheres vergl. die den Modellen beigegebene Abhandlung.

209 Die Projectionen der ebengenannten Asymptotencurven der Rotationsflächen in Richtung der Rotationsaxe. Zwölf Blätter Zeichnungen, ausgeführt (1885) im **Math. Institut der techn. Hochschule München** (Prof. **A. Brill**) von stud. math. **Herting** und **Sievert**.

210 Asymptotencurven der Steiner'schen Fläche, von Prof. **K. Fink** in Tübingen. **Math. Seminar der Univ. Tübingen** (Prof. **Brill**).

Die Curven sind, wie Clebsch (Crelle, Band 67) gezeigt hat, Raumcurven 4. Ordnung 2. Species, die jeden der 4 Kegelschnitte berühren, in welche die parabolische Curve zerfällt. Sie stellen auf dem vorliegenden Modell der Fläche (Nr. 71 des Brill'schen Verlags, auf Veranlassung von Prof. Kummer in Berlin construirt) sich als geschlossene Curven dar, die ungefähr die Gestalt eines windschiefen Vierecks mit abgerundeten Ecken besitzen.

Durch eine Collineation geht die Gleichung jener Fläche in die Form über:

$$zxy = Ax^2y^2 + Bx^2 + Cy^2,$$

für welche sich die Differentialgleichung der Projection der Curven auf die xy-Ebene leicht integrirt.

(A. Brill.)

211 Fläche dritter Ordnung, vierter Classe, mit vier reellen conischen Knoten, auf welche eine Asymptotencurve angezeichnet ist. Ausgeführt 1877 im **Math. Institut der techn. Hochschule München** (Prof. **F. Klein**), von stud. **Bacharach**.

Spezialkatalog 125 (pag. 5 und 79).

Die Asymptotencurven dieser Fläche sind (vergl. Clebsch, Crelle's J. Bd. 67) Raumcurven 6. Ordnung 4. Classe.

- 212 Zwei bohnenförmige Körper zur versuchsweisen Bestimmung der parabolischen Curve, der Krümmungs- und Asymptotenlinien, angegeben von Prof. A. Brill.** Verlag von L. Brill, Darmstadt.

Auf dem negativ gekrümmten Teil dieser Fläche, welcher einfach zusammenhängend ist, verlaufen die Asymptotencurven zickzackförmig, mit Spitzen auf der parabolischen Curve aufstehend; dabei treten jedenfalls zwei wesentlich singuläre Punkte derselben auf, von der unter Nr. 232 dieses Katalogs gekennzeichneten Art.

-
- 213 Zwei bewegliche Flächenetze zur Darstellung von Systemen „äquidistanter Curven“ auf beliebigen Flächen.** Ausgeführt (1892) im Math. Institut der techn. Hochschule München (Prof. Dyck).

Hiezu beigegeben verschiedene Flächen zweiter Ordnung aus Gips und Holz (zum Teil aus der Collection *Delagrave*, vergl. No. 128), sowie zwei grosse Tractrixflächen).

Die beiden Netze sind aus gleichlangen Messingröhrchen, durch welche Fäden gezogen und geknüpft sind, hergestellt und innerhalb der Grenzen des Materials um die Vereinigungsstellen frei beweglich.

Die beiden Netze gestatten einzelne der von Voss (im ersten Teile dieses Kataloges) gegebenen Resultate über äquidistante Curvensysteme praktisch zu realisiren und dürften sich auch zu Vorlesungszwecken bei Einführung der krummlinigen Coordinaten besonders eignen.

Siehe bez. der Asymptotencurven auch noch die unter No. 228 und 232 aufgeführten Modelle und Zeichnungen.

Geodätische Linien.

- 214 Sieben Modelle zur Darstellung des Verlaufes der geodätischen Linien auf dem Ellipsoid.** Ausgeführt (1877 und 1880) im Math. Institut der techn. Hochschule München (unter Leitung von Prof. A. Brill) von den studd. math. K. Rohn und A. v. Braunmühl. Verlag von L. Brill, Darmstadt.

Spezialkatalog 102—108 (pag. 3, 11 und 77).

102. Geodätische Linien auf dem verlängerten Rotationsellipsoid.

103. Geodätische Linien durch die Nabelpunkte eines dreiaxigen Ellipsoides.

104—107. Verlängerte bez. abgeplattete Rotationsellipsoide mit geodätischen Linien und Enveloppen von Systemen solcher, welche von einem Punkt ausgehen. (Modelle je in zwei Grössen.)

108. Dreiachsiges Ellipsoid nebst Andeutung der Enveloppe von geodätischen Linien, welche von einem Punkt ausgehen.

Näheres vergl. die den Modellen beigegebenen Abhandlungen (zu 102, 103 von Rohn, zu 104—108 von Braunnühl), sowie bezüglich der letzteren Modelle die Abh. von Braunnühl im 14. und 20. Bd. der Math. Annalen.

Siehe hierzu auch die unter No. 216 und 219 aufgeführten Modelle.

Abwicklung zweier Flächen auf einander.

- 215 Modelle zur Demonstration der Abwicklung zweier Flächen auf einander.** Ausgeführt im **Math. Institut der techn. Hochschule München** (Prof. Brill), von Assistent **P. Vogel**. Verlag von **L. Brill**, Darmstadt.

Spezialkatalog 137—139 (pag. 18 und 82).

Die Modelle beziehen sich speciell auf die Abwicklung eines Rotationsellipsoides auf eine zugehörige Schraubenfläche, nach Bour, Journal de l'école polyt. Bd. 22. Ein Rotationsellipsoid aus Messingblech lässt sich auf die beiden anderen aus Gips hergestellten Modelle (des Rotationsellipsoides und der Schraubenfläche) aufbiegen.

Siehe hierzu ausser den in den nächstfolgenden Abschnitten aufgeführten Modellen auch noch die in Abteilung III unter Kinematik aufgeführten Modelle, welche die praktischen Anwendungen der Abwicklung zweier Flächen auf einander vorführen.

Flächen constanten Krümmungsmasses.

- 216 Serie von Flächen von constantem Krümmungsmass.** Ausgeführt (1877, 1880) im **Math. Institut der techn. Hochschule München** (Prof. A. Brill). Verlag von **L. Brill**, Darmstadt.

Spezialkatalog 126—136 (pag. 3, 5, 11, 21 und 80).

126—128. *Die drei Typen von Rotationsflächen von constantem positiven Krümmungsmass* mit geodätischen Linien. Nach Zeichnungen von E. Bour (Journal de l'Ecole Polytechnique, Tome 22) ausgeführt von Assistent **P. Vogel**.

129. *Flächenstreifen von constanter positiver Krümmung aus Messingblech* in Kugelzone, einem Centriwinkel von fast 90° entsprechend.

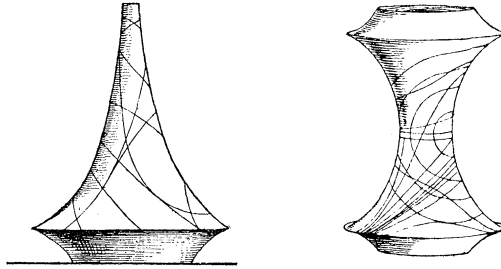
130. *Hohle Halbkugel aus Messingblech.*

131. *Schraubenfläche von constantem positiven Krümmungsmass*, auf die vorhergehenden 3 Flächen abwickelbar. Schneidet man aus der vorherigen Kugel eine von 2 gleich grossen Parallelkreisen begrenzte Zone (einem Centriwinkel von 90° entsprechend) heraus, so geht diese durch gegenseitige Verschiebung der Endschnitte in diese Schraubenfläche über, wie sich dies mit Hilfe der Kugelzone aus Messingblech zeigen lässt. Von stud. math. *Kuen*.

132–134. *Die drei Typen von Rotationsflächen von constantem negativen Krümmungsmass.*

132. *Kegeltypus* nebst geodätischen Linien (blau) und einer Haupttangente. Von stud. math. *Bacharach*.

133. *Hyperboloidtypus*. Es ist ein System paralleler geodätischer Linien aufgezeichnet (grün), worunter sich 2 (rot) befinden, die sich dem Kehlkreis asymptotisch nähern. Die geschlossenen Curven sind geodätische Kreise. Von stud. math. *W. Dych*.

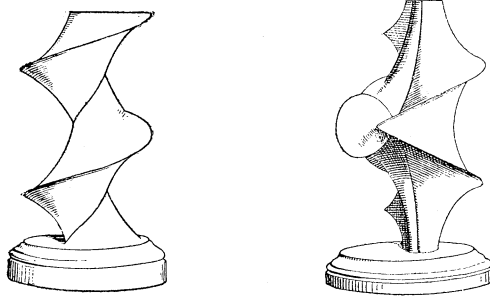


134. *Rotationsfläche der Tractrix*. Die Fläche bildet den Übergang zwischen den beiden vorgenannten Flächen und entspricht der Kugel bei den Flächen constanter positiver Krümmung. Die blau gezeichneten Curven auf ihr sind verschiedene geodätische Linien, die rote ist eine Asymptotencurve. Von stud. math. *Bacharach*.

135. *Schraubenfläche von constantem negativen Krümmungsmass*, deren Meridiancurve die Tractrix ist. Vergl. U. Dini, *Comptes Rendus*, Acad. Sc. Paris 1865, I. Sem. pag. 340; Th. Kuen, *Berichte der kgl. bayr. Akad.* 1884. Von Assistent *P. Vogel*.

136. *Fläche von constantem negativen Krümmungsmass mit ebenen Krümmungslinien nach Enneper*. Sie entsteht aus der Tractrixfläche von der Krümmung $-\frac{1}{t^2}$ dadurch, dass man auf den Tangenten an ein System von parallelen geodätischen Linien das Stück t in bestimmtem Sinn aufträgt. (Vgl. Bianchi, *Math. Annalen* Bd. 16, sowie Enneper, *Göttinger Nachrichten* 1868; Th. Kuen, *Sitzungsberichte der kgl. bayr. Akad.* 1884, Heft II.) Modellirt von stud. math. *Mack*. Erläuterung hierzu von Assistent *Th. Kuen*.

Die Flächen Nr. 133, 135, 136 besitzen das nämliche Krümmungsmass. Um ihre Abwickelbarkeit auf einander und besonders ihre Verschiebbarkeit in sich selbst zu zeigen, sind



136 a. Zwei Flächenstreifen von constantem negativen Krümmungsmass aus biegsamem Messingblech, vom Krümmungsmass der Flächen beigegeben.

Näheres vergl. die den einzelnen Modellen beigegebenen Abhandlungen.

- 217 **Zwei Modelle von Flächen von constantem positiven Krümmungsmass, mit einem System ebener Krümmungslinien**, ausgeführt von Studienlehrer **Sievert**, Nürnberg. Verlag von **L. Brill**, Darmstadt.

Spezialkatalog 206, 207 (pag. 39 und 80).

Man vergl. hiezu die Abhandlungen von Enneper (Gött. Nachr. 1868), und Kuen, Bayer. Akad. Sitzungsber. 1884, ferner die Inauguraldissertation von Sievert (Tübingen 1884), sowie die den Modellen beigegebene Abhandlung.

- 218 **Häute aus Papier von constantem negativen Krümmungsmass**, ausgeführt 1892 im **Math. Institut der techn. Hochschule München**.

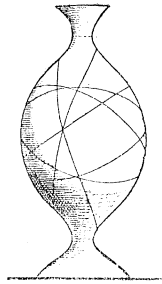
Eine solche Haut ist zusammengesetzt aus congruenten geodätischen Dreiecken mit den Winkeln $\frac{1}{2}\pi$, $\frac{1}{3}\pi$ und $\frac{1}{7}\pi$. Der pseudosphärische Defect eines solchen ist $\frac{1}{2}\pi$. Damit ist, falls das Krümmungsmass der Fläche bekannt vorausgesetzt wird, auch Oberfläche und Seitenlängen des Dreiecks bekannt. Das Krümmungsmass wurde gleich dem der Tractrixfläche des Brill'schen Verlages (Nr. 134) angenommen, auf welcher demnach die Haut abwickelbar ist. Die Dreiecke wurden aus den Seitenlängen zuerst geradlinig construirt und später so krummlinig begrenzt, wie es die kleineren Winkel und der kleinere Flächeninhalt der pseudosphärischen Dreiecke verlangt. Dann konnten sie in feuchtem Zustande auf die Tractrixfläche aufgepasst und genügend genau aneinandergesetzt werden,

ein Verfahren, das schon von *Schwarz* zur Herstellung solcher Häute benützt worden ist. Theoretisch hat das Aneinanderfügen keine Grenze. Wie die ausgestellten Häute zeigen, stellen sich aber praktische Schwierigkeiten ein, die bewirken, dass grössere Häute zwar in den einzelnen Teilen ungefähr das richtige Krümmungsmass besitzen, aber keineswegs geeignet sind, eine exacte Vorstellung von ausgedehnten Flächen mit streng constantem Krümmungsmass zu liefern. Sie können in ihrer ganzen Ausdehnung nur als Continua aufgefasst werden, deren Krümmungsmass innerhalb geringer Grenzen variabel ist.

(Finsterwalder.)

Flächen constanter mittlerer Krümmung (Minimalflächen).

- 219** **Drei Typen von Rotationsflächen constanter mittlerer Krümmung.** Ausgeführt (1877) im **Math. Institut der techn. Hochschule München** (Prof. **Brill**) von stud. **A. v. Braunmühl**. Verlag von **L. Brill**, Darmstadt.



Spezialkatalog 140—143 (pag. 5 und 83.)

140. Unduloid (vergl. Fig.)

141, 142. Nodoid.

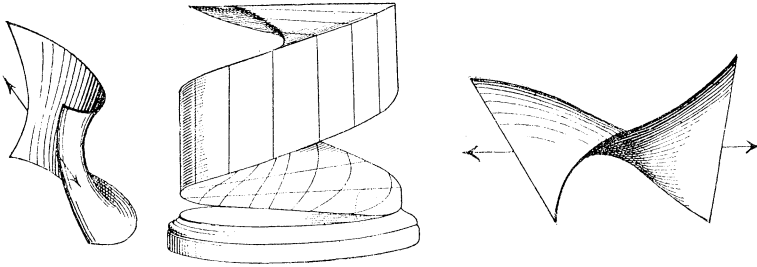
143. Catenoid.

Auf den Flächen sind geodätische Linien aufgetragen. Näheres vergl. man in der den Modellen beigegebenen Erläuterung.

- 220** **Catenoid und Schraubenfläche nebst zugehöriger biegsamer Lamelle aus Messingblech.** Hergestellt im **Math. Institut der techn. Hochschule München** (Prof. **Brill**) von stud. **Herting**. Verlag von **L. Brill**, Darmstadt.

Spezialkatalog 144—146 (pag. 17 und 83).

Die Modelle dienen zur Veranschaulichung der Ossian Bonnet'schen Biegung der einen Minimalfläche in die zweite. Bei dieser (an der



Messinglamelle wirklich ausführbaren Biegung) gehen die Krümmungslinien der einen Fläche in die Asymptotencurven der andern über. (Vergl. Schwarz in *Crelle's Journal* Bd. 80.)

- 221** **Minimalfläche neunter Ordnung nach Enneper.** Hergestellt im **Math. Institut der techn. Hochschule München** (Prof. Brill) von stud. Herting Verlag von **L. Brill**, Darmstadt.

Specialkatalog 147 (pag. 17 und 84).

Man vergl. hiezu den Aufsatz von Enneper in den *Göttinger Nachr.* 1871. Die Fläche ist ihre eigene Bonnet'sche Biegungsfläche, d. h. sie kann so auf sich selbst aufgebogen werden, dass die Krümmungslinien (weiss) in die Asymptotencurven (rot) übergehen. Ein galvanoplastischer Abzug der Fläche, der die Symmetrieverhältnisse der Fläche noch deutlicher zur Anschauung bringt, liegt bei.

- 222** **Catalan'sche Minimalfläche.** Hergestellt unter Leitung von Professor **E. R. Neovius**, Univ. Helsingfors, von stud. **Laine**. Verlag von **L. Brill**, Darmstadt.

Specialkatalog 238 (pag. 41 und 84).

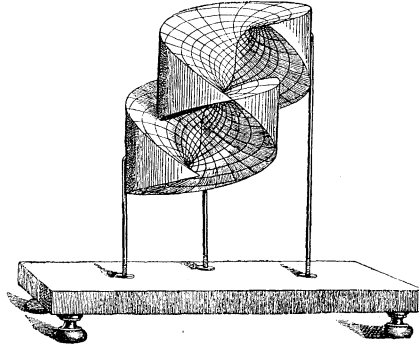
Diese Fläche gehört zu den Minimalflächen, welche eine Schar reeller Curven zweiten Grades enthalten, und zwar sind es hier Parabeln. Diese Parabeln und deren orthogonale Trajectorien veranschaulichen die Eigenschaft der Fläche, dass sie durch die beiden Curvenscharen in unendlich kleine Quadrate geteilt werden kann.

- 223** **Modell einer Minimalfläche, welche eine Schar reeller Parabeln enthält, deren Ebenen mit einer festen Ebene des Raumes einen constanten Winkel einschliessen.** Modellirt unter Leitung von Professor **E. R. Neovius** von stud. **Hj. Tallqvist**, Universität Helsingfors. Verlag von **L. Brill**, Darmstadt.

Specialkatalog 203 (pag. 39 und 84).

Das vorliegende Modell stellt diejenige Minimalfläche dar, welche durch geometrische Addition der gewöhnlichen Schraubenfläche und der

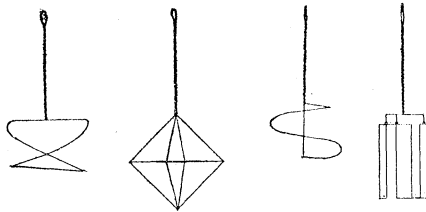
sog. *Catalan'schen* Minimalfläche entsteht. Die *Catalan'sche* Fläche enthält bekanntlich eine Schar reeller Parabeln, deren Ebenen alle auf einer festen Ebene senkrecht stehen. Auf der Additionsfläche liegt



ebenfalls eine Schar reeller Parabeln, deren Ebenen mit einer festen Ebene einen *constanten*, von 90° verschiedenen Winkel, hier von 45° , einschliessen.

Näheres vergl. die dem Modell beigelegte Abhandlung.

- 224 Drahtgestelle zur Darstellung von Minimalflächen** mittelst Seifenlösung. **Math. Institut der technischen Hochschule München** (Professor **A. Brill**); Verlag von **L. Brill**, Darmstadt.

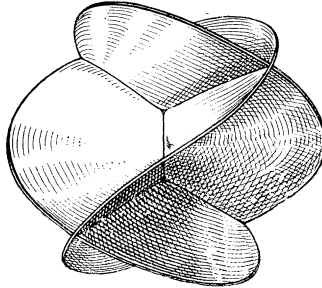


- a. Zwei Ringe mit Griff und Füßen zur Darstellung der Rotationsflächen constanter mittlerer Krümmung (Plateau, *Statique des liquides*, T. 1. p. 93—103).
- b. Schraubenlinie zur Darstellung der windschiefen Schraubenfläche (ibid. p. 216).
- c—g. Kanten des Oktaeders, der vierseitigen Pyramide, des dreiseitigen Prisma's, des Tetraeders und Würfels (vgl. Schwarz, *Bestimmung einer speciellen Minimalfläche*, 1871, pag. 84).
- h. Kanten des sechsseitigen Prisma's (ibid. p. 93).

- i. Drahtgestell zur Darstellung der ersten der fünf von Scherk (Crelle's Journal, XIII. p. 185) angegebenen Minimalflächen.
 k. Zwei rechtwinklig gekreuzte Rechtecke zur Darstellung der fünften Scherk'schen Minimalfläche.

225 Minimalfläche fünfter Classe, 1880 modellirt von stud. **C. Schilling** im **math. Seminar der Univ. Göttingen** (Prof. **Schwarz**), galvanoplastisch reproducirt und ausgestellt durch das **Math. Institut der techn. Hochschule München**.

In der Abhandlung „Über die Flächen, deren mittlere Krümmung überall gleich Null ist“, hat Herr *Weierstrass* auf die Aufgabe hingewiesen, alle algebraischen Minimalflächen einer bestimmten Classe zu ermitteln. Nach den Untersuchungen von *Henneberg* und *Lie* ist die niedrigste hierbei auftretende Classe die fünfte. Die zugehörigen Minimalflächen, die alle einander ähnlich sind, hat *Schilling* in seiner Inaug.-Dissertation (Göttingen 1880) näher untersucht.



Ihre Gleichungen lassen sich in der Form schreiben:

$$\begin{aligned}
 x &= \left(\frac{1}{s^3} + \frac{1}{s_1^3} \right) - 3 \left(\frac{1}{s} + \frac{1}{s_1} \right) + 3 (s + s_1) - (s^3 + s_1^3), \\
 y &= i \left[\left(\frac{1}{s^3} - \frac{1}{s_1^3} \right) + 3 \left(\frac{1}{s} - \frac{1}{s_1} \right) + 3 (s + s_1) + (s^3 - s_1^3) \right], \\
 z &= 3 \left(\frac{1}{s^2} + \frac{1}{s_1^2} \right) + 3 (s^2 + s_1^2).
 \end{aligned}$$

Die Fläche ist von der 15. Ordnung. Sie ist eine Doppelfläche und deshalb wurde ihre Darstellung als eine (im Original aus Pappe hergestellte, im vorliegenden Modell galvanisch erzeugte) „Flächenhaut“ gewählt.*) Die aufgezeichneten Curven bilden ein quadratisches Netz von Raumcurven 6. und 3. Ordnung auf der Fläche.

Bezüglich der näheren Ausführungen sei auf die schon oben genannte Dissertation von Schilling verwiesen.

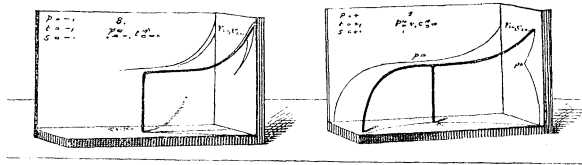
(Dyck.)

*) Die Vorteile einer solchen Darstellung, welche den eigentlichen Charakter einer Fläche zur Anschauung bringt, tritt hier gegenüber den stets mehr als Körpern erscheinenden Gipsmodellen und ähnlichen deutlich hervor.

Q. Singuläre Vorkommnisse bei Curven und Flächen.

- 226 Acht Modelle über die Abhängigkeit der Rückkehrelemente der Projectionen einer unebenen Curve von denen der Curve selbst.** Von **Ch. Wiener**, Professor an der technischen Hochschule zu Karlsruhe. Verlag von **L. Brill**, Darmstadt.

Spezialkatalog 82—89; pag. 23 und 73.



Wenn sich auf einer unebenen Curve ein Punkt und mit ihm die Tangente und die Schmiegungeebene der Curve hinbewegt, so kann an einer Stelle jedes dieser Elemente seinen Bewegungssinn beibehalten oder ihn umkehren. Dieses Verhalten wird der Charakter der Curve, und ein umkehrendes Element ein Rückkehrelement genannt. Durch Verbindung der verschiedenen Charaktere treten acht Möglichkeiten ein. — Die Projection der Curve auf eine Ebene zeigt im Allgemeinen für den Punkt und die Tangente dieselben Charaktere wie die unebene Curve selbst. Nur bei den Projectionen auf die drei Hauptebenen, die Schmiegunge-, die Normal- und die rectificirende Ebene zeigen sich Änderungen der Charaktere, so dass hier Spitzen und Wendepunkte in der Projection auftreten können, die an der Curve nicht vorhanden sind, und solche verschwinden, die sich an der Curve befinden.

Die Modelle zeigen die acht möglichen Fälle. Sie stellen die Curven aus Draht und die Projectionen auf die drei Hauptebenen durch Zeichnung dar und lassen durch Visiren oder Schattenwerfen die Abhängigkeit ihrer Charaktere, und durch allmähliche Änderung der Projectionsrichtung die Entstehung der Singularitäten der Projectionen erkennen.

(Chr. Wiener.)

- 227 Sechs Modelle zur Kartographie** von Privatdocent **H. Wiener**, Univ. Halle a/S.

Ideale Bergkuppen, Sattel, dreifacher Sattel, Kessel.

28 Modelle für die verschiedenen Typen conischer Knotenpunkte mit Angabe des Verlaufes der parabolischen Curve und der Haupttangentencurven in der Umgebung dieser Punkte. Ausgeführt 1891 im **Math. Institut der techn. Hochschule München** (Prof. Dyck und Finsterwalder) von Reallehrer **A. Sucharda** in Prag.

Berücksichtigt man in der Taylor'schen Entwicklung der Flächen-gleichung im Knotenpunkt die Glieder zweiter und dritter Ordnung

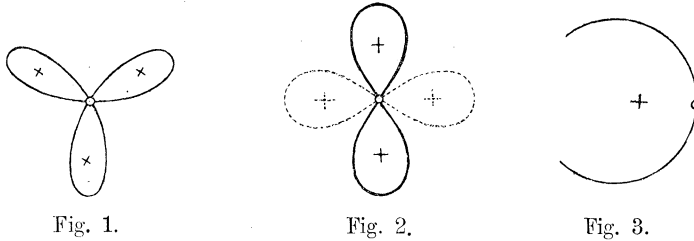
$$u_2 + u_3 + \dots = 0.$$

so hat man bekanntlich nach der Realität der sechs Schnittgeraden der Kegel zweiter Ordnung $u_2 = 0$, und dritter Ordnung $u_3 = 0$ vier Hauptfälle zu unterscheiden: 6, 4, 2, 0 dieser Schnittgeraden reell. Zur Darstellung dieser Fälle sind mit Vernachlässigung von Gliedern höherer Ordnung möglichst einfache Gleichungen zu Grunde gelegt:

- a) $(x^2 + y^2 - b^2z^2) - \lambda y (3x^2 - y^2) = 0$
- b) $(x^2 + y^2 - b^2z^2) - \lambda z (x^2 - y^2) = 0$
- c) $(x^2 + y^2 - b^2z^2) - \lambda x z^2 = 0$
- d) $(x^2 + y^2 - b^2z^2) - \lambda z^3 = 0$

Wenn nun auch in den gewählten Beispielen gewisse mit der Einfachheit der Annahmen verbundene Specialisierungen auftreten, so sind dieselben doch andererseits allgemein genug, um Hauptmerkmale der verschiedenen Kategorien zu versinnlichen.

Die Haupttangenteurve berührt im Knotenpunkt die oben erwähnten Schnittgeraden von $u_2 = 0$ und $u_3 = 0$ in sechs durch den Knotenpunkt laufenden (reellen bez. imaginären) Ästen. Projicirt auf die xy -Ebene gestaltet sich ihr Verlauf (schematisch) wie folgt:



In den Fällen a und c liegt die Fläche symmetrisch zur xy -Ebene; die Figuren 1 und 3 sind also doppelt zählend für den oberen und unteren Teil der Fläche zu denken. Es sind 6 bez. 2 Teile positiver Krümmung, welche im Knotenpunkte zusammenstossen.

Im Fall b ist die Fläche nicht symmetrisch zur xy -Ebene, vielmehr der obere Teil gegen den unteren um 90° verdreht. Die aus-gezogenen bez. punktierten Linien der Figur 2 beziehen sich auf den oberen bez. unteren Teil. Es stossen 4 positiv gekrümmte Flächen-teile im Knotenpunkt zusammen.

Im Falle d (einer Rotationsfläche) trennt der Knotenpunkt den oberen positiv gekrümmten Flächenteil von dem unteren negativen.

Unsere Flächen (als solchen dritter Ordnung) gehören die in den oberen Figuren eingetragenen Geraden ihrem ganzen Verlaufe nach an. Die Discussion des Verhaltens der Haupttangentencurven in der Umgebung des Knotenpunktes an Hand der zugehörigen Differentialgleichung (die nur im Falle d integrirbar ist) liefert nun den folgenden (schematisch gegebenen) Verlauf derselben:

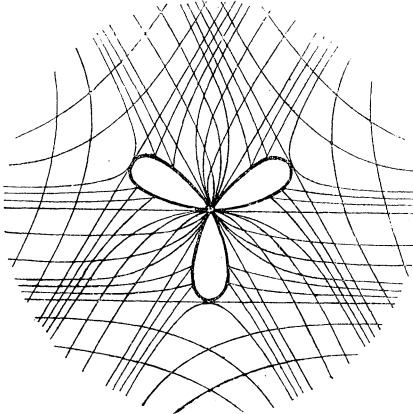


Fig. 4.

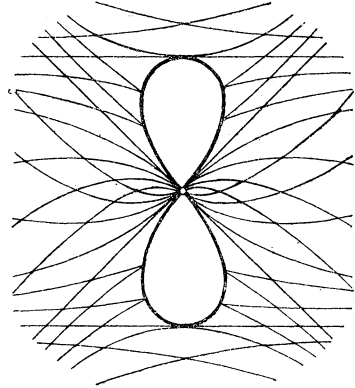


Fig. 5.

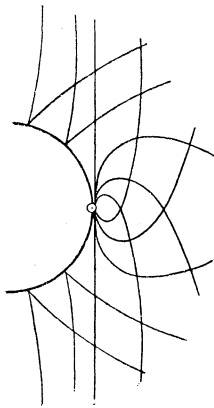


Fig. 6.

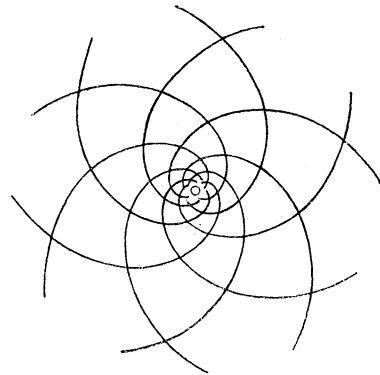


Fig. 7.

Auf den von Herrn Sucharda modellirten Flächen sind diese Haupttangentencurven nach einzelnen, von ihm genauer gerechneten Richtungen aufgetragen.

(Dyck.)

229 Modelle der beiden Hauptarten der „Faltenpunkte“ von Professor D. J. Korteweg, Univ. Amsterdam.

Wenn eine Doppeltangentialebene sich über die Fläche, welche sie doppelt berührt, fortbewegt, kommt es vor, dass die beiden conjugirten Berührungspunkte (die Connoden) zusammenfallen. Die Punkte der Fläche, in welchen dies geschieht, werden *Faltenpunkte* genannt, weil solche Punkte sich am Anfang und Ende einer jeden Falte (man denke z. B. an den Faltenwurf eines Kleides) vorfinden.

In einem Faltenpunkte berühren sich die Flecnodalcurve (Curve der vierpunktigen Tangenten), die Spinodalcurve (Curve der parabolischen Punkte) und die Connodalcurve. Auf den Modellen ist die erste dieser Curven nicht angegeben, die zweite, welche die Grenze zwischen dem negativ gekrümmten (blaugefärbten) Teile der Fläche und dem positiv gekrümmten bildet, ist durch eine rote, die Connodalcurve durch eine blaue Linie angedeutet.

Die beiden Modelle Nr. 1 und 2 vergegenwärtigen die beiden Hauptarten der Faltenpunkte. Diese unterscheiden sich *erstens* dadurch, dass die Connodalcurve bei der ersten Hauptart auf dem positiv — bei der zweiten auf dem negativ gekrümmten Teile der Fläche liegt; *zweitens* ist auch der Tangentialdurchschnitt am Faltenpunkte verschieden. Bei der zweiten Hauptart zeigt dieser Schnitt zwei reelle, sich im Faltenpunkte berührende Zweige, bei der ersten Hauptart sind diese beiden Zweige imaginär und ist also der Faltenpunkt ein isolirter Punkt mit reeller Tangente.

Weiteres über Faltenpunkte und über die singulären Punkte der Flächen, die als vielfache Faltenpunkte zu betrachten sind, findet man *Wiener Berichte*, Bd. 98, Abt. II, S. 1154. 1889. Über ihre Bedeutung in der Thermodynamik sehe man *Maxwell, Theory of Heat, Chapter XII*, und *van der Waals, Théorie moléculaire d'une substance composée de deux matières différentes, Archives Néerlandaises, Tome 24*. (1891.)

(D. J. Korteweg.)

230 Modelle von deformirten homogenen „Doppelfaltenpunkten“, von Prof. D. J. Korteweg, Univ. Amsterdam.

In einer 1890 in den *Archives Néerlandaises*, T. 24, p. 295 veröffentlichten Abhandlung „*La théorie générale des plis et la surface ψ de van der Waals*“ habe ich im ersten Abschnitte die Resultate angegeben einer Untersuchung über das Entstehen, Verschwinden und Zusammenfließen der Falten einer in stetiger Umformung begriffenen Fläche und über die singulären Punkte, die dabei eine Rolle mitspielen.

Die erste der drei dort beschriebenen Entstehungsweisen einer Falte, die aus einem homogenen Doppelfaltenpunkte der ersten Art, illustriert Modell Nr. 3. Wird nämlich die auf diesem Modelle dargestellte Falte rückwärts deformirt, dann zieht sie sich zu einem homogenen Doppelfaltenpunkte (homogen weil die beiden Faltenpunkte zur selben Art ge-

hören) zusammen, welcher Doppelfaltenpunkt einen isolirten Punkt der Connodalecurve (Curve der conjugirten Berührungspunkte der Doppeltangentialebenen) bildet und deshalb zur *ersten* Art gezählt wird.

Modell Nr. 4 dahingegen bezieht sich auf einen homogenen Doppelfaltenpunkt *zweiter* Art. Ein solcher Punkt ist ein *eigentlicher* Doppelpunkt der Connodalecurve und gibt zu ganz anderen Umbildungen der Falten Veranlassung als ein homogener Doppelfaltenpunkt erster Art. Er entsteht auf Modell Nr. 4 in dem Augenblicke, wo die beiden Faltenpunkte während einer Deformation zusammenfallen. Wird diese Deformation dann noch weiter fortgesetzt, dann verschwinden die Faltenpunkte und eine Doppeltangentialebene kann auf dem Modelle von der einen Seite zur anderen fortbewegt werden, ohne dass die Connoden imaginär werden.

Gehörten nun beide Faltenpunkte verschiedenen Falten an, dann vereinigen sich diese zu einer einzigen Falte. Interessanter ist der Fall, wenn beide die Endpunkte einer und derselben Falte bildeten, weil dann aus der durch Faltenpunkte abgeschlossenen Falte entweder eine doppelte oder eine einfache Ringfalte entsteht, und zwar jenachdem der linke und rechte Zweig der Connodalecurve des einen Faltenpunktes mit den gleichnamigen oder ungleichnamigen Zweigen des anderen Faltenpunktes correspondirte. Eine Ringfalte wird nämlich doppelt oder einfach genannt, je nachdem die beiden Connoden entweder verschiedene Curven beschreiben oder sich auf derselben Curve fortbewegen und also schliesslich ihre Stellen wechseln.

Über die Bedeutung der auf den Modellen angegebenen Linien, vergl. man die oben genannte Beschreibung meiner Modelle der beiden Hauptarten der Faltenpunkte.

(D. J. Kortweg.)

231 Die verschiedenen Typen des Verlaufs von Krümmungslinien in allgemeinen Nabelpunkten einer Fläche. Zeichnung von Professor Finsterwalder, techn. Hochschule München.

In einem Nabelpunkte verliert die quadratische Gleichung für die Krümmungsrichtungen ihren Sinn. An ihre Stelle tritt eine cubische Gleichung, welche 3 bevorzugte Richtungen definirt, in denen die Krümmungslinien auf den Nabelpunkt zulaufen. Dabei kann entweder der Fall eintreten, dass, wie in Fig. 1, 2, 3, 7, 8, nur einzelne Krümmungslinien durch den Nabelpunkt gehen, oder, wie in Fig. 4, 5 und 6, dass unendlich viele Krümmungslinien in einer ausgezeichneten Richtung sich berühren. Integriert man die Differentialgleichung der Projection der Krümmungslinien auf die Tangentialebene im Nabelpunkte näherungsweise, so findet man bei genauerer Discussion die in vorliegender Zeichnung zusammengestellten Typen für den Verlauf der Krümmungslinien.

Fig. 1 stellt den Fall dar, wie er bei einer Fläche mit dreifach symmetrischer Axe vorkommt; hier sind die ausgezeichneten Richtungen um je 120° von einander entfernt. *Fig. 3* und *4* geben den

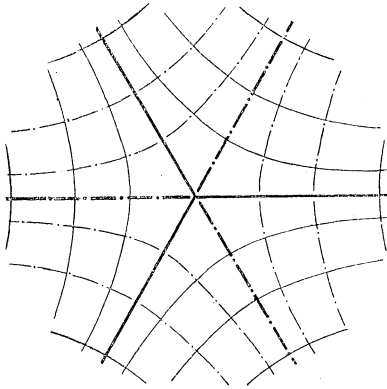


Fig. 1.

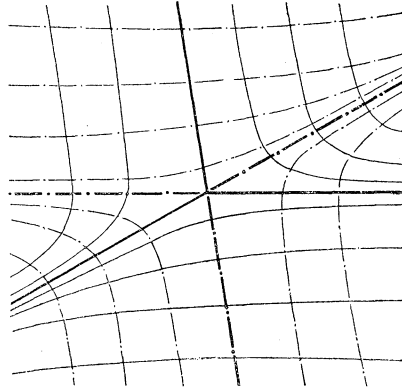


Fig. 2.

Übergang durch den Grenztypus, bei welchem 2 ausgez. Richtungen senkrecht zu einander stehen. Im Grenztypus selbst bilden die Krümmungslinien in der Umgebung des Punktes ein einfaches recht-

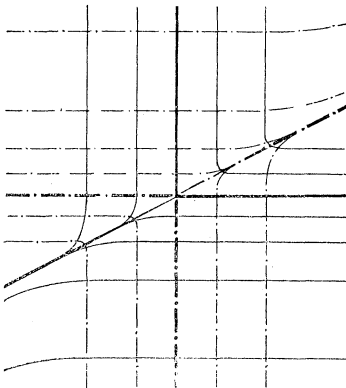


Fig. 3.

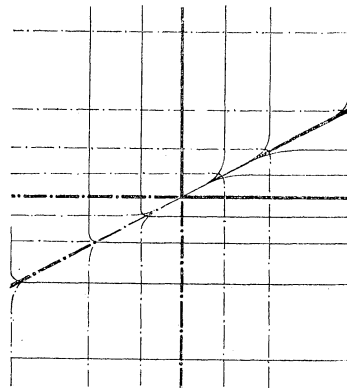


Fig. 4.

winkliges Netz. In *Fig. 6* sind 2 der ausgezeichneten Richtungen zusammengefallen, in *Fig. 7* imaginär geworden, in *Fig. 8* laufen sie nach den Kreispunkten. Letzterer Fall tritt bei Flächen 2. Grades

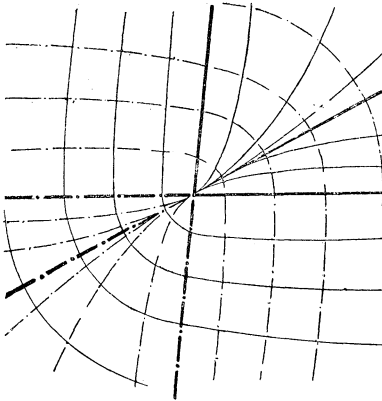


Fig. 5.

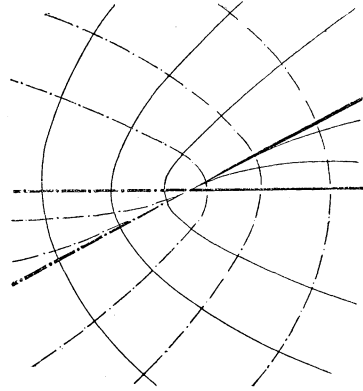


Fig. 6.

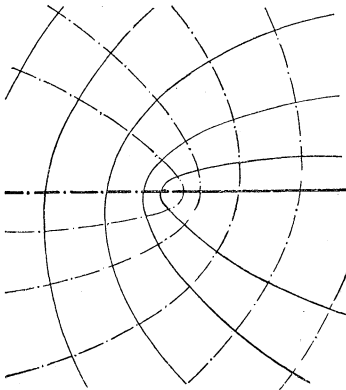


Fig. 7.

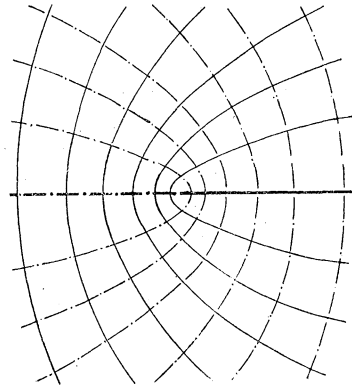


Fig. 8.

auf. Der Grenztypus findet sich auf den Scheitelpunkten von Rückungsflächen, falls diese Nabelpunkte sind.

(Fensterwalder.)

232 Die verschiedenen Typen der singulären Stellen der durch eine Differentialgleichung erster Ordnung zwischen zwei Variablen definierten Curvensysteme. Von Prof. **W. Dyck**, techn. Hochschule München.

Die Tafeln geben :

1. Die drei Typen der bei einer *Differentialgleichung erster Ordnung ersten Grades* auftretenden singulären Stellen. Sie ergeben sich wie bekannt aus der Gleichung :

$$(ax + by) \frac{dy}{dx} + (cx + dy) = 0.$$

2. Die drei Typen der bei einer *Differentialgleichung erster Ordnung höheren Grades* auftretenden „wesentlich“ *singulären Stellen*.

Für sie ist charakteristisch die Gleichung:

$$\left(\frac{dy}{dx}\right)^2 + 2cx \left(\frac{dy}{dx}\right) + bx^2 + 2ay = 0;$$

die Darstellung des gestaltlichen Verlaufes des Curven-Systems folgt dabei durch eine quadratische Transformation aus den erstgenannten Fällen; die gegenseitige Zuordnung derselben ist unmittelbar in den untereinander geordneten Figuren I, II, III ersichtlich.

3. Den gestaltlichen Verlauf des Curvensystems in der Umgebung der bei der allgemeinen Differentialgleichung (höheren als ersten Grades) auftretenden „*ausserwesentlich singulären*“ *Stellen* (Fig. IV der Tafel).

Sie sind charakterisirt durch eine Gleichung:

$$0 = ax - y + bx \left(\frac{dy}{dx}\right) + c \left(\frac{dy}{dx}\right)^3$$

Die entsprechende Fig. V stellt ein *singuläres Vorkommnis* dar, wie es dem Falle Fig. IV analog auftritt, wenn man bei der Frage nach den *singulären Stellen* eines Curvensystems, statt von der Differentialgleichung als dem ursprünglichen Datum auszugehen, die Definition des Curvensystems durch eine *Curvengleichung*

$$\Phi(x, y, c) = 0$$

mit einem willkürlichen Parameter *c* gegeben voraussetzt.

4. Die Figuren VI—IX der Tafel zeigen die Veränderungen, welche ein durch eine Differentialgleichung erster Ordnung definirtes Curvensystem erleidet bei Änderung der Constanten der Differentialgleichung.

Betrachtet man speciell ein System von Differentialgleichungen

$$F(x, y, y') - k = 0$$

mit *k* als willkürlichem Parameter, so sind die in den genannten Figuren dargestellten Übergänge dadurch charakterisirt, dass an der Sprungstelle der Deformation gleichzeitig mit $F - k = 0$ auch die Gleichungen

$$F_1 = 0, F_2 = 0, F_3 = 0$$

statthaben; und es geben die hier gezeichneten Fälle die verschiedenen bei diesem Durchgang möglichen Typen.

Ausser diesen wichtigsten Sprungstellen enthalten die in $F - k = 0$ enthaltenen Systeme noch weitere, jedesmal ganz bestimmt geometrisch zu bezeichnende Übergangsstellen, die analytisch ebenso wie die genannten durch ein System von Gleichungen und Ungleichungen definirt sind.

Der genaue Verfolg aller dieser verschiedenen Übergangsformen für eine vorgelegte Differentialgleichung erster Ordnung, in welche

ein zweckmässiger Parameter einzuführen ist, gestattet, die gestaltliche Anordnung der Integralcurven für eine solche Gleichung im allmählichen Entstehen anschaulich zu verfolgen.

Bezüglich einer eingehenderen Ausführung dieser Discussionen sei auf zwei Aufsätze von Dyck in den Sitzungsberichten der math. phys. Classe der k. b. bayer. Akad. d. W. vom Jahre 1891 (Heft 1) und 1892 (Heft 1) verwiesen.

Eine nicht uninteressante Anwendung der Discussion ist diejenige auf die gestaltlichen Verhältnisse der Haupttangencurven einer algebraischen Fläche. Die in den Figuren I bis III charakterisirten Fälle treten hier allgemein auf und zwar für Punkte, in deren Umgebung die Gleichung der betr. Fläche sich darstellen lässt in der Form:

$$z = \frac{1}{2} f_{22} y^2 + \frac{1}{2} f_{112} x^2 y + \frac{1}{24} f_{1111} x^4.$$

Hier ist die Unterscheidung der drei Typen I, II, III einfach gegeben durch die Ungleichungen:

- I. $25 f_{112}^2 - 8 f_{1111} f_{22} < 0$;
 II. $25 f_{112}^2 - 8 f_{1111} f_{22} > 0$, $3 f_{112}^2 - f_{1111} f_{22} > 0$;
 III. $25 f_{112}^2 - 8 f_{1111} f_{22} > 0$, $3 f_{112}^2 - f_{1111} f_{22} < 0$.

Die Punkte sind identisch mit den sog. „*Faltenpunkten*“ einer Fläche, wie sie von *Korteweg* näher untersucht worden sind. Die beiden von Korteweg unterschiedenen Kategorien trennen die hier mit I und III bezeichneten Fälle von Typus II. Man vergleiche hiezu die unter Nr. 229 ausgestellten beiden Modelle des Herrn Korteweg. Bezüglich einer näheren Charakteristik der Lage dieser Punkte auf der parabolischen Curve der Fläche vergl. eine Note von Dyck im ersten „Jahresbericht der deutschen Mathematiker-Vereinigung“.

(Dyck.)

III. Abteilung.

Angewandte Mathematik.

Erster Abschnitt. Mechanik.

R. Apparate und Modelle zur Demonstration von Sätzen der Dynamik.

233 **Apparat zur Demonstration des Parallelogramms der Kräfte** von Prof. **Neesen**, Berlin.

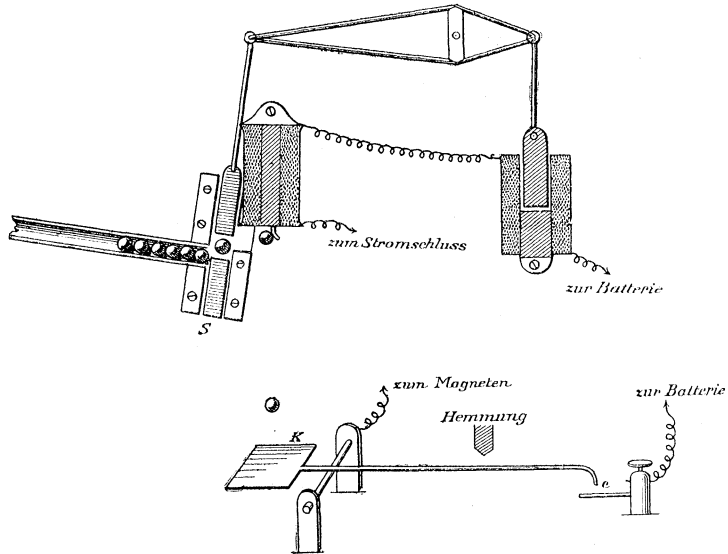
In ein Brett sind mehrere Halter einschraubbar, welche Rollen tragen. Über diese Rollen gehen Schnüre, die entweder an einem Punkte mit einander verbunden, oder an eine beliebig gestaltete Pappscheibe angehackt werden. Die anderen freien Enden der Schnüre tragen Gewichte. Auf den Schnüren sind mittelst kleiner Ösen Pfeile aus dünnem Metall angebracht, deren Länge proportional dem an der betreffenden Schnur angehängten Gewichte ist. Ein in Grade eingetheilter Papierkreis kann in das Brett so gesteckt werden, dass der Mittelpunkt dieses Kreises mit dem Vereinigungspunkt der Schnüre zusammenfällt. Zur Demonstration des Projectionssatzes befindet sich an der oberen horizontalen Kante des Brettes ein Masstab aus Feldern mit wechselnder Farbe. Längs dieses Masstabes ist ein Schlitten beweglich, welcher eine lange über das Brett reichende Stange trägt.

Durch verschiedenes Anhängen einer Schnur an verschiedenen Punkten einer auf der Pappscheibe parallel der Richtung der betreffenden Schnur gezogenen Linie lässt sich die Verlegbarkeit des Angriffspunktes nachweisen. Die Ablesung der Winkel zwischen den einzelnen Schnüren an dem eingesteckten Teilkreise gibt mit der Grösse der angehängten Pfeile das Gesetz der Grössenverhältnisse der Componenten und Resultante. Misst man durch Einstellen der an dem Schlitten befestigten Stange auf die Enden der genannten Pfeile die Grösse der Projectionen auf die obere Kante des Gestelles, so ergibt sich der Projectionssatz.

(Neesen.)

234 Apparat zur Bestimmung der Fallgeschwindigkeit von **F. R. Barrell**,
M. A., B. Sc. University College, Bristol.

Der Apparat soll, ähnlich wie die Fallmaschine von *Atwood* (vor welcher er übrigens eine grössere Einfachheit des Princips voraus hat) hauptsächlich als Vorlesungsapparat dienen. Nun ist die Fallzeit für eine Fallhöhe von 1—3 Meter, die gewöhnlich zur Verfügung steht, zu kurz, um direct genauere Beobachtung zuzulassen. In dem vorliegenden Apparat fallen 50 bis 100 Kugeln unmittelbar hintereinander von derselben Höhe herab, so, dass die eine den Fall beginnt, wenn die vorhergehende ihn beendet hat. So lässt sich die Beobachtung auf ein Zeitintervall ausdehnen, das mit einer gewöhnlichen Uhr hinreichend genau bestimmt werden kann.



Die in einer Röhre enthaltenen Stahlkugeln laufen einzeln gegen einen Elektromagneten (vergl. vorstehende Figur), wobei der Austritt aus der Röhre durch ein verschiebbares Schliesstück S regulirt ist. Dieses Schliesstück S steht durch einen Hebel mit einem zweiten Elektromagneten in Verbindung (beide Elektromagneten hintereinander geschaltet). Senkrecht unter dem ersten Elektromagneten ist ein Stromschluss K, in Form einer Platte, auf welche die Stahlkugeln auftreffen. Beim Auffallen einer Kugel auf K wird der Strom unterbrochen, die nächste Kugel beginnt ihren Fall und die Senkung des Hebels bewirkt, dass eine dritte Kugel die Öffnung des Schlittens S passirt. Der Strom ist wieder geschlossen

und jene dritte Kugel am Elektromagneten fixirt, bis das Auffallen der zweiten Kugel den Stromkreis wieder öffnet und damit das Spiel von neuem beginnt.

Man kann leicht die zu beobachtende Zeit auf 30 bis 100 Secunden ausdehnen, wo dann die Genauigkeit 0,005 ja sogar 0,002 beträgt.

(F. R. Borell.)

235 **Apparat zur Demonstration der Gesetze der gleichförmig beschleunigten Rotationsbewegung** von Prof. **L. Boltzmann**, Univ. München, ausgestellt vom **Physikalischen Institut der Universität Graz**.

Eine möglichst leichte, möglichst reibungslos drehbare verticale Axe trägt zwei leichte senkrechte Querarme, an denen je eine ziemlich bedeutende Masse festgeklemmt werden kann. Die Axe verjüngt sich an einer Stelle so, dass ihr Durchmesser gerade halb so gross wird. Ein um die Axe gewickelter Faden läuft über eine Rolle und erzeugt, wenn er mit einem kleinen Gewicht belastet wird, eine gleichförmig beschleunigte Rotationsbewegung, welche wie bei der Atwood'schen Fallmaschine beobachtet wird, indem das fallende Gewicht sich dicht vor einer verticalen Scala bewegt. Durch Veränderung der Grösse des Fallgewichtes, durch Aufwicklung des Fadens auf den dünneren oder dickeren Teil der Axe kann das Drehmoment, welches die Rotation beschleunigt, durch Veränderung der Grösse und Lage der beiden grösseren Massen das Trägheitsmoment variirt werden. Einen ähnlichen Apparat fand ich, nachdem dieser längst fertig war, in Carls Repertorium beschrieben.

(L. Boltzmann.)

236 **Zwei Rotationsapparate zur Erzeugung einer gleichförmig beschleunigten Bewegung**, construirt und ausgestellt von Ingenieur **K. A. Mayer** in Einbeck (Hannover.)

Beide Apparate dienen zur Demonstration des Satzes, dass eine continuirlich wirkende constante Kraft, bezw. eine Reihe in gleichen Intervallen auf einanderfolgender gleich starker Stösse eine gleichförmig beschleunigte Bewegung hervorbringt.

Der erste Apparat mit Signalglocke, der zweite in einfachster Ausführung.

(K. A. Mayer.)

237 **Zwei Modelle zur Darlegung der Erhaltung des Schwerpunktes von Curven- und Flächenstücken bei gewissen Verbiegungen**, von **J. Kleiber**, Assistent an der techn. Hochschule München.

Erstes Modell.

Durchläuft ein Punkt P , ausgehend von der Anfangslage P_0 eine Raumcurve Π , so beschreibt der Schwerpunkt S des von P durchlaufenen Curvenstücks, ausgehend von P_0 , eine Curve Σ .

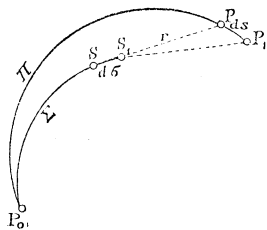


Fig. 1.

wegen homogen voraus, so liegt 1) S_1 auf PS und 2) wird S_1 auf dieser Linie $PS = r$ durch die Relation bestimmt:

$$SS_1 : \lim (S_1P) = ds : s$$

oder: $ds : r = ds : s$

woraus: $d\sigma = r \cdot \frac{ds}{s}$

Hieraus folgt der Satz:

„Die Tangente in jedem Punkte S der Schwerpunktscurve Σ geht durch den Endpunkt P des zum Schwerpunkte S gehörigen Bogenstücks P_0P auf Π .“

Diese sämtlichen Tangenten von Σ bilden eine abwickelbare Fläche \mathfrak{S} mit der Rückkehrkante Σ . Auf ihr liegt nach dem vorhergehenden Satz die Grundcurve Π . Aus der Art der Bestimmung des Punktes S_1 aus Dreieck SPP_1 ergibt sich nun sofort der folgende Satz:

„Verbiegt man die abwickelbare Fläche \mathfrak{S} so, dass die auf ihr gelegene Curve Σ Rückkehrkante bleibt (d. h. ihre erste Krümmung nicht ändert), so bleibt Σ immer Schwerpunktscurve der auf \mathfrak{S} gelegenen und mit verbogenen Curve Π und die Erzeugende durch jeden ihrer Punkte P berührt die Rückkehrkante im Schwerpunkte S des Bogenstücks P_0P .“

Durch diese Verbiegungen der Fläche \mathfrak{S} sind also besondere Verbiegungen des Kurvenbogens P_0P definiert, für welche eine invariable Verbindung des zugehörigen Schwerpunktes S , wie oben angegeben, ermöglicht ist. —

Es möge noch bemerkt sein, dass jedem Anfangspunkte P_0 eine andere Schwerpunktscurve Σ_1 und also auch andere Fläche \mathfrak{S} entspricht. Sämtliche Curven Σ erfüllen eine Fläche („Schwerpunktsfläche“) und sind auf dieser jeweils als Schnitt der einem Punkte P_0 zugehörigen ersten Polarfläche charakterisiert.

Zweites Modell.

Zur Erläuterung des folgenden Satzes:

„Ist A_0 ein fester, S ein veränderlicher Punkt der Rückkehrkante Σ einer abwickelbaren Fläche \mathfrak{S} , so kann man auf dieser immer eine bestimmte, durch S_0 verlaufende Curve Λ angeben, so dass der

von Σ , \mathbf{A} und der durch S gehenden Erzeugenden \mathbf{H} begrenzte Oberflächenteil von \mathfrak{S} bei allen Verbiegungen der abwickelbaren Fläche, welche Σ zur Rückkehrkante haben, seinen Schwerpunkt unverändert in S behält.“

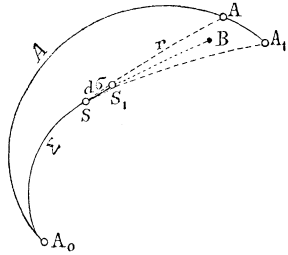


Fig. 2.

Nachweis. — Die Erzeugende \mathbf{H} trifft Σ in S , \mathbf{A} in A , die Nachbarerzeugende \mathbf{H}_1 diese Curven in S_1 bzw. A_1 . Zwischen beiden liegt ein Oberflächenelement $S(S_1) A A_1$ vom Inhalt $\frac{1}{2} r^2 \cdot d\vartheta$, wenn $r = AS$ und $d\vartheta$ der sog. Contingenzwinkel der Curve Σ , d. i. der Winkel von \mathbf{H} und \mathbf{H}_1 ist. Der Schwerpunkt dieses Oberflächenelements liegt in einer Entfernung $SB = \frac{2}{3} r$ von S .

Da nun S zugleich Schwerpunkt von $S_0 A S$ sein soll, so wird der Schwerpunkt S_1 von $S_0 A_1 S_1$ so auf der Verbindungsstrecke von S und B liegen, dass er diese im umgekehrten Verhältnis der zugehörigen Flächeninhalte teilt:

$$S_1 S : S_1 B = \left(\frac{1}{2} r^2 d\vartheta \right) : \left(\int \frac{1}{2} r^2 d\vartheta \right)$$

oder da $S_1 S = d\sigma$, $\lim (S_1 B) = SB = \frac{2}{3} r$ ist:

folgt:
$$d\sigma \int r^2 d\vartheta = r^2 d\vartheta \cdot \frac{2}{3} r = \frac{2}{3} r^3 d\vartheta.$$

Nun ist
$$\frac{d\sigma}{d\vartheta} = \rho$$

gleich dem Radius der ersten Krümmung der Rückkehrkante Σ und hier-nach eine Function von ϑ ; es stellt daher

$$\int r^2 d\vartheta = \frac{2}{3} \frac{r^3}{\rho}$$

eine Bedingungsgleichung für die Curve \mathbf{A} vor. In dieser kommt die zweite Krümmung von Σ gar nicht vor. Aus dieser Thatsache folgert man die Eigenschaft, dass die Curve \mathbf{A} auf \mathfrak{S} bei allen oben bezeichneten Verbiegungen von \mathfrak{S} sich nicht ändert. Die obige Bedingungsgleichung liefert durch Differentiation nach ϑ

$$r^2 = \frac{2}{3} \frac{d}{d\vartheta} \left(\frac{r^3}{\rho} \right)$$

oder wenn man

$$\frac{r^3}{\rho} = z \text{ setzt:}$$

$$\rho^{\frac{2}{3}} z^{\frac{2}{3}} = \frac{2}{3} \frac{dz}{d\vartheta}.$$

Die Integration dieser Differentialgleichung liefert aber sofort:

$$\frac{r}{\rho^{\frac{1}{3}}} = \frac{1}{2} \int \rho^{\frac{2}{3}} d\vartheta$$

und schliesslich

$$r = \frac{1}{2} \rho \int_0^{\vartheta} \rho^{\frac{2}{3}} d\vartheta$$

Ist speciell die in die Ebene ausgebreitete Curve Σ ein Kreis vom Radius ρ , so wird die Curve **A** definiert durch die Gleichung:

$$r = \frac{1}{2} \rho \vartheta$$

wobei $\rho \cdot \vartheta$ nichts anderes als den Bogen S_0S bedeutet. Diesem Fall entspricht das ausgestellte Modell.

(J. Kleiber.)

- 238 Die Kettenlinie auf der Kugel.** Ausgeführt (1880) im **Math. Institut der techn. Hochschule München** (Prof. **A. Brill**) von Assistent **Fischer**. Verlag von **L. Brill**, Darmstadt.

Specialkatalog 156 (pag. 12 und 86). Vergl. hiezu die Abhandlung von *Clebsch*, *Crelle's Journal*, Bd. 57. Die beiden auf der Kugel vereinigten Typen entsprechen dem Fall, wo das elliptische Integral sich auf ein Kreisintegral reducirt.

- 239 Bahncurve eines schweren Punktes auf der Kugel (Curve des sphärischen Pendels),** ausgeführt (1877) im **Math. Institut der techn. Hochschule München** (Prof. **Brill**) von Stud. **L. Schleiermacher**. Verlag von **L. Brill**, Darmstadt.

Specialkatalog 157 (pag. 6 und 87). Bezüglich der Discussion der Bahncurve sei auf die Inaug.-Diss. von *L. Schleiermacher*, München 1877 verwiesen.

- 240 Apparat zum Nachweis der Bewegung des Schwerpunktes, des Einflusses des Trägheitsmomentes, sowie der durch eine Momentankraft erzeugten Bewegung** von Prof. **Neesen**, Berlin.

Der Apparat besteht 1) aus kleinem Wagen, der auf Gelenkrollen läuft, ferner drei durch Federn auf die Unterlage gedrückte spitze Stifte trägt und verschiedene Löcher zum Einsetzen von Bleigewichten hat, 2) aus zwei Bleigewichten mit je zwei Einsatzstiften, 3) einer an den Tisch anschraubbaren kleinen Kanone mit durch Federkraft vorgetriebenem Bolzen, 4) aus einer glatten Unterlegplatte (Fensterscheibe oder Marmorplatte).

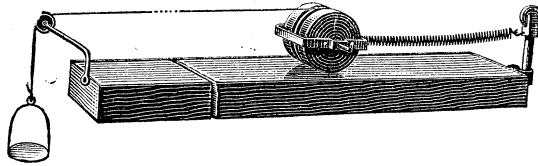
Zum Gebrauch wird Platte 4 berusst durch Bestreichen mit Alkohol, in welchem *etwas* Russ suspendirt wird. Man lässt den Alkohol verdunsten, so dass eine trockene Russchicht bleibt. Der Wagen wird vor die Mündung der Kanone gestellt, die Arretirung der Triebfeder gelöst, dann bewegt sich der Wagen entweder gradlinig oder sich vorschiebend und gleichzeitig drehend je nach der Lage des Angriffspunktes. Die Be-

wegung markirt sich durch die von den vorstehenden Stiften in den Russ eingerissenen Linien. Der im Schwerpunkt angebrachte Stift beschreibt immer eine gerade Linie. Die Abhängigkeit des momentanen Drehungsmittelpunktes von der Entfernung der Angriffsstelle vom Schwerpunkt zeigt sich in den Linien bei Veränderung der Angriffsstelle. Schrägstellen des Wagens gegen die Kanone gibt die Wirkung von schieb auf die Wagenwand treffenden Kräften. Verlegt man die Bleigewichte, so erhält man die Abhängigkeit der Bewegung vom Trägheitsmoment.

(Neesen.)

241 Reibungsapparat nach Proff. Neesen und Paalzow, Berlin.

Der Apparat besteht: 1) Aus einer in einem Rahmen drehbaren Walze um welche eine abwickelbare Schnur gewickelt ist. An dem Rahmen befinden sich 2 Schneiden zur Auflage von 2 Gewichten. 2) Aus mehreren Spiralfedern, welche an dem Rahmen eingehackt werden können und andererseits an einem Stabe befestigt werden, der an dem einen Ende einer gewöhnlichen schiefen Ebene befestigt wird. An Stelle der Federn lässt sich eine Schnur anbringen, welche über eine Rolle an dem genannten Stabe läuft und am freien Ende eine Wagschale zur Aufnahme von Gewichten trägt. Ebenso kann die über die Walze gehende Schnur über die gewöhnlich an der schiefen Ebene angebrachte Rolle geführt und gleichfalls am freien Ende mit einer Wagschale versehen werden.



Der Apparat soll zunächst die durch die Reibung verursachte Zugkraft bei umlaufenden Rädern demonstrieren und messen. Zieht man an der Schnur, nachdem etwa die Feder in den Rahmen eingehängt ist, so geht die Walze solange vorwärts, bis die genannte Zugkraft gleich der Gegenkraft der ausgezogenen Feder ist, dann dreht sich die Walze auf der Stelle. Werden Gewichte auf den Rahmen gelegt, so geht die Walze weiter vor; ebenso wenn auf die glatte Fläche der schiefen Ebene Sandpapier aufgelegt wird. Durch Benützung der Schnüre mit Wagschalen lässt sich unter Abgleichung der Gewichte, so dass ein Stillstand der Walze oder ein Drehen auf der Stelle eintritt, der Reibungscoefficient ermitteln.

Das Nähere ist in der Zeitschrift für physikalischen und chemischen Unterricht 1889 Heft 3 enthalten.

(Neesen.)

242 Probestücke aus Bessemerstahl, auf Torsion geprüft im Mechanisch-technischen Laboratorium der techn. Hochschule München, Vorstand Prof. J. Bauschinger.

1. Rundwelle mit ursprünglich 7,75 cm Durchm.

Elasticitätsgrenzen bei 2125 kg m Torsions-Moment, entsprechend einer Maximalschubspannung von 2325 kg p. qem an der Mantelfläche. Schub-Elasticitäts-Modul = 925000 kg p. qem, Fließgrenze bei 2250 kg m Torsionsmoment, entsprechend 2450 kg pro qem. Verwunden und gebrochen mit 5425 kg m Torsionsmoment, entsprechend einer Schubspannung von 5950 kg pro qem an der Mantelfläche.

2. Vierkantwelle mit ursprünglich quadratischem Querschnitt von $6,95 \times 6,95$ cm Grösse.

Elasticitätsgrenze bei 1750 kg m Torsions-Moment, entsprechend einer Schubspannung von 2330 kg pro qem in der Mitte der Seitenflächen. Schubelasticitätsmodul = 889000 kg pro qem. Fließgrenze bei 2000 kg m Torsionsmoment, entsprechend 2660 kg pro qem.

Verwunden und gebrochen mit 5650 kg m Torsions-Moment, entsprechend einer Maximalschubspannung von 7530 kg p. qem in den Mitten der Seitenflächen.

3. Vierkantwelle mit ursprünglich rechteckigem Querschnitt von $13,82 \times 3,50$ cm Grösse.

Elasticitätsgrenze bei 1050 kg m Torsionsmoment, entsprechend 2770 kg p. qem Schubspannung in den Mitten der breiten Seitenflächen. Schubelasticitätsmodul = 930000 kg pro qem. Fließgrenze bei ca. 1500 kg m Torsionsmoment, entsprechend einer Schubspannung von 4000 kg p. qem.

Verwunden, aber nicht gebrochen mit 4600 kg m Torsions-Moment, entsprechend einer Maximal-Schubspannung von 12150 kg p. qem in den Mitten der breiten Seitenflächen.

Alle Spannungen und der Elasticitäts-Modul nach den Saint-Venant'schen Formeln berechnet.

Die an den Kanten und den ursprünglich geraden Mantel- und darauf senkrechten Querlinien sichtbaren Gestaltsveränderungen rühren nicht bloss von Torsions- oder Schubkräften *senkrecht* zur Längsrichtung, sondern auch von Zugkräften *in* der Längsrichtung her, welche letztere dadurch hervorgebracht werden, dass die Enden der Probestücke beim Versuche *fest* eingespannt sein müssen.

(J. Bauschinger.)

243 Fünf Modelle zur Darstellung der Torsion von Prismen und einem (elliptischen) Cylinder, nach De Saint-Venant, Collection Ch. Muret, Paris, Verlag von Delagrave. Ausgestellt vom Math. Institut der techn. Hochschule München.

Zum Vergleich mit den soeben aufgeführten Probestücken, wobei die Schlussbemerkung betr. der beim praktischen Versuch auftretenden Längsspannungen zu beachten ist.

Vergleiche zu diesen Modellen noch die unter No. 128 aufgeführten Photographien des Verlages von *Delagrave*.

244 Abhandlungen und Werke zur graphischen Statik von Prof. **H. T. Eddy**, Terre Haute, Indiana U. S. A.

Es liegen zur Ansicht auf die folgenden Werke und Abhandlungen von Eddy:

Researches in Graphical Statics.

Neue Constructionen aus der graphischen Statik.

Two general reciprocal Methods in Graphical Statics.

The Theorem of three Moments.

The Elastic Arch.

Maximum Stresses under concentrated Loads.

Auflagerungsdrucklinien und deren Eigenschaften.

S. Kinematische Modelle und Apparate,
zugleich mit Bezug auf die Anwendungen in der
Praxis.

245 Zehn Modelle von Gelenkmechanismen, in zwei Rahmen, von **A. B. Kempe**, M. A. F. R. S. London, Schatzmeister der London Math. Society.

Die Modelle No. 1 bis 5 illustriren die exacte Geradföhrung eines Punktes. Die ersten 4 Modelle sind von Kempe erfunden bez. nach den von ihm in den Proc. of the Royal Soc. No. 163 1875 gegebenen Entwicklungen construiert, während das fünfte Modell gleichzeitig von *Kempe* und *Sylvester* gegeben wurde. Dasselbe beruht auf der Anwendung des von Sylvester in der Zeitschrift Nature vol. XII pag. 214 beschriebenen, sogen. quadruplanaren Gelenkwerkes.

Das Modell No. 6 (man vergl. die aus Kempe's Büchlein: „How to draw a straight line“ entnommenen Figg. 30 und 31) stellt einen Gelenkmechanismus vor, durch welchen zwei Glieder (Zirkelarme) um gemeinsame oder zu einander verschieden gelegene Fixpunkte mit gleich grosser, aber entgegengesetzt gerichteter Geschwindigkeit zu rotiren gezwungen sind. Der Apparat basirt auf dem Gedanken, dass, wenn zwei Contraparallelogramme einen Winkel gemeinsam haben, auch die übrigen gleich sein müssen. Es erscheinen nun im Apparate zwei proportionalseitige Contraparallelogramme, an einer Ecke invers geheftet.

Da die kleine Seite des ersten mit der grossen Seite des zweiten Contra-parallellogramms identisch gemacht ist, so haben beide ein Glied vollkommen gemeinsam, an welchem sonach die gleichen übrigen Winkel anliegen. Man vergleiche übrigens „Messenger of Mathematics No. 44 New Series 1874“.

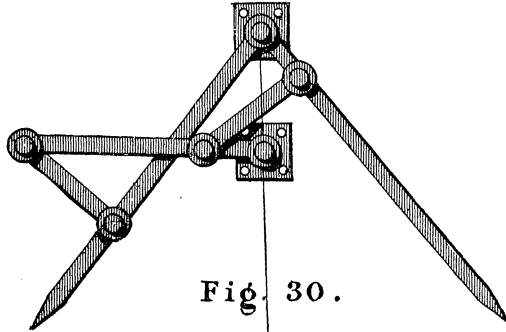


Fig. 30.

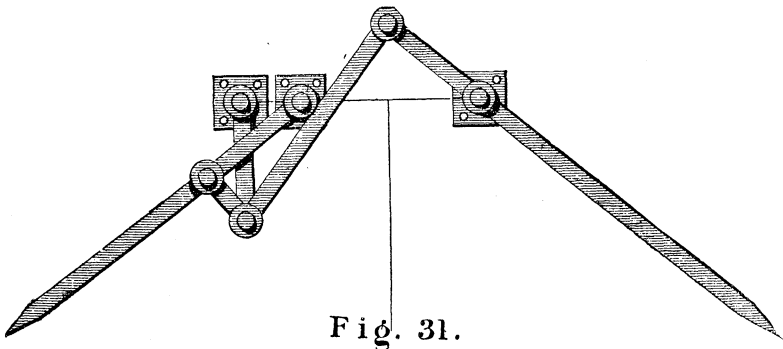


Fig. 31.

Die Modelle No. 7 und 8 stellen die Winkelvervielfacher oder wie *Sylvester* dieselben nennt: „Isoklinostaten“ vor. Die von einem Punkte auslaufenden, um diesen beweglichen Arme (ähnlich den Zirkelschenkeln) werden durch Zwischenschalten geeigneter, sich periodisch wiederholender, zwangsläufiger Mechanismen gezwungen, der Reihe nach gleichen, durch Bewegung des Apparates aber veränderbaren Winkelabstand von einander zu behalten. Figur 32 zeigt den von Kempe angegebenen bei Modell No. 6 schon erklärten Zwischenmechanismus, Figur 33 den älteren, von Sylvester herrührenden.

Modell No. 9 zeigt eine vom Aussteller erfundene Geradföhrung, bei welcher ein bewegter Punkt durch geeignetes Gelenkwerk gezwungen wird, sich vertical zu bewegen.

Modell No. 10 führt den von Sylvester angegebenen „Plagiograph“ oder „screw Pantograph“ vor (vergl. Fig. 15). Durch diesen Apparat

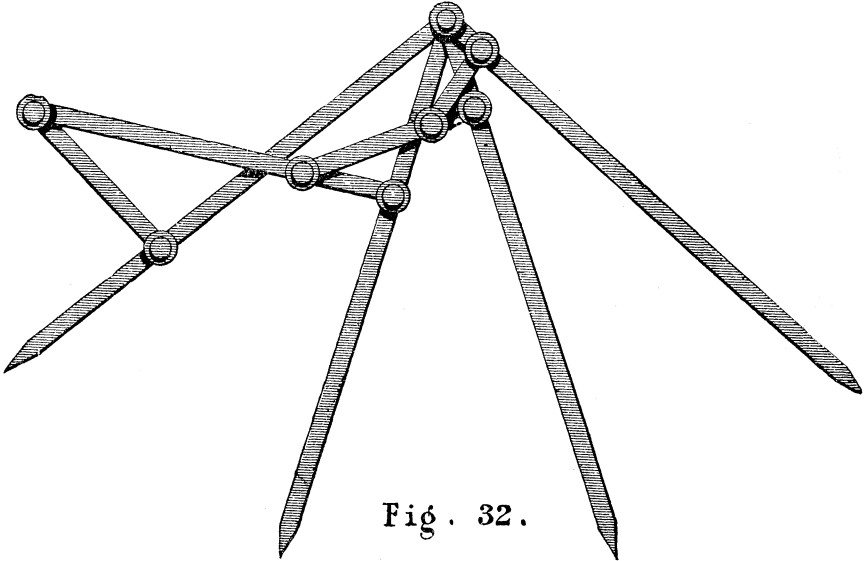


Fig. 32.

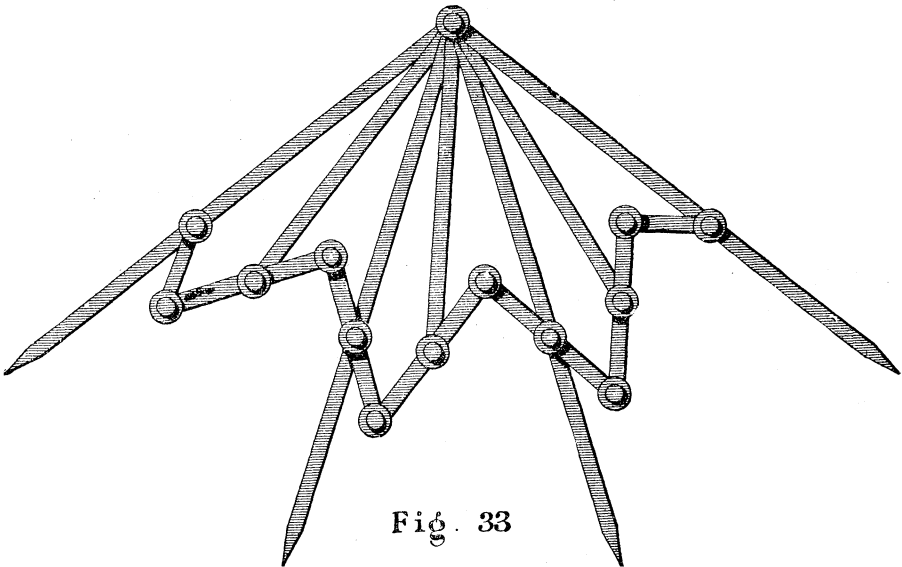


Fig. 33

können Zeichnungen nicht bloß vergrößert, sondern auch zugleich, um einen justirbaren Winkel gegen das Original gedreht, übertragen werden.

Eine Beschreibung des Instruments gab Sylvester in der Zeitschrift Nature vol. XII pagg. 168 und 214. Der im Modell dargestellte Plagio-

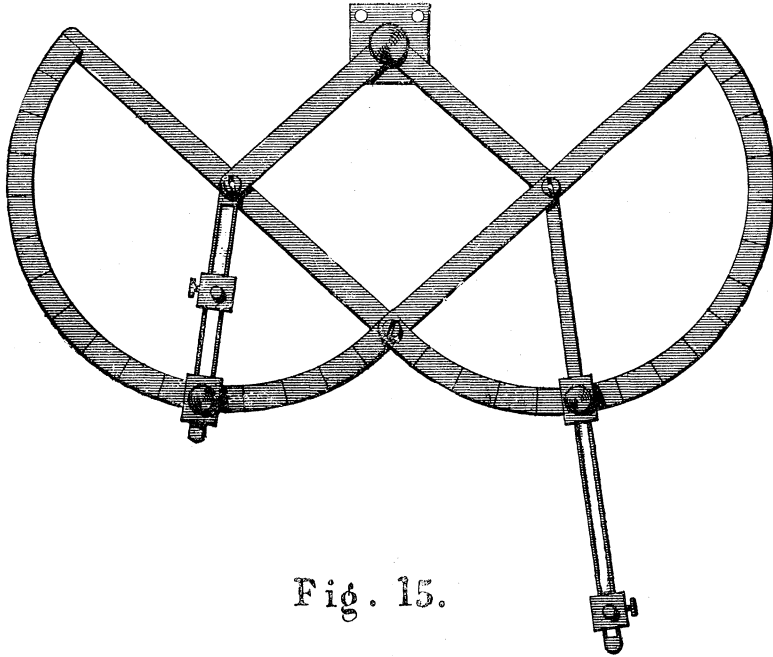


Fig. 15.

graph oder Schiefschreiber ist so eingestellt, dass er eine Zeichnung unter einer Wendung um 30° gerade verdoppelt.

(Kempe; Kleiber.)

246—248 Eine Serie von (zum Teil neuen) Modellen zur Demonstration der einfachsten freien und übergeschlossenen Gelenkmechanismen, zusammengestellt von Assistent J. Kleiber, 1892 verfertigt im Math. Institut der techn. Hochschule München von J. Kleiber und stud. K. Fischer.

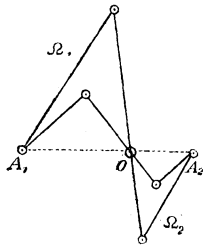
246 Modelle zur Multiplication einer veränderlichen Grösse mit einem constanten reellen Factor (Storchschnabel, Pantographen).

Um eine veränderliche Länge in festem Verhältnis zu vergrößern oder zu verkleinern, kann man mehr oder minder einfache, in der Ebene oder räumlich bewegte Apparate im Wesentlichen nach folgenden Gesichtspunkten construiren:

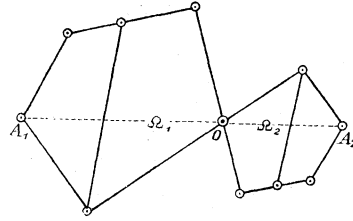
- a) beruhend auf einem Sylvester'schen Principe,
- b) beruhend auf dem Kettenprincip,

- c) beruhend auf Eigenschaften des allgemeinen Vierecks,
- d) beruhend auf Combination von Inversoren u. a.

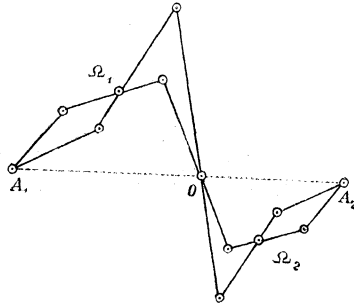
Ad a) Das *Sylvester'sche Princip* kann wie folgt gefasst werden: „Man construirt über der veränderlichen Länge OA_1 einen Gelenkmechanismus Ω_1 , dessen einzelne Glieder dann fixirt erscheinen, wenn dies mit den durch O gehenden Gliedern der Fall ist, und verwandelt diesen Apparat vom Ähnlichkeitspunkte O aus unter Zugrundelegung der vorgeschriebenen Multiplicationsconstanten in einen zweiten Ω_2 . Dabei fallen die im Ähnlichkeitspunkte zusammenstossenden und sich entsprechenden Glieder von Ω_1 und Ω_2 , abgesehen von der Grösse, je in eines zusammen. Hält man letztere Verbindung in O aufrecht, was leicht geschehen kann, so hat man, da OA_1 veränderlich ist, einen gewünschten Multiplicationsapparat. Die Ausführung dieses Gedankens liefert eine Reihe von Anordnungen, von denen mit Umgehung von Specialisirungen die folgenden Typen *Nr. 1, 2, 3* ausgeführt sind:



Nr. 1.



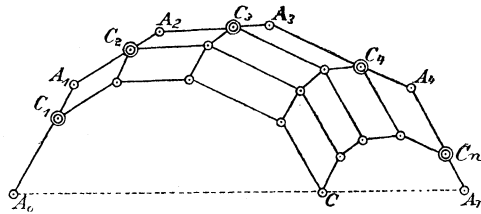
Nr. 2.



Nr. 3.

Ad b) Das *Kettenprincip*, welches auch für die Ketten gilt, deren Glieder nicht alle in einer Ebene liegen, lautet: Sind $A_0 A_1 A_2 A_3 \dots A_n$ die Ecken einer polygonalen Kette, deren Seiten constant und je um die zugehörigen auf ihnen gelegenen Eckpunkte drehbar sind — sind ferner $C_1 C_2 \dots C_n$ Punkte, welche die Kettenseiten in dem constanten Verhältnis K teilen, dann kann man, ausgehend von diesen Punkten, in der durch die

Nr. 6 angedeuteten Art, dem Polygon ein bestimmtes Netz von Parallelogrammen einbeschreiben, dessen letzter Eckpunkt C schliesslich in gewünschter Weise die veränderliche Strecke $A_0 A_n$ immer im gegebenen Verhältnis K teilt.



Nr. 6.

Ausgeführt sind die Modelle :

Nr. 4. Kette mit 2 Gliedern, (*Sylvester'scher Pantograph*, Storchschnabel; Princip der Nürnberger Schere.)

Nr. 5. Kette mit 3 Gliedern. (Stellt bei jeder Fixirung von $A_0 A_n$ einen noch beweglichen Apparat dar, der dann zugleich einen Degenerationsfall der *Roberts'schen* simultan dreifachen Erzeugung der sog. Koppelcurve illustriert.)

Nr. 6. Kette mit 5 Gliedern.

Nr. 7. *Räumlich* bewegliche dreigliedrige Kette. (Vergl. die Bem. zu Nr. 5.)

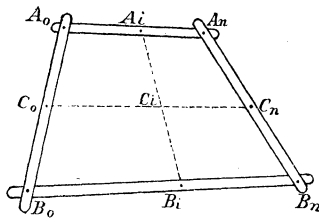
Ad c) *Benützung von Viereckseigenschaften*. Sind $A_0 A_1 A_2 \dots A_n$ auf der Geraden A und $B_0 B_1 B_2 \dots B_n$ auf der Geraden B *ähnliche* Punktreihen, und teilt man die entsprechenden Verbindungen $A_i B_i$ sämtlich durch Punkte C_i im constanten Verhältnis $p : q$, so liegen diese Punkte C_i wieder auf einer Geraden, Γ , und zwar ist die von ihnen gebildete Punktreihe *ähnlich* den beiden gegebenen.

Für den Fall, dass $A_0 A_n B_n B_0$ ein Gelenkviereck von festen Seiten vorstellt, ist dieser Satz im Modell Nr. 8 illustriert. Die Verbindungen $A_1 C_1 B_1$, $C_0 C_1 C_n$ sind durch Gummifäden repräsentirt. Der auf dem Faden $A_1 B_1$ bestimmte Punkt C_1 und jener auf $C_0 C_n$ aus der Ähnlichkeit der 3 Punktreihen hervorgehende Punkt C_1 bleiben bei allen Bewegungen des Vierecks über einander. Das Modell ist beliebig räumlich beweglich.

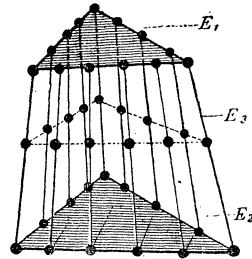
Als Anwendung dieses Principis ist ein Modell Nr. 9 ausgeführt, das eine bestimmte räumliche Transformation darzustellen geeignet ist.

Sind E_1 und E_2 zwei affin aufeinanderbezogene Dreiecke, deren entsprechende Punkte A_i und B_i mit einander (durch Gummifäden im Modelle realisirt) verbunden werden mögen, dann liegen die diese Verbindungen im constanten Verhältnis $p : q$ teilenden Punkte C in einer *Ebene* E_3 ,

wie man auch die E_1 und E_2 gegen einander verzerren möge. Die Begrenzungsflächen des im Modell versinnlichten Raunteils sind Paraboloid.



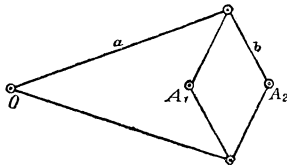
Nr. 8.



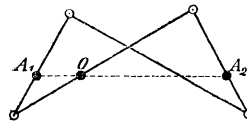
Nr. 9.

Ad d) Es gibt zwei Typen von einfachen *Inversoren* d. h. Apparaten, welche bei gegebener Länge x die Länge $y = \frac{m^2}{x}$ zu construiren erlauben: den gewöhnlichen, von *Peaucellier* benützten (Mod. Nr. 10) und den von *Hart* angegebenen (Mod. Nr. 11). Zwei solcher Inversoren aufeinander angewendet, liefern einen Multiplikator, denn wenn der erste $y = \frac{m^2}{x}$, der zweite $z = \frac{n^2}{y}$ construirt, so ist eben $z = \frac{m^2}{n^2} \cdot x$ und $\frac{m^2}{n^2}$ gleich der Multiplicationsconstanten.

Der Peaucellier'sche Inversor besteht im Wesentlichen aus einem beweglichen Rhombus und einem in zwei gegenüberliegenden Eckpunkten anschliessenden gleichschenkligen Knie. Der Kniepunkt O liegt dann immer so auf der Verbindungslinie der anderen Rhombenecken $A_1 A_2$, dass $OA_1 \cdot OA_2 = \text{const.} = (a^2 - b^2)$ ist.



Nr. 10.



Nr. 11.

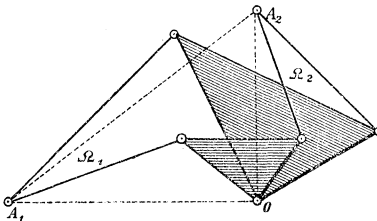
Der Hart'sche Inversor ist ein überschlagenes Parallelogramm. Markirt man auf einer zu seinen Diagonalen parallelen Linie 3 Schnittpunkte $OA_1 A_2$, so bleiben diese auch bei Verzerrungen des Apparats in einer Linie und ist $OA_1 \cdot OA_2 = \text{const.}$

247 Modelle zur Multiplication einer veränderlichen Grösse mit einem constanten complexen Factor (Plagiographen).

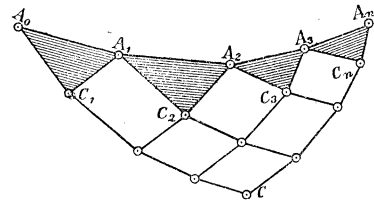
Soll eine veränderliche Länge zugleich in constantem Verhältnis vergrößert (verkleinert) und um einen constanten Winkel abgelenkt er-

scheinen, so kann man bei Construction diesbezüglicher Apparate genau die unter I a, b, c, d bezeichneten Gesichtspunkte wieder zugrunde legen.

Ad a) Dreht man den unter Ia beschriebenen Gelenkmechanismus Ω_2 um einen bestimmten Winkel α , so erscheint die Schlusslinie OA_2 um diesen Winkel α abgelenkt. Da dabei die sich entsprechenden durch O gehenden Glieder auch diesen Winkel α bilden, so kann man die gewünschte Ablenkung vom Apparate selbstthätig vollziehen lassen, indem man ein für allemal die in O zusammenstossenden je sich entsprechenden Glieder in der Ablenkung α starr verbindet. Hierzu ist blos der dem Fall Nr. 1 entsprechende im Modell Nr. 12 (ein verallgemeinerter *Sylvester'scher Plagiograph*) zur Darstellung gebracht.



Nr. 12.



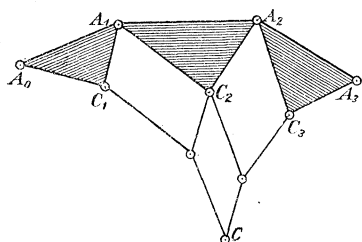
Nr. 13.

Ad b) Statt in entsprechender Weise auf den unter Ib benutzten Kettengliedern Punkte B in den Seiten zu bestimmen, kann man über diesen Seiten *ähnliche* Dreiecke mit den Spitzen $C_1 C_2 \dots C_n$ anbringen. Das im Übrigen genau so wie dort, auch hier anzuschliessende Netz von Parallelogrammen liefert dann einen letzten Punkt C (Resultantenpunkt), der mit der veränderlich langen Basis $A_0 A_n$ ein Dreieck $A_0 A_n C$ liefert, das bei allen Verzerrungen des Mechanismus immer den an den Seiten angehefteten Dreiecken $A_{i-1} A_i C_i$ ähnlich bleibt.

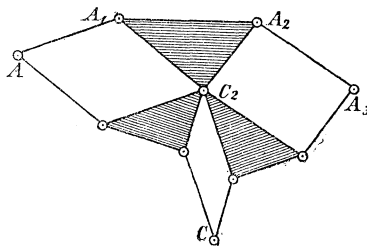
Das Modell Nr. 13 illustriert diesen Satz. Bei einer Kette von 2 Gliedern (Modell Nr. 14) erhält man den bekannten, auch aus Modell Nr. 12 durch Specialisirung herleitbaren Apparat Sylvester's (Plagiograph).

Die Modelle Nr. 15, Nr. 16, Nr. 17 schliessen sich an den Fall einer Kette mit 3 Gliedern an. Während Nr. 15 direct den beschriebenen Kettensatz darstellt, gehen Nr. 16 und Nr. 17 aus diesem Apparate unter Anwendung des Principis vom Austausch von Dreiecken und Parallelogrammen hervor. In allen drei Modellen beschreibt nach diesem Princip der Punkt C_2 , welcher „Koppelpunkt“ benannt wird, dieselbe Curve, die sog. Koppelcurve. Die 3 Modelle sind so eingerichtet, dass die Punkte A_0 und A_3 über einem von Schienen gefassten Schlitz beliebig verschoben und fixirt werden können, in welchem Fall nach dem oben angeführten Satz auch der Punkt C fest, der Mechanismus aber trotzdem beweglich ist. Es liefern somit diese 3 Modelle einfache Typen zu sogenannten *übergeschlossenen* Mechanismen. Historisch interessant ist der

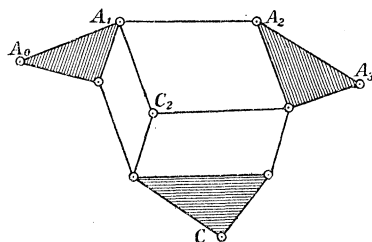
Typus des Modells Nr. 16, da er die bereits von *Roberts* nachgewiesene simultan dreifache Erzeugung der durch Punkt C_2 beschriebenen Koppelcurve illustriert. Um nämlich diese Curve zu zeichnen, bedarf man blos der Kette $A_0 A_1 A_2 A_3$ und des über $A_1 A_2$ gehöfteten Dreiecks. Eine



Nr. 15.

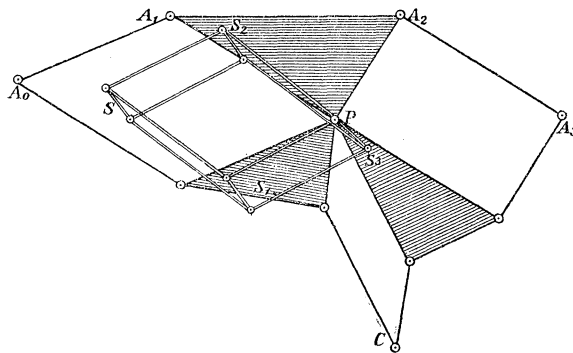


Nr. 16.



Nr. 17.

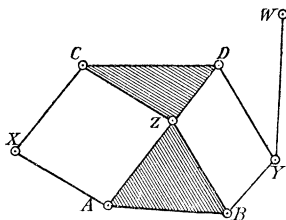
analoge Kette samt Dreieck befindet sich aber auch je über den Fixpunktpaaren $A_0 C$ und $A_3 C$, so dass thatsächlich die Doppelcurve gleichzeitig dreifach, d. i. durch die 3 in C_2 coincidirenden Dreieckspitzen beschrieben wird.



Nr. 18.

Verfasser dieses hat in einer am Schlusse näher bezeichneten Note gezeigt, dass man nur in singularer Weise von einer blos dreifach simu-

tanen Erzeugung der Koppelcurve sprechen kann, da dieselbe thatsächlich in simultan ∞^2 facher Weise durch Tripel von Parallelepipeden zu erzeugen ist, von welchen allerdings ein einziges in ein Tripel von Parallelogrammen ausartet und zum *Roberts'schen* Satze führt. Es beruht diese Erkenntnis im Wesentlichen auf folgendem, einfach zu beweisenden Satze: Sind $S_1 S_2 S_3$ homolog entsprechende Punkte in den ähnlichen, affin bezogenen, in P gekoppelten Dreiecken, so bleibt der Gegenpunkt S des aus den 3 Längen $S_1 P_2, S_2 P_2, S_3 P_2$ aus P_2 zu konstruirenden Parallelepipedes zugleich affin entsprechender Punkt in dem Hauptdreiecke $A_0 A_3 C$, das ja den oben genannten auch ähnlich ist, bei aller Beweglichkeit des Apparats. Diesen Satz soll Mod *Nr. 18* illustriren. Durch Specialisirung dieses Satzes erhält man eine Reihe von neuen a. a. O. näher beschriebenen Typen zur einfachen Koppelcurvenerzeugung, von denen ein Fall im Modell *Nr. 19* vorgestellt werde. Es beruht auf dem Satz: „Koppelt man zwei willkürliche Dreiecke



Nr. 19.

$$Z \left. \begin{array}{l} A \\ B \end{array} \right\} \text{ und } Z \left. \begin{array}{l} C \\ D \end{array} \right\}$$

in Z zusammen, ergänzt die von Z auslaufenden Seitenpaare zu den 2 Parallelogrammen

$$\left\{ Z \begin{array}{l} A \\ C \end{array} X \right\} \qquad \left\{ Z \begin{array}{l} B \\ D \end{array} Y \right\}$$

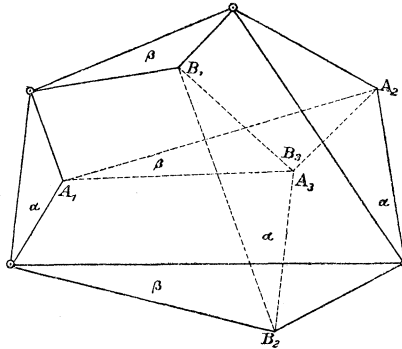
und lässt von den Punkten X, Y, Z, in beliebiger Anordnung, den einen fest, den zweiten auf einem Kreise laufen, dann beschreibt der dritte die Koppelcurve.“

NB. Das Froschschenkelsystem im Hauck'schen Perspectographen ist hievon ein Specialfall. Doch wird dort der Apparat nur so umgeformt benutzt, dass er ein ähnlich veränderliches Dreieck erzeugt.

Ad c) Der hiehergehörige Satz über das allgemeine ebene Viereck besagt:

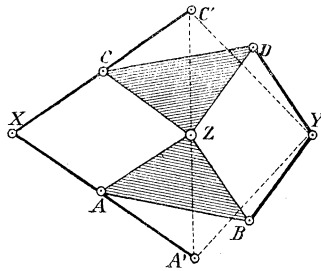
Beschreibt man über dem ersten Paar von Gegenseiten des Vierecks ähnliche Dreiecke von der Form α und mit den Spitzen A_1 und A_2 , analog über dem zweiten Paar von Gegenseiten ein anderes Paar von ähnlichen Dreiecken von der Form β mit den Spitzen B_1 und B_2 , ferner

über $A_1 A_2$ ein Dreieck von der Form β mit der Spitze B_3
 „ $B_1 B_2$ „ „ „ „ „ „ α „ „ „ A_3
 so werden deren Spitzen $A_3 B_3$ zusammenfallen.
 Hierzu Modell Nr. 20.



Nr. 20.

Ad d) Durch Combination höherer Inversoren, wie dies z. B. beim Hauck'schen Froschschenkelsystem der Fall ist, erzeugt man ebenfalls ähnlich veränderliche Dreiecke. Werden zu dem Ende in Nr. 19 die



Nr. 21.

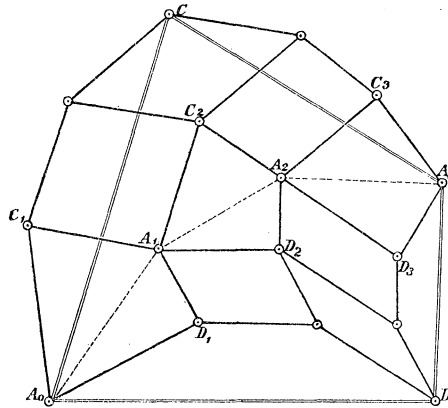
beiden Dreiecke bei Z rechtwinklig gleichschenkelig, so geben die Endpunkte der verdoppelten Arme XC und XA Punkte C und C' die mit Y ein ähnlich veränderliches gleichschenkliges Dreieck beschreiben. Dies der wesentlichste Hilfsapparat des Hauck'schen Perspectographen, den man aber ebenso gut durch einen der oben unter a, b, c beschriebenen ersetzen könnte.

248 Modelle zur Multiplication mit veränderlichen complexen Factors.

Die Aufgabe, mit einem veränderlichen complexen oder auch nur reellen Factor zu multipliciren, führt gewöhnlich auf das Problem der

Geradföhrung, Winkelverdoppelung, Winkelverlegung oder auf das Beschreiben eines Kreises von veränderlich vorzugebendem Radius.

Ein Universalapparat, welcher diese Aufgaben gleichzeitig in der Ebene, ohne directe Anwendung von Inversoren, sondern aus der Umkehrung des Kettenprincips hervorgehend, löst, ist in Modell Nr. 22 aus-

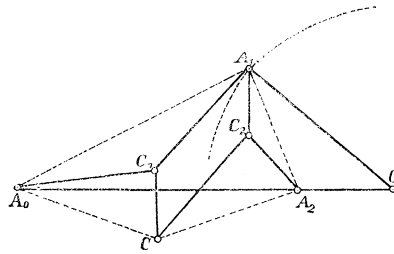


Nr. 22.

geföhrt. Der Apparat ist auch um deswillen noch bemerkenswert, weil er als sog. übergeschlossener Mechanismus einer zweifachen Beweglichkeit zugleich fähig ist. Während bei gewöhnlichen übergeschlossenen Mechanismen, wie solche von *Kempe*, *Darboux*, *Burmester* entwickelt werden, das Feststellen von zwei benachbarten Gliedern den Apparat selbst auch fixirt, hat der oben bezeichnete Apparat immer noch eine aus dem Kettenprincip resultirende freie Beweglichkeit. Die ausführlichere Beschreibung des Apparats erspart ein Blick auf die Figur. Man erkennt, dass über einer ideellen Kette $A_0 A_1 A_2 A_3$ zwei Apparate vom Typus des Modells Nr. 15 angebracht sind, doch mit dem Unterschiede gegen früher, dass die Kettenglieder fortgelassen, dafür aber die Resultantenpunkte C und D mit den Kettenendpunkten A_0 und A_3 durch Stäbe von solchen Abmessungen verknüpft sind, dass die über den Seiten $A_0 A_1$, $A_1 A_2$, $A_2 A_3$, $A_3 A_4$ auftretenden Kettenvierecke in einer Position des Mechanismus ähnlich sind. In diesem Falle bleiben dieselben auch dann noch ähnlich, wenn man den Apparat irgendwie verzerrt. Da man es in der Hand hat, dem Gelenkviereck $A_0 A_3 CD$ irgend eine Gestalt zu erteilen, ist solches auch, und hiedurch bedingt, mit den übrigen über der ideellen Kette sich findenden, unter sich und dem angegebenen Viereck ähnlich bleibenden Gelenkvierecken der Fall.

Modell Nr. 23 stellt den einfachen Geradföhrungsmechanismus von *Peaucellier*, Modell Nr. 24 den allgemeinen zuerst von *Kempe* her-

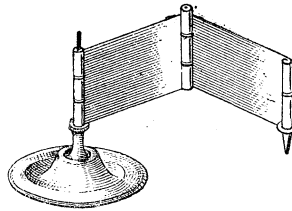
rührenden, in einer von mir a. a. O. näher bezeichneten Gestalt, Modell Nr. 25 den neuen fünfgliedrigen von *Hart* vor.



Nr. 24.

Auch aus anderen als den hier benützten Eigenschaften des Vierecks kann man Geradführung ableiten, doch sei hier auf eine erst erscheinende, unten näher bezeichnete Notiz in Schlömilch's Zeitschr. f. M. u. Ph. verwiesen.

Lässt man nicht bloß eben bewegliche, sondern räumlich bewegliche Mechanismen zu, was allerdings Charniere bez. Kugelgelenke erfordert, so wird eine Gerade als Schnitt von 2 Ebenen erzeugt. Es tritt im Raum sohin statt des Grundproblems der Geradenerzeugung das Problem der Ebenenerzeugung auf. Einen Apparat aber herzustellen, der diese Aufgabe löst, ist leicht. Zu dem Ende koppelt man zwei Platten an einer Kante durch ein Charnier (als Äquivalent zweier Kugelgelenke) zusammen



Nr. 26.

und lässt die eine Platte um eine zum ersten Charnier parallele Kante vermöge eines weiteren Charniers rotiren. Dann sieht man sofort, dass jeder Punkt der andern Platte Punkte je einer Ebene beschreibt.

Durch Combination zweier solcher Mechanismen erhält man eine räumliche Geradführung.*)

*) Bezüglich einer anderen von *Darboux* und *Königs* herrührenden Ebenenführung vergleiche man die Notiz von *Darboux* in den *Comptes rendus de l'Acad. d. Sc.*, 1891, sowie das Referat von *Königs* in der *Revue générale des sciences pures et appl.* 2^e année 1891.

eines der beiden Zeitelemente starr bleibt, sofern nicht besondere Bedingungen hinzukommen $T_1T_2T_3$ bilden mit den Polen 12, 23, 31 eine Involution und A_1T_1 , A_2T_2 , A_3T_3 gehen durch einen Punkt, wie in meiner oben angeführten Arbeit Seite 197 Satz 4 angegeben ist. Die Aufgabe des Modelles ist es, die Bewegung von $T_1T_2T_3$ zu veranschaulichen. Die Anordnung ist so getroffen, dass T_1 und T_2 sowohl, wie T_2 und T_3 während des ganzen Verlaufes der Bewegung entsprechende Krümmungs-Mittelpunkte bleiben, indem jedes dieser Punktpaare durch einen Stab, a bzw. b, gelenkig verbunden ist. T_1T_3 sind hingegen nur dann entsprechende Punkte, wenn a und b in gerader Linie liegen. Um das Charakteristische des Tripels $T_1T_2T_3$ zu erkennen, betrachte man zunächst drei Punkte auf der Polgeraden, welche kein Tripel bilden. Man nehme hierzu den T_1 mit N verbindenden Bolzen heraus und schliesse A_1^* gelenkig an M; bringe darauf $A_1^*T_2T_3$ in gerade Linie. Dann gehen $A_1^*A_1$, A_2T_2 , A_3T_3 nicht durch einen Punkt, und $A_1^*T_2T_3$ bilden somit kein Tripel. Wir betrachten nun und in Zukunft die folgenden drei Lagen:

- I. Äusserste Linkslage der beweglichen Modellteile;
- II. Mittellage, in der die Stabrichtungen von a und b in der Polgeraden vereinigt liegen;
- III. Äusserste Rechtslage.

Man findet nun für die hergestellte Anordnung in

- I. $\sphericalangle A_1^*T_2T_3$ concav nach unten,
- in II. $\sphericalangle A_1^*T_2T_3 = 180^\circ$,
- in III. $\sphericalangle A_1^*T_2T_3$ concav nach oben,

d. h. die *Relativbewegung von a und b findet stets in demselben Sinne statt.*

Vereinigt man a und b mit Hilfe des Bügels J zu einem starren Systeme σ_3 , so ist der Mechanismus starr; schliesst man andererseits den Stab c gelenkig an M und A_1 , so hat man einen Momentmechanismus, welcher eine unendlich kleine Bewegung ausführen kann. —

Wir stellen jetzt die ursprüngliche Lage her, schliessen wieder T_1 an N und nehmen c fort.

Dann ist

- in I. $\sphericalangle T_1T_2T_3$ concav nach unten,
- in II. $\sphericalangle T_1T_2T_3 = 180^\circ$,
- in III. $\sphericalangle T_1T_2T_3$ wieder concav nach unten.

Die Bewegung von a gegen b ist also rückläufig geworden: *Die relativen Winkelgeschwindigkeiten, mit der sich die Seiten des veränderlichen Dreiecks $T_1T_2T_3$ gegen einander drehen, sind sämtlich Null, wenn das Dreieck ein geradliniges Tripel ist.*

Nach Anlegung des Bügels ist jetzt noch eine, nach gelenkiger Verbindung von c mit T_1 sind noch zwei unendlich kleine Bewegungen möglich, welche sich, in Folge der Elasticität der Teile und des unvermeidlichen Spielraumes der Gelenke, in der grösseren Bewegbarkeit gegenüber der in der ersten Anordnung möglichen, kenntlich machen.

Das Modell gestattet noch die Ausführung einer speciellen Bewegung von $\sigma_1\sigma_2\sigma_3$.

Beseitigt man die Verbindung von A_1 und A_4 , und stellt dafür die von A_1^* und A_4^* her, so sind in der Lage II die mit $A_1^*A_2A_3$ zusammenfallenden Punkte von σ_4 entsprechende Krümmungs-Mittelpunkte zu den bezw. mit T_1, T_2, T_3 vereinigten Punkten von σ_5 , wenn σ_3 wie vorhin die durch den Bügel bewirkte starre Vereinigung von a und b bedeutet. Nach erfolgter Anlegung des Bügels sind also noch 2 unendlich kleine Bewegungen möglich, während die Verbindung von T_1 mit c deren drei zulässt. Nehmen wir jedoch anstatt des Momentmechanismus den zwangläufig beweglichen, so ist

in I. $\angle T_1T_2T_3$ concav nach unten,

in II. $\angle T_1T_2T_3 = 180^\circ$,

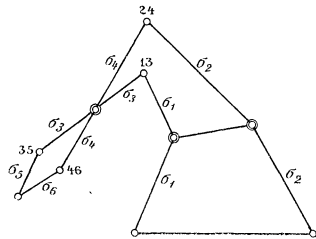
in III. $\angle T_1T_2T_3$ concav nach oben

wie in der zuerst getroffenen Anordnung, aber die Bewegung ist jetzt in der kritischen Lage II zweimal rückläufig geworden, was sich durch einen deutlich bemerkbaren Stillstand der Glieder a und b kennzeichnet. Die geometrischen Symbole für die drei gefundenen Bewegungen von a gegen b wären bezw. etwa eine gewöhnliche Curventangente, eine Wendetangente und die Tangente in einem Undulationspunkte.

(Rodenberg).

250 Mechanismus, bei welchem eine Wechsellage den Übergang zwischen einem zwangläufigen und einem nicht zwangläufigen Mechanismus vermittelt. Von Prof. Rodenberg, techn. Hochschule Hannover.

Die Bezeichnung des Modells lässt erkennen, dass die bisherige Einteilung der Mechanismen in zwangläufige und nicht zwangläufige eine dritte Art unberücksichtigt lässt, welche die Eigenschaften der beiden ersten Arten in sich vereinigt und als Zwitter-Mechanismus bezeichnet werden könnte. Behufs Herstellung eines solchen nehme man eine Reihe zwangläufiger Ketten, z. B. wie am Modell 1) das Gelenkviereck mit dem festgestellten Gliede, um welches sich die gekoppelten Glieder $\sigma_1\sigma_2$ drehen; 2) das Gelenk $\sigma_3\sigma_4$; 3) das Gelenk $\sigma_5\sigma_6$. Man schliesse dann die einzelnen Ketten in der bezeichneten Reihenfolge durch je zwei Gelenkpunkte, nämlich 13, 24; 35, 46 an einander.



Das Erzeugnis ist nach bekannten Sätzen im Allgemeinen abermals zwangläufig.

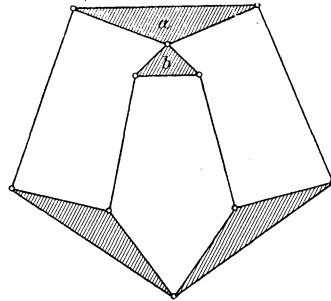
Sind jedoch die Dimensionen, wie es am Modell der Fall, so gewählt, dass im Laufe der Bewegung *gleichzeitig* 13 auf 24, 35 auf 46

fällt, so befindet sich in diesem Momente der Mechanismus in einer Wechsellage, von der aus man die Bewegung so fortsetzen kann, dass die drei Teil-Ketten sich wie ebenso viele starre Systeme verhalten, welche durch zwei Gelenkpunkte mit einander verbunden sind. Ein solcher offener Gliederzug ist aber nicht zwangsläufig. Geht man statt von dreien, von n Ketten aus, so entsteht in gleicher Weise ein n -gliedriger Zug mit $n - 1$ Gelenkpunkten, so zwar, dass das erste Glied mit dem zweiten, dieses mit dem dritten u. s. w., das $(n - 1)$ -ste mit dem n -ten durch je einen Gelenkpunkt verbunden ist. Ein Glied ist dann in Bezug auf jedes andere vollständig frei bewegbar, von dem es durch zwei oder mehr Glieder getrennt ist.

(Rodenberg.)

251 Modell einer kinematischen Kette, nach Angabe von Prof. **Grübler**; **Kinematische Sammlung des Polytechnicums zu Riga.**

Das Modell stellt eine zwangsläufig bewegliche, ebene kinematische Kette von 8 Gliedern dar; letztere sind durch 10 Gelenke (Drehkörperpaare) paarweise derart mit einander verbunden, dass *kein Gelenkviereck* in der Kette auftritt. Das ternäre Glied a (s. nebenstehende Figur) ist im Modell das ruhende, b dagegen das treibende; letzteres kann durch eine Kurbel auf der Rückseite des Modelles in Umdrehung versetzt werden. Die Lage der Kurbelaxe im Gestell kann leicht geändert werden; auch lassen sich den Gelenkaxen auf den übrigen ternären Gliedern andere Lagen geben. Endlich kann den 4 binären Gliedern innerhalb gewisser Grenzen jede beliebige Länge gegeben werden.



Das Modell dient zur Veranschaulichung

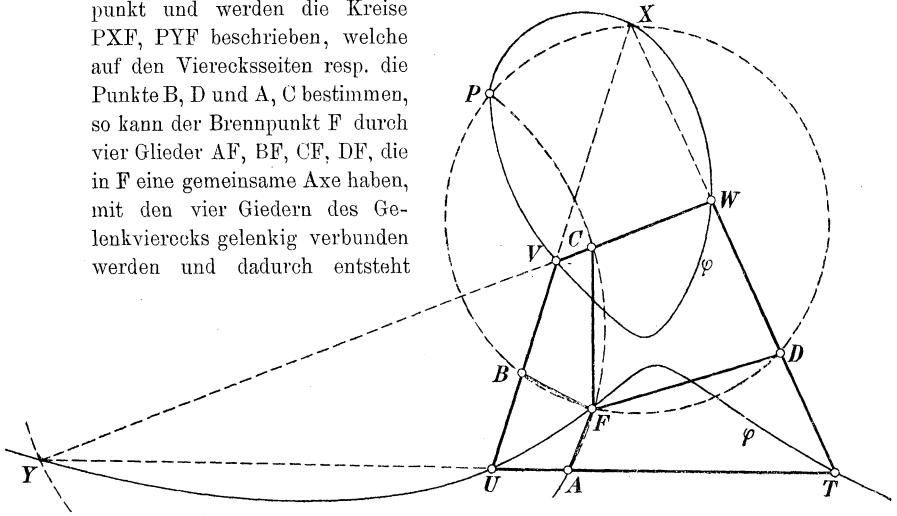
1. Der Unabhängigkeit der Zwangsläufigkeit von den Dimensionen der Kettenglieder;
2. Des Einflusses der Dimensionen der Kettenglieder auf die Singularitäten der Bahncurven und die Grenzen der Bewegungsgebiete;
3. Des Auftretens von Tod- und Wechsellagen.

(Grübler.)

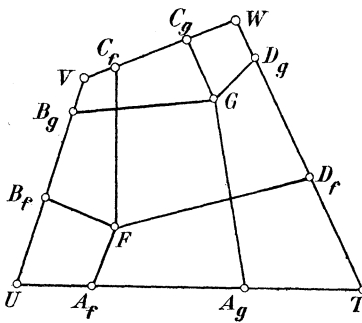
252 Brennpunkt-Mechanismen. 6 Modelle aus Aluminium von Prof. **L. Burmester** (angefertigt im math.-phys. Institut von **Th. Edelmann**, München). **Kinematische Sammlung der techn. Hochschule in München.**

Für das gegebene Gelenkviereck $TUVW$ ist die Focale φ gezeichnet, welche die Brennpunkte aller diesem Viereck eingeschriebenen Kegel-

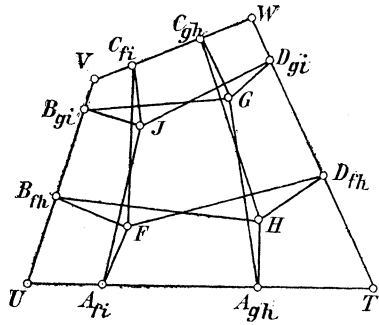
schnitte enthält, und der Brennpunkt P der angeschriebenen Parabel construirt. Ist F ein auf der Focale φ beliebig angenommener Brennpunkt und werden die Kreise PXF, PYF beschrieben, welche auf den Vierecksseiten resp. die Punkte B, D und A, C bestimmen, so kann der Brennpunkt F durch vier Glieder AF, BF, CF, DF, die in F eine gemeinsame Axe haben, mit den vier Gliedern des Gelenkvierecks gelenkig verbunden werden und dadurch entsteht



ein übergeschlossener Mechanismus.*) Im Allgemeinen wird, wenn an das Gelenkviereck TUVW ein Knie BFD drehbar angeschlossen ist, dieser Mechanismus durch ein eingefügtes gelenkig verbundenes Glied AF starr. Bei diesem übergeschlossenen Mechanismus bleibt während der Bewegung der Viergliedpunkt F beständig ein Brennpunkt eines dem Gelenkviereck TUVW eingeschriebenen Kegelschnittes. Ein derartiger Mechanismus sei *Brennpunkt-Mechanismus* genannt. So kann jeder Punkt



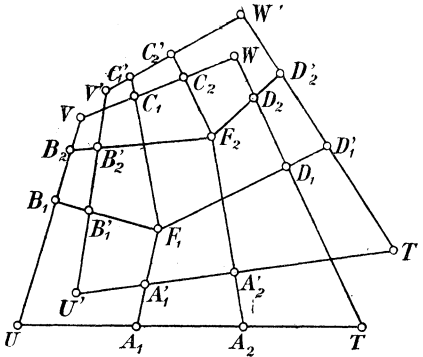
Modell 1.



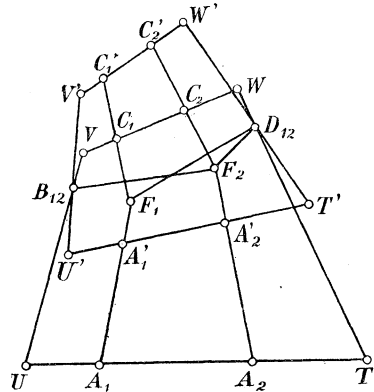
Modell 2.

*) Vergl. Hart, Proceedings of the London Math. Soc. Vol. VIII, p. 288. 1876. Kempe ebenda, Vol. IX, p. 138. 1877. Darboux, Bulletin des Sciences math. 1879. T. III. p. 144.

Modell Nr. 5 ist ein Brennpunkt-Mechanismus, der als besonderer Fall aus *Nr. 4* hervorgeht. Die beiden nicht zu einem Kegelschnitt gehörenden Brennpunkte F_1, F_2 haben auf den Seiten UV, TW des Stammvierecks gemeinsame Anschlusspunkte B_{12}, D_{12} , in welchen die Seiten $U'W', T'W'$ des Vierecks $T'U'V'W'$ durch Axen angeschlossen sind.

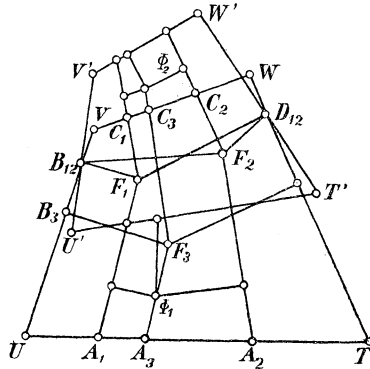


Modell 4.



Modell 5.

Modell Nr. 6 ist ein Brennpunkt-Mechanismus wie *Nr. 5* mit noch mehr eingefügten Gliedern. Ausser jenen beiden Brennpunkten F_1, F_2 ist noch ein beliebiger Brennpunkt F_3 mit dem Stammviereck verbunden, und es können dann auch bestimmte Viergliedpunkte Φ_1, Φ_2 mit entsprechenden Gliedern, wie das Modell zeigt, verbunden werden.



Modell 6.

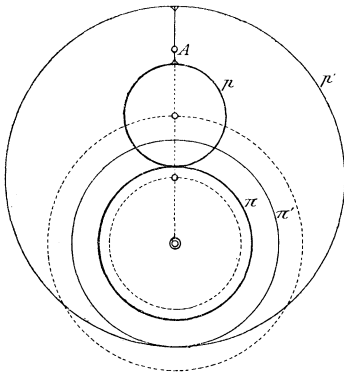
Durch zweckmässige Wegnahme von Gliedern ergeben sich aus diesen Mechanismen viele neue übergeschlossene Mechanismen.

(L. Burmester.)

253 Kreisförmige Nürnberger Schere mit 16 dreieckigen Gliedern, aus Aluminium. Von Prof. **L. Burmester** in München. Aus der **kinematischen Sammlung der techn. Hochschule München**.

254 Rädermechanismus für die zweifache Erzeugung der Trochoiden (cyklischen Curven), von Prof. **L. Burmester**. **Kinematische Sammlung der techn. Hochschule München**.

Eine Trochoide kann durch Kreisrollung auf zweifache Weise erzeugt werden. *) Rollt auf dem festen Kreis π ein Kreis p mit dem beschreibenden Punkt A , so beschreibt dieser eine Epitrochoide; und dieselbe wird auch erzeugt, wenn auf dem



festen Kreis π' der Kreis p' mit seiner Innenseite rollt, an dem der beschreibende Punkt A befestigt ist. **) In dem Mechanismus sind diese Kreise durch die Teilkreise der Zahnräder ersetzt. Einerseits läuft um ein festes Zahnrad ein Zahnrad mit einem Schreibstift; andererseits läuft um ein festes Zahnrad ein hohles Zahnrad mit einem Schreibstift. Durch Drehung einer Kurbel und entsprechende Übersetzung von Zahnrädern erhalten die Mittelpunkte der Um-

laufräder ein bestimmtes Verhältnis ihrer Umlaufzahlen. Beide Schreibstifte beschreiben dann auf beiden Seiten einer Glastafel gleichzeitig dieselbe Epitrochoide. Durch eine Auslösung, die mit Wegnahme eines Zwischenrades erfolgt, können die beiden Erzeugungen auch unabhängig von einander gezeigt werden.

(L. Burmester.)

255--257 Sammlung von kinematischen Modellen, Wandtafeln, Reiflinienhölzern (Schmiegen) aus der **kinematischen Sammlung der technischen Hochschule zu Berlin-Charlottenburg**, Vorstand Geh. Rat Prof. **Reuleaux**.

255 Kinematische Modelle.

I. Ebene Cykloiden und Cyklonoiden.

- 1551. Mittlere Epicykloide (1:1).
- 1552. „ „ Hypocykloide (1:2).
- 1553. „ „ Pericykloide (2:1).

*) G. Bellermann, Epicykloiden und Hypocykloiden 1867.

**) L. Burmester, Lehrbuch der Kinematik. Bd. I. S. 137. 1888.

Fig. 1. Epicykloiden.

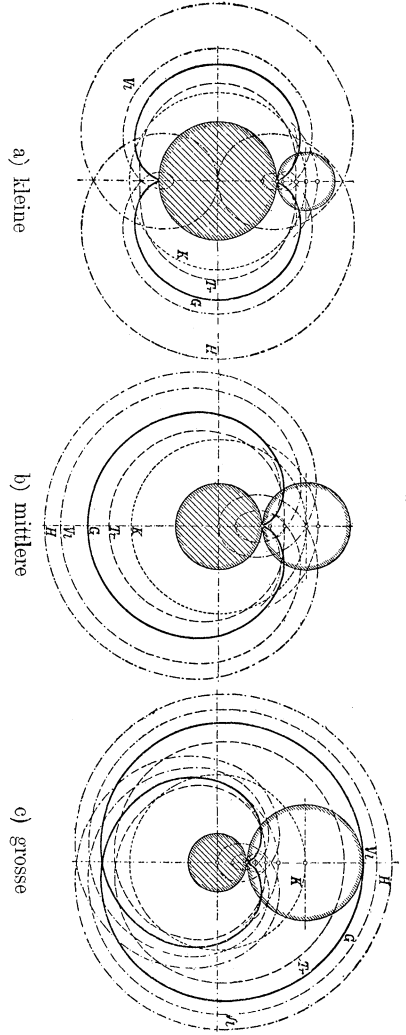


Fig. 2. Hypocykloiden.

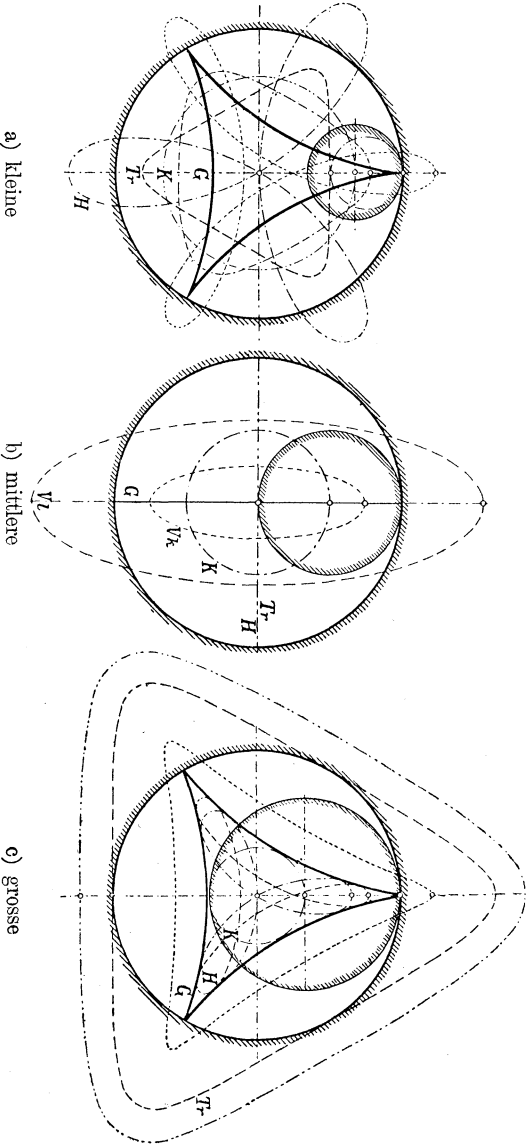


Fig. 3. Pericykloiden.

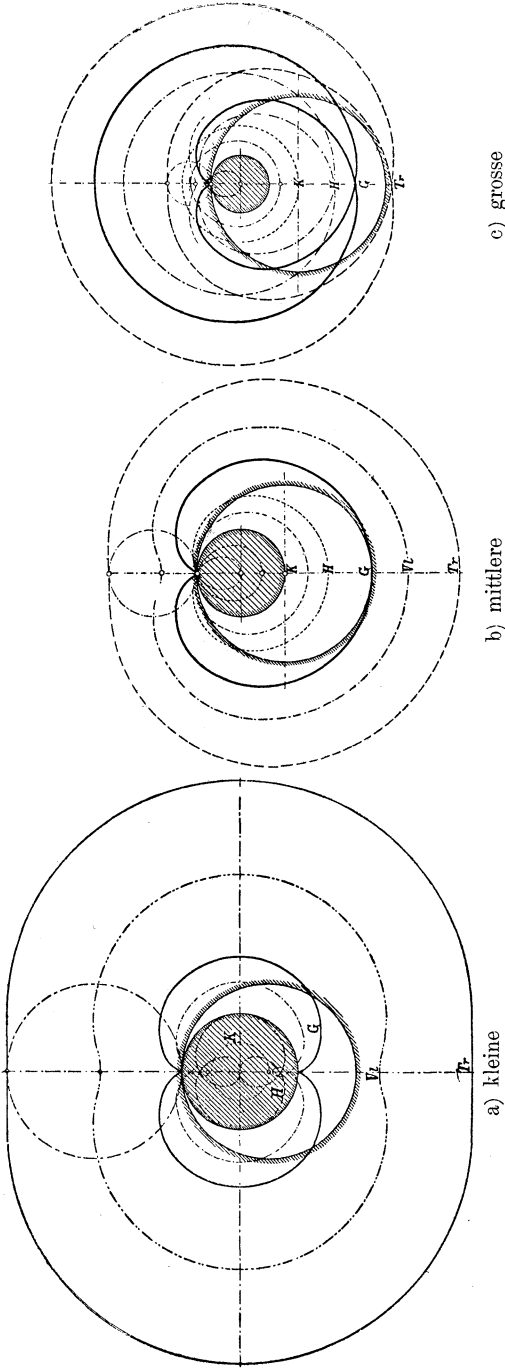


Fig. 4. Orthocykloide.

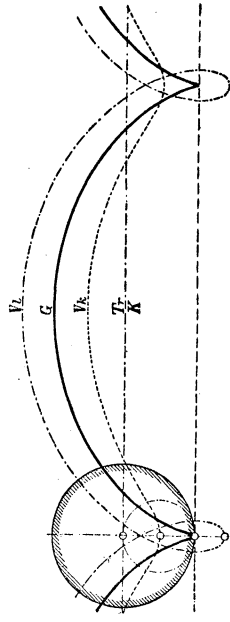
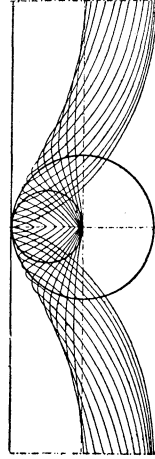


Fig. 5. Sehar verkürzter Orthocykloiden.



1554. Orthocykloide.
 1555. Cykloorthoide (oder Kreisevolvente).
 1556. Krümmungstralzeiger für Drittels-Epicykloide.
 1557. Mittlere Epielliptoide (1 : 1).
 1558. Elliptocykloide (1 : 12) und Cykloelliptoide (12 : 1) (Planctarium).
 1559. Merkurgetriebe.
 1560. Hyperboleide.
 1561. Paraboleide.
 1564—1567. 4 Cyklonoiden.

Die unter diesen Nummern dargestellten Modelle dienen zum Zeichnen der durch die vorstehenden Figuren charakterisirten Cykloiden und Cyklonoiden, die dem Aufsätze „Über das Verhältnis zwischen Geometric, Mechanik und Kinematik“ von Reuleaux (Zeitschr. d. Vereins Deutscher Ingenieure Bd. 24) entnommen sind.

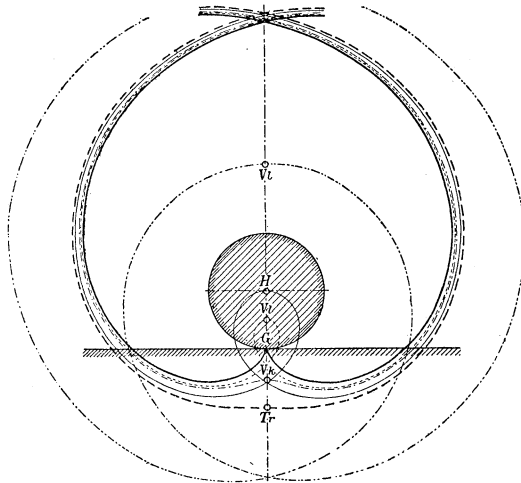


Fig. 6. Kreisevolvente (Cykloorthoide).

Die Apparate Nr. 1557—1567 dienen zur Darstellung des Abrollens zweier Ellipsen bzw. von Kreis und Ellipse aufeinander. Es ergeben sich dabei analoge als Elliptoiden, Elliptocykloiden, Cykloelliptoiden u. s. f. bezeichnete Curven, deren Gestalten ebenfalls in der schon erwähnten Abhandlung enthalten sind.

II. Sphärische Cykloiden (Konische Axoide mit Punktbahnen).

781. Epicykloide (1 : 3). (Fig. 7.)
 782. Plancykloide (1 : 3).
 783. Hypocykloide (1 : 2).

- 784. Hypocykloide (1:3). (Fig. 8.)
- 785. Pericykloide (3:1).
- 786. Evolvente (3:1).
- 787. „ (9:8). (Fig. 9.)
- 788. Maschine zum Verzeichnen von Kugel-Cykloiden.

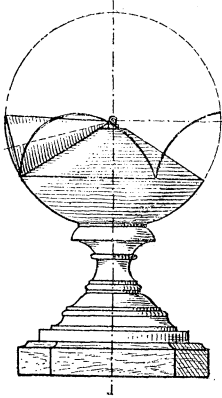


Fig. 7.

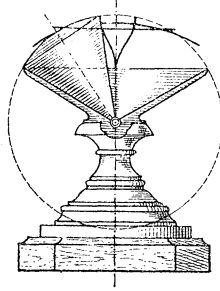


Fig. 8.

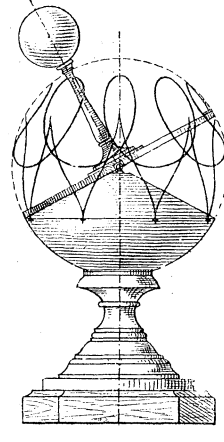


Fig. 9.

Die in den Fig. 7, 8, 9 gegebenen Abbildungen von ausgestellten Modellen lassen erkennen, wie durch Abrollen von Kegel auf Kegel oder Ebene die sog. sphärischen Cykloiden erzeugt werden. Bezüglich der gestaltlichen Verhältnisse dieser Curven, sowie der Beschreibung der Nr. 788 angeführten Maschine zum Verzeichnen der Kugelcykloiden vergleiche man einen Aufsatz von Reuleaux in den Verhandlungen des Vereins zur Beförderung des Gewerbfleißes 1876 pp. 321 und 349, welchem auch die obigen Figuren entnommen sind.

III. Räderverzahnungs-Modelle.

- 540. Cykloidenverzahnung } für Stirnräder.
- 541. Evolventenverzahnung }
- 542. Cykloidenverzahnung } für Kegelhäder.
- 543. Evolventenverzahnung }
- 544. Punktverzahnung (4zähniges Rad mit Segment).
- 545. Gemischte Verzahnung (3zähniges Rad mit Zahnstange).
- 546. Daumenverzahnung (6zähniges Rad mit Segment).
- 547. „ (4zähniges Rad mit Zahnstange).
- 548. Schildräder mit Triebstockverzahnung (Vollräder) $\frac{z}{z_1} = \frac{12}{20}$.
- 549. Schildräder mit Triebstockverzahnung (Voll- u. Hohlrad) $\frac{z}{z_1} = \frac{8}{28}$.

550. Parallelräder mit 24 Zähnen
 551. „ „ 6 „
 552. „ „ 5 „
 553. Evolventenverzahnung mit veränderbarem Axenabstand.

Kegelräder:

769. Vollräder mit 80 und 60 Zähnen
 770. Hohl- und Vollrad „ 86 „ 36 „
 771. Plan- „ „ 80 „ 40 „

Hyperbelräder:

772. Mit Zähnezahlen 60 und 72
 773. „ „ 40 „ 80 (Planrad)
 554. Schraubenräder mit je 60 Zähnen.

IV. Globoide und Globoidschraubenräder.

- 741—752. 12 hölzerne Globoidformen.
 753—754. 2 Kugeln mit einfacher und doppelter Gewindlinie.
 755—756. 2 Ringgelenke.
 757. Geshränktes Kreuzgelenk (zum Vergleich mit vorigen).
 758—763. 6 hölzerne Globoidschraubgetriebe.
 764. Globoidschraubgetriebe (Zahnrad in ringförmiger Schale).
 765. „ mit Triebstockrollen (Jensens Göpel).
 766. „ „ symmetrischer Verzahnung.
 767. „ „ zackenförmiger „
 768. „ „ 4 Triebrollen (Hawkins).
 553. Zum Vergleich mit 766: Cylindrische Schraube ohne Ende mit Zahnrad.

Bezüglich der unter III. und IV. aufgeführten Modelle sei auf Reuleaux's „*Constructeur*“ und „*Kinematik*“ verwiesen.

V. Ellipsenzeichner.

a) Vorlesungsmodelle.

137. Von Leonardo da Vinci.
 138. „ Farey.
 139. „ Hoff.

b) Gebrauchsgeräte.

140. Von Slaby.
 141. „ Düstersick.
 142. „ Herrmann.
 143. „ Farey.
 144. „ Baumann (Linnin).

VI. Ovalwerke (Ellipsendrehbänke).

145. Von Leonardo da Vinci (Rotirende Kreuzschleife, kleiner Cardan-
 kreis fest).

146. Von Hoff.

147. „ Delnest.

Ferner:

148. Sinoidenwerk (zum Zeichnen von Polarsinoiden).

116. Erweiterter Storchschnabel (Pantograph).

1. Kinematischer Schraubstock.

Das in den Modellen *Nr. 137* und *Nr. 145* dargestellte Ovalwerk, welches, soviel man weiss, von Leonardo da Vinci, dem grossen Künstler, erfunden bzw. wenigstens von ihm studirt worden ist, stellt eine sehr merkwürdige Anwendung der sog. rotirenden Kreuzschleife (s. Fig. 11 u. 12)

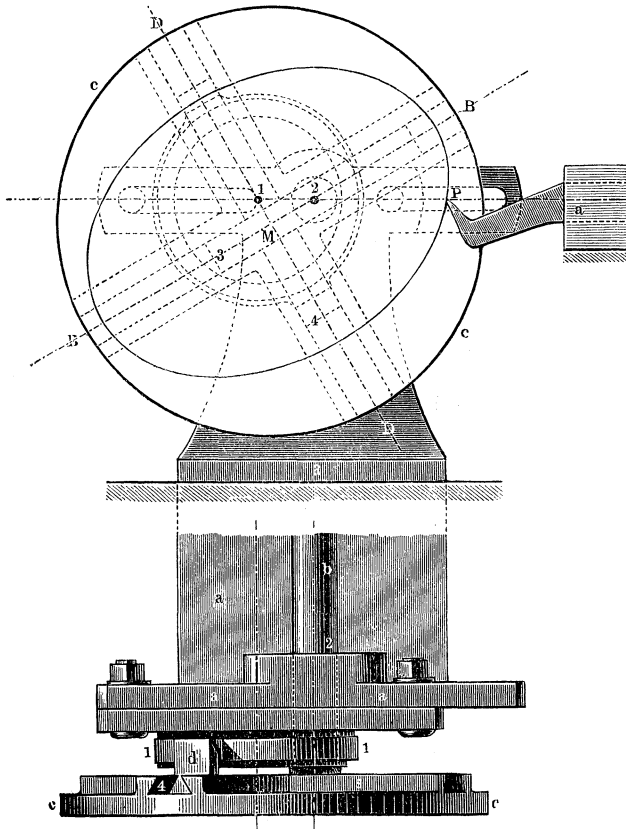


Fig. 10 zu Modell *Nr. 145*.

vor. Hier ist die Eigentümlichkeit der Kette verwendet, dass alle Punkte, welche mit der Ebene des kleinen Cardankreises (d. i. mit dem Stege a,

vgl. die Abbild. Fig. 10) verbunden sind, gegen den Träger des grossen Cardan-
kreises Ellipsen beschreiben. In dem Apparate selbst sehen wir in dem
Körper *c* der Planscheibe die Kreuzschleife vor uns, auf der Rückseite
die sich kreuzenden Hohlprismen tragend. In das eine derselben greift
das mit der Drehbankspindel *b* festverbundene Vollprisma *3* ein. Das
Lagergestell oder der Spindelstock *a* bildet mit der Spindel *b* das Cylinder-
paar *2*. An dem Lagergestell (mit Schrauben befestigt) ist der *a* ange-
hörige Cylinder aus dem Cylinderpaare *1*; er hat die Form eines Rings,
durch den die Spindel frei hindurchgeht, ist soviel erweitert, dass *2* in *1*

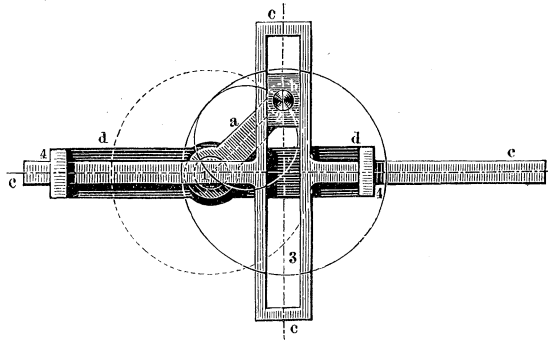


Fig. 11 zu Modell Nr. 145.

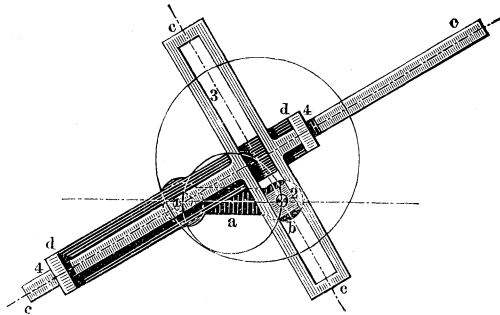


Fig. 12 zu Modell Nr. 145.

liegen kann. Das Stück *d*, welches zunächst den Cylinder *1* mit dem
zugehörigen Hohlcyliner umfasst, trägt anderseits das Vollprisma *4*, zum
Eingriff in das zweite Hohlprisma der Kreuzschleife *c* bestimmt. Der
Zeichenstift oder das Werkzeug *P* bildet einen Teil des ruhenden Stückes
oder Steges *a*. Die Ellipsen, die die Spitze von *P* gegen die bewegte
Planscheibe beschreibt, haben, wenn *P* ausserhalb *a* liegt, zur Differenz
ihrer Halbaxen die Länge *a*; liegt *P* zwischen *1* und *2*, so ist *a* die

Summe der Halbaxen. Die Grösse a ist, soweit es die Erweiterung des Zapfens a gestattet, verstellbar, was im Verein mit der Verstellbarkeit von P die grösste Mannigfaltigkeit der auf dem Apparat erzeugbaren Ellipsen ergibt.

(Aus Reuleaux's „*Kinematik*“ p. 316).

Die Modelle *Nr. 138* und *Nr. 143* zeigen den von *Farey* in den Transactions of the soc. for the encouragement of manuf. and arts etc. Vol. 35 1812 angegebenen Ellipsenzeichner. Das Instrument zeichnet, wie *Ritterhaus* in den Verhandl. des Vereins für Gewerbefleiss 1874 des Näheren mitteilt, bei sorgfältiger Ausführung und Handhabung wirklich recht gute und vollkommen glatte Curven und zählt wohl, wenn man überhaupt Ellipsographen ausführen will, mit zu den besten Constructionen. Im Übrigen beruht der *Farey'sche* Apparat auf dem Princip des oben beschriebenen Ovalwerks von *Leonardo da Vinci*; technisch ist der dort auftretende Kreuzungspunkt dadurch vermieden, dass man die sich kreuzenden Hohlprismenführungen in verschiedene Ebenen verlegt; ein weiterer Vorzug des Apparates besteht darin, dass die Zapfen zu sehr grossen Ringen erweitert erscheinen, um Raum für den beschreibenden Punkt zu gewinnen.

Die Modelle *Nr. 139* und *Nr. 146* stellen *Hoff's* Ellipsenzeichner bez. *Hoff's* Ovalwerk dar, welche Instrumente im wesentlichen wieder *Leonardo da Vinci's* rotirende Kreuzschleife bei festem kleinen Cardankreis zeigen, aber es sind die mittleren Pericykloiden des grossen Cardankreises gegen den kleinen erzeugt als einlobige Polarsinoiden durch Umlaufträderwerk mit Kurbel und Kreuzschleife.

Modell *Nr. 140* ist der Ellipsenzeichner von *Slaby*, der ausführlicher in den Verhandl. des Vereins für Gewerbefleiss 1876 beschrieben ist. Derselbe beruht auf dem bekannten Satze: „Rollt ein Kreis in einem doppelt so grossen festen, so beschreibt jeder Punkt seiner Ebene eine Ellipse.“ Um das Rollen zu erzeugen, hält man den Mittelpunkt M des kleinen Kreises in fester Verbindung mit jenem des grossen Kreises O und erteilt einem Radius des kleinen Kreises eine doppelt so grosse Winkelgeschwindigkeit um M , als dem Radiusvector OM um O , was im Falle des vorliegenden Instruments durch eine Schnurrolle mit Übersetzungsverhältnis $1:2$ geschieht. Im Übrigen ist bei dem Apparat besondere Aufmerksamkeit der Ausführung des Zeichenstifts gewidmet.

Modell *Nr. 141* zeigt den Ellipsenzeichner von *Düstersick*, der im wesentlichen mit dem sog. Ellipsographen von *Davies* (Mech. Magazine vol. 36 pag. 73 und 224) übereinstimmt, und der überall da besondere Verwendung finden mag, wo es sich blos darum handelt, auf bequeme Weise ellipsenförmige Curven herzustellen.

Modell *Nr. 147* ist das von *Delnest* ausgeführte Ovalwerk, das ebenfalls auf den Sätzen über die relative Bewegung des sog. grossen und kleinen Cardankreises beruht; specifisch für den Apparat ist, dass Werkstück und Werkzeug sich bewegen.

256 Wandtafeln.

Zwölftels-Epicykloide (Einbugcurve mit Reiflinie).

Sonnenbahn.

Cykloelliptoide.

Wendeverhältnisse der kleinen mittleren und grossen Epicykloide, der

Orthocykloide und der Cykloorthoide (Evolvente)

Krümmungsverhältnisse der Drittels-Epicykloide.

257 Reiflinienhölzer oder Schmiegen.

Zur 2tels Epicykloide 100 : 200.

nämlich

a) $a = 0$ Randbahn (Gemeine).b) $a = -82$. Einbugcurve.c) $a = 100$. Verlängerte.d) $a = 200$. Homocentrische. $R : R_1$ $R : R_1$ Zur 3tels Epicykloide 150 : 450, zugleich zur $\frac{4}{3}$ tels Pericykloide 600 : 450

„ 1fach. „ 200 : 200, „ „ 2fach. mittl. Pericykl. 400 : 200

„ 2fach. „ 200 : 100, „ „ 3fach. Pericykloide 300 : 108

„ Cykloorthoide 100 : ∞ „ Orthocykloide ∞ : 100„ „ ∞ : 50„ 3tels Hypocykloide 50 : 150 „ „ $\frac{2}{3}$ tels Hypocykloide 100 : 150

„ 2tels „ 50 : 100 „ „

nämlich

$$\left. \begin{array}{l} a = 100 \\ a = 150 \end{array} \right\} \text{ äussere Ellipsen; } \left. \begin{array}{l} a = -100 \\ a = -150 \end{array} \right\} \text{ innere Ellipsen } \left\{ \begin{array}{l} 150 : 300 \\ 200 : 400 \end{array} \right.$$

Zur 12tels Epicykloide 100 : 1200;

 $a = -98$ (Einbugcurve) vergl. erste Wandtafel.

Zur 4tels Hypocykloide 50 : 200

Logarithmische Spirale.

Schnurzirkel (für Kreise).

(Reuleaux.)

258 Fünf Verzahnungsmodelle (Cykloiden-Verzahnung, Evolventen-Verzahnung, Schraubenräder-Verzahnung, Hooke'sche Räder, Etagenrad) aus der kinematischen Sammlung der techn. Hochschule Dresden (Vorstand Prof. T. Rittershaus).

Modell 1. Cykloiden-Verzahnung. Das Modell zeigt zwei nur teilweise ausgeführte Messingräder mit Zähnen, die nach Epi- und Hypocykloiden geformt sind und zwei einander und die Teilkreise (die rollenden Kreise) der Räder berührende Kreisscheiben aus starkem Glas.

Die Axen der Räder sowohl, als auch die der Kreisscheiben sind mittels Uhrfedern derart mit einander verbunden, dass bei einer Drehung

eines der beiden Räder (durch das auf der Rückseite befindliche Handrädchen) die Teilkreise der Räder und die Kreisscheiben sich mit derselben Umfangsgeschwindigkeit bewegen, also aufeinander rollen. Dabei beschreiben die mit dem jeweiligen Berührungspunkte der Zähne zusammenfallenden, durch rote Striche gekennzeichneten Umfangspunkte der Glasscheiben in Bezug auf die beiden Räder die Profilverben der Zähne.

Modell 2. Evolventen-Verzahnung. Das Modell zeigt gleichfalls zwei nur zum Teil ausgeführte Zahnäder, deren Zähne hier aber nach Kreisevolventen profilit sind. Die Räder tragen auf ihrer vorderen Fläche je einen Kreisring-Vorsprung, und eine auf diesem aufliegende, die Räder mit einander verbindende Uhrfeder beschreibt mit den je mit den Berührungspunkten der Zähne zusammenfallenden, durch eingeritzte Querstriche kenntlich gemachten Punkten derselben relativ zu den beiden Rädern die Zahnprofile.

Evolventenräder haben die für die Praxis in vielen Fällen sehr wertvolle Eigenschaft, dass ihre Axen, ohne dem Eingriff zu schaden, sich innerhalb gewisser Grenzen von einander entfernen bzw. einander annähern lassen. Dies zu zeigen, dient folgende Einrichtung. Löst man die am oberen Rade unter dem Handgriffe angebrachte Klemmschraube, so kann man mittels der, oben auf dem Modelle angebrachten Schraube das obere Rad heben oder senken. Nachdem dies geschehen, wolle man vor in Gang setzen durch Anziehen der Klemmschraube die Axe wieder befestigen.

Modell 3. Schraubenäder (Spiraloid)-Verzahnung. (Vgl. *Olivier*: Roues à engrenages helicoides und *Pützer*: *Spiraloid-Räder*, Zeitschrift des Vereins deutscher Ingenieure.

Das Modell zeigt diese interessante, bei *Olivier* selbst sowohl als auch bei *Pützer* (der im Wesentlichen einen erweiterten Auszug der *Olivier*'schen Arbeit gibt) etwas umständlich abgeleitete Verzahnung, die in wirklicher Ausführung meines Wissens noch nicht vorhanden war, für den einfachsten Fall: der Übersetzung von 1 : 1 und rechtwinkelige Kreuzung der Axen in sehr grosser Ausführung mit nur je einem Zahn.

Lässt man eine Gerade von einem Cylinder, mit deren Erzeugenden sie einen von 90° verschiedenen Winkel bildet, abwälzen, so erzeugt dieselbe eine Evolventenschraubenfläche, deren Rückkehrkante (Charakteristik) die Schraubenlinie bildet, als welche sich die Geraden in ihren Elementen auf dem Cylinder abbilden.

Legt man zwei Cylinder, jeden mit einer ihn berührenden Geraden so aneinander, dass sie sich berühren und zugleich die beiden berührenden Geraden in eine einzige zusammenfallen, und dreht in dieser Lage die Cylinder um ihre Axen so, dass die beiden je auf ihnen wälzenden Geraden auch während der Bewegung sich nicht trennen, dass also die Componenten ihrer resp. Umfangsgeschwindigkeiten normal zu der Richtung dieser Geraden einander gleich sind, so haben die von den betreffenden,

auf ihnen wälzenden Geraden gegen die beiden Cylinder beschriebenen Evolventenschraubenflächen, wie leicht ersichtlich, in jedem Augenblicke ein Element miteinander gemein, berühren einander also geometrisch. Damit ist aber noch nicht bewiesen, dass dieselben auch als Zahnflanken brauchbar sind. Dazu ist ferner noch erforderlich, dass sie sich als Begrenzungsflächen materieller, körperlicher Gebilde ausführen lassen, dass sie also, soweit sie benutzt werden, keine Schleifen, Rückkehrkanten oder dergl. enthalten. Es ist aber weiter auch noch erforderlich, — und das wird oft übersehen und dadurch in Folge der eintretenden Missstände ein ganzes, sonst vorzügliches Verzahnungssystem, wie z. B. die Evolventenverzahnung in der Praxis in Misscredit gebracht —, dass die Körpergebilde, deren Begrenzung die Flächen bilden, in keiner ihrer Lagen sich an der durch dieselben erzwungenen Relativbewegung hindern.

Dazu bedarf es hier besonderer Vorsichtsmassregeln.

Die, die beiden Flächen erzeugende Doppelgerade befindet sich je einerseits ihres Berührungspunktes mit dem betreffenden Cylinder in dem nach der Rückkehrkante absteigenden, andererseits dagegen in dem von dieser Kante aufsteigenden Aste der Fläche. Die gegenseitige Berührung der beiden Flächen geht also, wenn man die dieselbe erzeugenden Doppelgeraden entlang geht, je in diesem Berührungspunkte von dem einen auf den andern Ast der Fläche über und das Fortschreiten der Geraden innerhalb der Flächen während der Bewegung findet in der von den beiden Berührungspunkten begrenzten Strecke derselben *auf beiden* entweder *nach aussen* (von der Rückkehrkante weg) oder *nach innen* (auf dieselbe zu) statt, während in den beiden andern Theilen derselben die Gerade je auf der *einen* Fläche *nach innen*, auf der *andern* dagegen *nach aussen* hin fortschreitet.

Wirklich ausgeführt werden kann aber nur je der eine Zweig der Fläche und da die nicht zusammengehörigen Teile der Fläche nicht allein nicht zum Eingriff kommen, sondern auch in gewissen Stellungen sich gegenseitig hindern, weil sie bei richtiger Lage der Cylinder einander durchdringen müssten, so muss, wie dies auch im Modell geschehen ist, zum mindesten der über den Berührungspunkt der beiden Cylinder hinausliegende Teil des Zahns weggeschnitten werden. Ausserdem muss natürlich auch noch für den Grundkörper des eingreifenden Rades, als welcher der Evolventencylinder desselben gewählt wurde, Raum geschaffen, der Zahn also dementsprechend ausgedreht werden, wenn man nicht vorzieht, denselben noch mehr zu beschneiden, das Rad also noch schmaler auszuführen.

Um aber die Unbrauchbarkeit des fortgeschnittenen Teiles auch am Modell zu zeigen, ist auch dieser ausgeführt und kann durch Aufschieben auf die resp. Axen angesetzt werden. Man wolle aber die angesetzten Teile jedesmal wieder entfernen.

Für die *Praxis* ist die Verzahnungsform leider unbrauchbar, weil die

Anbringung einer entsprechenden Zahnflanke für die umgekehrte Drehungsrichtung Schwierigkeiten bereitet.

Das Modell dient gleichzeitig auch zur Veranschaulichung der Verzahnung für Schraubenräder mit parallelen Axen und ist zu dem Ende noch ein drittes Rad mit entgegengesetzt gewundenem Schraubenzahn beigegeben. Wird das obere der beiden ersten Räder aus seinen Lagern herausgenommen, und das eine der beiden hohen Lager nach Lösen der unterhalb des Fussbrettes befindlichen Schraube entfernt, so kann dieses dritte Rad in die noch vorhandenen niedrigen Lager eingelegt werden und man hat dann zwei einander treibende Schraubenräder für parallele Axen, die infolge ihrer Ausführung in grossem Masstabe die Zahnform selbst besser erkennen lassen, als dies bei den gewöhnlichen, die Art der praktischen Ausführung zeigenden Modellen mit vielen Zähnen, die natürlich in der Sammlung ebenfalls vorhanden sind, möglich ist.

Schraubenräder können sehr viel genauer hergestellt werden, als gewöhnliche Zahnräder und werden infolge dessen in besseren Ausführungen jetzt, wenn irgend möglich, statt jener angewandt. Es liegt das daran, dass infolge der Schraubenform der Zähne die Eingriffsstelle während der Bewegung parallel der Axe weiterrückt und infolgedessen die Zähne in ihrer Höhe, d. i. ihrer Ausdehnung in radialer Richtung, ganz bedeutend verkürzt und damit die Fehlerquellen bei der Herstellung herabgezogen werden können, ohne die Stetigkeit des Eingriffes zu unterbrechen.

Hooke (und nach ihm *White*, *Sheldrake* u. A.) geht darin so weit, dass er die Höhe der Zähne auf Null reducirt.

Ein Räderpaar dieser Art, bei dem also die eigentliche Verzahnung aus zwei durch im Übrigen beliebig gestaltete Schraubenflächen getragenen Schraubenlinien besteht, die bei ihrer Bewegungsübertragung auf einander wälzen, zeigt *Modell Nr. 4*.

Derartige Räder, die auf dem genauesten Werkzeuge unserer Werkstätten, auf der Drehbank, mit fast mathematischer Genauigkeit hergestellt werden können, sollte man überall da anwenden, wo bei grosser Geschwindigkeit nur geringe Kräfte zu übertragen sind und die bei Anwendung gewöhnlicher Räder unvermeidlichen Stösse Unzuträglichkeiten mit sich bringen. So wurden sie beispielsweise von *Bourdon* benutzt bei den von ihm angefertigten Instrumenten zur Messung der Lichtgeschwindigkeit. Für die Übertragung grösserer Kräfte sind sie leider nicht geeignet, da die Zähne sich je nur in einem Punkte berühren.

Modell 5 zeigt das Evolventenschraubenrad als sogenanntes Etagenrad. Es dient vorzugsweise dazu, die Art der Modell-Herstellung, die Eigenschaften der Fläche etc. etc. zu zeigen. Es besteht aus einer grösseren Zahl gleicher Kreisscheiben mit je einem Evolventenzahn, die durch Verdrehen um die gemeinsame Axe in ein Etagenrad mit beliebiger Steigung verwandelt werden können.

(T. Rittershaus.)

259 Abwickelungsmodell des Kreishyperboloides, aus der kinematischen Sammlung der technischen Hochschule Dresden (Vorstand Prof. T. Rittershaus).

Dasselbe besteht aus durch Scharniere längs den Erzeugenden mit einander verbundenen Elementarstreifen. Eines der Scharniere ist lösbar und dann die Fläche entwickelbar. Original-Hyperboloid und Entwicke- lung sind natürlich auf einander abwickelbare Flächen. Das ist benutzt bei der Hobeltisch-Bewegung von *Whitworth*.

(T. Rittershaus.)

260 Sechs Modelle des Kurbelgetriebes, (Kurbelprisma, Kurbelpyramide, Schubkurbelkette, Hooke'scher Schlüssel, Kreuzscheibenkupplung) aus der kinematischen Sammlung der technischen Hochschule Dresden (Vorstand Prof. T. Rittershaus).

Modell 1 und *2* zeigen in schematischer Ausführung die beiden möglichen Fälle der Kurbelkette: 1) Die in unzähligen Ausführungen der Praxis vorkommende Kurbelkette mit *ebener Bewegung*, bei der die Kette charakterisierenden, die vier Glieder derselben mit einander ver- kettenden vier Axen ein Prisma bilden, und die man daher auch wohl *Kurbelprisma* nennt und 2) die in der Praxis nur hin und wieder ange- wandte Form mit *Kugelbewegung*, bei der die vier, die Kette charakteri- sierenden Axen die vier Kanten einer vierseitigen Pyramide bilden und die man daher zum Unterschiede von der obigen „*Kurbelpyramide*“ nennt.

(*Willis*, der zuerst die *beiden* Formen der Kette neben einander be- handelt, gibt ihnen die Namen „*prismatic*“ und „*solid-angular*“ *link- work* s. *Principles of mechanism*, 2. Aufl. p. 245 u. 249).

Modell 3, bei dem eines der Glieder zum Gestell ausgebildet, die Kette also zum Mechanismus geworden ist, zeigt den besonderen Fall des Kurbelprisma's bei dem eine der vier Axen im Unendlichen liegt, zwei der vier Seiten des Prisma's also die Breite unendlich haben, die sogenannte *Schubkurbelkette*. Es wurde nur mitgesandt, um den Typus unserer Modelle von Mechanismen zu zeigen, die, wenn sie sich in der Ausführung des Mechanismus selbst auch den Formen der Praxis nähern, mit ihrem schlichten Gestell, auf dessen mattschwarzem Hintergrunde sich der blank gearbeitete Mechanismus vorzüglich abhebt, doch den Modell-Charakter wahren.

Modell 4 zeigt wieder in schematischer Ausführung der Glieder den besonderen Fall der Kurbelpyramide, der in der Praxis als sogenannter „*Hooke'scher Schlüssel*“, als „*Cardanisches*“ oder auch als „*Universal*“ oder „*Kreuz-Gelenk*“ bekannt ist und der sich dadurch auszeichnet, dass drei der vier Pyramidenseiten Quadranten bilden, während der Winkel der vierten, der zum Gestell ausgebildeten, verstellbar gemacht wurde.

Die Teilscheiben zeigen die Ungleichförmigkeit der Uebertragung von der schrägliegenden Welle auf die verticale, oder umgekehrt.

Die Art der Ausführung in der Praxis zeigt *Modell Nr. 5* und das Analogon für den Fall des Kurbelprismas: das in der Praxis als „*Oldham'sche*“ oder „*Kreuzscheibenkupplung*“ bekannte Getriebe, bei dem von den vier Prismenseiten drei die Breite unendlich haben, während die der vierten, zum Gestell gewordenen verstellbar ist, endlich noch *Modell Nr. 6*.

(T. Rittershaus.)

261 Modelle zur Demonstration des Mannesmann'schen Schrägwalzverfahrens. Ausgestellt vom **Bayerischen Gewerbemuseum in Nürnberg.**

Dieses Verfahren bezweckt die Herstellung nahtloser Röhren aus massiven Blöcken, wobei die Materialfasern in den Röhrenwandungen eine spiralisch verlaufende Structur aufweisen.

Eine nähere Beschreibung der Arbeitsvorgänge und die Theorie dieses neuen Walzverfahrens ist namentlich in den Artikeln von Professor Reuleaux (Zeitschrift des Vereins Deutscher Ingenieure, Jahrgang 1890, Nr. 25), von Ingenieur Corka (Zeitschrift des Vereins Deutscher Ingenieure, Jahrgang 1888, Nr. 37 & 38), ferner von Ingenieur Erhard (Bayerische Gewerbezeitung Jahrgang 1891 Nr. 6) enthalten.

a. Das Erhard'sche Modell zur Demonstration des Schrägwalzverfahrens besteht aus zwei konoidischen, mit schraubenförmig verlaufenden Treibwulsten versehenen Walzen, deren Abstand und deren Schrägstellung je nach dem Durchmesser und der Wandstärke der zu erzeugenden Röhren beliebig verstellt werden kann. Die beiden Walzen sind durch Kurbeln von der Hand drehbar angeordnet und zum Zwecke der Gleichheitlichkeit der Drehung durch eine elastische Seiltransmission miteinander verbunden.

Das Werkstück besteht hiebei aus plastischem Thone, welcher durch einen cylindrischen Trichter den beiden Walzen zugeführt wird. Diese erfassen bei langsamer Drehung den Thoneylinder und schieben denselben infolge ihrer Schrägstellung unter gleichzeitiger Rotation in der Richtung seiner Axe nach vorwärts. Hiebei streifen dann, um einen treffenden Ausdruck von Reuleaux zu gebrauchen, die Treibwulsten der Walzen dem plastischen Blocke die Haut über den Kopf ab, wodurch der Block in seinem Innern aufreisst und als nahtloses Rohr das Walzenpaar verlässt.

Um die Innenwand des Rohres zu glätten, wird sowohl in der Praxis des Schrägwalzens als auch bei vorliegendem Modelle ein Dorn zwischen die Walzen eingeführt, über den das Rohr gewalzt wird.

b. Das Modell einer Schnittgelenkkupplung.

Um in der Praxis die beiden Schrägwalzen trotz der notwendigen Verstellbarkeit von zwei Wellen antreiben zu können, die in unbeweglichen Lagern rotiren, muss jede der Schrägwalzen mittelst einer Ge-

lenkkupplung mit ihrer Antriebswelle verbunden sein. Die bekannte Kreuz-Gelenkkupplung oder das Hooke'sche Gelenk leidet an einem Bewegungsfehler, da bei gleichmässiger Rotation der Antriebswelle die getriebene Welle mit wechselnder Winkelgeschwindigkeit mitgenommen wird. Hiedurch entstehen bei grossen Arbeitsübertragungen bedeutende Stösse und Unregelmässigkeiten in den Triebwerken.

Bei der vorliegenden Schnittgelenkkupplung ist diese Arbeitsübertragung eine gleichmässige, da die Berührungspunkte der Kuppelungsarme stets symmetrisch zu der den Axenwinkel halbirenden Hauptebene stehen. Die Ausführungsformen dieser Schnittgelenkkupplung sind in der Deutschen Patentschrift Nr. 48235 der Klasse 47 enthalten.

c. Das Modell eines Flächendruckräderpaares.

Da bei dem Schrägwalzverfahren Arbeitsmengen von mehreren hundert Pferdestärken auf die Schrägwalzen bei hohen Umdrehungsgeschwindigkeiten zu übertragen sind, so genügen hiefür die gebräuchlichen gusseisernen Zahnräder nicht mehr, da sich deren Zähne nur in Linien berühren, wobei ausserordentlich hohe Flächendrucke auftreten.

Zur Vermeidung dieses Misstandes wurden Flächendruckräder angeordnet, welche, wie das Modell zeigt, durch Drehgleitähne gekennzeichnet werden, die am Radkörper drehbar gelagert sind und ebene Gleitflächen tragen, welche den Druck aufnehmen und bei der Drehung der Räder unter relativer Drehung der Drehgleitähne zu ihrem Radkörper auf einander gleiten. Die drehbaren Zähne sind mit gleichlangen Kurbeln ausgestattet, welche in einen gemeinsamen Ring eingreifen, der den dauernden Parallelismus sämtlicher Zahnflächen während der Drehung erhält. — Diese neuen Räder sind namentlich in den Patentschriften Nr. 55785 und Nr. 57443 der Klasse 47 beschrieben.

d. Proben mit Mannesmannröhren auf Tafeln.

Auf diesen Tafeln sind Proben enthalten, welche teils im warmen, teils im kalten Zustande mit Mannesmann-Röhren ausgeführt wurden und den Beweis der ausserordentlichen Zähigkeit dieses Rohmaterials erbringen. Diese Zähigkeit ist hauptsächlich durch die spiralförmige Anordnung der Materialfasern in den Rohrwandungen hervorgerufen, welche eine Folge des Arbeitsvorganges beim Schrägwalzverfahren bildet.

(Erhard.)

262 Mechanismus zur Bestimmung der Lage des Schwerpunktes des menschlichen Körpers und seiner Teile von Reallehrer **Otto Fischer** in Leipzig.

Der Schwerpunkt eines Systems von zwei Körpern mit den Massen m und m' liegt bekanntlich in der Verbindungslinie der Einzelschwerpunkte S und S' der beiden Körper und teilt die Strecke $\overline{SS'}$ im Verhältnis $m' : m$.

Ist der Abstand der beiden Einzelschwerpunkte veränderlich, so kann man durch einen sehr einfachen Mechanismus für jede beliebige

Entfernung von S und S' die Lage des Gesamtschwerpunktes S₀ erhalten.

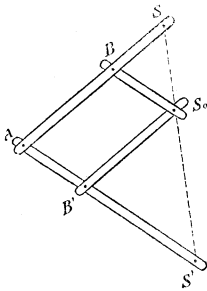


Fig. 1.

In beifolgender Figur 1 ist dieser Mechanismus schematisch dargestellt. AS, AS', BS₀ und B'S₀ sind vier Streifen aus Metall oder dickem Carton, welche an den Stellen B, A, B' und S₀ durch Charniergelenke mit einander beweglich verbunden sind, deren Axen senkrecht auf der Ebene der Zeichnung stehen. Bedeuten B, A, B' und S₀ direct die Projectionen der Gelenkaxen und S, S' die Einzelschwerpunkte, so wird für jede Entfernung der beiden letzteren von einander immer S₀ in der Verbindungslinie S, S' liegen und ausserdem die Proportion

$\overline{SS_0} : \overline{S_0S'} = m' : m$ gelten, wenn man die Längen der Cartonstreifen und die Gelenkstellen so ausgewählt hat, dass sowohl die drei Punkte S, B und A, als auch die drei Punkte A, B' und S' in grader Linie liegen, dass ferner $\overline{AB} = \overline{B'S_0}$ und $\overline{AB'} = \overline{BS_0}$ und dass endlich $\overline{AB} : \overline{BS} = m : m'$ und $\overline{AB'} : \overline{B'S'} = m' : m$.

Die Längen der Streifen AS und AS' sind zunächst ganz beliebig. Es empfiehlt sich indessen, dieselben nicht zu klein zu machen, damit selbst bei der grössten Entfernung von S und S' der Winkel SAS' noch lange nicht den Wert 180° und damit der ganze Mechanismus einen toten Punkt erreicht hat.

Durch wiederholte Anwendung dieses Mechanismus kann man auch den Gesamtschwerpunkt von mehr als zwei Körpern erhalten.

Der menschliche Körper ist nun aus einer Anzahl durch Gelenke verbundener Teile zusammengesetzt, deren jeder mit grosser Annäherung eine feste Schwerpunktslage besitzt. Sieht man von der Beweglichkeit des Rumpfes, der Fussglieder und Handglieder ab, so zerfällt der Körper in folgende Teile: Kopf, Rumpf, 2 Oberarme, 2 Unterarme, 2 Hände, 2 Oberschenkel, 2 Unterschenkel und 2 Füsse. Für diese 14 Körperabschnitte ist früher von uns die Grösse der Masse und die Lage des Schwerpunktes*) bestimmt worden, indem man den Körper durch Gefrierenlassen in eine starre Masse verwandelten, welche wie Holz ein Zersägen in die einzelnen Teile gestattete. Aus den Messungen an verschiedenen Cadavern hat sich ergeben, dass die Lage des Schwerpunktes in einem jeden Gliederabschnitt nur sehr geringen individuellen Schwankungen unterworfen ist.

Verschafft man sich nun ein Modell eines menschlichen Körpers aus Metall oder dickem Carton, das der Projection desselben auf seine

*) W. Braune und O. Fischer, *Über den Schwerpunkt des menschlichen Körpers mit Rücksicht auf die Ausrüstung des deutschen Infanteristen*. Abhandlungen der Kgl. Sächs. Gesellsch. d. Wissenschaften 1889.

Symmetrieebene entspricht, und an welchem die genannten 14 Teile durch Gelenke verbunden sind, und trägt man in die einzelnen Abschnitte die Lage der Projectionen der Einzelschwerpunkte ein, so kann man bei wiederholter Anwendung des obigen Mechanismus die Projectionen der Einzelschwerpunkte zu der vom Gesamtschwerpunkte des ganzen Körpers zusammensetzen. Man hat zu dem Zwecke nur bei irgend einem System zweier benachbarter Glieder, z. B. Unterschenkel und Fuss, anzufangen, und in den Einzelschwerpunkten S und S' die Punkte S und S' des den Massen beider angepassten Mechanismus (Fig. 1) drehbar anzubringen. Dann wird für jede Bengestellung der beiden Glieder der Punkt S_0 die Lage des Gesamtschwerpunktes vom Unterschenkel und Fuss angeben. Dieses System verbindet man durch einen zweiten solchen Mechanismus mit dem Oberschenkel so, dass der Punkt S dieses neuen Mechanismus in den Einzelschwerpunkt des Oberschenkels und der Punkt S' in den Gesamtschwerpunkt S_0 von Unterschenkel + Fuss fällt. Der Punkt S_0 dieses zweiten Mechanismus, für welchen als Massen die des Oberschenkels einerseits und die vom System Unterschenkel + Fuss andererseits benutzt werden müssen, gibt dann für jede Stellung der drei Glieder des Beins zu einander den Gesamtschwerpunkt des ganzen Beins an. Auf dieselbe Weise verschafft man sich den Gesamtschwerpunkt des anderen Beins und kann dann aus beiden den Gesamtschwerpunkt beider Beine erhalten. Entsprechend lässt sich der Gesamtschwerpunkt beider Arme und ebenso der Gesamtschwerpunkt des Systems Rumpf + Kopf auf mechanischem Wege erhalten. Diese beiden letzteren lassen sich dann weiter zu dem Schwerpunkt des Körpers ohne die beiden Beine, und dieser endlich mit dem Gesamtschwerpunkte der beiden Beine zu dem Gesamtschwerpunkte des ganzen Körpers zusammensetzen.

Der fertige Mechanismus gibt dann für jede beliebige Haltung des menschlichen Körpers nicht nur die Lage des Gesamtschwerpunktes, sondern auch die Lagen der Schwerpunkte der einzelnen Glieder und Gliedersysteme an und kann auch dazu benutzt werden, für irgend welche Bewegungen des Körpers die Curven aufzuzeichnen, welche die Schwerpunkte beschreiben.

Dieser Mechanismus liefert zunächst nur die Projection des Gesamtschwerpunktes auf die Symmetrieebene des Körpers (in halber Lebensgrösse ausgeführt). Um auch die Projection desselben auf die durch die Längsaxe des Körpers gehende und zur Symmetrieebene senkrechte Ebene zu erhalten, hätte man auf ähnliche Weise einen zweiten Mechanismus zu construiren, welcher nur Beweglichkeit parallel dieser Ebene zulässt. Beide Mechanismen zusammen würden dann die Lage des Schwerpunktes im Raume ergeben.

(O. Fischer.)

263 **Zwei Mechanismen zur Darstellung der Wirkung eines Muskels von Otto Fischer in Leipzig.**

1) *Mechanismus zur Bestimmung des Drehungsmomentes eines Muskels.*

Das Drehungsmoment D eines Muskels vom Querschnitt q , welcher mit der Kraft p für die Querschnittseinheit zwischen den Punkten U und A (Fig. 2) zweier Glieder wirkt, die durch ein Gelenk G verbunden sind, hat bekanntlich die Grösse

$$D = q \cdot p \cdot \overline{GU} \cdot \sin \hat{AUG} = q \cdot p \cdot \overline{GA} \sin \hat{UAG},$$

wobei eines der beiden Glieder als fest angenommen und ausserdem

vorausgesetzt ist, dass die Richtung von AU senkrecht auf der Gelenkaxe steht. Nun ist $\overline{GU} \sin \hat{AUG} = \overline{GA} \cdot \sin \hat{UAG}$ gleich dem kürzesten Abstand GJ der Linie AU von der Gelenkaxe. Diese Strecke GJ nennt man gewöhnlich den *idealen Hebelarm* der Kraft zum Unterschiede von den beiden *realen Hebelarmen* GU und GA . Führt man diesen

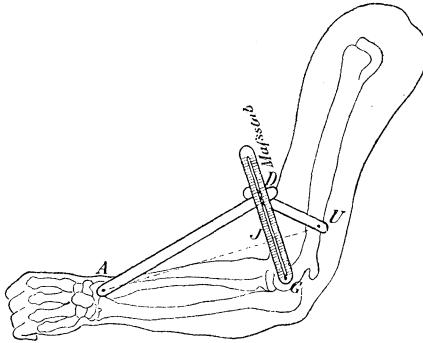


Fig. 2.

idealen Hebelarm, dessen Länge mit i bezeichnet sein soll, in die Formel ein, so wird

$$D = q \cdot p \cdot i.$$

Der ideale Hebelarm kann daher zur Veranschaulichung der Grösse des Drehungsmomentes benutzt werden. Seine Masszahl gibt direct die Masszahl des Drehungsmomentes für die Einheit von Muskelquerschnitt und Muskelkraft.

Für das System Oberarm und Unterarm und den zwischen beiden wirkenden Supinator longus trifft annähernd die Voraussetzung zu, dass die Gelenkaxe fest und senkrecht zu der Verbindungslinie der Ansatzpunkte des Muskels gerichtet ist. Man kann sich in diesem Falle durch einen sehr einfachen Mechanismus die Grösse des idealen Hebelarms verschaffen.

Figur 2 stellt ein Modell des Armes aus Metall oder starkem Carton dar, welches im Ellbogengelenk G beweglich ist. Bringt man in den Insertionspunkten U und A des Muskels je einen Cartonstreifen beweglich an und verbindet beide in der Weise im Punkte D wieder durch ein Charniergelenk, dass $UD = UG$ und $AD = AG$ ist, so liefert wie man leicht sieht, die Strecke GD für jede beliebige Beugstellung die doppelte Länge des idealen Hebelarms. Um diese Länge bequem ablesen zu können, braucht man nur noch im Punkte G einen Masstab

drehbar anzubringen, welcher in der Mitte einen Schlitz enthält, in dem die Axe D auf- und abgleiten kann. Nimmt man die Längeneinheit für den Masstab doppelt so gross als die Längeneinheit für die übrigen Teile des Modells und verlegt den Nullpunkt des Masstabes nach dem Punkte G, so wird die bei D abzulesende Masszahl direct die Länge des idealen Hebelarms angeben. Da das Modell in halber Lebensgrösse ausgeführt worden ist, so ergibt die Länge GD direct die wahre Länge des idealen Hebelarms und somit die Grösse des Dehnungsmomentes für die Einheit von Muskelquerschnitt und Muskelkraft. Der Querschnitt des Supinator longus beträgt nun ca. 3 qcm. Will man daher die Grösse des Dehnungsmomentes für den wahren Querschnitt und die Einheit der Muskelkraft erhalten, so hat man nur die Längeneinheit des Masstabes auf den dritten Teil herabzusetzen, damit sich die Masszahlen verdreifachen. Der erste Fall findet sich an der oberen Seite, der letzte an der unteren Seite des Schlitzes im Masstab realisirt.

Man erkennt unter Anderem an dem Modell, dass das Drehungsmoment ein Maximum hat, wenn $AU \perp GU$.

2) *Mechanismus für die Zerlegung der Kraft eines Muskels in die drehende und die nach dem Gelenk gerichtete Componente.*

Die drehende Wirkung eines Muskels wird ausschliesslich durch die Componente der Muskelkraft ausgeübt, welche auf der Richtung des realen Hebelarms GA resp. GU (Fig. 2) senkrecht steht. Der Hebelarm GA kommt in Betracht, wenn der Oberarm, der Hebelarm GU dagegen, wenn der Unterarm als fest angenommen wird. Wenn auch in beiden Fällen die drehende Componente der Muskelkraft verschieden gross ist, so ist doch das Drehungsmoment dasselbe, gleichgiltig ob der Oberarm oder der Unterarm als fest angenommen wird.

Anders verhält es sich mit der Wirkung des Muskels auf das Gelenk.

Die andere Componente der Muskelkraft besitzt die Richtung des Hebelarms AG bei feststehendem Oberarm und die des Hebelarms UG bei feststehendem Unterarm. Diese Componente ist für beide Fälle im Allgemeinen von verschiedener Grösse und verändert sich, ebenso wie die Drehcomponente, mit dem Grade der Beugung im Ellbogengelenk. Je grösser die drehende Componente, um so kleiner wird dieselbe und umgekehrt.

Man kann sich ebenfalls mit Hilfe eines Mechanismus für jede Beugstellung des Arms die Grössen der beiden Componenten sowohl bei feststehendem Oberarm als bei feststehendem Unterarm verschaffen. Ist der Oberarm fest, so hat die drehende Componente der Muskelkraft den Wert $p \sin \hat{G}\hat{A}\hat{U}$, die nach dem Gelenk gerichtete den Wert $p \cos \hat{G}\hat{A}\hat{U}$; ist dagegen der Unterarm fest, so sind diese Componenten $p \sin \hat{G}\hat{U}\hat{A}$ und $p \cos \hat{G}\hat{U}\hat{A}$. Die beiden Componenten sind in jedem

Fälle die Katheten eines rechtwinkligen Dreiecks, dessen Hypotenuse p und dessen einer Winkel $\hat{G}\hat{A}U$ resp. $\hat{G}\hat{U}A$ ist. Ist in den Dreiecken p durch eine Länge von 100 mm dargestellt, so drücken die Masszahlen der beiden Katheten direct die Grösse der beiden Componenten in Procenten der Muskelkraft aus. Die beiden Dreiecke kann man nun für jede Beugstellung auf folgende Weise erhalten.

Figur 3 stelle wieder das im Ellbogengelenk bewegliche Modell eines Armes und U und A die Insertionspunkte des Supinator longus dar. CGD ist ein Cartonstreifen von über 200 mm Länge, welcher bei G um

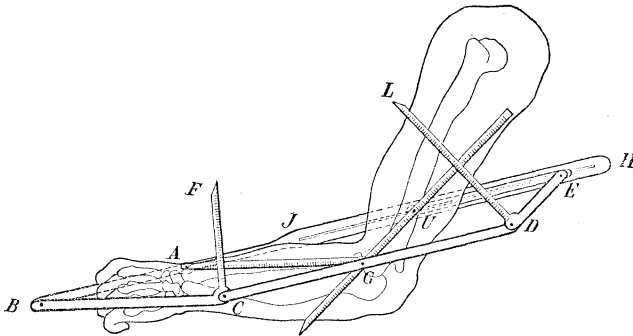


Fig. 3.

die Gelenkaxe drehbar und bei C und D mit anderen Teilen eingelenkt ist. C , G und D liegen in gerader Linie und G genau in der Mitte von C und D , und zwar so, dass $\overline{CG} = \overline{GD} = 100$ mm.

$BAJH$ ist ein langer Cartonstreifen unterhalb des Modells, welcher von der Stelle J an bis zum Ende H einen Schlitz trägt, in welchem eine Charnieraxe bei U geführt wird. Dieser Cartonstreifen ist in den Punkten A und B mit dem Vorderarm einerseits und einem anderen Cartonstreifen BC andererseits beweglich verbunden, und zwar ist $\overline{AB} = \overline{GC} = 100$ mm und $\overline{BC} = \overline{AG}$, d. h. gleich der Entfernung des Muskelansatzpunktes vom Gelenk. Der Streifen BC enthält bei C noch einen Fortsatz CF , welcher auf der rechten Seite in der Figur eine genaue geradlinige Kante besitzt, deren Richtung durch den Drehpunkt C geht und auf der Richtung von BC senkrecht steht. Ein ganz entsprechender Teil ist bei D eingelenkt, wobei $\overline{ED} = \overline{UG}$, während die untere Kante des rechtwinkligen Fortsatzes DL nach dem Drehpunkt D gerichtet ist und auf DE senkrecht steht. Endlich ist zwischen E und U noch ein Cartonstreifen eingelenkt, für den $\overline{UE} = \overline{GD} = 100$ mm. Dieser Streifen UE könnte indes auch fortfallen und dafür der Punkt E durch einen Stift in den Schlitz des Streifens $BAJH$ gezwungen werden; dies empfiehlt sich aber nicht, weil sonst bei dem geringsten Spielraum des Stiftes E im Schlitz die Entfernung UE ungleich GD werden

würde; dagegen kann man aber die Axe in E gleichzeitig mit durch den Schlitz hindurchstecken, denn E wird immer von selbst in die Verlängerung von AU fallen.

Da BAJH durch A und U geht, so gibt die Mittellinie dieses Streifens die Richtung des Muskelzuges an. Da ferner $\overline{AG} = \overline{BC}$ und $\overline{AB} = \overline{GC}$, so ist GC und damit der ganze Streifen CGD stets parallel AU. Da ferner $\overline{UG} = \overline{ED}$ und $\overline{UE} = \overline{GD}$, so ist UE stets parallel GD und fällt demnach in der That von selbst in die Richtung des Schlitzes HJ. Da endlich $CF \perp CB$ und $DL \perp DE$, so ist auch $CF \perp GA$ und $DL \perp GU$ resp. deren Verlängerung, wobei GA und GU zwei auf dem Unterarm resp. Oberarm aufgezeichnete und mit Einteilung versehene Gerade (nicht Cartonstreifen) bedeuten. Es wird also durch die Kante von CF, die Verbindungslinie GA und die Strecke GC einerseits und durch die Kante von DL, die Verbindungslinie GU (resp. deren Verlängerung) und die Strecke GD andererseits für jede beliebige Beugstellung je ein rechtwinkliges Dreieck festgelegt, und zwar ist in dem ersten Dreieck $\sphericalangle AGC = \sphericalangle GAU$ und in dem anderen Dreieck $\sphericalangle UGD = \sphericalangle GUA$. Ist demnach sowohl \overline{GC} als auch \overline{GD} Repräsentant der Muskelkraft, so schneidet die Linie GA auf der Kante CF den Repräsentanten für die drehende Componente und umgekehrt die Kante CF auf der Linie GA den Repräsentanten für die nach dem Gelenk gerichtete Componente der Muskelkraft bei *feststehendem Oberarm* aus; entsprechend schneidet GU auf der Kante DL den Repräsentanten der drehenden und umgekehrt die Kante DL auf GU den für die nach dem Gelenk gerichtete Componente bei *feststehendem Unterarm* ab. Bringt man auf den Linien GA, CF, GU und DL Einteilung in Millimeter an, so geben, da $CG = GD = 100$ mm ist, die Masszahlen der Abschnitte auf diesen vier Linien direct die Grössen der betreffenden Kraftcomponenten in Procenten der Muskelkraft an. Die Abschnitte auf CF und DL sind gleichzeitig ein Mass für das Drehungsmoment des Muskels; man erhält das letztere in Procenten der Muskelkraft, wenn man entweder die Masszahl des Abschnittes von CF mit der Masszahl der Strecke \overline{GA} (nicht des Abschnittes auf GA) oder die Masszahl des Abschnittes von DL mit der Masszahl der Strecke \overline{GU} multiplicirt.

Wenn $\overline{GA} > \overline{GU}$, was für den Supinator longus zutrifft, so erkennt man leicht, und kann es am Mechanismus bestätigt finden, dass der Abschnitt auf GA immer die Richtung GA selbst besitzt, d. h. dass die Componente, welche bei feststehendem Oberarm nach dem Gelenk gerichtet ist, stets positiv oder, mit anderen Worten, stets im Sinne einer Pressung des Unterarms gegen den festgestellten Oberarm wirkt; diese Pressung erleidet ein Minimum, wenn $AU \perp GU$. Bei feststehendem Unterarm ist dagegen die entsprechende Componente, welche durch den Abschnitt auf GU dargestellt ist, durchaus nicht immer positiv. Sie erhält den Wert 0, wenn $AU \perp GU$ und wird sogar negativ, wenn

man die Beugung im Ellbogengelenk noch weiter fortsetzt, so dass der Winkel AUG stumpf wird; in diesem letzteren Falle findet nicht mehr ein Pressen des Oberarms gegen den festgestellten Unterarm statt, sondern es sucht der Muskel den Oberarm vom Unterarm abziehen.

Entsprechende Mechanismen lassen sich für jeden Beugemuskel des Armes oder irgend eines anderen Gliedersystems construiren.

(O. Fischer.)

264 Mechanismus zur Bestimmung der Trägheitsmomente eines Körperteils für alle Schwerpunktsaxen. Von Otto Fischer in Leipzig.

Bei einer Untersuchung der Trägheitsmomente des menschlichen Körpers und seiner Teile*) hat sich herausgestellt, dass für nahezu alle Körperabschnitte das Centralträgheitsellipsoid ein Rotationsellipsoid ist, dessen Rotationsaxe die grosse Axe der rotirenden Ellipse darstellt und mit der Längsaxe des betreffenden Körperteils zusammenfällt. Demnach besitzt das Trägheitsmoment in Bezug auf die Längsaxe eines

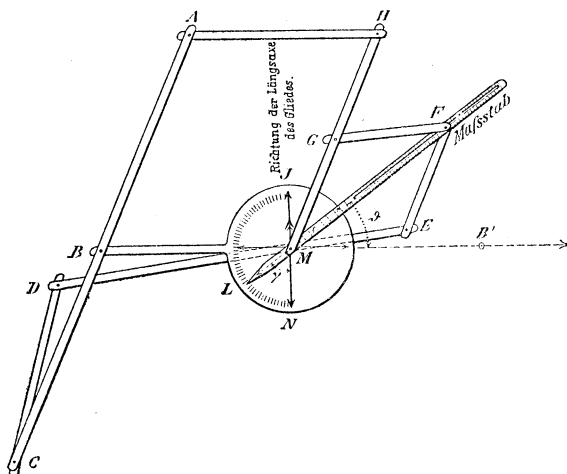


Fig. 4.

Gliedes den kleinsten Wert, während die einander gleichen Trägheitsmomente für alle zur Längsaxe senkrechten Schwerpunktsaxen den grössten Wert annehmen. Ist der Trägheitsradius für diese letzteren Axen a , der für die Längsaxe b , so dass also die Trägheitsmomente für die zur Längsaxe senkrechten Schwerpunktsaxen den Wert ma^2

*) Diese Arbeit ist jetzt im Druck und wird demnächst erscheinen unter dem Titel: W. Braune und O. Fischer, *Bestimmung der Trägheitsmomente des menschlichen Körpers und seiner Glieder*. Abhandlungen der Königl. Sächs. Gesellschaft der Wissenschaften. 1892.

haben, dagegen das für die Längsaxe selbst den Wert mb^2 (m Masse des Gliedes), so ist das Trägheitsmoment mx^2 für irgend eine Axe, welche mit der Längsaxe des Gliedes den Winkel γ bildet

$$mx^2 = ma^2 \sin^2 \gamma + mb^2 \cos^2 \gamma .$$

Es gilt also für den Trägheitsradius x die Relation

$$x^2 = a^2 \sin^2 \gamma + b^2 \cos^2 \gamma = a^2 - c^2 \cos^2 \gamma ,$$

wenn $a^2 - b^2 = c^2$ gesetzt wird.

Die Grösse x kann man sich für irgend eine Neigung der Axe zur Längsaxe des Gliedes mit Hilfe des in Fig. 4 schematisch dargestellten Mechanismus verschaffen. Derselbe besteht aus 9 Streifen aus Metall oder dickem Carton AH, HGM, MB, ABC, CD, DME, EF, FG und LMF, von denen MB mit einem Kreis um den Mittelpunkt M und LMF zum Teil mit einem Schlitz versehen ist. Die Streifen sind in den Punkten A, H, M, B, C, D, E, F und G drehbar verbunden, und zwar treffen an den Axen M und F je drei Cartonstreifen, an allen anderen nur zwei zusammen. Die Streifen HGM, ABC und DME enthalten je drei Drehpunkte, welche genau in gerader Linie liegen, alle ändern nur zwei.

Wenn nun $\overline{AC} = 2a$

$$\overline{AB} = \overline{BC} = \overline{HM} = \overline{DM} = a$$

$$\overline{HG} = \overline{GM} = \overline{ME} = \overline{EF} = \overline{FG} = \frac{a}{2} \text{ und}$$

$\overline{AH} = \overline{BM} = \overline{CD} = c$, also gleich $\sqrt{a^2 - b^2}$ gemacht worden ist, so gibt für jede Stellung des beweglichen Mechanismus die Entfernung \overline{MF} die Grösse des Trägheitsradius x an für diejenige Axe, welche mit der Längsaxe des Gliedes den durch die Richtung von MF und die zu BM senkrechte Richtung JMN bestimmten Winkel (in der Figur \sphericalangle LMN) bildet. Dies ist leicht einzusehen:

Aus der Figur ist ersichtlich, dass BH immer parallel CM bleibt, da beide die Gegenseiten eines Vierecks BHMC bilden, in welchem das andere Paar Gegenseiten BC und HM gleich und parallel ist. Ferner bleibt DB auch stets parallel CM, da die beiden Dreiecke CDM und MBC, welche auf derselben Grundlinie stehen, congruent sind, also dieselbe Höhe besitzen. *Es liegen also D, B und H stets in gerader Linie.*

Da $\overline{MG} = \overline{GF} = \overline{FE} = \overline{ME}$, so ist ferner MF die Halbirende des Aussenwinkels an der Spitze des gleichschenkligen Dreiecks DHM, folglich ist MF parallel der Grundlinie DH dieses Dreiecks und daher auch parallel CM. *Es liegen also auch C, M und F stets in einer geraden Linie, welche der Geraden DBH parallel läuft.*

Der Abstand dieser beiden Parallelen ist $\overline{BM} \cdot \sin \widehat{BML}$ oder, da $\overline{BM} = c$ und BML das Complement zu dem Winkel γ , welchen die Richtung von MF mit der Richtung der zu BM senkrechten Geraden JMN bildet, $c \cdot \cos \gamma$. Man hat nun ferner in HGF ein gleichschenkel-

liges Dreieck, in welchem die Halbirende des Winkels \widehat{HGF} stets parallel \overline{MF} läuft, da \overline{MF} selbst Halbirende des zu \widehat{HGF} correspondirenden Winkels \widehat{GME} ist. Daher steht die Grundlinie \overline{HF} dieses Dreiecks stets senkrecht auf \overline{MF} und stellt direct den Abstand der beiden Parallelen \overline{DH} und \overline{CF} dar; es ist infolge dessen $\overline{HF} = c \cdot \cos \gamma$. In dem rechtwinkligen Dreieck \overline{MFH} besitzt aber ausserdem die Hypotenuse \overline{MH} die constante Länge a , folglich besteht für die Kathete \overline{MF} die Relation

$$\overline{MF}^2 = a^2 - c^2 \cos^2 \gamma.$$

Es gibt also \overline{MF} in der That die Grösse des Trägheitsradius x an.

Bringt man einen in M drehbaren Masstab an, welcher einen Schlitz zur Führung der Axe F besitzt, so kann man an ihm die Länge von x für jede beliebige Grösse des Winkels γ ablesen, wobei dieser Winkel γ durch einen die Gerade \overline{FM} über M hinaus verlängernden Pfeil und einen mit \overline{BM} fest verbundenen Transporteur mit dem Mittelpunkt M eingestellt wird.

Der ausgeführte Mechanismus liefert die Trägheitsradien für die Schwerpunktsaxen des Oberschenkels; für diesen hatte sich ergeben

$$a = 11,22 \text{ cm und } b = 4,555 \text{ cm, woraus folgt } c = 10,254 \text{ cm.}$$

Hält man den Cartonstreifen \overline{BM} des Mechanismus fest und setzt den letzteren in Bewegung, so beschreibt der Punkt F eine Curve, deren Gleichung in Bezug auf ein Polarcordinatensystem mit dem Mittelpunkt M , der Axe $\overline{MB'}$ und dem Winkel ϑ

$$r^2 = a^2 - c^2 \sin^2 \vartheta,$$

da ϑ das Complement zu γ ist.

Diese Curve ist aber bekanntlich die Fusspunktcurve der Ellipse mit dem Mittelpunkt M , der grossen Halbaxe a und der linearen Excentricität $c = \sqrt{a^2 - b^2}$, wo b die kleine Halbaxe bedeutet. Der eine Brennpunkt dieser Ellipse ist der festgehaltene Punkt B , der andere B' liegt auf der Verlängerung von \overline{BM} .

Man kann also den beschriebenen Mechanismus gleichzeitig dazu verwenden, die Fusspunktcurve einer bestimmten Ellipse zu zeichnen. Gibt man sich von vornherein in der Ebene der Zeichnung die Lage des Mittelpunktes M und der beiden Ellipsenbrennpunkte B und B' an, so braucht man nur einmal den Mechanismus so festzulegen, dass B und M mit den in der Zeichenebene markirten Punkten B und M zusammenfallen, ohne dass die Bewegung des Mechanismus gehemmt wird, dann zeichnet der Punkt F die rechte Hälfte der Fusspunktcurve. Darauf dreht man den ganzen Mechanismus um den immer noch fest bleibenden Punkt M um 180° herum bis B mit B' zusammenfällt und bekommt auf diese Weise auch noch die andere Hälfte der Curve.

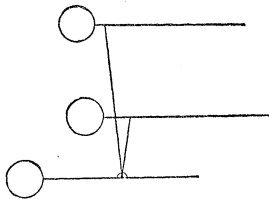
(O. Fischer.)

Zweiter Abschnitt. Mathematische Physik.

**T. Apparate und Modelle zur Veranschaulichung
der Gesetze der Fortpflanzung von Wellen.**

265 Wellenmaschine zur Demonstration der Superposition von Wellen
von Prof. L. Boltzmann, Univ. München, ausgestellt vom **Physikalischen
Institut der Universität Graz.**

Die Wellenmaschine zeigt untereinander drei Reihen von Kugeln. Die Kugeln der obersten Reihe sind rot, die der mittleren gelb, die der untersten weiss bemalt. Jede Kugel ist am Ende eines horizontalen Stabes befestigt, der um den andern Endpunkt A drehbar ist (s. Figur). Der Stab geht durch den verticalen Schlitz eines Messingblechs hindurch, so dass er sich nur in einer verticalen Ebene hin und her bewegen kann. Nahe dem kugel-



tragenden Ende kann unter der obersten und mittleren Reihe der Stäbe je eine Schiene von beliebiger Gestalt hindurchbewegt werden, auf welcher die Stäbe durch ihr Gewicht aufrufen. Dadurch kann in der obersten respective mittelsten Kugelreihe (der der roten resp. gelben Kugeln) in bekannter Weise eine wellenähnliche Bewegung erzeugt werden. Jede weisse Kugel dagegen ist mit der darüberliegenden roten und gelben Kugel so verbunden, dass ihre Bewegung immer die algebraische Summe der Bewegungen

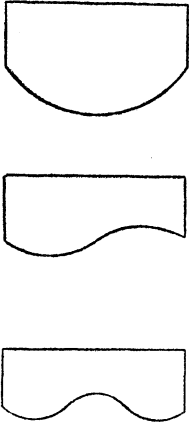
der beiden andern Kugeln ist, so dass also die weisse Kugelreihe jedesmal die Superposition der beiden in der roten und gelben Kugelreihe erregten Wellen zeigt.

Dies ist in der folgenden Weise bewirkt: Die beiden Enden einer Schnur sind an den oberen resp. mittleren Stab nahe dem kugeltragenden Stabende angeknüpft. Der untere Stab dagegen trägt in der Mitte einen Ring, durch welchen die Schnur hindurchgezogen ist (s. Figur). Um nun die Interferenz zweier gleichgerichteter Wellenzüge zu zeigen, können die Schienen fest verbunden werden. — Um die Interferenz entgegengesetzt laufender Wellenzüge (stehende Wellen) zu zeigen, ist an jeder Schiene eine Zahnstange befestigt. Zwischen beide Zahnstangen kann ein Zahnrad eingeschoben werden, dessen Drehung beide im entgegengesetzten Sinne bewegt.

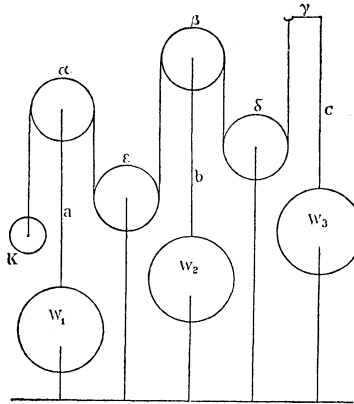
(L. Boltzmann.)

266 Zwei Apparate, um die Obertöne gezupfter Saiten zu zeigen von Prof. L. Boltzmann, München, ausgestellt vom **Physikalischem Institut der Universität Graz.**

1. Apparat. Über 5 parallele, rechteckige Metallplatten laufen in passenden Einschnitten 17 Schnüre, deren eines Ende an der hintersten Metallplatte festgemacht ist, deren anderes Ende je eine Kugel trägt. Alle Kugelcentra stehen ursprünglich in einer horizontalen Geraden. Zwischen je zwei Metallplatten können Metallbleche von den aus der Figur ersichtlichen Formen eingesteckt werden. Dadurch werden die verschiedenen Schnüre zwischen die beiden Metallplatten verschieden tief hinabgezogen und daher die Kugeln so hinaufgezogen, dass ihre Centra in eine Curve zu liegen kommen, welche die Superposition aller jener Curven darstellt, von denen die eingesteckten Metallbleche nach unten begrenzt werden. Stellen letztere Curven die Partialtöne einer in der Mitte, in $\frac{1}{3}$ ihrer Länge etc. gezupften Saite dar, so liegen die Centra der Kugeln in einer Curve, welche die Gestalt der gezupften Saite selbst darstellt.



2. Apparat. Derselbe dient dazu, um nicht bloss die Zerlegung der Gestalt der in der Mitte gezupften Saite im ersten Momente ihrer Be-



wegung, sondern auch während des ganzen Verlaufes der Bewegung zu zeigen. Die nebenstehende Figur stellt bloss jene Bestandteile dar, welche in einer und derselben verticalen Ebene liegen. a, b, c sind 3 Stäbe, die so geführt

sind, dass sie sich bloss vertical auf und ab bewegen können. Ihre unteren Enden ruhen durch das eigene Gewicht auf 3 Walzen, W_1 , W_2 , W_3 , während die beiden ersten Stäbe oben je eine Rolle α und β , der dritte dagegen einen Haken γ trägt. Am Haken ist eine Schnur befestigt, die zuerst über die fixe Rolle δ , dann über die bewegliche β dann wieder über eine fixe Rolle ϵ , dann über die bewegliche Rolle α läuft und am Ende eine Kugel x trägt. Wir denken uns nun 17 in dieser Weise eingerichtete Rollensysteme mit 17 Kugeln x neben einander aufgestellt. Die Walze W_1 ist für alle 17 Stäbe a ein und dieselbe und von solcher Gestalt, dass bei ihrer Umdrehung die 17 Stäbe a dieselbe Bewegung machen, wie die Teilchen einer stehenden einfachen Sinuswelle. Diese ist an den 17 Rollen α sichtbar. In gleicher Weise kann durch Umdrehung der Walze W_2 eine einfache Sinusschwingung der Stäbe b , durch Umdrehung der Walze W_3 eine solche der Stäbe c erzeugt werden. Während jedoch auf alle 17 Stäbe a nur eine halbe Welle entfällt, so entfallen auf die 17 Stäbe b $3/2$, auf die 17 Stäbe c $5/2$ Wellen. Die Rollen β zeigen also eine Wellenbewegung von 3mal kleinerer, die Haken γ eine Wellenbewegung von 5mal kleinerer Wellenlänge als die Rollen α . Ferner sind die 3 Walzen so durch Zahnräder verbunden, dass auf eine Umdrehung der ersten 3 Umdrehungen der zweiten und 5 Umdrehungen der dritten Walze kommen. Endlich sind noch die Amplituden der drei Wellengattungen so gewählt, dass sie denen der drei ersten Partialtöne einer in der Mitte gezupften Saite entsprechen. Die letzte Amplitude ist natürlich verdoppelt. Die Kugeln x machen dann annähernd die Bewegungen der Teilchen der Saite selbst.

(L. Boltzmann.)

267 Zwölf Photographien zur Darstellung der von einer abgeschossenen Flintenkugel erzeugten Wellenbewegung von C. V. Boys, Royal college of science. **South Kensington Museum.**

Beschreibung der Photographien.

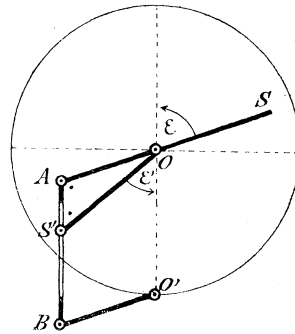
- No. 10. Schema der von Boys beim Photographiren der Kugeln etc. benutzten elektrischen Schaltungen.
 „ 11. Allgemeine Ansicht des Laboratoriums und der Aufstellung der Apparate.
 „ 13. Photographie der Martini-Henry-Kugel.
 „ 14. Photographie der Magazine-rifle-Kugel.
 „ 18. Dieselbe in einer Kohlensäure- und Ätherdampfatmosphäre.
 „ 20. Photographie, welche zeigt, dass bei nahezu streifender Incidenz die Wellen nicht reflectirt werden, sondern sich mit verstärkter Intensität vorwärts bewegen. Es ist dies das gleiche Phänomen wie bei der „Flüstergalerie“, welches auch bei der Ablenkung von Kugeln eine Rolle spielt, die ganz nahe an einer Wand vorbeigehen.

- No. 22. Photographie, welche die Verschiedenheit im Verhalten von Wellen bei Reflexion unter verschiedenen Einfallswinkeln zeigt. Bei aa ist vollkommene Reflexion, bei bb gar keine Reflexion, sondern bloss Beugung der Wellenfläche nach vorn; cc zeigt den Übergang vom ersten zum zweiten Falle. Die Beugung der Wellenfläche bei dd ist eine interessante Veranschaulichung des Huygens'schen Princip's der Wellenfortpflanzung.
- „ 27. Photographie eines Schusses aus einer Vogelflinte.
- „ 29. Photographie einer Kugel, die einen Carton und dann eine Glasplatte durchbohrt.
- „ 30. } Dasselbe in späteren Stadien; zuletzt in etwa 15" Abstand von
- „ 31. } der Platte.
- „ 32. }

268 Beschreibung des Chronographen von Bashforth, in verschiedenen Werken und Abhandlungen von Rev. F. Basforth, London.

Der Chronograph dient speciell zur Bestimmung des Luftwiderstandes bei Geschossen. Beigegeben sind Ballistische Tafeln, im Gebrauch der britischen Armee.

269 Bewegliches Modell der Reusch'schen Lichtbrechungsconstruction, nach Angabe von Prof. Weinhold in Chemnitz, ausgeführt und ausgestellt von Mechaniker G. Lorenz, Chemnitz.



Ist $OO'AB$ ein Gelenkparallelogramm, dessen Seite OO' auf einer Metallscheibe festgehalten wird und dessen Seite AB einen Schlitz trägt, in welchen der freie Endpunkt S' eines um den Punkt O drehbaren Stäbchens OS' einspielt, dann ergibt sich aus dem veränderlichen Dreieck OAS' , wenn $OA = a$, $OS' = a'$, dass $\frac{\sin \varepsilon'}{\sin \varepsilon} = \frac{a'}{a}$ ist, also während der Bewegung constant bleibt. Da nun ε und ε' die Winkel von OA und OS' gegen die festgehaltene Parallelogrammseite OO' sind, so können OA und OS' als Richtungen von einfallendem und gebrochenem Strahl ge-

deutet werden, wenn OO' das Einfallslot und eine auf der Metallscheibe markirte zu OO' senkrechte Linie die Grenze der zwei Medien mit dem zugehörigen Brechungsindex $\frac{a}{a'}$ repräsentirt.

(Kleiber.)

270 Zwei Modelle zur Erläuterung der Lichtbrechung, nach Angabe von Prof. **O. E. Meyer**, Univ. Breslau, gefertigt und ausgestellt von **J. Kleinert**, Mechanicus in Breslau.

1. Modell zur Erläuterung des Gesetzes für die Brechung ebener Lichtwellen. Es stelle in Fig. 1 die Linie FAC die Grenze zweier durchsichtiger Medien dar, deren Brechungsverhältnis $n = 1,5$ angenommen ist. AB bezeichne die Lage der einfallenden Wellenebene, also BAC den Einfallswinkel. Die Lage der gebrochenen Welle kann man auf folgende Weise zeichnen. Man wählt die Lage von F und C neben A so, dass, wenn $FA = b$ gesetzt wird, $FC = n^2 b$ ist; man zieht mit dem Halbmesser nb einen Kreisbogen um F ; dann verlängert man AB über A hinaus bis zum Durchschnitt mit dem Kreise und zieht vom Durchschnittspunkte E die gerade Linie EDC nach dem Punkte C . Dann gibt DC die Lage der gebrochenen Wellenebene, welche aus der einfallenden AB entsteht, der Huygens'schen Construction entsprechend an, d. h. so, dass die von A auf EC und von C auf AB gefälltten Lote AD und BC im Verhältnisse der Fortpflanzungsgeschwindigkeiten, also von $1 : n$ stehen.

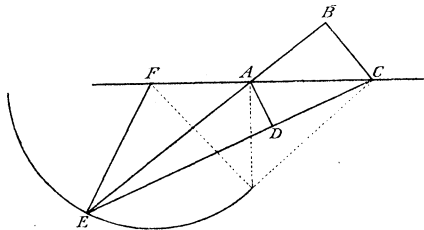


Fig. 1.

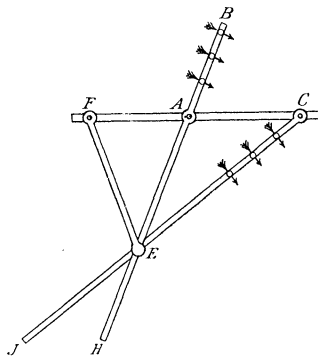


Fig. 2.

Der Beweis folgt aus der Annahme, dass $FA : FE = FE : FC = 1 : n$ ist; daher sind die Dreiecke EFA und CFE einander symmetrisch ähnlich, folglich $EA : EC = FA : FE = 1 : n$, also endlich auch $AD : BC = 1 : n$.

Hiernach ist das in Fig. 2 gezeichnete Modell so eingerichtet, dass an einer horizontalen Stange FAC drei andere drehbar angebracht sind

die Stange FE trägt in E einen Schieber, in welchem HAB und CE frei gleiten. Die Pfeile, welche die Richtung der Fortpflanzung andeuten sollen, wird man herumdrehen, wenn der Übergang des Lichtes aus dem stärker brechenden in das schwächer brechende Mittel erklärt werden soll. Die Stellung, bei welcher der Kreuzungspunkt E senkrecht unter A liegt, also AB vertical steht, entspricht dem Beginne der Totalreflexion.

2. *Modell zur Erläuterung des Brechungsgesetzes in Linsen.* Das bekannte Gesetz für Convexlinsen $\frac{1}{a} + \frac{1}{b} = \frac{1}{F}$ lässt sich nach Fig. 3,

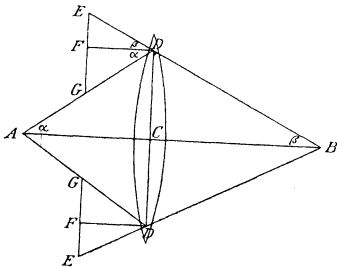


Fig. 3.

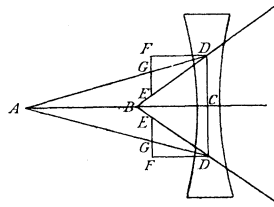


Fig. 4.

in welcher $AC = a$, $CB = b$ sei, in die Form $\tan \alpha + \tan \beta = \text{const.}$ bringen. Wird also bei unveränderter Lage von D der Punkt A verschoben, so bewegt sich B so, dass der Abstand EG constant bleibt.

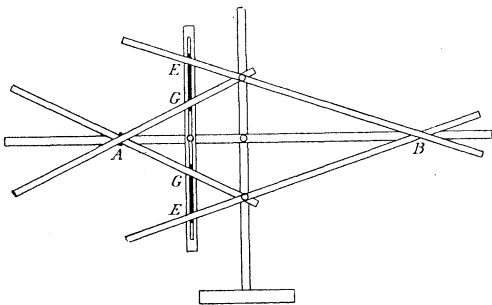


Fig. 5.

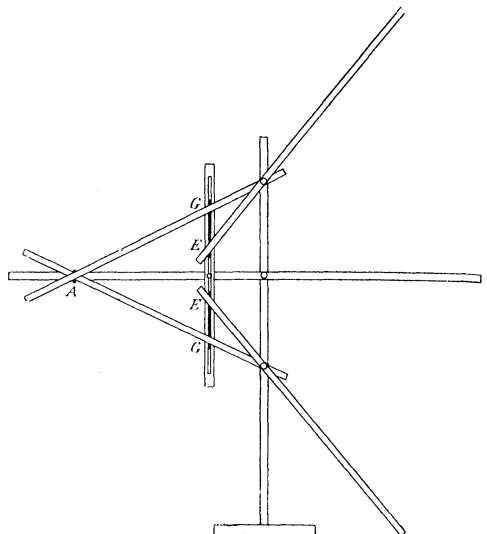


Fig. 6.

Hiernach versteht man leicht die Einrichtung des in Figur 5 gezeichneten Modells; der Punkt A und die Strecken EG sind mit gabelförmigen Schiebern beweglich. Für Concavlinse gilt nach Fig. 4,

$$\operatorname{tang} \alpha - \operatorname{tang} \beta = \text{const.}, \text{ also abermals } EG = \text{const.}$$

Das Modell kann in einer etwas anderen Zusammensetzung, welche durch Fig. 6 erläutert wird, ebenso auch für diesen Fall gebraucht werden.

(O. E. Meyer.)

271 Interferenzfläche der Newton'schen Ringe. Von Prof. Sohncke, München.

Eine planparallele Glasplatte, auf einer Planconvexlinse liegend, gibt im Natriumlicht beim Einfallswinkel $54^{\circ}44'$ dunkle Ringe, deren *erster* und *zwanzigster*, fünffach vergrößert, dargestellt sind. Alle Ringe sind Curven doppelter Krümmung; sie liegen sämtlich auf einer *Regelfläche dritter Ordnung*: „*Der Interferenzfläche*“, und sind die Schnitte dieser Fläche mit coaxialen elliptischen Cylindern, deren Horizontalschnitte concentrische Kreise sind. Die Fläche ist unabhängig vom Krümmungsradius der Convexlinse, dagegen abhängig von der Dicke und dem Brechungsquotienten der planparallelen Platte. Sie besitzt eine endliche Doppellinie. Projicirt man die Ringe durch Parallele zur Axe des Beobachtungsmikroskops auf eine Horizontalebene, so bilden die Projectionen concentrische Kreise.

Die in der centralen Einfallsebene gelegenen Ringdurchmesser liegen alle auf einer geraden Linie: der *Hauptgeraden*, deren Neigung ω gegen die Horizontale allein vom Einfallswinkel ϑ abhängt und durch die Gleichung bestimmt ist:

$$\operatorname{tg} \omega = \frac{\sin \vartheta \cdot \cos \vartheta}{1 + \cos^2 \vartheta}$$

Diese Durchmesser befolgen das Gesetz der Quadratwurzeln der natürlichen Zahlen und haben alle zum Mittelpunkte denjenigen Punkt P, in welchem der Berührungspunkt der Kugel und der planparallelen Platte nach der Brechung durch die Platte zu liegen scheint. Die dem Lichte zugewandten Hälften der Durchmesser erheben sich über die Horizontale, die lichtfernen Hälften senken sich darunter.

Richtet man das Mikroskop auf den Punkt P und verschiebt es vorwärts längs seiner Axe um eine gewisse, von der Dicke der planparallelen Platte abhängige Grösse, zieht dann durch den jetzt scharf gesehenen Punkt Q eine *Quergerade* senkrecht zur centralen Einfallsebene, so trifft diese alle Ringe. Die auf dieser Quergeraden gemessenen Querdurchmesser haben alle denselben Mittelpunkt Q und sind den auf die Horizontale projecirten, in der centralen Einfallsebene liegenden Durchmessern gleich; (hierbei wird durch Parallele zur Mikroskopaxe projecirt.) Die Gerade PQ ist die erwähnte Doppellinie; sie heisse Z_1 .

Wählt man als X-Axe des Coordinatensystems die Hauptgerade und P als Anfangspunkt, ferner die Y-Axe senkrecht zur Einfallsebene, endlich die Z-Axe schief gegen die X-Axe, nämlich in die Doppellinie Z_1 fallend, also der Mikroskopaxe parallel, so heisst die Gleichung der Interferenzfläche:

$$0 = x(x^2 + y^2) \sin \vartheta - 2z(x^2 + y^2 \cos^2 \vartheta) - 2zy^2 \cos^2 \vartheta$$

Vergl. *Sohncke* und *Wangerin*: Neue Untersuchungen über die Newton'schen Ringe: Wiedemanns Annalen 12. 1881. S 1 und 201.

(Sohncke.)

272 Dieselbe Fläche, dargestellt als Regelfläche durch ihre erzeugenden Geraden. Drahtmodell von Prof. **W. Voigt**, Univ. Göttingen.

273 Sphärische und ebene Gläser zur Controle der Genauigkeit der Krümmung. Ausgeführt und ausgestellt von **C. A. Steinheil Söhne**, München.

1. Sphärische Flächen.

Zwei Flächen, welche aufeinander passen, so dass die sie trennende Luftschichte an allen Stellen gleich dick ist, müssen sphärisch sein, wenn diese Eigenschaft bei beliebigem Verschieben der Flächen gegeneinander stets erhalten bleibt.

Ausgestellt sind drei sphärische Flächen, mit circa 60 mm Durchmesser, von denen zwei den gleichen Halbmesser $+$ und $-$ haben und, in jeder Lage gegeneinander, die gleiche Farbe der Newton'schen Farbenringe zeigen. Das dritte ist concav mit etwas grösserem Halbmesser als die beiden anderen, so dass es mit dem convexen combinirt Newton'sche Farbenringe zeigt, welche gegen den Rand hin immer dickeren Luftschichten entsprechen, während sich die Gläser in der Mitte berühren.

Mit den letztgenannten beiden Gläsern lässt sich die Methode zeigen, wie Fraunhofer die Probegläser anzuwenden pflegte, indem das runde Bild der Newton'schen Farbenringe durch Neigen der Gläser gegeneinander über die Fläche bewegt wurde, wobei es rund bleiben muss, wenn die Flächen sphärisch sind. Bei Anwendung des runden Fleckes ist die Probe auf sphärisch gegeben, während die genaue Einhaltung des gleichen Halbmessers viel sicherer controlirt wird, wenn die Gläser über die *ganze* Fläche nur *eine* Farbe zeigen.

2. Planflächen.

Stellt man drei sphärische Flächen mit unendlich grossem Halbmesser (Planflächen) her, so muss jede dieser Flächen auf jede andere gelegt eine parallele Luftschichte einschliessen, welche bei regelmässiger Gestalt gleich bleibt, wenn man die Flächen beliebig gegeneinander verschiebt.

Ausgestellt sind drei Plangläser, deren Genauigkeit sich dadurch kenn-

zeichnet, dass je 2 aufeinander gelegt von den Newton'schen Farbenringen stets nur eine Farbe eines Ringes zeigen.

Ein Mass für die Empfindlichkeit dieser Probe hat man dadurch, dass schon die Erwärmung einer Oberfläche durch die darüber gehaltene Hand genügt, um die Farben bedeutend zu ändern; indem sich durch diese Erwärmung das obere Glas biegt und die Luftschichte zwischen beiden Flächen eine positive Luftlinse bildet, so dass der Abstand der Flächen in der Mitte grösser wird als am Rande, an welchem sie sich berühren.

Von den Gläsern ist nur je eine Fläche genau gearbeitet, die ungenau gelassene ist durch eine stärkere Facette gekennzeichnet.

Die Gläser haben sämtlich einen Durchmesser von ca. 60 mm.

(A. Steinheil.)

274 Neun Wandtafeln für den mathematisch-optischen Unterricht. Zum Gebrauche an der Industrieschule Nürnberg, entworfen von Rector **Füchtbauer.**

Diese Wandtafeln verdanken ihre Entstehung dem rühmlich bekannten Werke: „Darstellende Optik von *F. Engel* und *K. Schellbach*,“ dessen schöne und lehrreiche, aber nur aus nächster Nähe erkennbaren Darstellungen sie zur Erläuterung vor einem grossen Zuhörerkerise verwerten wollten. Sie wurden im Jahre 1882 zunächst für den Unterricht in der Optik an der k. Industrieschule Nürnberg entworfen und von Herrn *Ehrmann*, nunmehr Reallehrer in Kronach, auf straff gespanntem, matt schwarzem Papier mit weissen und farbigen sog. Oelkreidestiften gezeichnet und fixirt.

Die Tafeln umfassen nur einen kleinen Teil der Probleme des bezeichneten Werkes, während sie auch andere für den Unterricht wichtige Aufgaben der Optik behandeln. In den Constructionen weichen sie vielfach wesentlich von den *Schellbach*'sehen ab. Sie tragen auch dem Umstande Rechnung, dass ein durch Spiegelung oder Brechung entstandenes Bild eines leuchtenden Punktes nicht, wie es in jenem Werke angenommen ist, stets in dem Berührungspunkte des mittleren ins Auge gelangenden Strahles mit der Brennlinie des l. Punktes zu suchen ist, sondern vielmehr nach der für einige besondere Fälle neuerlich erwiesenen Annahme der alten Optiker im Schnittpunkte des mittleren, die Brennlinie berührenden, Augenstrahles mit der Axe der Brennlinie.

Der Inhalt der Wandtafeln ist folgender:

Taf. 1. Brennlinie eines sphärischen Spiegels, welchen ein leuchtender Punkt bestrahlt, der zwischen der Spiegelfläche und deren Brennpunkt liegt.

Taf. 2. Abänderung dieser Brennlinie, wenn der leuchtende Punkt einmal im Brennpunkt und dann auf der Oberfläche des Spiegels liegt.

Taf. 3. Brennlinie für den Fall, dass der leuchtende Punkt zwischen dem Brennpunkt und dem Mittelpunkte des Spiegels liegt. — Die Tafel

enthält ausserdem das Bild einer dem Spiegel concentrischen kreisförmigen leuchtenden Linie, wie es von verschiedenen Stellungen des Auges aus erscheint, sowohl für den letzten Fall als für den der Taf. 1.

Taf. 4. Brennlinien des sphärischen Spiegels, wenn der leuchtende Punkt ausserhalb der Kugelfläche und wenn derselbe in unendlicher Ferne liegt. — Bild einer kreisförmig gekrümmten leuchtenden Linie für den ersteren Fall.

Taf. 5. Brennlinien von drei unter Wasser befindlichen, in einer geraden Linie liegenden leuchtenden Punkten, deren Strahlen durch die ebene Wasseroberfläche gebrochen werden. Bild einer leuchtenden Linie, welche jene 3 Punkte enthält, für eine gegebene Stellung des Auges. — Brennlinien und Bilder, wenn die leuchtenden Punkte in der Luft, das Auge aber unter Wasser gedacht wird.

Taf. 6. Farbenzerstreuung durch ein Schwefelkohlenstoffprisma, das von weissen Parallelstrahlen getroffen wird. Erzeugung eines objectiven sog. reinen Spectrums mit Hilfe einer Objectivlinse. — Brennlinien im Hauptschnitte eines solchen Prismas, das ein naher leuchtender Punkt bestrahlt, für 2 von demselben ausgesendete verschiedenfarbige (rote und violette) Strahlenbüschel.

Taf. 7. Construction eines achromatischen Prismas aus Crown- und Flintglas. Der Winkel des Crownglasprismas ist zu 60° angenommen, derjenige des Flintglases dazu construirt. — Vereinfachte Construction, wenn der Winkel des ersteren Prismas ein kleiner ist.

Taf. 8. Farbenzerstreuung in Prismen mit gerader Durchsicht. Es sind für zwei Combinationen, welche aus fünf und aus sieben Crown- und Flintglasprismen bestehen, sowohl die Endflächen (die brechenden Winkel der inneren Prismen zu 90° angenommen) als die Farbenzerstreuungen für 6 und resp. 3 verschiedenfarbige Strahlen construirt.

Taf. 9. Zur Theorie des Regenbogens; zugleich Brennlinie einer brechenden Wasserkugel für parallel auffallende Strahlen. — Die Brennlinien sind für rotes Licht, die in beiden Regenbogen wirksamen Strahlen für rote, grüne und violette Strahlen construirt.

Sämtliche Brennlinien, wie auch die Berührungspunkte einzelner Strahlen mit denselben sind unter Anwendung verschiedener neuerer, zum Teil eigener Methoden mit möglichster Genauigkeit und unter Anwendung der natürlichen Verhältniszahlen construirt, so dass die gefundenen Winkel stets nur um eine geringe Anzahl von Minuten unrichtig sein können.

Die Bilder leuchtender Linien nach der Annahme von *Engel* und *Schellbach* sind punkirt, nach der vorerwähnten, wohl in den meisten Fällen berechtigten Annahme aber ausgezogen.

(Füchtbauer.)

275 Vier Modelle aus Carton über die Helligkeitsflächen von gegossenem Gips bei veränderlichen ausfallenden Lichtstrahlen und bei den Einfallswinkeln von bezw. 0, 30, 60, 82 1/2°. Nach den Beobachtungsergebnissen von Prof. **Chr. Wiener**, techn. Hochsch. Karlsruhe, ausgeführt von dessen Assistenten, dem Studirenden **C. Tesch**, 1892.

Fällt auf ein Flächenelement von gegossenem Gips Licht unter einem bestimmten Einfallswinkel ein, so erscheint dies Element unter verschiedenen Sehrichtungen verschieden hell. Diese Helligkeiten wurden von *Chr. Wiener* im Jahre 1883 gemessen und die Ergebnisse nach dem Gesetze der Stetigkeit ausgeglichen. Trägt man die Helligkeiten auf den wechselnden Sehrichtungen oder ausfallenden Strahlen vom Elemente aus nach einem unveränderlichen Masstabe auf, so bilden die Endpunkte der Strecken die Helligkeitsfläche, welche in den Modellen für die angeführten 4 Einfallswinkel dargestellt ist, und zwar durch Cartonscheiben nach Meridianschnitten, deren Ebenen durch die Flächennormale gehen, und durch Kegel, deren Umdrehungsaxe dieselbe Normale bildet. Nach dem Lambert'schen Gesetze wäre die Helligkeit unabhängig von der Sehrichtung und nur mit dem Cosinus des Einfallswinkels ϵ proportional, so dass man sie $= \cos \epsilon$ setzen könnte. Die Helligkeitsfläche wäre daher nach *Lambert* eine Halbkugel vom Halbmesser $\cos \epsilon$. Auch diese Fläche ist zur Vergleichung in denselben Modellen dargestellt. Beide Oberflächen sind durch weisse und schwarze an den Grenzcurven nach innen angelegte Färbung unterschieden. Die Modelle zeigen,

1) dass die wahre Helligkeitsfläche sich der Lambert'schen bei Ausfallswinkeln α von 0 bis 60° ziemlich gut anschliesst;

2) dass für $\alpha > 60^\circ$ die wahre Helligkeit kleiner als die Lambert'sche ist, und bei $\alpha = 90^\circ$ etwa $= 0,6$ derselben wird;

3) dass die Helligkeit bei grösseren Einfallswinkeln grösser auf derjenigen Seite der Flächennormale wird, welche dem einfallenden Strahle gegenüberliegt, als auf derselben Seite;

4) dass bei Einfallswinkeln ϵ , welche grösser als 45° sind, eine Spiegelung eintritt, welche mit wachsendem Einfallswinkel steigt. Bei $\epsilon = 75^\circ$ ist eine deutliche Spiegelung oder ein Glanz bemerkbar, welcher die grösste Stärke von 2,2 bei $\alpha = 79^\circ$ erreicht. Bei $\epsilon = 82\frac{1}{2}^\circ$ ist die Helligkeit am stärksten und $= 5,2$ bei $\alpha = 85^\circ$; bei $\epsilon = 86\frac{1}{4}^\circ$ ist sie am grössten und $= 14,4$ bei $\alpha = 88^\circ$; also stets bei Ausfallswinkeln, die etwas grösser als die Einfallswinkel sind.

Diese Ergebnisse sind eingehend dargestellt in einer Abhandlung von *Chr. Wiener* „Über die Zerstreuung des Lichtes durch matte Oberflächen“, enthalten in der Festschrift der technischen Hochschule zu Karlsruhe zum 40jährigen Regierungsjubiläum Sr. Königl. Hoheit des Grossherzogs Friedrich von Baden, 1892.

(Chr. Wiener.)

U. Modelle zur Erläuterung der Krystallstructur.

276 Glas-Krystall-Modelle, nach den Angaben von Director **Schnabel**, Oberlehrer **Kysäus**, Oberlehrer **Engstfeld** u. a., angefertigt und ausgestellt von **F. Thomas** in Siegen.

Die Modelle veranschaulichen: *A. Vollflächner*; *B. Halbflächner* und *Viertelflächner*; bei diesen sind die Flächen der aus feinem Carton oder Glas gefertigten holoedrischen Form mit den gläsernen der hemiedrischen oder tetartoedrischen Form überlegt, so dass die Entstehung der letzteren Formen aus den holoedrischen anschaulich verfolgt werden kann; *C. Combinationen*; der aus Carton oder Glas angefertigte Krystall ist auf der Combinationsfläche mit Glastafeln bedeckt, die bis zur Vervollständigung des abändernden Krystalls erweitert werden; *D. Zwillingkrystalle*; aus Glas, mit den Axen, wo es nötig scheint, bei den Hemitropieen zum Drehen eingerichtet.

Die sehr sorgfältig construirten Krystallmodelle sind 5 bis 8 Zoll gross, so dass sie von einem zahlreichen Auditorium bequem in ihren einzelnen Beziehungen betrachtet werden können, enthalten im Innern die Axen und Hilfslinien in Gestalt verschieden gefärbter Seidenfäden, die etwa nötigen Körper in Gestalt leichter, gefärbter Pappe. Die Kanten sind mit feinen Leisten von buntfarbigem Papier eingefasst, die Farben entsprechen der Symmetrie der Kanten. Die Nummern der Verzeichnisse, die wir nachstehend für die ausgestellten Krystalle wiedergeben, sind mit roter Ölfarbe auf eine der Glasflächen geschrieben.

Bezüglich weiterer Angaben, wie auch bez. der Preise der Modelle sei auf das Preisverzeichnis der Firma Thomas verwiesen.

Ausgestellt sind die folgenden Krystallmodelle:

1. Reguläres (tesserales) System.

A. Vollflächner. (Holoeder.)

1. Oktaeder.
2. Würfel (Hexaeder) mit einliegendem Oktaeder.
3. Rhombendodekaeder (Granatoeder).
4. Trapezoeder (Leuzitoeder) erster Art.
8. Achtundvierzigflächner (Hexakisoktaeder).

B. Halbflächner. (Hemieder.)

9. Tetraeder auf Oktaeder.
12. Pentagondodekaeder auf Pyramidenwürfel.
15. Gebrochenes Pyramidentetraeder auf 48-Flächner.
16. Gebrochenes Pentagondodekaeder auf 48-Flächner.

C. Viertelflächner. (Tetartoeder.)

17. Tetraedrische Pentagondodekaeder, Dyakisdodekaeder.

E. Zwillinge.

Durchkreuzungszwillinge.

- 65. 2 Rhombendodekaeder durchwachsen.
- 66. 2 Tetraeder durchkreuzt.
- 66b. 2 Pentagondodekaeder durchkreuzt.

- 2. Quadratisches (zwei- und einaxiges, tetragonales, pyramidales) System.

A. Vollflächner.

- 67. Spitzes quadratisches Oktaeder.
- 71. Quadratisches Prisma 2. Ordnung mit Oktaeder.

- 3. Hexagonales (drei- und einaxiges, rhomboedrisches) System.

A. Vollflächner.

- 92. Hexagonale Doppel-Pyramide der 1. Ordnung.
- 94. Hexagonales Prisma 1. Ordnung mit Pyramide.
- 96. 12 seitige Doppel-Pyramide.

B. Halbflächner.

- 98. Rhomboeder über 6 seitiger Doppel-Pyramide.
- 100. Grundrhomboeder mit dem 1. spitzen und 1. stumpfen Rhomboeder.
- 104. Scalenoeder über 12 seitiger Doppel-Pyramide.

- 4. Rhombisches (zwei- und einaxiges, orthotypes) System.

A. Vollflächner.

- 119. Rhombisches Oktaeder.
- 120. Gerades rhombisches Prisma mit inliegendem Oktaeder.

B. Halbflächner.

- 122. Rhombisches Tetraeder über rhombischem Oktaeder.

C. Combinationen.

- 124. Combinationen des rhombischen Prismas mit Oktaeder, Endflächen, Doma und Seitenflächen (Olivin-Krystall).

D. Zwillinge.

- 128. Durchkreuzungszwilling von Staurolith.
- 129. Zwilling des rhombischen Arsenikkieses.

- 5. Monoklinisches (klinorhombisches, monoklinoedrisches, zwei- und eingliedriges, hemiorthotypes) System.

- 130. Monoklinisches Oktaeder.
- 131. Schiefes rectang. Prisma mit eingespanntem Oktaeder.

- 6. Triklinisches (klinorhomboidisches, triklinoedrisches, zwei- und eingliedriges, anorthotypes) System.

- 138. Triklinisches Oktaeder.

(Katolog Thomas.)

- 277 Serie von Krystallmodellen**, hergestellt in der Glaswarenfabrik **Steigerwald Neffe** in München, ausgestellt vom **Math. Institut der techn. Hochschule München**.

Die Modelle, aus geschliffenem Glas, stellen die wichtigsten Formen der verschiedenen Krystallsysteme dar.

- 278 Universalmodell der Raumgitter oder parallelepipedischen Punktsysteme, nebst Schlüssel**, nach Angabe von Prof. **L. Sohncke**, techn. Hochschule München.

Das Modell dient zur Erläuterung der *Bravais'schen* Theorie der Krystallstructur. Es gestattet, die 14 verschiedenen Arten von Raumgittern zur Anschauung zu bringen. Weil jedoch der Einfachheit halber bei diesem Exemplar von einer Veränderbarkeit der Kantenlängen abgesehen ist und nur die Winkel veränderbar sind, so fallen nicht alle 14 Arten verschieden aus. Um die Winkel zu verändern, ist jede Ecke mit 2 Scharniergelenken versehen; durch eines derselben ist es möglich, 4 parallele, ursprünglich verticale Kanten gegen die Grundfläche zu neigen; *doch müssen zuvor alle 4 horizontalen Drehaxen untereinander parallel gestellt werden*, was man mittelst des beigegebenen Schlüssels bewerkstelligt.

Genauer beschrieben in „*Carls Repertorium für Experimentalphysik*“ Bd. 12. 1876.

(L. Sohncke.)

- 279 Modelle der 65 regelmässigen unendlichen Punktsysteme zur Erläuterung der Theorie der Krystallstructur**, dargestellt von Professor **L. Sohncke**, techn. Hochschule München.

Ein Punktsystem heisse regelmässig, wenn die von jedem Systempunkt nach allen übrigen Systempunkten gezogenen Linienbündel einander deckbar gleich sind. Die Aufsuchung aller überhaupt möglichen regelmässigen unendlichen Punktsysteme ist in dem beiliegenden Werke: „*Entwicklung einer Theorie der Krystallstructur*“, Leipzig, Teubner, 1879, durchgeführt. Von den dort angegebenen 66 Systemen ist jedoch Nr. 13 — als identisch mit Nr. 9 — zu streichen.

Tabelle der regelmässigen unendlichen Punktsysteme.

I. Systeme ohne Axen. (Triklīne).

1. Axenloses Raumgitter.

II A. Systeme mit zweizähligen Hauptaxen von einer einzigen Richtung (Monoklīne).

2. Zweizähliges Säulensystem.
3. Zweipunktschraubensystem.
4. System der klinorhombischen Säule.

II B. Systeme mit zweizähligen gleichen Hauptaxen von 2 entgegengesetzten Richtungen. (Rhombische).

Gruppe α .

5. System der rechteckigen Säule.
6. Zusammengesetztes rechteckiges Zweipunktschraubensystem.
7. System der Rhombensäule.
8. Rhombenoktaedersystem.

Gruppe β .

9. Zusammengesetztes rhombisches Zweipunktschraubensystem.
10. System des Oblongoktaeders.
11. Rhombisches Gegenschraubensystem.

Gruppe γ .

12. Abwechselndes rechteckiges Zweipunktschraubensystem erster Art.

Gruppe δ .

14. Dsgl. zweiter Art.

III A. Systeme mit dreizähligen Hauptaxen von einer einzigen Richtung. (Rhomboedrische).

- | | | |
|--------------------------------|---|---------------------------|
| 15. Rechtes | } | Dreipunktschraubensystem. |
| 16. Linkes | | |
| 17. Dreiseitiges Säulensystem. | | |
| 18. Rhomboedersystem. | | |

III B. Systeme mit dreizähligen gleichen Hauptaxen von 2 entgegengesetzten Richtungen. (Rhomboedrische).

Gruppe α .

- | | | |
|--|---|---|
| 19. Rechtes | } | zusammengesetztes Dreipunktschraubensystem. |
| 20. Linkes | | |
| 21. Zusammengesetztes dreiseitiges Säulensystem. | | |
| 22. Zusammengesetztes Rhomboedersystem. | | |

Gruppe β .

- | | | |
|--|---|---|
| 23. Rechtes | } | abwechselndes Dreipunktschraubensystem. |
| 24. Linkes | | |
| 25. Abwechselndes dreiseitiges Säulensystem. | | |

IV A. Systeme mit vierzähligen Hauptaxen von einer einzigen Richtung. (Quadratische).

- | | | |
|--|---|---------------------------|
| 26. Rechtes | } | Vierpunktschraubensystem. |
| 27. Linkes | | |
| 28. Vierzähliges Gegenschraubensystem. | | |
| 29. Zweigängiges Vierpunktschraubensystem. | | |
| 30. Quadratsäulensystem. | | |
| 31. Quadratoktaedersystem. | | |

IV B. Systeme mit vierzähligen gleichen Hauptaxen von 2 entgegengesetzten Richtungen. (Quadratische.)

Gruppe α .

- 32. Rechtes } zusammengesetztes Vierpunktschraubensystem.
- 33. Linkes }
- 34. Vierzähliges zusammengesetztes Gegenschraubensystem.
- 35. Zweigängiges zusammengesetztes Vierpunktschraubensystem.
- 36. Zusammengesetztes Quadratsäulensystem.
- 37. Zusammengesetztes Quadratoktaedersystem.

Gruppe β .

- 38. Rechtes } abwechselndes Vierpunktschraubensystem.
- 39. Linkes }
- 40. Abwechselndes zweigängiges Vierpunktschraubensystem.
- 41. Abwechselndes Quadratsäulensystem.

V A. Systeme mit sechszähligen Hauptaxen von einer einzigen Richtung. (Hexagonale.)

- 42. Rechtes } Sechspunktschraubensystem.
- 43. Linkes }
- 44. Rechtes } zweigängiges Sechspunktschraubensystem.
- 45. Linkes }
- 46. Dreigängiges Sechspunktschraubensystem.
- 47. Hexagonalsäulensystem.

V B. Systeme mit sechszähligen gleichen Hauptaxen von 2 entgegengesetzten Richtungen. (Hexagonale.)

- 48. Rechtes } zusammengesetztes Sechspunktschraubensystem.
- 49. Linkes }
- 50. Rechtes } zweigängiges zusammengesetztes Sechspunktschraubensystem.
- 51. Linkes }
- 52. Dreigängiges zusammengesetztes Sechspunktschraubensystem.
- 53. Zusammengesetztes Hexagonalsäulensystem.

VI. Systeme mit dreizähligen Hauptaxen von mehr als 2 Richtungen. (Reguläre.)

- 54. Cubisches
 - 55. Oktaedrisches
 - 56. Rhombendodekaedrisches
 - 57. Reguläres zusammengesetztes Zweipunktschraubensystem.
 - 58. Reguläres abwechselndes Zweipunktschraubensystem.
- } Zwölfpunktersystem,

VII. Systeme mit vierzähligen Hauptaxen von mehr als 2 Richtungen. (Reguläre.)

- 59. Cubisches
 - 60. Oktaedrisches
 - 61. Rhombendodekaedrisches
- } Vierundzwanzigpunktersystem.

62. Reguläres Gegenschraubensystem erster Art.
 63. Reguläres Gegenschraubensystem zweiter Art.
 64. Reguläres zweigängiges Vierpunktschraubensystem.
 65. Rechtes } reguläres Vierpunktschraubensystem.
 66. Linkes }

In den Modellen sind die die Punkte darstellenden Wachspferlen an Stricknadeln befestigt. Nicht jedes einzelne Punktsystem erfordert ein ganz eigenes Modell; sondern wegen der natürlichen Zusammengehörigkeit der Systeme zu engeren Gruppen ist es meistens möglich, die Systeme einer Gruppe an einem und demselben *Hauptmodell* zur Darstellung zu bringen; man hat an diesem nur leichte Veränderungen vorzunehmen, um die verschiedenen Systeme der Gruppe hervorzurufen. Nur bei den Systemen der Abteilungen VI und VII erfordert meist jedes System sein eigenes Modell. *Für die Gesamtheit solcher Systeme, deren Projection auf eine Hauptebene dieselbe Figur giebt, bedarf es immer nur eines Hauptmodells.* Also gibt es für die Systeme, welche nicht den Abteilungen VI und VII angehören, 14 *Hauptmodelle*, entsprechend den 14 Abteilungen I, II A, II B α , β , γ , δ , III A, III B α , β , IV A, IV B α , β , V A, V B. Bei jedem Hauptmodell muss nun dafür gesorgt sein, dass sich die Wachspferlen in verschiedene Höhe über die Projectionsebene stellen lassen. Dazu bedarf es einer *Geradführung* für die perlentragenden Stricknadeln, sowie geeigneter *Untersätze* unterhalb der Projectionsfigur, um die Nadeln in der richtigen Höhe stehend zu erhalten. Zur Erreichung des ersteren Zweckes dienen zwei im Abstände von etwa 2 cm befindliche gleichgrosse parallele Brettchen, die in congruenter Weise mit Löchern (von hinreichender Weite, um die Nadeln leicht durchgehen zu lassen) durchbohrt sind. Die Löcher jedes Brettchens sind angeordnet wie die Punkte der betreffenden Projectionsfigur. Beide Brettchen sind vermittelst zweier, an jeder Seite zwischen ihnen liegender Leisten mit einander verbunden. Bei Horizontalstellung der Brettchen liegt je ein Loch des oberen Brettchens senkrecht über einem Loch des unteren; durch jedes solche Lochpaar ist immer eine Nadel gesteckt. Jede Nadel trägt 2 Perlen, deren Abstand gleich der kleinsten zur Hauptaxe parallelen Deckschiebung λ ist. — Das Brettchenpaar mit den sämtlichen, perlenbesetzten Nadeln bildet ein *Hauptmodell*; es liegt auf 2 Leisten, die innen an zwei Seitenwänden eines vorn und oben offenen Kästchens angebracht sind. — Um nun die Perlen in eine gewisse verlangte Höhe stellen zu können, dient jedesmal ein *Untersatz*, bestehend aus Holzklötzchen, die in passender Grösse und Anordnung auf einem Brett befestigt sind. Um ihn unterstellen zu können, hebt man zunächst — unter Festhaltung des Brettchenpaares — alle Nadeln des Hauptmodells vermittelst eines untergeschobenen glatten Brettchens in die Höhe, setzt darauf den betreffenden *Untersatz* in das Kästchen ein und zieht das untergeschobene glatte Brettchen weg. Dann fallen die einzelnen

Stricknadeln auf die Klötzchen des Untersatzes und die Perlen stehen in den verlangten Höhen. — Für 2 solche Hauptmodelle, welche in gleicher Anordnung n -ecken, resp. $2n$ -ecken tragen, (entsprechend Systemen mit n -zähliger Hauptaxe von *einer* Richtung, resp. mit ineinanderfallenden n -zähligen Hauptaxen von 2 entgegengesetzten Richtungen) hat man natürlich nur eine und dieselbe Reihe von Untersätzen nötig. Hier- von bin ich nur bei dem Hauptmodell der beiden hexagonalen Gruppen V A und V B abgewichen, um die Systeme der letzten Abteilung nicht zu sehr zu überladen.

Die meisten Modelle für die Systeme der Abteilungen VI und VII bestehen aus 3 unter rechten Winkeln zu einer körperlichen Ecke zusammengefügtten Brettchen, jedes mit perlentragenden Nadeln besetzt. So sieht man unmittelbar, wie jedes dieser Systeme aus 3, nach den 3 Dimensionen durcheinander gesteckten Teilsystemen besteht. Das Modell VII. 64 des regulären zweigängigen Vierpunktschraubensystems ist so eingerichtet, dass eines der 3 Teilsysteme leicht aus den 2 anderen, fest verbunden bleibenden, herausgenommen werden kann. — Für die Systeme, welche aus Zwölfpunktern resp. aus Vierundzwanzigpunktern bestehend angesehen werden können, habe ich nur das Modell eines 12-punktlers und eines 24-punktlers hergestellt.

(L. Sohncke.)

- 280 Fünf Modelle von Übergangsformen zwischen einer eubischen und einer hexagonalen (tetraedrischen) Einteilung des Raumes**, von Prof. A. Herschel, Observatory House, Slough, Buck's, England.

V. Modelle zur Veranschaulichung der optischen, elastischen und elektrischen Eigenschaften der Krystalle.

- 281 Modelle für die Wellenflächen optisch ein- bez. zweiachsigter Krystalle.** Hergestellt (1880 und 1885) auf Veranlassung von Prof. A. Brill, Univ. Tübingen, und von Rector Böklen (Reutlingen). Verlag L. Brill, Darmstadt.

Spezialkatalog 158—162 (pag. 13, 21 und 87).

158. *Wellenfläche für optisch einaxige Krystalle mit negativer Doppelbrechung.* Das Axenverhältnis ist ungefähr das des Kalkspathes.

159. *Dasselbe für optisch einaxige Krystalle mit positiver Doppelbrechung.* Das Axenverhältnis entspricht ungefähr dem des Zimnbers.

160. *Fresnel'sche Wellenfläche für optisch zweiachsig Krystalle.*

161. *Ellipsoid hierzu.*



162. *Wellenfläche für optisch zweiachsig Krystalle in einzelnen Octanten.* Dieses Modell und zugehörige Erläuterung von Rector *Böklen* in Reutlingen, die übrigen auf Veranlassung von Prof. *A. Brill* im math. Institut der techn. Hochschule München gefertigt.

282 Modell der Wellengeschwindigkeitsfläche von Rector *Böklen* in Reutlingen. **Math. Seminar der Univ. Tübingen.**

Bezeichnet man die 3 Hauptbrechungscoefficienten eines zweiachsig Krystals mit $\frac{1}{a}$, $\frac{1}{b}$, $\frac{1}{c}$, so ist

$$1) \quad a^2x^2 + b^2y^2 + c^2z^2 = 1$$

die Gleichung des Polarisations-Ellipsoids; errichtet man im Mittelpunkt eines Centralschnitts desselben ein Lot und trägt darauf 2 Strecken $ON = \rho$ und $On = \rho'$ ab gleich den reciproken Werten der Halbaxen des Centralschnitts, so liegen die Punkte *N* und *n* auf der Wellengeschwindigkeitsfläche (oder der Fusspunktfläche der Wellenfläche), deren Gleichung

$$2) \quad \frac{x^2}{\rho^2 - a^2} + \frac{y^2}{\rho^2 - b^2} + \frac{z^2}{\rho^2 - c^2} = 0 \quad \left(\frac{1}{\rho^2} = x^2 + y^2 + z^2 \right) \text{ ist.}$$

Betrachtet man in 2. ρ als constant, so stellt diese Gleichung ein System von confocalen Kegeln vor, deren Focallinien die wahren optischen Axen sind. Sie schneiden sich gegenseitig rechtwinklig; *zwei Paare derselben schneiden aus einem Mantel der Wellengeschwindigkeitsfläche ein Viereck aus, in welchem die Entfernungen von je 2 Gegenecken einander gleich sind.*

Mittelst dieses Satzes lässt sich, wenn das Modell der Fläche durch Schablonen hergestellt ist, jeder Punkt einer solchen Durchschnittcurve als Durchschnitt von zwei, auf dem Modell selbst gezeichneten Kreisbögen angeben, indem man von dem speciellen Viereck ausgeht, welches in den drei Hauptebenen enthalten ist.

Da die Wellengeschwindigkeitsfläche zugleich die *inverse* Fläche einer zweiten Wellenfläche ist, welche von dem *Polarisationsellipsoid* abgeleitet ist, so entsprechen den 4 Kreisen auf dem äusseren Mantel der letzteren 4 Kreise auf dem inneren Mantel der ersten, und den von Mannheim

angegebenen 8 Kreis- (Nabel-) Punkten der letzteren ebenso viele der ersten. (Schlömlich 1879 u. s. f.)

Die Wellengeschwindigkeitsfläche hat auch in der Mechanik eine Bedeutung nach dem von mir (Crelle Bd. 93 und Schlömlich 1883) veröffentlichten Satz: „Alle äusseren Aufhängpunkte für *isochrone* Schwingungen eines Körpers liegen auf oder zwischen den beiden Mänteln einer Fläche J, welche von einer Wellengeschwindigkeitsfläche durch Verlängerung ihrer Radien um die halbe Länge des isochronen einfachen Pendels abgeleitet ist. Alle Axen für isochrone Schwingungen gehen zwischen den beiden Mänteln der Grenzfläche J hindurch.

(O. Böklen.)

283 Krystallographische Axen-Modelle. Nach Angabe von Prof. P. Groth, Univ. München, verfertigt und ausgestellt von **Böhm & Wiedemann**, München.

Die Krystallflächen werden bestimmt durch ihre Parameter auf drei Axen, welche in den verschiedenen Krystallsystemen verschiedene Richtung und Bedeutung haben. Ist eine Axe zugleich Symmetrieaxe, so wird sie durch einen Messingstab dargestellt, — ist sie nur eine beliebige Kante des Krystalls, so wird sie durch einen schwarzen Metallstab repräsentirt. Diese Stäbe sind in Punkten, welche um rationale Teile der ganzen Länge ($\frac{1}{4}$, $\frac{1}{3}$, $\frac{1}{2}$ u. s. f.) von ihrer Mitte abstehen, durchbohrt, und durch diese Bohrungen farbige Fäden gezogen, so dass jede Krystallfläche durch ihre drei Tracen auf den Axenebenen zur Darstellung gebracht werden kann. Die Flächen der Grundform sind durch weisse Fäden bezeichnet, diejenigen der abgeleiteten Formen durch rote, grüne und gelbe.

1. *Triklines Krystallsystem*: drei zu einander schiefwinkelige Axen (beliebige Krystallkanten).

a) Hemiedrisch-triklin (weinsaures Strontium): nur einzelne Flächen mit rationalen Indices.

b) Holoedrisch (Axinit): zu jeder Fläche ist auch die parallele Gegenfläche vorhanden.

2. *Monoklines Krystallsystem* (Feldspath): zwei zu einander schiefwinkelige Axen (beliebige Krystallkanten in der Symmetrieebene), zu beiden senkrecht eine Symmetrieaxe.

3. *Rhombisches Krystallsystem* (Thenardit): drei zu einander rechtwinkelige, ungleichwertige Symmetrieaxen.

4. *Tetragonales Krystallsystem* (Anatas): eine vierzählige Symmetrieaxe (Hauptaxe), zwei zu einander und zu jener senkrechte, gleichwertige, zweizählige Symmetrieaxen (Nebenaxen).

5. *Hexagonales Krystallsystem*.

a) Rhomboedrische Abteilung (Kalkspath): drei zu einander gleich geneigte, gleichwertige Axen (Kanten des Grundrhomboeders); ausserdem ist die dreizählige Symmetrieaxe (Hauptaxe) dargestellt.

b) Hexagonale Abteilung (Beryll): eine sechszählige Symmetrieaxe (Hauptaxe), drei dazu senkrechte, gleichwertige, einander unter 60° schneidende, zweizählige Symmetrieaxen.

6. *Reguläres Krystallsystem*: drei auf einander senkrechte, gleichwertige Axen. Da hier die Zahl der Flächen einer vollständigen Form ihr Maximum erreicht, nämlich 48, so ist von einer solchen, dem Hexakisoktaeder (321) mit den Parametern $1 : \frac{1}{2} : \frac{1}{3}$, nur die in einem Octanten liegende Gruppe von 6 Flächen dargestellt (mit gelben Fäden), während in anderen Octanten die 24-Flächner mit roten resp. grünen Fäden bezeichnet sind.

(P. Groth.)

284 Modell zur Erläuterung der sphärischen Projection eines Krystalls.

Nach Angabe von Prof. P. Groth, Univ. München, gefertigt und ausgestellt von Böhm & Wiedemann, München.

Die Mitte nimmt das Holzmodell eines triklin-hemiedrischen Krystalls (allgemeinster Fall) von rechtsweinsaurom Strontium (s. Axenmodell 1a) ein; durch dessen Centrum gehen Messingstäbe, welche die Normalen zu allen Flächen darstellen, bis an die Oberfläche einer Kugel und bestimmen dort die durch schwarze Scheiben bezeichneten „Pole“ der Krystallflächen. Die Pole aller Flächen, welche am Krystall einander in parallelen Kanten schneiden (eine sogenannte „Zone“ bilden), liegen auf einem grössten Kreise der Kugel. Diese grössten Kreise sind für alle wichtigen Zonen in Messing dargestellt. Dieselben schneiden einander in den Polen derjenigen Flächen, welche mehreren Zonen zugleich angehören und durch zwei derselben bestimmt sind. Der zwischen zwei Polen befindliche Bogen des betreffenden grössten Kreises ist gleich dem Winkel der beiden zugehörigen Krystallflächen. Die drei zwischen den Polen dreier, nicht einer Zone angehöriger, Flächen liegenden Bögen sind die Seiten des bei der Berechnung der Flächen dienenden sphärischen Dreiecks.

Das Modell lässt also alle bei der Berechnung eines Krystalls zu berücksichtigenden Zonenverhältnisse und sphärischen Dreiecke mit einem Blicke übersehen.

(P. Groth.)

285 Modelle zur Krystalloptik. Nach Angabe von Prof. P. Groth, Univ. München, gefertigt und ausgestellt von Böhm & Wiedemann, München.

1. *Wellenfläche eines positiven einaxigen Krystalls*, dargestellt durch Meridiancurven in Messing.

2. *Wellenfläche eines negativen einaxigen Krystalls* in gleicher Darstellung.

3. *Wellenfläche (Strahlenfläche) eines zweiaxigen Krystalls*, dargestellt durch Curven in Messing, welche zu den drei Hauptschnitten symmetrisch und so angeordnet sind, dass sie die Durchdringung der beiden Schalen der Fläche an den Nabelpunkten zeigen.

Die Modelle 4, 5 und 6 sollen die Dispersion der optischen Mittellinien und Axen für verschiedene Farben im triklinen und monoklinen Krystallsystem illustrieren. Für drei Farben sind, entsprechend colorirt, die drei Hauptschwingungsrichtungen, die Durchschnittscurven der Wellenfläche mit den drei Hauptschnitten und die beiden (secundären) optischen Axen und zwar so dargestellt, dass die Radien der Wellenflächen der verschiedenen Farben sich verhalten, wie die Wellenlängen. Es würde daher die Ausbreitung weissen Lichtes vom Mittelpunkte des Modells aus so stattfinden, dass die Strahlen einer jeden Farbe nach Ablauf einer Schwingungsdauer je auf den entsprechend colorirten Curven in den Hauptschnitten angelangt wären.

4. *Dispersion des triklinen Krystallsystems.* Alle drei Hauptschwingungsrichtungen der verschiedenen Farben sind gegeneinander geneigt und die Grösse wie die Richtung dieser Dispersion ist an denselben eine ungleiche. Dem entsprechend liegen die optischen Axen für verschiedene Farben in verschiedenen Ebenen und gegen einander völlig unsymmetrisch orientirt.

5. *Geneigte Dispersion des monoklinen Krystallsystems.* Die Axe der mittleren optischen Elasticität fällt für alle Farben mit der Symmetrieaxe zusammen und ist daher weiss bezeichnet. Die optischen Axen liegen für sämtliche Farben in der dazu senkrechten Symmetrieebene, sind aber hier entgegengesetzt dispergirt, wegen der ungleichen Neigung der Mittellinien zu den Krystallaxen.

6. *Horizontale und gekreuzte Dispersion des monoklinen Krystallsystems.* Es fällt nur die eine der beiden Mittellinien der optischen Axen in die Symmetrieebene, die andere in die Symmetrieaxe (wie bei 5 weiss bezeichnet). Wegen der Dispersion der ersteren sind die Ebenen der optischen Axen für verschiedene Farben zwar sämtlich rechtwinkelig zur Symmetrieebene, aber ungleich gegen die Krystallaxen geneigt; in Folge dessen zeigen die Krystalle horizontale Dispersion der optischen Axen um die in der Symmetrieebene liegenden Mittellinien, gekreuzte Dispersion um die Symmetrieaxe.

(P. Groth.)

Preise der *acht krystallographischen Axenmodelle* (kleines Format auf Holzstativen) zusammen *M.* 95, einzeln je *M.* 12; grosses Format, auf eisernen Stativen *M.* 130, einzeln je *M.* 17.

Modell zur Erläuterung der sphärischen Projection eines Krystalls in kleinem Format *M.* 60, in grossem Format *M.* 80.

Modell der Wellenfläche eines positiven bzw. eines negativen einaxigen Krystalls, kleines Format je *M.* 12.50, grosses Format je *M.* 25.

Wellenfläche eines zweiaxigen Krystalls, kleines Format *M.* 48, grosses Format *M.* 70.

Drei Modelle zur Dispersion, kleines Format je *M.* 45, grosses Format je *M.* 60.

286 Modelle optischer Elasticitätsflächen, entsprechend den 3 Modellen der Wellenflächen (s. o.), in hartem Holze, polirt, zum Auseinandernehmen. Nach Angabe von Prof. **P. Groth**, Univ. München, verfertigt und ausgestellt von Drechslermeister **Jos. Endres**, München, Fürstenstr. 23.

1. *Elasticitätsfläche eines positiven einaxigen Krystals*: Rotationsellipsoid mit schieferm Schnitt.

2. *Die eines negativen Krystals*: ebenso.

3. *Die eines zweiaxigen Krystals*: dreiaxiges Ellipsoid zum Auseinandernehmen a) nach einem Kreisschnitte, b) nach einem schieferm Schnitt, mit Angabe der grossen und kleinen Axe der Schnittellipse.

Preis (inclus. 3 gedrehten Stativen) *M.* 80.

287 Vier Flächenmodelle zur Darstellung der elastischen Dehnungscoefficienten nach Prof. **Voigt**, Director des **mathematisch-physikalischen Instituts der Univ. Göttingen**.

Bezeichnen $X_x, Y_y, Z_z, Y_z, Z_x, X_y$ die in einem elastischen Körper wirkenden Druckcomponenten, $x_x, y_y, z_z, y_z, z_x, x_y$ die sie begleitenden Deformationsgrössen, so ist das elastische Potential der Volumeneinheit F gegeben durch

$$(1) \quad \begin{aligned} 2 F = & c_{11} x_x^2 + 2c_{12} x_x y_y + 2c_{13} x_x z_z + 2c_{14} x_x y_z + \dots \\ & + c_{22} y_y^2 + 2c_{23} y_y z_z \\ & + \dots, \end{aligned}$$

oder

$$(2) \quad \begin{aligned} + 2 F' = & s_{11} X_x^2 + 2s_{12} X_x Y_y + 2s_{13} X_x Z_z + 2s_{14} X_x Y_z + \dots \\ & + s_{22} Y_y^2 + 2s_{23} Y_y Z_z + \dots \\ & + \dots \end{aligned}$$

Die Grössen c_{hk} heissen die *Elasticitätsconstanten*, die s_{hk} die *Elasticitätsmoduln* der Substanz; ihre Anzahl ist im allgemeinen Falle eines triklinen Krystalles 21 und specialisirt sich für diejenigen Krystallgruppen, welche Symmetrieelemente besitzen. Zwischen den Druckkräften und Deformationsgrössen bestehen die Beziehungen

$$(3) \quad \begin{aligned} - X_x &= \frac{dF}{dx_x}, \quad - Y_y = \frac{dF}{dy_y}, \quad \dots \\ - x_x &= \frac{dF'}{dX_x}, \quad - y_y = \frac{dF'}{dY_y}, \quad \dots \end{aligned}$$

Befindet sich ein Stück eines Krystalles nur unter der Wirkung äusserer Druckkräfte, deren Componenten, auf die Flächeneinheit bezogen, X, Y, Z sein mögen, so ist zum Gleichgewicht erforderlich, dass

$$\begin{aligned}
 (4) \quad 0 &= \frac{dX_x}{dx} + \frac{dX_y}{dy} + \frac{dX_z}{dz}, \\
 0 &= \frac{dY_x}{dx} + \frac{dY_y}{dy} + \frac{dY_z}{dz}, \\
 0 &= \frac{dZ_x}{dx} + \frac{dZ_y}{dy} + \frac{dZ_z}{dz},
 \end{aligned}$$

$$\begin{aligned}
 (5) \quad 0 &= \bar{X} + \bar{X}_x \cos(n, x) + \bar{X}_y \cos(n, y) + \bar{X}_z \cos(n, z), \\
 0 &= \bar{Y} + \bar{Y}_x \cos(n, x) + \bar{Y}_y \cos(n, y) + \bar{Y}_z \cos(n, z), \\
 0 &= \bar{Z} + \bar{Z}_x \cos(n, x) + \bar{Z}_y \cos(n, y) + \bar{Z}_z \cos(n, z),
 \end{aligned}$$

worin n die äussere Normale auf dem Oberflächenelement bezeichnet.

Im Falle, dass das krystallinische Stück ein Cylinder von beliebigem Querschnitt ist, dessen Axe durch die Richtungscosinus α, β, γ gegen die Coordinatenachsen bestimmt werden mag, genügt man bei alleiniger Einwirkung einer constanten Druckkraft p gegen die Einheit der Grundflächen diesen Bedingungen, indem man setzt:

$$(6) \quad X_x = p\alpha^2, \quad Y_y = p\beta^2, \quad Z_z = p\gamma^2, \quad Y_z = p\beta\gamma, \quad Z_x = p\gamma\alpha, \quad X_y = p\alpha\beta.$$

Hieraus folgt dann das System der Deformationsgrössen:

$$\begin{aligned}
 (7) \quad -x_x &= p(s_{11}\alpha^2 + s_{12}\beta^2 + s_{13}\gamma^2 + s_{14}\beta\gamma + s_{15}\gamma\alpha + s_{16}\alpha\beta), \\
 -y_y &= p(s_{21}\alpha^2 + s_{22}\beta^2 + s_{23}\gamma^2 + s_{24}\beta\gamma + s_{25}\gamma\alpha + s_{26}\alpha\beta), \\
 &\dots\dots
 \end{aligned}$$

Die lineare Dilatation λ in einer beliebigen, durch α', β', γ' gegebenen Richtung ist allgemein bestimmt durch

$$\lambda = x_x \alpha'^2 + y_y \beta'^2 + z_z \gamma'^2 + 2y_z \beta' \gamma' + 2z_x \gamma' \alpha' + 2x_y \alpha' \beta'$$

und ihre Grösse längs der Cylinderaxe ist im vorliegenden Falle

$$\begin{aligned}
 (8) \quad \lambda &= -p(s_{11}\alpha^4 + 2s_{12}\alpha^2\beta^2 + 2s_{13}\alpha^2\gamma^2 + 2s_{14}\alpha^2\beta\gamma + 2s_{15}\alpha^2\gamma\alpha + 2s_{16}\alpha^2\alpha\beta \\
 &\quad + s_{22}\beta^4 + 2s_{23}\beta^2\gamma^2 + \dots \\
 &\quad + s_{33}\gamma^4 + \dots \\
 &\quad \dots\dots).
 \end{aligned}$$

Der Coëfficient von $-p$ heisst der *elastische Dehnungscoëfficient* (E) des betrachteten Krystalles in der Richtung der Cylinderaxe α, β, γ und kann wegen des nahen Zusammenhanges mit dem Werte (2) des elastischen Potentials als besonders geeignet gelten, das elastische Verhalten eines Krystalles zu charakterisiren. Allerdings leistet er dies nicht vollständig, da er die im Allgemeinen 21 Elasticitätsmoduln nur in 15 unabhängigen Combinationen enthält. Das Gesetz des Dehnungscoëfficienten wird veranschaulicht, indem man seine Grösse als Länge auf der Richtung aufträgt, auf welche er sich bezieht; die so erhaltenen Flächen sind durch die Modelle für vier besonders interessante Fälle wiedergegeben,

Für die Krystalle des *regulären Systemes* sind, falls man die Coordinatenaxen in die Axen der Krystallformen legt, alle Moduln gleich Null, bis auf

$$s_{11} = s_{22} = s_{33}, \quad s_{23} = s_{31} = s_{12}, \\ s_{44} = s_{55} = s_{66}.$$

Hiernach wird hier

$$(9) \quad E = s_{11}(\alpha^4 + \beta^4 + \gamma^4) + (s_{44} + 2s_{12})(\beta^2\gamma^2 + \gamma^2\alpha^2 + \alpha^2\beta^2) \\ = s_{12} + \frac{1}{2}s_{44} + (s_{11} - s_{12} - \frac{1}{2}s_{44})(\alpha^4 + \beta^4 + \gamma^4).$$

Der Verlauf dieser Function bei *Flusspath* ist durch das *erste* Modell wiedergegeben.

Für die Krystalle der *holoedriscen Gruppe des hexagonalen Systems* und die ihnen elastisch gleichwertigen bleiben, falls die Z-Axe zur Hauptaxe gewählt wird, von allen Moduln s_{hk} nur die folgenden:

$$s_{11} = s_{22}, \quad s_{33}, \quad s_{23} = s_{31}, \quad s_{12}, \quad s_{44} = s_{55}, \quad s_{66} = 2(s_{11} - s_{12}).$$

In Folge dessen gilt hier

$$(10) \quad E = s_{11}(1 - \gamma^2)^2 + s_{33}\gamma^4 + (s_{44} + 2s_{13})\gamma^2(1 - \gamma^2).$$

Den Verlauf dieser Function bei *Beryll* stellt das *zweite* Modell dar.

Für die *rhomboedrisc-hemiedriscen Gruppe* und die ihr elastisch gleichwertigen kommen, falls die X-Axe als zweizählige Symmetrieaxe gewählt wird, zu den vorigen Moduln noch hinzu:

$$s_{14} = -s_{24} = \frac{1}{2}s_{56};$$

in Folge hiervon gilt jetzt

$$(11) \quad E = s_{11}(1 - \gamma^2)^2 + s_{33}\gamma^4 + (s_{44} + 2s_{13})\gamma^2(1 - \gamma^2) + 2s_{14}\beta\gamma(3\alpha^2 - \beta^2).$$

Das *dritte* Modell gibt den Verlauf dieser Function für den trapezoedrisc-tetartoedriscen *Bergkrystall*.

Bei allen *rhombischen Krystallen* sind, falls die Coordinatenaxen mit Krystallaxen zusammenfallen, s_{11} , s_{22} , s_{33} , s_{44} , s_{55} , s_{66} , s_{23} , s_{31} , s_{12} von Null und von einander verschieden; es wird demgemäss

$$(12) \quad E = s_{11}\alpha^4 + s_{22}\beta^4 + s_{33}\gamma^4 + (s_{44} + 2s_{23})\beta^2\gamma^2 + (s_{55} + 2s_{31})\gamma^2\alpha^2 \\ + (s_{66} + 2s_{12})\alpha^2\beta^2.$$

Für *Baryt* stellt das *vierte* Modell den Verlauf dieser Grösse dar*).

(Voigt.)

288 Fünf Modelle piezoelektrischer Flächen, nach Proff. Riecke und Voigt, Directoren des physikalischen Instituts der Univ. Göttingen.

Elastische oder thermische Deformationen haben erfahrungsgemäss in isolirenden Krystallen von denjenigen Gruppen, welche kein Symmetriecentrum besitzen, *dielektrische Polarisationen* zur Folge, und man erhält

*) Das erste, dritte und vierte Modell ist nach den Beobachtungsergebnissen von W. Voigt von Prof. Fensterwalder in München angefertigt.

eine mit der Beobachtung vollkommen übereinstimmende Darstellung der bezüglichen Erscheinungen, wenn man die dielektrischen Momente der Volumeneinheit a , b , c linearen Functionen der Deformationsgrößen x_x , y_y , z_z , y_z , z_x , x_y gleich setzt.

In dem Ansatz

$$(13) \quad \begin{aligned} a &= \varepsilon_{11} x_x + \varepsilon_{12} y_y + \varepsilon_{13} z_z + \varepsilon_{14} y_z + \varepsilon_{15} z_x + \varepsilon_{16} x_y, \\ b &= \varepsilon_{21} x_x + \varepsilon_{22} y_y + \varepsilon_{23} z_z + \varepsilon_{24} y_z + \varepsilon_{25} z_x + \varepsilon_{26} x_y, \\ c &= \varepsilon_{31} x_x + \varepsilon_{32} y_y + \varepsilon_{33} z_z + \varepsilon_{34} y_z + \varepsilon_{35} z_x + \varepsilon_{36} x_y \end{aligned}$$

heissen die Coefficienten ε_{hk} die *piezoelektrischen Constanten der Substanz*.

Benutzt man die in (3) enthaltenen Beziehungen zwischen Deformationen und Drucken, so kann man hierfür auch schreiben

$$(14) \quad \begin{aligned} -a &= \delta_{11} X_x + \delta_{12} Y_y + \delta_{13} Z_z + \delta_{14} Y_z + \delta_{15} Z_x + \delta_{16} X_y, \\ -b &= \delta_{21} X_x + \delta_{22} Y_y + \delta_{23} Z_z + \delta_{24} Y_z + \delta_{25} Z_x + \delta_{26} X_y, \\ -c &= \delta_{31} X_x + \delta_{32} Y_y + \delta_{33} Z_z + \delta_{34} Y_z + \delta_{35} Z_x + \delta_{36} X_y; \end{aligned}$$

die Coefficienten δ_{hk} , welche sich leicht durch die piezoelektrischen Constanten ε_{hk} und die Elasticitätsmoduln s_{hk} ausdrücken, heissen die *piezoelektrischen Moduln* der Substanz.

Aus a , b , c bestimmt sich das dielektrische Moment m nach einer beliebigen Richtung α' , β' , γ'

$$(15) \quad m = a\alpha' + b\beta' + c\gamma';$$

ist a , b , c im Innern des Krystals constant und sind α' , β' , γ' die Richtungscosinus der äusseren Normalen auf einem Oberflächenelement, so hat $m = n$ zugleich die Bedeutung der elektrischen Oberflächendichte, welche mit der wirklichen Verteilung äquivalent ist. Diese Dichte ist einer der Gegenstände der Beobachtung, und ihre Messung für die Flächenpaare eines einseitig comprimierten Parallelepipeds von beliebiger Orientierung gegen die Krystallaxen gestattet die Bestimmung von a , b , c und damit die Prüfung der Theorie.

Eingehender studirt sind die piezoelektrischen Erscheinungen bisher nur an drei, resp. vier Krystallgruppen.

Für die *tetraedrisch-hemiedrische und die tetartoedrische Gruppe des regulären Systems* reduciren sich die Formeln (14) auf

$$(16) \quad -a = \delta_{14} Y_z, \quad -b = \delta_{14} Z_x, \quad -c = \delta_{14} X_y.$$

Die Anwendung der Formeln (6), die sich auf die Compression eines Cylinders parallel seiner Axe beziehen, ergibt hier

$$(17) \quad -a = p\delta_{14} \beta\gamma, \quad -b = p\delta_{14} \gamma\alpha, \quad -c = p\delta_{14} \alpha\beta.$$

Das Moment nach der Cylinderaxe l folgt hieraus

$$(18) \quad l = -3p\delta_{14} \alpha\beta\gamma.$$

Sein Verlauf ist durch das *erste* Modell veranschaulicht.

Das resultierende Gesamtmoment m bestimmt sich, da

$$\frac{bc}{a} = -p\delta_{14}\alpha^2, \frac{ca}{b} = -p\delta_{14}\beta^2, \frac{ab}{c} = -p\delta_{14}\gamma^2,$$

durch die Formeln:

$$(19) \quad \begin{aligned} m^2 &= a^2 + b^2 + c^2, \\ \frac{bc}{a} + \frac{ca}{b} + \frac{ab}{c} &= -p\delta_{14}, \\ a : b : c &= \frac{1}{\alpha} : \frac{1}{\beta} : \frac{1}{\gamma}. \end{aligned}$$

Die zweite Gleichung (19) zeigt, dass, wenn man m auf der Richtung der elektrischen Axe als Strecke aufträgt, eine Oberfläche resultiert, die mit der *Steiner'schen* Fläche identisch ist. Das *zweite* Modell stellt sie dar; die Doppelgeraden fallen in die Krystallaxen.

Die letzte Formel (19) bestimmt den Zusammenhang zwischen der Richtung des Druckes und der elektrischen Axe. Sie sagt aus, dass, wenn man durch die Richtung des Druckes einerseits, durch die elektrische Axe andererseits die drei Ebenen legt, welche die Coordinatenachsen enthalten, deren Winkel mit derselben Coordinatenebene sich jederzeit zu $\frac{\pi}{2}$ ergänzen.

Fällt die Druckrichtung in eine Coordinatenebene, so liegt die Axe des erregten Momentes in der dazu normalen Axe.

Für die *trapezodrisch-tetartodrisc* Gruppe, der u. a. der Quarz angehört, reduciren sich die Formeln (14), falls man die X-Axe in eine zweizählige, die Z-Axe in die dreizählige Symmetrieaxe legt, auf

$$(20) \quad \begin{aligned} -a &= \delta_{11}(X_x - Y_y) + \delta_{14}Y_z, \\ +b &= \delta_{14}Z_x + 2\delta_{11}X_y, \quad c = 0. \end{aligned}$$

Die elektrische Axe liegt also stets in der XY-Ebene. Hiernach ist die Erregung durch axiale Compression eines Cylinders gegeben durch

$$(21) \quad \begin{aligned} -a &= p(\delta_{11}(\alpha^2 - \beta^2) + \delta_{14}\beta\gamma), \\ +b &= p(\delta_{14}\gamma + 2\delta_{11}\beta), \quad c = 0. \end{aligned}$$

Das Moment parallel der Cylinderaxe ist hier

$$(22) \quad l = p\delta_{11}\alpha(\alpha^2 - 3\beta^2);$$

sein Verlauf, der unabhängig von der Substanz des Krystalles ist, wird durch das *dritte* Modell dargestellt.

Das elektrische Gesamtmoment m ist gegeben durch

$$(23) \quad m^2 = p^2[\delta_{11}^2(1 - \gamma^2)^2 + \delta_{14}^2\gamma^2(1 - \gamma^2) + 2\delta_{11}\delta_{14}\beta\gamma(3\alpha^2 - \beta^2)];$$

da die Richtung der elektrischen Axe immer in der XY-Ebene liegt, so lässt sich m hier *nicht* ebenso, wie im vorigen Falle durch eine Fläche veranschaulichen.

Für die *zweite hemimorph-tetartoedrische Gruppe*, zu welcher der Turmalin zählt, werden die Formeln (14), falls man die Z-Axe in die dreizählige Symmetrieaxe, die YZ-Ebene in eine der Symmetrieebenen legt,

$$(24) \quad \begin{aligned} -a &= \delta_{15} Z_x - 2 \delta_{22} X_y, \\ -b &= -\delta_{22} (X_x - Y_y) + \delta_{15} Y_z, \\ -c &= \delta_{31} (X_x + Y_y) + \delta_{33} Z_z. \end{aligned}$$

Für die Erregung eines Cylinders durch axialen Druck gilt demgemäss:

$$(25) \quad \begin{aligned} -a &= p (\delta_{15} \gamma - 2 \delta_{22} \beta) \alpha, \\ -b &= p (-\delta_{22} [\alpha^2 - \beta^2] + \delta_{15} \beta \gamma), \\ -c &= p (\delta_{31} [\alpha^2 + \beta^2] + \delta_{33} \gamma^2). \end{aligned}$$

Hieraus folgt das longitudinale Moment

$$(26) \quad l = -p [\delta_{22} \beta (\beta^2 - 3 \alpha^2) + (\delta_{31} + \delta_{15}) \gamma (1 - \gamma^2) + \delta_{33} \gamma^3];$$

die beiden letzten Glieder sind rings um die Z-Axe von gleichem Wert und enthalten wesentlich den Einfluss der polaren *Hauptaxe*, das erste gibt den Einfluss der drei elektrischen *Nebenaxen*, von denen die eine in die Y-Axe fällt.

Das *vierte* Modell stellt den Verlauf von l speciell für brasilianischen Turmalin dar; der tiefste Punkt desselben ist der Pol des Coordinatensystems. Man erkennt in der Äquatorialebene die Wirkung der elektrischen Nebenaxen auf l und sieht, dass das Maximum des longitudinalen Momentes l nicht parallel der Hauptaxe stattfindet.

Durch ein *fünftes* in Gips ausgeführtes Modell wird der Verlauf des elektrischen *Gesamtmomentes* bei der zweiten hemimorph-tetartoedrischen Gruppe des hexagonalen Systems dargestellt. Dabei entspricht das Verhältnis der Moduln δ_{33} und δ_{31} den Beobachtungen am Turmalin, dagegen sind die Werte von δ_{15} und δ_{22} beträchtlich vergrössert, da die Eigentümlichkeiten der Fläche sonst kaum deutlich geworden wären.

Die auf der Fläche gezogenen Systeme von Hypocykloiden und Ellipsen lassen zwei verschiedene Erzeugungsarten erkennen, über welche Folgendes zu bemerken ist. Wenn die Grösse des Druckes bei allen möglichen Änderungen seiner Richtung constant bleibt, so beschreibt der Endpunkt des entsprechenden Vectors eine Halbkugel; den nach ihrem Pol gerichteten Halbmesser legen wir parallel der Z-Axe, die Basis parallel der XY-Ebene. Ein beliebiger Druck p , α , β , γ ist dann nach Richtung und Grösse durch einen Punkt P der Halbkugel dargestellt. Die Componenten des durch ihn erzeugten elektrischen Momentes sind durch die Formeln (25) bestimmt; dieses wird repräsentirt durch einen zweiten vom Anfangspunkt des Coordinatensystems aus gezogenen Vector, dessen Endpunkt M die piezoelektrische Fläche erzeugt. In dem Modelle ist die XY-Ebene in die obere Fläche der tragenden Platte, der Anfangspunkt in ihren Mittelpunkt gelegt. Θ sei die Poldistanz von P, Φ seine Länge

gerechnet von der Ebene ZX aus. Es gelten dann die folgenden Beziehungen:

1) Durchläuft P einen Parallelkreis, so beschreibt M eine Hypocykloide, deren Ebene gegen die Z-Axe senkrecht steht. Der Halbmesser des Bahnkreises ist $\frac{3}{2} \delta_{15} \sin \Theta \cos \Theta$, der Halbmesser des rollenden Kreises gleich dem dritten Teil hiervon; der Abstand des erzeugenden Punktes von dem Mittelpunkt des Rollkreises $\delta_{22} \sin^2 \Theta$, die Höhe der Cykloiden-ebene über der XY-Ebene $\delta_{31} \sin^2 \Theta + \delta_{33} \cos^2 \Theta$. Einem Druck in der Richtung der Z-Axe entspricht der Pol der piezoelektrischen Fläche, im Abstand δ_{33} vom Anfangspunkt auf der Z-Axe gelegen. Dem Basalkreis der Halbkugel entspricht ein Kreis vom Halbmesser δ_{22} in der Höhe δ_{31} über der XY-Ebene: der Basalkreis der piezoelektrischen Fläche. Für $\Theta = \arctg \left(\frac{\delta_{15}}{2 \delta_{22}} \right)$ ergibt sich eine gewöhnliche Hypocykloide mit 3 Spitzen.

Kleineren Werten von Θ entsprechen verkürzte, grösseren verlängerte Cykloiden. Für $\Theta = \arctg \left(\frac{\delta_{15}}{\delta_{22}} \right)$ erhält man die Form eines Kleeblattes mit einem dreifachen Punkt in der Z-Axe. Bei grösseren Werten tritt ein Überschlagen der Curvenbögen ein. An dem Modelle sind die Cykloiden, welche den Parallelkreisen $\Theta = 15^\circ, 30^\circ, 45^\circ, 60^\circ, 75^\circ$ entsprechen, besonders ausgezeichnet.

2) Bewegt sich P auf einem Meridian der Halbkugel, so beschreibt M eine Ellipse. Alle Ellipsen gehen durch den Pol der piezoelektrischen Fläche, sie schneiden die Z-Axe senkrecht und haben im Pol dieselbe Richtung, wie die entsprechenden Meridianbögen. Alle Ellipsen schneiden den Basalkreis der piezoelektrischen Fläche und berühren seine Ebene.

Das Azimuth der Schnittpunkte gegen die ZX-Ebene ist $\frac{\pi}{2} - 2 \Phi$. Liegt der von P durchlaufene Meridian in einer Symmetrieebene, so gilt gleiches von der durch M beschriebenen Ellipse. Bewegt sich P in einem Meridiane, dessen Ebene zu einer Symmetrieebene senkrecht steht, so liegt auch die Ebene der entsprechenden Ellipse zu ihr senkrecht und die Ellipse berührt den Basalkreis in der Symmetrieebene.

Die Fläche ist von der 4. Ordnung. Sie enthält in jeder Symmetrieebene eine gerade Linie, auf welcher die Doppelpunkte der Hypocykloiden liegen.

(Voigt und Riecke.)

289 Drei Modelle für die pyroelektrische Erregung von Krystallkugeln nach Prof. Voigt, Direktor des mathematisch-physikalischen Institutes der Univ. Göttingen.

Ausser der piezoelektrischen Erregung eines Cylinders durch longitudinale Compression eignet sich besonders die *pyroelektrische Erregung einer Kugel durch oberflächliche Erwärmung oder Abkühlung* zur graphi-

schen Darstellung. Eine Erwärmung heisst oberflächlich, wenn sie eine so dünne Schicht betrifft, dass sie keine deformirende Wirkung auf die übrigen Teile ausüben kann. Ist die oberflächliche Erwärmung rings um die Kugel constant, aber eine beliebige Function der Tiefe, so lässt sich das Problem leicht behandeln, und wenn man noch von der Veränderlichkeit der Elasticität mit der Richtung absieht, was z. B. bei Turmalin nur unbedeutenden Einfluss auf das Resultat hat, in anderen Fällen aber wenigstens das Bild nicht wesentlich fälscht, so wird das Resultat sehr einfach.

Bezeichnet man die lineare Dilatation in der Richtung α, β, γ der Normalen auf dem Oberflächenelemente mit λ , dann ist die Dichte η der Oberflächenbelegung der Kugel für die oben behandelten drei Gruppen gegeben durch

$$\begin{aligned} \eta &= \lambda \varepsilon_{14} 3 \alpha \beta \gamma, \\ \eta &= \lambda \varepsilon_{41} \alpha (\alpha^2 - 3 \beta^2), \\ \eta &= \lambda [-\varepsilon_{22} \beta (3 \alpha^2 - \beta^2) + (2 \varepsilon_{45} + \varepsilon_{31}) \gamma (1 - \gamma^2) + \varepsilon_{33} \gamma^2]. \end{aligned}$$

Diese Werte sind mit den oben gegebenen für die longitudinale Erregung eines Cylinders nahe verwandt. Ihr Verlauf ist in den Modellen dadurch veranschaulicht, dass auf den Kugelflächen Curven $\eta = \text{const.}$ aufgetragen sind.

Bei den ersten Gruppen, wo der Verlauf von den absoluten Werten der Constanten unabhängig ist, finden sich Maxima und Minima an den Enden der polaren Axen; beim Turmalin, der wiederum als Repräsentant für die letzte Gruppe gewählt ist, sind Maxima und Minima verschiedener Grösse zu unterscheiden, *grössere* an den Enden der polaren Hauptaxe, *kleinere*, durch die polaren Nebenaxen bewirkt, die aber nicht in der Äquatorebene liegen, sondern aus ihr abweichen.

(W. Voigt.)

290 Dreizehn Modelle elektrischer Polsysteme zur Erklärung der piezo- und pyroelektrischen Erscheinungen nach Prof. Riecke, Director des experimental-physikalischen Instituts der Univ. Göttingen.

Die linearen Beziehungen zwischen den Componenten des elektrischen Momentes und den Deformationsgrössen, welche in den Formeln 13—24 ausgedrückt sind, können aus den folgenden Annahmen über die Constitution der Krystalle abgeleitet werden.

Die Mittelpunkte der Krystallmolekeln bilden regelmässige Punkt-systeme, welche den allgemeinen Symmetriebedingungen des betreffenden Krystallsystemes genügen. Die Molekeln selbst denken wir uns in übereinstimmender Weise umgeben von elektrischen Polen, so dass positive und negative Pole in gleicher Anzahl und Stärke vorhanden sind. Diese Pol-systeme erfüllen noch die Symmetriebedingungen der speciellen Gruppe, welcher der betrachtete Krystall angehört. Durch Druck oder Temperatur-

veränderung wird eine Verschiebung und Drehung der Molekeln erzeugt; es entstehen dadurch neue elektrische Kräfte, welche auf das Innere der Krystalle wirkend die piëzo- und pyroelektrischen Momente hervorrufen.

Sämtliche zur Erklärung der Erscheinungen notwendige Polsysteme können durch Combination von 5 Grundformen erhalten werden. Diese sind:

1. *Das einaxige Polsystem*; ein positives und ein negatives elektrisches Teilchen in den Endpunkten einer durch den Mittelpunkt der Molekel gezogenen und durch diesen halbirten Linie.

2. *Das trigonale Polsystem*. Drei positive elektrische Pole befinden sich in den Ecken eines mit der Molekel concentrischen gleichseitigen Dreiecks, die zugehörigen negativen Pole in den Punkten, durch welche jenes Dreieck zum regulären Sechseck ergänzt wird.

Als erste Hauptlage (2 A) bezeichnen wir diejenige, bei welcher der nach dem ersten positiven Pol gezogene Radius Vector der X-Axe, als zweite (2 B) die, bei welcher er der Y-Axe parallel ist.

3. *Das dihexagonale Polsystem*. Die Pole bilden ein gerades mit der Molekel concentrisches Prisma, dessen Endflächen reguläre Zwölfecke sind. Bezeichnen wir die Ecken des oberen Zwölfecks der Reihe nach mit den Zahlen 1, 2, . . . 12, die des unteren mit 13, 14 . . . 24, so dass 13 unter 1, 14 unter 2 . . . zu liegen kommt, so sind oben die ungeraden, unten die geraden Pole positiv. Die Endflächen des Prismas liegen parallel zu der XY-Ebene. Die Ebene, welche durch den Mittelpunkt der Molekel und die Kante (1, 13) hindurchgeht, schliesst mit der ZX-Ebene den Winkel $\frac{\pi}{12}$ ein.

4. *Das tetraedrische Polsystem*. Von den beiden Tetraedern, welche durch die abwechselnden Ecken eines Würfels gebildet werden, besetzen wir das erste in den Ecken mit positiven, das zweite mit negativen Polen.

Als erste Hauptlage (4 A) des Systems bezeichnen wir diejenige, bei welcher die Seiten des Würfels den Coordinatenebenen parallel sind; als zweite Hauptlage (4 B) die, bei welcher die Ebenen ZX und XY Diagonalebenen des Würfels sind.

5. *Das ditetragonale Polsystem*. Die Pole bilden ein zu der Molekel concentrisches Prisma mit regelmässig achteckigen Endflächen; werden die Ecken in derselben Weise numerirt wie bei dem 3. Systeme, so sind wieder oben die ungeraden, unten die geraden Pole positiv. Die Endflächen liegen parallel zu der XY-Ebene; die durch den Mittelpunkt und die Kante (1, 9) gehende Ebene schliesst mit der Ebene ZX den Winkel $\frac{\pi}{8}$ ein.

Die Modelle stellen die elektrischen Polsysteme für die folgenden Symmetriegruppen des hexagonalen und quadratischen Systemes dar:

Bezeichnung der Gruppe.	Zusammensetzung des Polsystems.
Hexagonales System.	
Hemimorph-hemiedrisch	1
Trapezoedrisch-hemiedrisch	3
Hemimorph-tetartoedrisch I.	1, 3
Sphenoidisch-hemiedrisch	2 A
Sphenoidisch-tetartoedrisch	2 A, 2 B
Hemimorph-tetartoedrisch II.	1, 2 B
Trapezoedrisch-tetartoedrisch	2 A, 3
Ogdoedrisch	1, 2 B, 2 B, 3.
Quadratisches System.	
Hemimorph-hemiedrisch	1
Trapezoedrisch-hemiedrisch	5
Hemimorph-tetartoedrisch	1, 5
Sphenoidisch-hemiedrisch	4 A
Sphenoidisch-tetartoedrisch	4 A, 4 B.

(Riecke).

W. Zeichnungen und Modelle zur Thermodynamik.

291 Curven auf der thermodynamischen Fläche des Wassers, nach Gibbs und v. d. Waals (4 Tabellen) von D. A. Goldhammer, Universität Kasan.

1. Die benannte Gleichung von v. d. Waals lautet

$$(1) \quad \left(p + \frac{a}{v^2} \right) (v - b) = (1 + a) (1 - b) \alpha T,$$

worin p den Druck in Atmosphären, v das Volumen, T die absolute Temperatur, a, b die spezifischen Constanten des Körpers bedeuten und $\alpha = v \cdot 0,003163$ ist. Dabei ist v auf das spezifische Dampfvolumen (σ) bei 0° C. und 1 Atm Druck bezogen.

Die Gleichung (1) wollen wir auf Wasser anwenden, um die Gleichung der thermodynamischen Fläche desselben in den Gibbs'schen Coordinaten: Energie (ϵ), Entropie (η) und Volumen (v) abzuleiten. Ist nun J das mechanische Wärmeäquivalent, zu 425 kgm angenommen, und c die spezifische Wärme des Wassers bei constantem Volumen, so lauten die bekannten Gleichungen von Clausius

$$J d\eta = Jc \frac{dT}{T} + \frac{dp}{dT} dv$$

$$d\epsilon = Jc dT + \left(T \frac{dp}{dT} - p \right) dv,$$

worin $\frac{dp}{dT}$ und $T \frac{dp}{dT} - p$ aus (1) sich berechnen lassen; es ist nämlich

$$\frac{dp}{dT} = \frac{(1+a)(1-b)\alpha}{v-b}, \quad T \frac{dp}{dT} - p = \frac{a}{v^2}.$$

Nun sind p und v in den Clausius'schen Gleichungen in kgm pro Quadratmeter resp. in cbm gemessen; da $1 \text{ Atm} = 10334 \text{ kg}$, und Volumen in cbm $= \frac{v}{\sigma}$, so folgt

$$J d\eta = Jc \frac{dT}{T} + \frac{10334 \sigma \alpha (1+a)(1-b)}{v-b} dv$$

$$d\varepsilon = Jc dT + \frac{a}{v^2} 10334 \cdot \sigma dv,$$

oder nach Integration zwischen T, v, η und T_0, v_0, η_0 , indem man $\frac{10334 \cdot \sigma \alpha (1+a)(1-b)}{J} = R$ setzt

$$(2) \quad T = T_0 e^{\frac{\eta - \eta_0}{c}} \left(\frac{v-b}{v_0-b} \right)^{-\frac{R}{c}}$$

$$(3) \quad \varepsilon - \varepsilon_0 = Jc(T - T_0) - a \cdot 10334 \cdot \sigma \left(\frac{1}{v} - \frac{1}{v_0} \right).$$

Da ferner die Werte von $\eta_0, v_0, T_0, \varepsilon_0$ hier vollständig unbestimmt bleiben, so nehmen wir

$$\eta_0 = 0, \quad v_0 = 1 + b, \quad JcT_0 = 10334 \cdot \sigma, \quad \varepsilon_0 = 10334 \cdot \sigma - \frac{a \cdot 10334 \cdot \sigma}{1+b}$$

dadurch gehen die Gleichungen (2) und (3) über in

$$(4) \quad JcT = 10334 \cdot \sigma e^{\frac{\eta}{c}} (v-b)^{-\frac{R}{c}}$$

$$(5) \quad \varepsilon = JcT - \frac{10334 \cdot a \cdot \sigma}{v};$$

die Elimination von T aus diesen Gleichungen ergibt die Gleichung der thermodynamischen Fläche

$$(6) \quad \frac{\varepsilon}{10334 \cdot \sigma} = e^{\frac{\eta}{c}} (v-b)^{-\frac{R}{c}} - \frac{a}{v}.$$

2. Nach *v. d. Waals* ist für Wasser

$$a = 0,00861, \quad b = 0,00105;$$

nach *Zeuner* ist weiter

$$c = 0,3469,$$

so dass

$$R = 0,11049.$$

Um nun σ zu berechnen, benutzt man den folgenden Satz von *v. d. Waals*: Sind u, u_1, u_2, \dots die Differenzen zwischen den spezifischen Volumina

des Dampfes und der Flüssigkeit (in cbm) bei den Drucken, die gleiche Teile der entsprechenden kritischen sind, so ist für alle Körper

$$(7) \quad \frac{u}{b\sigma} = \frac{u_1}{b_1\sigma_1} = \frac{u_2}{b_2\sigma_2} = \dots$$

Beziehen sich nun u, b, s auf Wasser, u_1, b_1, σ_1 auf CS_2 und a_2, b_2, c_2 auf Äther, so ist

$$b = 0,00105, \quad b_1 = 0,00334, \quad b_2 = 0,00575;$$

ferner lassen sich aus den Ergebnissen von *v. d. Waals* und *Zeuner* auch berechnen

$$\sigma_1 = 0,2816 \text{ und } \sigma_2 = 0,3094 \text{ cbm.}$$

Wählen wir 1 Atm, 2,5, 4, 8, 12, 13,5 als Drucke für Wasser, so berechnen wir die entsprechenden Drucke für Schwefelkohlenstoff und Äther nach den kritischen, wenn derselbe für Wasser 280 Atm angenommen wird. Sind die Drucke bestimmt, so haben wir nur die denselben entsprechenden u, u_1, u_2 aus den *Zeuner'schen* Tabellen zu entnehmen. In dieser Weise berechnen wir

$\frac{u}{u_1}$	= 1,43, 1,37, 1,40, 1,41, 1,39, 1,42	im Mittel	1,40
$\frac{u}{u_2}$	= 0,70, 0,71, 0,74, 0,72	,, ,,	0,72
σ	= 1,25398, 1,2199	,, ,,	1,237 cbm.

Um nun die Fläche mit der Gleichung (6) graphisch darzustellen, ziehen wir die Axen v, η, ϵ in der gebräuchlichen Weise als Axen x (nach rechts), y (vorwärts), z (nach oben). Der Koordinatenursprung ist beliebig in der Ebene $v = 0$. In den Tabellen ist dargestellt

- die Grösse b durch 0,25 mm,
 - die Einheit der Entropie durch 50 mm, endlich
 - 10334 . 1,237 kgm der Energie durch 10 mm.
- (Vgl. Masstab auf der Tab. 4.)

3. Diagramm (ηv); Tab. 1.

Fig. I stellt die sog. Isodynamen, d. h. Linien der gleichen Energie in der Ebene ηv dar; die Gleichung dieser Curven bekommt man aus (6) direct, wenn man darin für ϵ verschiedene constante Werte nimmt. Diese Werte von ϵ sind bei jeder Curve angegeben.

Fig. II gibt die Isothermen und Linien des gleichen Druckes (die isopiesticen Linien, nach *Gibbs*); für diese zwei Curvenarten bekommen wir die entsprechenden Gleichungen, wenn wir ϵ aus (5) und (6) resp. T aus (1) und (4) eliminiren. Bei den Curven sind die Temperatur und der Druck angegeben; dabei entsprechen die Punkte a, a', a'', a''', \dots dem trockenen gesättigten Wasserdampf bei 100° C. und 1 Atm., 177° C. und 9,252 Atm., 277° C. und 100 Atm u. s. w. Geometrischer Ort der Punkte a, a', \dots ist eine mit \dots bezeichnete Curve, die man als die Dampflinie

bezeichnet. Durch a ist der Schnittpunkt der Isotherme von 0°C. mit der isopiesticen Linie von 1 Atm bezeichnet; derselbe stellt den Zustand des Wasserdampfes bei 0°C. und 1 Atm Druck dar. Man kann beweisen, dass dieser Zustand ein stabiler ist.

4. Diagramm (εv); Tab. 2.

Fig. III stellt die Adiabaten in der Ebene (εv) dar, deren Gleichung sich aus (6) bei constantem η ergibt.

Fig. IV gibt die Isothermen und Linien des gleichen Druckes; die Gleichung der ersteren Curven lässt sich aus (5) bei constantem T , diejenige der letzteren Curven durch die Elimination von T aus (1) und (5) ableiten.

5. Diagramm ($\eta \varepsilon$); Tab. 2, Fig. V und Tab. 3 und 4.

Fig. V. Linien gleichen Volumens; die Gleichung dieser Curven leitet man aus (6) ab, wenn man darin statt v die constanten Werte einsetzt, welche auf der Figur für jede Curve angegeben sind.

Fig. VI stellt die Isothermen und die isopiesticen Linien auf der Ebene $\eta \varepsilon$ dar. Die Gleichungen dieser Curven braucht man nicht abzuleiten, da man für jedes T oder p die nötigen Werte von η und ε aus den früheren Figuren entnehmen kann.

a' , a'' , . . . haben dieselbe Bedeutung wie früher; b' , b'' , b''' bezeichnen Punkte, die flüssiges Wasser, ohne Dampf, als den Übergangszustand von dem flüssigen Zustande zu der ungleichförmigen Mischung Dampf — Wasser darstellen. In allen Zeichnungen sind durch e' , e'' , e''' resp. d' , d'' , d''' Punkte bezeichnet, welche den letzten *stabilen* flüssigen resp. Dampf-Zustand vor den labilen Zuständen einer gleichförmigen Dampfwassermischung darstellen.

c' , c'' , c''' sind labile gleichförmige Mischungen von Wasser und Dampf. Jede der Isothermen wird durch die „entsprechende“ isopiestiche Linie in drei Punkten, a , b , c , durchschnitten, welche für die kritischen Werte von Druck und Temperatur zusammenfallen.

Fig. VII. Bei $t = 0,0078^\circ \text{C.}$ und $p = 4,6021 \text{ mm Hg}$ kann Wasser bekanntlich in drei stabilen Zuständen existiren; dieselben sind auf der thermodynamischen Fläche durch drei Punkte dargestellt, in welchen sich die entsprechende Isotherme und isopiestiche Linie durchschneiden. Diese Schnittpunkte bilden das sog. Fundamentaldreieck VLS auf dem Diagramm $\eta \varepsilon$. Die Curven (1), (3) bezw. (4) (6), bezw. (7), (9) stellen die sog. Linien der Flüssigkeit und des Dampfes, der Flüssigkeit und des Eises, resp. des Eises und seines gesättigten Dampfes dar; durch α , β sind die beiden kritischen Zustände des Wassers bezeichnet.

Wegen anderer Details müssen wir auf das russische Original oder auf die „Beiblätter zu den Annalen der Physik und Chemie 1885“ verweisen.

(Goldhammer).

292 Serie von Isothermenflächen für die Gemenge zweier und dreier mischbarer Stoffe, von Gymnasiallehrer **A. Blümcke** in Nürnberg.

1. Isothermenfläche für zwei beliebig mischbare Stoffe für Temperaturen zwischen der Schmelztemperatur und der kritischen Temperatur beider.

Lassen sich zwei gasförmige Stoffe bei einer bestimmten Temperatur beide verflüssigen und in allen Verhältnissen beliebig mischen, so kann man für irgend ein Gemenge der „theoretischen“ Isotherme eine ähnliche Form geben wie derjenigen eines einfachen Gases; in nebenstehender Figur sind die Drucke die Ordinaten, die Volumene die Abscissen (Figur 1).

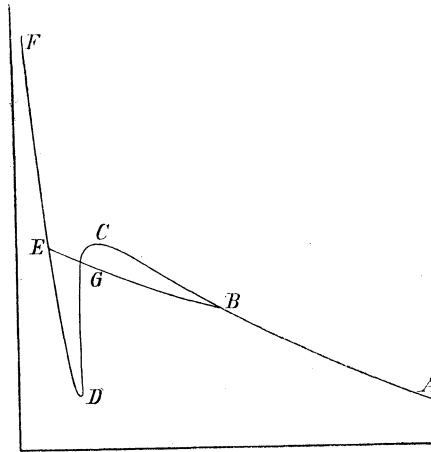


Fig. 1.

Nimmt man an, dass die Gleichung dieser Curve von der von *Natanson* gegebenen Form sei, so nähert sich die Curve den beiden Coordinaten-Axen asymptotisch. Selbstverständlich ist dieselbe nur für positive Drucke und positive Volumen von physikalischem Interesse. Die „theoretische“ Isotherme entspricht den Zuständen des Gemenges bekanntlich nur so lange, als sie homogen sind, und zwar der in der Figur rechts gelegene Teil CBA den gasförmigen, der links gelegene Teil FED den flüssigen. Der Punkt B des rechts gelegenen Teils sei der Punkt der beginnenden Verflüssigung der „empirischen“ Isotherme BE, so dass das Stück CB den labilen, das Stück BA den stabilen gasförmigen Zuständen entspricht. Der Punkt E des links gelegenen Teils sei der Punkt der vollständigen Verflüssigung der „empirischen“ Isotherme BE, die im vorliegenden Fall eine Curve, und nicht wie bei den einfachen Gasen eine zur Volumen-Axe parallele Gerade ist. Das Stück EF der „theoretischen“ Isotherme entspricht dann den stabilen, das Stück ED den labilen flüssigen Zuständen. Die „empirische“ Isotherme schneidet die „theoretische“ so, dass die Fläche DEG

gleich der Fläche BCG ist. Betrachtet man nun alle möglichen Gemenge der beiden Stoffe, von denen man aber jedesmal soviel zu nehmen hat, dass ihr Gesamtgewicht gleich Eins ist, und nimmt man den Anteil des ersten Stoffs als neue Variable X an, wobei die dritte Axe des Coordinatensystems rechtwinklig zu den beiden vorigen steht, so bilden sowohl alle „theoretischen“ als auch alle „empirischen“ Isothermen je eine Fläche, und zwar hat die Fläche der „theoretischen“ Isothermen das Aussehen einer von rechts her aus dem Unendlichen kommenden Welle, welche senkrecht nach oben steigt. Von physikalischer Bedeutung ist selbstverständlich nur der zwischen den Ebenen $x = 0$ und $x = 1$ gelegene Teil für positive Drucke und Volumina. Die „empirische“ Fläche ist, wie sich zeigen lässt (siehe Figur 2) ein Conoid, dessen Erzeugende

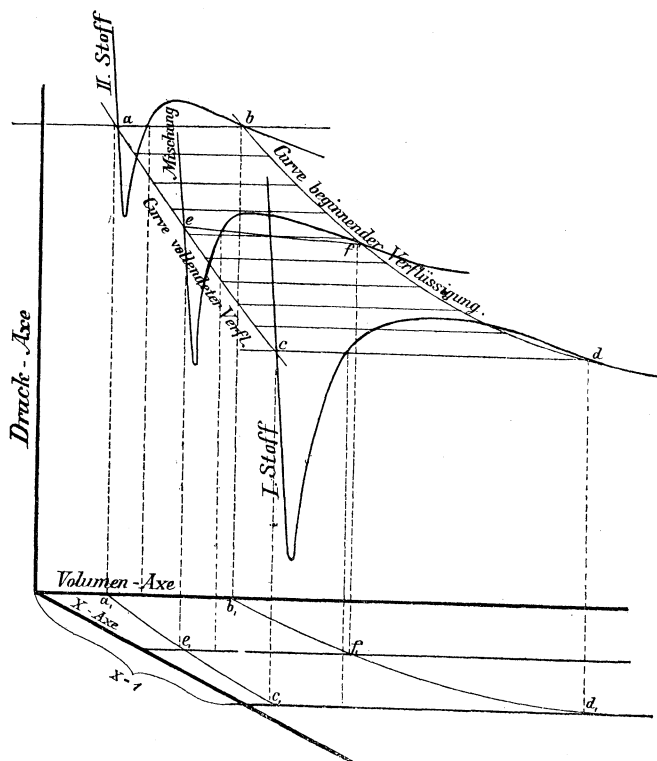


Fig. 2.

alle parallel zur XV-Ebene verlaufen; es schneidet die „theoretische“ Fläche nach zwei Curven bd und ac , deren erste die Punkte beginnender, deren zweite die Punkte vollendeter Verflüssigung enthält. Im Modell ist die „theoretische“ Fläche durch drei Isothermen angedeutet: durch

die des ersten Stoffs, die des zweiten Stoffs und die einer Mischung von 50% ca.

2. Isothermenfläche für zwei nicht beliebig mischbare Stoffe für Temperaturen zwischen der Schmelztemperatur und der kritischen Temperatur beider.

Sind zwei gasförmige Stoffe bei einer bestimmten Temperatur beide zu verflüssigen, lassen sie sich aber bei dem Verflüssigungsdruck des am schwersten zu verflüssigenden nicht mehr beliebig homogen mischen, so hat nur ein Teil der „theoretischen“ Isothermen die in Fig. 1 abgebildete Form; sobald eine homogene Mischung nur unter stärkerem Druck, als dem Verflüssigungsdruck des am schwersten zu verflüssigenden erreicht werden kann, ist die Gestalt beiläufig die nachstehende, Fig. 3:

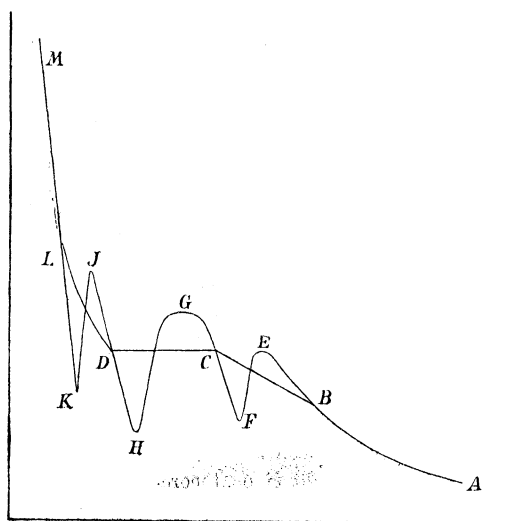


Fig. 3.

die theoretische Isotherme ist ABFCGHDJKLM; das Stück BA entspricht stabilen gasförmigen, das Stück LM stabilen homogenen flüssigen Zuständen; die Stücke BE, CF, CG, DH, DJ, LK entsprechen verschiedenen labilen Zuständen. Die „empirische“ Isotherme besteht aus den Stücken BC, CD, DL und zwar entspricht das Stück BC einem gasförmigen und einem flüssigen Zustand, das zur Volumenaxe in einem dem Verflüssigungsdruck des am schwersten zu verflüssigenden Stoffes entsprechenden Abstand parallel verlaufende Stück CD entspricht zwei flüssigen und einem gasförmigen Zustand (es wird nur der am schwersten zu verflüssigende Stoff verflüssigt, ohne dass der andere noch Teile von ihm aufnimmt.) Das Stück DL entspricht zwei flüssigen Zuständen,

einem homogenen Gemisch beider und dem noch nicht absorbierten zweiten Stoff. Entsprechend dieser Form der „theoretischen“ Isothermen hat die Fläche der „theoretischen“ Isothermen drei Erhebungen und Senkungen resp. drei Wellen. Die „empirische“ Fläche besteht demgemäss aus drei Conoiden. Das erste schneidet die „theoretische“ Fläche nach der Curve der beginnenden Verflüssigung und derjenigen der vollendeten homogenen Verflüssigung bis zu demjenigen Punkte, dessen Druckordinate gleich dem Druck des am schwersten zu verflüssigenden Stoffs ist; das zweite Conoid ist zu einer Ebene ausgeartet, welche sich an das erste anschliesst und parallel ist zur XV-Ebene, sie ist von dieser Ebene entfernt um den Betrag des Verflüssigungsdrucks des am schwersten zu verflüssigenden Stoffs; das dritte Conoid schliesst sich an diese Ebene an und hat als Leitcurven den aufsteigenden und den absteigenden Zweig der Curve der vollendeten homogenen Verflüssigung, welche sich anfangs über die vorerwähnte Ebene erhebt und dann wieder senkt bis zum Punkte der vollendeten Verflüssigung der Isotherme des am schwersten zu verflüssigenden Stoffs.

3. Isothermenfläche für zwei nicht beliebig mischbare Stoffe für eine Temperatur, bei welcher der eine sich zwischen der Schmelztemperatur und der kritischen Temperatur, der andere sich oberhalb seiner kritischen Temperatur befindet.

In diesem Fall hat die Fläche der „theoretischen“ Isothermen zwei Erhebungen und Senkungen resp. Wellen, welche nicht das ganze Intervall zwischen den Ebenen $x = 0$ und $x = 1$ ausfüllen; die Fläche der „empirischen“ Isothermen besteht nur aus zwei Conoiden, entsprechend dem ersten und dritten des vorigen Falls, das vorhin zu einer Ebene ausgeartete Conoid ist hier zu einer Geraden zusammengeschrumpft. Die Curven der beginnenden Verflüssigung und vollendeten homogenen Verflüssigung schneiden sich auf der „theoretischen“ Fläche und durch ihren Vereinigungspunkt geht eine „theoretische“ Isotherme, welche in diesem Punkt einen Wendepunkt mit horizontaler Wendetangente hat. Die Form der „theoretischen“ und „empirischen“ Isothermen ist für jedes Mengenverhältnis leicht zu übersehen.

4. Isothermenfläche für zwei sich wie Wasser verhaltende Stoffe für eine Temperatur unterhalb des Schmelzpunktes beider.

Das Modell veranschaulicht den Fall, dass die beiden Stoffe sich im festen und flüssigen Zustand unvollkommen mischen, dass jedoch im festen Zustand die Homogenität noch bei einem Drucke erreichbar ist, welcher kleiner ist, als der Verflüssigungsdruck des am schwersten zu verflüssigenden. Die Fläche der „theoretischen“ Isothermen besteht dann aus zwei sich stetig folgenden Partien, deren jede ähnlich geformt ist, wie die Fläche im zweiten Fall; die Fläche der „empirischen“ Isothermen

besteht aus zwei getrennten Teilen, deren jeder ebenfalls genau ähnlich ist der „empirischen“ Fläche im zweiten Fall. Der eine entspricht dem Übergang aus dem gasförmigen in den festen Zustand, der andere demjenigen aus dem festen in den flüssigen Zustand. Alle Teile der „theoretischen“ Fläche sind weggelassen, da man sie nach dem Vorhergehenden überaus leicht hinzudenken kann.

5. System der Isothermenflächen für drei beliebig mischbare Stoffe für Temperaturen zwischen der Schmelztemperatur und der kritischen Temperatur jedes derselben.

Mischt man drei Stoffe auf alle möglichen Arten so miteinander, dass jedesmal das Gesamtgewicht gleich Eins ist und betrachtet man den Anteil z des dritten Stoffs als Variable, die Anteile der beiden ersten als Parameter, so erhält man in einem dreiaxigen rechtwinkligen Koordinatensystem, dessen Axen bezw. den Drucken, Volumen und dem Anteil des dritten Stoffs im Gemenge entsprechen, ein ganzes System von sowohl „theoretischen“, als auch zu diesen gehörigen „empirischen“ Flächen. Für jede einzelne Fläche ist das Mischungsverhältnis der beiden ersten Stoffe constant zu erhalten und vom dritten jedesmal soviel zuzusetzen, dass das Gesamtgewicht Eins ist. Alle „theoretischen“ Flächen haben in der Ebene $z = 1$ die „theoretische“ Isotherme des dritten Stoffs gemeinsam; die Schnitte dieser Flächen mit der Ebene $z = 0$ werden erhalten, wenn man alle „theoretischen“ Isothermen in der im ersten Fall erwähnten Fläche dort auf die Ebene $x = 0$ (oder $x = 1$) projicirt und in die Ebene $z = 0$ überträgt. Alle „empirischen“ Flächen sind wiederum Conoide, welche die in der Ebene $z = 1$ gelegene „empirische“ Isotherme des dritten Stoffs gemeinsam haben, ihre Schnitte mit der Ebene $z = 0$ werden ganz wie bei den „theoretischen“ Isothermen erhalten.

Im Modell sind die leicht zu ergänzenden „theoretischen“ Flächen nicht angedeutet; von den „empirischen“ ist nur ein Conoid angegeben, die beiden äussersten nur durch die Curven beginnender und vollendeter Verflüssigung angedeutet; jedes der beiden letzteren ist von genau derselben Form wie diejenige im ersten Fall.

6. System von Isothermenflächen für drei unter einander nicht beliebig mischbare Stoffe für Temperaturen zwischen der Schmelztemperatur und der kritischen Temperatur jedes derselben.

In diesem Falle bilden für alle möglichen Mischungsverhältnisse bei dem gleichen Coordinatensystem wie im vorigen Fall sowohl alle „theoretischen“ als auch alle „empirischen“ Flächen je ein System; die „theoretischen“ Flächen haben die „theoretische“ Isotherme des dritten Stoffs in der Ebene $z = 1$ gemeinsam, ihre Schnitte mit der Ebene $z = 0$ werden erhalten, indem man beim zweiten Fall alle „theoretischen“ Isothermen auf die Ebene $x = 0$ (oder $x = 1$) projicirt und auf die Ebene

$z = 0$ überträgt. Die „empirischen“ Flächen haben die „empirische“ Isotherme des dritten Stoffs in der Ebene $z = 1$ gemeinsam, ihre Schnitte mit der Ebene $z = 0$ werden wie bei den „theoretischen“ Flächen erhalten.

Im Modell sind ebenfalls die „theoretischen“ Flächen weggelassen; von den „empirischen“ ist nur eine angegeben, welche aus sechs Unterabteilungen besteht, die jedoch leicht zu überblicken sind. Die beiden äussersten „empirischen“ Flächen sind nur durch die Curve beginnender Verflüssigung und durch diejenige vollendeter homogener Verflüssigung angedeutet; sie sind genau von der Form, wie die Fläche im zweiten Fall.

Vergleiche hiezu die Abhandlungen des Verfertigers „Über die Änderung der empirischen und theoretischen Isothermen von Gemengen zweier Stoffe mit der Temperatur“ und „Über die geometrische Darstellung der Isothermenflächen von mehr als zwei Stoffen.“ Zeitschrift für physikalische Chemie Bd. VIII, 5 und Bd. IX, 1 u. 6.

(Blümcke.)

X. Modelle und Apparate zur mechanischen Veranschaulichung elektrodynamischer Vorgänge.

293 Modell zur Veranschaulichung gewisser Eigenschaften des Äthers nach Maxwell's Theorie von Prof. G. Fitzgerald, Trinity College, Dublin.

Dasselbe veranschaulicht die Eigenschaften des Äthers sowohl hinsichtlich der elektrischen als auch der magnetischen Verschiebungen und Kräfte in Übereinstimmung mit der Maxwell'schen Theorie.

Die Wirbel sind durch viele Kreise veranschaulicht, welche auf einem Brett äquidistant so angebracht sind, dass die Axen senkrecht zum Brett durch die Ecken sehr vieler darauf gezeichneter Quadrate gehen. Die Frictionsrollen Maxwells sind durch Kautschukschnüre ersetzt, die je zwei Kreisel, wie Treibriemen, verbinden. Denkt man sich auf dem Brett eine x - und y -Axe, senkrecht darauf eine z -Axe und bezeichnet mit $w = f(x, y)$ die Drehgeschwindigkeit der Kreisel, so ist $\frac{dw}{dx}$ die Spannung der der y -Axe parallelen Schnüre, $-\frac{dw}{dy}$ die der anderen. In Dielectricis sind die Schnüre an den Kreiseln befestigt, in Leitern erfahren sie Reibung. Verbindet man eine Folge von Kreiseln, die eine gerade Linie bilden, so kann man die Inductionswirkung auf Kreiseln, die in einer anderen Geraden liegen, versinnlichen. Verbindet man eine Folge von Kreiseln, die in einer geschlossenen Linie liegen, so erhält man einen Strom und dessen magnetische Wirkungen innen und aussen.

Verbindet man alle Kreisel ohne Ausnahme und versetzt eine Reihe in Oscillationen, so kann man die Fortpflanzung elektrischer Schwingungen sehen.

(L. Boltzmann.)

- 294 **Zwei Schnellseher (Zoetropes) mit Diagrammen zur Darstellung der von einem Hertz'schen elektrischen Vibrator erregten elektrodynamischen Wellen**, von Prof. G. Fitzgerald, Trinity College, Dublin.

Die beiden Schnellseher stellen die Schwingungsvorgänge in zweierlei Weisen dar.

- 295 **Zwei Modelle zur mechanischen Versinnlichung gewisser elektrischer Vorgänge nach Maxwell's Theorie**, von Prof. O. Lodge, Univ. College Liverpool.

1. Modell.

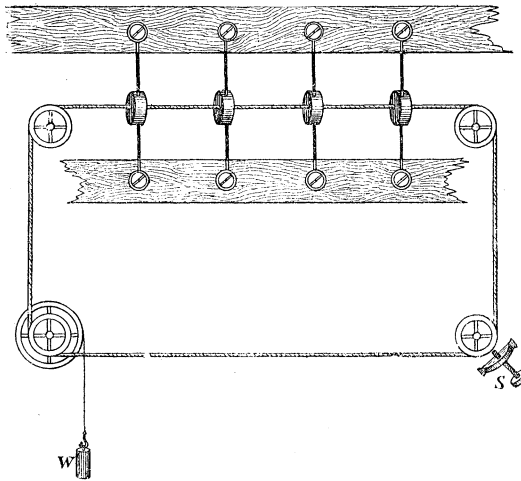


Fig. 1.

Fig. 1 versinnlicht die Art der Ätherverschiebung in einem vollkommenen Leiter, Fig. 2 in einem vollkommenen Nichtleiter (Dielektricum). Hierbei ist der Äther durch eine Schnur dargestellt, welche über drei Rollen laufend mit dem einen Ende an das Rad einer kleinen Welle festgeknüpft ist, während das andere Ende sich um die Welle schlingend ein Gewicht W trägt. Eine der Rollen lässt sich durch eine Schraube S anziehen. Die Schnur selbst ist unausdehnbar zu denken, entsprechend der Incompressibilität des Äthers. Das Gewicht W repräsentirt die elektromotorische Kraft.

Alles bisher Gesagte gilt von beiden Modellen. Während aber bei Modell 1 die Schnur durch eine Reihe von Perlen gezogen ist, ohne mit denselben fest verknüpft zu sein, geht sie bei Modell 2 zwar auch durch eine Perlenreihe, aber unter fester Verknüpfung.

Lässt man nun das Gewicht W (die elektromotorische Kraft) wirken, so wird dies bei 1 nichts anderes zur Folge haben, als dass sich die Schnur vom Wellrade zuerst mit beschleunigter, später aber — sobald die Friction, welche die Schnur beim Durchgange durch die Perlen erleidet, an Grösse der treibenden Kraft des sinkenden Gewichtes gleich geworden ist — mit gleichförmiger Geschwindigkeit abwickelt. (Analogie zum Ohm'schen Gesetze.)

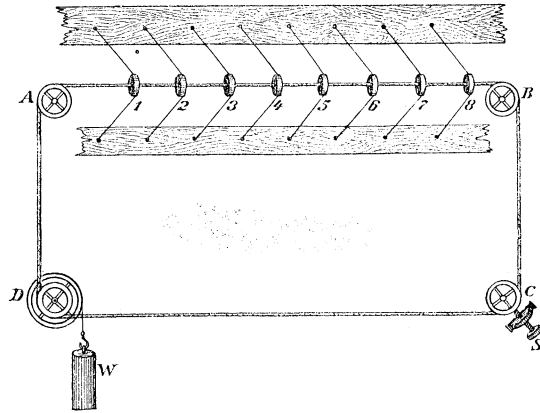


Fig. 2.

Bei 2 aber wird die Wirkung eine andere sein. Die Schnur kann sich hier wegen ihrer festen Verknüpfung mit den Perlen nicht vollständig abwickeln, sondern nur soweit, bis die elastische Kraft jener elastischen Fäden, welche die nach rechts verschobenen Perlen in ihre Ruhelage zurückzuziehen suchen, dem Gewichte W das Gleichgewicht hält. Die Schnur ist dadurch in einen Spannungszustand versetzt worden, welche dem des Dielectricums innerhalb eines geladenen Condensators entspricht. Der Elasticitätsmodul der Perlenfäden entspricht hierbei der reciproken specifischen inductiven Capacität des Dielectricums: Je dehnbarer diese Befestigungsfäden der Perlenschnüre sind, desto weiter werden sich die Perlen aus ihrer Ruhelage entfernen können. Es wird auch geschehen können, dass das Gewicht W die Elasticitätsgrenze dieser Fäden übersteigt; dann reissen sie und die Schnur wickelt sich rasch ab: — das Bild einer disruptiven Entladung. Auch erkennt man, warum die Capacität eines Luftcondensators grösser wird, wenn man etwa eine Hartgummipatte dazwischen taucht. Denn es entspricht dies dem, dass man

die Perlenfäden plötzlich durch andere von geringerer Elasticität ersetzt, was eine grössere Verschiebung der Perlen ermöglicht.

Zweites Modell.

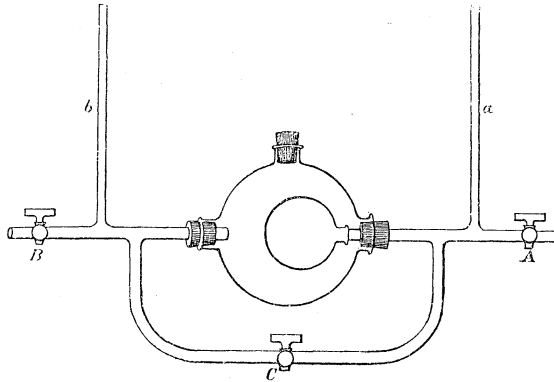


Fig. 3.

Bei dem hydraulischen Modell (Fig. 3) wird die Analogie durch Anwendung einer incompressiblen Flüssigkeit herbeigeführt. Man sieht in der Figur eine grosse hohle Glaskugel mit drei Öffnungen. In die linke ragt eine offene Glasröhre hinein; in die rechte dagegen ist eine Glasröhre geführt, deren Ende durch einen Gummibeutel verschlossen ist. Dieser Beutel, oder richtiger seine Gummimasse, repräsentirt jetzt das Dielektricum.

Man denke sich zunächst den Beutel sowie die Glaskugel (deren obere Öffnung lediglich dazu dient, der Luft hiebei einen Ausweg zu gestatten) mit Wasser vollgefüllt; der Hahn C sei hiebei offen. Dann werden die beiden Manometer a und b (welche zweien Elektroskopen entsprechen) gleichen Druck anzeigen.

Nun werde der Hahn C geschlossen. Dann entspricht dies einer ungeladenen Leydnerflasche, deren beide Belegungen von einander isolirt sind. Nun verbinden wir die linke Röhre vermittelst des Hahnes B mit einem grossen Gefässe (entsprechend der Verbindung der äusseren Belegung der Flasche mit der Erde), dagegen die rechte Röhre durch den Hahn A mit einer Druckpumpe (innere Belegung der Leydnerflasche mit einer Elektrisirmaschine). Hiedurch wird in den Gummibeutel eine Quantität Wasser gepresst, der Beutel ausgedehnt, und so eine genau gleiche Quantität Wasser aus B hinausgepresst. Dies geschieht so lange, bis die elastische Kraft des Gummibeutels, die ihn in seine ursprüngliche Form zurückzubringen sucht, an Grösse der hydraulischen Kraft der Druckpumpe gleich geworden ist (entsprechend der Gleichheit des Potentials der Leydnerflasche mit dem des Conductors der Elektrisirmaschine).

Sperrt man jetzt die Hähne A und B ab, so stellt dies eine geladene Leydnerflasche dar, deren beide Belegungen isolirt sind. Hiebei wird das Niveau im Manometer b noch immer die anfängliche Stellung einnehmen, die als Nullstellung bezeichnet werden soll, hingegen wird im Manometer a das Niveau gestiegen sein. Ein Ausgleich (die Entladung) wird erfolgen, sobald der Hahn C geöffnet wird. Wenn hiebei der Widerstand, den das Wasser beim Hindurchgange durch C findet, nicht zu gross ist, so wird nach dem Ausgleiche die Wassermasse noch hin und her schwanken (oscillatorische Entladung). Ein der disruptiven Entladung analoger Ausgleich wird eintreten, wenn entweder der Hahn C zu schwach oder die Elasticitätsgrenze des Gummibeutels zu niedrig ist im Verhältnis zum Druck der Pumpe. Auch das Phänomen, das bei abwechselnder Verbindung der beiden Belegungen einer Leydnerflasche mit der Erde eintritt, lässt sich dadurch nachahmen, dass man abwechselnd einen der beiden Hähne A und B schliesst und hiebei durch den andern die Communication mit einem grossen Gefässe herstellt.

Noch sei bemerkt, dass die ausgestellten Modelle in einigen unwesentlichen Punkten von den hier scizzirten abweichen.

(O. Lodge.)

296 Apparate zur hydromechanischen Versinnlichung der elektrischen und magnetischen Erscheinungen, von Prof. C. A. Bjerknes, Universität Christiania.

Die Apparate teilen sich in drei Gruppen.

Die *I. Gruppe* dient zur Darstellung jener Erscheinungen, welche in Flüssigkeiten ohne Dazuthun der inneren Reibung derselben zustande kommen. Hiebei sind besonders jene scheinbaren Fernwirkungen berücksichtigt, welche den statisch-elektrischen und den magnetischen Fernwirkungen invers analog sind.

Die *II. Gruppe* bezweckt die Darstellung solcher Erscheinungen, welche in Flüssigkeiten durch die innere Reibung derselben zustande kommen, mit specieller Berücksichtigung solcher, welche den elektrodynamischen Phänomenen invers analog sind. (Anziehung und Abstossung von Stromleitern.)

Die *III. Gruppe* enthält eine Reihe von Apparaten, welche zur Darstellung von flüssigkeitsähnlichen Medien und der Erscheinungen, welche in solchen auftreten können, dienen.

Eine Reihe von Karten und Zeichnungen dient zur näheren Erläuterung der Construction und Wirkungsweise der Apparate.

Bezüglich der Litteratur zu den Bjerknes'schen Untersuchungen sei vor allem auf die fortlaufenden Berichte von Bjerknes in den „Forhandling i Videnskabselskabet i Christiania“ und den „Forhandling ved de Skandinaviske Naturforskeres møder“ verwiesen, insbesondere auf die ausführlicheren Aufsätze aus den Jahren 1863, 68, 71, 75, 77, 80; —

ferner auf Berichte in den „Göttinger Nachrichten“ 1873, 74, 76, 77; — Noten in den „Comptes rendus des séances de l'Acad. d. sc.“, de la „Société de Physique“, Paris; dem „Journal de Physique“, den „Annales Phys. et Chim.“, dem „Lumière élect.“ aus den Jahren 1877, 79, 80, 82, 83; — Aufsätze in „Nature“ und „Engineering“ 1882, 83; auf die Untersuchungen in den „Acta Mathematica“ 1883; — auf die ausführlichere Zusammenstellung in der Zeitschrift „Lotos“, Prag (abgedruckt in Exner's „Repertorium der Physik“) 1883; — sowie endlich auf die anlässlich des „Congrès international des Électriciens“ 1889 zu Paris veröffentlichten Darlegungen.

(C. A. Bjerknes.)

297 **Apparat zur mechanischen Versinnlichung des Verhaltens zweier elektrischer Ströme (Bicycle)** von Prof. **L. Boltzmann**, Univ. München.

Nach Maxwell sind zur Versinnlichung des Zusammenwirkens zweier elektrischer Ströme zwei Antriebspunkte (driving points) notwendig, die sich mit von einander unabhängigen Geschwindigkeiten u und v bewegen; letztere entsprechen den Stromstärken beider Stromkreise. Ausserdem müssen noch beliebige Massen vorhanden sein. Die Geschwindigkeit w irgend einer Masse m ist eine homogene lineare Function der beiden Stromstärken, also gleich

$$au + bv.$$

Die Bewegungsgleichungen für die beiden Antriebspunkte sind dann identisch mit den Gleichungen, durch welche die wechselseitige Induction zweier elektrischer Ströme ausgedrückt wird. $\frac{1}{2} \Sigma ma^2$ respective $\frac{1}{2} \Sigma mb^2$ spielen die Rolle der Selbstinductionscoefficienten der beiden Stromkreise. Σmab ist der wechselseitige Inductionscoefficient.

Der erste Apparat, an welchem diese Bedingungen mechanisch realisiert wurden*), ist von Maxwell selbst angegeber und befindet sich im Cavendish laboratory in Cambridge.

Auf einer Axe (1) (Figur 1 stellt den Durchschnitt dar), deren eines Ende eine Kurbel, deren anderes einen Zeiger trägt, sind 2 andere Axen (2) und (3) aufgesteckt. Die Axen (1) und (3) tragen conische Räder die Axe (2) einen Querstab an dessen einem Ende ein Gewicht C an einer beliebigen Stelle festgeklemmt werden kann, während das andere ein drittes conisches Rad trägt, das gleichzeitig in die beiden ersten eingreift. Ist u die Winkelgeschwindigkeit der Axe (1), v die der Axe (2), so ist die Geschwindigkeit der Masse C in der That gleich $a(u + v)$, wenn a die doppelte Distanz der Masse C von der Drehaxe vorstellt.

Dieses Modell zeigt bloss die Induction, welche eine Veränderung der einen Stromstärke u auf die andere v ausübt, sowie deren Abhängigkeit vom wechselseitigen Inductionscoefficienten, d. h. von der Distanz der

*) Ich lernte denselben selbst erst vor kurzer Zeit kennen, und er dürfte hier zum ersten Male beschrieben sein.

Masse C von der Drehaxe. Da jedoch diese Distanz während der Bewegung nicht verändert werden kann, so kann die Induction durch Bewegung der Stromkreise im Raume, also durch Veränderung des wechselseitigen Inductionscoëfficienten ebensowenig demonstriert werden, als die Wirkung der ponderomotorischen Kräfte.

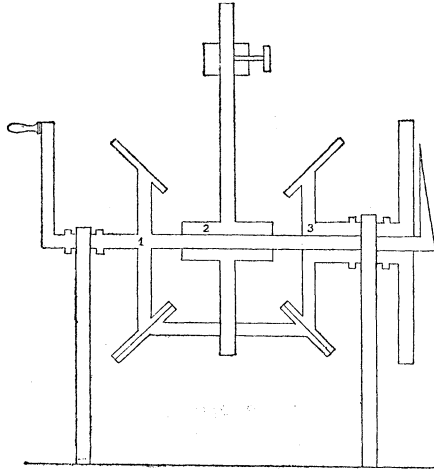


Fig. 1.

Um alle diese Erscheinungen zeigen zu können, muss mit jeder der Axen eine Masse verbunden werden, deren Distanz von der Drehaxe während

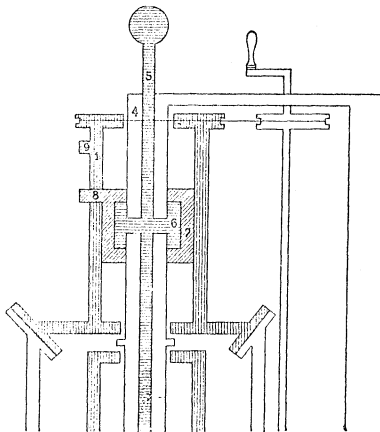


Fig. 2.

der Bewegung verändert werden kann. Dies ist an dem ausgestellten Apparat (No. 297) in folgender Weise realisirt: Die 3 Röhren (1), (2), (3),

welche genau wie beim Maxwell'schen Apparat durch conische Zahnräder so verbunden sind, dass die Winkelgeschwindigkeit der mittleren Röhre das arithmetische Mittel der Winkelgeschwindigkeiten der beiden äusseren sein muss, sind hintereinander auf eine fixe verticale Röhre (4) (Figur 2) aufgesteckt. In der Figur ist nur die obere Röhre (1) und ein kleiner Teil der mittleren sichtbar. Die Kurbel ist nicht direct an der oberen Röhre befestigt, sondern letztere ist mittelst einer Schnur mit einer zweiten Axe verkuppelt, welche die Kurbel trägt. In gleicher Weise ist auch die untere Röhre drehbar, und es kann gedreht werden: 1. die obere Röhre allein, 2. obere und untere Röhre in gleichem Sinn, 3. obere und untere Röhre in entgegengesetztem Sinn. In der Röhre (4) steckt nun ein Stab (5), welcher durch passende Zapfen einen Ring (6) trägt, der die Röhre (4) umschliesst. Letztere hat natürlich Schlitze, in denen sich die Zapfen bewegen können. Ein zweiter Ring (7) umschliesst den Ring (6), liegt aber noch immer innerhalb der Röhre (1). Ein am Ringe (7) befestigter Zapfen (8) ragt jedoch durch einen Schlitz der Röhre (1) aus dieser hervor. Dank dieser Vorrichtung kann während der Rotation der Röhre (1) der Zapfen (8) mittelst des Stabes (5) ohne Störung der Rotation auf- und abbewegt werden. Hierdurch aber wird die Distanz zweier Gewichte von der Drehaxe in folgender Weise regulirt: Der Zapfen (8) und ein mit der Röhre (1) fest verbundener Zapfen (9) sind die beiden vis-à-vis liegenden Gelenke einer Parallelogrammführung, deren Enden jene beiden Gewichte tragen, genau so wie beim Centrifugalregulator einer Dampfmaschine. (Vergl. Figur 3.)

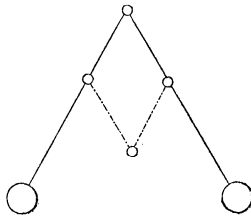


Fig. 3.

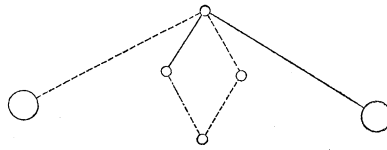


Fig. 4.

Eine vollkommen analoge, an derselben Stange befestigte Vorrichtung befindet sich an den Röhren (2) und (3). Die an der Röhre (3) befindliche ist identisch gebaut. Dagegen hat die an der Röhre (2) befindliche folgende zwei Unterschiede: 1. sie trägt viermal so grosse Gewichte; 2. die Gewichte nähern sich der Axe, sobald die der anderen Parallelogrammführungen sich von der Axe entfernen, und umgekehrt. Letzteres wird dadurch bewirkt, dass die Gewichte von Armen getragen werden, welche nicht die Fortsetzung der Arme der Scharniere bilden, sondern auf letzteren senkrecht stehen. (Siehe Figur 4.) Durch Auf- und Ab-schieben des Stabes (5) kann während der Bewegung ohne Veränderung

der Selbstinductionscoefficienten der wechselseitige Inductionscoefficient geändert werden. Daher können alle Erscheinungen der Induction durch Bewegung demonstriert werden, sobald man die obere Röhre in constanter Rotation erhält und dabei den Stab (5) aufwärts oder abwärts bewegt. Den ponderomotorischen Kräften analog sind die Kräfte, welche auf den Stab (5) wirken, wenn die beiden Röhren (1) und (3) entweder im gleichen oder im entgegengesetzten Sinne gedreht werden. Näheres hierüber, sowie über einen zum selben Zwecke dienenden Apparat Lord Rayleigh's siehe Boltzmann's *Vorlesungen über Maxwell's Theorie der Electricität und des Lichtes*, Barth 1891, 6. Vorlesung.


(L. Boltzmann.)

298 Zwei Modelle zur Darstellung elektrischer Schwingungen und magnetischer Kraftlinien im Umkreise von Solenoiden. Nach Angaben von Professor **M. Möller**, ausgeführt durch den Aussteller **O. Günther**, Mechaniker der techn. Hochschule zu Braunschweig.

Beschreibung der Modelle.


Das erste Modell zeigt die im Umkreise eines einzelnen Solenoid-Ringes entstehenden Bewegungszustände; dasselbe dient auch zur Erklärung der magnetischen Abstossung entgegengesetzt verlaufender Ströme.

Das zweite Modell bietet die im Umkreise von zwei Solenoid-Ringen entstehenden Bewegungszustände; dasselbe dient auch zur Erklärung der magnetischen Anziehung parallel und in gleichem Sinne verlaufender elektrischer Ströme.

Im *Grundriss*, *Querschnitt* wie *Längenschnitt* zeigen die Modelle die im Umkreise und in der Nachbarschaft elektrischer Ströme (hier Kreisströme) statthabenden elektrischen Drehschwingungen , die Gestalt

der Schwingungsflächen und die Gestalt der dazu senkrecht stehenden Kraftlinien, bezw. Kraftflächen.

Die *Construction* der Schwingungsflächen geschah durch Construction der Tangentialflächen der Schwingungsbewegung für beliebig viele Punkte im Raum. Dabei wurden die von den einzelnen Punkten der Drähte ausgehenden Antriebe nach Richtung, Grösse und Drehsinn zu einer resultirenden Bewegung zusammengesetzt. In *zweiter Reihe* sind die Kraftflächen normal zu jenen Schwingungsflächen gezeichnet. — Nachträglich im elektrotechnischen Laboratorium der Hochschule zu Braunschweig ausgeführte praktische Versuche zeigten die genaue Übereinstimmung der mittelst Eisenfeilspähen sichtbar gemachten Linien mit den Ergebnissen der Construction.

 Die wie neben gezeichneten, mit Pfeilen versehenen Kreise geben den Drehsinn der Schwingungen des Äthers an, welche Drehschwingungen (nicht Wirbel) im Äther entstehen, wenn seitlich davon ein

elektrischer Strom auftritt, dessen elementare Bewegungen als forteilende Wellen erkannt sind.

Es ergibt sich, wie weiter gezeigt wird, nahe dem Centrum eine Verminderung des statischen Ätherdruckes. Orte verminderten, also schwächeren statischen Ätherdrucks, verminderter Ätherdichte, sind in *heller Färbung* gehalten.

Der Gesamtdruck im Äther zerfällt in den statischen Druck und den dynamischen Druck, d. h. den Druck der Wellen beziehungsweise deren Schwingungen.

Magnetische Anziehung ergibt sich, wenn zwischen zwei Punkten A und B die Summe des statischen und des dynamischen Drucks kleiner ist als ausserhalb A und B.

$$S_1 \rightarrow A \bullet \leftarrow S_{11} \rightarrow \bullet B \leftarrow S_1 \qquad S_{11} < S_1$$

Magnetische Abstossung tritt dort auf, wo zwischen zwei Punkten A und B die Summe S_{11} aus dem statischen und dem dynamischen Druck grösser ist als die Summe S_1 ausserhalb A und B.

$$S_1 \rightarrow \bullet A \leftarrow S_{11} \rightarrow \bullet B \leftarrow S_1 \qquad S_{11} > S_1$$

Modell I zeigt die zwischen gegenüberliegenden Ringelementen, d. h. zwischen entgegengesetzten gerichteten Stromteilen bestehende Abstossung. Hier ist im Mittelpunkt des Ringes der statische Druck ungeschwächt; dazu tritt in der Ringebene der dynamische Druck, so dass ein Überdruck entsteht.

Modell II zeigt die zwischen gleich gerichteten Strömen bestehende Anziehung, als Folge verminderten statischen und geringen dynamischen Drucks zwischen den sich anziehenden Ringelementen. Für den neutralen Punkt X ist letzterer sogar gleich Null.

Theorie.

Das Buch: *Räumliches Wirken und Wesen der Elektrizität und des Magnetismus* von M. Möller — mit 3 Tafeln und 8 Figuren — Preis M. 3.50 — Verlag von *Manz & Lange*, Hannover-Linden bietet Ableitung und Erklärung der an den Modellen dargestellten Vorgänge. — Hier sei nur Folgendes erwähnt:

Es ist zweckmässig, ja notwendig, den Versuch zu wagen, die gewöhnlichen, für Flüssigkeiten erkannten Bewegungsgesetze, soweit sie sich verallgemeinern lassen, auch auf die Bewegung des Äthers anzuwenden. — Es ergibt sich alsdann eine interessante Perspektive von Erkenntnissen über das Wesen der elektrischen und magnetischen Erscheinungen. Kurz mitgeteilt, sind folgende Punkte von Bedeutung:

1. Ausser der Wärmebewegung, welche zugleich Ursache aller materiellen Druckarten, und deren Wechsel, z. B. auch Träger der Schallwellen ist, besteht im Weltall eine ätherische Bewegung; das ist eine Bewegung höherer, feinerer Art.

2. Wie die chaotische Grundbewegung der Materie, die Wärme, den materiellen Druck, d. h. den molekularen Druck, z. B. den Luftdruck erzeugt oder bedingt, so ist die chaotische ätherische Grundbewegung Ursache eines statischen Ätherdrucks.

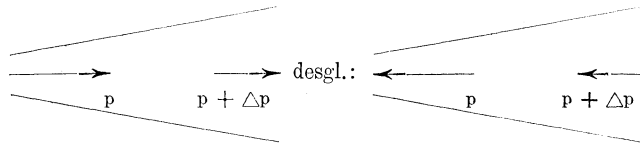
3. Alle elektrischen und magnetischen Erscheinungen sind dem Schall und seinen mechanischen Wirkungen verwandt, sie sind der Ausdruck von Schwingungserscheinungen ätherischer Art, d. h. eines Wechsels im Ätherdruck.

4. In einem geschlossenen Gefäss erzeugte Wellen bedingen eine Vermehrung des Drucks in dem das Gefäss erfüllenden elastischen Mittel.

5. Die Druckwirkung der Wellen ist eine dynamische; sie tritt nicht nach allen Seiten gleichmässig auf, wie statischer Druck, sondern nur zumal oder einzig nur in Richtung der Schwingung.

6. Wellen erzeugen durch die Schwingung eine Polarisation des Drucks; d. h. es herrscht in Richtung der Schwingung die Gesamtsumme aus statischem und dynamischem Druck, quer dazu einzig oder fast nur statischer Druck.

7. Von *höchster Wichtigkeit* ist das Studium der bei *Ausbreitung von Wellen* statthabenden Vorgänge. Hier treten Erscheinungen ein, welche den bei Ausbreitung von Flüssigkeits-Strömungen in conischen Röhren sich ergebenden Erscheinungen verwandt sind. Nach aussen hin tritt im äusseren Rohrteil an Stelle des dynamischen Drucks ein Zuwachs Δp an statischem Druck.



Der grössere statische Druck findet sich dort, wo die Bewegung bezw. Strömung oder Schwingung am kleinsten ist, das heisst in dem weiteren Rohrquerschnitt, oder verallgemeinert, entfernt vom Centrum.

8. Es ist Aufgabe des theoretischen Studiums, alle zwischen statischem und dynamischem Druck der Wellen bestehenden Beziehungen zu betrachten, bezw. aufzufinden. Alle Naturkräfte lassen sich auf das Zusammenwirken der statischen und dynamischen Druckarten verschiedener Ordnung zurückführen.

9. Von einem Centrum radial ausstrahlende Energie oder Schwingung reflectirt an den unendlichen Massen entferntester Kugelschalen und vermag daher nur im Moment einer Steigerung der Energie am Centrum von diesem aus radial in den Raum hinaus zu entweichen. Aus diesem Grunde isolirt der mit freier ätherischer Bewegung erfüllte Raum alsbald, während im Moment einer Spannungsänderung Elektrizität aus einem Draht normal in den Raum hinaus entweicht. — Näheres vergl. das angezogene Buch.

(M. Möller.)

Dritter Abschnitt. Verschiedene technische Anwendungen.

Y. Geodätische, nautische und meteorologische Instrumente.

299 **Logarithmischer Tachymeter**, von **Tichy & Ott**; ausgestellt von dem math.-mech. Institut von **A. Ott**, Kempten.

Den wichtigsten Teil dieser zumeist auf Präcisions-Tachymetrie abzielenden neu construirten Universalinstrumente bildet der bereits 1878 von Ingenieur *A. Tichy* erfundene logarithmische Entfernungsmesser in seiner neuesten Form.

Die Neuerung besteht darin, dass, während bisher das Fernrohr mit einem Ocular-Filar-Schrauben-Mikrometer versehen sein musste, um die optisch gemessene Entfernung in Form des *vierstelligen* gemeinen Logarithmus zu erlangen, bei der neuesten Construction das obenerwähnte Mikrometer entbehrlich wird, und zwar durch folgende Einrichtung:

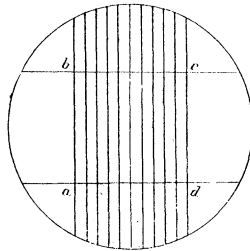


Fig. 1.

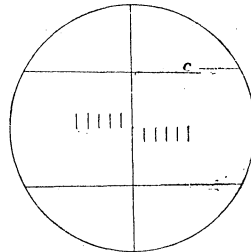


Fig. 2.

Fig. 1 stellt das mit dem Fadennetze bespannte Gesichtsfeld eines Theodolith-Fernrohres mit astronomischem Ocular dar, dessen optische Kraft zu einer 25 bis 30maligen Vergrößerung gut hinreichen muss.

Der Faden *ad* ist horizontal, *bc* unter einem Winkel von $1^{\circ} 18' 16''$ gegen *ad* geneigt. In der Praxis darf dieser Neigungswinkel, ohne einen merklichen Fehler zu verursachen, um $\pm 10''$ ungenau sein. *a* ist der Nullpunkt des Fadennetzes hinsichtlich der Entfernungsmessung. Der Abstand *ab* entspricht der Constanten 100 nach *Reichenbach'scher* Definition und es ist $ab = ad$. Die 11 Verticalfäden, wovon der mittlere auffallend dünner ist als alle übrigen, haben unter einander gleiche Abstände und kreuzen rechtwinklig mit dem Faden *ad*, auf welchen das

Libellensystem des Instrumentes bezogen ist. Ferner ist $cd = ab - \frac{ab}{43.9315}$;

d. h. *cd* ist um den Wert einer logarithmischen Einheit der zweiten Decimalstelle kleiner als *ab*.

Die logarithmische Lattenteilung (Fig. 3) hat am oberen Ende eine horizontale Nullmarke, welche um den Wert der additionellen Constanten c teilungseinwärts gerückt ist. Von hier an sind 10 cm — c ungeteilt und dann beginnt die Scala von Einheit zu Einheit der zweiten logarithmischen Decimalstelle des Metermasses in Form von schwarz mit weiss abwechselnden schiefen Feldern, deren Neigung jener des Fadens bc entspricht. Die noch messbare grösste Entfernung ist durch die Lattenlänge begrenzt und reicht bei den üblichen drei Kategorien bis 200, 250 und 300 m.

Wird der horizontale Faden ad auf die Nullmarke der fix und vertical stehenden Latte derart eingestellt, dass der verticale Faden ab die Mittellinie deckt, so muss der schiefe Faden bc (eine unpassende, d. h. zu kleine, oder zu grosse Entfernung ausgeschlossen) irgendwo zwischen zwei Marken am Bilde der logarithmischen Lattenteilung zu liegen kommen und der Beobachter hat nur mehr die Einstellschraube der Alhidade des Horizontalkreises in der Richtung des Pfeiles (Fig. 1) solange wirken zu lassen, bis der schiefe Faden die nächst innere Marke genau erreicht, während der Horizontalfaden der Höhe nach unverändert auf die Nullmarke gerichtet bleibt, insofern das Instrument horizontal war und die in Anwendung gekommene Einstellschraube durch ihre Bewegung den Stand der Verticalaxe des Instrumentes nicht im geringsten beunruhigt. Ist die Einstellung des schiefen Fadens in der angegebenen Weise bewirkt, so hat man nachzusehen, um welches Mass sich der Verticalfaden ab von der Mittellinie des Lattenbildes nach links entfernt hat. Die ersten 2 Stellen vom Logarithmus der Entfernung sind die vom schiefen Faden durchschnittenen beiden Ziffern, welche an der Latte geschrieben stehen, die dritte Stelle wird an den zwischen ab und der Lattenmitte in Vorschein gekommenen Verticalfäden ausgezählt und die vierte ergibt sich durch Zehntelschätzung zwischen der Lattenmitte und dem links nächststehenden Verticalfaden.

Dieses vom Ingenieur Tichy unter dem Namen „*der optische Messkeil*“ eingeführte Princip ist einer ungemein genauen Pointirung der Lattenteilung sehr günstig*).

Schon aus Rücksicht darauf, dass das Schadhafwerden auch nur eines einzigen Fadens gleichbedeutend wäre mit dem Zugrundegehen des ganzen Netzes hat man sich bei der Ausführung anstatt der Spinnenfäden für die Anwendung eines Glasmikrometers mit eingeritztem Netz entschieden, wodurch es auch möglich geworden ist, den optischen Messkeil so auszugestalten, wie dies in Fig. 2 dargestellt ist.

*) Nebst Voraussetzung normaler atmosphärischer Verhältnisse hängt der in der Praxis erreichbare Genauigkeitsgrad von nichts so sehr ab, als von dem Geübtheit des Beobachters im scharfen Einstellen der beiden Fäden des optischen Keiles auf die Marken der Lattenteilung und es erreicht erfahrungsgemäss der *wohlgeübte* Beobachter gar nicht schwer den Genauigkeitsgrad von $\pm \frac{1}{4000}$ bis $\pm \frac{1}{5000}$ der gemessenen Entfernung.

Die Latte ist in Υ Form construiert. Behufs der sehr notwendigen Fixirung und genauer Verticalstellung ist die Latte mit stativfussähnlichen Stützstreben und mit Kreuzlibellen versehen.

Der normale Tachymeter-Theodolith

hat ein durchschlagbares Fernrohr und liefert eine 30malige Vergrößerung. Das Fädenetz ist nach Fig. 2 auf einem 0,2 mm dicken Planglase eingeritzt und entspricht der Constanten 100. Der schiefe Faden setzt nach Überschreitung des Punktes c ab und ist sodann nach Massgabe der vollen Constanten 100 horizontal fortgesetzt. Diese Fortsetzung dient zu allenfallsigem Gebrauche nach Reichenbachs Methode.

Das Instrument hat einen repetirenden Horizontalkreis von 15 cm und einen Vertical-Bogen von 13 cm Teilungsdurchmesser. Die Winkelteilung ist zwar nach 360 gradigem System, jedoch mit decimaler Unterteilung des Grades ausgeführt. Die Ablesung geschieht sowohl am Horizontalkreise, als am Höhenbogen mit nur je *einem* kleinen Mikroskope, in dessen Bildebene auf einem Glasmikrometer durch eingeritzte Striche ein Gradintervall in Zehntel geteilt ist, so dass in dem durch diese Unterteilung entstehenden, scheinbar 2 mm breiten Zehntelgrad-Intervall eine *ganz zuverlässige* Lesung des stehenden Hundertelgrades durch Ocularschätzung ermöglicht ist. Jeder dritte Gradstrich, der bloss auf ganze Grade ausgeführten Teilung am Limbus ist beziffert und da reichlich 4 Gradintervalle in das Gesichtsfeld des Mikroskopes fallen, so ist auch die Bezifferung stets im Mikroskope direct ablesbar.

Die Bezifferung der Winkelteilung des Verticalbogens ist so angeordnet, dass einer auf den Horizontalfaden des Fernrohres bezogenen horizontalen Visur bei einspielender Blase der Alhidadenlibelle des Verticalbogens die Lesung 0° am langen Indexstrich des Mikroskopes entspricht. Von dieser Nullstellung aus ist der zum Vollkreise ergänzt gedachte Bogen in *einem* Sinne bis 360° beziffert, und zwar so, dass die Lesungen 0° bis 45° den Höhenwinkeln, die Lesung 315° bis 360° den Tiefenwinkeln entsprechen.

Parallel zur Gradteilung des Höhenbogens und derselben direct correspondirend ist auch noch eine logarithmische Teilung, vom Nullpunkte beiderseits aufgetragen. Dieselbe liefert das Element a zur Reduction der logarithmisch gemessenen schiefen Distanz auf den Horizont und ist nach der Formel

$$a = \log \left(\frac{1}{\cos^2 \alpha (1 + 0,01 \tan \alpha)} \right)$$

construiert, worin α den Neigungswinkel der auf den Horizontalfaden bezogenen, nach dem Nullpunkte der vertical stehenden Latte gerichteten Visur des Fernrohres bedeutet. Die Lesung dieser logarithmischen Teilung geschieht am Indexstrich des fix stehenden Mikroskopes, da dieselbe samt ihrer Bezifferung in dasselbe Gesichtsfeld wie die Gradteilung fällt. Sie gibt an, wieviel logarithmische Einheiten der vierten Decimalstelle von

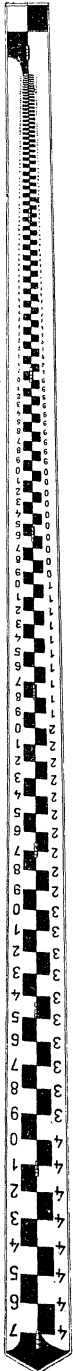


Fig. 3.

der Lattenlesung jeweilig abzuziehen sind, um als Rest den Logarithmus der horizontalen Entfernung zu erhalten. Von 0 nach beiden Seiten sind die ersten 10 Einheiten direct aufgetragen, dann weiter Einheiten der dritten Stelle, in deren Intervallen jene der vierten Stelle durch Zehntel-schätzung erlangt werden. So oft, als es sich nicht zugleich auch um die Bestimmung von Höhenunterschieden handelt, braucht der Verticalwinkel behufs Reduction der schiefen Entfernung auf den Horizont gar nicht abgelesen zu werden und wird die Berechnung der horizontalen Entfernung eine überraschend einfache, da sie sich lediglich auf die Subtraction der beiden Beobachtungselemente und *eventuell* schliesslich auf das Ausheben der Zahl zum Logarithmus in einer vierstelligen Logarithmentafeln beschränkt. Weil bei einem solchen Instrumente auf eine exacte Axenrotation ungemein viel ankommt, so ist dasselbe nicht blos mit ganz ungewöhnlich langen Verticalaxen construirt, sondern auch noch mit einigen neuartigen Klemm- und Einstellvorrichtungen bedacht.

Das Libellensystem des Instrumentes besteht aus einer zur optischen Axe parallel corrigirbaren grossen und einer ebenfalls mit dem Fernrohr fix verbundenen, jedoch wieder zu dessen Horizontalaxe parallel corrigirbaren kleinen Reversionslibelle, welche zugleich zur ersten Horizontirung des Instrumentes dient, dann aus einer gewöhnlichen Libelle an der Alhidade des Höhenbogens, welche jedesmal unmittelbar vor dem Ablesen des Bögens zum Einspielen gebracht werden soll.

Zum Zwecke der Beseitigung des Collimationsfehlers ist das Objectiv durch Seitwärtsrückung corrigirbar eingerichtet. Da der Excentricitätsfehler des Horizontalkreises unter 24" gebracht werden kann, so ist die einfache Ablesung am Horizontalkreise gerechtfertigt.

Der Tachymeter - Theodolith mit diametralen Schraubenmikroskopen

ist nach denselben Hauptgrundsätzen construirt, wie der vorher beschriebene, nur mit jenen Unterschieden, wie solche die Präension von 0,001° bezüglich Feinheit der Winkelmessung erheischt.

Als (*zugehöriges*) Bureau-Instrument dient der neu erfundene Auftragapparat (Fig. 4) samt eigens dazu construirtem Arbeitstisch.

Dieses Instrument dient zur maschinellen Auftragung der am Felde nach der Polarmethode tachymetrisch aufgenommenen Detailpunkte auf den Plan von den vorher im Constructionswege aufgetragenen Instrumenten-Standpunkten aus, über welchen der Auftragapparat centrisch aufzustellen kommt, um sonach nach den im Feldmanuale eingeschriebenen Richtungswinkeln und horizontalen Entfernungen die Detailpunkte zu markiren.

Die Construction beruht auf dem Princip, dass ein mit seiner Mantellinie auf eine horizontale starre Ebene gelegter regelrechter Kegel, in wälzende Bewegung versetzt, einen genauen Kreis beschreiben muss. In der vorliegenden constructiven Anordnung sind 3 identische abgestutzte Kegel, jeder in einem eigenen Rahmen zwischen 2 mit Gegenmuttern

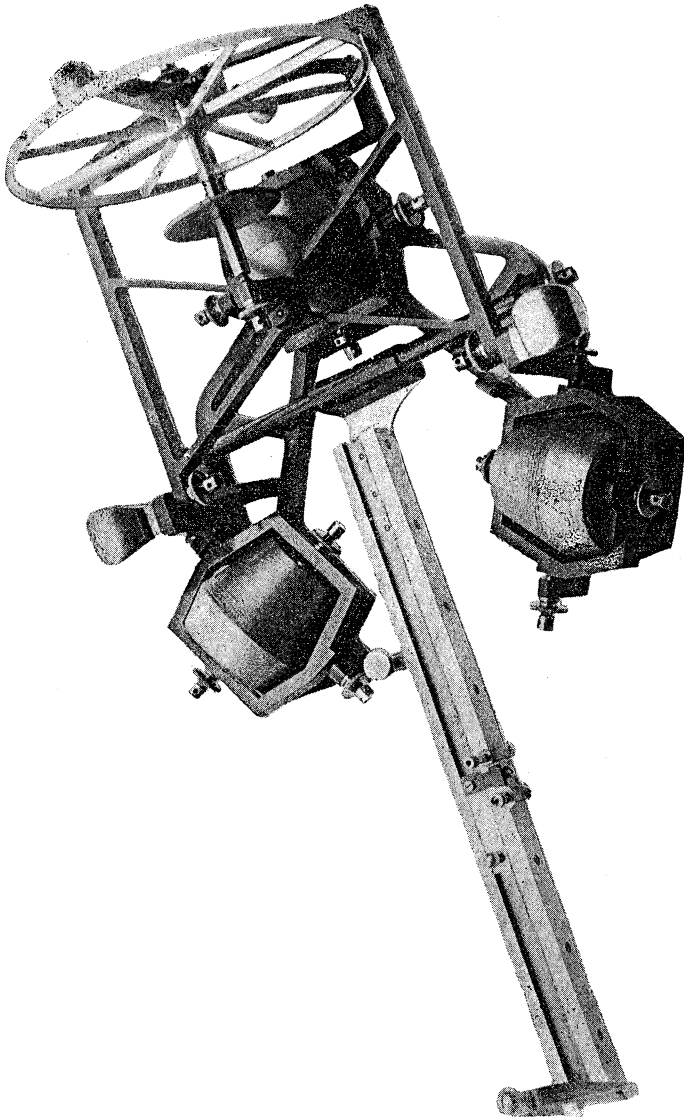


Fig. 4.

versehenen Spitzschrauben axial und corrigirbar gehalten, in einem gemeinsamen grossen Hauptrahmen gelenkig und derart montirt, dass die 3 Kegeln um ungefähr je 120° in ihrer horizontalen Projection auseinander stehen und sich in *einem* Punkte am Plane, dem „Pol“ des Instrumentes genau schneiden. Infolge dessen muss der exact rectificirte Apparat constant um den Pol rotiren, ohne dass es notwendig ist, denselben, wie dies bei anderen bekannten Constructionen geschieht, an den Pol mechanisch festzunageln.

Zum Auftragen der Entfernungen und zugleich als Führungshebel zur Handhabung der rotirenden Bewegung, sowie als Mittel zur Hemmung derselben dient ein reichlich 30 cm langes schweres Lineal, welches am Hauptrahmen gelenkig, mit seitlicher Correction zwischen 2 Spitzschrauben derart eingehängt ist, dass die Piquirnadel des am Lineale in Falz und Nuth laufenden Indexschiebers ungehindert bis in den Pol, ja selbst noch ein wenig über diesen hinaus eingestellt werden kann. Am Lineal ist einerseits der Nuth eine Millimetertheilung, andererseits eine der letzteren correspondirende logarithmische Längenteilung angebracht. Der Indexschieber trägt einerseits einen Nonius von 10:9 dessen Nullstrich nach der anderen Seite hin ganz durchgezogen ist, um zugleich zur Einstellung auf die logarithmische Scala zu dienen.

Zum Einstellen der Richtungswinkel dient ein zart ausgeformter Speichenkreis von 18 cm Durchmesser, welcher eine Stirnteilung auf 100 gleiche Teile trägt. Die Axe dieses Kreises ist mit einem fixen Rotations-scheibchen versehen und das Ganze in einem eigenen Rahmen abermals zwischen Spitzschrauben corrigirbar gehalten. Dieser Rahmen ist wieder mittelst eines Spitzschraubenpaares am Hauptrahmen gelenkig und derart anmontirt, dass das Rotations-scheibchen auf den im negativen Sinne abgedrehten Absatz des in der verlängerten Richtungslinie des Lineals liegenden Kegels zu ruhen kommt, während der Kreis über den Kegel frei hinausragt. Das Scheibchen hat die Aufgabe, die Wälzung des Kegels auf den getheilten Kreis zu übertragen und ist im Verhältnis zum Kegel so dimensionirt, dass es sich samt dem Kreise 3,6 mal umdrehen muss, während der Gesamtapparat einen vollen Kreis um den Pol herum beschreibt, wodurch ein Teilungs-Intervall am Kreise genau den Wert eines Grades erlangt. Da der Umdrehungskörper, worauf das Scheibchen ruht, ein Kegel ist, so muss der Winkelindicator durch Correction in der Richtung seiner eigenen Rotationsaxe genau auf $360,00^\circ$ justirbar sein.

Wird das Lineal am äusseren Ende erfasst und ein wenig gehoben, so kann damit der Apparat im Kreise gedreht werden. Diese Bewegung erscheint sofort gehemmt, als man das Lineal in dem Momente, wo der Winkelindicator das verlangte Gradmass zeigt, auf den Plan sinken lässt. Damit die führende Hand keinen schädlichen Zug oder Schub in radialer Richtung üben könne, ist das äussere Linealende mit einem gelenkigen Handhabebügel versehen.

(Tichy.)

- 300 Himmelsuhr** nach Geh. R. Prof. **Reuleaux**, technische Hochschule Berlin-Charlottenburg.
- 301 Zwei Dromoskope**, von **Garbich** und von **Paugger**, zur Berechnung der Compassdeviation. Ausgestellt von der **Seewarte Hamburg**, Director Geh. Adm.-Rat **Neumayer**.
- 302 Apparate zur Umwandlung der Kurse; Sphärogramm von Volbers; Navisphère** von Kap. **De Magnac**. Ausgestellt von der **Seewarte Hamburg**, Director Geh. Adm.-Rat **Neumayer**.
- 303 Meteorograph nach Neumayer**. Ausgestellt von der **Seewarte Hamburg**, Director Geh. Adm.-Rat **Neumayer**.
- 304 Apparat zur Bestimmung der Höhe und Geschwindigkeit der Wolken**, von Lieut. Gen. **Strachey**, London.

Der Apparat dient zum Registriren von Meteoren und zarten Lichterscheinungen, wie des Zodiakallichtes, am Himmel.

Zur Bestimmung der Höhe von Wolken werden Photographien auf zwei Stationen gleichzeitig aufgenommen; zur Bestimmung der Geschwindigkeit aber auf derselben Station in Zwischenräumen von einigen Minuten. Der ausgestellte Apparat dient dazu, aus diesen Photographien die gewünschten Grössen zu ermitteln.

Die Stationen A, B liegen im Park von Kew (wo sich die meteorologische Hauptstation Englands befindet) in einer Entfernung von 2400 Fuss.

Ursprünglich waren die Camera's theodolitenartig aufgestellt, so dass die Axen beide auf denselben Punkt des Himmels gerichtet werden konnten. Bedeuten nun A und B die Azimuthe und Z_a, Z_b die Zenithentfernungen eines Punktes in einer Wolke, an den Stationen A und B bestimmt, β die Entfernung der Stationen, D_a, D_b die horizontalen Entfernungen der Stationen von dem Punkte, welcher senkrecht unter dem beobachteten Wolkenpunkte liegt, und H die Höhe der Wolke, so hat man

$$H = \beta \frac{\sin B}{\sin(A - B) \tan Z_a} = \beta \frac{\sin A}{\sin(A - B) \tan Z_b}.$$

Zur raschen Berechnung dieser Werte dient der unter Nr. 15 (vergl. pag. 144) ausgestellte Rechenschieber. Derselbe enthält zwei nebeneinander liegende Schieber. Der feste Stab enthält dem oberen Schieber gegenüber eine Einteilung nach log sinus, gegenüber dem unteren aber nach den Logarithmen der Zahlen, und zwar steht dem $\log \sin 90^\circ$ der Logarithmus der Basislänge, also $\log 2400$ gegenüber. Der obere Schieber enthält die Logarithmen der sinus kleiner Winkel. Auf demselben ist ein Index I markirt, welcher dem $\log \sin 5^\circ 44' 27''$ ($= 9.00000$) oder dem $\log \sin 0^\circ 34' 23''$ ($= 8.00000$) entspricht.

Der untere Schieber ist nach $\log \tan Z$ eingeteilt; der als Index II markirte Punkt gibt $\log \tan 45^\circ$.

Zur Anwendung stellt man Index I auf den Winkel A der oberen festen Einteilung ein und den Index II auf den Winkel A — B des ersten Schiebers. Dem Index II gegenüber liest man dann auf der unteren Einteilung die Entfernung D_b ab und dem Winkel Z_b des zweiten Schiebers die Höhe der Wolke in Fussen.

Hat man auf dieselbe Weise D_a bestimmt, so kann man graphisch die Lage des Punktes A in der Horizontalebene bestimmen, welcher unterhalb eines beobachteten Wolkenpunktes liegt. Macht man kurze Zeit später eine ähnliche Bestimmung für denselben Wolkenpunkt, so erhält man graphisch die Verschiebung der Wolke während des Zeitintervalles der beiden Bestimmungen und daraus sofort die Geschwindigkeit der Wolke.

Die hiebei benutzten Wolkenpunkte werden auf den Photographien ausgesucht. Da jedoch wegen der unbestimmten und fortwährend wechselnden Formen der Wolken solche Punkte schlecht zu finden sind, gab diese Methode nur wenig befriedigende Resultate. Im Jahre 1890 ward daher eine andere Methode in Anwendung gebracht.

Die Camera's sind beide auf den Zenith gerichtet. Auf den Platten sind den Seiten parallel zwei Linien markirt, die sich in den Mittelpunkten M_a, M_b schneiden. Je eine dieser Linien liegt in der Basis AB.

Ist nun f die Brennweite der Linsen, so werden deren optische Mittelpunkte $F_1 F_2$ in den Entfernungen f über den Mittelpunkten der Platten liegen. Nehmen wir nun in der Wolke den Punkt P, welcher im Zenith des Mittelpunktes der Basis AB liegt, so werden dessen Bilder P_a, P_b auf eine Linie der Platten fallen und zwar beide ausserhalb der Punkte M_a, M_b in gleichen Abständen von letzteren. Die Punkte P_a, P, P_b bilden ein gleichschenkliges Dreieck mit der Grundlinie $P_a, P_b = \beta$ und der Höhe h gleich der zu bestimmenden Wolkenhöhe. Verschiebt man aber die Platten in ihrer Ebene längs der Basis, bis ihre Mittelpunkte M_a, M_b und daher auch die Punkte F zusammenfallen, so erhält man ein ähnliches Dreieck $P_a F P_b$ mit der Basis $P_a P_b = p$ und der Höhe f . Es ist daher $hp = \beta f$. Misst man daher p , so ergiebt sich die Wolkenhöhe sofort, da β und f Constante sind. Diese Messung von p ist natürlich auf obige Weise nicht ausführbar, da weder der Punkt P noch irgend ein anderer Punkt der Wolke scharf markirt ist. Legt man aber die Platten so aufeinander, dass deren Basis und die Punkte P_a, P_b zusammenfallen, so wird $M_a M_b = p$. Zugleich werden alle Punkte der einen Platte mit den entsprechenden der anderen zusammenfallen. Mit anderen Worten, man legt die entwickelten Platten so aufeinander, dass die Wolkenbilder coincidiren; die Entfernung der Mittelpunkte beider giebt dann das p .

Praktisch geschieht diese Messung in folgender Weise. Ein hölzerner Kasten, welcher an einer Seite sowie oben offen ist, trägt oben Schienen,

auf denen ein Rahmen hin und her geschoben werden kann. Über diesem liegt ein zweiter Rahmen, der rechtwinkelig zum ersten verschiebbar ist. In diese Rahmen werden die zwei photographischen Platten gelegt und sind dann leicht in eine solche Lage gebracht, dass ihre Bilder zusammenfallen. Zum richtigen Einstellen ist über den Scheiben ein verticales Rohr angebracht, durch welches man senkrecht auf die Bilder blickt. Zur Erleuchtung der Bilder dient eine gegen die offene Seite des Kastens geneigte weisse Fläche. Wenn die Bilder zusammenfallen, misst man mit einem Zirkel die Entfernung der Mittelpunkte beider Platten, also das p . Um hieraus das x , die gewünschte Wolkenhöhe zu finden, ist die Hyperbel $h p = \beta f$ verzeichnet, deren Basis passend eingeteilt ist. Sucht man also mit dem Zirkel die dem y gleiche Ordinate, so liest man die Höhe h sofort ab.

Hiebei ist zu bemerken, dass in dem Aufsatz: „*Cloud Photography conducted under the Meteorological Council at the Kew Observatory*“; by Lieut.-General *R. Strachey*, R. E., F. R. S., and *G. M. Wimple*, Superintendent of the Observatory, die Gleichung der Curve nicht als $ph = \beta f$, sondern in der Form

$$h = \beta \cot \pi$$

gegeben ist. Da aber $\cot \pi = \frac{f}{p}$ ist und auf der Basis der Curve nicht die Winkel π , sondern wirklich die h abgetragen sind, so ist die Curve die angegebene Hyperbel.

Es bleibt noch übrig, die Geschwindigkeit der Wolken zu bestimmen. Werden zwei Photographien auf derselben Station t Secunden nach einander aufgenommen und die erhaltenen Bilder auf die beschriebene Weise zur Deckung gebracht, so wird die Entfernung $\delta = M_a M_b$ der Plattenmittelpunkte den während der Zeit von t Secunden in der Camera zurückgelegten Weg angeben. Da nun die Wolken und ihr Bild ähnliche Figuren sind mit dem Ähnlichkeitsverhältnis $\frac{h}{f} = \frac{\beta}{p}$, so ist der von der Wolke beschriebene Weg durch $\delta \cdot \frac{\beta}{p}$ gegeben und die Geschwindigkeit V durch

$$V = \frac{\delta}{p} \frac{\beta}{t}$$

Um diese in Meilen per Stunde anzugeben, ist der Ausdruck noch durch 5280 (der Anzahl Fusse in der englischen Meile) zu dividiren und mit 3600 zu multipliciren. Dies giebt

$$V = \frac{\delta}{p} \frac{\beta}{5280} \frac{3600}{t}$$

Auch dieser Ausdruck wird graphisch ermittelt. Zu diesem Zwecke sind

auf einem Cartonbogen ausser der besprochenen Hyperbel noch zwei weitere Figuren gedruckt. Die eine besteht aus zwei Parallellinien, die von einer Senkrechten in den Punkten M und N geschnitten werden, wo nach einem beliebigen Masstabe $MN = \beta$. Trägt man nun von M und N nach derselben Seite hin $MN = NQ = \delta$ ab und von M nach N hin $MR = p$, so wird die Gerade PR die zweite Parallele NQ in einem Punkte S schneiden, so dass $QS = \frac{\beta\delta}{p}$. Um hieraus V zu finden, dient die dritte Figur. Auf einer horizontalen Geraden sind gleiche Abstände, Sekunden repräsentirend, abgetragen von 0 bis 120 und durch die Teilpunkte werden Senkrechte gezogen. Auf derjenigen durch den Teilpunkt 60 wird eine Strecke abgetragen, deren Länge einer Meile gleich, wenn sie auf dem Masstab gemessen wird, auf dem die in letzter Figur die Basis β repräsentirende Länge MN 2400 Fuss angiebt. Diese Strecke wird in 60 gleiche Teile geteilt und die Teilpunkte werden mit dem Nullpunkt der Sekunden durch Gerade verbunden und von unten an nummerirt. In der Figur sind diese Linien nun zwischen den Senkrechten von von 60 bis 120 Sekunden gezogen, weil diese Zeiten allein in Betracht kommen. Nimmt man nun die Strecke $QS = \frac{\beta\delta}{p}$, wie sie oben bestimmt wurde, zwischen die Zirkelspitzen und setzt den Zirkel auf der Senkrechten, die dem Zeitintervalle t entspricht, an, so giebt die Nummer derjenigen geneigten Geraden, welche durch den Endpunkt geht, die Geschwindigkeit in Meilen per Stunde an.

Wegen weiterer Details wird auf die citirte Arbeit verwiesen.

(O. Henrici.)

Vergleiche zu diesem Abschnitte noch die in Abtlg. I unter Nr. 82, 83, 84, 87, 93, 94 aufgeführten Instrumente.

Nachtrag zur II. Abtheilung.

185a. **Regelfläche vierter Ordnung** von **B. v. Tötössy**, technische Hochschule Budapesth.

Specialfall der Fläche vierter Ordnung mit Cuspidalkegelschnitt. Selbstberührung längs einer Geraden; eine Rückkehrerzeugende.

Namenregister.*)

- Abdank-Abakanowicz. 197, 201.
Ackermann, Th. 245.
Adami, Fr. 225.
Amsler, A. 198, 202, 217.
Amsler-Laffon, J. & Sohn. 188, 197, 202.
Apel, F. 252, 280.
Apian, P. 146.
Archimedes. 246, 249.
Atwood. 308, 309.
Ausfeld, H. 184.
Babbage, Ch. 154.
Bacharach, J. 289, 292.
Ball, Rob. S. 283.
Bardin, L. J. 246.
Barrell, F. R. 308.
Barthelmes, A. 147.
Bashforth, F. 363.
Baumann. 272.
Baumann. 340.
Baumer. 256.
Bauschinger, J. 314.
Bayreuth, Strassen- u. Flussbauamt. 193.
Beck. 164, 232.
Beireis. 149.
Bellermaun, G. 335.
Berlin, Akademie d. Wissenschaften. 252.
Berlin-Charlottenburg, Kinemat. Sammlung der techn. Hochschule. 150, 335.
Bernoulli. 179.
Beyerlen, A. & Co. 143, 147.
Bianchi, L. 292.
Bitterli, E. 198.
Bjerknes C. A. 404.
Björling. 272.
Blanc, F. 145.
Blümcke, A. 395.
Böhm & Wiedemann. 379, 380.
Böhmländer, F. 267.
Böklen, O. 245, 377, 378.
Boltzmann, L. 309, 360, 361, 405.
Bonnet, O. 294, 295.
Boucher, A. E. M. 142.
Bour. 291.
Bourdon. 347.
Boys, C. V. 362.
Brauer, E. 234, 237.
Braun, C. 160, 227.
Braune, W. 351, 357.
Braunmühl, A. von. 290, 294.
Bravais. 373.
Breithaupt. 190.
Brill, A. 178, 245, 255, 258, 265, 267, 276, 279, 280, 283, 285, 288—291, 294—296, 312, 377.
Brill, L. 168, 175, 176, 178, 245, 251—298, 312, 377.
Brückner, W. 151.
Brügel, C. & Sohn. 244.
Brunn, Herm. 278.
Büttner. 151.
Buka, F. 260, 276.
Burkhardt, A. 150.
Burkhardt, H. 177, 178.
Burmester, L. 326, 328, 331, 335.
Burstow. 230.
Cardan. 228, 342, 348.
Cassini. 257, 279.
Catalan. 295, 296.
Cayley. 263, 279, 282.
Clausius. 391.

*) Die beigeetzten Zahlen sind Seitenzahlen.

- Clebsch, A. 289, 312.
 Coradi, G. 180, 192, 193, 194, 195, 197,
 201, 231.
 Corka. 349.
 Dandelin. 229.
 Darboux. 263, 326, 327, 332.
 Darmstadt, Grossherzogl. Museum. 146,
 148.
 Darmstadt, Mathemat. Institut der techn.
 Hochschule. 234.
 Davies. 343.
 Delagrave, Ch. 246, 290, 314
 Delnest. 341.
 Dennert & Pape, Math.-mechan. Institut.
 139, 197.
 Diem, G. 281, 283.
 Diesel, R. 258, 285.
 Dini, U. 292.
 Dollinger. 255.
 Dresden, Kinemat. Sammlung der techn.
 Hochschule. 344, 348.
 Düstersick. 340, 343.
 Duffing. 268.
 Dupin. 265.
 Dyck, W. 176, 178, 179, 201, 223, 251,
 255, 256, 277, 283, 290, 292, 299, 304.
 Eddy, H. T. 315.
 Edelman, Th. 331.
 Edmondson. 150, 151.
 Ehrhard, J. & Co. 243, 244, 245, 257, 258.
 Ehrmann. 368.
 Eisele. 270.
 Endres, J. 382.
 Engel, F. 368.
 Engstfeld. 371.
 Enneper. 292, 293, 295.
 Erhard. 349.
 Ernst. 184.
 Evans. 237.
 Everett, J. D. 141.
 Faraday. 284.
 Farey. 340, 343.
 Fink, K. 289.
 Finsterwalder, S. 223, 256, 265, 267, 276,
 279, 280, 281, 283, 288, 299, 302, 384.
 Fiorini, Pietro. 226, 243.
 Fischer, E. 245.
 Fischer, K. 260, 277, 318.
 Fischer, O. 350, 353, 357.
 Fischer. 312.
 Fitzgerald, G. 400, 401.
 Fleischhauer, E. 180.
 Fourier. 214, 256.
 Fraunhofer. 367.
 Fresnel. 378.
 Friedmann, Joseph, Bayreuth. 225.
 Froude. 144.
 Führtbauer. 368.
 Fuller. 142.
 Galton, F. 154, 164, 232.
 Ganga Ram. 144.
 Garbich. 417.
 Genaille, H. 146.
 Gersten, Chr. L. 146.
 Gibbs. 391, 393.
 Gleerup. 272.
 Göttingen, Mathemat. Institut der Uni-
 versität. 286, 287.
 Göttingen, Physikal. Institut der Uni-
 versität. 382, 384, 388, 389.
 Goldhammer, D. A. 391.
 Graz, Geodät. Institut der techn. Hoch-
 schule. 184, 187.
 Graz, Physikal. Institut der Universität.
 309, 360, 361.
 Greenhill, A. G. 179, 263.
 Grimme, Natalis & Co. 152.
 Gross. 214.
 Groth, P. 253, 379, 380, 382.
 Grübler, M. 331.
 Günther, O. 229, 408.
 Häuser. 272.
 Hahn 147, 149, 150.
 Hamburg, Seewarte. 224, 417.
 Hamilton. 280, 281.
 Hammer. 181.
 Hannynnton. 141.
 Hansen. 184.

- Hart. 321, 327, 332.
 Hartmann & Braun. 241.
 Hartner, F. 190.
 Hasselblatt, A. 139.
 Hauck, G. 234, 324, 325.
 Hawkins. 340.
 Henneberg. 297.
 Henrici, O. 150, 151, 173, 213, 222,
 258, 261, 267.
 Hermes. 225.
 Herrmanstörfer, J. 231.
 Herrmann. 340.
 Herschel, A. 253, 377.
 Herting. 288, 289, 294, 295.
 Hertz. 401.
 Hess, E. 246, 250.
 Hesse, O. 169, 261, 264.
 Hildebrandt. 229.
 Hill, M. J. M. 244.
 Hogarth. 257.
 Hoff. 340, 341, 343.
 Hohmann, F. 193, 194, 195.
 Hooke. 344, 347, 348, 350.
 Hudson. 144.
 Huyghens. 279, 363, 364.
 Jensen. 340.
 Joos. 272.
 Karlsruhe, Seminar für darst. Geometrie
 a. d. techn. Hochschule. 268, 269, 270,
 278.
 Keller, J. 274.
 Kelvin (W. Thomson). 212, 221.
 Kempe, A. B. 315, 326, 332.
 Kepler. 247, 248.
 Kerschensteiner, G. 168.
 Kleiber, J. 177, 179, 255, 309, 318.
 Klein, F. 179, 265, 268, 283, 289.
 Kleinert, J. 364.
 Kloth, M. 183.
 Königs. 327.
 Königsberg, Physik. Institut der Uni-
 versität. 214.
 Köpp, G. 243, 244, 245, 246, 257, 258.
 Korteweg, D. J. 301, 306.
 Kreidl, A. 160, 227.
 Kronecker, L. 170.
 Krüss. 250.
 Kuen, Th. 178, 288, 292, 293.
 Kummer, E. 265, 280, 282, 285, 289.
 Kysäus. 371.
 Laine. 295.
 Lambert, J. H. 139, 370.
 Landsberg & Parisius. 143.
 Landsberg & Wolpers. 142.
 Lange, E. 260, 268.
 Lefrançois, V. 197.
 Legendre. 178.
 Leoben, Geodät. Institut. d. Bergakad. 190.
 Leonardo da Vinci. 340, 341, 343.
 Lie, S. 297.
 Linnin. 340.
 Lodge Oliver. 401.
 Lohde. 282.
 London, Mathemat. Society. 262, 267, 283.
 London, South Kensington Museum.
 154, 212, 213, 362.
 Lorber. 190, 194, 196, 197.
 Lorenz, G. 363.
 Lucas, Ed. 146.
 Mack. 292.
 Magnac, de. 417.
 Mannesmann. 349.
 Mannheim. 263.
 Manz & Lange. 409.
 Maxwell, C. 265, 301, 400, 401, 405, 408.
 Mayer, K. A. 231, 267, 309.
 Mayer, Max. 147.
 Mehmke, R. 142, 146, 158, 159, 227.
 Meyer, O. E. 364.
 Miller, A., Ritter von Hauenfels. 190.
 Möbius. 247, 249, 255.
 Möller, Max. 408.
 Möser. 245.
 Müller, J. H. 148.
 München, Geodät. Institut der techn.
 Hochschule. 150, 184, 193—195.
 München, Kinemat. Sammlung der techn.
 Hochschule. 197, 331, 335.

- München, Mathem. Institut der techn. Hochschule. 176—179, 201, 245, 251, 255, 256, 258—260, 263, 265, 267, 268, 272, 276, 277, 279—283, 285, 288—297, 299, 312, 314, 318, 373
- München, Mechan.-tech. Laboratorium der techn. Hochschule. 314.
- Muret, Ch. 246, 314.
- Natanson. 395.
- Neesen. 307, 312, 313.
- Neovius, E. R. 286, 295.
- Neper. 146.
- Nestler, A. 139.
- Neumayer. 224, 417.
- Newton. 255, 366, 367.
- Nichelson. 227.
- Nürnberg, Bayer. Gewerbemuseum. 349.
- Nürnberg, Industrieschule. 368.
- Ocagne, Maurice d'. 162.
- Odhner. 152.
- Oldham. 348.
- Olivier. 345.
- Oppikofer. 184.
- Ott, A. 197, 231, 411.
- Ott, M. 152.
- Paalzow. 313.
- Paugger. 417.
- Peaucellier. 321, 326.
- Pfaundler. 309, 360, 361.
- Plateau. 296.
- Plücker, J. 283.
- Poinsot. 246, 247.
- Pützer. 345.
- Rayleigh. 408.
- Reichenbach. 411.
- Reinbeck, K. 287.
- Reinhardt, C. 249.
- Reitz. 194, 224.
- Reuleaux. 149, 150, 335, 338, 340, 349, 417.
- Riecke. 384, 389.
- Riemann, B. 175, 179.
- Riga, Kinemat. Sammlung der techn. Hochschule. 331.
- Ritter, E. 241.
- Rittershaus, T. 343, 344, 348.
- Roberts. 320, 323, 324.
- Rodenberg, C. 263, 328, 330.
- Rohn, K. 227, 265, 266, 272, 275, 281, 284, 290.
- Saint-Venant, de. 314.
- Salmon. 273.
- Schellbach, K. 368.
- Scherer. 140.
- Scherk. 297.
- Scheutz, G. & E. 154.
- Schilling, C. 297.
- Schlegel, V. 253, 254.
- Schleiermacher, L. 282, 312.
- Schlotke, J. 245.
- Schmidt, M. 184.
- Schnabel. 371.
- Schönflies, A. 251, 252.
- Schröder, J. 227, 245.
- Schubert, H. 224.
- Schütz, J. 223.
- Schur, F. 250.
- Schuster, Chr. 149, 150.
- H. A. Schwarz. 175, 282, 286, 287, 294, 295, 296, 297.
- Seidel. 281, 282.
- Seiffert. 271.
- Selling. 152.
- Sharp. 222.
- Sheldrake. 347.
- Sheppard. 141.
- Sievert. 288, 289, 293.
- Slaby. 340, 343.
- Smith, F. J. 210.
- Smollin, G. 184.
- Sohncke. 253, 366, 373.
- Sommerfeld, A. 214, 222.
- Sonne, Ed. 142.
- Spott, M. 230.
- Stadler, J. 184, 187.
- Stampfer. 191.
- Stanley, W. F. 140, 141, 142, 144, 230.
- Starke, G. 190.

- Staude, O. 288.
Staudt, v. 261.
Steigerwald Neffe. 253, 373.
Steiner. 266, 386.
Steinheil, C. A. Söhne. 367.
Strachey, R. 144, 213, 417, 419.
Stühler, M. 231.
Streckfuss. 227.
Sucharda, A. 299.
Sylvester. 173, 315, 316, 318, 319, 322.
Tait. 278.
Tallqvist, H. 295.
Taylor. 256.
Tesch, C. 270, 275, 278, 370.
Tesdaorf, L. 180.
Teubner, B. G. 263.
Thacher. 140.
Thoma 245.
Thomas. 149, 150, 151.
Thomas F. 253, 371.
Thomson, James. 213.
Tichy, A. 411.
Tötössy, Bela v. 420.
Tübingen, Mathemat. Institut der Uni-
versität. 255, 378.
Ullmann. 270.
Urach, Wilhelm Herzog von, Graf von
Württemberg. 147.
Veltmann. 155.
Vergnano. 226.
Vogel, P. 256, 265, 291.
Vogler, Ch. A. 139.
Voigt. 367, 382, 384, 388.
Volbers. 417.
Volkmann. 214.
Vries, J. de. 247.
Waals, van der. 301, 391, 393.
Wangerin. 367.
Wastler, J. 184, 187.
Webb. 147.
Weber, R. 142.
Weierstrass, C. 297.
Weinhold. 363.
Wetli. 184.
White. 347.
Whitworth. 348.
Wiechert, E. 214, 222.
Wildbrett. 176, 178.
Wiener, Chr. 254, 256, 260, 263, 268,
269, 270, 275, 278, 298, 370.
Wiener, H. 226, 246, 255, 261, 268,
269, 275, 298.
Willis. 230.
Willis. 348.
Wimple, G. M. 419.
Winkelmann & Söhne. 276.
Wolff, Chr. 178, 255.
Wolz. 155.
Zahn, A. 244.
Zeuner. 392, 393.
Zimmermann. 270.

Sachregister.*)

- Abacus, technische 162, 163 — trigonometrischer 163 — zur Lösung cubischer Gleichungen 163.
- Abwicklung zweier Flächen auf einander. 291.
- Additionsmaschinen von Gersten 146 — M. Mayer 147 — Webb 147.
- Aether, Eigenschaften. 400.
- Aether, Elektrische Verschiebung. 401.
- Analysatoren, harmonische, von Henrici 213 — Lord Kelvin 212 — Sommerfeld u. Wiechert 214.
- Analysis situs von Raumcurven. 278.
- Anlegemasstäbe. 139.
- Asymptotencurven auf Rotationsflächen 288 — auf der Steiner'schen Fläche 289 — auf Flächen 3. O. 4. Cl. 289 — auf Minimalflächen 294 — in den Knotenpunkten 299 — ihre versuchsweise Bestimmung 290.
- Auflösung von Gleichungen. Apparate hiezu. Lineare Gl. 155 — cubische Gl. 158, 159, 163 — 4 und 5 gliedrige Gl. 158, 159.
- Axenmodelle, krystallographische. 379.
- Bahncurve eines schweren Punktes auf der Kugel. 312.
- Bessemerstahl, auf Torsion geprüfte Proben. 314.
- Bicycle. 405.
- Brennflächen. 282.
- Brennlinien. 279.
- Brennpunkt-Mechanismen. 334.
- Catenoid. 294.
- Centrafläche des Ellipsoides 282 — des einschäl. Hyperboloides 283.
- Chronograph von Bashforth. 363.
- Complexcurven auf dem Cylindroid. 283.
- Curven 3. und 4. Ordnung 255 -- transcendente, näherungsweise dargestellt 256 — Raumcurven 3. Ordnung 268 — 4. Ordnung 269, 270, 272.
- Curvenlineal aus Ellipsen bestehend. 230.
- Curvensysteme, orthogonale auf Kugeln 179, — orthogonale (Niveau- und Fallinien) auf den zur Functionentheorie gehörigen Flächen 175—178, — acquadistante, als Flächennetze hergestellt 290.
- Curvometer von Coradi 180 — Fleischhauer 180.
- Cyklidenmodelle. 265.
- Cykloiden, ebene, Erzeugung derselben. 230, 231, 335—338.
- Cykloiden, sphärische, Erzeugung derselben. 338, 339.
- Cyklonoiden, ebene, Erzeugung derselben. 335—338.

*) Die beigesetzten Zahlen sind Seitenzahlen.

- Cylinder, deformirbar. 258.
 Cylindroid. 275, 283.
 Cymograph von Willis. 230.
 Deviation des Compasses. 417.
 Discriminantenflächen zu den Gleichungen 3., 4. und 5. Grades. 168, 173.
 Doppelfaltenpunkte. 301.
 Dromoskop. 417.
 Elasticitätsflächen von Krystallen. 382.
 Elastische Dehnungscoefficienten von Krystallen. 382.
 Elektrizitätstheorie. Eigenschaften des Aethers 400 — Modelle zur Versinnlichung elektrischer Vorgänge 401, 404, 405, 408.
 Ellipsenzeichner von Baumann 340 — Braun 227 — Burstow 230 — Düstersick 340 — Farey 340 — Herrmann 340 — Hildebrandt 229 — Hoff 340 — Leonardo da Vinci 340 — Rohn 227 — Slaby 340 — Ovalwerke 340.
 Fadenconstruction des Ellipsoides. 288.
 Fallgeschwindigkeit, Apparat zu deren Bestimmung. 308.
 Faltenpunkte. 301.
 Fehlergesetz, Quicunx zur Illustration desselben. 154.
 Fernpunktlineal. 226.
 Flächen: 2. Ordnung aus Carton 258, Gips 257, 258, 285, Fäden 258—261, — confocale bewegliche Hyperboloide 261 — confocale Flächen 2. O. 261, 286 — Flächen 3. Ordng. 263, 275 — 4. Ordng 265, 266, 267, 275, 276, 285, 420 — 6. Ordng. 267 — 8. Ordng. 267 — 9. Ordng. 173, 295 — 12. Ordng. 280 — developpable Flächen 272, 274, 277 — Rotationsflächen 288 — Schraubenflächen 278, 288 — Flächen von constantem Krümmungsmass 291, 293 von constanter mittlerer Krümmung (Rotationsflächen) 294 — Centraflächen 282, 283 — Fläche, auf welche das Ellipsoid durch parallele Normalen con-
 form abgebildet wird 287 — Brennflächen 282 — Wellenflächen 377, 378, 380 — Elasticitätsflächen 382 — piezoelektrische Flächen 384 — thermodynamische Flächen 391 — Isothermenflächen 395.
 Flächennetze zur Darstellung äquidistanter Curven auf Flächen. 290.
 Fluchtpunktschiene. 227.
 Flutberechnungsmaschine von Lord Kelvin 212 — Reitz 224.
 Functionen einer complexen Veränderlichen, algebraische 176 — Logarithmus 177 — elliptische 178, 179.
 Geleukmechanismen von Burmester 331, 335 — Fischer, O., 350, 353, 357 — Gräbler 331 — Hart 321, 327 — Kempe 315 — Kleiber 318, 321, 325 — Peaucellier 321 — Roberts 320, 324 — Rodenberg 330 — Sylvester 318 - 320.
 Geodätische Linien auf dem Ellipsoid 290 — auf Rotationsflächen constanten Krümmungsmasses 291 — auf Rotationsflächen constanter mittlerer Krümmung 294.
 Helligkeitsflächen für Gips. 370.
 Himmelsuhr. 417.
 Hyperbeltafeln als Planimeter. 183.
 Integralcurven. gezeichnet mit dem Integraphen. 201.
 Integraphen und Integratoren von Abdank-Abakanowicz-Coradi 197, 201 — Amsler-Laffon 202, 205, 208, 209, 210 — Henrici 213 — Lord Kelvin (W. Thomson) 212 — Reitz 224 — Schütz 223 — Smith 210 — Sommerfeld-Wiechert 214 — Strachey 213 — J. Thomson 213.
 Interferenzfläche der Newton'schen Ringe. 366, 367.
 Isothermenflächen für Gemenge mischbarer Stoffe. 395.
 Kartographische Modelle 298.
 Kartometer s. Curvometer.

- Kegelschnittbüschel und Schar. Arten derselben. 255.
 Kegelschnittzerzeugung durch Strahlenbüschel. 254.
 Kegelschnittzirkel von Hildebrandt 229 s. auch Ellipsenzeichner.
 Kettenlinie auf der Kugel. 312.
 Knotenpunkte, conische, nebst parabol. Curve und Haupttangencencurven. 299.
 Kräfteparallelogramm. Apparat zu dessen Demonstration. 307.
 Kreishyperboloid, Abwickelungsmodell desselben. 348.
 Krümmung von Linsen, Genauigkeitscontrollen. 367.
 Krümmungslinien auf Flächen 2. Ordng. 285 — auf Schraubenflächen 288, 294 — auf Flächen constanten positiven Krümmungsmasses. 293 — auf Minimalflächen 294, 295 — deren Verlauf in Nabelpunkten der Fläche. 302 — ihre versuchsweise Bestimmung. 290.
 Krystallmodelle. 371, 373, 379, 380.
 Krystalloptik. 377, 378, 380, 382.
 Krystalstructure. 371, 373, 377.
 Kummer'sche Fläche. 265.
 Kurbelgetriebe. 348.
 Kursumwandlungsapparate 417.
 Lichtbrechung, Reusch'sche Construction. 363 — O. E. Meyer'sche Constr. 364.
 Linearzeichnen, Vorlegehefte. 245.
 Liniencomplexe. 283.
 Luftwiderstand bei Geschossen. 363.
 Mannesmann'sches Schrägwalzverfahren. 349.
 Meteorograph. 417.
 Minimalflächen, 9. Ordnung. 295 — von Catalan 295 — von Neovius 295 — 5. Classe 297 — Drahtgestelle zur Herstellung von Minimalflächen 296.
 Muskelwirkung, Mechanismen zur Darstellung derselben. 353.
 Navisphère. 417.
 Newton's Ringe, Interferenzfläche 366, 367 — als Controle für Genauigkeit der Krümmung von Gläsern. 367.
 Nodoid. 294.
 Obertöne gezupfter Saiten, Demonstration derselben. 361.
 Ovalwerke. 340.
 Pantograph und ähnl. Instrum. von Coradi 231 — Galton 232 — Ott 231 — Stühler 231, siehe auch 318, 321, 341.
 Papierdickenmesser, integrierender. 208.
 Papierhäute von constantem negativen Krümmungsmasse. 293.
 Parabolische Curve einer Fläche, versuchsweise Bestimmung derselben. 290 — in den Knotenpunkten 299.
 Perspectivlineal 227.
 Perspectograph von Fiorini 243 — Hauck-Brauer 234 — Ritter 241, — Stühler 231, siehe auch 324, 325.
 Piezoelektrische Flächen 384, 389.
 Planimeter von Amsler-Laffon 188, 189 — Coradi 192, 194 — Dennert & Pape 197 — Hohmann-Coradi 193, 194, 195 — Kloth 183 — Miller-Breithaupt 190 — Miller-Starke 190 Ott 197 — Stadler 184, 187 — Wetli-Hansen 184.
 Polsysteme, elektrische. 389.
 Polyeder, reguläre 246 — semireguläre 246 — Sternpolyeder 246 — Polyeder höherer Art 246 — vierdimensionale reguläre Körper 253, 254.
 Polyedereinteilungen auf der Kugel und im Raume. 251.
 Präzisionsgefällmessapparat. 210.
 Projection, sphärische, eines Krystalls. 380.
 Punktsysteme. 373, 377.
 Pyroelektrische Erregung von Krystallkugeln. 388, 389.
 Quicux zur Illustration des Fehlergesetzes. 154.
 Raumeurven 3. Ordng. 268 — 4. Ordng. 269, 270, 272 — vom Standpunkte

- der Analysis situs betrachtet 278 —
278 — äquidistante Curven auf Flächen 290.
- Raumeinteilungen. 251, 253, 373, 377.
- Raumtransformation. 252.
- Rechenmaschinen von: Babbage 154 —
Beireis 149 — Büttner 151 — Burkhardt 150 — Edmondson 150, 151 —
Hahn (Schuster) 147, 149, 150 — Müller 148 —
Odhner 152 — Selling 152 — Thomas 150 —
siehe auch Additionsmaschinen.
- Rechenschieber bezw. Rechenkreise, Rechenstäbe etc. von: Beyerlen 143 —
Blanc 145 — Boucher 142 — Denert & Pape 139 —
Everett & Hannington 141 — Fuller 142 — Genaille &
Lucas 146 — Hasselblatt 139 — Lambert 139 —
Landsberg & Parisius 143 — Nestler 139 — Scherer 140 —
Sheppard 141 — Sonne 142 — Strachey 144 —
Thacher 140 — Weber 142 — für technische Zwecke 144.
- Reibungsapparat. 313.
- Relativbewegung dreier starrer Systeme; entsprechende Krümmungsmittelpunkte. 328.
- Riemann'sche Flächen. 175.
- Rotationsapparate zur Erzeugung gleichförmig beschleunigter Bewegung. 309.
- Rotationsbewegung, gleichförmig beschleunigte, Apparat zur Demonstration ihrer Gesetze. 309.
- Rückkchrelemente der Projection einer Raumcurve, ihre Beziehung zu denen der Curve selbst. 298.
- Schmiegen. 344.
- Schönheitslinien. 256.
- Schrägwalzverfahren (Mannesmann). 349.
- Schraubenflächen 278, 288, 294.
- Schraubenlinie mit abwickelbar. Fläche. 277.
- Schwerpunkt, von Curven und Flächenstücken, Erhaltung desselben bei Verbiegung 309. — Apparat zum Nachweis der Bewegung desselben 312.
- Schwerpunkt des menschlichen Körpers, Mechanismus zu dessen Bestimmung. 350.
- Schwingungen, elektrische, 401, 408.
- Singuläre Stellen der durch eine Differentialgleichung 1. Ordng. zwischen 2 Variablen definirten Curvensysteme. 304.
- Sinoidenwerk. 341.
- Sphärische Distanzen, deren graphische Berechnung: Trigonomet. 160 —
Abacus 163.
- Sphärogramm. 417.
- Statik, graphische, Abhandlungen und Werke hierüber. 315.
- Steiner'sche Fläche 266 — dieselbe mit Asymptotencurven. 289.
- Stereographometer. 205.
- Strahlenbündel, unendlich dünnes. 280.
- Strahlensystem, lineares 281 — 5. Ordnung 281.
- Superposition von Wellen, Maschine zur Demonstration. 360.
- Tachymeter, logarithmischer. 411.
- Teilungsmaßstab. 225
- Tetraeder, desmisch, hyperbolisch etc. gelegen. 250.
- Thermodynamische Fläche des Wassers mit Curven. 391.
- Torsion von Prismen und Cylindern. 314.
- Trace Computer (Galton). 164.
- Trägheitsmomente von Teilen des menschl. Körpers. Mechanismus zu deren Bestimmung. 357.
- Trigonomet. 160.
- Trochoiden, ihre zweifache Erzeugung. 335.
- Unduloid. 294.
- Unterrichtsmodelle für Planimetrie 243, 246 —
Stereometrie 244, 245, 246 —

Trigonometrie 244, 245 — Darst. Geom.	Winkeldreiteilung, Zirkelersatz hiezu.
245, 276 — Synthetische Geom.	225.
276 — mathem.-opt. Tafeln 368.	Winkelspiegel (Polyeder-Kaleidoskop).
Verzahnungsmodelle. 339, 340, 344	250.
Wärmeausdehnungsmesser. 209.	Wolkenhöhe und -Geschwindigkeit, Bestimmung derselben. 417.
Wellenbewegung, erzeugt durch abgeschossene Flintenkugeln 362 — elektrodynamische 401 — elektrische Schwingungen 408.	Zirkel zur Construction grosser Kreise 226 — mit 4 Spitzen 226 — Ellipsenzirkel siehe Kegelschnittzirkel und Ellipsenzeichner.
Wellenflächen von Krystallen. 377, 378, 380.	Zoetrop. 401.
Wellenmaschine. 360.	

Berichtigungen.

- Seite 147 in Nr. 25 soll der Verkaufspreis lauten: 75 Mark statt 50 Mark.
- „ 170 Zeile 18 v. o. lies $(c + 3a^2)^3 + \dots$
- „ 186 „ 7 v. o. lies $\eta = -\alpha$.
- „ 186 Fig. 2 lies Ξ statt Z.
- „ 187 Zeile 16 v. o. lies z statt Z.
- „ 188 „ 12 v. o. lies $y = a \sin \alpha$.
- „ 188 „ 15 v. o. lies der Verrückung des Punktes.
- „ 274 „ 13 v. o. lies Kegelmittelpunkt statt Kegelschnittpunkt.
- „ 276 füge nach Nr. 185 die auf Seite 420 aufgeführte Nr. 185a ein.
- „ 332 Zeile 1 v. o. lies eingeschriebenen statt angeschriebenen.
- „ 334 ergänze in der Figur zu Modell 5 die Verbindungslinie $B_{12} F_1$.
- „ 363 Zeile 15 v. o. lies Bashforth.

Deutsche Mathematiker-Vereinigung.

K a t a l o g

mathematischer und mathematisch-physikalischer
Modelle, Apparate und Instrumente.

Nachtrag.

Unter Mitwirkung zahlreicher Fachgenossen

herausgegeben

im Auftrage des Vorstandes der Vereinigung

von

Walther Dyck,

Professor an der Technischen Hochschule München.

Teubner

München.

~~Egl. Hof- und Universitäts-Buchdruckerei~~ von Dr. C. Wolf & Sohn.

1893.

Mit dem gegenwärtigen Nachtragskatalog gelangen die Vorbereitungen zu der Ausstellung mathematischer und mathematisch-physikalischer Modelle, Apparate und Instrumente, welche die Deutsche Mathematiker-Vereinigung durchzuführen beschlossen hat, zum Abschluss. Als im Herbste des vorigen Jahres die Gesundheitsverhältnisse in Deutschland die Verschiebung von Versammlung und Ausstellung unabweisbar gemacht, hegte der Unterzeichnete den Wunsch und die Hoffnung, dass es gelingen möge, nunmehr das Gesamtbild der Ausstellung noch in wesentlichen Punkten zu vervollständigen. In wie weit dies erreicht ist, davon mögen die nachfolgenden Seiten Rechenschaft geben. Auch jetzt noch freilich muss für die Durchführung des ganzen Unternehmens eine nachsichtige Beurteilung vollauf in Anspruch genommen werden. Der Umfang der Arbeit, die kurze Frist für die endgültige Fertigstellung der Ausstellung, wie dieses Kataloges muss manche Unvollkommenheit und Flüchtigkeit, muss manche Lücke entschuldigen.

Wenn aber das Ganze in seiner jetzigen Gestalt geeignet ist, von den heutigen Lehr- und Forschungsmitteln ein zutreffendes Bild zu geben, wenn Anregung und Förderung für wissenschaftliche Arbeit wie für den Unterricht davon auszugehen vermag, so dankt dies die Deutsche Mathematiker-Vereinigung dem Interesse und der Teilnahme Aller, die für das Zustandekommen des Unternehmens gewirkt haben; sie dankt es vor Allem der erneuten Fürsorge und Unterstützung der Königlich Bayerischen Staatsregierung; sie dankt es dem Zusammenwirken der Fachgenossen, der Bereitwilligkeit der Aussteller, die, wo es nur immer anging, die Vorbereitungen des Vorjahres wiederholt haben!

Möge nun die in wenig Tagen stattfindende Mathematiker-Versammlung Gelegenheit geben, in Vortrag und persönlicher Besprechung das Bild zu ergänzen und zu beleben, welches die gemeinsame Arbeit zweier Jahre geschaffen.

München, am 1. September 1893.

Walther Dyck.

Inhalt.

Einleitung.
Verzeichnis der Aussteller.
Verzeichnis der Mitarbeiter am Katalog.

I. Abteilung.

Arithmetik; Algebra, Functionentheorie; Integralrechnung.

Erster Abschnitt. *Arithmetik.*

	Seite
A. Rechenapparate	1
B. Apparate zur Wahrscheinlichkeitsrechnung und Combinationslehre	6

Zweiter Abschnitt. *Algebra, Functionentheorie.*

C. Apparate zur Auflösung von Gleichungen und zur Construction functioneller Abhängigkeiten	8
D. Modelle und Zeichnungen zur Algebra und Functionentheorie	23

Dritter Abschnitt. *Integralrechnung.*

F. Planimeter	32
G. Weitere Instrumente zur mechanischen Integration	34

II. Abteilung.

Geometrie.

H. Zeichenapparate	38
I. Modelle für den Elementarunterricht in Planimetrie, Stereometrie, Trigonometrie und Darstellender Geometrie	50

K.	Polyeder, Polygon- u. Polyederteilung von Flächen und Räumen	52
L.	Ebene Curven	57
M.	Algebraische Flächen	57
N.	Raumcurven und abwickelbare Flächen; Regelflächen	58
N'	Analysis situs	63
O.	Modelle zur Liniengeometrie	70
P.	Modelle und Zeichnungen zur Krümmungstheorie	71
	Geodätische Linien	71
	Abwicklung zweier Flächen auf einander	71
	Minimalflächen	72
Q.	Singuläre Vorkommnisse bei Curven und Flächen	72

III. Abteilung.

Angewandte Mathematik.

Erster Abschnitt. *Mechanik.*

R.	Apparate und Modelle zur Demonstration von Sätzen der Dynamik	74
S.	Kinematische Modelle und Apparate, zugleich mit Bezug auf die Anwendungen in der Praxis	96

Zweiter Abschnitt. *Mathematische Physik.*

T.	Apparate und Modelle zur Veranschaulichung der Gesetze der Fortpflanzung von Wellen	105
U.	Modelle zur Erläuterung der Krystalstructure	111
W.	Zeichnungen und Modelle zur Thermodynamik	112
X.	Modelle und Apparate zur mechanischen Versinnlichung elektrodynamischer Vorgänge	116

Dritter Abschnitt. *Verschiedene technische Anwendungen.*

Y.	Geodätische, astronomische, nautische, meteorologische Instrumente	124
----	--	-----

	Namenregister zum II. Teil	133
--	--------------------------------------	-----

Verzeichnis der Aussteller. *)

- Adami, F., Reallehrer, Bayreuth. **300a.**
Alexander, Prof, Trinity College, Dublin. **239, 244a, b, 251a.**
Amsler-Laffon, J. & Sohn, Schaffhausen. **62a, b, 63a, 80a, b.**
Blater, J., Rastatt. **4b, 22a, b, c.**
Blümcke, A., Reallehrer, Nürnberg. **292a.**
Boys, C. V., Royal College of science London. **107c.**
Böhner, Universitätsmechaniker, Erlangen. **297a.**
Brandl, A., jr., Commissionsverlag, München. **24, 24a, b, c.**
Brugger, A., Verlagsbuchhandlung, München. **95a, 108.**
Brunn, H. Privatdocent, Universität München. **189a, b, 232a.**
Burkhardt, A., Glashütte, Sachsen. **26a, 31a.**
Cerebotani, Professor, München. **107b, 299a.**
Coradi, G., Mathematisch-mechanische Werkstätte, Zürich. **78.**
Delagrave, Ch., Verlagsbuchhandlung, Paris, rue Soufflot. **99c, 128a, 130.**
Döhlemann, K., Privatdocent, Universität München. **46c.**
Dublin, Trinity College, Sammlung für Ingenieur - Wissenschaften. **239d, 244a, b, 251a.**
Dyck, W., Professor, technische Hochschule München. **189c, 232.**
Ebert, Privatdocent, Erlangen. **297a.**
Eckhardt, E., Friedrichsdorf i/T. **96a.**
Ernst & Sohn, Verlagsbuchhandlung, Berlin. **22f, 44c.**
Fischer, K., Assistent, technische Hochschule München. **92a.**
Fischer, O., Privatdocent, Leipzig. **264a, b.**
Freytag, Ingenieur, Nürnberg. **242c.**
Galton, F., F. R. S., London, Rutland Gate. **39.**
Geodätisches Institut der technischen Hochschule München
Vorstand: Professor M. Schmidt. **4c, 11b, c, 58, 58a, 77a.**
Goldschmitt, E., Bayreuth. **95c.**
Greenhill, Prof., President math. Soc. London. **10d, 77b.**
Greuner, K., Chemnitz i/S. **24d.**
Haas, K., Professor, Wien. **300b.**
Harley, R., M. A. F. R. S. Halifax, England. **23a, 39b.**
Helberger, H., Ingenieur, München. **298b.**
Henrici, O., Professor, City and guilds of London Institute, London S. W.
Exhibition road. **90a.**
Herbst, A., Mechaniker, Berlin. **239a, 240c.**
Hermann, A., Verlagsbuchhandlung, Paris. **22g.**

*) Die beigesetzten Zahlen sind Katalognummern.

- Hess, E., Professor, Universität Marburg. **137a.**
 Hildebrand, Oberlehrer, Braunschweig. **102a.**
 Hossfeld, C., Eisenach. **143a.**
 Jadanza, N., Professor, Universität Turin. **274a.**
 Ingenieurwissenschaftl. Sammlung der techn. Hochschule München.
4a, 242c.
 Joukovsky, Professor, Universität Moskau. **239h, 245b.**
 Kerschensteiner, G., Gymnasiallehrer, Schweinfurt. **46a.**
 Kinematische Sammlung der technischen Hochschule München.
 Professor Burmester. **215b, 240a, 245a, 252a, 254a.**
 Kohl, M., Werkstätte für Präzisionsmechanik. Chemnitz i/S. **233a, 233b, c.**
 Koppe, Oberlehrer, Berlin. **239c, 300c, d, e.**
 Kummer, G., Oberlehrer, Dresden. **120a.**
 Lehner, W., stud. mech., technische Hochschule München. **103b.**
 Leuner, mechanisches Institut, Dresden. **242d.**
 Leuschner-Lubensky, Universitätsbuchhandlung Graz. **4d.**
 Lodge, O., Professor, University College Liverpool. **295a.**
 Löwen, Universität. **239f.**
 Lommel, E. v., Professor, Universität München. **272a, 298a.**
 Lorenz, H., Mechaniker, Chemnitz. **233d, 239e.**
 Mac Mahon, F. R. S., London. **189d.**
 Martz, A., Fabrik von Zeichen- und Mal-Utensilien, Stuttgart. **99a.**
 Mathematisches Institut, Universität Halle. **132a, b, 173a, b.**
 Mathematisches Institut, technische Hochschule Darmstadt. Vorstand: Prof. Mehmke. **40a, 43a, 50a.**
 Mathematisches Institut (Seminar für darstellende Geometrie) der
 technischen Hochschule Karlsruhe. Vorstand: Prof. Chr. Wiener. **199a.**
 Mathematisches Institut der technischen Hochschule München.
 Vorstand: Prof. Dyck. **148a, b, 214a, 215a.**
 Mathematisches Institut der technischen Hochschule München
 (Sammlung für darstellende Geometrie), Burmester. **127a, b.**
 Mayer, K. A., Ingenieur, Hannover. **105a.**
 Mechanisch-technisches Laboratorium der technischen Hochschule München. Vorstand: Prof. Bauschinger. **242a, aa.**
 Mehmke, R., Professor an der technischen Hochschule Darmstadt. **40c, d, e, f,**
44b, c, d, 97a, 304a.
 Metzler'sche Buchhandlung Stuttgart. **40b.**
 Miller, F., Mathematisch-mechanisches Institut in Innsbruck. **15a.**
 Mohr, C., Diener am mineralogischen Institut der Universität Rostock. **276a.**
 Neesen, Professor, Artillerieschule Berlin. **239g.**
 Ocagne, Maurice d', Ingenieur des ponts et chaussées, Paris, rue Vienne. **44a.**
 Ott, A., Mathematisch-mechanisches Institut, Kempten. **95b, 239b.**
 Ott, M., Werkstätte für Präzisionsmechanik, München. **107a.**
 Pötzl, Frau, Wien. **11d, 22d.**
 Pringsheim, A., Professor, Universität München. **48a.**
 Riefler, C., Fabrik mathematischer Instrumente. München-Nesselwang. **304b.**
 Rodenberg, Professor, technische Hochschule Hannover. **250a.**
 Schilling, Professor, Bremen. **255.**

- Schlegel, N., Professor, Hagen i/W. **39a.**
Schoute, P. H., Professor, Universität Groningen. **46b.**
Schröder, J., Polytechnisches Arbeitsinstitut Darmstadt. **260a.**
Schütz, J., Assistent, Universität München. **92a.**
Sharp, A., London. **90b, 90c.**
Stanley, W. F., Mathematisch-mechanisches Institut, London, W. C. Holborn
Great Turnstil 4, 5. **10a, b, c, 99b.**
Stöhrer & Sohn, mechanisches Institut Berlin. **234a, 236a, 242b,**
265a, b, 270a.
Strachey, R., Lieutenant-General, London, meteorologisches Institut. **24e.**
Tait, Professor, Universität Edinburgh. **244c.**
Töpler, Professor, technische Hochschule Dresden. **240b.**
Tötössy, B. v., Professor, technische Hochschule Budapest. **177a, b, 185a.**
Thomson, A., Science College, Poona.
Urban, B., Ettlingen bei Karlsruhe. **57a.**
Vieweg & Sohn, Verlagsbuchhandlung, Braunschweig. **22c, 44f.**
Weber, R., Professor, Universität München. **11a.**
Wiener, Chr., Professor, technische Hochschule Karlsruhe. **137b, 162a.**
-

Verzeichnis der Mitarbeiter am Katalog.

Es haben Aufsätze bzw. Referate geliefert die Herren:

Adami, F. R., Gymnasiallehrer, Bayreuth.
Alexander, Th., Professor, Trinity College, Dublin.
Blater, J., Rastatt.
Blümcke, A., Gymnasiallehrer, Nürnberg.
Boltzmann, L., Professor, Universität München.
Brunn, H., Privatdocent, Universität München.
Burmester, L., Professor, technische Hochschule München.
Cerebotani, Professor, München.
Diem, G., Assistent, technische Hochschule, München.
Döhlemann, K., Privatdocent, Universität München.
Dyck, W., Professor, technische Hochschule München.
Eckhardt, E., Friedrichsdorf i/T.
Finsterwalder, S., Professor, technische Hochschule München.
Fischer, O., Privatdocent, Leipzig.
Fischer, K., Assistent, technische Hochschule München.
Freyberg, J., Privatdozent, technische Hochschule Dresden.
Haas, K., Professor, Wien.
Henrici, O., Professor, City and Guilds of London Institute, London.
Hess, E., Professor, Universität Marburg.
Hildebrandt, Oberlehrer, Braunschweig.
Hossfeld, Gymnasiallehrer, Eisenach.
Kerschensteiner, G., Gymnasiallehrer, Schweinfurt.
Koppe, M., Oberlehrer, Berlin.
Lommel, E., Ritter von, Professor, Universität München.
Mac Mahon, P. A., London F. R. S.
Mayer, K. A., Ingenieur, Handels- und Kunstgewerbeschule Hannover.
Mehmke, R., Professor, technische Hochschule Darmstadt.
Muret, Ingenieur, Paris.
Neesen, Professor, Artillerie- und Ingenieurschule Berlin.
Ott, M., Mechaniker, München.
Pringsheim, A., Professor, Universität München.
Rodenberg, C., Professor, technische Hochschule Hannover.
Schlegel, V., Professor, Hagen i/W.
Schoute, P. H., Professor, Universität Groningen.
Schütz, J., Assistent, Universität München.
Thomson, A., Science College Poona.
Tötössy, B. v., Professor, technische Hochschule Budapest.
Weber, R., Professor, Universität München.
Wiener, Chr., Professor, technische Hochschule Karlsruhe.
Wiener, H., Privatdocent, Universität Halle a/S.

I. Abteilung.

Arithmetik; Algebra, Functionentheorie; Integralrechnung.

Erster Abschnitt. Arithmetik.

A. Rechenapparate.

4a. Grosser Rechenschieber für den Unterricht (2 Meter lang), hergestellt von **Tavernier-Gravet** in Paris; **Sammlung für Ingenieurwissenschaften der technischen Hochschule München.**

4b. Ein älterer englischer Rechenschieber, im Besitz und ausgestellt von **J. Blater** in Rastatt.

Es passt auf diesen Rechenschieber genau die Beschreibung, die *Culmann* in seiner „Graphischen Statik“ (2. Auflage, 1. Band, S. 73) von einem, von derselben (längst nicht mehr bestehenden) Firma — *Cary*, London — stammenden Schieber gegeben hat. Er ist 12 englische Zoll lang und hat zwei Zungen, eine auf der oberen, eine auf der unteren Seite, so dass der Querschnitt einem liegenden Doppel-T gleicht. Die obere Seite stimmt vollständig mit den früher allgemein üblichen Rechenschiebern ohne Mannheim'schen Läufer auch darin überein, dass die Rückseite der Zunge Teilungen für \sin und \tan nebst einer gleichmässigen Teilung zum Ablesen von Logarithmen trägt. Die untere Zunge wird auf der Vorderseite von drei congruenten, hinter einander folgenden logarithmischen Teilungen eingenommen, die, den Teilungen der Oberseite gegenübergestellt, u. A. zur Bestimmung von Cuben und Cubikwurzeln dienen können. Ausserdem sind noch, zum Beispiel auf den Böden der Kulissen, Teilungen für Zinseszins- und Renten-Berechnungen, ferner die bekannten Hilfszahlen für die Ermittlung der Inhalte und Gewichte von quadratischen Prismen, Cylindern und Kugeln aus verschiedenen Stoffen, und ein Masstab vorhanden. Der Schieber ist aus sehr gutem Buchsbaumholz hergestellt und sorgfältig gearbeitet. (Mehmke.)

4c. Drei Rechenschieber mit trigonometrischen Functionen von **C. Thode**, Rostock 1882. Aus dem **Geodätischen Institut der technischen Hochschule München.**

Rechenschieber aus starkem Cartonpapier, ähnlich denen von *Wüst* in Halle.

- 4d. Rechenschieber** von **Franz Ruth** an der technischen Hochschule Graz, im Verlag und ausgestellt von **Leuschner und Lubensky**, Universitätsbuchhandlung Graz.

Es sind fünf, auf stärksten Carton gedruckte, logarithmisch geteilte Masstäbe von etwas über 60 cm Länge (die einfache logarithmische Scala ist 30 cm lang.) Von diesen legt man nach Bedürfnis drei auf dem beigegebenen 7 cm breiten Brettchen neben einander und befestigt sie durch Heftstifte.

(Nach Dingler's Polytechn. Journal. Bd. 242, S. 149.)

- 10a. Rechenschieber** von **Dixon (2), Bailey, Hoare** Ausgestellt von **W. F. Stanley**, Math. mech. Institut, London.

Vergleiche hiezu die beiliegende Beschreibung in *Dixon*, Treatise on the arrangement, application, and use of Slide rules.

- 10b. Rechenschieber für Zinsrechnung.** Ausgestellt von **W. F. Stanley**. Math. mech. Institut, London.

- 10c. Universal-Masstab.** Von **W. F. Stanley**. Math. mech. Institut, London.

- 11a Forstlicher Cubirungskreis** von Prof. **R. Weber**, Universität München.

Der Cubirungskreis besteht aus 2 centrisch verdrehbaren Messing-scheiben, welche auf der cylindrischen Fläche logarithmische Teilungen tragen und zwar eine einfache und eine quadratische. Die einfach logarithmisch geteilte obere Scala bedeutet die Durchmesser, die untere quadratische bedeutet die Längen und zugleich die Cubikinhalte. Die Stelle

von 2. $\sqrt{\frac{1}{\pi}}$ ist durch einen mittels Stiftehens markirten Teilstrich be-

zeichnet und dient als Index zum Einstellen auf die Längen der als Walzen zu cubirenden Stammabschnitte, worauf der Inhalt an der mit dem Durchmesser coincidirenden Stelle der unteren Scala nach $\frac{1}{100}$ Cubikmetern und mittelst der Teilung nach Tausendsteln abgelesen wird. Sollen stehende Stämme cubirt werden aus gemessenem Brusthöhen-Durchmesser und hypometrisch ermittelter Gipfelhöhe, so bedient man sich anstatt des Stiftehens einer sog. „Indexzahl“ zum Einstellen des oberen Kreises. Diese Indexzahlen sind durch Umrechnung von experimentell ermittelten Baumformzahlen (gewonnen aus ca. 40000 Einzel-Untersuchungen) abgeleitet und sind auf den Seiten 16—29 der Anleitung zum Gebrauche des Instrumentes tabellarisch zusammengestellt. (R. Weber.)

- 11b. Herrmann's Rechenknecht**, herausgegeben von **Wiesenthal & Co** in Aachen aus der **Geodätischen Sammlung der technischen Hochschule München**.

Das Instrument enthält auf einer drehbaren Scheibe zehn verschiedene logarithmische Kreisteilungen, deren äusserste in bekannter Weise für die Multiplication und Division bestimmt ist. Die übrigen Scalen enthalten die Quadrat- und Würfelzahlen sowie trigonometrische Functionen.

- 11c Ringrechenscheibe** von Ingenieur **J. Knab**, München.

11d. Rechenscheibe für arithmetische und trigonometrische Rechnungen von **F. M. Clouth**, Hamburg 1872. Aus dem **Geodätischen Institut der technischen Hochschule München**.

Die beiden äusseren Einteilungen (auf Limbus- und Alhidadenrand) enthalten die Logarithmen der Zahlen von 1—1000, die inneren Kreise die Logarithmen der trigonometrischen Functionen.

11e. Rechenschieber in Spiralforn, construirt von dem verst. Geographen, Regierungsrat **A. Steinhauser** in Wien, ausgestellt von Frau **Pötzl**, Wien.

15a. Logarithmischer Tachymeter-Schieber in Scheibenform, von **F. Miller**, mathem.-mechanisches Institut in Innsbruck.

Derselbe dient zur Bestimmung der Höhen H und der Horizontal-distanzen D von Punkten aus den mit einem Tachymeter bei senkrecht gehaltener Latte abgelesenen Lattenabschnitten L und den zugehörigen Höhenwinkeln h nach den Formeln

$$D = CL \cos^2 h,$$

$$H = CL \sin h \cos h,$$

wo C eine Constante bedeutet. Er besteht aus zwei concentrischen, in einander drehbaren Holzscheiben von 14 cm Durchmesser, (so angeordnet, dass die auf einem Celluloid-Belag angebrachten Teilungen beider Scheiben in einer Ebene liegen), und einem um den Mittelpunkt drehenden Index. Die äussere Gestalt gleicht also der von Sonne's Rechenscheibe (s. den Haupt-Katalog, Nr. 12), nur sind, dem besonderen Zweck entsprechend, die Teilungen andere, und zwar werden die beiden Hälften des inneren Kreises von zwei gleichen gewöhnlichen logarithmischen Scalen eingenommen, während der äussere Kreis zwei Teilungen trägt, welche die Logarithmen von $\cos^2 h$ bezw. $\sin h \cos h$ darstellen. Preis (mit Etui) Mk. 25.

(Prospect F. Miller, Mehmkke).

22a. Tafel der Viertel-Quadrate aller ganzen Zahlen von 1 bis 20000 von **J. Blater**, Wien 1887. Commissionsverlag von **A. Hölder**.

Die ersten derartigen Tafeln, welche (Euclid) das Product zweier Factoren aus dem Unterschiede der Quadrate der halben Summe und halben Differenz finden lassen, wurden 1816 in Paris von Voisin, 1817 in Karlsruhe von Bürger, 1825 in Berlin von Centnerschwer herausgegeben und erstreckten sich bis zur Factorensomme 20000. Sodann kamen 1832 in Vannes von Merpaut bis 40000 und 1852 in Prag von Kulik bis 30000 reichende Tafeln zu Stande. Ferner wurde 1874 in London von Laundry eine Tafel der Viertelquadrate bis zur Factorensomme 100000 veröffentlicht. Ein in Aussicht gestellter 2. Band dazu, der die Fortsetzung bis 200000 bilden sollte, blieb ungedruckt und das von Major Shortrede dazu berechnete Manuscript befindet sich im Privatbesitze.

Die vorliegende Tafel der Viertelquadrate für fünf- und sechsziffrige Factoren ist 1887 in Wien erschienen. Der Verfasser wurde bei der Anfertigung derselben wesentlich durch die Mitwirkung des (verst.) Regierungsrates A. Steinhauser in Wien unterstützt, der insbesondere bei der compendiösen Einrichtung der Tafel mitgewirkt hat.

Für die Einrichtung der Tafel muss auf die ausführliche Gebrauchsanweisung verwiesen werden.

Preis der Tafel broschirt 12 Mk., Pergamentmarginalien auf beiden Seiten bedruckt 50 Pfg.

22b. Hilfstafeln zur Zinsrechnung von **J. Blater**, Wien 1887. Commissionsverlag von **A. Hölder**.

(Bezüglich der Anordnung der Tafeln vergl. man die beigegebene Gebrauchsanweisung. Preis der Tafel Mk. 1.)

22c. Erleichterungs-Tafel zur Erzielung fehlerfreier und zugleich rascherer und bequemerer Ausführungen von Multiplicationen und Divisionen. Nach Angaben von Regierungsrat **A. Steinhauser** in Wien, herausgegeben von **J. Blater**, Wien 1889. **A. Hölder**, Buchhändler in Wien.

Diese Tafel bildet eine zweite verbesserte Auflage der 1886 bei Franz Frey in Mainz erschienenen Napiertafel, deren Construction sich für die Praxis nicht günstig erwies.

Während bei der „Napiertafel“ für alle n -ziffrigen Zahlen 10 n -Zahlenstäbchen aus Cartonstreifen bestehend, nötig waren, braucht man bei der vorliegenden „Erleichterungstafel“ nur 3 n -Stäbchen (rechteckige Holzprismen) eines für 0 und 1, eines für die geraden Zahlen 2, 4, 6, 8 und eines für die ungeraden Zahlen 3, 5, 7, 9, die das Zusammenstellen von Zahlen ebenso rasch wie das Anschreiben derselben möglich machen, ohne dass man dabei nötig hätte, zuvor eine leicht übersichtliche Ordnung derselben herzustellen, was bei der Napiertafel zur Vermeidung längeren Suchens unter 10 verschiedenen Streifen geschehen muss. Bezüglich der weiteren Anordnung vergl. man die beigegebene Gebrauchsanweisung.

Preis M. 4.50 und Mk. 3.—, mit je 30 Zahlen- und 2 Indexstäbchen; mit 15 Zahlen- und 1 Indexstäbchen Mk. 1.20 mit Gebrauchsanweisung. Dieselbe Tafel mit französischem Texte in Paris bei Gauthier-Villars, mit englischem Texte in London bei Kegan, Paul, Trench Trübner & Co.

(Blater.)

22d. Rechentabellen und Hilfstafeln, geordnet und zusammengestellt von dem verst. Geographen, Regierungsrat **A. Steinhauser** in Wien, Manuscript, ausgestellt von Frau **Pötzl**, Wien.

22e. Das graphische Einmaleins, oder die Rechentafel, ein Ersatz für den Rechenschieber. Von **G. Herrmann**. Verlag von **Vieweg & Sohn**, Braunschweig.

22f. Rechentafel nebst Sammlung häufig gebrauchter Zahlenwerte. Entworfen und berechnet von Gh. Baurat **H. Zimmermann**. Ausgestellt von der Verlagsbuchhandlung **Ernst und Sohn**, Berlin 1891.

22g. Cryptographie in Form der Rechenstäbchen (System Bazerics.) Von **A. Hermann**, Verlagsbuchhandlung, Paris.

18 Rechenstäbchen tragen auf Vorder- und Rückseite je ein Alphabet in verschiedener Anordnung. Die Stäbchen werden unter Zugrundelegung

eines Schlüsselwortes geordnet, sodann auf ihnen durch Verschieben in eine horizontale Reihe die zu chiffirenden Worte (ihren ersten 18 Buchstaben nach) eingestellt und statt dieser Horizontalen eine bestimmte andere zur Chifferschrift verwendet. Näheres vergl. die beigegebenen Erläuterungen.

23a. Lord Stanhope's (Viset. Mahon's) Arithmetical Maschine, 1780, ausgestellt von Rev. **R. Harley**. M. A. F. R. S. Halifax, England.

24. Webb's Adder, ausgestellt von **A. Brandl, jr.**, München.

Eine Zahlenscheibe, welche die Zahlenreihe von 1—100 trägt, wird mittelst eines Stiftes um einen, der jeweils zu addirenden (bis zweistelligen) Zahl entsprechenden, Winkel gedreht. Für die Addition der Hunderter dient eine kleinere Scheibe. Das Resultat erscheint in einem viereckigen Ausschnitte in der Mitte des Apparates.

24a. Ribbon's Adder, construiert von **Chas. Webb**, New-York, ausgestellt von **A. Brandl, jr.** München.

Die Zahlenreihe von 1—20 ist an einer Reihe nebeneinanderliegender Schlitze angeschrieben. In diesen Schlitzen lassen sich Messingstreifen, die mit Löchern versehen sind, verschieben, und zwar wird diese Verschiebung dadurch bewerkstelligt, dass man einen Stift in das der zu addirenden Zahl entsprechende Loch einsetzt und nun den Streifen abwärts schiebt, bis der Stift anstößt. Das Resultat der Addition erscheint am untern Rand des Apparates.

24b, c. Comptometer und Comptograph von **Felt und Tarrant**, Chicago; ausgestellt von **A. Brandl jr.**, München.

Der Comptometer wird mit 8, 10, 12 und 16 Columnen hergestellt. Jede Columne enthält Knöpfe mit den Zahlen von 1—9, durch deren Niederdrücken die Addition bewerkstelligt wird. Das Instrument wird auch mit einem Typendruckapparat versehen; die mit ausgestellte Zeichnung stellt diese, als Comptograph bezeichnete Anordnung dar.

24d. Multiplications-Apparat von **Kurt Greuner**, Chemnitz i. S.

Multiplicand und Multiplier werden durch Ausziehen senkrechter bzw. wagerechter Schieber eingestellt. Man liest die Teilproducte ab und addirt im Kopf. Die vorliegende Ausführung (in Metall mit federnder Einlegevorrichtung zum Festhalten der Schieber) entspricht zwei fünfstelligen Factoren. Preis 50 M., 5×6 stellig M. 10 mehr.

(Greuner, Mehmke),

24e. Bouchets Adding-Maschine, ausgestellt vom **Meteorologischen Institut London**. Generallieut. **Strachey**.

Diese Maschine addirt auf drei Stellen mit Zehner-Uebertragung.

26a. Tafel mit Photographien zur Hahn'schen Rechenmaschine, (im Besitze Sr. Durchlaucht **Wilhelm, Herzog von Urach, Grafen von Württemberg**) aufgenommen und ausgestellt von **A. Burkhardt**, Glashütte, Sachsen.

Die Photographien lassen die innere Einrichtung der Rechenmaschine erkennen. Es sei hier noch angefügt, dass eine genaue Beschreibung der

interessanten Maschine von Seiten des Hrn. Prof. *Hammer* (Stuttgart) zu erwarten steht.

31a. Unterrichtsmodell zur Rechenmaschine von **Burkhardt** in Glashütte.

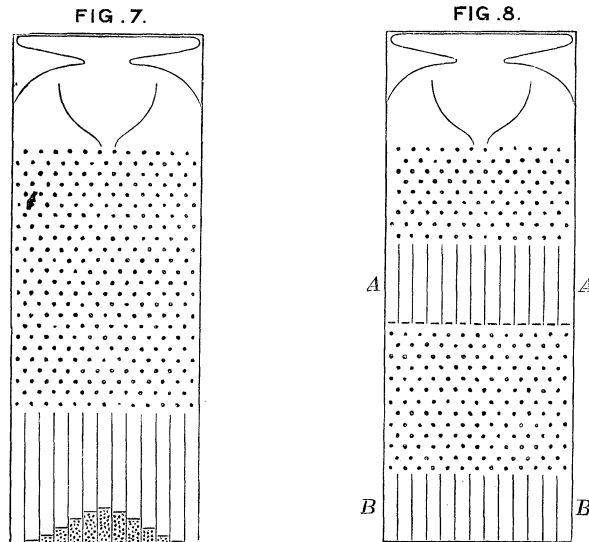
Statt „Analytische Maschine“ ist auf pag. 154 des Hauptkataloges zu setzen:

38. Differenzen-Maschine von **Charles-Babbage**.

B. Apparate und Zeichnungen zur Wahrscheinlichkeitsrechnung und Combinationstheorie.

39. Quicumx, zur Illustration des Fehlergesetzes von **Francis Galton**, F. R. S.

Wir bringen nachträglich die Illustrationen zu den beiden pag. 154 des Hauptkataloges besprochenen Anordnungen des Apparates.



39a. Magische Würfel von 2—5 Dimensionen, berechnet und construiert von Prof. **Dr. V. Schlegel**, Hagen i/W.

Das allgemeine Glied der mit der Strecke, dem Quadrat und dem Würfel beginnenden Reihe von Gebilden ist der n -dimensionale Würfel. Die Zahl der ihn begrenzenden $(n-1)$ -dimensionalen Würfel ist $2n$, die Anzahl seiner k -dimensionalen Grenzgebilde $2^{n-k} \cdot n^{(k)}$. — Ein solcher Würfel wird durch n aufeinander senkrechte Systeme von je $(r-1)$ Räumen, welche $(n-1)$ Dimensionen besitzen, parallel und gleichweit von einander entfernt sind, in r^n congruente kleine n -dimensionale Würfel (Zellen) zerlegt. Füllt man

diese Zellen mit den ganzen Zahlen von 1 bis r^n in der Weise aus, dass jede in einer der n Hauptrichtungen liegende Zahlenreihe die Summe $s = \frac{(1+r^n)r}{2}$ gibt, so heisst der so gebildete Zahlkörper ein n -dimensionaler magischer Würfel. Derselbe wird vollkommen genannt, wenn auch die 2^{n-1} diagonalen Zahlreihen, welche je zwei gegenüberliegende Ecken verbinden, dieselbe Summe s geben. Durch Hinzufügung weiterer Bedingungen lässt sich die Vollkommenheit des Würfels steigern und gleichzeitig die Anzahl der möglichen Würfel verringern. Namentlich kann für ungerade Werte von r verlangt werden, dass auch alle diejenigen Zahlreihen die Summe s liefern, welche die Mitten je zweier gegenüberliegender Grenzgebilde verbinden. Erwähnt seien ferner die Bedingungen, dass schiefe Zahlreihen, oder solche, die in der Rösselsprung-Richtung fortschreiten, die Summe s geben, dass die aufeinander folgenden Zahlen in ebensolchen Richtungen stehen, dass auch die Quadrate der in den einzelnen Reihen stehenden Zahlen dieselbe Summe geben, u. s. w.

Ein n -dimensionaler magischer Würfel gestattet eine von der Anzahl der Dimensionen unabhängige übersichtliche Darstellung in der Ebene, wenn man jede n -dimensionale Zelle durch ein kleines Quadrat ersetzt, in welches die zugehörige Zahl eingeschrieben wird, und diese Quadrate in gesetzmässiger Weise zu Streifen, die Streifen wieder zu grösseren Quadraten, diese Quadrate wieder zu Streifen vereinigt, u. s. w. Auf diese Weise wird schliesslich der ganze Würfel durch ein Quadrat oder einen Streifen dargestellt, jenachdem n gerade oder ungerade ist. Die Zahlreihen sind in diesen Darstellungen in allen vorkommenden Richtungen ohne Schwierigkeit zu verfolgen.

Der Atlas enthält in dieser Darstellung magische Quadrate mit den Seitenzahlen 3, 5, 7; 6, 10, 14; 4, 8, 12; magische Würfel gewöhnlicher Art mit den Seitenzahlen 3, 5, 7; 6, 10; 4, 8; vier dimensionale Würfel mit den Seitenzahlen 3, 5; 6, 4; endlich einen fünfdimensionalen Würfel mit der Seitenzahl 3. Beigefügte Schemas erleichtern das Auffinden der Zahlenrichtungen. Ausserdem sind jedesmal die weiteren Eigenschaften des Würfels, durch welche seine Vollkommenheit erzielt, bezw. gesteigert wird, angegeben. Weitere Erläuterungen enthalten zwei dem Atlas beigefügte Aufsätze.

Ausser der oben beschriebenen Darstellung sind für die vier- und fünfdimensionalen Würfel noch Central- und Parallelprojectionen, sowie Darstellungen mittelst regelmässiger Polygone nebst gewissen Systemen von Diagonalen angewendet, über welche der zweite der beigefügten Aufsätze nähere Auskunft gibt. Die innere Übereinstimmung dieser so sehr verschiedenen Darstellungen gibt für jede von ihnen eine Controlle der Richtigkeit, die um so erwünschter ist, als sich das projectirte oder sonst dargestellte Gebilde selbst unserer Anschauung völlig entzieht.

Hinsichtlich der noch nicht veröffentlichten Methode zur gesetzmässigen Herstellung solcher Würfel sei hier bemerkt, dass dieselbe lehrt, aus gegebenen $(n-1)$ -dimensionalen Würfeln von beliebiger Seitenzahl beliebige n -dimensionale Würfel von gleicher Seitenzahl herzustellen, wobei als 1-dimensionaler Würfel die lineare Reihe der natürlichen Zahlen in beliebiger

Reihenfolge erscheint. Wesentlich verschieden gestaltet sich die Methode für die Fälle $r = 2\lambda + 1$, $r = 4\lambda + 2$, $r = 4\lambda$, während noch ein besonderes Verfahren für $r = 2^\lambda$ angewendet werden kann.

(Schlegel.)

39b. Stanhope's „Demonstrator“, ein Instrument zum Vollziehen logischer Operationen. Von Lord **Stanhope** (Visct. Mahon) 1800 construiert. Ausgestellt von Rev. **R. Harley**, M. A. F. R. S. Halifax, England.

Der Apparat, von einem neueren von *Jevons* weit überholt, hat nur noch historisches Interesse als — von *Euler's* Kreisen abgesehen — wohl der erste Versuch, syllogistische Schlüsse auf mechanischem Wege zu ziehen. Es können nur ganz einfache Aufgaben gelöst werden, in denen nicht mehr als drei Terme vorkommen. Die Vorrichtung besteht aus drei congruenten (in je 100 Felder eingeteilten) Platten, deren untere schwarze festliegend den (vom „Mittelglied“ gelieferten) Denkbereich vorstellen soll, während die beiden beweglichen, eine opake (graue) und eine transparente (rot durchscheinende) von links und rechts (event. auch von oben) darüber geschoben werden können und zur Versinnlichung des „terminus minor“ und „major“ herhalten müssen. Die als Schlussglieder in Betracht kommenden Urteile werden mittelst „Quantification des Prädicates“ (wie: Alle A sind einige B) als Identitäten gefasst, und bei geeigneter Handhabung der Platten ersieht man aus dem ihnen gemeinsamen Felde — inwiefern im Fall „numerisch bestimmter“ Syllogismen sogar zu wie viel Zehnteln mindestens — die entsprechenden Kategorien identificiert werden müssen -- was alsdann die Conclusion ausmacht.

Vergl. *Harley*, Mind 1879, vol. 4, p. 192–210.

Zweiter Abschnitt. Algebra, Functionstheorie.

C. Apparate zur Auflösung von Gleichungen und zur Construction functioneller Anhängigkeiten.

40a. Zwei graphische Tafeln zur Auflösung trinomischer Gleichungen nach Lalanne (1846), ausgestellt vom mathem. Institut der techn. Hochschule Darmstadt. (Prof. **Mehmke**.)

In seiner grundlegenden Arbeit „Sur les tables graphiques“, (Annales des ponts et chaussées, mémoires et documents, 2^e série, t. XI, 1846) hat Léon Lalanne unter anderen Beispielen auch die Auflösung trinomischer Gleichungen mittelst graphischer Tafeln behandelt. Er betrachtet in der Gleichung

$$z^m + pz^n + q = 0$$

p und q als Cartesische Coordinaten eines veränderlichen Punktes der Ebene, so dass jedem Werte von z eine gerade Linie entspricht. Hat man — für ein bestimmtes Exponentenpaar m, n — eine hinreichende Anzahl jener Geraden construiert und die zugehörigen Werte von z daran

geschrieben, so findet man mit Hilfe der entstandenen Tafel die Wurzeln einer beliebigen Gleichung der betreffenden Form einfach dadurch, dass man den Punkt mit den Coordinaten p, q sucht und die Werte abliest, welche an den durch diesen Punkt gehenden Geraden der Tafel stehen. Lalanne macht bereits die Bemerkung, dass die Hüllcurve, welche die Geraden der Tafel ergeben, durch die gleich Null gesetzte Discriminante der Gleichung dargestellt wird, und knüpft hieran geometrische Betrachtungen über die Realität der Wurzeln sowie über die Wahrscheinlichkeit, dass irgend eine vorgelegte Gleichung, in welcher p und q unter gegebenen Grenzen liegen, lauter reelle Wurzeln hat.

Diese ganze Betrachtungsweise ist heutzutage den Mathematikern sehr geläufig, aber mit Unrecht bezeichnet man Sylvester und Kronecker als Urheber derselben (vergl. F. Klein, Geometrisches zur Abzählung der reellen Wurzeln algebraischer Gleichungen; diesen Katalog S. 3).

(Mehmke).

40b. Graphisch-mechanischer Apparat zur Auflösung numerischer Gleichungen von **C. Reuschle** 1885. Verlag der **Metzler'schen Buchhandlung, Stuttgart**.

Die Wurzeln der Gleichung werden erhalten als Schnittpunkte zweier möglichst einfacher Curven, bei deren graphischer Darstellung sich die Wurzelwerte angenähert ergeben. Näheres vergl. in der zugehörigen Schrift desselben Verfassers „Graph. mech. Methode zur Auflösung der numerischen Gleichungen“. (*Metzler*, Stuttgart 1884.)

Vergl. hier noch die Auflösung gewisser reducirter Gleichungen vom 3. und 4. Grad mit Hilfe des Dreiteilungszirkels von *Eckhardt*.

40c. Apparat zur Auflösung reeller quadratischer Gleichungen, von Prof. **Mehmke**, techn. Hochschule, Darmstadt.

Dieser Apparat besteht in einer Tafel aus sog. Netz- oder Millimeter-Papier, das in folgender Weise vorbereitet ist. Es sind die Axen eines rechtwinkligen Coordinatensystemes nebst der zur x -Axe parallelen Geraden G mit der Gleichung $y = -1$ eingezeichnet und mit bezifferten Theilungen versehen, wobei jedoch die Theilung auf der zuletzt genannten Geraden den doppelten Masstab und die umgekehrte Richtung der auf der x -Axe befindlichen Theilung erhalten hat. Ausserdem ist der auf der positiven y -Axe im Abstand 1 vom Ursprung liegende Punkt p kenntlich gemacht. Soll nun die Gleichung

$$z^2 + az + b = 0$$

aufgelöst werden, so setzt man die eine Spitze eines Zirkels in den Punkt, dessen Coordinaten im obigen Coordinatensysteme (a, b) sind und öffnet den Zirkel, bis der von seiner zweiten Spitze beschriebene Kreis durch den Punkt p geht. An den Schnittpunkten dieses Kreises mit der Geraden G liest man die gesuchten Wurzeln ab.

(Mehmke.)

40d. Graphische Tafel zur Auflösung reeller cubischer Gleichungen der Form

$$z^3 + az^2 + bz + c = 0,$$

1889 gezeichnet von Prof. **Mehmke**, techn. Hochschule, Darmstadt.

Auf derselben Grundlage beruhend, wie der unter Nr. 44, 4 (S. 163) des Hauptkatalogs beschriebene „Abacus für die Auflösung der allgemeinen cu-

bischen Gleichung“ von M. d’Ocagne, unterscheidet sich diese Tafel von der oben genannten nur dadurch, dass statt des Coefficienten von z^2 , wie bei M. d’Ocagne, hier das Absolutglied c zum Parameter der Schaar von rationalen Curven dritter Ordnung genommen ist, welche als „auflösende Curven“ dienen. Man muss daher die den Werten von a und b entsprechenden Punkte auf den Teilungen am linken resp. rechten Rande der Tafel durch eine Gerade verbinden, diese Gerade mit der zum Werte von c gehörigen Curve schneiden und an den durch die Schnittpunkte gehenden Senkrechten ablesen, um die positiven Wurzeln der gegebenen Gleichung zu erhalten. Die absoluten Werte der negativen Wurzeln findet man, wie bei M. d’Ocagne, indem man die positiven Wurzeln der Gleichung

$$z^3 - az^2 + bz - c = 0$$

sucht.

(Mehmke.)

40c. Graphische Tafeln zur mechanischen Auflösung reeller trinomischer Gleichungen, vollständiger Gleichungen dritten, vierten und fünften Grades und zweier Gleichungen mit zwei Unbekannten, von Prof. Mehmke, techn. Hochschule Darmstadt.

Die Theorie dieser Tafeln ist bereits in des Verfassers Abhandlungen „Neue Methode, beliebige numerische Gleichungen mit einer Unbekannten graphisch aufzulösen“ (Civilingenieur, Band 35, 1889) und „Neues Verfahren zur Bestimmung der reellen Wurzeln zweier numerischen algebraischen Gleichungen mit zwei Unbekannten“ (Schlömilch’s Zeitschrift, Jahrgang 35, 1890) mitgeteilt worden. Es möge dieselbe in anderer Darstellung hier kurz wiederholt werden.

Construirt man (nach Annahme eines beliebigen Cartesischen Coordinatensystems in der Ebene) zu jedem, mit der Gleichung

$$F(x, y) = 0$$

verträglichen Wertepaar der positiven reellen Veränderlichen x und y den Punkt mit der Abscisse $\log x$ und der Ordinate $\log y$, so erhält man eine Curve, die das „logarithmische Bild“ jener Gleichung genannt werden soll. Welchen Einfluss hat eine beliebige Verschiebung dieser Curve auf die Gestalt der zugehörigen Gleichung? Sind $\log \rho$ und $\log \sigma$ die Componenten der Verschiebung parallel den Axen, so hat der Punkt mit den Coordinaten $\log x$, $\log y$ vor der Verschiebung die Coordinaten

$$\log x - \log \rho = \log \frac{x}{\rho}, \quad \log y - \log \sigma = \log \frac{y}{\sigma}$$

gehabt. Wenn daher

$$F(x, y) = C x^m y^n + C_1 x^{m_1} y^{n_1} + \dots$$

ist, so gehört zur verschobenen Curve die Gleichung

$$F\left(\frac{x}{\rho}, \frac{y}{\sigma}\right) = C \left(\frac{x}{\rho}\right)^m \left(\frac{y}{\sigma}\right)^n + C_1 \left(\frac{x}{\rho}\right)^{m_1} \left(\frac{y}{\sigma}\right)^{n_1} + \dots = 0$$

oder

$$\frac{C}{\rho^m \sigma^n} \cdot x^m y^n + \frac{C_1}{\rho^{m_1} \sigma^{n_1}} \cdot x^{m_1} y^{n_1} + \dots = 0.$$

Man sieht: Zahl und Gestalt der Glieder, und, weil ρ und σ positive Grössen bedeuten, auch die Vorzeichen der einzelnen Glieder sind un-

verändert geblieben; es haben bloss die Coefficienten ihre absoluten Werte geändert. Man kann im Allgemeinen immer eine solche Verschiebung mit der Curve vornehmen, dass in der zur verschobenen Curve gehörigen Gleichung die Coefficienten von drei beliebig ausgewählten Gliedern dem absoluten Betrage nach einander gleich werden und folglich nach Division der ganzen Gleichung mit dem gemeinsamen absoluten Betrage jener Coefficienten dieselben den Wert ± 1 erhalten. Soll dies nämlich bei den Gliedern mit den Indices h, i, k geschehen, so muss

$$(m_h - m_i) \log \rho + (n_h - n_i) \log \sigma = \log |C_h| - \log |C_i|,$$

$$(m_h - m_k) \log \rho + (n_h - n_k) \log \sigma = \log |C_h| - \log |C_k|$$

sein, aus welchen beiden Gleichungen sich die Verschiebungsgrößen $\log \rho$ und $\log \sigma$ eindeutig berechnen lassen, falls nicht etwa die Determinante

$$\begin{vmatrix} m_h - m_i, & n_h - n_i \\ m_h - m_k, & n_h - n_k \end{vmatrix} = \begin{vmatrix} 1 & m_h & n_h \\ 1 & m_i & n_i \\ 1 & m_k & n_k \end{vmatrix}$$

verschwindet. Daher kann z. B., wenn a, b, c positive Größen bezeichnen, das logarithmische Bild von

$$ax^3y + bxy^3 = c$$

durch Verschieben aus dem logarithmischen Bilde von

$$x^3y + xy^3 = 1$$

erhalten werden; ebenso das logarithmische Bild der Gleichung

$$y = ax^2 - bx - c$$

aus der zu einem bestimmten Wert von λ gehörigen Curve derjenigen Curvenschaar, welche in den logarithmischen Bildern von

$$y = x^2 - x - \lambda,$$

mit positivem veränderlichen λ , besteht. Allgemein: Besitzt die Gleichung $F(x, y) = 0$ entweder drei, oder vier Glieder der Form $C_i x^{m_i} y^{n_i}$, so lässt sich ihr logarithmisches Bild im ersten Falle aus einer nur von den Exponenten m_i, n_i abhängenden Curve, im zweiten Fall aus einer bestimmten Curve einer, ebenfalls nur von jenen Coefficienten abhängenden Curvenschaar mit einem Parameter durch blosses Verschieben ableiten. Hat man nun häufig ein System zweier Gleichungen von bestimmter Form, z. B. der Form

$$ax^3y + bxy^3 = c,$$

$$a' \sqrt[3]{x} - b' \sqrt[3]{y} = c'$$

numerisch aufzulösen, so wird man die logarithmischen Bilder der Gleichungen

$$x^3y + xy^3 = 1 \quad \text{und}$$

$$\sqrt[3]{x} - \sqrt[3]{y} = 1,$$

beide, etwa auf besondere Blätter Pauspapier, im Voraus zeichnen, und wenn dann die Coefficienten a, b, c, a', b', c' bestimmte Zahlenwerte haben, so braucht man nur jene Curven auf ein mit getheilten Axen versehenes Blatt in der richtigen Weise aufzulegen und die Coordinaten der Schnittpunkte beider Curven abzulesen, um die Lo-

arithmen der Wurzeln des gegebenen Systems von Gleichungen zu erhalten. Sind die Axen logarithmisch geteilt, so ergeben sich sogar ohne weiteres die Zahlenwerte der gesuchten Wurzeln selbst. Eine Gleichung mit vier Gliedern erfordert eine Curvenschaar, statt einer einzelnen Curve. Der Fall einer einzigen Gleichung mit einer Unbekannten, etwa

$$f(x) = 0,$$

lässt sich auf den vorigen dadurch zurückführen, dass man die Gleichung auf irgend eine Weise in die Form

$$f_1(x) = f_2(x)$$

bringt und hierauf jede Seite derselben gleich $+cy$ oder gleich $-cy$ setzt, wo c eine willkürliche positive Constante bezeichnet. Besteht $f(x)$ aus drei oder vier Gliedern bestimmter Form, so reicht man mit einer, bez. zwei einzelnen ein für allemal gezeichneten Curven aus; eine einzelne Curve und eine Curvenschaar bezw. zwei Curvenschaaren sind erforderlich, wenn $f(x)$ fünf bezw. sechs Glieder hat. (Weiteres s. unten bei der Einzelbesprechung der ausgestellten Tafeln). Die Anwendung der Logarithmen bringt es mit sich, dass unser Verfahren zunächst nur die positiven Wurzeln liefert. Um auch die absoluten Werte der negativen Wurzeln, z. B. der Gleichung $f(x) = 0$, zu finden, bestimmt man die positiven Wurzeln der Gleichung $f(-x) = 0$.

Für die wirkliche Anwendung des Verfahrens ist es nicht gleichgiltig, dass man ohne Rechnung finden kann, in welche Lage man z. B. das logarithmische Bild der Gleichung

$$x^3y + xy^3 = 1$$

zu bringen hat, damit es die Gleichung

$$ax^3y + bxy^3 = c$$

logarithmisch vorstelle. Es möge diese Frage, wie auch die nach der Berechnung des Parameters λ , allgemein für die logarithmischen Bilder von

$$F_0(x, y) = \pm x^m y^n \pm x^{m_1} y^{n_1} \pm x^{m_2} y^{n_2} \pm \lambda x^{m_3} y^{n_3} \pm \dots = 0 \quad \text{und}$$

$F(x, y) = \pm Cx^m y^n \pm C_1 x^{m_1} y^{n_1} \pm C_2 x^{m_2} y^{n_2} \pm C_3 x^{m_3} y^{n_3} \pm \dots = 0$, wo $C_1, C_2, C_3 \dots$ jetzt positiv sein sollen, beantwortet werden. Man zeichnet auf ein und dasselbe Blatt mit dem zu verschiebenden logarithmischen Bilde von F_0 die (in geraden Linien bestehenden) logarithmischen Bilder L_1, L_2 und L_3 der Gleichungen

$$x^m y^n = x^{m_i} y^{n_i} \quad (i = 1, 2, 3)$$

und bringt auf der X- oder Y-Axe des ruhenden Systemes logarithmische Teilungen in den Masstäben $1 : (m - m_1)$ bezw. $1 : (n - n_1)$ an. Die Einstellung für ein bestimmtes Wertesystem C, C_1, C_2, C_3 geschieht dann, indem man jenes Blatt unter Wahrung seiner Axenrichtungen verschiebt, bis die Geraden L_1 und L_2 durch die den Werten $C_1 : C$ bezw. $C_2 : C$ entsprechenden Punkte der ersten bezw. zweiten logarithmischen Teilung auf der X- oder Y-Axe der ruhenden Unterlage gehen. Ist die Einstellung beendet, so liest man den Wert z ab, der am Schnittpunkt der Linie L_3 mit der X- oder Y-Axe und zwar bei der dritten logarithmischen Teilung steht. Dann ist

$$\lambda = \frac{C_3}{z \cdot C}$$

(Ausrechnung mit dem Rechenschieber).

Bei der Anwendung auf die Lösung einer Gleichung mit einer Unbekannten hat $F(x, y)$ immer die Form

$$\pm Cy \pm C_1 x^{m_1} \pm C_2 x^{m_2} \pm \dots,$$

so dass

$$n - n_1 = n - n_2 = n - n_3 = 1$$

wird. Die auf der Y-Axe anzubringenden Teilungen sind daher in diesem Falle einander gleich und ihr Masstab ist derjenige der ganzen Zeichnung.

Wie man sieht, kommt weder bei der Einstellung, noch bei der Berechnung von λ , auf die Vorzeichen der Glieder von F etwas an. Natürlich können das ruhende und das verschobene System auch mit einander vertauscht werden. Gehen wir jetzt zur Betrachtung der einzelnen Tafeln über.

1) Trinomische Gleichungen.

Die Gleichung

$$ax'^m \pm bx'^n \pm c = 0$$

wird durch die Substitution $x'^n = x$ auf die Form

$$ax^{\frac{m}{n}} \pm bx \pm c = 0$$

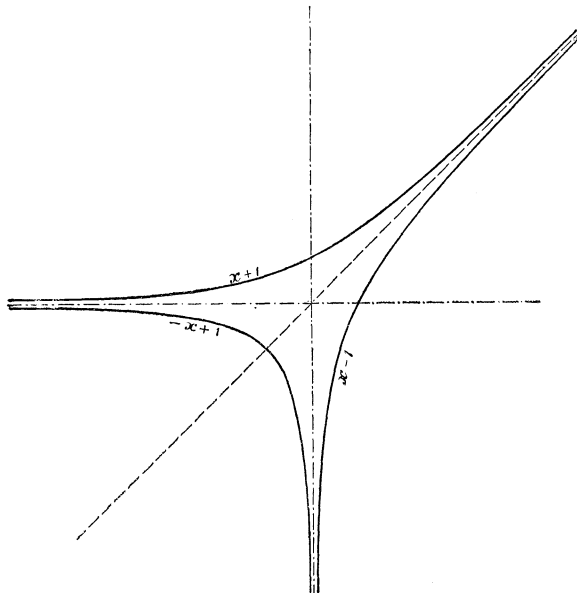


Fig. 1.

gebracht, die wir allein berücksichtigen wollen. Letztere Gleichung lässt sich in folgende beiden zerlegen:

$$ay = ax^{\frac{m}{n}} \quad \text{d. h.} \quad y = x^{\frac{m}{n}}$$

Y-Axe — Teilstriche und Ziffern sind blau — sowie den (rot gezeichneten und bezifferten) Parallelen zur Y-Axe durch die Teilpunkte der logarithmisch geteilten, aber nicht ausgezogenen X-Axe. Die aufzuliegenden Curven und Curvenschaaren sind von den (ebenfalls ausgestellten) Tafeln, auf denen sie construiert wurden, auf Pauspapier übertragen.

Bei den vollständigen cubischen Gleichungen

$$ax^3 \pm bx^2 \pm cx \pm d = 0$$

ist die mit einer Division durch x^2 verbundene Zerlegung in das System

$$y = \pm ax \pm b, \\ y = \pm cx^{-1} \pm dx^{-2},$$

zu Grunde gelegt, der zufolge man einerseits die uns schon aus Fig. 1 bekannten logarithmischen Bilder der Gleichungen

$$y = x + 1, \quad y = x - 1, \quad y = -x + 1;$$

andererseits (s. Fig. 2) diejenigen der Gleichungen

$$y = x^{-1} + x^{-2}, \quad y = x^{-1} - x^{-2}, \quad y = -x^{-1} + x^{-2}$$

nötig hat.

Bei den vollständigen biquadratischen Gleichungen

$$ax^4 \pm bx^3 \pm cx^2 \pm dx \pm e = 0$$

ist die Zerlegung in

$$y = \pm ax^2 \pm bx \pm c \\ y = \pm dx^{-1} \pm ex^{-2}$$

gewählt. Die zweite dieser Gleichungen bietet nichts Neues; das logarithmische Bild der ersten entsteht, wie bereits bekannt, durch Verschieben aus der zu einem bestimmten Wert von λ gehörigen Curve der Schaar zur Gleichung

$$y = \pm x^2 \pm x \pm \lambda.$$

Hinsichtlich der Vorzeichen der Glieder sind acht Fälle zu unterscheiden, von welchen der Fall

$$y = -x^2 - x - \lambda$$

sich sofort erledigt, weil zu ihm keine reellen Curven gehören. Um eine mehrfache Bedeckung mit Curven zu vermeiden, mussten die übrig bleibenden sieben Fälle auf vier Blätter verteilt werden, und zwar wurden je auf einem Blatt untergebracht die Curvenschaaren zu den Gleichungen:

- 1) $y = x^2 + x + \lambda$ und $y = x^2 + x - \lambda$;
- 2) $y = x^2 - x + \lambda$ „ $y = x^2 - x - \lambda$;
- 3) $y = -x^2 + x + \lambda$ „ $y = -x^2 + x - \lambda$;
- 4) $y = -x^2 - x + \lambda$.

Man kann ebenso gut die Zerlegung in

$$y = \pm ax \pm b$$

und

$$y = \pm cx^{-1} \pm dx^{-2} \pm ex^{-3}$$

benützen. Während die erste dieser Gleichungen schon wiederholt aufgetreten ist, erfordert die zweite neue Curvenschaaren, nämlich die logarithmischen Bilder von

$$y = \pm \mu x^{-1} \pm x^{-2} \pm x^{-3},$$

mit der positiven Grösse μ als Parameter. Es genügen wieder vier Blätter zur Unterbringung der sieben Fälle. Was endlich die vollständigen Gleichungen fünften Grades

$$ax^5 + bx^4 + cx^3 + dx^2 + ex + f = 0$$

betrifft, so kann man hier in

$$y = \pm ax^2 \pm bx \pm c$$

und

$$y = \pm dx^{-1} \pm ex^{-2} \pm fx^{-3}$$

zerlegen. Es kommen dann beide Arten der oben betrachteten Curvenschaaren zur Anwendung.

3) Zwei Gleichungen mit zwei Unbekannten.

Es sind nur zu den, aus Obigem schon bekannten Beispielen

$$ax \pm by = \pm c, \quad a\sqrt[3]{x} \pm b\sqrt[3]{y} = \pm c, \quad ax^3y \pm bxy^3 = \pm c$$

Tafeln angefertigt worden.

Genauere Anweisungen zum Gebrauch, mit Zahlenbeispielen, findet man bei den Tafeln selbst.

Bezüglich der Construction des logarithmischen Bildes einer beliebigen Gleichung zwischen zwei Veränderlichen muss auf die angeführten Abhandlungen verwiesen werden. Beim Zeichnen der ausgestellten Curventafeln hat Prof. *Brauer's* logarithmischer Zirkel (s. Nr. 97a) vorzügliche Dienste geleistet. (Mehmke.)

40f. Graphische Tafeln zur mechanischen Bestimmung sämtlicher Wurzeln von trinomischen Gleichungen mit (reellen oder) complexen Coefficienten, von Prof. *Mehmke*, technische Hochschule Darmstadt.

Diese Tafeln sind zwar aus einer noch nicht veröffentlichten Methode des Verfassers, beliebige Gleichungen mit complexen Coefficienten graphisch zu lösen, hervorgegangen, lassen sich aber auch unabhängig davon erklären.

Sei — unter a, b, c positive reelle Grössen verstanden —

$$1) \quad ae^{i\alpha} \cdot z^m + be^{i\beta} \cdot z^n + ce^{i\gamma} = 0$$

die gegebene Gleichung mit der Unbekannten $z = re^{i\varphi}$.

Wir setzen

$$2) \quad z = ke^{i\alpha} \cdot z', \quad z' = r' \cdot e^{i\varphi'},$$

woraus

$$\log r = \log r' + \log k, \quad \varphi \equiv \varphi' + \alpha \pmod{2\pi}$$

folgt, und suchen k und α so zu bestimmen, dass in der neuen Gleichung die Coefficienten von z'^m und z'^n einander gleich werden. Diese Coefficienten sind

$$ak^m e^{i(\alpha + m\alpha)} \quad \text{und} \quad bk^n e^{i(\beta + n\alpha)}$$

Man hat somit k und α zu berechnen aus

$$3) \quad k = \sqrt[m-n]{\frac{b}{a}} \quad \text{oder} \quad \log k = \frac{\log b - \log a}{m-n}$$

und

$$\alpha \equiv \frac{\beta - \alpha}{m-n} \pmod{2\pi}.$$

Nach Division mit dem gemeinsamen Coefficienten der ersten beiden Glieder verwandelt sich die neue Gleichung in

$$4) \quad z'^m + z'^n + le^{i\lambda} = 0,$$

wo

$$5) \quad 1 = c \sqrt[m-n]{\frac{a^n}{b^m}} \quad \text{oder} \quad \log l = \log c + \frac{n \log a - \log b}{m - n}$$

und

$$\lambda \equiv \gamma + \frac{n\alpha - m\beta}{m - n} \pmod{2\pi} \text{ ist}$$

Wir nehmen jetzt ein Cartesisches Coordinatensystem in der Ebene beliebig an und betrachten $\log r'$ und φ' als Coordinaten eines veränderlichen Punktes. Dieser Punkt wird eine bestimmte Curve beschreiben, wenn man in Gleichung 4) l einen festen Wert gibt und λ alle möglichen Werte annehmen lässt. Wir denken uns eine Reihe solcher Curven gezeichnet und die zugehörigen Werte von l daran geschrieben. Nun erteile man λ einzelne bestimmte Werte und lasse l sich verändern, das gibt eine zweite Curvenschaar. Eine derartige Tafel mit l -Curven und λ -Curven kann man sich für einzelne Verbindungen der Exponenten m, n , z. B. 2, 1 (vollständige quadratische Gleichungen); 3, 1 (reducirte cubische Gleichungen); 5, 1 (Gleichungen fünften Grades in der Bring'schen Form) im Voraus construiren. Man bedarf ausserdem noch eines auf durchsichtigen Stoff gezeichneten Axensystems. Wenn dann für $a, \alpha, b, \beta, c, \gamma$ in Gleichung 1) irgend welche Zahlenwerte gegeben sind, so berechne man — was auf graphischem oder mechanischen Wege möglich ist — k, z, l, λ mit Hilfe der Gleichungen 3) und 5), lege das durchsichtige Axensystem so auf die (zur betreffenden Verbindung m, n gehörige) Curventafel, dass entsprechende Axen parallel sind und der Nullpunkt der Curventafel unter dem Punkt der durchsichtigen Tafel mit den Coordinaten $\log k, z$ liegt und suche die gegenseitigen Schnittpunkte der zu den betreffenden Werten l, λ gehörigen Curven. Hat ein solcher Punkt im Axensystem der durchsichtigen Tafel die Coordinaten $\log r$ und φ , so ist $re^{i\varphi}$ eine Wurzel der gegebenen Gleichung.

Ist die erste Axe logarithmisch geteilt, so kann unmittelbar r , statt $\log r$, abgelesen werden. Bei den ausgestellten Tafeln ist übrigens angenommen, dass man die Winkel z, λ, φ nicht in analytischem Mass, sondern in Graden sog. neuer Teilung (rechter Winkel gleich 100 Grad) ausdrückt.

Bei der Construction der Tafeln wurden die „Additionslogarithmen für complexe Grössen“ bezw. die zugehörigen Flächen (s. Nr. 50a, S. 31) benützt. (Mehmke.)

43a. Graphische Tafel zur Geschwindigkeitsformel von Kutter, nach dem 1869 erschienenen Originale vergrößert gezeichnet im **mathem. Institut der techn. Hochschule Darmstadt** (Prof. **Mehmke**).

Diese Tafel, deren Urbild erstmals einer 1869 veröffentlichten Abhandlung mit dem Titel „Versuch zur Aufstellung einer neuen allgemeinen For-

mel für die gleichförmige Bewegung des Wassers in Canälen und Flüssen,, von E. Ganguillet und W. R. Kutter, Ingenieuren in Bern,“ beigegeben war, (siehe die Zeitschrift des Oesterreichischen Ingenieur- und Architekten-Vereins, 21. Jahrgang, insbes. § 35 a, S. 50, und Figur XIII auf Blatt Nr. 9), und seither durch Abdruck im Handbuch der Ingenieurwissenschaften sowie im Taschenbuch des Ingenieurs, herausgegeben vom Verein „Hütte“, grosse Verbreitung gefunden hat, ist ihres geschichtlichen Interesses wegen ausgestellt worden. Sie bildet nämlich, wie es scheint, das älteste Beispiel der Anwendung einer wichtigen Methode zur geometrischen Darstellung von Functionen mit mehreren Veränderlichen, welche neuerdings von Herrn M. d’Ocagne allgemein begründet und Methode der „isoplethen Punkte“ genannt worden ist (vergl. dessen Nomographie, Paris 1891, sowie diesen Katalog, Nr. 44, S. 162).

Die mittlere Geschwindigkeit des Wassers in irgend einem Querschnitt eines Kanals ist

$$v = c\sqrt{RI},$$

wo R den sog. hydraulischen Radius (Quotienten aus Inhalt des Querschnittes in qm und benetztem Umfang in m) und I das Gefälle auf eine Kanalstrecke von der Länge Eins bezeichnet. Nach Kutter setzt man

$$c = \frac{23 + \frac{1}{n} + \frac{0,00155}{I}}{1 + \left(23 + \frac{0,00155}{I}\right) \frac{n}{\sqrt{R}}},$$

wobei der Coefficient n sich mit der Rauigkeit des benetzten Umfanges ändert. Der Zweck der Tafel ist, durch ein mechanisches Verfahren zu gegebenen Werten von drei beliebigen der vier Grössen R , I , n , c den Wert der vierten zu bestimmen.

In der Form

$$\frac{x}{\sqrt{R}} + \frac{y}{c} = 1,$$

mit den Abkürzungen

$$x = -\left(23 + \frac{0,00155}{I}\right)n, \quad y = 23 + \frac{1}{n} + \frac{0,00155}{I}$$

geschrieben, zeigt obige Gleichung, dass der Punkt mit den Cartesischen Coordinaten x , y auf einer Geraden liegt, welche von den Coordinatenaxen die Stücken \sqrt{R} und c abschneidet. Bei constantem n und veränderlichem I beschreibt der Punkt (x, y) offenbar eine gerade Linie, bei constantem I und veränderlichem n dagegen eine gleichseitige Hyperbel. Eine Anzahl solcher „ n -Linien“ und I -Curven“ sind ein für allemal gezeichnet. Ist nun z. B. ein Wertsystem R , I , n gegeben, so verbindet man den Punkt \sqrt{R} der X -Axe mit dem Schnittpunkt der betreffenden n -Linie und I -Curve durch eine gerade Linie; dann wird man am Schnittpunkt derselben mit der y -Axe den gesuchten Wert von c ablesen können. (Mehmke.)

44a. Abacus von Maurice d’Ocagne, ingénieur des ponts et chaussées, Paris.

5) Abacus zur Berechnung der Erdausfüllung bei Dammarbeiten.

Die Berechnung des Flächeninhaltes (im Querschnitt) der aufzufüllen- den, beziehungsweise abzutragenden Erde geschieht, wie bei den im Haupt-

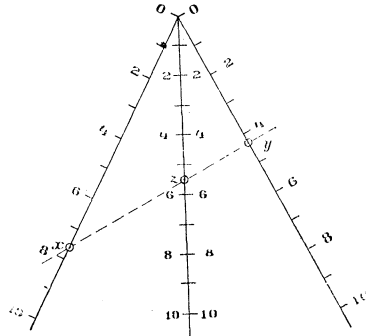
katalog beschriebenen Abacus nach der Methode der Isoplethenpunkte. Auf der linken Seite des Abacus befindet sich der Masstab, welcher die Höhe y des Erddammes in der Mittellinie angibt, auf der rechten Seite der Masstab x für die Neigung des Terrains, in der Mitte der Masstab für die Querschnittsfläche der auf- beziehungsweise abzutragenden Erdmasse: $C = y^2 \cdot 2x$. Die Ablesung geschieht dadurch, dass man mittels einer Geraden die entsprechenden Punkte der beiden Masstäbe x und y verbindet und auf dem Masstabe C abliest.

44b. Verschiedene graphische Tafeln, von Prof. **Mehmke**, techn. Hochschule Darmstadt.

Die meisten dieser Tafeln sind Anwendungen der, wie es scheint, von *Kutter*, (1869) herrührenden Methode, welche Herr *M. d'Ocagne* in seinem 1891 erschienenen Buche mit dem Titel „Nomographie“ die Methode der „isoplethen Punkte“ genannt hat (vergl. die Tafel zur Geschwindigkeitsformel von *Kutter*, Nr. 43 a S. 17). Sie wurden (mit einer Reihe anderer, unausgeführt gebliebener) im Jahre 1889 entworfen; zwei davon (die „Barometertafel“ und die Tafel zur Bestimmung der Leistungen von Locomotiven) sind 1890 in Zeitschriften veröffentlicht worden. Einige der Tafeln wurden vom Verfasser bei zahlen-theoretischen Untersuchungen benützt.

Es sind behandelt:

1) Das harmonische Mittel. Drei von einem Punkt ausgehende Axen (s. die Fig.) sind gleichmässig geteilt, aber so, dass gleichbezahlte Teilpunkte in einer Geraden liegen. Um das harmonische Mittel z zweier Grössen x und y zu finden, sucht man die entsprechenden Punkte auf den äusseren Axen, verbindet durch eine Gerade und liest am Schnittpunkt mit der dritten Axe ab.



2) Das geometrische Mittel zweier Grössen.

3) Die Correction des Barometerstandes, die bei der Reduction auf 0° wegen der Temperatúrausdehnung des Quecksilbers und des Masstabes nötig ist (abgedruckt in Wiedemann's Annalen für Physik, 1890.)

4) Die sog. rohen Seehöhen, für Lufttemperatur corrigirt (für barometrische Höhenmessungen).

5) Die Helligkeit eines wagerechten, durch eine Lichtquelle von 100 Normalkerzen beleuchteten Flächenelementes.

6) Druck, Volumen und Temperatur eines Kilogramms atmosphärischer Luft bei isothermischer und adiabatischer Zustandsänderung.

7) Die Bestimmung des Rohrdurchmessers und der Ausflussgeschwindigkeit einer Wasserleitung bei gegebenem Gefäll und vorgeschriebener Wassermenge.

8) Die Bestimmung der Stauhöhe eines durch Brückenpfeiler gestauten Flusses.

9) Die Bestimmung der Flächeninhalte von Querprofilen.

10) Die Ermittlung des Kohlen- und Wasserverbrauchs, der Zugkraft, Geschwindigkeit u. s. w. einer Normal-Güterzug-Locomotive, wenn eine jener Grössen gegeben ist (abgedruckt im Centralblatt der Bauverwaltung, Jahrgang 1890).

11) — 13) Die Bestimmung der Normen von Zahlen reiner cubischer Zahlkörper und die Prüfung, ob solche Zahlen Einheiten sind. (Mehmke.)

44c. Tafeln zur graphischen Berechnung homogener Functionen von zwei Veränderlichen, von Prof. Mehmke, techn. Hochschule Darmstadt.

Ist $z = f(x, y)$ irgend eine, in Bezug auf x und y homogene Function vom Grade n , so hat man

$$z = x^n \cdot f\left(1, \frac{y}{x}\right),$$

oder wenn

$$\log \frac{y}{x} = \log y - \log x = u, \quad \log f\left(1, \frac{y}{x}\right) = v$$

gesetzt wird,

$$\log z = n \cdot \log x + v.$$

Es kann v als Function von u betrachtet und die zwischen beiden Grössen bestehende Abhängigkeit durch die Gleichung

$$10^v = f(1, 10^u)$$

ausgedrückt werden. Sobald für diese Function eine numerische Tabelle berechnet oder dieselbe geometrisch durch eine Curve oder auch durch einen Mechanismus dargestellt ist, lässt sich zu beliebigen Werten von $\log x$ und $\log y$ oder auch x und y der zugehörige Wert von $\log z$ oder z leicht finden. Es ergeben sich z. B. aus der Anwendung dieses Gedankens auf die Function

$$z = x + y$$

einerseits die sog. Additionslogarithmen, andererseits die vom Verfasser in das graphische Rechnen eingeführte „Additionscurve“, wie auch Prof. Brauer's logarithmischer Zirkel (vergl. Nr. 97a). Die Ausdehnung der Methode auf homogene Functionen von drei reellen oder zwei complexen Veränderlichen würde numerische oder graphische Tafeln mit zwei Eingängen bezw. Hilfsflächen erfordern. Ein Beispiel der letzteren Art haben wir in den „Additionslogarithmen für complexe Grössen“ (vergl. Nr. 50a).

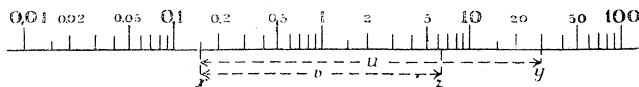


Fig. 1.

Die ausgestellten Tafeln behandeln folgende Beispiele:

- 1) Arithmetisch-geometrisches Mittel $z = M(x, y)$;
- 2) Modul r und Amplitude φ einer complexen Grösse $(x + iy)$.
- 3) Wurzeln einer quadratischen Gleichung $z^2 + az + b = 0$. (Es ist der Umstand benützt, dass die Wurzeln homogene Functionen von a und \sqrt{b} sind.)

Eine Anleitung zum Gebrauch findet man auf den betreffenden Tafeln selbst. Es möge aber zur deutlicheren Erklärung der Methode wenigstens das erste Beispiel hier noch besprochen werden.

Da $z = M(x, y)$ eine homogene Function ersten Grades von x und y ist, so wird

$$\log z = \log x + v \qquad (u = \log y - \log x).$$

Die Tafel enthält eine (von 0,01 bis 100 gehende) logarithmische Teilung (Fig. 1) und eine in demselben Massstab (1 = 5cm) gezeichnete Hilfscurve (Fig. 2), deren Punkte zur Abscisse u , zur Ordinate $v = \log M(1, 10u)$ haben.

Es ist jetzt offenbar so zu verfahren: Man sucht auf der logarithmischen Teilung die zu den gegebenen Werten von x und y gehörigen Punkte, misst mit einem Zirkel die Strecke u vom ersten Punkte nach dem zweiten, bestimmt zu dieser Strecke als Abscisse die zugehörige Ordinate v der Hilfscurve und trägt dieselbe vom Punkt x aus in positiver Richtung auf der logarithmischen Teilung ab, dann lässt sich am Endpunkt das gesuchte arithmetisch-geometrische Mittel von x und y ablesen. (Weil $M(x, y) = M(y, x)$, so durfte man $x < y$ voraussetzen, d. h. sich auf positive u beschränken.)

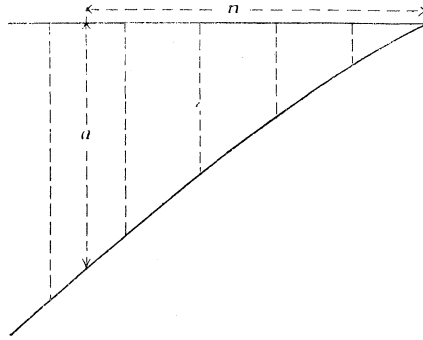


Fig. 2.

44d. Entwurf einer logarithmischen Rechentafel für complexe Grössen, von Prof. **Mehmke**, techn. Hochschule Darmstadt.

Den aus dem Jahre 1620 stammenden Gedanken Gunter's, die Logarithmen als Strecken in einer Linie von einem und demselben Punkt aus abzutragen, auf dem alle logarithmischen Rechenapparate (Rechenstäbe, Rechenscheiben u. s. w.) beruhen, findet man hier durch Einführung complexer Grössen verallgemeinert. Mittelst desjenigen Zweiges der Function $\log(x + iy)$, bei welchem der imaginäre Teil immer zwischen 0 und $2i\pi$ liegt, sind eine Anzahl von Parallelen zur x - und y -Axe abgebildet worden, und zwar soweit sie innerhalb des ringförmigen Streifens der Zahlenebene verlaufen, der durch die beiden, aus dem Nullpunkte mit den Halbmessern 1 und 10 beschriebenen Kreise begrenzt ist. Um der Tafel in der y -Richtung keine zu grosse Ausdehnung geben zu müssen, hat man noch eine affine Transformation mit ihr vorgenommen, oder kürzer gesprochen, man hat die imaginären Teile der Logarithmen in einem kleineren Massstabe, als die reellen, aufgetragen. An die erhaltenen Curven sind die betreffenden Werte von x bzw. y angeschrieben worden.

Sind nun vier complexe Grössen

$$z_1 = x_1 + iy_1, \dots, z_4 = x_4 + iy_4$$

vorhanden, die in der Beziehung

$$\frac{z_1}{z_2} = \frac{z_3}{z_4}$$

stehen, und suchen wir in unserer Tafel die zugehörigen Punkte, so ist offenbar die Strecke vom Punkte z_1 (d. h. dem Schnittpunkte der Curven $x = x_1$ und $y = y_1$) nach dem Punkte z_2 gleich lang und gleich gerichtet mit der Strecke vom Punkte z_3 nach dem Punkte z_4 . Um daher z. B.

$$z = \frac{a}{b}c$$

zu finden, wenn die complexen Grössen a , b , c gegeben sind, verschiebe man in der Tafel den Punkt c um eine Strecke, die gleiche Länge und Richtung mit der Strecke vom Punkte b nach dem Punkt a hat, dann lässt sich an den beiden Curven, die durch den erhaltenen Punkt gehen, der reelle und der imaginäre Teil der gesuchten Grösse z ablesen. Die Multiplication und die Division zweier complexen Grössen sind hierin als besondere Fälle enthalten. Behufs mechanischer Ausführung jener Operation kann man einen Zirkel mit vier Spitzen anwenden, der so eingerichtet ist, dass bei jeder Stellung seine Spitzen die Ecken eines Parallelogrammes bilden, oder aber kann man, um die Analogie mit dem gewöhnlichen Rechenschieber vollständig zu machen, eine mit der ersten Tafel congruente, auf durchsichtigen Stoff gezeichnete Tafel benützen. Man braucht dann diese Tafeln bei gleicher Richtung ihrer Axen nur so auf einander zu legen, dass der zur complexen Grösse b gehörige Punkt der oberen Tafel den Punkt a der unteren Tafel deckt, dann wird man unter dem Punkte c der oberen Tafel die gesuchte Grösse z finden.

In dem ausgestellten Entwürfe sind die den reellen Teilen der complexen Grössen entsprechenden Curven und Ziffern schwarz, die den imaginären Teilen entsprechenden rot gezeichnet.

Um beim Rechnen nicht zu häufig aus dem Bereich der Tafel herauszukommen, wäre bei einer zum wirklichen Gebrauch bestimmten Ausführung eine Wiederholung der Tafel zweckmässig, ähnlich der Wiederholung der Scalen beim Rechenschieber. Für den Gebrauch noch bequemer wäre die cylindrische (den Rechenscheiben u. s. w. entsprechende) Form: durchsichtiger Hohlcyliner mit darin verschieb- und drehbarem Vollcyliner.

(Mehmke.)

44c. Anleitung zum Entwerfen graphischer Tafeln, sowie sechs graphische Tafeln hierzu von Prof. **Ch. A. Vogler**, Berlin. Ausgestellt von der Verlagsbuchhandlung von **Ernst und Korn**, Berlin.

Inhalt: I. Vom Entwerfen graphischer Tafeln und deren Leistung gegenüber den Rechenmaschinen. II. und III. Verwendung von Schichten tafeln bei Aneroid-Messungen und in der Tachymetrie.

44f. Graphische Barometertafeln zur Bestimmung der Höhenunterschiede durch eine blosse Subtraction. Von Prof. **Ch. A. Vogler**, entworfen von **H. Feld**. Ausgestellt von der Verlagsbuchhandlung von **Vieweg & Sohn**, Braunschweig.

D. Modelle und Zeichnungen zur Algebra und Functionentheorie.

46a. Geometrische Darstellung der Discriminante der Hauptgleichung fünften Grades. G. Kerschensteiner, Gymnasiallehrer in Schweinfurt.

Die Hauptgleichung fünften Grades (vergl. Klein, Ikosaeder, Seite 182)

$$G_5 \equiv x^5 + 5\alpha x^3 + 5\beta x + \gamma = 0 \quad (I)$$

hat als Discriminante folgenden Ausdruck (vergl. Faà di Bruno, übersetzt von Walter, Seite 317):

$$\Delta_5 \equiv 108\alpha^5\gamma - 135\alpha^4\beta^2 + 90\alpha^2\beta\gamma^2 - 320\alpha\beta^3\gamma + 256\beta^5 + \gamma^4$$

Die Fläche, welche dieser gleich Null gesetzte Ausdruck darstellt, besitzt notwendig eine Rückkehrkante als Ort aller Punkte $\alpha\beta\gamma$, für welche $G_5 = 0$ eine Gleichung mit einer dreifachen Wurzel darstellt, ferner eine Doppelcurve als Ort aller Punkte $\alpha\beta\gamma$, für welche $G_5 = 0$ eine Gleichung mit zwei Paar gleichen Wurzeln repräsentirt. Weitere singuläre Curven sind ausgeschlossen, da $G_5 = 0$ nur für $\alpha = \beta = \gamma = 0$ vier- oder fünffache Wurzeln erhalten kann.

Die analytischen Ausdrücke für die Doppelcurve bzw. Rückkehrkante erhält man daher, wenn man die speziellen Gleichungen

$$G'_5 \equiv (x - \mu)^3(x - \rho)(x - \lambda) = 0$$

$$G''_5 \equiv (x - \mu)(x - \rho)^2(x - \lambda)^2 = 0$$

mit der Hauptgleichung (I) comparirt. Man findet auf diese Weise als Gleichung der Rückkehrkante (wobei der Parameter μ der Wert der dreifachen Wurzel ist):

$$\begin{aligned} \alpha &= -2\mu^3 \\ \beta &= +3\mu^4 \\ \gamma &= -6\mu^5 \end{aligned} \quad (II)$$

Sie ist also eine Raumcurve, von deren Verlauf man sich in einfacher Weise ein geometrisches Bild verschafft, wenn man sie sich als Schnitt der beiden Cylinder vorstellt

$$16\beta^3 - 27\alpha^4 = 0, \quad 16\beta^5 - 3\gamma^4 = 0,$$

deren erster eine Curve vom Typus einer gewöhnlichen Parabel, deren zweiter eine Curve vom Typus einer Neil'schen Parabel zum Querschnitt hat.

Ebenso erhält man als Gleichung der Doppelcurve:

$$\begin{aligned} \alpha &= +(\rho + \lambda)^3 = k^3 \\ \beta &= -\frac{3}{2}(\rho + \lambda)^4 = -\frac{3}{2}k^4 \\ \gamma &= +\frac{3}{2}(\rho + \lambda)^5 = \frac{3}{2}k^5, \end{aligned} \quad (III)$$

eine Raumcurve, welche sich als Schnitt der beiden Cylinder ergibt:

$$27\alpha^4 + 64\beta^3 = 0, \quad 12^3\beta^5 + \gamma^4 = 0.$$

Es erübrigt nur noch, den Verlauf der Doppelcurve auf der Fläche zu untersuchen.

Zu dem Zwecke denke ich mir in der Flächengleichung $\Delta_5 = 0$ die Abscisse α einen Moment als Parameter; dann stellt $\Delta_5 = 0$ die Gesamtheit aller Curven dar, nach welchen der Parallelebenenbüschel $\alpha' = \text{Const.}$ die Discriminantenfläche schneidet. Für einen Doppelpunkt $\beta'\gamma'$ dieser Curven bestimmen sich die beiden Tangenten aus der Gleichung

$$\left(\frac{d\beta}{d\gamma}\right)^2 \cdot \left[\frac{\partial^2 \Delta}{\partial \beta^2}\right] + \left(\frac{d\beta}{d\gamma}\right) \cdot \left[\frac{\partial^2 \Delta}{\partial \beta \partial \gamma}\right] + \left[\frac{\partial^2 \Delta}{\partial \gamma^2}\right] = 0.$$

Setzt man in die Coefficienten dieser Gleichung für α, β, γ die Werte ein welche den Gleichungen (III) genügen, so erhält man

$$4 \left(\frac{d\beta}{d\gamma}\right)^2 + 210 k \left(\frac{d\beta}{d\gamma}\right) + 150 k^2 = 0.$$

Die Discriminante dieser quadratischen Gleichung

$$a_0 a_2 - a_1^2 = 600k^2 - 100k^2 = +500k^2$$

ist aber positiv, für reelle Werte von k , d. h. der Doppelpunkt der Curve ist isolirt, und damit die ganze Doppelcurve der Fläche $\Delta_3 = 0$.

Dann aber teilt die Fläche $\Delta_3 = 0$ den Raum überhaupt nur in zwei Teile, und die vorliegende Hauptgleichung kann niemals fünf reelle Wurzeln besitzen.

In der That, sind x_1, x_2, x_3 irgend drei reelle Wurzeln der Gleichung, so müssen x_4 und x_5 , weil die Coefficienten der vierten und dritten Potenz in der Hauptgleichung Null sind, den Bedingungen genügen:

$$x_4 + x_5 = -(x_1 + x_2 + x_3)$$

$$x_4 x_5 = (x_1 + x_2 + x_3)^2 - (x_1 x_2 + x_2 x_3 + x_1 x_3)$$

d. h. die Werte der beiden andern Wurzeln ergeben sich aus einer quadratischen Gleichung, die nur imaginäre Wurzeln besitzen kann. Denn ihre Discriminante wird nur dann negativ, wenn

$$-2(x_1 x_2 + x_1 x_3 + x_2 x_3) > 3(x_1^2 + x_2^2 + x_3^2)$$

ist. Das ist aber unmöglich; denn es ist offenbar stets:

$$a^2 + b^2 \geq 2ab$$

$$b^2 + c^2 \geq 2bc$$

$$c^2 + a^2 \geq 2ca$$

$$a^2 + b^2 + c^2 \geq ab + ac + bc$$

also sicher

$$3(a^2 + b^2 + c^2) > -2(ab + bc + ca)$$

Die Fläche $\Delta_3 = 0$ teilt also den Raum in 2 Teile; sie hat völlig die Gestalt der Fläche $\Delta_3 = 0$ (vergl. Katalog, 1892 Seite 169) und der dort mit I bezeichnete Raum enthält alle Punkte, welche Gleichungen mit 1 reellen und 4 complexen, während der Raum II Gleichungen mit 3 reellen und 2 complexen Wurzeln liefert. Analytisch ausgedrückt hat man für die Hauptgleichung:

$$G_5 = x^5 + 5\alpha x^2 + 5\beta x + \gamma = 0$$

gemäss den vorausgehenden Untersuchungen die folgenden äusserst einfachen Kriterien:

Wurzeln:	Δ	$8\beta^2 - \alpha\gamma$	$27\beta\alpha^2 + \gamma^2$	$4\beta^3 - 3\alpha\gamma$	$\gamma^2 - 3\alpha^2\beta$
1 reelle	+
3 reelle	-
Eine dreifache . .	0	0	0
Zwei Paar gleiche	0	0	0

Es mag bemerkt werden, dass auch für die beiden letzten Fälle zwei der Kriterien genügen, und dass $\gamma^2 - 3\alpha^2\beta$ nichts anderes ist, als die Invariante

A und $4\beta^2 - 3\alpha\gamma$ bis auf den Factor $4\alpha^2$ der Coefficient von x^2 der Co-variante τ der Form fünften Grades. Die hier von mir angegebenen Kriterien für zwei Paar gleiche Wurzeln lassen sich dagegen nicht in einfacher Weise mit Formen des Systems von G_5 identificieren.

Anmerkung: Herr Schoute hat darauf hingewiesen, (vergl. Gewone Vergadering der Afdeling Natuurkunde op Zaterdag 27. Mei 1893, Accademie in Groningen), dass die von mir bereits im Vorjahr discutirten Discriminantenflächen abwickelbare Flächen sind, eine Bemerkung, die sich [Vergl. auch den Aufsatz von Herrn Professor Klein: Geometrisches zur Abzählung der reellen Wurzeln algebraischer Gleichungen (Katalog 92)] direkt aus der Ueberlegung ergibt, dass die Discriminante auch als Resultante der ersten Differentialquotienten der Form dargestellt werden kann. Durch Beachtung dieser Eigenschaft wird zwar die Discussion der Fläche nicht einfacher; auch wird dadurch die algebraische Seite der Frage nicht berührt; wohl aber gestattet sie eine ganz exacte Herstellung der Fläche durch Fadenmodelle: ich habe daher auch das vorliegende Modell als Fadenmodell ausgeführt, dabei aber die β -Coordinate auf den 12. und die γ -Coordinate auf den 120. Teil verkürzt. —

(G. Kerschensteiner.)

46b. Drei Fadenmodelle von entwickelbaren Flächen, die mit algebraischen Gleichungen höheren Grades in Verbindung stehen, von Professor P. H. Schoute, Universität Groningen.

Modell I. Betrachtet man nach Sylvester und Kronecker die Coefficienten x, y, z der Gleichung $u^3 + 3xu^2 + 3yu + z = 0$ als Coordinaten eines Punktes P und denkt man sich in jedem Punkte P die drei Wurzeln der Gleichung angegeben, so wird der Raum bekanntlich von einer Fläche in zwei Teile geteilt, von denen der eine die Punkte mit drei reellen Wurzeln enthält, während in jedem Punkte der andern nur eine Wurzel reell ist. Für jeden Punkt der Fläche werden dann zwei Wurzeln einander gleich sein.

Die Bedingung, die Gleichung in u enthalte eine zweifache Wurzel, wird durch Elimination von u aus

$$\left. \begin{aligned} u^2 + 2xu + y &= 0 \\ xu^2 + 2yu + z &= 0 \end{aligned} \right\} \dots \dots \dots 1)$$

erhalten. Betrachtet man u als eine bekannte Grösse, dann gehören die Gleichungen 1) einer bestimmten Geraden an. Die gesuchte Fläche ist deshalb der Ort der den verschiedenen Werten von u entsprechenden Geraden 1). Ausserdem begegnet die dem Werte u entsprechende Gerade der ihr unmittelbar folgenden in dem Punkte

$$\left. \begin{aligned} u + x &= 0 \\ xu + y &= 0 \\ yu + z &= 0 \end{aligned} \right\}, \text{ d. h. } \left. \begin{aligned} x &= -u \\ y &= u^2 \\ z &= -u^3 \end{aligned} \right\} \dots \dots \dots 2).$$

Deshalb ist die Fläche entwickelbar und die cubische Raumeurve, welche der Ort des Punktes 2) bildet, ihre Rückkehrlinie. Für jeden Punkt dieser Curve sind die drei Wurzeln einander gleich.

Schreibt man die Gleichungen 1) in der Form

$$\left. \begin{aligned} y &= -u(u + 2x) \\ z &= u(2u - 3x) \end{aligned} \right\} \dots \dots \dots 3)$$

und nimmt man zwei bestimmte Ebenen senkrecht zur x -Axe an, z. B. $x = -10$ und $x = +10$, so findet man für die Schnittpunkte mit diesen Ebenen

$$\left. \begin{array}{l} y = -u(u-20) \\ z = u^2(u+30) \end{array} \right\} \quad , \quad \left. \begin{array}{l} y = -u(u+20) \\ z = u^2(u-30) \end{array} \right\} .$$

Zeichnet man nun auf zwei einander gegenüberstehenden Ebenen eines Würfels von Pappendeckel, welcher so mit dem Koordinatensysteme in Verbindung gebracht ist, dass diese Ebenen den Gleichungen $x = -10$, $x = +10$ entsprechen, die Punkte (y, z) , welche man erhält, wenn man in die letzten Gleichungen für u nach einander die Werte $-10, -9, \dots, -1, 0, 1, \dots, 9, 10$ einsetzt, und verbindet dann je die Punkte, welche dem nämlichen Werte von u entsprechen, so entsteht das gesuchte Modell.

Modell II. Das zweite Modell entspricht der Gleichung $u^4 + 6xu^2 + 4yu + z = 0$. Es teilt den Raum in drei Teile, deren Punkte entweder vier, zwei oder keine reellen Wurzeln zeigen. Es muss die Fläche also sich selbst durchsetzen und deshalb eine Doppellinie besitzen. Es ist die Generatrix

$$\left. \begin{array}{l} u^3 + 3xu + y = 0 \\ 3xu^2 + 3yu + z = 0 \end{array} \right\}, \quad \text{d. h.} \quad \left. \begin{array}{l} y = -u(u^2 + 3x) \\ z = 3u^2(u^2 + 2x) \end{array} \right\}$$

und die Rückkehrlinie

$$\left. \begin{array}{l} u^2 + x = 0 \\ 2xu + y = 0 \\ 3xu^2 + 2yu + z = 0 \end{array} \right\}, \quad \text{d. h.} \quad \left. \begin{array}{l} x = -u^2 \\ y = 2u^3 \\ z = -3u^4 \end{array} \right\} .$$

Für jeden Punkt der Doppellinie hat die Gleichung zwei Paar gleiche Wurzeln und ist das erste Glied das Quadrat von $u^2 + 3x$. Deshalb ist die Parabel $y = 0$, $z = 9x^2$ die Doppellinie; nur die mit negativen Werten von x auftretende Hälfte ist Ort von Knotenpunkten; die Paare von Generatrices, welche sich auf der anderen Hälfte begegnen, sind imaginär.

Es sind hier die Ebenen $x = -16$, $x = 4$ verwendet.

Modell III. Wenn man untersuchen will, welche Form die Fläche annimmt bei einer Teilung des Raumes in vier Gebiete, so kann man sich der Gleichung $u^6 - 15u^4 + 15xu^2 + 6yu + z = 0$ bedienen. Es ist die Generatrix

$$y = -u(u^4 - 10u^2 + 5x), \quad z = 5u^2(u^4 - 9u^2 + 3x)$$

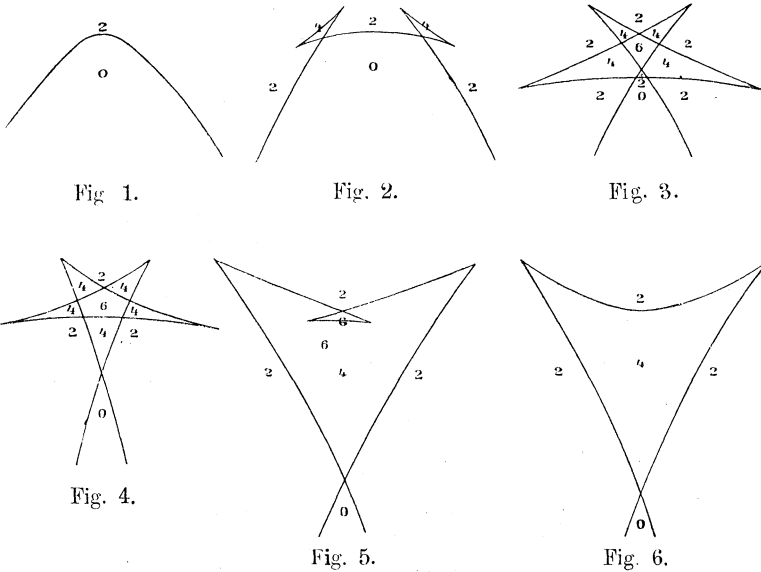
und zur Construction sind die Ebenen $x = -2$, $x = 10$ verwendet worden. Jedenfalls ist ebenso wie beim zweiten Modell der Boden des Würfels auch benützt. Die Rückkehrlinie ist

$$x = -u^2(u^2 - 6), \quad y = 4u^3(u^2 - 5), \quad z = -5u^4(2u^2 - 9)$$

und die Doppellinie besteht aus zwei Teilen. Auf dem einen, der rationalen ebenen Curve $y = 0$, $(z + 25x)^2 + 100(x - 5)(z + 5x)^2 = 0$ mit dem Rückkehrpunkte $x = 5$, $z = -125$ (Rückkehrtangente $z + 75x = 250$) tritt die Realität der beiden durch den Doppelpunkt gehenden Generatrices in den beiden Fällen $x > 0$ und $x < 0$, $z < 0$ ein. Auf dem anderen, der rationalen Raumcurve

$9x = 16v^4 - 36v^2 + 45$, $9y = 2v^3(8v^2 - 15)$, $27z = 5(4v^2 - 3)(8v^2 - 15)^2$, deren Parameter v mittelst der Gleichung $3u^2 - 6uv + 8v^2 = 15$ mit u verknüpft ist, tritt die Realität der beiden durch den Doppelpunkt gehenden Generatrices nur unter der Bedingung $v^2 \leq 3$ ein.

Die Durchschnitte der Fläche mit den Ebenen $x = \text{Const.}$ sind rationale Curven sechster Ordnung und sechster Classe mit vier Rückkehrpunkten



und sechs Doppelpunkten. Die Figurentafel zeigt, wie die Form des Durchschnit­tes sich ändert von $x = -2$ (Fig. 1) bis $x = 10$ (Fig. 6). In einigen der Uebergangsformen (Fig. 3 und Fig. 4) sind die Rückkehrpunkte und Doppelpunkte sämtlich reell. Die hinzugefügten Ziffern geben die Zahl der reellen Wurzeln an. Dabei ist folgendes zu beachten. Wenn man die Curve durchsetzt, ändert sich die Zahl der reellen Wurzeln um zwei. Geht man von der concaven Seite nach der convexen Seite über, so hat eine Zunahme, geht man in entgegengesetzter Richtung, so hat eine Abnahme der reellen Wurzeln um zwei statt. Beim stetigen Durchgang eines Doppelpunktes bleibt die Zahl der reellen Wurzeln ungeändert beim Uebergang von concav-convexer Seite nach convex-concaver Seite und ändert sich die Zahl um vier beim anderen Uebergang.

Die drei Punkte der Fläche, wo die Rückkehrlinie einen Rückkehrpunkt hat, sind sehr merkwürdig. Es entstehen dort die Hörner von Fig. 2 und Fig. 5.

Bemerkungen.

1. Im ersten Modelle beziehen sich die verschiedenen gefärbten Drähte auf ein Osculationstetraeder, das bei der Bestimmung der Zahl der Wurzeln zwischen gegebenen Grenzen in Betracht kommt. Es kann ein solches Tetraeder bei jedem Modelle angebracht werden.

2. Im Falle einer Gleichung n ten Grades, von welcher man in ähnlicher Weise drei Coefficienten x, y, z sich ändern lässt, findet man eine entwickelbare Fläche, welche mit einer Ebene senkrecht zur x -Axe eine rationale Curve n ter Ordnung und n ter Classe mit $n - 2$ Rückkehrpunkten und $\frac{1}{2}(n - 2)(n - 3)$ Doppelpunkten gemein hat.

3. Bei einer vollständigen Gleichung nten Grades handelt es sich um die „Discriminantenmannigfaltigkeit“ und die mit ihr in nächster Beziehung stehende rationale Curve des Raumes von n-Dimensionen (man sehe die einleitende Abhandlung des Katalogs). Weil es mir um die Darstellung durch Modelle zu thun war, sind unvollständige Gleichungen betrachtet.

4. Es bildet das Centimeter die Längeneinheit. Jedoch ist zur Erhaltung einer geeigneten Grösse

im Modelle I: $x = x_1, y = 20y_1, z = 400z_1,$

„ „ II: $x = x_1, y = 12\frac{1}{2}y_1, z = 100z_1,$

„ „ III: $x = \frac{3}{2}x_1, y = 10y_1, z = 60z_1,$

gesetzt und sind x_1, y_1, z_1 bei der Construction verwendet. Ausserdem ist in den Modellen II und III die positive z-Axe nach unten gerichtet und sind die Bodenebenen respective $z_1 = 12$ und $z_1 = 7,5$. Im Modelle III hat man für u nach einander $0, \frac{1}{10}, \frac{2}{10} \dots \frac{25}{10}, \frac{51}{10}, \frac{26}{10} \dots \frac{61}{10}, \frac{32}{10}$ gesetzt.

(P. H. Schoute.)

46c. Modell zur Discussion der Gleichung 3. Grades von Karl Doehlemann

Privatdocent in München.

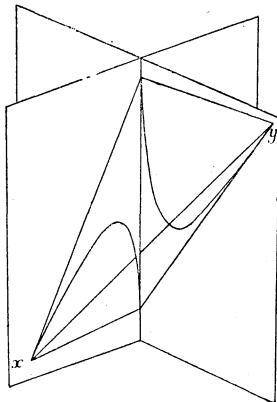
In dem Aufsatz: „Geometrisches zur Abzählung der reellen Wurzeln algebraischer Gleichungen (Hauptkatalog pag. 3 ff.) hat Herr Klein die Kriterien für die Abzählung der innerhalb gegebener Grenzen vorhandenen reellen Wurzeln algebraischer Gleichungen geometrisch interpretirt unter Zugrundelegung der quadratischen Gleichung. Für die Gleichung 3. Grades sind die Verhältnisse nur angedeutet. Für die hiebei nötigen Betrachtungen kann das folgende Modell von Vorteil sein. Ist die cubische Gleichung

$$z^3 + 3Az^2 + 3Bz + C = 0$$

so tritt als Discriminantenmannigfaltigkeit auf die zur Raumcurve

$$A = -\lambda, B = \lambda^2, C = -\lambda^3$$

gehörige abwickelbare Fläche 4. Ordg. Um die in dem Intervalle x bis y ($x < y$) befindlichen reellen Wurzeln zu finden, betrachtet man die Schmiegungebenen in den Punkten $\lambda = x$ und $\lambda = y$. Diese Schmiegungebenen werden von der abwickelbaren Fläche je nach Parabeln geschnitten,



welche die in jeder Schmiegungeebene gelegene Tangente berühren. Betrachtet man bloß den Teil der abwickelbaren Fläche, der zwischen den beiden Schmiegungebenen gelegen ist, so wird durch ihn und die beiden Schmiegungebenen der Raum in 5 Gebiete geteilt. In den Punkten eines solchen Gebietes gibt es 1, 2 oder 3 Schmiegungebenen an den betrachteten Flächenteil. In dem Teil, der von der abwickelbaren Fläche und den beiden Ebenen begrenzt wird, gibt es 3 reelle Schmiegungebenen. Diese Figur entspricht der „richtigen“ Figur 3 des citirten Aufsatzes.

An dem Modell ist ferner in schwarzen

Fäden das Tetraeder angebracht, welches die vier Ebenen

$$a_x^2 = 0, \quad a_x^2 a_y = 0, \quad a_x a_y^2 = 0, \quad a_y^3 = 0$$

bilden, wenn die gegebene Gleichung mit $a_z^3 = 0$ bezeichnet wird.

Bestimmt man die zwischen x und y gelegenen reellen Wurzeln mittels des *Jacobi'schen* Ansatzes (l. c. p. 14) so heisst dies, dass man statt der abwickelbaren Fläche des Tetraeder zur Begrenzung verwendet. Die Grösse der Ungenauigkeit wird also durch den Raum versinnlicht, der zwischen der Fläche und dem Tetraeder gelegen ist. Diese Figur entspricht der Figur 7 (l. c) in der Ebene.

(Doehlemann.)

48a. Graphische Darstellung einer Function die nicht nach der Mac Laurin'schen Reihe entwickelt werden kann, obschon die letztere convergirt, nach Angabe von Professor **Alfred Pringsheim** in München.

Setzt man

$$(1) \quad f(x) = \sum_0^\infty \frac{\lambda^\nu}{\nu!} \cdot \frac{1}{1 + a^\nu x^2}$$

wo λ eine beliebige reelle Grösse, a^2 positiv und > 1 , so erkennt man ohne weiteres, dass $f(x)$ nicht nach positiven Potenzen von x entwickelt werden kann, da in jeder noch so kleinen complexen Umgebung der Nullstelle unendlich viele singuläre Stellen $x = ia^{-\nu}$ liegen.

Nichts desto weniger besitzt $f(x)$ für $x = 0$, sofern man unter x jetzt durchweg eine reelle Veränderliche versteht, bestimmte endliche Differential-Quotienten jeder endlichen Ordnung.

Setzt man nämlich $f(x)$ in die Form:

$$f(x) = \frac{1}{2i} \sum_0^\infty \frac{\lambda^\nu}{\nu!} \left\{ \frac{1}{a^\nu x - i} - \frac{1}{a^\nu x + i} \right\}$$

so folgt durch gliedweise Differentiation (welche wirklich die Differential-Quotienten von $f(x)$ liefert, da die ursprüngliche und jede durch Differentiation daraus abgeleitete Reihe für alle reellen x gleichmässig convergent dass:

$$f^{(n)}(x) = \frac{n!}{2i} \sum_0^\infty \frac{\lambda^\nu \cdot a^{n\nu}}{\nu!} \cdot \frac{(a^\nu x + i)^{n+1} - (a^\nu x - i)^{n+1}}{(a^{2\nu} x^2 + 1)^{n+1}}$$

Mithin ergibt sich:

$$(2) \quad f^{(2m-1)}(0) = 0 \quad f^{(2m)}(0) = (-1)^m \cdot (2m)! e^{\lambda a^{2m}}$$

Setzt man jetzt:

$$(3) \quad \varphi(x) = \sum_0^\infty \frac{f^{(\nu)}(0)}{\nu!} x^\nu = \sum_0^\infty (-1)^\nu e^{\lambda \cdot a^{2\nu}} x^{2\nu}$$

so erkennt man aus der Beziehung:

$$\left. \begin{aligned} \lim_{n \rightarrow \infty} \sqrt[n]{e^{\lambda \cdot a^{2n}}} &= \lim_{n \rightarrow \infty} (e^\lambda)^{\frac{2n}{n}} \\ &= \infty \quad \text{falls } \lambda > 0 \\ &= 0 \quad \text{falls } \lambda < 0 \end{aligned} \right\}$$

*) Herr *Diem* hatte die Freundlichkeit, diese Construction nach meinen Angaben auszuführen.

dass die mit $\varphi(x)$ bezeichnete Reihe d. h. die mit den Erzeugenden $f(x)$ gebildete *Mac-Laurin'sche Entwicklung* für jedes noch so kleine x divergirt, falls λ positiv, dagegen für jedes noch so grosse x convergirt, falls λ negativ. Im ersteren Falle wird also $f(x)$ ein Beispiel einer Function darstellen, welcher trotz der Endlichkeit aller Differential-Quotienten jeder endlichen Ordnung, eine für jedes x divergente *Mac-Laurin'sche Entwicklung* zukommt; im zweiten Falle erzeugt dagegen $f(x)$ eine convergente *Mac-Laurin'sche Reihe*, deren Summe $\varphi(x)$ jedoch nicht mit $f(x)$ übereinstimmen kann, da, nach dem zu Anfang gesagten, für $f(x)$ die Entwickelbarkeit nach Potenzen von x von vornherein ausgeschlossen erscheint.

Um über die Grösse der Abweichung zwischen $f(x)$ und $\varphi(x)$ einen deutlichen Ueberblick zu gewinnen, habe ich die Curven mit den Gleichungen:

$$y = 2f(x) \qquad \eta = 2\varphi(x)$$

für das Intervall $0 \leq x \leq 1$ und für verschiedene Werte des Parameters a construiren lassen. Für den anderen verfügbaren Parameter λ wurde als besonders bequem für die Rechnung ein für allemal der Wert

$$\lambda = \lg \frac{1}{2} = -\lg 2$$

gewählt, so dass also

$$f(x) = \sum_{\nu=0}^{\infty} \frac{(-\lg 2)^{\nu}}{\nu!} \cdot \frac{1}{1 + a \frac{2^{\nu}}{x^2}}$$

$$\varphi(x) = \sum_{\nu=0}^{\infty} (-1)^{\nu} \cdot \left(\frac{1}{2}\right)^{\nu} \cdot x^{-2\nu}$$

In der beigegebenen Figuren-Tafel sind die f -Curven durch schwarze, die φ -Curven durch rote Linien dargestellt.

Es liegt auf der Hand, dass die Abweichung zwischen einer f -Curve und der entsprechenden d. h. zu dem nämlichen Werte von a gehörigen φ -Curve um so stärker hervortreten wird, je grösser a ist. Legt man a die beiden extremen Werte $a = 1$ und $a = \infty$ bei, so ergibt sich für $a = 1$:

$$2f(x) = \frac{1}{1+x^2} \quad 2\varphi(x) = \frac{1}{1+x^2} \quad (\text{letztere Gleichung unter der Voraussetzung } x^2 < 1)$$

d. h. für $a = 1$ fallen in dem betrachteten Intervalle die f - und die φ -Curve in eine gewisse Curve 3. Ordnung zusammen.

Dagegen wird für $a = \infty$

$$2f(x) = \frac{2}{1+x^2} \qquad 2\varphi(x) = 1$$

d. h. die f -Curve ist in diesem Falle diejenige Curve 3. Ordnung, deren Ordinate durch Verdoppelung der zu $a = 1$ gehörigen entstehen; während die φ -Curve in eine Parallele zur x -Axe im Abstände 1 übergeht.

Zwischen diesen Extremen verlaufen nun die f - und die φ -Curven für $1 < a < \infty$, wie dies in der Figur für $a = \sqrt{2}$, 2 , $2\sqrt{2}$, $a = \sqrt{1000}$ dargestellt ist. Für $a = \sqrt{2}$ ist die Abweichung zwischen der f - und der φ -Curve für $0 \leq x \leq 0,5$ bei dem gewählten Masstabe noch gar nicht, für $0,5 < x \leq 1$ immerhin sehr schwach merklich. Sie wird dagegen schon sehr deutlich für $a = 2$ und noch mehr für $a = 2\sqrt{2}$; im letzteren Falle verläuft die φ -Curve schon sehr nahe an der für $a = \infty$ resultirenden Ge-

raden, von der sie für noch einigermaßen grössere Werte von a — z. B. $a = 10$ — überhaupt nicht mehr unterschieden werden kann (NB. immer unter der Voraussetzung $x \leq 1$). Für $x = 0$ und jedes noch so grosse endliche a haben sämtliche f - und φ -Curven die Ordinate $y = \eta = 1$, und zwar findet dort zwischen je einer f -Curve und der zugehörigen φ -Curve eine Berührung von unendlich hoher Ordnung statt [da ja für jedes noch so grosse n : $f^{(n)}(0) = \varphi^{(n)}(0)$]. Nur für $a = \infty$ nimmt die Ordinate y der f -Curve plötzlich den Wert 2 an (während auch hier $\eta = 1$ bleibt): die f -Curven besitzen nämlich rechts von der Nullstelle ein Maximum, welches mit wachsendem a der Nullstelle immer näher rückt und für $a = \infty$ mit $x = 0$ zusammenfällt. (Pringsheim.)

50a. Zeichnungen zur Darstellung der „Additionslogarithmen für complexe Grössen“, nach von Prof. **Mehmke** berechneten numerischen Tafeln ausgeführt von seinem Assistenten **K. Exel. Mathem. Institut der techn. Hochschule Darmstadt.**

Bei den von Leonelli erdachten, von Gauss zuerst berechneten sog. Additionslogarithmen in der heute üblichen, von Wittstein herrührenden Form stehen Argument A und Function B in der Beziehung, dass für

$$A = \log r, \quad B = \log(1 + r),$$

oder anders ausgedrückt

$$10^B = 1 + 10^A$$

ist. Man kann Leonelli's Gedanken erweitern, indem man an Stelle der reellen Grösse r die complexe Grösse $r(\cos\varphi + i\sin\varphi)$ setzt, oder die beiden reellen Functionen B, \mathbf{B} der beiden reellen Veränderlichen durch die Gleichungen definiert:

$$10^B(\cos \mathbf{B} + i \sin \mathbf{B}) = 1 + 10^A(\cos \mathbf{A} + i \sin \mathbf{A}).$$

Für $\mathbf{A} = 0$ ergeben sich die gewöhnlichen Additionslogarithmen wieder; im Falle $\mathbf{A} = \pi$ stehen die Grössen B in enger Beziehung zu den von J. Zech berechneten „Subtractionslogarithmen“. Diese „Additionslogarithmen für complexe Grössen“ gewähren beim Rechnen mit complexen Grössen dieselben Erleichterungen, wie die gewöhnlichen Additionslogarithmen beim Rechnen mit reellen Grössen. Sie gestatten ferner, die Methode von Gauss zur numerischen Auflösung reeller trinomischer Gleichungen auf beliebige Gleichungen mit complexen Coefficienten auszudehnen. Betrachtet man A und \mathbf{A} als Abscisse und Ordinate, und das einmal B , das anderemal \mathbf{B} als Höhe eines Raumpunktes, so erhält man zwei Flächen, welche in den ausgestellten Zeichnungen durch die Projectionen einer Anzahl von zu den Coordinatenebenen parallelen Schnitten auf die Coordinatenebenen zur Anschauung gebracht sind. Diese Flächen spielen auch bei der unter Nr. 40 f. S. 16 erwähnten Methode, numerische Gleichungen mit complexen Coefficienten graphisch aufzulösen, eine wichtige Rolle. Mit Rücksicht auf diese Anwendungen sind die Axenmasstäbe verschieden gewählt worden, und zwar ist bei A und B 1 = 80 mm, bei \mathbf{A} und \mathbf{B} 1 Centigrad = 0,8 mm gesetzt.

(Mehmke.)

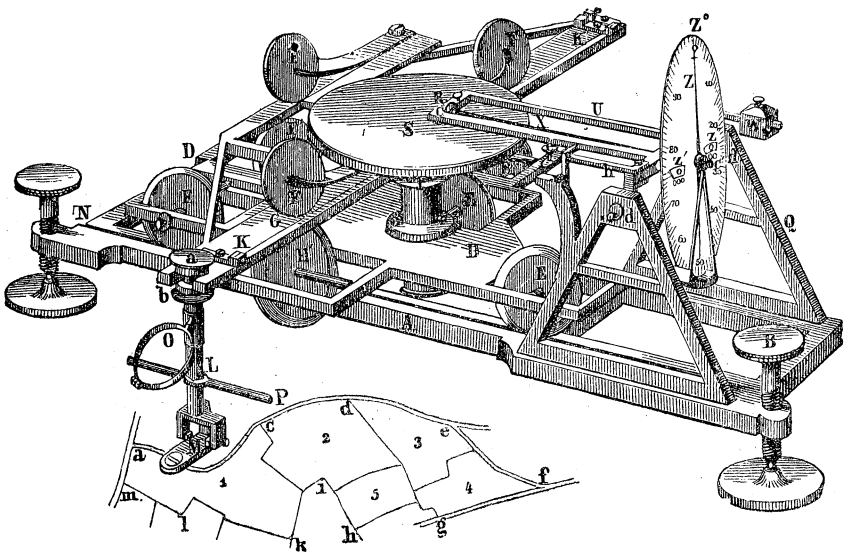
*Dritter Abschnitt. Integralrechnung.***F. Planimeter.**

57a. Masstäbe und Flächenmasstafeln von Techniker **Bruno Urban** in Ettlingen (bei Karlsruhe in Baden.)

Transversalmasstäbe aus Hartglas (Preis à 2 Mark). Geteilte Glastafeln zur Flächenberechnung (Preis à 10 Mark). Geteilte Celluloidtafel (Preis 10 Mark). Beigegeben sind Füllziehfedern (Preis à 3.50 Mark) und ein „Parallelzirkel“ (D. R. P.) (Preis 15 Mark).

58. Planimeter von Wetli-Hansen. Aus dem **Geodätischen Institut der techn. Hochschule München.**

Wir geben nachstehend noch zur Ergänzung der auf pag. 184 des Hauptkataloges enthaltenen Charakteristik des Instruments die dem Handbuch für Vermessungskunde von *C. M. v. Bauernfeind* entnommene Abbildung desselben.

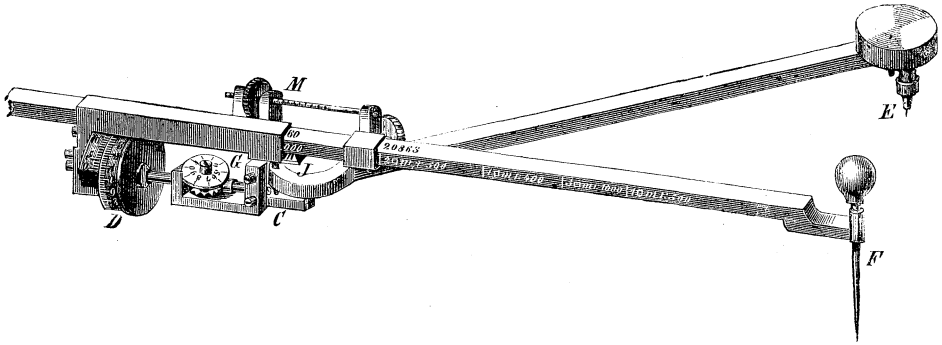


58a. Scheibenplanimeter von **Ott und Coradi** (Kempten). Aus dem **Geodätischen Institut der techn. Hochschule München.**

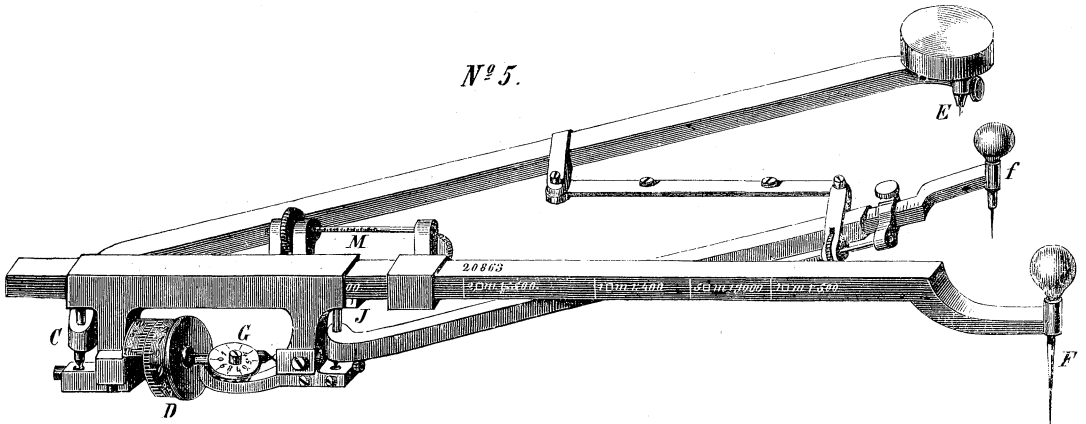
Seiner Grundlage nach stimmt das Instrument im Wesentlichen mit dem vorstehenden überein und ist wie dieses als Linear-Scheiben-Planimeter zu bezeichnen.

62 a, b; 63 a. Polar planimeter, ausgestellt von **Amsler-Laffon & Sohn**, Schaffhausen.

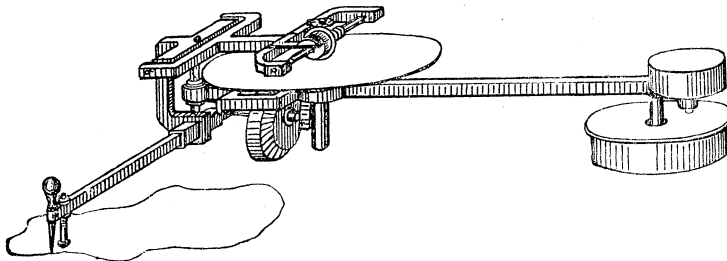
62a. Planimeter Nr. 4. (Amsler's Katalog; ausgeführt seit 1855) gibt den Flächeninhalt in mehreren Masseinheiten oder Massverhältnissen.



62b. Planimeter Nr. 5. (Amsler's Katalog; ausgeführt seit 1859) dient zur Messung sehr grosser oder sehr kleiner Figuren. Zur Messung grosser Figuren bedient man sich des Fahrstifts F zum Umfahren und lässt den Fahrstift f unberücksichtigt. Um sehr kleine Figuren zu messen, stellt man den Arm a passend ein, und verfolgt den Umfang der zu messenden Figur mit dem Fahrstift f ohne ihn selber mit der Hand zu fassen, indem man den grossen Fahrstift F führt. Dieses ist mit grosser Leichtigkeit und Sicherheit zu bewerkstelligen, da f und F nahezu geometrisch ähnliche Figuren beschreiben. In diesem Falle kommt die Einstellung der Stange, welche den Fahrstift F trägt nicht in Betracht, sondern nur diejenige der Stange a.



63a. Planimeter Nr. 8. (Amsler's Katalog; seit 1882 ausgeführt) beruht auf demselben Princip wie Planimeter Nr. 9, nur ist die Geradföhrung jenes Instruments hier durch Kreisföhrung um einen „Pol“ ersetzt.



77a. Sechs Wandtafeln mit Darstellungen der verschiedenen Planimeter-constructionen. Ausgeführt im **Geodätischen Institut der techn. Hochschule München.**

1. Planimeter von Ernst. Das Integrationsrad rollt auf einem Conus. Der Integrationswagen auf zwei parallelen Schienen. Das Planimeter ist daher als Linear-Kegelplanimeter zu bezeichnen.
2. Linear-Scheibenplanimeter von Wetli-Hansen.
3. Linear-Scheibenplanimeter von Ott und Coradi.
4. Scheiben-Polarplanimeter von Hohmann.
5. Polarplanimeter von Amsler.
6. Scheibenplanimeter von Coradi.

G. Weitere Instrumente zur mechanischen Integration.

78. Zwei Integraphen, System Abdank-Abakanowicz. Construction Coradi.

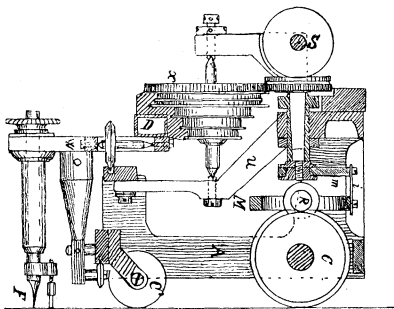
Beide Integraphen ausgestellt von **Coradi, Zürich.**

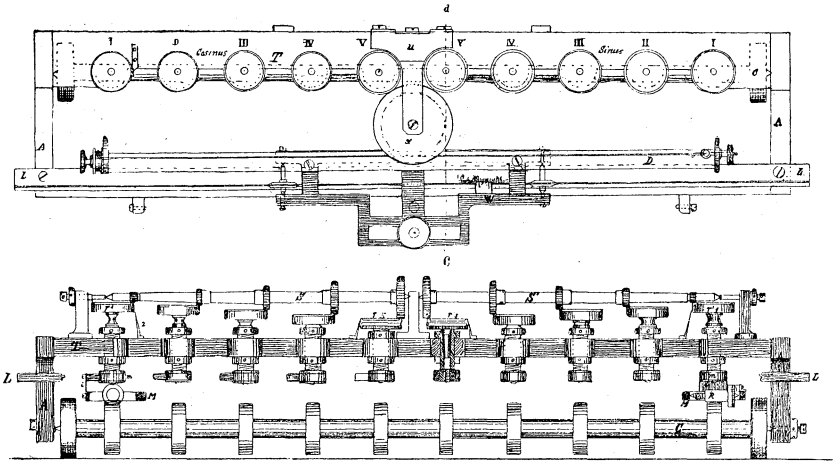
80a, b. Integratoren von Amsler-Laffon & Sohn, Schaffhausen.

80a. Integrator Nr. 3. (Amsler's Katalog) dient zur Ermittlung des Flächeninhalts einer Figur, sowie des statischen Moments in Bezug auf irgend eine Momentenaxe. Das Instrument beruht auf demselben Princip wie Integrator Nr. 1, ist aber nicht zur Bestimmung des Trägheitsmoments eingerichtet und hat daher nur zwei Zahnräder und zwei Messrollen.

80b. Integrator Nr. 5. Dieses Instrument dient wie Integrator Nr. 1 zum Messen von Flächeninhalt, statischem Moment und Trägheitsmoment einer Figur, unterscheidet sich aber von jenem durch die bedeutend grösseren Dimensionen und hauptsächlich dadurch, dass die Messrollen durch Cylindrer ersetzt sind, die ganz ohne Gleitung auf rotirenden Kugelcalotten laufen. Das Instrument wurde im Auftrag des U. S. Navy Department in Washington gebaut.

90a. Harmonischer Analysator nach Angaben von Prof. **Henrici** und Prof. **A. Sharp**, City and Guilds of London Institute, construirt und ausgeführt von **G. Coradi** in Zürich.





Dies Instrument beruht auf den Principien, welche p. 131 des Hauptkataloges unter der Ueberschrift „Anderes Instrument“ auseinander gesetzt sind. Die Ausführung schliesst sich jedoch den von Mr. A. Sharp ersonnenen Modificationen an, welche auf Seite 134 beschrieben sind. Das ausgestellte Instrument ist von Herrn G. Coradi in Zürich hergestellt, welcher bedeutende Aenderungen in der Anordnung der verschiedenen Teile eingeführt und das ganze Instrument im Detail entworfen hat.

Bei der Beschreibung können wir uns kurz fassen mit Bezug auf die obigen Citate. Was auf Seite 131 als Wagen bezeichnet ist, soll hier Rahmen heissen. Statt der dort beschriebenen Zahnstange hat Coradi einen Wagen eingeführt, der auf einer Schiene vorne am Instrument sich in Richtung der x -Axe bewegt. Dieser trägt den Fahrstift F und oben eine Stange mit einem Silberdrahte SS . Dieser schlingt sich um eine Scheibe, die in der Mitte des Instruments sich um eine verticale Axe drehen kann. Dieselbe Axe trägt am oberen Ende ein Zahnrad Z , welches die Achsen der Registrirrollen so dreht, dass jede mit der y -Axe einen Winkel αx macht.

Der hintere Teil des Rahmens ist etwas erhöht und trägt an jeder Seite von Z fünf verticale Axen, die mit $1, 1^1; 2, 2^1$ etc. numerirt sind. Jede derselben hat aber ein Kronrad. In diese greifen Zahnräder ein, die auf zwei horizontalen Axen AB und BC befestigt sind. 5 und 5^1 haben ferner je ein Zahnrad. Diese werden beide durch das Zahnrad Z getrieben. Durch Verschieben des Fahrstiftes F in Richtung der x — werden also alle 10 Axen gedreht und zwar, wenn der Fahrstift die ganze Basis der Curve DE ($= 40$ cm) durchlaufen hat, haben die Axen $1, 1^1$ eine volle Umdrehung gemacht, die Axen $2, 2^1$ zwei u. s. w.

Am unteren Ende einer jeden der 10 Axen ist mittelst eines verticalen Stahlblechs ein horizontaler Ring befestigt, welcher die horizontale Axe einer Registrirrolle mit dem gewöhnlichen Zählwerk zum Ablesen trägt. Auf ihrer Mitte hat dieselbe einen ringförmigen Wulst als eigentliche Registrirrolle,

Dieser ruht und rollt auf dem Umfange einer Celluloid-Scheibe. Diese letzteren drehen sich alle mit der Hauptaxe des Rahmens, welcher auch die Räder R R trägt, auf denen das Instrument ruht. S ist eine Laufrolle als dritter Stützpunkt.

Wird der Fahrstift ganz nach links gebracht, so dass er bei D anschlägt, so stehen die Axen der Rollen 1—5 parallel der y-Axe, die anderen 1¹—5¹ aber senkrecht dazu. Es folgt, dass die Rollen 1—5 die Integrale von $dy \sin nx$, die Rollen 1¹—5¹ die von $dy \cos nx$ geben, für $n = 1, 2$, bis 5.

Auf der mittleren verticalen Axe sind drei weitere Scheiben angebracht, um die der Silberdraht geschlungen werden kann. Mit deren Hülfe können fünf weitere Glieder der Fourier'schen Reihe gefunden werden.

Durch viermaliges Umfahren der Curve können also 10 Glieder der Reihentwicklung ermittelt werden. Das absolute Glied muss jedoch durch einen gewöhnlichen Planimeter bestimmt werden.

Beim Gebrauch ist es zweckmässig, den Fahrstift von E auf die Anfangslage D zurückzubringen, um Fehler in der genauen Centrirung der Registrierrollen zu eliminiren.

In Bezug auf die Genauigkeit des Instruments sei bemerkt, dass die erhaltenen Fehler in den Amplituden der verschiedenen Glieder durch die Dicke der zu analysirenden Curven gedeckt werden.

Es mag von Interesse sein zu bemerken, dass Mr. A. Sharp auf meine Anregung einen neuen Analysator erfunden, welcher statt der Coefficienten A_n, B_n in der Fourier'schen Reihe sofort die Amplituden a_n und Phase α_n (vergl. Seite 136) direct bestimmt, sowie einen Harmonographen, der die aus den ermittelten Gliedern resultirende Curve zeichnet. (Vergl. die beiden folgenden Nummern).

(O. Henrici.)

90 b. Zeichnungen zu zwei harmonischen Analysatoren von **A. Sharp**, London.

Die Darstellungen beziehen sich auf zwei Instrumente zur harmonischen Analyse, die ihrem Princip nach in dem Aufsätze von *Henrici* (Hauptkatalog) characterisirt sind.

90 c. Graphische Darstellung eines Harmonographen von **A. Sharp**, London.

Der Apparat dient zum Zeichnen einfacher und zusammengesetzter harmonischer Curven.

92 a. Integration bei Ampère-Zählern von Assistent **J. Schütz** und Assistent **K. Fischer**, München.

Die zur Messung des Verbrauchs elektrischer Energie dienenden Instrumente haben folgende Integration zu leisten: $\int i v dt$, wo dt ein Zeitelement, i die augenblickliche Stromintensität und v die Klemmenspannung bedeutet, durch die der elektrische Strom zu und von seiner Arbeitsstätte getrieben wird. Da letztere Grösse in den in praxi hier in Betracht kommenden Fällen in der Regel einen nahezu unveränderlichen Wert hat, so bleibt nur noch die Integration $\int i dt$, welche ein „Elektricitätszähler“ aus-

zuwerten hat. An den zahlreichen hieher gehörigen Apparaten — (zumeist durch die Pariser Preisconcurrenten veranlasst) — lassen sich im Wesentlichen folgende vier Grundtypen unterscheiden:

Bei dem ersten, in mannigfachen Variationen vertretenen Typus ist die Integration durch eine Summierung endlicher Elemente umgangen: sei es, dass der Zeiger eines aperiodischen Ampèremeters in regelmässigen Zeitintervallen zum Ausschlag gebracht, und diese Bewegung auf ein Zählwerk übertragen wird, oder sei es, dass ein auf ein Zählwerk wirkender Fühlhebel von Zeit zu Zeit den Stand eines Ampèremessers befühl und registriert. (E. Hartmann, Siemens u. A.)

Der 2. Typus ist dadurch charakterisirt, dass die Bewegung eines Pendels, eines Elektromotors o. dgl. durch Beeinflussung des elektrischen Stromes beschleunigt, bzw. gebremst und mit der Bewegung eines gleichartigen, unbeeinflussten Apparates verglichen wird. Ein hervorragendes Beispiel dafür ist der Aron'sche Elektrizitätszähler. Die Auswertung erfolgt durch ein Differentialzählwerk mit zwei von einander unabhängigen Axen, deren eine hohle die Zifferblätter dreht, die andere die Zeiger in entgegengesetzter Richtung.

Beim 3. Typus werden die durch das Integral $\int i dt$ definirten Coulomb's durch ihre elektrolytischen Wirkungen gemessen (E. Grassot, D. R. P. Nr. 60.276).

Der 4. Typus endlich verwendet Integratoren nach dem Thomson'schen Princip (Stiehl, Cauderay u. A.). Der im folgenden skizzirte Apparat will lediglich als ein Beispiel der Anwendung des Thomson'schen Integrationsprincipes auf solche Integrationen, in denen die Zeit als Integralargument auftritt, gelten.

Mit dem Eisenkern eines Kohlrausch'schen Ampèremeters ist ein Frictionsstab in fester Verbindung, der, wenn er sich verschiebt, einen Kegel dreht, dessen Axe einen senkrechten Querarm trägt. Dieser Querarm bildet die Axe einer als Grundrädchen eines leichtgebauten Zählwerkes fungirenden Frictionsscheibe; diese wird durch eine zweite von einem Uhrwerk gleichmässig getriebene Scheibe in Drehung versetzt. Der oben erwähnte Frictionsstab besitzt eine ebene Krümmung, deren Curve so definit ist: Teilt man den Stab derart ein, dass die Projection dieser Teilung auf die Axe des Ampèremeters ein congruentes Abbild der Scala desselben gibt, so muss die Projection derselben Teilung auf die Axe des Frictionskegels eine Scala liefern, deren Teile mit den entsprechenden Teilen der Ampèremeterscala constante Producte liefern.

(Schütz.)

II. Abteilung.

Geometrie.

H. Zeichenapparate.

95a. Zirkel für den goldenen Schnitt von **Dr. Goeringer**, ausgestellt von **A. Brugger**.

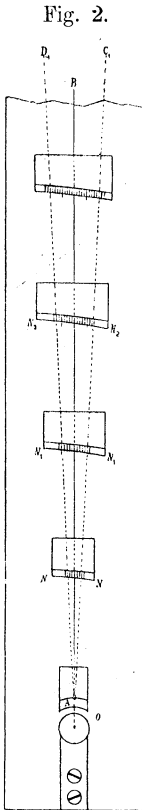
95b. Kreisteiler (D. R. P.) von **E. Goldschmitt** in Bayreuth.

Ein Kreissector aus starkem Carton ist in gleiche Teile (von 0 bis 100) eingeteilt. Er kann durch Aufbiegen und Einhängen eines kleinen Häkchens in die dafür bestimmten Einschnitte in einen Kegel verwandelt werden, dessen Grundkreis dann in eine bestimmte Anzahl gleicher Teile geteilt ist, welche durch verschiedenes Einhängen des Häkchens variiert werden kann. Die Einstellung des Kegels wird noch durch eine Holzschraube in passender Weise fixirt. Kreiseinteilungen lassen sich so mit einer für die mannigfachsten Zwecke ausreichenden Genauigkeit herstellen.

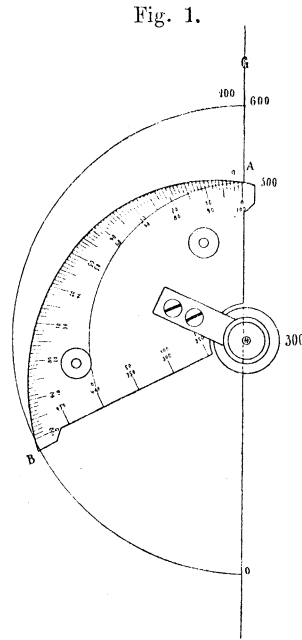
95c. Polar- und Einteilungs-Masstäbe, construirt von Bezirksgeometer **Röther** in Weiden, ausgeführt und ausgestellt vom math.-mechanischen Institut von **A. Ott** in Kempten (Bayern.)

Diese Masstäbe beruhen auf der Eigenschaft der logarithmischen Spirale, die darin besteht, dass zu gleichen Bögen gleiche Differenzen der Radien nach den Endpunkten gehören. Bei dem Polarmasstab, Figur 1, ist die Curve aus einer Metallplatte hergestellt und der Curvenrand in Millimeter geteilt, wobei die Constante der logarithmischen Spirale so gewählt wurde, dass die Radiendifferenz von einem Teilstrich bis zum nächsten 0,2 mm beträgt. Mit Hilfe dieser Teilung können dadurch, dass man das Instrument mit dem Pol auf eine Gerade legt und um denselben dreht, auf dieser Geraden beliebige Längen bis auf 1/10 mm genau abgetragen

oder abgemessen werden. Der Einteilungsmasstab, Figur 2, dient dazu, bei Kartirungen die Messungslinien in Unterabteilungen zu teilen und die zwischen



den construirten und gemessenen Längen sich ergebenden Unterschiede auszugleichen. Er besteht aus einem Lineal aus Metall, das um einen Pol drehbar und in Abständen von 50 zu 50 Millimeter von Öffnungen durchbrochen ist, deren innere Grenzen nach logarithmischen Spiralen gekrümmt und mit Theilungen versehen sind, die wiederum ein Ablesen von $\frac{1}{10}$ mm gestatten. Auf der Mittellinie des Lineals sind die Zwischenräume zwischen den



Öffnungen genau gleich 50 mm, auf jeder andern durch den Pol gehenden Geraden sind sie zwar unter sich gleich, aber um einen bestimmten kleinen Betrag grösser oder kleiner als 50 mm.

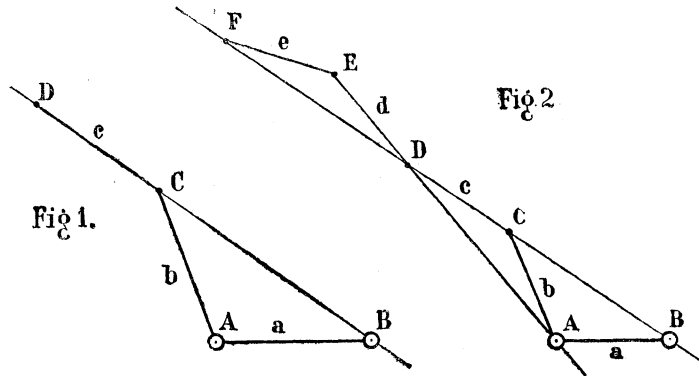
(Prospect A. Ott, Mehmke.)

96a Drei Zirkel zur Winkelteilung, von E. Eckhardt in Friedrichsdorf i/T.

1. Dreiteilungszirkel D. R. P. (Fig. 1). Der Dreiteilungszirkel besteht aus 3 gleich langen, drehbar an einander befestigten Armen a, b, c. Von diesen ist der Arm c gezwungen, stets durch B zu gehen.

Gebrauch: Um \sphericalangle ABC in 3 gleiche Teile zu teilen ziehe man eine Parallele durch A, dann setze man den Zirkel mit den Spitzen in A und B ein und beschreibe mit D eine Curve (Pascal'sche Schnecke), welche die Parallele in E schneidet. BE ist dann Drittelungslinie des \sphericalangle ABD.

Vermittelst des Zirkels kann man sofort auch den Winkel von 36° construiren, indem man über AB zwei symmetrische Curven zieht, welche sich in F schneiden. \sphericalangle AFB ist dann 36° . Ferner kann der Zirkel in seiner verallgemeinerten Gestalt (bei welcher Arm c in seiner Länge variiert werden kann,) zur graphischen Auflösung von reducirten Gleichungen 3. resp. 4. Grades verwendet werden. Es sind dabei die Armlängen gewisse Functionen der Coëfficienten der vorgelegten Gleichung.

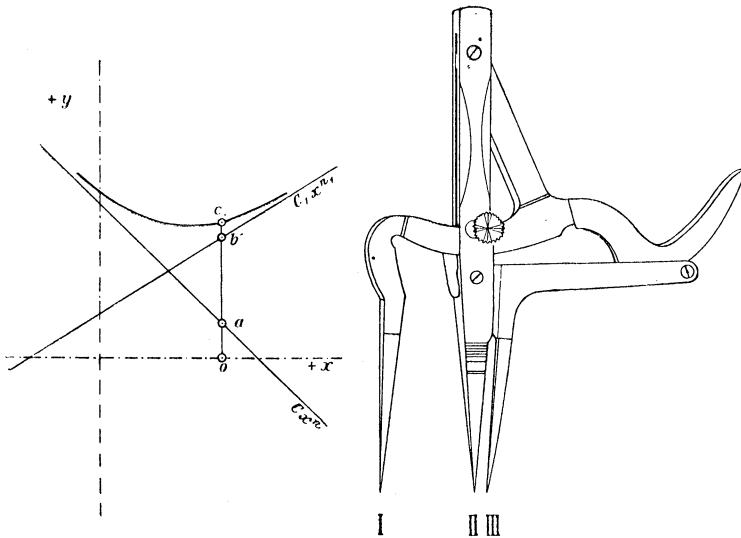


2. Fünfteilungszirkel (Fig. 2). Der Fünfteilungszirkel besteht aus fünf gleich langen, drehbar an einander befestigten Armen a, b, c, d, e. Arm c geht immer durch B, Arm d immer durch A. In A und B sind Spitzen angebracht, in F ein Bleistift, der die Curve beschreibt. Um einen Winkel in 5 Teile zu teilen, verfähre man analog wie oben beim Dreiteilungszirkel. (Eckhardt.)

97a Logarithmischer Zirkel, auf Anregung des Ausstellers konstruiert von Professor **E. A. Brauer**, techn. Hochschule Karlsruhe, ausgestellt von Prof. **Mehmke** techn. Hochschule Darmstadt.

Dieser mit 3 Spitzen I, II und III versehene Zirkel ist so eingerichtet, dass, wenn zwischen die Spitzen I und II eine Strecke gefasst wird, deren Länge — mit einem Massstabe von 50 mm Längeneinheit gemessen — gleich $\log t$ ist, der Numerus t auf dem Teilbogen abgelesen werden kann, während die Spitzen II und III sich von selbst auf die Entfernung $\log \left(1 + \frac{1}{t}\right)$ einstellen. Man kann mit Hilfe dieses Zirkels hauptsächlich die Aufgabe lösen: Wenn die Logarithmen zweier (ihrem Zahlenwerte nach nicht bekannten) Grössen als Strecken gegeben sind, die zum Logarithmus der Summe jener Grössen gehörige Strecke zu finden. Sind jene Logarithmen (im obigen Massstabe und unter Beachtung ihrer Vorzeichen) auf einer geraden Linie von einem und demselben Punkt o aus abgetragen (s. die Figur) und bezeichnet a den Endpunkt der zur kleineren Zahl gehörigen Strecke $oa = \log \alpha$, b den Endpunkt der anderen Strecke $ob = \log \beta$, so setze man die Spitze I des Zirkels auf a , die Spitze II auf b und steche unter leichtem Vorwärtsneigen des Zirkels mit der dritten Spitze in's Papier, so hat man den Endpunkt c der Strecke $oc = \log (\alpha + \beta)$. (Auf dem umgekehrten Wege kann $\log (\gamma - \alpha)$ oder $\log (\gamma - \beta)$ gefunden werden, wenn $\log \gamma$ und $\log \alpha$ oder $\log \beta$ gegeben sind).

Der logarithmische Zirkel erlaubt die mechanische Ausführung aller gewöhnlichen Rechnungen, besonders vorthellhaft erweist er sich aber bei der



numerischen Auswertung ganzer Functionen und der Auflösung numerischer Gleichungen nach der logarithmisch-graphischen Methode*).

Besteht die Function $y = f(x)$ nur aus einem Gliede

$$y = C x^n,$$

so ist

$$\log y = \log C + n \cdot \log x$$

Betrachtet man daher $\log x$, $\log y$ als Cartesische Coordinaten eines Punktes, so erhält man als „logarithmisches Bild“ jener Function die gerade Linie, die auf der y -Axe das Stück $\log C$ abschneidet (— welches ohne Logarithmentafel mit Hilfe unseres Zirkels gefunden wird —) und deren Neigungswinkel gegen die x -Axe zur trigonometrischen Tangente den Wert n hat. Ist $f(x)$ zweigliedrig, etwa

$$y = C x^n + C_1 x^{n_1},$$

so zeichnet man die geraden Linien, welche nach dem eben Bemerkten zu den einzelnen Gliedern gehören. Schneidet dann eine beliebige Parallele zur y -Axe diese Geraden in den Punkten a und b und bestimmt man aus diesen Punkten in der oben gezeigten Weise mit Hilfe des logarithmischen Zirkels den Punkt c , so ist dies ein Punkt des „logarithmischen Bildes“ jener Function. Aehnlich verfährt man, wenn $y = f(x)$ mehr als zwei Glieder hat und wenn unter den Gliedern negative vorkommen. (S. die angeführte Abhandlung).

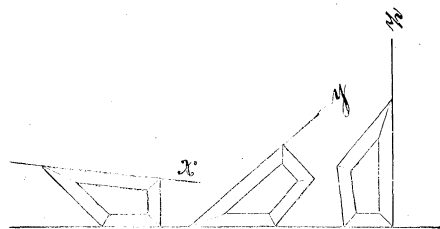
(Mehmke.)

99a. Präcisionsmasstab von Prof. **A. Roucole** in Toulouse; Verlagsbuchhandlung **Ch. Delagrave**, Paris.

Universalmasstab für Perspectivconstructions.

*) s. Mehmke, Neue Methode, beliebige numerische Gleichungen mit einer Unbekannten graphisch aufzulösen. Civilingenieur Bd. XXXV, S 617, 1889.

99b. Winkel für Axonometric nach Angabe von Professor **Mehmke**, **techn. Hochschule Darmstadt**. **Albert Martz**, Fabrik von Zeichen- und Malutensilien, Stuttgart.



das Ziehen beliebiger Parallelen zu den Projektionen der Coordinatenachsen ermöglicht.

Der Gebrauch erhellt aus obiger Abbildung.

(Mehmke.)

Diese Winkel erleichtern die Herstellung parallelperspectivischer Zeichnungen nach der Methode der orthogonalen Axonometrie, indem jeder von ihnen für eine bestimmte Projectionsart — es sind die gebräuchlichsten, wie $1:\frac{1}{2}:1$, $1:\frac{1}{3}:1$, $\frac{2}{4}:\frac{2}{4}:1$, $\frac{3}{6}:\frac{3}{6}:1$ vortreten —

99c. Perspektivlineal. Von **W. F. Stanley**. Math. mech. Institut, London.

102a. Zeichnungen zum Kegelschnittzirkel von Oberlehrer **Hildebrandt** in Braunschweig.

Dem Instrumente ist eine Anzahl von Zeichnungen beigelegt, welche sämtlich mit Hilfe des Zirkels entworfen sind und die Leistungsfähigkeit desselben veranschaulichen sollen. Es sind auf ihnen einzelne Kegelschnitte, sowie Scharen und Büschel dargestellt. Verschiedene Curven wurden auf ihre Genauigkeit geprüft; die Abweichungen betragen nur Bruchteile von Millimetern.

Ferner ist dem Zirkel ein Maassstab beigegeben, der mit Vortheil dann gebraucht wird, wenn es sich darum handelt, Curven von vorgeschriebener Gestalt und Grösse zu entwerfen. Die Anwendung desselben ist im beigegebenen „Nachtrage zur Gebrauchsanweisung“ beschrieben.

Weitere Blätter enthalten eine einfache graphische Lösung einiger Fälle des Apollonischen Berührungs-Problemes.

(Vergl. noch die Aufsätze von Prof. *E. Fischer*. Dingler, Bd. 282 und 287).

(Hildebrandt).

103a. Elliptographen nach Angabe von Prof. **Th. Alexander**, Trinity College Dublin und **A. Thomson**, Science College Poona.

Die wesentlichste Vervollkommnung dieser Elliptographen besteht in der Einführung einer Führungsstange, welche die Reissfeder genau in der Richtung der zu zeichnenden Curve führt. Fig. 1 zeigt die Vorrichtung für die gewöhnlichen Elliptographen. Der Kopf der Nadel Q befindet sich hierbei stets genau auf der instantanen Axe des (virtuellen) rollenden Kreises und ebenso die Nadel QC stets normal zur beschriebenen Curve. In C können eine gewöhnliche Reissfeder oder auch Punktirradchen angebracht werden.

Fig. 1.

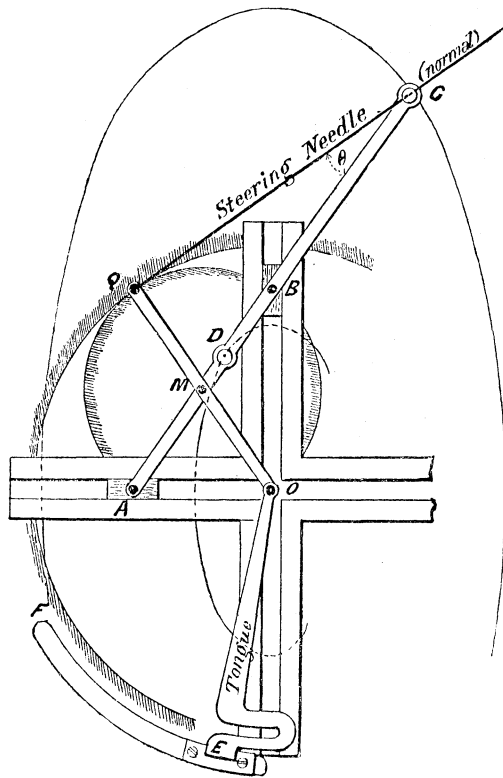
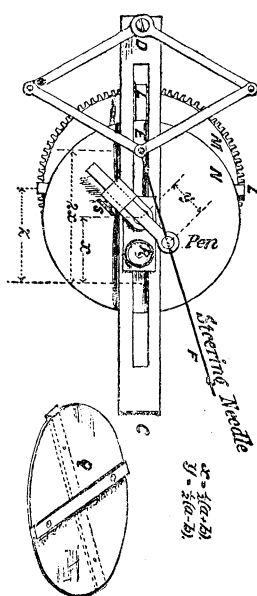


Fig. 2.



$$\alpha = \frac{1}{2}(\theta - \beta)$$

$$\beta = \frac{1}{2}(\theta + \alpha)$$

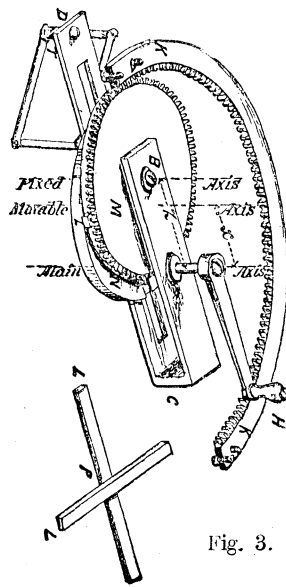


Fig. 3.

Das ausgestellte Modell ist in Fig. 5 abgebildet. Der ringförmige Rahmen RFRF ruht auf vier Füßen mit Stellschrauben. Concentrisch zum Rahmen bewegt sich ein Ring in vier Zahnrädern (je einer an jedem Fuss).

Auf diesem Ring ist eine Brücke CD befestigt, welche zwei Räder M und N trägt. Fig. 3 zeigt diese Räder allein, durch die Oldham-Kuppelung verbunden, nämlich durch ein Kreuz LPL (oder Q) mit einem Arm, der in zwei Nuten je der beiden Räder gleitet.

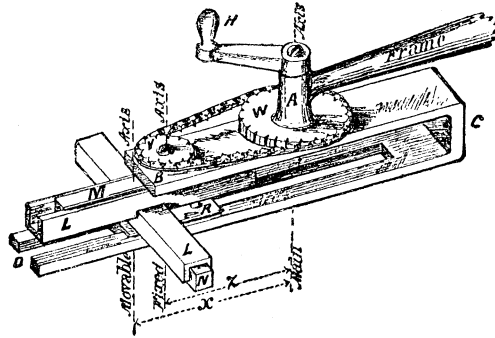


Fig. 4.

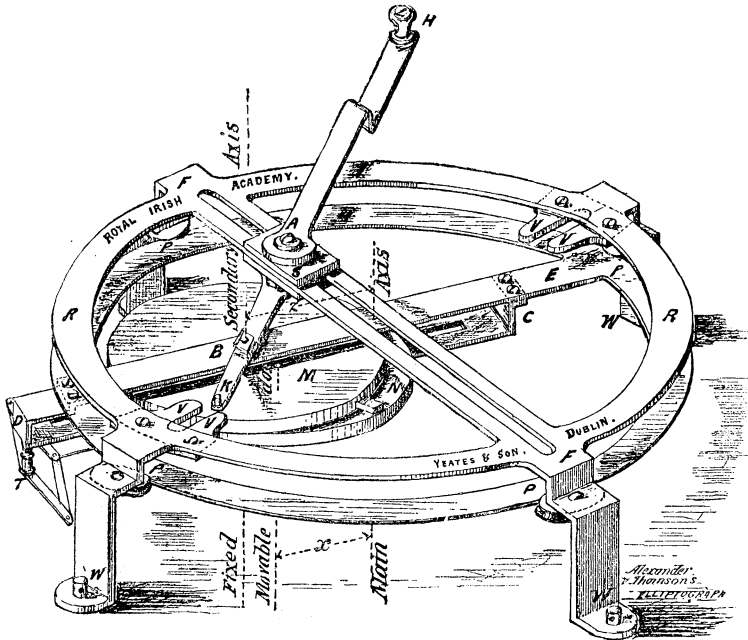


Fig. 5.

Das eine, obere Rad M wird im Innern eines Kreises von doppeltem Radius geführt, und zwar entweder durch eine Zahnradübertragung (Fig. 3)

oder eine Kette ohne Ende (Fig. 4) oder endlich die gewöhnliche Vorrichtung (Fig. 5), wie bei dem ausgestellten Modell. Der Stab AABK bewegt

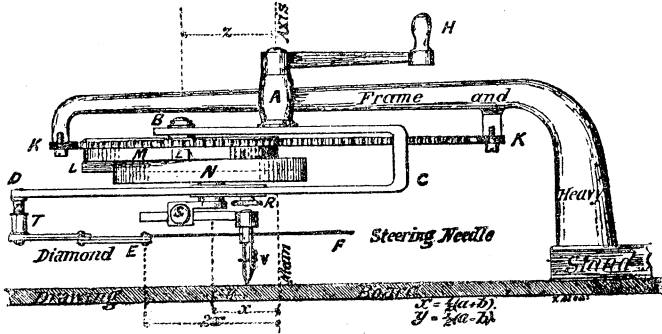


Fig. 5.

sich hier so, dass Punkt A in einer Nute gleitet, B auf einem Kreise geführt wird. K bewegt sich auf einer Geraden hin und her, wobei die Führungsstellen VV bewirken, dass der Mechanismus bei seiner Bewegung die toten Punkte richtig passiert. Würde der Zeichenstift auf dem Rade M fest sein, so hätten alle Ellipsen denselben Rollkreis. Desshalb ist der Zeichenstift auf dem Rade N angebracht, so dass der „virtuelle“ rollende Kreis beliebig vom Radius 0 bis zur vollen Grösse, die durch die Dimensionen des Instruments bedingt ist, abgeändert werden kann. Die Art, wie die Führungsstange angebracht ist, ist in Fig. 3 ersichtlich. Die Entfernung des Knopfes E von der Hauptaxe beträgt das doppelte der Entfernung vom Mittelpunkt des Rades n. Der Radius des (virtuellen) rollenden Kreises ist $x = \frac{1}{2}(a + b)$, während die Entfernung $y = \frac{1}{2}(a - b)$ ist. So lassen sich die Axen a und b beliebig variiren.

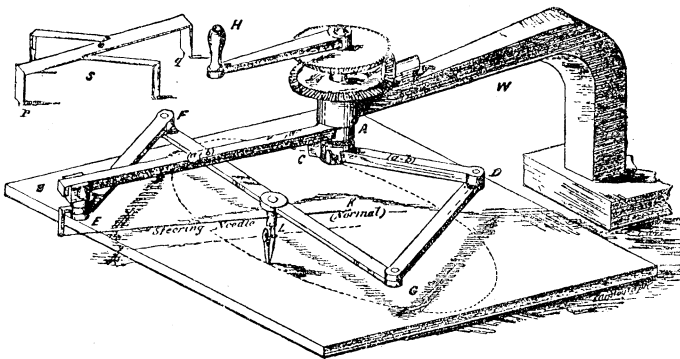


Fig. 6.

Die Figuren 6 und 7 geben andere Formen von Elliptographen. Dadurch, dass man die Peaucellier-Führung mit dem Mechanismus Fig. 6

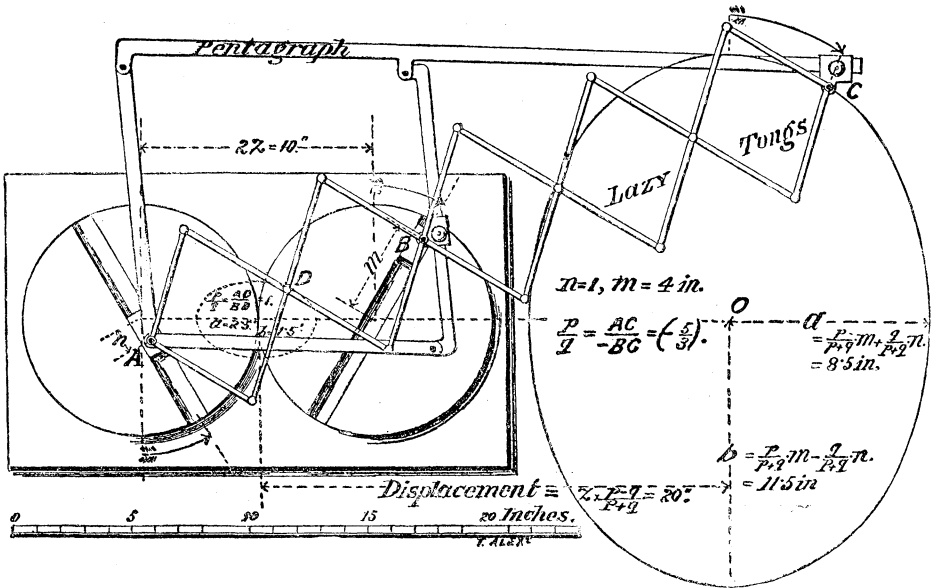


Fig. 7.

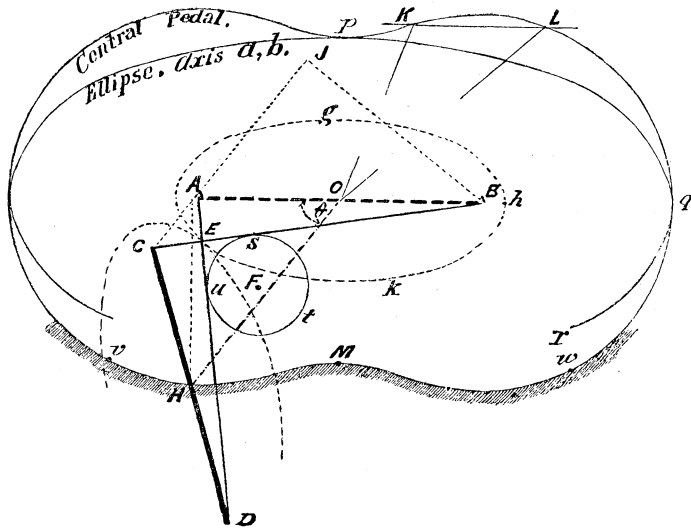


Fig. 8.

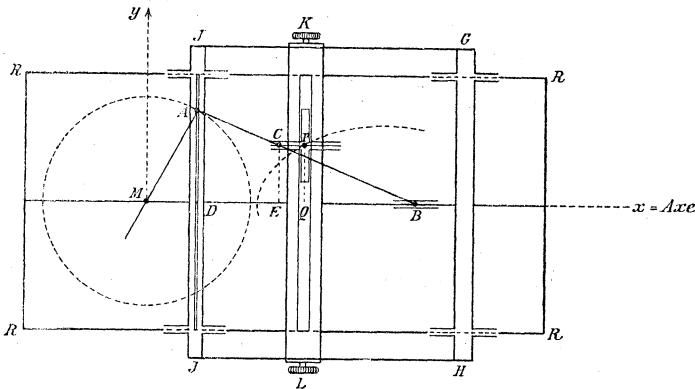
verbindet, erhält man einen Apparat zur Erzeugung einer rationalen Curve vierter Ordnung (die durch Transformation durch reciproke Radien aus einem Kegelschnitt hergeleitet werden kann). In Fig. 7 beschreibt der Punkt C eine Ellipse, wenn die Räder A und B sich mit gleicher Geschwin-

digkeit in entgegengesetzter Richtung drehen. Wenn man aber die Uebertragung so bewerkstelligt, dass das eine Rad sich wenig schneller dreht, so dreht sich auch so zu sagen die Axe jener erst erzeugten Ellipse, wie bei den Lissajous-Curven. Drehen sich die Axen A und B mit gleicher Geschwindigkeit in derselben Richtung, so beschreibt C einen Kreis vom Radius OC, und wenn jetzt das eine Rad etwas schneller läuft als das andere, so beschreibt C eine Spirale, deren Radiusvector zwischen den Grenzen a und b zu und abnimmt. Man kann den Apparat etwa verwenden beim Schleifen von Linsen, indem man in C die Polirvorrichtung anbringt, oder auch z. B. zur Regulirung einer Dampfmaschine, bei der die Räder A und B mit gleicher Geschwindigkeit laufen sollen.

Die ausgestellten Modelle sind Eigentum der irischen Akademie und ausführliche Beschreibung in den Transactions derselben Band 29 Teil 19. (Separatabzug zum Preis von 2,50 *M.* in der Akademie, 19, Dawson street Dublin, Ireland.) (Alexander, Thomson.)

Ellipsenzirkel (D. R. P.) von W. Lehner, stud. mech., techn. Hochschule München.

Mit Hilfe des Kreises MA wird eine Ellipse PP dadurch erzeugt, dass die Abscissen MD des Kreises ihrer Grösse nach die Abscissenverschiebungen des Punktes P werden, die Ordinaten AD jedoch in constantem Verhältnisse verkürzt werden.



Die Abscissen von P werden dadurch bestimmt, dass ein Zapfen A den Schlitten FGHI in Richtung der x-Axe verschiebt, indem A in dem Schlitze AD und der Schlitten auf dem festen Rahmen RR gleitet. KL ist nach Einstellung des Zirkels mit dem Schlitten durch Schrauben fest verbunden. Die Ordinaten PQ sind durch Punkt C bestimmt, der nach Einstellung des Apparates eine feste Lage auf der constanten Strecke AB hat indem während der Bewegung von A der Punkt B längs der x-Axe gleitet, gilt stets die Proportion $AD:CE = AB:CB = \text{const.}$ Die Bewegung des Punktes C wird auf den Punkt P vermittelt eines Gleitstückes übertragen, mit welchem Punkt P fest verbunden ist, und das sich zunächst im Schlitz KL frei bewegen kann; durch den in der Rille CP (CP parallel zur x-Axe) sich bewegenden Zapfen C erhält Punkt P eine bestimmte Ordinate $PQ = CE$ zugewiesen.

Die Ordinaten PQ sind daher aus den Ordinaten AD des Kreises durch Verkürzung in dem constanten Verhältnisse $CB:AB$ erhalten und P beschreibt eine Ellipse.

Die Halbaxen können am Apparat unmittelbar eingestellt werden; wenn $MA \perp MB$ ist, so ist der Radius MA gleich der einen, die Strecke PQ gleich der andern Halbaxe. Der Radius MA kann durch Verkürzung oder Verlängerung in M auf verschiedene Länge gebracht werden; die andere Halbaxe PP kann beliebig variirt werden, wenn die Schrauben K und L gelüftet sind, da auch Zapfen C nur durch eine Schraube mit AB verbunden wird. (K. Fischer.)

105a. Parabelzeichner, construiert und ausgestellt von Ingenieur **K. A. Mayer** an der Handw.- u. Kunstgewerbe-Schule in Hannover.

Der Apparat beruht auf dem Satze: Bewegt sich ein Punkt in einer Ebene so, dass die Summe seiner Abstände in Bezug auf eine in derselben Ebene liegende Gerade und einen festen Punkt dieser Geraden constant bleibt, so entsteht eine Parabel. (K. A. Mayer.)

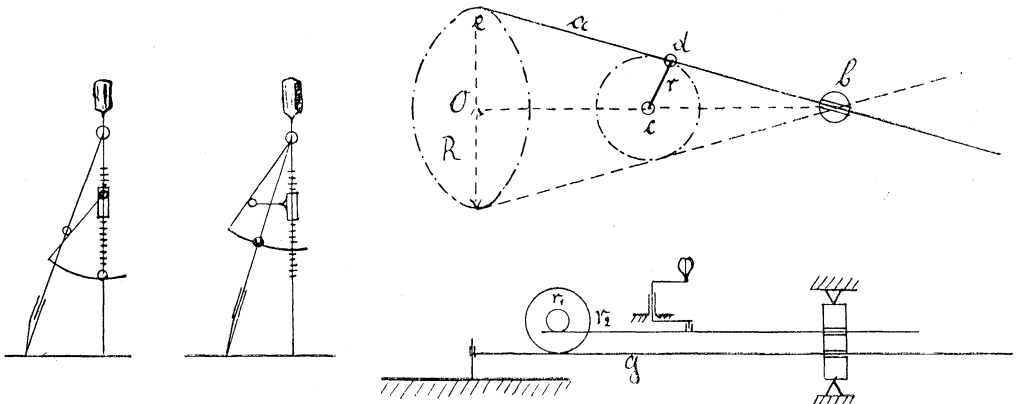
107a. Spiral-Zirkel nach **Feldmaier**, verfertigt und ausgestellt von **M. Ott**, Werkstätte für Präcisionsmechanik, München.

Aus nebenstehender Skizze ist die Form des Zirkels ersichtlich.

Der eine Schenkel, welcher in seinem mittleren Teil mit stark steigendem Gewinde versehen ist, wird senkrecht auf das Papier gestellt und festgehalten. Auf dessen Gewinde befindet sich eine Mutter, mit welcher ein Stahldreieck verbunden ist, dessen einer Winkel, entsprechend der gewünschten Steigung der Spirale geändert werden kann.

Wird der zweite bewegliche Schenkel um den ersten gedreht und damit auch die Mutter, so schraubt sich letztere in die Höhe und die eine Seite des Dreiecks drückt mittelst des Stiftes m den Schenkel langsam nach aussen, wodurch die auf einer Hülse verschiebbare Zeichnungsfeder eine Spirale $r = \alpha\varphi$ beschreibt.

Wird das Stahldreieck an dem beweglichen Schenkel angebracht, so ändert sich während der Bewegung zugleich der Angriffswinkel und man erhält eine Spirale mit wachsender Steigung. (Max Ott.)



107b. Mechanismus zum Zeichnen von Kreisen und Spiralen von einem Punkt ausserhalb des Centrums, nach Professor **Cerebotani**, ausgeführt von **M. Ott**, Werkstätte für Präzisionsmechanik, München.

Wird ein Stab a derart gelagert, dass er sich in einer drehbaren Hülse b verschieben kann, und dann mittelst einer um den festen Punkt c drehbaren Kurbel r bewegt, so beschreibt irgend ein Punkt e des Stabes eine Cardioide, von welcher der eine ovalförmige Teil in der Figur gezeichnet ist. Bezeichne nun R die Entfernung des Berührungspunktes des Stabes in seiner Grenzlage mit der Curve, wie von der Mittellinie; vergrössert man dann den Weg, welchen Punkt e macht, in der Längsrichtung dem Verhältnis $bc : co$ entsprechend, so beschreibt e einen Kreis vom Radius R .

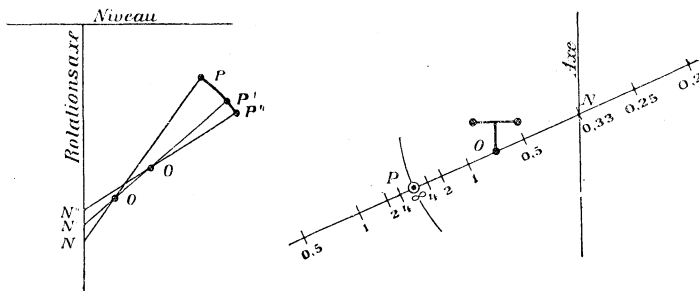
Dies wird dadurch erreicht, dass man die Antriebsstange in ein kleines Zahnrad r_1 eingreifen lässt, welches mit einem grösseren Zahnrad r_2 fest verbunden dem Stab g die gewünschte vergrösserte Längsbewegung erteilt, da sich $r_1 : r_2 = co : bc$ verhält.

Das Zeichnen von Spiralen wird dadurch ermöglicht, dass man die Länge des Hebels r während der Drehung sich ändern lässt.

(M. Ott.)

107c Apparat zum Zeichnen von Curven aus ihrer Krümmung. Von **C. V. Boys**, A. R. S. M., F. R. S. London.

Lord *Kelvin* hat folgendes Verfahren zur Verzeichnung irgend einer Capillaritätsfläche die zugleich Rotationsfläche ist gegeben: „Durch einen Punkt N der Axe zieht man eine Gerade NP , welche die Axe unter beliebigem Winkel schneidet. Um irgend einen Punkt O dieser Geraden als Mittelpunkt beschreibe man einen kleinen Kreisbogen PP' . Es sei N' der



Punkt, in welchem OP' die Axe schneidet. Man messe NP , $N'P'$ und die Differenz δ der Abstände der Punkte P und P' vom Niveau der Flüssigkeit. α sei ein linearer Parameter. Dann werde der Ausdruck

$$\left(\frac{\delta}{\alpha^2} + \frac{1}{OP} + \frac{1}{N'P'} - \frac{1}{N'P'} \right)^{-1}$$

berechnet, die entsprechende Länge in den Zirkel genommen und von P , aus auf OP' abgetragen. Um den so bestimmten Punkt O' beschreibe man einen zweiten kleinen Kreisbogen $P'P''$ und setze das Verfahren in gleicher

Weise fort. Die kleinen Kreisbogen werden dann eine Curve, nämlich den Meridian einer die Flüssigkeit begrenzenden Rotationsfläche bilden“.

(Geometrisch ausgedrückt, handelt es sich um die Ermittlung einer Rotationsfläche, deren mittlere Krümmung proportional ist der Entfernung eines Punktes von einer zur Axe senkrechten Ebene).

Herr *Boys* (Phil. Magazine for. July 1893) hat nun einen Apparat construirt, welcher einerseits die Construction der kleinen Kreisbögen andererseits die Berechnung des obigen Ausdruckes erleichtert. Er besteht aus einem Celluloidstreifen der von einem mit ∞ bezeichneten Punkte nach beiden Seiten eine Teilung trägt, deren Bezifferung nach den reciproken Entfernungen vom Punkt ∞ fortschreitet. Der Punkt ∞ trägt eine Bleistiftspitze, welche die Curve beschreiben soll. Das momentane Centrum für die kleine Drehung des Celluloidstreifens, welcher zur Beschreibung eines kleinen Kreisbogens dient, wird durch die eine Spitze eines kleinen Dreifusses gebildet, dessen andere Spitzen zur Befestigung auf dem Zeichenbrett dienen. Infolge der eigenthümlichen Teilung des Streifens lassen sich die Grössen $\frac{1}{OP}$, $\frac{1}{NP}$ und $\frac{1}{N'P'}$ unmittelbar am Streifen ablesen. Durch Summation ergibt sich der reciproke Wert des Kelvinschen Ausdrucks, der dann gleich wieder directe Anwendung zur Aufsuchung des neuen Momentancentrums auf dem Streifen findet. Man sieht leicht ein, dass man auf ähnliche Weise beliebige Curven construiren kann, deren Krümmungsradius in einfacher Beziehung zur Länge der Normalen steht. z. B. elastische Linien, Cykloiden, Kettenlinien und ihre Evoluten und Kegelschnitte.

(Finsterwalder.)

- 108** **Perspectograph** von **M. Stühler**, verfertigt von **W. G. Dinkelmeyer** (Nürnberg), ausgestellt von **A. Brugger**, München.

Der in Nr. 108 des Hauptkataloges beschriebene Apparat in 4 Ausführungen.

J. Modelle für den Elementar-Unterricht in Planimetrie, Stereometrie, Trigonometrie und darstellender Geometrie.

- 120a.** **Lehrmittel für Geometrie** von Oberlehrer **C. G. Kummer** in Dresden.

Eine Sammlung einfacher Veranschauligungsmittel für den ersten geometrischen Unterricht an Volksschulen und an den unteren Classen höherer Lehranstalten.

- 127a** **Drei Reliefperspectiv-Modelle** aus Gyps von Prof. **L. Burmester**, **Mathematisches Institut und Sammlung für darstellende Geometrie an der Technischen Hochschule in München.**

Modell Nr. 1 enthält die reliefperspectivische Darstellung typischer Körper: Würfel mit Kegel, Cylinder mit Kugel und architektonisch gegliederten Obeliskten.

Modell Nr. 2. Reliefperspectivische Darstellung einer Bogenhalle.

Modell Nr. 3. Reliefperspectivische Darstellung einer romanischen Basilika.

Der Augpunkt ist auf diesen Modellen durch ein rothes Kreuz markirt und die Augdistanz ist auf der Modell-Etiquette angegeben.*)

(L. Burmester.)

127b. Sammlung von 20 Original-Photographien mit Einzeichnungen zur Untersuchung der Perspective in Bildern alter Meister von Prof. L. Burmester. **Sammlung für darstellende Geometrie an der Technischen Hochschule in München.**

Die Schönheit eines Bildes ist in vielen Fällen berechtigt, mannigfaltige Abweichungen von den Perspectiv-Gesetzen nicht nur in den figuralen Beziehungen, sondern auch in den geometrischen Gestaltungen zu fordern; und der Maler muss deshalb von seinem Kunstgefühl geleitet auf dem Wege der Compromisse zwischen den Bedingungen der Aesthetik und der Perspective seinen erhabenen Zweck, die Schönheit, erreichen.

Alle Abweichungen von den Gesetzen der Perspective sind künstlerisch vollberechtigt und nicht als Fehler zu betrachten, wenn diese Abweichungen von der Schönheit des Bildes gefordert werden und so geordnet sind, dass dieselben nicht im bemerkbaren Widerspruch mit unserer perspectivischen Anschauung stehen, die wir durch die Beobachtung in der Wirklichkeit empfangen haben.

In dieser Auffassung sind die Einzeichnungen und Erläuterungen auf den Bildern zu betrachten.

(L. Burmester.)

128a. Historische Notiz über die Modellsammlung von Muret.

Der Ursprung der Modellsammlung von Muret, herausgegeben von *Delagrave* geht auf etwa 70 Jahre zurück, auf die Zeit, in welcher *Monge* sein berühmtes Werk über die descriptive Geometrie erscheinen liess. Damals war *Bardin* Eleve an der Ecole polytechnique. Er wurde bei seinem Austritt aus der polytechnischen Schule zum Professor der Mathematik an der École d'application zu Metz ernannt und erkannte hier sofort die Schwierigkeit, welche seine Zuhörer in der räumlichen Anschauung fanden und suchte von da ab durch die Herstellung specieller Modelle „das Lesen im Raum“ zu erleichtern.

Solche Modelle erwiesen sich im Unterrichte wie in wissenschaftlicher Arbeit als ein wichtiges Hilfsmittel; aber *Bardin*, welcher unausgesetzt in dieser Richtung für die grossen Schulen, an denen er lehrte, thätig war, sorgte nicht genügend für die Verbreitung seiner wichtigen Arbeit; dies führte erst sein Nachfolger *Muret* aus, der 13 Jahre lang Schüler und später Mitarbeiter *Bardins* gewesen war. Nach dem Tode *Bardins* 1868 begann *Muret* zunächst damit, das beträchtliche Werk seines Lehrers zu ordnen, wieder herzustellen und zu vervollständigen und es den verschiedenen Aufgaben des Unterrichtes anzuschliessen; dabei unterstützte ihn ein junger Verleger *Delagrave*, der gleich ihm mit vollem Eifer für diese Neuerung eintrat und in der Folge sich in diesem Zweige weithin bekannt machte.

*) Vergl. *Burmester*, Grundzüge der Reliefperspective. Leipzig 1883.

Die heutzutage überall angewandte Methode des Anschauungsunterrichtes liess sich aber damals nicht ohne Schwierigkeit und äusserste Anstrengung einführen. (Muret.)

K. Polyeder, Polygon- und Polyederteilung von Flächen und Räumen.

132a 16 Modelle: Herstellung der Platonischen Körper aus Papierstreifen von Privatdozent **H. Wiener, Mathematisches Institut der Universität Halle a/S.**

1. Wie man in einem Blatt Papier durch Zusammenfalten eine Gerade herstellen kann, und durch Aufeinanderlegen der zwei Hälften dieser Geraden eine dazu senkrechte Gerade erhält, so lassen sich *ohne Hilfe von Zirkel und Lineal*, allein durch Zusammenfalten aus einem Papierstreifen, der auf den Seiten durch zwei parallele Kanten begrenzt ist, das Quadrat und das regelmässige Dreieck und Fünfeck herstellen; und aus ihnen können durch richtiges Aneinanderfügen dieser Vielecke und durch Zusammenkleben die 5 Platonischen Körper gewonnen werden.

2. Das *Quadrat*. Legt man den Papierstreifen so zusammen, dass jede Kante in zwei Hälften mit sich selbst zur Deckung gelangt, so erhält man eine kurze Knick-Kante, die senkrecht auf den (jetzt doppelt liegenden) Seitenkanten steht. Halbt man an einer der Streifenhälften, die in der Knickkante zusammenstossen, den rechten Winkel, indem man seine beiden Schenkel aufeinanderlegt, nämlich die eine Seitenkante auf die Knickkante, so erhält man ein gleichschenkeliges rechtwinkeliges Dreieck, über dem ein congruente Dreieck liegt. Knickt man nun von den beiden Streifenhälften, die jetzt einen rechten Winkel bilden, abwechselnd die eine und die andere um, indem man stets die Längskante der einen als Knickkante der anderen benützt, so erhält man eine Reihe von Quadraten, deren mittelstes aus den beiden Dreiecken besteht. [Nr. 1 u. 2.]

3. Den *Würfel* erhält man, indem man die beiden Dreiecke aufeinander klebt und an jeder Streifenhälfte vier von den angebogenen Quadraten zu einer Zone des Würfels verwendet; das vierte Quadrat einer jeden dieser Zonen klebt man auf das erste Quadrat, das durch die Dreiecke nur zur Hälfte ausgebildet ist. Die beiden Zonen überkreuzen sich noch in einer Fläche, in der die beiden Quadrate ebenfalls auf einander geklebt werden, [Nr. 7.]

4. Um den Winkel von 60° — und daraus das *gleichseitige Dreieck* — zu construiren, drittele man den gestreckten Winkel, indem man an irgend einem Punkte des einen Streifenrandes sowohl die eine, wie die andere Hälfte dieses Randes umlegt. Dabei entstehen zwei Knicklinien; an die erste wird die zweite Hälfte des Randes, an die zweite die erste Hälfte des Randes angelegt. Dadurch sind aus dem gestreckten Winkel drei gleiche Winkel gemacht, nämlich der zwischen den Knicklinien liegende, gleich denen zwischen je einer Knicklinie und einer Randhälfte liegenden

Winkeln. Es bedarf nur einer kurzen Übung, um die zuerst vorläufig gewählten Knicklinien mit geringer Verschiebung in die verlangte Lage zu bringen. [Nr. 3.]

Aus dem Winkel von 60° entsteht durch weiteres Umknicken des Streifens ein regelmässiges Dreieck, und daraus dann beliebig viele. Dabei lege man erst das eine Ende des Streifens in solche Dreiecke, und hierauf erst das zweite. [Nr. 4.]

5. Zum *Tetraeder* nehme man fünf regelmässige Dreiecke des Streifens und klebe das letzte auf das erste. [Nr. 9.]

6. Zum *Oktaeder* genügen sieben solcher Dreiecke, von denen das letzte auf das erste geklebt wird, falls man sich auf eine Zone des Oktaeders beschränkt, so dass zwei gegenüberliegende Seitenflächen fehlen. [Nr. 8.]

Zum vollen Oktaeder bilde man zuerst (aus 7 Dreiecken) eine Zone, das achte Dreieck klappe man um, klebe es auf das vorhergehende und lasse eine zweite Zone folgen. Wo zwei Dreiecke verschiedener Zonen übereinander zu liegen kommen, klebe man sie zusammen. Da schon das vorletzte Dreieck der zweiten Zone auf ein Dreieck der ersten Zone zu liegen kommt, genügen 13 statt 14 Dreiecke des Streifens. Analoge Bemerkungen gelten für die folgenden Körper, bei denen sich durch Zerstückeln des Streifens die Zahl der notwendigen Flächen noch verringern lässt. [Nr. 10.]

7. Zum *Ikosaeder* stelle man zuerst eine Zone von 10 Dreiecken her, indem man das elfte Dreieck des Streifens auf das erste klebt. Das zwölfte Dreieck klappe man um und klebe es auf das erste (elfte), und lasse es als Anfangsdreieck einer neuen Zone dienen, deren Enddreieck (das 22.) wieder über das erste zu liegen kommt. Eine dritte, in gleicher Weise angefügte Zone, vollendet den Körper, der so aus 33, in dem Streifen aneinandergereihten Dreiecken gebildet ist. [Nr. 13.]

8. Am überraschendsten ist die Anfertigung des *regelmässigen Fünfecks* und des regelmässigen Dodekaeders. Von einem solchen Fünfeck wird durch eine Diagonale ein axenspiegeliges Viereck (Antiparallelogramm) abgeschnitten, dessen Winkel $\frac{2}{3}$ und $\frac{3}{5}$ des gestreckten Winkels betragen, so dass man zwei solche Vierecke in der Weise aneinanderlegen kann, dass die parallelen Gegenseiten die Verlängerungen der parallelen Gegenseiten des anderen bilden — und ebenso lässt sich eine beliebige Anzahl solcher Vierecke in einen Parallelstreifen aneinanderlegen, die ihre breitere Basis abwechselnd in der oberen und unteren Kante des Streifens haben.

Knickt man in der Reihe das zweite Viereck um die Kante um, mit der es an das erste stösst, so legen sich beide in ein regelmässiges Fünfeck aufeinander. Knickt man ebenso das 3., 4., 5. um, so legen sich alle in dasselbe Fünfeck ein (das 6. legt sich dann congruent über das erste).

Diese Figur der 5 zu einem regelmässigen Fünfeck übereinandergelegten Vierecke lässt sich ohne weiteres aus dem Papierstreifen herstellen: Man mache in den Papierstreifen einen Knoten, ziehe ihn langsam zu und drücke die übereinanderliegenden Teile des Streifens in die Ebene, indem man darauf achtet, dass die beiden Enden des Streifens an der Stelle, wo sie austreten, ohne Spielraum anliegen. Auch hier genügt eine geringe Übung, um die nötige Genauigkeit zu erzielen. [Nr. 5.]

Auf das fertige Fünfeck falte man zuerst die eine (später die andere) Hälfte des Streifens zu solchen Vierecken auf, wie sie oben beschrieben sind. Dies geschieht, indem man die Knickkante und die kürzere von den parallelen Gegenkanten des Vierecks mit zwei Seiten des Fünfecks, die breite Basis mit der Diagonale zur Deckung bringt. [Nr. 6.]

9. Um nun das regelmässige Dodekaeder zu bekommen, ist es nicht nötig, fertige Fünfecke zusammzusetzen, sondern die Reihe der Vierecke genügt. Man bilde eine aus 6 Vierecken bestehende Zone dadurch, dass man das 7. auf das erste klebt. Knickt man dann das 8. Viereck um, so legt es sich halb auf das 1. (7.) und so entsteht das erste Fünfeck. Die mit dem 8. Viereck beginnende zweite Zone schliesst im ganzen vier Paare von Vierecken zu je einem Fünfeck zusammen, die ebenso angefügte 3. und 4. Zone je zwei und die 5. Zone die 4 noch fehlenden Fünfecke und damit ist das Dodekaeder fertig. Dabei sind zum ersten Fünfeck 10, zum gegenüberliegenden 5 und zu den übrigen zehn je 2 Vierecke verwandt. [Nr. 16.]

10. Fügt man zu den 35 Vierecken noch ein weiteres bei, so legt es sich umgeknickt congruent über das erste Viereck, so dass eine daran gehängte 6. Zone wieder die 1. Zone überdecken würde. Klebt man das 36. auf das erste und löst alle übrigen Verbindungen, so erhält man ein *geschlossenes Band*, das — weil im Streifen das 36. ungleiche Lage mit dem 1. hat — *einmal gedreht ist* (unter Umständen auch 3-, 5 mal), also im *Möbius'schen* Sinne eine *einseitige Fläche* darstellt. [Nr. 14.]

In gleicher Weise lässt sich beim Ikosaeder durch Zufügen einer 34. Dreiecksfläche ein einmal verdrehtes, geschlossenes Band herstellen. [Nr. 11.]

Beim Oktaeder ist noch eine dritte Zone hinzuzufügen, dann die 22. Fläche auf die 1. zu kleben, so erhält man ein ebensolches Band. Auch der Würfel lässt sich in zwei Zonen aus einem solchen verdrehten Bande zusammenfalten, das aus 10 Quadraten besteht, von denen das letzte auf das erste geklebt ist und von denen zwei in je zwei Dreiecke zerlegt sind. Wir erhalten das Ergebnis: *Die regelmässigen Körper: Würfel, Oktaeder, Ikosaeder, Dodekaeder lassen sich aus einem einmal verdrehten geschlossenen Band durch geeignetes Falten und Zusammenkleben herstellen, wenn nur das Verhältnis von Länge und Breite des Bandes für jeden dieser Körper richtig gewählt ist.*

In Nr. 12 und Nr. 15 ist die Art des Zusammenfaltens für Ikosaeder und Dodekaeder dargestellt.

Für das *Tetraeder* bilden die 5 Dreiecke, von denen das letzte auf das erste geklebt ist, von selbst ein *geschlossenes, aber unverdrehtes Band*.

(H. Wiener)

132b 6 Modelle hergestellt aus Draht mit eingespannten Fäden, nach Angabe von Privatdocent **H. Wiener**, math. Institut der Universität Halle a/S. *)

a) *Die geschlossenen Systeme von Spiegeln zur Erzeugung der Bewegungsgruppen der regelmässigen Körper* (Modell Nr. 1 und 2). Nr. 1 stellt die 6 Linien des regelmässigen Oktaeders (Würfels) dar, welche die

*) Schrank Nr. (6).

Mitten der Gegenkanten verbinden, während dieselben Linien des regelmässigen Ikosaeders (Dodekaeders) das Modell *Nr. 2* vorzeigt.

Diese Linien bieten ein gruppentheoretisches Interesse dar: in beiden Fällen liegt ein System von Geraden vor, von denen jede an jeder anderen gespiegelt wieder eine Gerade des Systems ergibt; man kann ein solches System als ein geschlossenes System von Spiegelaxen und die Spiegelungen an ihnen als ein *geschlossenes System von Spiegelungen* bezeichnen. An derartigen Spiegelsystemen lassen sich wichtige Operationsgruppen in einfacher Weise herleiten. So erhält man alle Bewegungen der „*Tetraedergruppe*“, indem man die Spiegelungen an jenen 6 Axen zu je zweien zusammensetzt, die der „*Oktaedergruppe*“, indem man hierzu noch die 6 Spiegelungen selbst und die Folgen von je dreien von ihnen zufügt. Bildet man ebenso die Folgen von je zwei Spiegelungen an den in *Nr. 2* dargestellten Axen, so erhält man die Bewegungen der „*Ikosaedergruppe*“.

Es sei darauf hingewiesen, dass die geschlossenen Spiegelsysteme wichtige Dienste zur Aufstellung der „regelmässigen Punktssysteme“ bieten, das sind unendliche Punktgruppen, wie sie z. B. in der geometrischen Theorie der Krystalstructure gefordert werden. Siehe für die Darstellung dieser Gruppen auch die Modelle der vorigen Nummer.

b) *Die höheren regelmässigen Körper (Nr. 3 bis 6)*. Modell 3 stellt die zwei einem Würfel eingeschriebenen Tetraeder, Modell 4 die 5 einem Ikosaeder eingeschriebenen Würfel dar. Die Modelle 5 und 6 geben die bekannten vier Poinso'tschen Körper und zwar zunächst *Nr. 5* das *zwanzigeckige Sterndodekaeder*, *Nr. 6* das *sterneckige Dodekaeder*, womit gleichzeitig die beiden übrigen, das *zwölfekige Sterndodekaeder* und das *sterneckige Ikosaeder* dargestellt werden. (H. Wiener.)

137a Räumlicher Winkelspiegel angefertigt von Krüss, Hamburg, nach Angabe von Prof. E. Hess, Univ. Marburg. Nachtrag zu 137.

Ein *vierter* Winkelspiegel, welcher dem Falle

$$A_1 = \frac{180^\circ}{p}, A_2 = A_3 = 90^\circ; \alpha_1 = \frac{180^\circ}{p}, \alpha_2 = \alpha_3 = 90^\circ; m = 4p, (p = 2, 3, 4, \dots),$$

entspricht und welcher von einem im Inneren der Ecke befindlichen Punkte $4p - 1$ Bilder erzeugt, welche mit dem Punkte selbst den Eckpunkten eines gleichseitigen

prismatischen $(2 + \overline{p + p})$ -flächigen $2 \cdot 2p$ -Ecks

entsprechen, ist ebenfalls nach den Angaben des Unterzeichneten von Dr. *Krüss* in der Weise hergestellt worden, dass zwei ebene Spiegel um ihre Schnittkante als Axe drehbar construirt und mit einem dritten zu der Axe senkrechten Spiegel verbunden wurden.

a) Für $p = 2$, $A_1 = \alpha_1 = 90^\circ$, $m = 8$ erhält man dann mittelst einer passend eingelegten Figur die holoëdrischen Formen, wie auch die Combinationsgestalten des *rhombischen* und die *pentagonal-hemiedrischen*, wie auch die *holoëdrischen* Formen des *regulären* Systems;

b) Für $p = 4$, $A_1 = \alpha_1 = 45^\circ$, $m = 16$ resultiren die Formen des *tetragonalen*,

c) Für $p = 6$, $A_1 = \alpha_1 = 30^\circ$, $m = 24$ diejenigen des *hexagonalen* Systems. Auch kann dieser Apparat, bei Weglassung des dritten Spiegels, zur

Darstellung solcher Formen, welchen zwei oder mehrere sich *in einer Axe* schneidende Symmetrieebenen zukommen, z. B. der *sphenoidisch-hemiedrischen* Formen des *tetragonalen*, der *rhomboedrisch-hemiedrischen* Formen des *hexagonalen* Systems benutzt werden, während endlich mit Hilfe *eines* (des dritten) Spiegels diejenigen Formen, welche nur *eine* Symmetrieebene besitzen, z. B. die *pyramidal-hemiedrischen* Formen des *tetragonalen* und des *hexagonalen* Systems und die Formen des *monoklinen* Systems dargestellt werden können. (Vgl. die citirte Abhandlung: Neues Jahrb. f. Mineralogie 1889. Bd. 1 S. 54—65.)

(E. Hess.)

137 b Drei Modelle von abwickelbaren Polyedern in Gestalt von Zickzackflächen. Von Prof. **Chr. Wiener** in Karlsruhe, 1880.

Gewöhnliche Polyeder sind selbst geschlossen und besitzen geschlossene Seitenflächen; sie sind nicht abwickelbar. Bildet man die Seitenflächen ungeschlossen, indem man sie aus einem Paare Scheitelwinkel bestehen lässt, so werden die Polyeder abwickelbar. Man kann aber auch abwickelbare Polyeder erhalten, wenn man die Seitenflächen geschlossen, aber das ganze Polyeder ungeschlossen bildet. Dann müssen die Summen der Kantenwinkel an jeder Ecke = $4R$, also die Ecken nicht convex, daher wenigstens vierflächig sein. Solche Polyeder sind in den Modellen hergestellt durch dreimaliges Hin- und Herbiegen eines Blattes Papier in jedesmal gleich breite Streifen, wobei die Biegungskanten der zweiten und der dritten Streifenschaar sich unter gleichen Winkeln gegen die Kanten der ersten Schaar auf diesen schneiden müssen. Lässt man bei beiderlei abwickelbaren Polyedern die Seitenflächen unendlich klein werden, so erhält man als Grenzgestalten abwickelbare krumme Flächen, und zwar im ersten Falle die gewöhnlichen mit unendlich langen ebenen Flächenelementen, im zweiten Falle die bisher nicht bekannten mit ebenen Elementen, die nach jeder Richtung unendlich klein sind. Diese können mittels der durch eine unendliche Reihe dargestellten Weierstrass'schen Cosinusfunction gebildet werden. Sie sind vorstellbar, aber nicht durch Zeichnung oder Modell darstellbar. (Vergl. Chr. Wiener, Lehrbuch der darstellenden Geometrie, 2. Bd., S. 28 ff., 1887.)*

(Chr. Wiener.)

143a Zwei Modelle zur regulären Einteilung des Raumes im Sinne der Nicht-euclidischen Massbestimmung construirt von **Dr. C. Hossfeld** in Eisenach.

Beide Modelle stellen die Schnittlinien von Ebenen und Kugeln dar, die den Raum in eine endliche Anzahl von Tetraedern einteilen. Im ersten Modell schneiden sich sechs Ebenen und vier Kugeln und begrenzen 120 Tetraeder, deren Flächenwinkel $\frac{\pi}{2}, \frac{\pi}{2}, \frac{\pi}{2}, \frac{\pi}{3}, \frac{\pi}{3}, \frac{\pi}{3}$ sind; im zweiten Modell schneiden sich neun Ebenen und sieben Kugeln und begrenzen 384 Tetraeder, deren Winkel $\frac{\pi}{2}, \frac{\pi}{2}, \frac{\pi}{2}, \frac{\pi}{3}, \frac{\pi}{3}, \frac{\pi}{4}$ sind. Diese Tetraeder kann

*) Vgl. hier ferner die Note von *H. A. Schwarz* im Cours d'analyse professé pendant le 2. Sem. 1881/82 von Hermite, 2. Aufl. „Sur une définition erronée de l'aire d'une surface courbe“.

man als congruent, bezw. symmetrisch bezeichnen, wenn man für den Raum nicht die Euclidische, sondern eine allgemeinere und zwar elliptische Massbestimmung annimmt, und wenn man ferner den gewöhnlichen Begriff der Ebene auf alle Ebenen und Kugeln überträgt, welche die (hier als imaginäre Kugel vorausgesetzte) Fundamentalfäche der Massbestimmung orthogonal schneiden,

Die regulären Einteilungen im dargelegten Sinne lassen sich aus den regulären Körpern im Raume von vier Dimensionen ableiten; es entspricht dann das erste Modell einem Gebilde, das von fünf regulären Tetraedern, das zweite Modell einem solchen, das von acht regulären Hexaedern begrenzt wird. (Hossfeld.)

L. Ebene Curven.

148a Curven vierter Ordnung mit zwei Doppelpunkten. 3 lithogr. Tafeln, construiert 1882 nach Angabe von stud. **H. Wiener** von stud. **Chr. Wolff**. **Math. Institut der techn. Hochschule München.**

Erzeugung aus 2—2 deutigen (im Falle der Curve mit 2 unpaaren Zügen 3—3 deutigen) Punktreihen auf einem Kegelschnitt b . Man nehme den Kegelschnitt r hinzu und einen Punkt Σ , dessen Polare in Bezug auf b diesen Kegelschnitt in den Punkten S und S' schneidet. Legt man nun durch Σ einen Strahl, der „ r “ in den Punkten Q, Q' trifft, nimmt zu einem von diesen die Polare in Bezug auf „ b “, verbindet deren Schnittpunkte R, R' mit b je mit S und S' , so sind die zwei Schnittpunkte dieser Verbindungslinien Punkte der gesuchten C_4 . S und S' sind Doppelpunkte dieser Curve, der Punkt Σ , sowie die Eckpunkte $\Sigma_1, \Sigma_2, \Sigma_3$ des gemeinsamen Polardreiecks der Kegelschnitte „ b “ und „ r “ sind Schnittpunkte der 4 Paare Doppeltangenten, welche die C_4 besitzt, also gleichberechtigt, so dass sich jede C_4 aus ihnen auf vier (indess nicht alle unter einander verschiedene) Arten construiren lässt.

148b Auflösung von singulären Punkten ebener Curven in die äquivalenten elementaren Singularitäten. 4 lithogr. Tafeln, constr. 1883 nach Prof. **A. Brill** von stud. **Schultheiss**. **Math. Inst. der techn. Hochschule München.**

Zusammenrücken 1) von 1 Rückkehrpunkt und 1 Wendepunkt (Schnabelspitze); 2) von 2 Rückkehrpunkten; 3) von 2 Rückkehrpunkten u. 1 Wendepunkt; 4) von 2 Rückkehrpunkten u. 2 Wendepunkten; 5) von 3 Rückkehrpunkten; 6) von 4 Rückkehrpunkten, mit den dualistischen Uebertragungen.

Man vgl. den Aufsatz von **A. Brill**: „Ueber Singularitäten ebener algebraischer Curven.“ (Math. Annalen, Bd. 16 S. 348 ff.)

Die Tafeln 147, 148a, 148b in lithographischer Ausführung (H. Köhler, München) in einer Mappe vereinigt

M. Algebraische Flächen.

162a Gypsmodell, nebst zugehörigen Photographien einer Fläche 3. Ordnung mit 27 reellen Geraden. Von **Chr. Wiener**, Professor an der Technischen Hochschule in Karlsruhe, 1868.

Die Construction geschah mittelst der 27 Geraden. Man wählt unter diesen eine Doppelsechs $a_1 a_2 \dots a_6, b_1 b_2 \dots b_6$; jede a schneidet jede b ausser derjenigen mit gleicher Kennziffer, und umgekehrt. Die anderen 15 Geraden sind $c_{12}, c_{13} \dots c_{56}$; jede c schneidet jede a und b von gleichen Kennziffern; z. B. schneidet die c_{23} die a_2, a_3, b_2, b_3 . Man nimmt nun a_1 willkürlich an, ebenso die Geraden $b_2 b_3 b_4 b_5 b_6$ derart, dass jede die a_1 schneidet; dadurch sind alle weiteren a , die b_1 und alle c bestimmt. Legt man nun eine Reihe von Ebenen durch a_1 , so schneidet jede die Fläche noch in einem Kegelschnitte, der durch die Schnittpunkte mit 16 der Geraden überschüssig bestimmt ist. Diese Kegelschnitte, welche 5 mal aus 2 Geraden bestehen, wurden als Erzeugende der Fläche betrachtet, und wurden bei dem Scheibenmodelle aus Carton ausgeschnitten und zusammengefügt, während die Geraden a, b, c als Seidenfäden von dreierlei Farbe aufgelegt wurden. Nach dem Scheibenmodell wurde das aus Gyps gebildet.
(Chr. Wiener.)

N. Raumcurven und abwickelbare Flächen; Regelflächen.

173 Die vier Gestalten der Raumcurven 3. Ordnung. Vier Drahtmodelle und vier Fadenmodelle von Privatdocent **H. Wiener, Math. Institut der Universität Halle a. S.**

Vermöge ihrer Lage gegen die unendlich ferne Ebene sind bei der Raumcurve 3. Ordnung viererlei Gestalten zu unterscheiden.

Nr. 1. Die cubische Ellipse. Es ist nur ein (reeller) unendlich ferner Punkt vorhanden mit einer durch das Endliche laufenden Tangente (Asymptote).

Nr. 2. Die cubische Parabel. Die Curve hat drei zusammenfallende unendlich ferne Punkte, d. h. einen Punkt nebst seiner Tangente und Schmiegungeebene im Unendlichen liegen.

Nr. 3. Die cubische hyperbolische Parabel. Von den drei unendlich fernen Punkten fallen zwei zusammen, so dass ein Punkt mit einer durch das Endliche laufenden Tangente (Asymptote) und ein Punkt mit einer unendlich fernen Tangente, aber mit einer durch das Endliche gehenden Schmiegungeebene (Asymptotenebene) vorhanden ist.

Nr. 4. Die cubische Hyperbel. Drei getrennte unendlich ferne Punkte besitzen drei durch das Endliche laufende Tangenten (Asymptoten).

Bei den Drahtmodellen sind die Curven durch Silberdrähte, ihre Asymptoten durch schwarze Drähte dargestellt. In *Nr. 3* gibt es ausser der geraden Asymptote noch eine krumme *Asymptotenlinie*, nämlich eine in der Asymptotenebene liegende Parabel.

Bei den Fadenmodellen sind die abwickelbaren Tangentenflächen dieser Curven zur Anschauung gebracht. Als Begrenzungen dieser geradlinigen Flächen sind ausser Ebenen in *Nr. 1*, wo die Curve auf einem Kreiscylinder liegt, der Schnitt der Fläche mit einem dazu gleichaxigen Cylinder gewählt, in *Nr. 2* und *3*, wo die Curve auf parabolischen Cylindern liegt, sind para-

bolische Cylinder genommen, die mit jenen die Spiegelebene gemein haben. Zu Nr. 4 ist zu bemerken, dass diejenige Curve zur Darstellung gewählt wurde, die auf drei congruenten rechtwinkligen hyperbolischen Cylindern liegt, so dass es eine Gruppe von 6 Bewegungen gibt, die die Curve in sich überführen (Doppelpyramidengruppe). (H. Wiener)

173 a Die verschiedenen Typen der Kegel dritter Ordnung. 7 Fadenmodelle von Privatdocent H. Wiener; Math. Inst. der Univ. Halle a. S.

Bei den *rationalen* Curven 3. Ordnung, d. h. denjenigen, die einen Doppelpunkt besitzen, lassen sich dreierlei Gestalten unterscheiden, je nachdem der Doppelpunkt ein *Knotenpunkt*, ein *Rückkehrpunkt* oder ein *isolirter* Punkt ist. Je zwei Curven, die die gleiche Gestalt haben, lassen sich durch eine Collineation ihrer Ebenen auf einander beziehen (*Nr. 1, 2, 4.*)

Bei den Curven 3. Ordnung vom Geschlecht eins unterscheidet *Möbius* viererlei Gestalten, je nach ihrem Verlauf in den Feldern eines Vierseits, das von der Wendepunktgeraden und den Tangenten der drei reellen Wendepunkte gebildet wird. Ein Sonderfall ist es, wenn *diese drei Tangenten sich in demselben Punkte treffen* (*Nr 6*), geschieht dies nicht, so kann die Curve entweder *zwei Züge* haben (*Nr. 3*), oder einen *einzigsten Zug*, der sich entweder durch drei von den vier Dreiecken hindurchschlängelt, welche von jenem Vierseit gebildet werden (*Deltaform, Nr 5*), oder durch die drei Vierecke (*Omegaform, Nr 7*).

Wie man in den ebenen Schnitten eines Kegels 2. Ordnung die in ihrer Lage zur unendlich fernen Geraden verschiedenen, aber projectiv gleichwertigen Curven 2. Ordnung Ellipse, Parabel, Hyperbel erhält, so kann man auch aus den *Kegeln 3. Ordnung* die durch ihr Verhalten gegen das unendlich Ferne verschiedenst gestalteten Formen von Curven 3. Ordnung gewinnen. Diese Curven an den Modellen wirklich sichtbar zu machen, gelingt durch grelle Beleuchtung des Modells und Beschattung eines Theiles durch eine geradlinig begrenzte Fläche.

Die *Nr. 173 u. 173a* haben insbesondere den Zweck, ein neues einfaches Verfahren zu zeigen, um *Fadenmodelle herzustellen*. Die einfachste bisher angewandte Methode, die Fäden in Holzrahmen einzuziehen, die mit Laubsäge und Drillbohrer leicht zu bearbeiten sind, hat den Nachteil, dass sie auf ebene Begrenzungen beschränkt ist, während oft eine *krumme Begrenzung* geboten erscheint, um Brüche in den Linien zu vermeiden, besonders da wo eine krummlinige Begrenzung in den Eigenschaften der dargestellten Fläche begründet ist, wie z. B. die Begrenzung der Schraubenfläche durch Schraubenlinien. Setzt man aber an Stelle der Holzbekleidung Metallstreifen oder Drähte, die sich jeder Form anschmiegen, so wird die Bearbeitung des Materials insbesondere das Bohren der Löcher so schwierig, dass man einen geschickten Mechaniker damit beauftragen muss. Bei Modellen, die zu Vervielfältigung und zur Verbreitung im Handel bestimmt sind, hat das

keinen Nachteil, für Modelle aber, die sich der Einzelne rasch und ohne grosse Kosten zum Studium einer Fläche herstellen will, ist ein anderes Verfahren erwünscht.

Das hier vorgeführte Verfahren bleibt wie das der durchbohrten Drähte auch bei den complicirtesten Begrenzungen anwendbar und bietet keinerlei technische Schwierigkeiten. Das wesentlich neue daran ist, dass zur Herstellung der Grenzlinie, in der die Fäden enden, zwei parallel laufende Drähte verwendet werden, die mit einer wachartigen Masse ausgestrichen werden, so dass das Bohren der Löcher einfach durch Einstechen mit einer heissen Nadel geschehen kann, also leichter und ebenso genau bewirkt wird, wie das Bohren durch Holz.

Im einzelnen verfähre man so: Um die Paralleldrähte zu biegen, lasse man sich aus hartem Holz die Fläche modelliren, auf der die Grenzlinie verlaufen soll. Es ist dies in unserem Falle ein Kreiscylinder; ebenso leicht kann auch etwa ein parabolischer Cylinder, eine Kugel oder irgend eine andere Fläche angewandt werden. Die Anschaffung eines solchen Holzkörpers kommt wenig in Betracht, da derselbe Körper immer wieder für alle gleichartigen Begrenzungen benützt werden kann. Auf dem Holzkörper wird die zur Begrenzung der Fäden dienende Curve aufgezeichnet, und parallel dazu in einer Entfernung von etwa 1 mm zu beiden Seiten werden die Drähte gebogen. Dies geschieht, wo eine grössere Genauigkeit gewünscht wird, indem man im richtigen Abstand von der vorgezeichneten Linie parallele Linien in das Holz einreisst; bei Cylindern (allgemein abwickelbaren Begrenzungen) ist es vorteilhaft (wie es im vorliegenden Falle auch geschah) sich genaue Pappschablonen herzustellen und diese auf den Holzkörper aufzunageln und längs ihnen die Drähte zu biegen.

Die Enden der gebogenen Drähte werden dann zusammengelötet und hierauf die beiden Paralleldrähte mit dem richtigen Zwischenraum an so viel Stellen aneinander gelötet, dass ein gegenseitiges Schwanken nicht möglich ist. Das so gefertigte Gestell wird dann etwas erwärmt und mit der durch Erwärmen fast flüssig gemachten Masse (wir wählten ein Gemenge von Wachs und Kolophonium) mit einem heissen Messer gut ausgestrichen. Dabei müssen alle noch über die Drähte hervorstehenden Teile der Masse mit dem heissen Messer abgeschmolzen werden. Das Einstechen der Löcher mit der heissen Nadel und das Einziehen der Fäden bietet keinerlei Schwierigkeit.

(H. Wiener.)

173 b Regelflächen zweiter und dritter Ordnung. 5 Fadenmodelle von Privatdocent **H. Wiener, Math. Institut der Univ. Halle a. S.**

Nr. 1. Bewegliches Fadenmodell des Umdrehungshyperboloids mit zwei Scharen von Erzeugenden.

Das Modell besteht aus drei Ringen, in welche Fäden von zweierlei Farben eingezogen sind, und zwar aus einem einzelnen Ring, durch den die Fäden beider Art gehen und ausserdem noch drei einzelne in der Mitte zusammengeknüpfte „Aufhängefäden“, und aus zwei aufeinander passenden Ringen, deren jeder nur einerlei Fäden trägt.

Gebrauch des Modells: Man fasse den Knoten, in dem die 3 Aufhänge, fäden verknüpft sind, und lasse das Ganze aushängen, so dass ein Kreiscylinder entsteht. Dann drehe man es um, bringe an den Aufhängefäden ein Gewichtchen an und umspanne die beiden aufeinander passenden Ringe mit der einen Hand. Dreht man dann mit beiden Händen diese beiden jetzt oberen Ringe in entgegengesetztem Sinne, so stellen sich die Fäden von selbst in die beiden Scharen eines Umdreh-Hyperboloids ein, das sich beim Weiterdrehen dem Umdrehkegel nähert.

Aufstellung des Modells: Man befestige die beiden aufeinander passenden Ringe in dieser gedrehten Lage mit Hilfe der beiden beigegebenen Klammern an einander, drehe das Modell wieder um und stecke durch das Innere die oben gegabelte Stange des beigegebenen Ständers und hänge den Knoten der drei Aufhängefäden in die Gabel des Ständers.

Nr. 2 bis 4. Wenn man um einen Kreiscylinder so eine Sinuslinie aufwickelt, dass sie nach zwei vollen Wellen in sich zurückkehrt, so legt sie sich in eine rationale Raumcurve 4. Ordnung, welche in dem unendlich fernen Cylinderpunkt, der als Spitze des in den Cylinder übergegangenen Kegels zu betrachten ist, einen isolirten Doppelpunkt hat.

In dem Kreiscylinder fallen zwei von den 4 Kegeln zusammen, die durch jede Raumcurve hindurchgehen, welche den Schnitt aller Flächen 2. Ordnung eines Büschels bildet. Die zwei fehlenden Kegel berühren sich, wie alle anderen Flächen des Büschels, in dem (unendlich fernen) isolirten Doppelpunkt der Curve, es sind *zwei congruente parabolische Cylinder*. (*Nr. 2.*)

Unter den Flächen des Büschels findet sich auch ein rechtwinkliges Paraboloid. (*Nr. 3.*)

Die Raumcurve 4. Ordnung mit Doppelpunkt ist als Übergang einer solchen Curve 1. Art und 2. Art aufzufassen, und muss deshalb auch als teilweiser Schnitt einer Fläche dritter Ordnung mit einer Fläche zweiter Ordnung construiert werden können, nämlich mit irgend einer Fläche des Büschels. Die Fläche 3. O. ist in unserem Falle das durch seine geometrischen wie kinematischen Eigenschaften gleich wichtige *Cylindroid*. (*Nr. 4.*)

Nr. 5 zeigt die gegenseitige Lage eines *rechtwinkligen Paraboloids*, das als Ort der Punkte zu betrachten ist, die von zwei gegebenen Geraden gleichweit abstehen und des *Cylindroids*, welches alle diejenigen Geradenpaare enthält, zu denen *daselbe* rechtwinklige Paraboloid gehört. Dabei bildet jede Gerade des Cylindroids ein Paar zusammen mit derjenigen Geraden, in welche die erste an jeder der auf einander senkrecht stehenden Mittlerzeugenden des Cylindroids gespiegelt wird.

(H. Wiener.)

177a. Gypsmodelle, spezielle Durchdringungen von Flächen zweiter Ordnung. Prof. B. v. Tötössy und Prof. M. Balog, Budapest.

- a) Kugel und Rotationskegel; Raumcurve vierter Ordnung erster Art mit Spitze.
- b) Dasselbe, mit Weglassung des Kegels.
- c) Kugel und Rotationscylinder; Raumcurve vierter Ordnung erster Art mit Doppelpunkt.
- d) Kugel.

NB. Siehe die Beschreibung des Apparates sub Nr. 177 b. (Tötössy.)

177b. Zwei photographische Ansichten eines Apparates zur Herstellung von Rotationsflächen aus Gyps. Von Prof. **B. v. Tötössy**, an der technischen Hochschule und Prof. **Moritz Balog**, an der Realschule Budapest.

Ein vertical gelagerter Zapfen trägt an seinem oberen Ende eine Kurbel, an seinem unteren Ende einen zuerst horizontal verlaufenden, dann vertical nach abwärts gebogenen starken Arm, an welchem die, den Meridian darstellende Schablone mittelst Flügelschrauben befestigt wird. — Das Zapfenlager hat drei horizontale, ein T bildende starke Arme. Dieselben rücken mit ihren Enden auf drei Säulen, die ihrerseits auf eine quadratische Platte aufgeschraubt sind. Die Platte ist an mehreren Stellen durchbohrt, um von unten kleine Cylinderstifte einschrauben zu können, die dazu dienen, während der Arbeit ein Gleiten der weichen Gipsmasse zu verhindern. Die Kugel zusammen mit dem Postamente, der Kegel und der Cylinder in den Modellen sub Nr. **177a**)—d) sind mit dem Apparat hergestellt worden, speciell Nr. **177a**) ist das Originalmodell, wie es in einem Stück, direct aus dem Apparat hervorgegangen ist, ohne auch nur die geringste Correctur anzuwenden.

Der Apparat wurde in der mechanischen Werkstätte, die beiden Aufnahmen in dem photographischen Atelier des königl. ungarischen Josephs-Polytechnikums zu Budapest hergestellt. (Tötössy.)

185a. Fadenmodell einer speziellen Regelfläche vierter Ordnung. Von Béla **v. Tötössy**, Prof. techn. Hochschule Budapest.

Setzt man in der Gleichung $U^2 - p^3q = 0$ der allgemeinen Fläche vierter Ordnung mit Cuspidalkegelschnitt

$$U \equiv x_1 x_3 - x_2 x_4, \quad p \equiv x_4, \quad q \equiv x_1,$$

so erhält man die Gleichung

$$R \equiv (x_1 x_3 - x_2 x_4)^2 - x_1 x_4^3 = 0$$

der durch das Modell dargestellten Regelfläche. — Der Cuspidalkegelschnitt U und der Kegelschnitt Uq , längs welchem die Ebene q die Fläche berührt, zerfallen in die Geradenpaare d, r , respective d, s . — d ist Selbstberührungsgerade, r Rückkehrerzeugende und s ein developpables Element der Fläche mit der Ebene d, s als Berührungsebene.

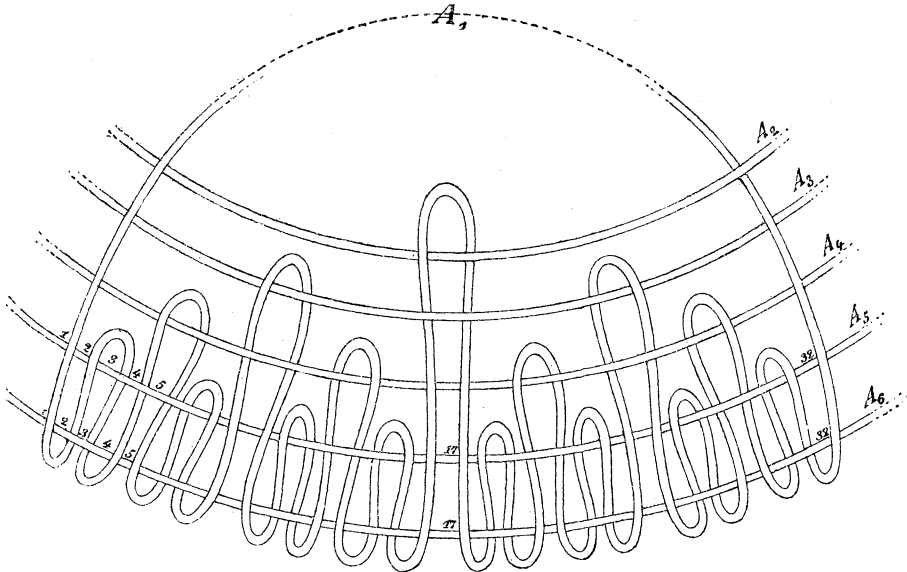
Bezieht man die Punktepaare einer hyperbolischen Involution eines Kegelschnittes k und die Punkte einer Geraden d , welche durch den Pol A_2 der Involution hindurchgeht und nicht in der Ebene von k liegt, in solcher Weise projectivisch aufeinander, dass dem einen Doppelpunkt A_1 der Involution der Pol derselben als Punkt von d entspricht, so ist das Erzeugniß dieser Projectivität die dargestellte Regelfläche. — Die Gerade d wird Selbstberührungsgerade, die Gerade $A_1 A_2$ wird Rückkehrerzeugende und die Verbindungslinie des zweiten Doppelpunktes A_4 der Involution auf k mit seinem Entsprechenden A_3 auf d wird das developpable Element.

Das ausgestellte Modell wurde vom Aussteller im Winter 1882/83 in Budapest angefertigt und ist Eigenthum der mathematischen Sammlung des königl. ungarischen Josephs-Polytechnikums. Ein genau gleiches Modell wurde vom Aussteller im März 1882 für die mathematische Sammlung des Züricher Polytechnikums angefertigt. (Tötössy.)

N. Analysis situs.

189a. Fünf Holzrahmen mit Eisenstäben und Seidenschnüren zum Studium der Verkettungen. Von Privatdocent H. Brunn, Univ. München.

Die ausziehbaren Eisenstäbe in den Holzrahmen sind in Gedanken zu vervollständigen zu in sich zurücklaufenden Ringen und repräsentieren die



Ringe A_2, A_3, A_4, A_5, A_6 in den Figuren 6, 7, 8, 9 meines Aufsatzes über Verkettung. Die Seidenschnur ist entsprechend dem Verlauf des Ringes A_1 in diesen Figuren in die Eisenstäbe zu verschlingen. Der Holzrahmen dient zu gleicher Zeit dazu, die Eisenstäbe zu fassen und deren mangelnde Teile zu ersetzen. Um gleich das complicirteste Beispiel der Anwendung der Modelle zu wählen, so schlinge man die Seidenschnur nach Massgabe von Figur 9, welche auf der vor. Seite reproduzirt ist*), durch die 5 Stäbe und zwar bei allen 5 Rahmen. Die Schnur ist dann ohne Herausziehen eines Stabes nicht von dem Rahmen zu trennen. Nun ziehe man beim ersten Rahmen die oberste, beim zweiten die zweite, beim dritten die dritte etc., beim letzten Rahmen die unterste Eisenstange heraus: dann ist bei allen fünf Rahmen die Schnur mit Leichtigkeit ganz frei zu machen. Man könnte die 5 Experimente successive an ein und demselben Rahmen vornehmen. Die Verfünfachung des Rahmens ist aber vorgenommen, um die Lösbarkeit der Schnur bei Herausziehen eines beliebigen der Stäbe möglichst schnell und gleichzeitig demonstrieren zu können, ohne durch das etwas langwierige Wiederhineinschlingen der Schnur aufgehalten zu sein.

(Abgedr. aus dem Katalog der Math. Ausstellung; Deutsche Universitäts-Ausstellung in Chicago) (Brunn.)

*) Abgesehen von einem Fehler, den diese Figur der Abh. enthält; die oberste Überkreuzung rechts ist dort in die entgegengesetzte zu verwandeln.

189b. Sieben Modelle mit der Darstellung von „Nachbargebieten“ auf Flächen vom Geschlechte 1 und 2. Von Privatdozent **H. Brunn**, Univ. München.

Die wichtigsten Förderungen in der Lehre von den Nachbargebieten („spatia confinia“) auf Flächen verschiedenen Geschlechtes verdankt man den beiden Aufsätzen von *Heawood*: „Map-Colour-Theorem“ (Quarterly Journ. of Math. Nr. 96, 1890) und von *Heffter*: „Über das Problem der Nachbargebiete“ (Math. Ann. Bd. 38 S. 477 u. ff.). Der letztere hat zur Anfertigung der vorliegenden Modelle angeregt; dort findet man auch die übrige einschl. Literatur angegeben.

Als n Nachbargebiete oder spatia confinia auf einer Fläche bezeichnen wir solche n Gebiete auf derselben, von denen jedes an jedes andere längs einer Linie anstösst. In einer Ebene und auf der Kugel sind bekanntlich nur 4 solcher spatia confinia möglich, und umgekehrt, um vier spatia confinia herzustellen, braucht man keine Fläche von höherem Geschlecht*) als die Ebene. Um dagegen n (> 4) spatia confinia zu erhalten, benötigt man Flächen von höherem Geschlecht. Es ergibt sich das Problem: Welches ist das niedrigste Geschlecht, das eine Fläche haben kann, wenn auf ihr n spatia confinia möglich sein sollen? Die bisher gelieferten Untersuchungen beschränken sich hiebei auf „Flächen mit nicht umkehrbarer Indicatrix.“**)

Heffter a. a. O. hat nachgewiesen, dass sicher für $n \leq 12$ diese niedrigste Geschlechtzahl p_n gleich $\frac{(n-3)(n-4) + 2\alpha_n}{12}$ ist. Hiebei bedeutet α die kleinste positive ganze Zahl, welche den Zähler des Bruches durch 12 teilbar macht. Heffter zeigt, dass man die — auch bei unseren Modellen eingehaltene — Beschränkung machen kann, es solle jedes Gebiet nur längs einer Linie an jedes andere anstossen, dass ferner die Gebiete einfach zusammenhängende Flächenteile sein können und gibt für jedes p bis p_{12} eine Einteilung wirklich an.

Der Unterzeichnete hat sich die Aufgabe gestellt, die Einteilung eines Kreisringes in 5, 6 und 7 Nachbargebiete am körperlichen Modell auszuführen und dabei die Anordnung der Gebiete zu einer möglichst regelmässigen und übersichtlichen zu gestalten. Die in Heffter's Aufsatz gezeichneten oder in Ziffern dargestellten Schemata, so grosse Vorzüge sie haben, geben doch nicht ohne weiteres ein Bild, wie nun die spatia confinia auf der geschlossenen Fläche sitzen. Es sind ferner durch die Modelle alle wesentlich verschiedenen Fälle erschöpft, die oben angeführten Beschränkungen vorausgesetzt. Als wesentlich gleiche Anordnungen bezeichnen wir hier solche, für welche die den Zahlen $e_3, e_4, e_5, \dots, e_n$ beizulegenden Wertreihen gleich sind, unter e_i die Anzahl der Punkte („Ecken“) auf der Fläche verstanden, in denen i verschiedene spatia confinia zusammenstossen.*)

*) Definition s. bei Heffter a. a. O. Seite 480.

**) S. W. Dyck, Beiträge z. Anal. sit. Math. Ann. Bd. 32, p. 437 und 462.

*) Zwei solche „wesentlich gleiche“ Anordnungen, auf ein und derselben Fläche ausgeführt, brauchen noch nicht ineinander überführbar zu sein durch blosser Verschiebung und Zerrung längs der Fläche. Man denke an zwei symmetrisch, wie Bild und Spiegelbild sich verhaltende Anordnungen.

Diese Zahlen befriedigen in unserem Falle, wenn k die Anzahl der Grenzlinien („Kanten“), n die der Gebiete auf der geteilten Ringfläche bezeichnet, die Gleichungen:

$$e_3 + e_4 + \dots + e_n = k - n; \quad 3e_3 + 4e_4 + \dots + n e_n = 2k$$

Die durch die gerade Rotationsaxe eines Kreisringes gelegten Ebenen schneiden die Fläche nach Kreisen, deren Mittelpunkte auf einem Kreise liegen, welchen wir im Folgenden als *Rundaxe* des Ringes bezeichnen wollen.

Die Nummern 1—6 bestehen aus Kreisringen, Modell Nr. 7 eine Fläche mit zwei Durchgängen, bezeichnet die Richtung, nach welcher die Modellreihe fortzusetzen ist.

Fünf Nachbargebiete auf einem Kreisring.

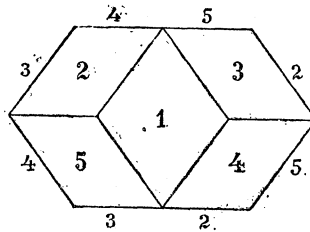
Modell Nr. 1: Eine in sich zurückkehrende Schraubenlinie windet sich einmal um die Rundaxe, während sie zweimal die gerade Axe umkreist. Diese Linie als Schnitt gedacht, macht aus der Fläche ein zweirandiges in sich zurücklaufendes Band. Das Band wird durch eine zweite Schraubenlinie, welche sich zweimal um die Rundaxe windet, während sie die gerade Axe einmal umkreist, in die 5 spatia confinia zerlegt. Es ist

$$e_3 = 0; \quad e_4 = 5; \quad e_5 = 0 \text{ (reguläre Einteilung.)}$$

Siehe übrigens bei Heffter das Zahlenschema für $n = 5$, pg. 490 u. Fig. 2.

Modell Nr. 2: Statt der Beschreibung dieser bei Heffter nicht behandelten und schwerer in Worte zu kleidenden Anordnung folge hier ihr Zahlenschema und das Netz der Flächeneinteilung (Sinn wie bei Heffter):

1	2	3	4	5
2	1	5	3	4
3	1	5	2	4
4	1	3	5	2
5	1	3	4	2



Hier ist: $e_3 = 2; \quad e_4 = 1; \quad e_5 = 2.$

Andere wesentlich verschiedene Anordnungen von 5 Nachbargebieten auf einem Ringe gibt es nicht, denn die Configuration:

$$e_3 = 1; \quad e_4 = 3; \quad e_5 = 1;$$

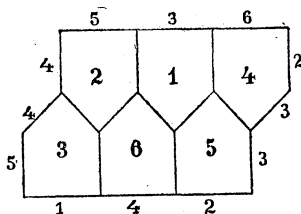
welche den beiden Gleichungen noch Genüge leisten würde, ist unausführbar, wenn jedes Gebiet an jedes andere nur längs *einer* Linie anstossen soll.

Sechs Nachbargebiete auf einem Kreisring.

Modell Nr. 3: Einer der erzeugenden Kreise K des Ringes werde in 3 gleiche Teile geteilt. Von den Teilpunkten aus winden sich drei Schraubenlinien mit einer halben Drehung um die Rundaxe, während sie die gerade Axe einmal umkreisen, so dass sie zurückkommend zu K gerade mitten zwischen den 3 ersten Teilpunkten auftreffen. Die entstehenden drei bandartigen Gebiete werden durch den K diametral gegenüberliegenden Erzeugungskreis K' in die 6 spatia confinia zerlegt.

Auch für diese Einteilung sei Schema und Netz gegeben, weil sie sich bei Heffter nicht findet.

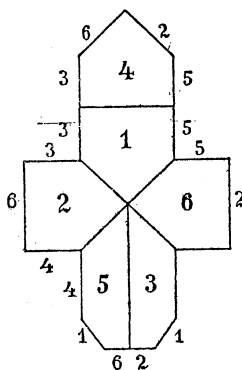
1	2	3	4	5	6
2	1	6	3	4	5
3	1	5	4	2	6
4	1	6	2	3	5
5	1	4	3	2	6
6	1	5	4	3	2



Hier ist: $e_3 = 6$; $e_4 = 3$; $e_5 = 0$.

Modell Nr. 4: Entsteht aus Modell Nr. 2, wenn an Stelle eines der Punkte, wo alle fünf Flächen zusammenstossen, ein Fünfeck eingefügt wird. Die Anfangsbemerkung für Modell Nr. 2 gilt auch hier.

1	2	3	4	5	6
2	1	5	4	6	3
3	1	2	5	6	4
4	1	3	6	2	5
5	1	4	2	3	6
6	1	5	2	4	3



Hier ist: $e_3 = 7$; $e_4 = 1$; $e_5 = 1$; $e_6 = 0$.

Modell Nr. 5: Entspricht dem Schema für $n=6$ bei Heffter und entsteht aus dem folgenden Modell, indem man eine der sieben Flächen auf einen Punkt zusammenschrumpfen lässt, so dass auch sein Netz durch Schrumpfung der mittelsten Fläche aus Figur 3 bei Heffter in symmetrischer Form zu erhalten ist. Die Anordnung der Gebiete ist symmetrisch zu dem Ringdurchmesser, welcher durch den sechsfachen Eckpunkt läuft. Hier ist

$$e_3 = 8; e_4 = 0; e_5 = 0; e_6 = 1.$$

Sieben Nachbargebiete auf einem Kreisring.

Modell Nr. 6: Entspricht dem Schema für $n=7$ und der Figur 3 bei Heffter. Eine Schraubenlinie windet sich einmal um die Rundaxe, während sie die gerade Axe dreimal umkreist. Es entsteht dadurch auf der Fläche ein in sich zurücklaufendes Band, das in 7 Teile geteilt ist, welche von der Axe aus in gleicher Breite erscheinen.

$$e_3 = 14; e_4 = 0; e_5 = 0; e_6 = 0; e_7 = 0.$$

Einzig mögliche Anordnung. Mehr als 7 spatia confinia sind auf dem Kreisringe nicht möglich.

Acht Nachbargebiete auf einer Fläche vom Geschlecht zwei.

Modell Nr. 7: Entspricht dem Schema für $n = 8$ bei Heffter. Die Zahlen e_i müssen für eine Fläche vom Geschlecht zwei folgende Bedingungen erfüllen

$$\begin{aligned} e_3 + e_4 + \dots + e_n &= k - n - 2 \\ 3e_3 + 4e_4 + \dots + ne_n &= 2k \end{aligned}$$

Bei unserem Modell ist:

$$e_3 = 16; e_4 = 2; e_5 = e_6 = e_7 = e_8 = 0.$$

Eine unter den gegebenen Voraussetzungen von der vorgeführten Einteilung wesentlich verschiedene, welche höchstens noch die Form

$$e_3 = 17; e_4 = 0; e_5 = 1; e_6 = e_7 = e_8 = 0$$

haben könnte, gibt es nicht und mehr als 8 spatia confinia sind auf einer Fläche vom Geschlechte zwei nicht möglich.

(Abgedruckt aus dem Katalog der Math. Ausstellung; Deutsche Universitäts-Ausstellung in Chicago.)

Nachtrag.

Im Vorstehenden sind für Nachbargebiete auf Flächen vom Geschlecht eins die Gleichungen:

$$e_3 + e_4 + \dots + e_n = k - n; \quad 3e_3 + 4e_4 + \dots + ne_n = 2k$$

für solche auf Flächen vom Geschlecht zwei die Gleichungen:

$$e_3 + e_4 + \dots + e_n = k - n - 2 \quad 3e_3 + 4e_4 + \dots + ne_n = 2k$$

angegeben. Indem in diesen Gleichungen dem Index von e höchstens die Grösse n erteilt ist, werden solche Einteilungen ausgeschlossen, bei welchen in einer Flächenecke zwei oder mehrere Ecken des nämlichen Einteilungsgebietes zusammenstossen. Lässt man dagegen Gebietseinteilungen zu, bei denen in einer Flächenecke ein Gebiet auch an sich selbst anstossen darf — und es ist eigentlich kein Grund vorhanden, dies auszuschliessen — so muss man dem Index von e in obigen Gleichungen beliebig hohe Werte annehmen gestatten. Um dann, unsrem Vorsatz gemäss die möglichen wesentlich verschiedenen Flächeninteilungen zu erschöpfen, müssen den beschriebenen Modellen noch drei weitere hinzugefügt werden, alle auf Einteilung eines Ringes in 5 Nachbargebiete bezüglich. Für 6 und 7 Nachbargebiete auf einem Ringe sowie für beliebige Nachbargebietseinteilungen auf Flächen höheren Geschlechtes wird durch das Fallenlassen der Beschränkung keine Veränderung in der Anzahl der Möglichkeiten hervorgerufen, so lange wenigstens die bei Heffter mit (B) bezeichnete Formel

$$p_n = \frac{(n-3)(n-4) + 2a_n}{12}$$

gilt, aus welcher folgt, dass höchstens achtfache Eckpunkte auftreten können.

Wir lassen nun eine Beschreibung der neu hinzukommenden Modelle folgen:

Modell Nr. 8. Hier ist:

$$n = 5; e_3 = 2; e_4 = 2; e_6 = 1;$$

Die Einteilung wird bewirkt durch eine geschlossene Linie, welche durch den sechsfachen Eckpunkt geht, die gerade Axe einmal und die Rundaxe ebenfalls einmal umkreist, ferner durch eine geschlossene Linie, welche zweimal durch den sechsfachen Eckpunkt geht und die gerade sowohl wie die Rundaxe zweimal umkreist, schliesslich durch ein Stück des

dem sechsfachen Eckpunkt diametral gegenüberliegenden erzeugenden Kreises K des Ringes. Die Einteilung ist symmetrisch in bezug auf den Ringdurchmesser, welcher durch den sechsfachen Eckpunkt läuft. Netz und Schema sind:

1	2 3 4 5
2	1 3 5 4
3	1 4 2 5
4	1 3 2 5
5	1 4 2 3

Modell Nr. 9. Hier ist:

$$n = 5; e_3 = 3; e_4 = 1; e_7 = 1.$$

Die Einteilung wird vermittelt durch drei geschlossene Curven, welche je einmal durch den siebenfachen Eckpunkt gehen. Die erste umkreist die gerade und die Rundaxe je einmal. Die zweite umkreist die gerade Axe einmal, die Rundaxe keimnal; die dritte umkreist die gerade Axe einmal, die Rundaxe zweimal. Ausserdem ist, um die Einteilung zu vollenden, noch ein vom siebenfachen Eckpunkt ausgehendes Stück desjenigen erzeugenden Kreises K verwendet, welcher einen von der dritten geschlossenen Curve frei bleibenden Winkelraum der beiden ersten halbirt. Statt durch den Scheitelwinkelraum zum siebenfachen Eckpunkt zurückzuführen, gabelt sich diese Curve in zwei Aeste, so dass in dem Scheitelwinkelraum ein Viereck entsteht, von dem das fehlende Kreistück eine Diagonale bilden würde. Die geschlossenen drei Linien sind symmetrisch in bezug auf den durch den siebenfachen Eckpunkt laufenden Ringdurchmesser, der Kreis mit der Gabelung in bezug auf eine durch diesen Durchmesser und die gerade Axe gehende Ebene.

Netz und Schema sind:

1	2 3 4 5
2	1 5 3 4
3	1 5 2 4
4	1 3 2 5
5	1 4 3 2

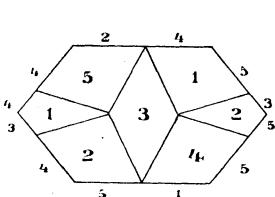


Fig. 8.

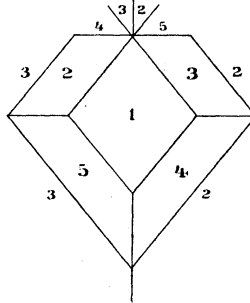


Fig. 9.

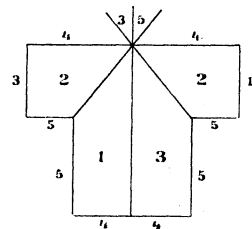


Fig. 10.

Modell Nr. 10 und Nr. 11.

Hier ist

$$n = 5; e_3 = 4; e_8 = 1.$$

Die beiden Modelle sind nicht wesentlich von einander unterschieden, nur dass der achtfache Eckpunkt in beiden Fällen etwas anders constituirt ist.

Bei Modell Nr. 10 wird die Einteilung bewirkt durch den erzeugenden Kreis K, welcher den achtfachen Eckpunkt enthält, eine doppelt durch diesen Eckpunkt gehende Curve, welche die gerade Axe keinmal, die Rundaxe zweimal symmetrisch zu der Ebene von K und dem Ringdurchmesser des achtfachen Eckpunktes umkreist, und eine Curve, welche ebenfalls durch jenen Eckpunkt gehend die gerade Axe dreimal, die Rundaxe einmal umkreist. Von dieser letzten Curve, welche die vorhergehende in vier Punkten schneiden würde, kommen nur zwei Stücke zur Verwendung, welche beide ausserhalb des nämlichen von der zweiten Curve begrenzten Flächenstückes liegen. Diese dritte Curve ist ebenfalls symmetrisch zu dem Ringdurchmesser durch den achtfachen Eckpunkt.

Netz und Schema sind:

1	2 3 4 5
2	1 5 3 4
3	1 2 5 4
4	1 3 2 5
5	1 4 3 2

Modell Nr. 11 entsteht aus dem vorigen, wenn sich das Gebiet 1 vom achtfachen Eckpunkt zurückzieht, und dafür das Gebiet 5 mit einer weitem Polygonecke an jenen Punkt herantritt. Bei der Einteilung fungiren die beiden beim vorigen Modell zuerst genannten Curven ebenfalls wieder, an Stelle der dritten treten 3 Kreise um die gerade Axe, ein Aequatorialkreis und zwei dazu parallele, welche nicht ganz vollständig benötigt werden. Wir setzen nur das Schema her:

1	2 3 4 5
2	1 5 4 3
3	1 2 5 4
4	1 3 2 5
5	1 4 3 2

(Brunn.)

189 c. Carton-Modelle von symmetrischen Riemann'schen Flächen nach Angabe von Prof. **Dyck**, technische Hochschule München.

Herr Klein hat in seiner Schrift über „Riemanns Theorie der algebraischen Functionen“ und in zwei Noten „Ueber die conforme Abbildung von Flächen“ und „Ueber eindeutige Functionen mit linearen Transformationen in sich“ *Annalen* XIX. p. 159 und 565, auf die Classification der symmetrischen Riemann'schen Flächen nach ihren „Symmetrielinien“ hingewiesen und gezeigt, dass orthosymmetrische Flächen vom „Geschlechte p“ stets

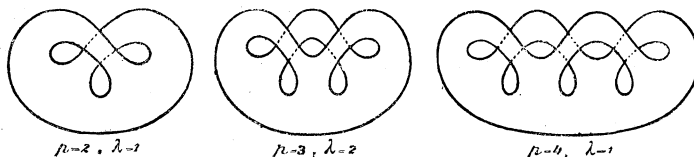
$$\lambda = 1, 3, 5 \dots p + 1$$

Symmetrielinien, wenn p gerade, und

$$\lambda = 2, 4, 6 \dots p + 1$$

Symmetrielinien, wenn p ungerade, besitzen. Herr *Weichold* hat in seiner Dissertation „Ueber symmetrische *Riemann'sche* Flächen“ (*Schlömilch's Zeitschr.* Bd. 28) typische Gestalten für diese Flächen aufgestellt, in denen jene Symmetrielinien für eine Orthogonalprojection als

Umriss auftreten, aber so, dass ausser diesen die Fläche noch weitere (zu einander symmetrisch gelegene) Umrisscurven besitzt. Es liegt die Frage nahe, ob es nicht gelingt, derartige typische Gestalten aufzustellen, für welche jene Symmetrielinien als der alleinige Umriss auftreten, so also, dass alle jene Flächen wieder durch doppelte Ueberdeckung eines



mehrfach zusammenhängenden ebenen Flächenstücks vorgestellt werden können. Dies gelingt in der That auf die einfachste Weise. Die Figuren zeigen die extremsten Fälle, in denen also die Anzahl der Umrisscurven $\lambda = 1$ bzw. $\lambda = 2$ ist, für Flächen vom Geschlechte 2, 3, 4, aus welchen sich sofort alle übrigen analogen Darstellungen ergeben. Fig. 1 ist dabei die schon von *Riemann* in der Theorie der *Abel'schen* Functionen (Werke pag. 89) angewandte Figur. (Dyck.)

189 d. Mosaikanordnungen von 24 gleichschenkligh-rechtwinkligen Dreiecken von P. A. **Mac Mahon**, F. R. S. London.

Mosaikanordnungen gebildet aus den 24 gleichschenkligh-rechtwinkligen Dreiecken, welche man erhält, wenn man vier Farben auf alle Weisen je längs der drei Seiten verteilt. (Zwei Tafeln und ein Satz zugehöriger Steine.) (Mac Mahon.)

O. Modelle zur Liniengeometrie.

199 a. Modell von Seidenfäden in Drahtgestell über das Cylindroid oder das Plücker'sche Conoid. Construiert und ausgeführt in dem **Seminar für darstellende Geometrie an der Technischen Hochschule in Karlsruhe** unter Leitung des Prof. **Chr. Wiener** von dem Studirenden und Assistenten **Tesch**, 1890.

Diese Fläche ist eine windschiefe Fläche 3. Grades, deren 3 Leitlinien sind: 1. Die Axe eines Umdrehungscylinders, 2. die unendlich ferne Gerade einer auf dieser Axe senkrechten Ebene, 3. eine Curve auf diesem Cylinder, welche durch die Abwicklung des Cylinders zu den 2 Gängen einer Cosinuslinie wird, deren (durch die Wendepunkte gehende) Axe senkrecht auf den Erzeugenden des Cylinders steht. Diese krumme Leitlinie ist durch einen Draht dargestellt und jede Erzeugende durch einen Faden, welcher 2 gegenüberstehende Punkte der krummen Leitlinie verbindet und die Axe des Cylinders senkrecht schneidet. Die Axe des Cylinders ist eine Doppellinie der Fläche. Die krumme Leitlinie ist eine Curve 4. Ordnung, durch welche ausser dem doppelt zu zählenden Umdrehungscylinder 2 congruente parabolische Cylinder gehen, deren Erzeugende mit den aufeinander senkrechten (am weitesten von einander entfernten) Scheitelerzeugenden der Fläche parallel sind. (Chr. Wiener.)

P. Modelle und Zeichnungen zur Krümmungstheorie.

Geodätische Linien.

214a. Eine Rotationsfläche 4. Grades, deren geodätische Linien algebraisch sind. Ausgeführt von Assistent **G. Diem** im **Math. Institut der technischen Hochschule München.**

Jules Tannery discutirt in den Melanges des „Bulletin des Sciences Mathématiques“ 1892 I. Teil, p. 190 die Rotationsfläche 4. Grades:

$16 a^2 (x^2 + y^2) = z^2 (2 a^2 - z^2)$, die er aus der Note XV von Darboux über geodätische Linien in dem Traité de Mécanique von Despeyroux ableitet.

Die Fläche liegt symmetrisch gegen die XY-Ebene, der eine Teil derselben ist durch das birnförmige Modell dargestellt. Die geodätischen Linien auf der Fläche sind geschlossen, algebraisch und von gleicher Länge. Sie haben die Form einer 8. Im Grenzfall gehen sie in den Meridian, resp. grössten Parallelkreis über, dessen Umfang also halb so gross ist als der Meridian der dargestellten Fläche.

Die Fläche hat in Parameterform die Gleichung:

$$x = \frac{a}{4} \cos u \cos \vartheta \quad y = \frac{a}{4} \cos u \sin \vartheta \quad z = a \left(1 - \cos \frac{u}{2} + \sin \frac{u}{2} \right)$$

Für die geodätischen Linien besteht folgende Beziehung zwischen ϑ und u .

$$\sin (\vartheta - \alpha) = \frac{\sqrt{\sin^2 \alpha - \sin^2 u}}{\sin^2 \alpha} \cdot \frac{2 \sin u - \sin^2 \alpha (1 + \sin u)}{\cos u (1 - \sin u)},$$

wobei α der Winkel ist, unter welchem die geodätische Linie den grössten Parallelkreis schneidet.

Legt man einen Papierstreifen von nicht zu grosser Breite so auf die Fläche, dass er sich ihr ohne Widerstand möglichst anschmiegt, so nimmt er die Form einer geodätischen Linie der Fläche an.

(G. Diem.)

Abwicklung zweier Flächen auf einander.

215a. Schraubenfläche und drei darauf und auf einander abrollbare Rotationshyperboloide. Hergestellt im **Math. Institut der techn. Hochschule München.** (Prof. Dyck.)

Die „windschiefe Schraubenfläche“ $z = c \cdot \text{arc. tg } \frac{y}{x}$ und die Hyperboloide $\frac{x^2 + y^2}{a^2} - \frac{z^2}{c^2} - 1 = 0$ haben in den Punkten ihrer geraden Erzeugenden, welche gleich weit von der Axe bez. vom Kehlkreis abstehen, gleiches Krümmungsmass. Sie lassen sich daher auf einander abrollen — aber, wegen der Verschiedenheit der Winkel der auf beiden Flächen correspondirenden Systeme der Erzeugenden und Schraubenlinien bez. Erzeugenden und Parallelkreise, nicht ineinander verbiegen.

215 b. Zwei Modelle von Hyperboloidschraubenrädern. Angefertigt im mechanischen Institut von **J. Schröder** in Darmstadt; aus der **Kinematischen Sammlung der technischen Hochschule München.**

Die Modelle stellen das Abrollen je zweier Hyperboloide, (für welche die Constante c der obigen Gleichung (215a) auf einander dar. Beim ersten Modell sind die Zahnräder je im Kehlkreis der Hyperboloide eingesetzt, beim zweiten auf zwei beliebigen Parallelkreisen. Die Modelle lassen insbesondere deutlich erkennen, wie bei der Abwicklung stets correspondirende Punkte der beiden Flächen dadurch zur Deckung kommen, dass die beiden Kehlkreise, (welche in diesem Falle die Strictionlinie bilden) auf einander rollen; so wird ein Abrollen um, und ein gleichzeitig Verschieben längs der Erzeugenden („Schroten“) bewirkt.

Minimalflächen.

225. Minimalfläche fünfter Classe, 1880 modellirt von Schilling.

Zu den auf pag. 297 des Hauptkataloges gemachten Angaben ist noch nachzutragen, dass die modellirte Fläche gerade die von **Henneberg** (Inauguraldissertation) zuerst aufgestellte Fläche ist.

Q. Singuläre Vorkommnisse bei Curven und Flächen.

232. 10 Tafeln über die gestaltlichen Verhältnisse der durch eine Differentialgleichung erster Ordnung zwischen zwei Variablen definirten Curvensysteme. Von Prof. **W. Dyck**, techn. Hochschule München.

Übersichtstabelle.

Die Tafeln geben die verschiedenen Typen der singulären Stellen nach der in Tafel I enthaltenen Übersicht.

Singuläre Stellen für $F(x, y, y') = 0$.

Tafel II: Typen der wesentlich singulären Stellen von $F(x, y, y') = 0$.

$$M = \begin{vmatrix} F_{11} + 2y'F_{12} + y'^2F_{22} & F_{13} + y'F_{23} + F_2 \\ F_{13} + y'F_{23} & F_{33} \end{vmatrix} \quad \begin{array}{c|c|c} M & N & \\ \hline + & + & P_0 \\ \hline + & - & P_\infty \\ \hline - & - & P_2 \end{array}$$

$$N = 4M - F_2^2$$

Diese 3 Typen können aus den in den oberen Figuren dargestellten singulären Stellen für eine lineare Differentialgleichung erster Ordnung durch quadratische Transformation erhalten werden.

Tafel III: Ausserwesentlich singuläre Stellen von $F(x, y, y') = 0$, bez. $\Phi(x, y, c) = 0$.

$$F = 0, F_3 = 0, F_{33} = 0; \quad \Phi = 0, \Phi_3 = 0, \Phi_{33} = 0.$$

Übergangsformen für $F(x, y, y') - k = 0$.

Diese Tafeln zeigen die Veränderungen, welche ein durch eine Differentialgleichung erster Ordnung definirtes Curvensystem erleidet bei Aenderung der Constanten der Differentialgleichung.

Tafel IV—VI: Zusammenrücken wesentlich singulärer Stellen:

$$F(x, y, y') - k = 0; F_1 = 0, F_2 = 0, F_3 = 0$$

M	F ₃₃	F _{ik}	
+	+		Tafel IV Fig. 1
-	-		Tafel IV „ 2 a b c
+	-		Tafel V „ a b c
-	-		Tafel VI „ a b c

Tafel VII und VIII: Zusammenrücken wesentlich und ausserwesentlich singulärer Stellen:

$$F(x, y, y') - k = 0; F_1 + y' F_2 = 0; F_3 = 0; F_{33} = 0$$

M	N	
+	-	(P _∞) Tafel VII
-	-	(P ₂) Tafel VIII

Tafel IX und X: Zusammenrücken ausserwesentlich singulärer Stellen

$$\text{Tafel IX: } F(x, y, y') - k = 0; F_3 = 0; F_{33} = 0; F_{333} = 0$$

$$\text{Tafel X: } F(x, y, y') - k = 0; F_3 = 0; F_{33} = 0; F_1 F_{32} - F_2 F_{31} = 0.$$

Der genaue Verfolg aller dieser verschiedenen Übergangsformen für eine vorgelegte Differentialgleichung erster Ordnung, in welche ein zweckmässiger Parameter einzuführen ist, gestattet, die gestaltliche Anordnung der Integralcurven für eine solche Gleichung im allmählichen Entstehen anschaulich zu verfolgen.

Vergl. Dyck, Sitzungsber. der math. phys. Cl. d. k. b. Akad. d. W. 1891, 92.

(Dyck.)

232a. Zwei Cartonmodelle zur Theorie der Differentialgleichungen von Privatdocent **H. Brunn**, Univ. München.

Die Modelle veranschaulichen in möglichst einfacher Weise das geometrische Datum einer Differentialgleichung von der Form

$$1) \quad P dx + Q dy + R dz = 0.$$

Vergl. für die weiteren Beziehungen die Aufsätze von *Voss*, Math. Annalen 16 und 23.

Die vorliegenden Anordnungen der durch die Differentialgleichung gegebenen Punkt-Ebenen-Elemente beziehen sich speciell auf die Differentialgleichung

$$2) \quad y dx - x dy + k dz = 0$$

und lassen erkennen (die linke Seite von 2) ist kein totales Differential), wieso die Elemente dieses Nullsystems nicht zu Flächen zusammengefasst werden können.

III. Abteilung.

Angewandte Mathematik.

Erster Abschnitt. Mechanik.

R. Apparate und Modelle zur Demonstration von Sätzen der Dynamik.

233a. Modell zur Erklärung des Parallelogramms der Winkelgeschwindigkeiten, von Prof. **H. Hartl** in Reichenberg (Deutschböhmen.)

Der Apparat versinnlicht die Componenten und die Resultante für die Zusammensetzung zweier Winkelgeschwindigkeiten in der bekannten Weise durch die Zusammensetzung von Strecken nach Grösse und Richtung.

233 b. Zwei Apparate zum Nachweise der Keil-Wirkung von Prof. **H. Hartl** in Reichenberg (Deutschböhmen), ausgeführt und ausgestellt von **M. Kohl**, Werkstätte für Präcisionsmechanik, Chemnitz in S.

Die Apparate bezwecken die Drucke, welche beide Seiten eines Keiles auf die Widerstandsflächen ausüben, zu demonstriren.

Bei dem ersten der Apparate wird der Keil zwischen zwei mit Rollen und Gegengewichten versehenen Winkelhebeln im Gleichgewicht gehalten, bei dem zweiten zwischen zwei Stahlfedern, deren Spannung an getheilten Bögen abgelesen werden kann. Nähere Beschreibung in der Zeitschrift für Instrumentenkunde Bd. 5. 1892.

233 c. Bewegliches Dynamometer, von Prof. **H. Hartl**, Reichenberg, ausgeführt und ausgestellt von **M. Kohl**, Werkstätte für Präcisionsmechanik, Chemnitz i. S.

Das Dynamometer dient zu messenden Versuchen mit constanten und variablen Kräften, insbesondere zu Versuchen an einfachen Maschinen, über die verschiedenen Arten der Reibung, über Stabilität etc. Beschreibung und schematische Darstellung des Apparates liegt bei.

- 233d. Apparat zur Demonstration von Grundgesetzen der Mechanik**, nach Prof. **Weinhold's** Demonstrationen, ausgeführt von **G. Lorenz**, Chemnitz i. S.

Die Apparate beziehen sich auf die Darstellung der Bewegung materieller Pendel, die Erläuterung des Begriffes des Trägheitsmomentes, endlich des stabilen und labilen Gleichgewichtes.

- 234a. Apparat für graphische Darstellung der parabolischen Bewegung** geworfener Körper aus dem mechanischen Institut von **Dr. Stöhrer und Sohn**.

An einer 80 cm breiten und 70 cm hohen, geschwärzten Holztafel ist eine gebogene, bewegliche Röhre, sowie am untern Teile eine ebenfalls verstellbare Röhre mit federndem Kolben angebracht. Der fallende oder geworfene Körper besteht aus einer Kugel von Kreide, welche die durchlaufende Parabel auf der Tafel sichtbar hinterlässt.

- 236a. Apparat zur Erklärung des stabilen und labilen Gleichgewichts** aus dem mechanischen Institut von **Dr. Stöhrer und Sohn**.

Die Kugeln sind verstellbar und können beide nach unten, in gleiche Axe mit dem Unterstützungspunkt, nach oben, oder auch einseitig nach oben oder unten gerichtet werden. Die Aenderung des Gleichgewichts-Verhältnisses je nach der Lage des Unterstützungspunktes zum Schwerpunkt kann mit diesem Apparate erschöpfend demonstriert werden.

- 239a. Apparat zur Ableitung des Begriffes des Trägheitsmomentes**, construirt nach Angabe von Oberlehrer **M. Koppe** in Berlin, verfertigt und ausgestellt von Mechaniker **A. Herbst** in Berlin.

Ein hölzernes Lineal von 1 m Länge schwebt ähnlich einer Compassnadel mittelst eines Hütchens horizontal auf einer Stahlspitze und kann in eine gleichförmig beschleunigte rotirende Bewegung um die Verticale des Aufhängepunktes versetzt werden. Zu dem Zweck ist der das Stahlhütchen aufnehmende, in der Mitte des Lineals über einer Durchbohrung befestigte Cylinder, von 1 cm äusserem Radius, in seinem oberen Teile mit einem Faden mehrmals umwunden, der wagerecht zu einer Rolle geführt und jenseits derselben mit einem Gewicht von 1 gr gespannt wird. Der untere Teil jenes Cylinders ist von vielen, auf das Lineal geschichteten, ringförmigen Gewichten centrisch umgeben, die zusammen 400 gr betragen. Man bestimmt die Zahl der Sekunden, in der das Lineal seinen ersten Umlauf vollendet, und wiederholt diese Bestimmung, nachdem man von den in der Mitte aufgeschichteten Massen entweder 100 gr zu gleichen Teilen nach den beiden Endpunkten oder alle 400 gr nach den Mitten der beiden Arme verschoben hat. Die Umlaufszeit ergibt sich in diesen beiden Fällen gleich gross und zwar viel grösser als zuerst, also ist der verzögernde Einfluss der Masse m in der Entfernung r so gross als der der Masse mr^2 in der Entfernung l . Die Reibung ist hier nicht störend, weil sie bei allen Versuchen gleich gross ist. Ferner ist das Trägheitsmoment eines zu verschiebenden Ringes zwar nicht dasselbe wie das seiner im Mittelpunkte vereinigten Masse, doch begründet dies keinen Einwand gegen die theoretische Grundlage des Apparates, denn der Unterschied ist eine Constante, die mit in das Trägheitsmoment des Lineals eingeht, da immer alle Ringe an der Bewegung teilnehmen. (Genauerer s. in der Ztschr. f. phys. u. chem. Unterr., V. S. 8)

(M. Koppe.)

239b. Pendelvorrichtung zur Bestimmung der Trägheitsmomente ebener Figuren nach Angabe von Prof. **F. Kreuter** aus dem mathematischen Institut von **A. Ott in Kempten**. (1885.)

Die Bestimmung des Trägheitsmomentes beruht auf den bekannten Sätzen: Das Trägheitsmoment eines Körpers T für eine bestimmte Rotationsaxe ist:

$$T = M(a^2 + r^2),$$

wobei a den Abstand des Schwerpunktes von der Axe, r den Trägheitsradius des Körpers für die durch den Schwerpunkt gehende und zur ersten parallelen Axe bezeichnet. Weiter steht r in Beziehung zur Länge l eines einfachen Pendels, welches mit dem zusammengesetzten die gleichen Schwingungen ausführt, durch die Formel

$$l = a + \frac{r^2}{a}$$

Bestimmt man also die Schwingungsdauer des Körpers, indem man eine grössere Zahl kleinerer Schwingungen desselben beobachtet, so lässt sich zunächst die Länge l des entsprechenden einfachen Pendels (nach der Formel: Schwingungsdauer $t = \sqrt{\frac{l}{g}}$) bestimmen und hieraus nach Ermittlung des Abstandes a und der Masse M die Grösse des gesuchten Trägheitsmomentes T .

Die Vorrichtung ist speciell für die Bestimmung von Trägheitsmomenten ebener Figuren bestimmt, welche in Blechschablonen sich genau herstellen lassen und für welche die Ermittlung des Flächeninhaltes am einfachsten durch Wägung erfolgt, während die Bestimmung des Schwerpunktes durch Ausbalanciren auf zwei Zirkelspitzen mit genügender Genauigkeit vorgenommen werden kann. Für die Bestimmung der Schwingungsdauer werden die Schablonen in einer kleinen Klammer befestigt, welche auf zwei Schneiden schwingt. Hierbei ist also noch die Aufhängevorrichtung bei der Bestimmung des Trägheitsmomentes in entsprechender Weise zu berücksichtigen*). Man kann dies umgehen, wenn man, wie Ingenieur *K. Pressel* angibt, die Schablonen einfach auf zwei Nadelspitzen schwingen lässt. Der Apparat lässt dann an Einfachheit nichts zu wünschen übrig.

Die Genauigkeit des Verfahrens steht nach angestellten Versuchsreihen mit der graphischen Methode auf gleicher Stufe; dagegen erfordern sowohl die rechnerische, wie die graphische Bestimmung wesentlich mehr Zeitaufwand, was bei häufig zu wiederholenden Versuchsreihen (wie etwa bei der Prüfung verschiedener Eisenbahnbauarten oder Schienenquerschnitte) nicht unwesentlich ist. Der Zeitaufwand entspricht etwa dem für die Bestimmung durch das Momentenplanimeter erforderlichen. (Bezüglich weiterer Angaben vergleiche man die Zeitschrift des Vereins deutscher Ingenieure Band 29.)

239c. Eisenlohr's Apparat zur Erklärung des Foucault'schen Pendels, ausgestellt von Oberlehrer **M. Koppe** in Berlin.

Der Apparat zeigt, dass die Geschwindigkeit, mit der sich die Schwingungsebene des Foucault'schen Pendels dreht, dem Sinus der geographischen

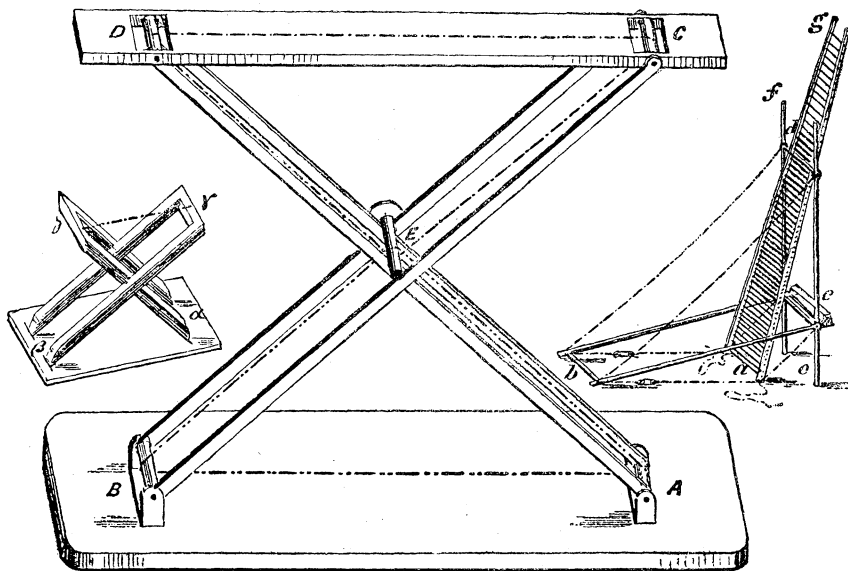
*) Jedem Apparat sind die hierzu nötigen Constanten beigegeben.

Breite proportional sein muss. Die Erde wird durch einen Meridianring dargestellt, längs eines Durchmessers ist eine gespannte Spiralfeder angebracht, die in der Mitte eine Kugel trägt. Während auf eine wirkliche Pendelkugel nur nach oben die Spannung eines Fadens, nach unten aber die Schwere wirkt, sind hier beide Kräfte durch elastische Spannungen ersetzt. Zur Seite gezogen führt die Kugel Pendelschwingungen z. B. in der Ebene des Meridians aus. Der Meridianring kann in einer ihn umschliessenden Führung beliebig festgestellt und mit letzterer leicht um eine verticale durch das Centrum gehende Axe gedreht werden. Ist die Gleichgewichtslage der schwingenden Spirale vertical gestellt, so bleibt die Schwingungsebene absolut fest, während man den Meridianring dreht. Ist die Spirale wagerecht, so bleibt die Lage der Schwingungsebene zu der des Meridians unverändert, bildet die Spirale mit der Wagerechten den Winkel $\varphi = 30^\circ$, so dreht sich die Schwingungsebene um je 45° in Bezug auf die Ebene des Ringes, wenn man letzteren um je 90° dreht. Für $\varphi = 52\frac{1}{2}^\circ$ (Breite von Berlin) entspricht einer Drehung des Ringes um 5 Rechte eine solche der Schwingungsebene um 4 Rechte, so dass nach vollzogener Drehung die Schwingungen wieder in die Ebene des Meridians fallen. (Genauere Angaben in der Zeitschrift für phys. u. chem. Unterr., I, S. 18).

(M. Koppe.)

239d. Mechanische Wippe (Mechanical Rocker) nach Angabe von Prof. Th. Alexander, Trinity College Dublin, und Prof. A. Thomson, Science College Poona.

Ein Rahmen CD (vergl. die Figur) wiegt an zwei Doppelstäben AD und BC hin und her. Die Drehpunkte A und B liegen horizontal und es ist $AB = CD$. In dem ausgestellten Modell ist ferner $BD < BA$. Das Gleichgewicht ist stabil, wenn CD horizontal liegt, und der Mechanismus



wiegt sich um diese Gleichgewichtslage mit einer Schwingungsdauer von ungefähr 1". Verschiebt man den Apparat so, dass der \sphericalangle DEC \sphericalangle R wird so kippt der Apparat um.

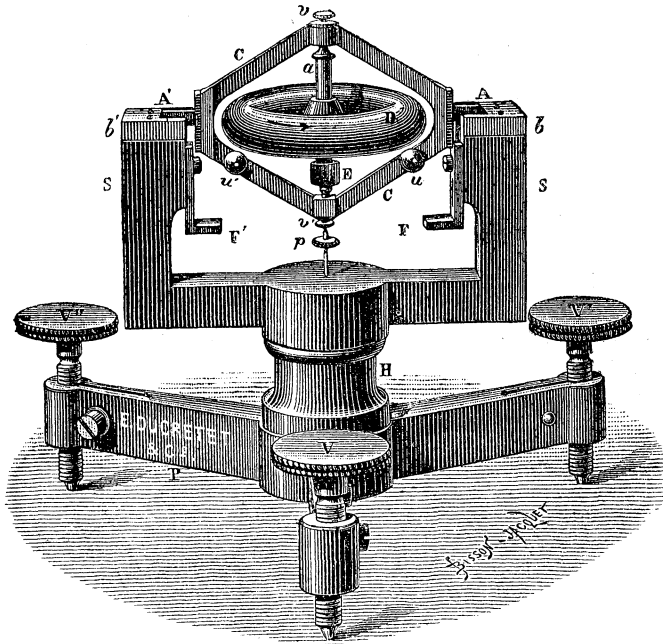
Die Periode für kleine Schwingungen hat Prof. Sarledon, University of Dublin, untersucht. Der Mechanismus wird angewendet für Beleuchtungsgerüste und als Rettungsleiter. Da der Schwerpunkt des ganzen Mechanismus sich nahezu in gerader Linie (genauer einem Stücke der Fusspunktscurve einer Ellipse) bewegt, so ist die zum Hinaufbefördern von Menschen und Material aufzuwendende Arbeit ein Minimum. Durch eine geeignete Verbindung mit einer Kette ohne Ende und einer Winde kann ein Mann sich selbst hinauf- und herablassen. Eine andere Form der Wippe lässt sich zur Bestimmung der Erschütterung bei Erdstößen verwenden. Eine Anzahl kleiner Wippen von verschiedener Schwingungsdauer wird auf einem steinernen Pfeiler aufgestellt; die Schwingungen derjenigen Wippen, für welche die Amplitude mit den Erschütterungen der Erdstöße zusammenfällt, werden vergrößert, die anderen schwanken nur wenig wegen der eintretenden Interferenzen. Noch eine andere Form für die labile Gleichgewichtslage kann als Auslöseapparat dienen. Der erste Stoss bewirkt die Bewegung des Apparates und kann so einen elektrischen Contact oder eine Selbstregistriermaschine auslösen. (Die ausgestellten Modelle sind Eigentum der kgl. irischen Akademie, die ausführliche Beschreibung findet sich in den Transactions derselben, Band 29, Teil 19.)

(Th. Alexander und A. Thomson.)

239e. Zwei Kreisel mit Glastafel und Zeichenvorrichtung zur Darstellung der Nutation von **Schmidt** in Dresden, ausgestellt von **G. Lorenz**, Chemnitz.

239f. Einfaches und doppeltes Barogyroscop zur Demonstration der Erd-drehung von **Th. Gilbert**, weiland Professor an der Universität Löwen, ausgestellt von der **Universität Löwen**.

Das Gyroscop besteht aus einem Ringe D (vergl. die Figur) aus Bronze; die Stahlaxe a desselben ist mit konischen Spitzen in zwei Schrauben v, v' eingesetzt, welche ihrerseits in den aus englischem Stahl hergestellten Rahmen C C' eingelassen sind. Der Rahmen C C' ruht auf zwei Schneiden A, A' in der Höhlung zweier cylindrischer Flächen aus gehärtetem Stahl. Das System D C ist mit möglichster Genauigkeit symmetrisch zur Hauptebene des Ringes, welche gleichzeitig durch die Kanten der beiden Schneiden hindurchgeht, hergestellt; seine Beweglichkeit um die Schneiden ist so gross, dass ein leiser Hauch genügt, um Oscillationen hervorzurufen. Durch Verstellen der Schrauben v, v' und der kleinen beweglichen Massen u, u' lässt sich durch successives Probiren erreichen, dass der Schwerpunkt des Ringes und des Rahmens sich auf der Aufhängungsaxe (der Linie der Schneiden) befindet, so dass das System sich möglichst nahe in indifferentem Gleichgewichte um diese Axe befindet. Mit Hilfe des kleinen Laufgewichtes p, welches mit starker Reibung längs einer in den Kopf der unteren Schraube v' eingesetzten Nadel gleitet, wird sodann erreicht, dass diese Nadel und die Ringaxe in verticaler Lage in stabilem Gleichgewicht sich befindet, solange der Ring D in Ruhe ist, wo-



von man sich dadurch überzeugt, dass man das System um die Aufhängeaxe pendeln lässt.

Die Lager S für die Schneiden werden derart auf einen Fuss H aufgesetzt, dass sie sich mit starker Reibung um eine verticale Axe drehen lassen, so dass man die Verticalebene durch die Aufhängeaxe successive in jeden Meridian einstellen kann. Endlich sind auf dem Träger S zwei Gabeln F, F' angebracht, um die Schneiden aufzulegen und dann genau in ihre Lager einsetzen zu können. Auf der Axe des Ringes ist ein stählernes Zahnrad E eingesetzt, welches in Verbindung mit einem Rädermechanismus oder einem Foucault'schen Triebwerk dazu dient, den Ring in eine möglichst rasche Rotation (ungefähr 150 Umdrehungen pro Secunde) zu versetzen.

Hat man Hilfe der Stellschrauben V V' V'' die Aufhängeaxe horizontal gestellt, so nimmt man den Ring mit seinem Rahmen vom Apparat weg und setzt den Ring in bestimmtem Sinn mit Hilfe des Rotationsapparates in Bewegung. Hierauf bringt man das System (mit Hilfe des Gabelführers) auf seine Lager und überlässt es sich selbst. Es zeigt sich dann, dass im Allgemeinen die Nadel des Gyroscopes von ihrer verticalen Lage abgelenkt wird. Die theoretische Discussion der Anordnung ergibt die folgende Formel für den Ablenkungswinkel E der Nadel (Richtung der Ringaxe) von der Verticalen:

$$\operatorname{tg} E = \frac{C \omega n \cos L \cos \alpha}{g \mu \delta - C \omega n \sin L'}$$

dabei bedeutet C das Trägheitsmoment des Ringes mit Bezug auf die Axe μ die Masse des kleinen Laufgewichtes, δ dessen Entfernung vom Schwer-

punkte O von Ring und Rahmen, ω die Rotationsgeschwindigkeit des Planeten, n die Rotationsgeschwindigkeit des Ringes, L die Polhöhe des Ortes, α den Winkel der Linie der Schneide mit der Meridianebene im Sinne des Uhrzeigers gezählt. Man erkennt die in dieser Formel liegenden Resultate durch folgende Erscheinungen am Instrument:

1) Die Gleichgewichtslage von Ring und Rahmen entspricht nicht mehr im allgemeinen einer verticalen Nadelstellung, wie bei ruhendem Ringe, vielmehr hat das Maximum der Abweichung statt, wenn die Schwingungsebene der Nadel mit der Meridianebene zusammenfällt. Die Nadel wird sich mit abnehmender Schwingung gegen Norden oder Süden drehen, je nachdem der Ring von oben betrachtet im Sinne des Uhrzeigers oder entgegengesetzt rotirt; dabei ist unter gleichen Umständen die Nadelablenkung im zweiten Falle geringer als im ersten, wie sich auch aus der obigen Formel ergibt, in welcher der Nenner für den ersten Fall eine Differenz, für den zweiten Fall eine Summe ist.

2) Steht die Schwingungsebene der Ringaxe senkrecht auf der Meridianebene, dann ist die Gleichgewichtslage der Nadel wieder vertical wie bei ruhendem Ring, gleichviel in welchem Sinne derselbe rotirt. Man bewerkstelligt diese Wechsel des Azimutes für die Schwingungsebene auch während des Versuches, indem man das Lager S auf seinem Fusse dreht. Dabei muss man sich aber hüten, die Schneide zu verschieben und vor allem darf man das Lager nicht im entgegengesetzten Sinne der Rotation des Ringes drehen, was unmittelbar das ganze System zum Kippen bringen würde.

3) In den zwischenliegenden Azimuten stellt sich die Nadel in eine zwischen den Extremen liegende Gleichgewichtslage.

4) Die Neigung der Nadel wird, wie aus der obigen Formel folgt, um so stärker, je geschwinder der Ring rotirt, je grösser sein Durchmesser ist, je kleiner die Polhöhe des Ortes, je geringer die Distanz δ des Laufgewichtes vom Schwerpunkt O .

5) Wie aus der Formel folgt, ist die Nadelablenkung gegen die Verticale unabhängig von der Masse des Rahmens, aber die Schwingungsdauer der Nadel ist davon beeinflusst. Diese Schwingungsdauer muss soviel wie möglich abgekürzt werden, um den Apparat möglichst empfindlich zu machen. Man muss daher 1) das System so beweglich wie möglich um die Schwingungsaxe machen, was durch die Schneidenaufhängung am besten hergestellt wird. 2) Ist der Rahmen möglichst leicht herzustellen und möglichst die Zufügung weiterer von der Aufhängungsaxe entfernter Massen zu vermeiden. 3) Der Ring muss einen möglichst grossen Durchmesser erhalten und die Rotationsgeschwindigkeiten n so gross wie möglich gemacht werden.

Durch allmähliche Versuche erhält man die günstigsten Anordnungen und so wurde auch bei der Construction des vorliegenden Apparates verfahren. Als Beispiel sei angeführt (Längeneinheit in dm):

Ring: Radius des erzeugenden Kreises = 0,1; Entfernung seines Mittelpunktes von der Ringaxe = 0,35; Dicke der eingeschalteten Mittelebene = 0,04; Radius der Axe = 0,03; Länge der Axe = 0,6;

Rahmen: Diagonale = 0,8; 1,2; Dimensionen im Querschnitt = 0,07; 0,04;

Laufgewicht: Durchmesser = 0,08; Höhe 0,02; $\delta = 0,5$;
 Dichtigkeitsverhältnis zwischen Stahl und Bronze 0,8965; $n = 1256,637$
 (200 Touren in 1" ; $\omega = 0,000073$; $L = 48^{\circ}50'39''$.

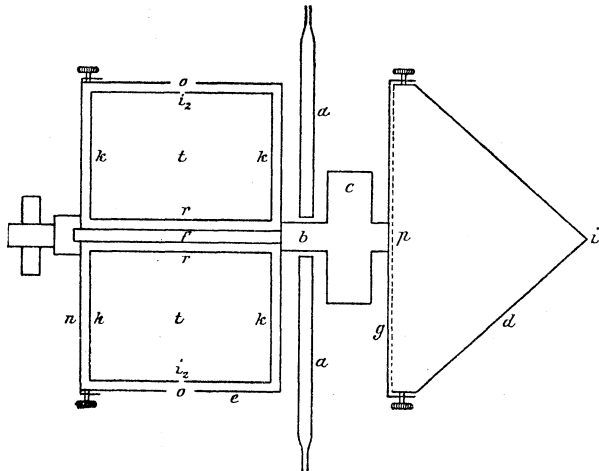
Resultat: Ablenkung $E = 7^{\circ}37'10''$; Schwingungsdauer der Nadel $I = 3'',76$.

Das zweite der Instrumente ist die Verdoppelung des ersten. Die beiden auf einem Rahmen aufgesetzten Ringe lassen sich durch die Antriebsvorrichtung in gleicher Richtung mit gleicher Geschwindigkeit in Rotation versetzen.

Die ausgestellten Instrumente sind vom Mechaniker *E. Ducrctet & Co.* in Paris construirt und gestatten mit ziemlicher Exactheit die Beobachtung der angegebenen Erscheinungen.

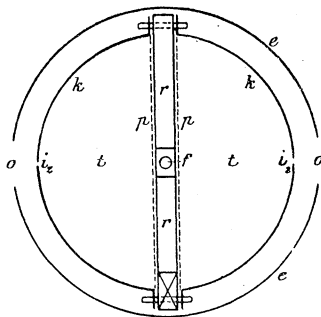
(Auszug aus dem Aufsätze: „Mémoire sur l'application de la méthode de Langrange à divers Problèmes de mouvement relatif par *Ph. Gilbert* Professeur à l'université catholique de Louvain“ in „Annales de la société scientifique de Bruxelles“ 7. Jahrgang 1882–83, pag. 66, 77 u. ff.)

239 g. Vorrichtung zur photographischen Wiedergabe der Präcessionsbewegung, insbesondere bei der Geschossbewegung. Von Prof. Neesen, Artillerieschule Berlin.



In dem letzten Ringe des Bohnenbergerschen Apparates ist eine Axe a gelagert, durch welche, drehbar in ihr gelagert, die Axe b der photographischen Einrichtung hindurchgeht. Auf b ist ausser einer Schnurrolle c, die zur Drehung von b mittelst Schnurabziehen dient, eine Platte g befestigt. Ein kegelförmiger Deckel d mit einer kleinen Öffnung i in der Spitze wird auf g gesetzt und hält eine photographische Platte p (aus Bromsilber-Gelatine) fest. An der anderen Seite der Axe ist eine Trommel e mit zwei diametral gegenüberliegenden Öffnungen o angebracht. Ein Deckel n verschliesst die Trommel. Auf einem Stifte f im Innern der Trommel ist lose

gelagert eine zweite Trommel t bestehend aus einem Rahmen r , auf welchen durch 3 Schraubenbolzen zwei cylindrische Kappen k befestigt werden. Jede dieser Kappen hat eine kleine Öffnung i . Durch das Aufsetzen der Kappen k werden gleichzeitig zwei photographische Platten auf r festgeklemmt. Die Trommel t ist möglichst leicht und ihr Schwerpunkt durch seitliche Belastung möglichst weit aus der Lage der Axe f herausgerückt. Durch eine besondere Vorrichtung lässt sich die Trommel t mit der umgebenden Trommel kuppeln. Wird nun die Axe b in Rotation gesetzt und der Apparat so gestellt, dass die Sonnenstrahlen durch i auf die Platte p fallen, so bildet sich, wenn die Axe keine Präcessionsbewegung macht, ein Kreis. Schwankt die Axe aber hin und her, so entsteht statt des Kreises eine Spirale. Lässt man die Sonnenstrahlen seitlich auf die Öffnungen o fallen, so entstehen, wenn die beiden Trommeln t und e gekuppelt sind, auf jeder der beiden, den



Öffnungen i gegenüberliegenden photographischen Platten eine Ellipse, wenn Axe b nicht schwankt. Schwankt b hin und her, so entstehen eine Reihe conaxialer Ellipsenzüge. Wird nun die Kuppelung zwischen den beiden Trommeln gelöst, so dass die Trommel t nicht mit rotirt, und lässt man die Sonnenstrahlen wieder seitlich durch i fallen, so wird auf der einen Platte p nichts gezeichnet zum Beweise, dass Trommel t wirklich nicht an der

Drehung teilgenommen hat. Auf der den Sonnenstrahlen zugewandten Platte p entstehen Punkte — bei jeder halben Umdrehung einer. — Aus der Lage dieser Punkte kann die Schwankung der Axe bestimmt werden.

Eine ähnliche Einrichtung im Innern eines Geschosses angebracht, erlaubt die konische Pendelung der Geschossaxe zu verfolgen.

Vergl. hiezu den Aufsatz „Photographische Aufzeichnung und Theorie der Geschosspendelung“, und Archiv für Artillerie- und Ingenieuroffiziere 1889, S. 68. (Neesen.)

240a. Apparat zur Veranschaulichung der Erhaltung des Schwerpunktes, beziehungsweise des Beschleunigungsdruckes. Kinematische Sammlung der technischen Hochschule München.

Ein Wagen bewegt sich frei auf einem Geleise; auf dem Wagen ist ein Schubkurbelgetriebe angebracht, an dessen Triebstange sich grosse Massen befinden. Das Schubkurbelgetriebe kann mittelst einer Radübertragung von einem festen Rade aus in Bewegung gesetzt werden. Dabei gerät der Wagen in eine oscillirende Bewegung, der durch die Bewegung des Kurbelgetriebes bewirkten Verschiebung des Schwerpunktes entsprechend. Durch Festhalten des Wagens lässt sich der Beschleunigungsdruck demonstrieren. Auf dem Schwungrade des Kurbelgetriebes können Bleisegmente angebracht werden, welche die Verschiebung des Schwerpunktes aufheben.

240b. A. Toepler's Vorlesungsapparat zur Statik und Dynamik starrer Körper, construirt von Mechaniker **Leuner**, technische Hochschule Dresden.

Die Construction dieses Apparates ist aus dem Bedürfnis nach einem einzigen, bequemen Hilfsmittel entstanden, welches eine ausgiebigere experimentelle Behandlung einzelner Abschnitte der Mechanik ermöglicht, als die hierzu gewöhnlich gebräuchlichen Apparate gestatten. Die nachfolgende Beschreibung des *Toepler'schen* Vorlesungsapparates, welcher die Aufzählung einer Reihe der damit ausführbaren wichtigsten Experimente angefügt ist, lehnt sich an die von Dr. *R. Hennig*, in der Zeitschrift für physikalischen und chemischen Unterricht, Jahrgang 1888, Seite 137—148 gegebene, mit vielen Figuren ausgestattete, an. Dieser Arbeit, auf welche zur weiteren Orientirung ausdrücklich verwiesen wird, sind auch die hier

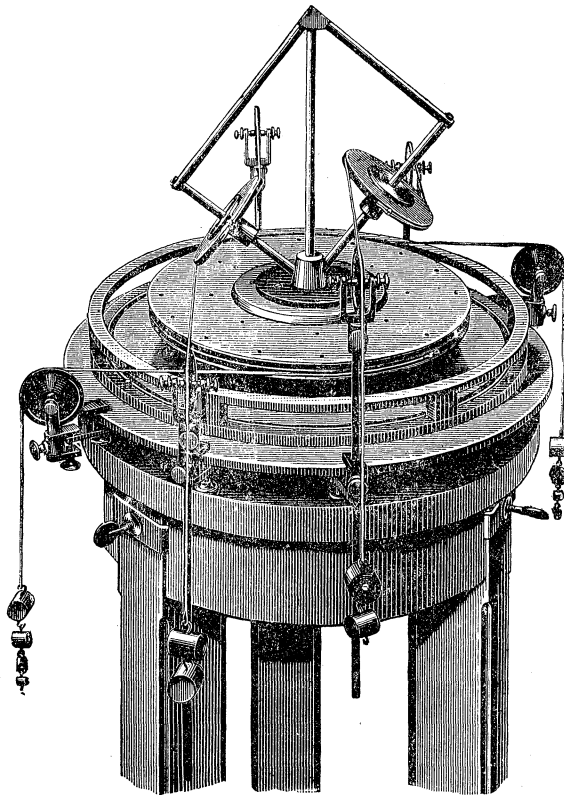


Fig. 1.

beigegebenen fünf Figuren entnommen worden. Von diesen gibt Fig. 1 eine perspectivische Ansicht des ganzen, für einen bestimmten Versuch eingestellten Apparates, Fig. 2 einen Verticalschnitt durch die Hauptbestandteile desselben, die Fig. 3—5 zeigen Versuchsanordnungen in schematischer Darstellung. Die der folgenden Beschreibung eingefügten Buchstaben beziehen sich auf Fig. 2.

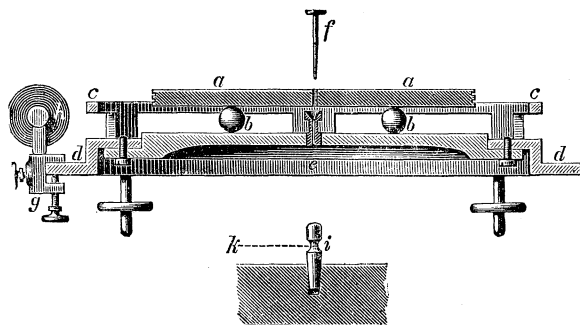


Fig 2.

Der Apparat besteht im Wesentlichen aus einer schweren, gusseisernen Kreisscheibe (a, Fig. 2), die mittelst dreier, genau gleich grosser Hartbronzekugeln, von denen in der Figur nur zwei (b) sichtbar sind, auf einer horizontalen Unterlagsplatte (d e d) ruht und auf ihr beliebig bewegt werden kann.

Die Kreisscheibe von grosser Masse (etwa 14 kg) enthält an ihrer Oberfläche, wie aus Fig. 1 zu ersehen ist, eine grosse Anzahl geeignet angeordneter und nummerirter conischer Löcher, in denen durch Gewichte gespannte Fäden befestigt werden können, welche die auf die Scheibe wirkenden Kräfte darstellen. Die Befestigung geschieht rasch und sicher mittelst kleiner, conischer Stöpsel, von denen einer bei i unter Fig. 2 etwas grösser abgebildet ist. Um den verjüngten Hals des Stöpsels wird eine aus der Ferne gut sichtbare, genügend starke, weiche, weisse Seidenschur (k) mit einer Schlinge gelegt und mittelst Leitrolle (h) und Gewicht gespannt. Ein besonderer stärkerer Stöpsel ist für das Centrum der Guss-eisenscheibe bestimmt. Diese ist daselbst durchbohrt; durch die Oeffnung kann ein Centrirstift (f) in die gleichfalls durchbohrte Mitte der Unterlagsplatte eingesteckt werden, so dass die Scheibe nur noch Drehbewegungen um ihren Mittelpunkt auszuführen vermag. Um der frei beweglichen Scheibe constante Drehmomente erteilen zu können, enthält deren Rand zwei eingedrehte rechtwinklige Rillen, in welche belastete Fäden einzu-legen sind.

Die Unterlagsplatte ist gleichfalls aus Gusseisen hergestellt und besteht aus zwei durch Schrauben verbundenen concentrischen Theilen, deren innerer — gleichwie die Kreisscheibe an ihrer unteren Seite — eine eingekittete Spiegelglasscheibe besitzt, um die Beweglichkeit der Kugeln durch Verminderung des Reibungswiderstandes möglichst gross zu machen. In der Mitte (bei e, Fig. 2) ist ein conisch ausgebohrter Messingcylinder eingeschraubt, der als Lager für den Centrirstift (f) dient, und dessen oberer Theil trichterförmig ausgeweitet ist, um ein leichteres Centriren der Kreisscheibe zu gestatten. Die Unterlagsplatte ist mit einer geländerartigen Umrandung (c) versehen, welche die Bewegung der Kreisscheibe begrenzt, aber den Zwischenraum zwischen Scheibe und Platte bequem zugänglich lässt. Die Oberfläche dieser Umrandung trägt eine von 5° zu 5° fortschreitende Kreis- theilung, das untere Ende läuft in eine horizontale Flansche (d) aus. Drei

durch die letztere geführte Fusschrauben ermöglichen es schliesslich, auf fester Unterlage die Oberfläche der eingesetzten Spiegelglasscheibe mit Hilfe einer feinen Libelle genau horizontal zu stellen und so die bewegliche Scheibe der directen Einwirkung der Schwerkraft zu entziehen. Ausser den beiden Hauptteilen gehören zum bequemen und vielseitigen Gebrauche des Apparates verschiedene Nebenbestandteile. Als solche sind zu nennen:

1. Ein $\frac{1}{2}$ Dutzend zur Führung der belasteten Fäden dienende Leitrollen (h, Fig. 2), die mittelst Schraubzwingen (g) auf der Flansche (d) der Unterlagsplatte befestigt werden. Die aus Rotguss leichtgearbeiteten Rollen sind frei um eine horizontale Axe, ausserdem aber auch nach Lüftung einer Schraube um eine verticale Axe in der Schraubzwinde (g) bewegbar, und lassen sich im Bedarfsfalle mittelst in die Schraubzwingen eingefügter verticaler Verlängerungsstangen in beliebiger Höhe, sowie mit Hilfe horizontaler eiserner Schienen, die dann ihrerseits am Rande der Unterlagsplatte festgeschraubt werden, in grösserem Horizontalabstande am Apparate befestigen.

2. Zwei Klammern aus Messing, die am Geländer des Apparates (c, Fig. 2) festgeschraubt werden können und deren hervorragendes Ende mit einem Stifte in ein Loch der Kreisscheibe eingreift. Durch Verwendung von zwei solchen Klammern wird die starre Verbindung der Scheibe mit der Unterlagsplatte bewirkt, die zur Vorbereitung der meisten Versuche notwendig oder doch zweckmässig ist.

3. Zwei eiserne Lenkerstangen, die den Zweck haben, der Kreisscheibe Zwangsführungen zu erteilen, so dass dieselbe nur noch ganz bestimmte Bewegungen auszuführen vermag. Diese mit Löchern versehenen Lenkerstangen sind an einem Ende um verticale Axen drehbar, die mit Schraubzwingen am Rande der Unterlagsplatte zu befestigen sind; das andere Ende greift mit einem drehbaren Stifte in ein Loch der Kreisscheibe ein.

4. Zwei Kreisscheiben verschiedenen Durchmessers aus hartem Holze, mit Nuten am Rande zur Aufnahme von zu belastenden Fäden. Diese Holzscheiben sind in der Mitte durchbohrt, um den Centringsstift durchzulassen; sie sind in horizontaler Lage auf die Kreisscheibe aufzustecken und gestatten dann leicht die Anbringung von Kräftepaaren mit constantem Drehmomente.

5. Eine grosse Anzahl Gewichtsstücke, von denen jedes, wie aus Fig. 1 zu ersehen, zwei Haken besitzt, so dass dieselben an einander angehakt und in beliebigen Gruppen gemeinschaftlich an die Fäden gehängt werden können.

6. Eine hölzerne zangenartige Stellvorrichtung, mit deren Hilfe die drei Bronzekugeln zweckmässig so angeordnet werden können, dass sie die Eckpunkte eines gleichseitigen Dreiecks, dessen Mittelpunkt in der Durchbohrung der Unterlagsplatte liegt, bilden.

7. Ein Parallellineal, um die durch Gewichte gespannten Fäden eventuell schnell parallel stellen zu können.

Dem ganzen Apparate werden zur Demonstration bestimmter Sätze der Mechanik noch besondere Nebenapparate beigegeben, die auf einer eisernen Platte montirt sind und mit zwei an derselben befindlichen Stiften in zwei der conischen Löcher der Kreisscheibe passen, wodurch die Verbindung mit der Kreisscheibe hergestellt wird. Als solche sind zu nennen

1. Ein eiserner Aufsatz zur Demonstration der räumlichen Zusammensetzung von Kräftepaaren. Dieser in Figur 1 in Verbindung mit dem ganzen Apparat abgebildete Aufsatz ist im Wesentlichen ein Parallelogramm aus quadratischen Eisenstäben, auf dessen Seiten sich gleichgrosse Kreisscheiben aus Hartgummi verschieben lassen, um die Ebenen der wirkenden Kräftepaare parallel vorrücken zu können. Eine obensogrosse dritte Hartgummischeibe ist unten an der Aufsatzscheibe senkrecht zur Diagonale des Parallelogramms angebracht.

2. Ein Apparat zur Demonstration des Satzes von der Erhaltung der Flächen.

In das Centrum der eisernen, mit der Kreisscheibe eine starr zusammenhängende Masse bildenden runden Unterlagsscheibe dieses Nebenapparates ist ein massiver Zapfen eingelassen, auf dem oben mit Spitze, fast ohne Reibung, ein eisernes Schwungrad horizontal gelagert ist. Diese letztere leicht bewegbare Masse ist mit der der Kreisscheibe durch eine am Zapfen der Aufsatzscheibe befestigte Spiralfeder verbunden, durch welche sie gegen die untere Masse der Kreisscheibe relativ in Bewegung gesetzt werden kann. Die Kreisscheibe enthält alsdann immer die entgegengesetzte Drehung, wie dies nach dem Flächengesetz geschehen muss.

3. Ein Apparat zur Demonstration des Satzes von der Erhaltung des Schwerpunktes. Die eiserne Unterlagsplatte desselben besitzt zwei parallele Schienen, auf denen längs eines Durchmessers der Kreisscheibe eine mit vier Röllchen versehene schwere Eisenmasse, die an vier verticalen federnden Stahlfedern aufgehängt ist, sich bewegen kann. Die Spannung der Federn ist leicht regulirbar; sie ist so zu bemessen, dass die Masse fast gänzlich entlastet ist, worauf letztere unter alleinigem Einflusse der Federkräfte eine schwingende Bewegung um die Mittellage auszuführen vermag. Die hierbei parallel geführte Kreisscheibe und die schwingende Masse nehmen alsdann entgegengesetzte Bewegungsrichtung an. Zwei in einer Verticalebene der schwingenden Bewegung liegende, durch Stiftchen markirte Punkte der bewegten Massen sind durch ein leichtes Schienchen verbunden, das um den Punkt der einen Masse drehbar, mittelst Schlitzführung längs des Punktes der anderen Masse verschiebbar ist. Der bei der entgegengesetzten Bewegung der Massen in Ruhe bleibende Punkt des eine verticale Drehbewegung ausführenden Verbindungsschienchens ist auf demselben durch ein Papierscheibchen kenntlich gemacht und wird durch eine, vom schwingenden System ganz unabhängig an der Umrandung der festen Unterlagsplatte angebrachte Kugel im Raum vor demselben markirt.

Die Vielseitigkeit der Verwendung des vorgeschriebenen wahren Universalapparates für die Mechanik starrer Körper mag aus der Aufführung einer Anzahl lehrreicher Experimente, die damit anstellbar sind, erkannt werden.

Der Apparat gestattet zunächst die Demonstration der Gleichgewichtsbedingungen bei freier und erzwungener Beweglichkeit der Kreisscheibe in der Ebene. Bei ersterer lässt sich zunächst der wichtige Satz vom ebenen Kräftepolygon demonstrieren und dabei zeigen, dass ohne Störung des bestehenden Gleichgewichts am starren Körper der Angriffspunkt einer Kraft in der Krafrichtung beliebig verlegt werden kann,

ferner das Gleichgewicht paralleler Kräfte, wobei zu erkennen ist, dass mit Bezug auf irgend einen Punkt der Kreisscheibe das Moment der Resultierenden gleich der Summe der Momente der Componenten ist. Hieran anschliessend kann veranschaulicht werden die charakteristische Eigenschaft des Mittelpunktes paralleler Kräfte, sodann die mannigfachen Bedingungen, von denen die drehende Wirkung eines Kräftepaars in der Ebene beeinflusst wird oder nicht, ferner die Zusammensetzung der Kräftepaare in der Ebene und im Raume, sowie die Gleichgewichtsbedingung für Kräftepaare im Raume. Der Apparat ermöglicht die allgemeinste Bedingung zu demonstrieren, unter welcher ein in der Ebene frei beweglicher Körper unter dem Einflusse beliebig gerichteter, in beliebigen Punkten angreifender räumlicher Kräfte im Gleichgewicht ist. An der frei beweglichen Kreisscheibe lässt sich auch das Princip der virtuellen Geschwindigkeiten bequem veranschaulichen.

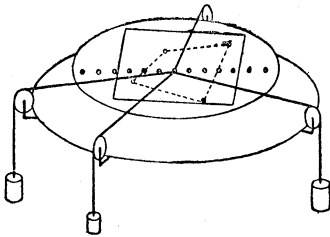


Fig. 3.

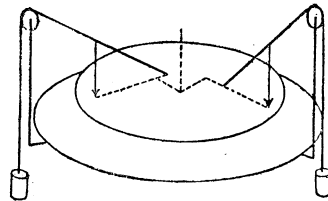


Fig. 4.

Von den der Statik angehörenden Demonstrationen mit zwangläufiger Kreisscheibe sei zuerst erwähnt die des Gleichgewichts beliebig im Raume gelegener Kräfte, die an einem um eine feste Axe drehbaren Körper angreifen (allgemeines Hebelgesetz; Fig. 4.), sodann die des Gleichgewichts zweier Kräfte an einem nur in einer festen Richtung verschieblichen Körper (schiefe Ebene), endlich die der charakteristischen Eigenschaft des Momentancentrums der Bewegung, falls zwei Punkten der Kreisscheibe bestimmte, nicht parallele Bahnen vorgeschrieben sind.

Der Apparat erlaubt endlich auch mehrfach Bewegungserscheinungen eines starren Körpers zu veranschaulichen, so z. B. die reine Progressivbewegung desselben beim Angriffe einer Kraft im Schwerpunkte, die mit einer Drehung gepaarte Verschiebung desselben bei excentrischem Angriffe

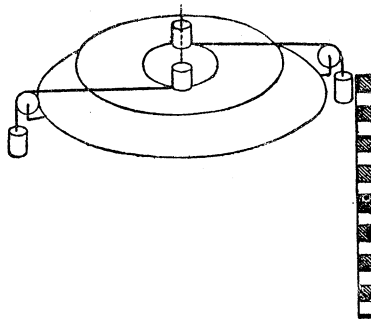


Fig. 5.

derselben, die blosse Drehung um den Schwerpunkt des Körpers durch ein Kräftepaar. Ferner dient der Apparat zur Demonstration der gleichförmig beschleunigten Drehbewegung (Analogie der Fallmaschine; Fig. 5), sowie zu der der schwingenden Drehbewegung (horizontal schwingendes physisches Pendel) und zur Bestätigung der hier geltenden Gesetze unter mannigfacher Variation der Experimente. Vermittelst der Nebenapparate lässt sich auch das Gesetz von der Erhaltung der Flächen, wie das von der Erhaltung des Schwerpunktes bequem demonstrieren.

(J. Freyberg.)

240c. Apparat zum Nachweis der Zusammensetzung und Zerlegung von Kräften und der Demonstration der Gesetze der Drehung, von Prof. Töpler, vereinfacht v. P. Szymanski. Construiert und ausgestellt von Mechaniker A. Herbst. Berlin.

242a. Probestücke aus Stahl, auf Zug und Druck geprüft im Mechanisch-technischen Laboratorium der techn. Hochschule München. Vorstand Prof. J. Bauschinger.

242aa. Probestücke aus Sandstein, auf Druck geprüft im Mechanisch-technischen Laboratorium der techn. Hochschule München.

242b. Apparat zur Demonstration und Messung der Dehnung und Elasticität verschiedener Drähte durch Druck (Zugkraft) und Wärme aus dem mechanischen Institut von Dr. Stöhrer und Sohn.

Der Apparat besteht aus einem meterlangen Stativ, an welchem Drähte verschiedenster Länge und Stärke festgespannt werden können. An der Säule des Statives ist ein Gradbogen mit Zeiger befestigt. Ueber eine Scheibe der leicht beweglichen Zeigerwelle läuft ein Faden, der mittelst einer Klemme am untern Ende des gespannten Drahtes befestigt wird. Unten ist der Draht mit einer angebogenen Oese in dem Hacken eines getheilten Holzhebels befestigt. Durch Gewichtsverschiebung kann die Hebelwirkung beliebig verändert werden.

Jede geringste Dehnung des eingespannten Drahtes wird durch die Zeigerbewegung deutlich sichtbar, und lässt sich damit die Bestimmung des Elasticitätscoefficienten, sowie der Versuch über das Dehnungsvermögen klar ausführen. (Es zeigt z. B. Zinkdraht äusserst geringe Elasticität, aber grosses Dehnungsvermögen.)

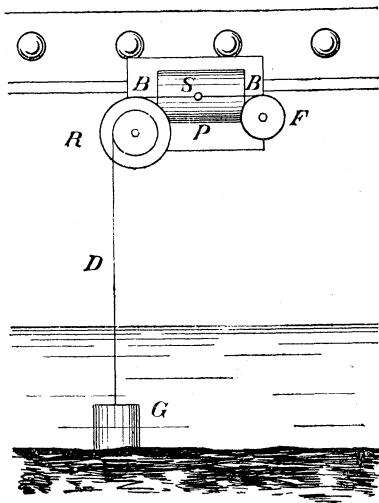
Um die Dehnung durch Wärme und das Zusammenziehen beim Erkalten zeigen zu können, sind an beiden Drahtaltern (siehe Bild: a und b) Zuleitungsklemmen für galvanischen Strom angebracht. Je nach dem Leitungsvermögen der einzelnen Drähte wird die Ausdehnung durch Zeigerablenkung sichtbar werden und so der Apparat recht gut auch zu galvanischen Widerstands-Demonstrationen brauchbar sein. 4 Drähte je 0,5 mm stark und gleichlang aus Neusilber, Eisen, Kupfer, Zink und eine aus Stahldraht gewundene Spiralfeder, sowie zwei Gewichte, $\frac{1}{2}$ und 1 kg schwer, sind dem Apparate beigegeben. Bei Benutzung dünner Drähte von starker Dehnung (Zink) ist es nötig, das Eigengewicht des Holzhebels durch die am hintern Hebelarm stellbare Kugel nahezu auszugleichen.

242c. Dehnungszeichner von Prof. Fränkel, technische Hochschule Dresden, ausgeführt im mechanischen Institut von O. Leuner in Dresden; aus der **Sammlung für Ingenieurwissenschaften der technischen Hochschule zu München.**

242d. Durchbiegungszeichner von Prof. Fränkel, technische Hochschule Dresden, ausgeführt und ausgestellt vom **mechanischen Institut von O. Leuner in Dresden.**

Die beiden Apparate bezwecken in Dehnungs- bezüglich Durchbiegungsdiagrammen das ganze Veränderungsgesetz der Inanspruchnahme eines Constructionsteiles für eine beliebig veränderliche Belastung während einer beliebig kurzen oder langen Zeit der Art zu veranschaulichen, dass die Abscissen den Zeiten und die Ordinaten den stark vergrößerten Längenänderungen entsprechen.

Beim **Dehnungszeichner** werden zunächst mittels zweier Doppelklammern die Endpunkte der zu messenden Länge festgelegt. Die eine Klammer fixirt den einen Endpunkt eines parallel zu dem zu untersuchenden Constructionsteile liegenden Stabes, welcher an der Dehnung nicht teil nimmt; die andere Klammer bildet den Rahmen für den eigentlichen Dehnungszeichner, eine mittels Uhrwerk drehbare Papierrolle. Ueber diese Rolle bewegt sich ein Schreibstift, dessen Stellung durch die Aenderung der Entfernung der beiden Doppelklammern mit Hilfe einer von dem zweiten Ende des vorerwähnten Stabes ausgehenden Hebelübertragung regulirt wird. Das Uebersetzungsverhältnis der Dehnung des Objectes gegenüber der Verschiebung des Schreibstiftes beträgt etwa 1 : 175.



Der **Durchbiegungszeichner** soll die Durchbiegung einer im Betriebe befindlichen eisernen Brücke messen und dabei die Schwierigkeit der Schaffung eines hiezu erforderlichen festen Punktes aufheben. Als fester Punkt dient ein etwa 15 kg schweres Gewicht G, welches an einem Drahte D senkrecht unter der Versuchsstelle auf den Flussgrund zu liegen kommt. Das Princip des Durchbiegungszeichners beruht nun darin, die Aufhebung

der Spannung des von diesem Gewichte G ausgehenden und über eine Stufenscheibe R gespannten Drahtes bei der Durchbiegung zur Regulierung des Schreibapparates zu verwenden. Zu dem Zwecke verbindet ein Stahlband B die Stufenscheibe R mit einer Federtrommel F . Die im Innern dieser Trommel befindliche Feder spannt mit constanter Kraft das Stahlband B , welches also beim Nachlassen der Spannung des Drahtes D in der Richtung von R nach F geführt wird. An dem Stahlband B ist ein Schreibstift S befestigt, welcher diese Verschiebung auf eine während des Versuches zu drehende Papierrolle P aufzeichnet.

Für die nähere Beschreibung beider Apparate vergleiche man noch die den Apparaten beigegebenen Figurentafeln, sowie die Aufsätze im Civilingenieur, Band 27 und 33. (Dyck.)

242e. Modell zur räumlichen Darstellung des Einflusswertes der Biegemomente eines belasteten Balkens von **Ludwig Freytag**, Ingenieur bei der obersten Baubehörde in München.

An einem an zwei Stellen gestützten homogenen elastischen Stab von der Länge l hängt eine Last in der Entfernung z von einem Stützpunkt des Stabes. Die Biegemomente der links und rechts von einem Querschnitt in der Entfernung x von einem Stützpunkt angreifenden Kräfte sind dann folgenden Ausdrücken proportional:

$$\begin{array}{l|l} v_R = \psi \cdot \xi & \psi + \xi \leq 1 \\ v_L = \psi \cdot \xi - (\psi + \xi - 1) & \psi + \xi > 1 \end{array}$$

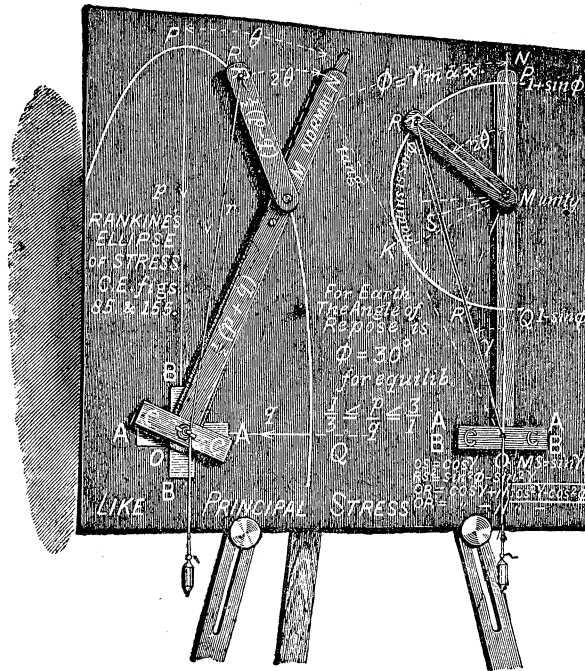
Hiebei ist $x = \xi \cdot l$ und $l - z = \psi \cdot l$ gesetzt.

Trägt man ξ , ψ und v_R bzw. v_L als rechtwinklige Coordinaten eines Punktes auf, so stellen obige Gleichungen zwei gleichseitige hyperbolische Paraboloiden dar, welche längs einer Parabel in der Ebene $\xi + \psi = 1$ aneinandergrenzen und in dem Modell durch Fäden (Erzeugende) ersichtlich gemacht sind, soweit sie zwischen den bei dem Problem nur in Betracht kommenden Grenzen $\xi = 0$, $\psi = 0$, $\xi = 1$, $\psi = 1$ verlaufen. Vergleiche die Schrift: Vereinfachung in der statischen Bestimmung elastischer Balkenträger von *L. Freytag*, Leipzig 1892 b. *Teubner*.

(Finsterwalder)

244a Kinematisches Modell zur Illustration von Rankine's Methode der Druckellipse, ausgeführt nach Angabe von Professor **Alexander**, Trinity College, Dublin, von Mrs. **Yeates** and **Son** Grostonst. Dublin. Aus der Sammlung für Ingenieurwissenschaften, **Trinity College, Dublin**.

Vorstehende Figur stellt das ausgestellte Modell dar. Die Reisschiene ON links ist an der Tafel in O befestigt. MR ist ein Hebel, der in M mit der Reisschiene verbunden ist. Im Punkt M ist auf der Rückseite der Schiene eine Rolle befestigt und um die Rolle geht eine Kette ohne Ende, die ausserdem um eine in O befestigte Rolle läuft. Die Rolle in O hat einen doppelt so grossen Durchmesser als die in M . Wenn daher die Reisschiene rechts herumgedreht wird, so dreht sich der Hebel RM von selbst nach links, so dass der $\sphericalangle RMN$ immer gleich 2 † ist, wo PON gleich ‡ ist; oder mit anderen Worten die Halbierungslinie



von RMN ist immer parallel zu OP. Eine Schnur ist an dem Hebel in R befestigt, sie geht durch einen Ring in O und wird durch ein Gewicht gespannt gehalten. Es ist leicht einzusehen, dass der Punkt R eine Ellipse beschreibt.

Der Kopf der Reisschiene CC stellt die Spur irgend einer durch $O \perp$ zur Tafel gehenden Ebene dar und der Vector der Ellipse, welcher durch das Stück RO der Schnur dargestellt ist, gibt den Druck auf die Ebene CC nach Grösse und Richtung. Der $\sphericalangle PON = \phi$ gibt die Lage der Ebene CC zur Ebene des grössten Hauptdruckes AA an, während $RON = \gamma$ die Schiefe des Druckes gegen CC angibt. Das Modell zeigt klar die ausgezeichneten Lagen der Ebene CC. So kann CC gedreht werden, bis sie mit AA zusammenfällt, wobei die Schnur $RO \perp CC$ wird und ein Maximum der Länge erhält; fällt andererseits CC mit BB zusammen, so ist die Schnur RO wieder $\perp CC$, hat dagegen ein Minimum der Länge; wenn aber CC so gelegt wird, dass der $\sphericalangle RMO$ ein rechter wird, so wird die Componente von $RO \parallel CC$ ein Maximum und schliesslich, wenn es gedreht wird, bis $\sphericalangle MRO$ ein Rechter wird, dann wird ROM, die Schiefe der Schnur, ein Maximum. Die Hilfsfigur zur Rechten des Diagrammes bezieht sich auf die Lösung des allgemeinen Problems des ebenen Druckes in einem Punkte, d. h.: Ist der Druck nach Grösse und Richtung für zwei Lagen von CC gegeben, so ist der Druck für irgend eine 3. Lage von CC zu finden, Bei der Hilfsfigur sind die Reisschienen in allen Lagen von CC übereinander gelagert zu denken und durch eine Reisschiene ersetzt, welche an der Tafel befestigt ist und

wobei sich nur der Hebel MR dreht. Bei Lösung des Problems der Stabilität von Erdarbeiten werden gewisse lineare Dimensionen in der Hilfsfigur durch das bekannte Gewicht eines Erdprismas dargestellt, während eine andere Dimension den verlängerten Druck auf die Stützmauer oder ein Fundament darstellt. Im allgemeinen sind also 2 Winkelgrößen bekannt, wie z. B. $KON = \varphi$, der Maximalwert von γ , nämlich der Reibungswinkel der lokeren Erdmasse, während $RON = \gamma$ die bekannte Neigung der beiden Oberflächen ist. An der anderen Seite der Tafel ist eine zweite Reisschiene um denselben Punkt O befestigt, wobei der einzige Unterschied der ist, dass OM kürzer ist als der Hebel MR. Diese Anordnung bezieht sich auf den Fall eines uneigentlichen Hauptdruckes und dient dazu, die Zusammensetzung verschiedener Drucke zu zeigen, wie z. B. beim Zerdrücken und Biegen einer Säule oder beim Biegen und Drehen einer Spiralfeder. Mit Hilfe der Nuten an der Staffelei kann die Tafel so gestellt werden, dass jeder beliebige Vector der Ellipse vertical steht.

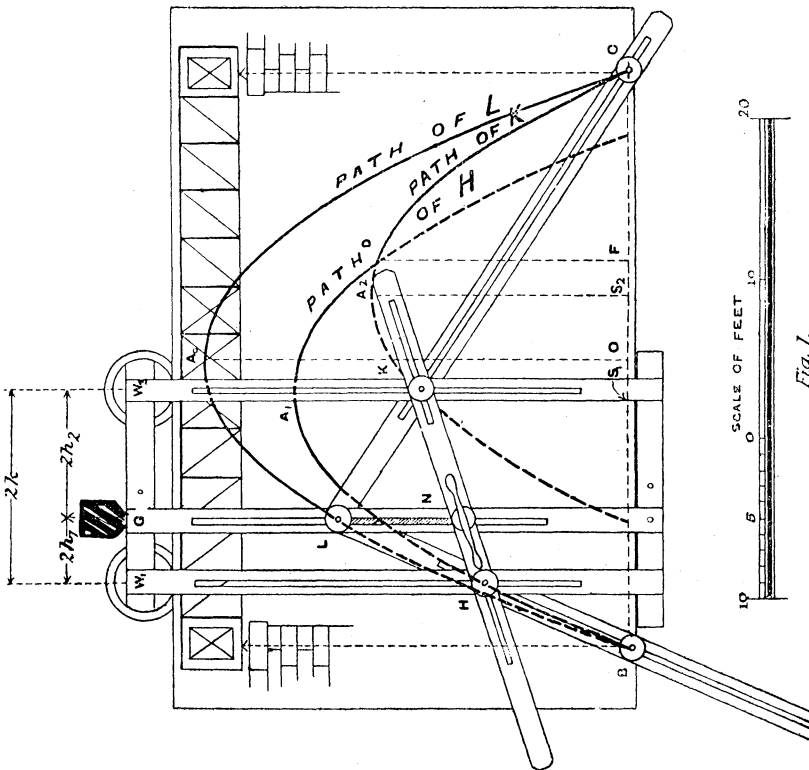
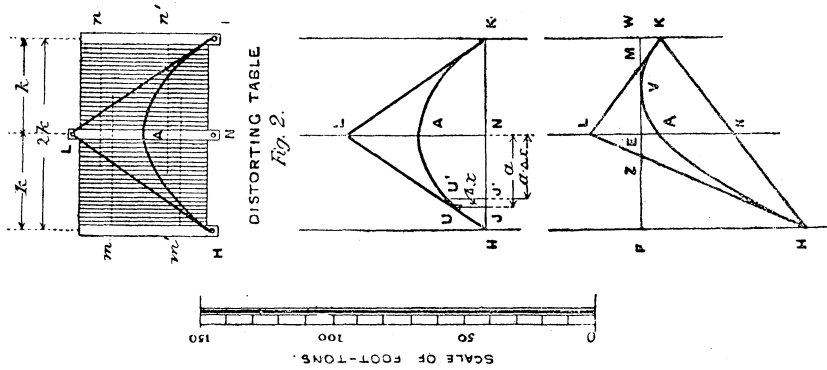
Das Modell war im Jahre 1891 in der K. Jrischen Akademie ausgestellt und ist in der „Transactions“ zuerst beschrieben. Man vergleiche auch Rankine's „Civil Engineering“, „Applied Mechanics“, Williamson's „Treatise on Stress“. Für numerische Beispiele vergleiche Alexander's „Elementary Applied Mechanics“ 1. Theil, Howe's „Retaining Walls“.

(Alexander.)

244b. Momentenzeichner von Prof. Th. Alexander, M. A. J., Trinity-College Dublin und Prof. A. M. Thomson, Science College Poona.

Das Modell dient zur Veranschaulichung der Biegemomente, welche auf einen Balken ausgeübt werden, beim Darüberlaufen eines Rades oder einer Locomotive. Das Modell besteht aus einem Brett (Fig. 1), auf welches ein rechteckiger Balken (Brückenträger), der auf beiden Enden aufliegt, gemalt ist. Ein mit einer Nute versehener Rahmen lässt sich vorne über die Tafel bewegen mit Hilfe zweier Räder W_1, W_2 , welche auf der oberen Kante der Tafel wie auf einer Schiene laufen. Sie stellen die Räder eines auf dem Balken bewegten Wagens dar; der Schwerpunkt der Belastung ist in G; W_1 und W_2 sind die auf die Räder fallenden Teile der Gesamtlast $G = W_1 + W_2$. LHB und LKC sind zwei Stäbe, (wie die Arme eines Zirkels), zwischen welchen sich quer der Stab HNK befindet. LN ist ein Stab von bestimmter Länge, welcher den Masstab des Diagrammes fixirt; die Spannweite des Balkens (der Brücke) ist BC. In B und C sind Bolzen angebracht, in welchen die mit einem Schlitze versehene Stäbe LHB und LKC gleiten. Die in H und K angebrachten Bolzen laufen durch drei mit Schlitz versehenen Stäbe, während die in L und N angebrachten und der Stab LN in dem mittleren senkrechten Stab durch G gleiten.

Steht der Wagen in irgend einer Lage, wie in Fig. 1, so misst das kleine Dreieck HLK seinem Flächeninhalte nach das Biegemoment der Brücke mit Bezug auf die Spannweite der Räder von W_1 nach W_2 . Das grosse Dreieck BLC ist, bezogen auf denselben Masstab, das Diagramm der Biegemomente der Brücke für die Belastung $W_1 + W_2$, sofern sie direkt auf die Brücke ausgeübt wird. Nimmt man zur Einfachheit an,



dass der Wagen kein Eigengewicht hat, so erhält man das Diagramm des wirklichen Biegemomentes in dem Polygon $BH KC$ für die specielle Lage der Belastung. Bewegt man nun das Stabwerk so, dass der Wagen in eine andere Lage kommt, so kann sich der Masstab für das kleine Dreieck wegen des unveränderlichen verticalen Zwischenstückes NL nicht än-

dem und ebensowenig der für das Polygon BHKC; dieses letztere repräsentiert also stets das Diagramm für das momentane Biegemoment bei der Bewegung des Wagens über die Brücke und die Gerade HK umhüllt dieses Polygon BHKC und ergibt infolgedessen das Diagramm der Maximaldurchbiegung der Brücke für die Bewegung des Wagens. Ebenso ist die Curve, welche der Punkt L beschreibt, das Diagramm der Maximaldurchbiegungsmomente für den Fall, in welchem die gesamte Belastung $W_1 + W_2$ auf den Rädern in G konzentriert ist. Man erkennt nun leicht, dass die von L beschriebene Curve ein Stück einer Parabel bildet, deren Axe vertical liegt und die über BC steht, ebenso sind auch die von H und K beschriebenen Punkte Stücke von congruenten Parabeln, deren Scheitel um die Strecke $OS_1 = h_1$ und $OS_2 = h_2$ seitlich von der Mitte der Brücke liegen und zwar in der halben Entfernung GW_1 bzw. GW_2 .

Man übersieht ferner, dass der Stab HNK beständig durch den Punkt D hindurchläuft, in welchem sich die beiden Parabeln der Punkte H und K schneiden. Man kann von diesem Umstande für das Modell Gebrauch machen, indem man einen Bolzen in D anbringt, in welchem der Balken HNK zu gleiten genötigt wird. Man kann dann das feste Verbindungsstück LN entbehren, indessen arbeitet der Apparat gleichmässiger, wenn man diese beiden Verbindungen belässt.

Der Masstab für das Diagramm BHA_1DC der Maximaldurchbiegungsmomente in der Brücke beim Passiren des Wagens ist so zu construiren, dass OA_0 gemessen auf A gleich ist dem vierten Teil des Productes der Gesamtbelastung $W_1 + W_2$ in der Spannweite BC.

Das Modell ist natürlich nicht dazu bestimmt, den Ort der Punkte wirklich aufzuzeichnen, was ja mit einer Parabelschablone aus Holz oder Carton auf die einfachste Weise geschehen kann; vielmehr dient das Instrument den Unterrichtszwecken und wird von uns sowohl im Trinity College, Dublin (welchem wir auch die gütige Erlaubnis zur Ausstellung desselben verdanken), als auch im Science College, Poona, verwendet.

Das Modell führt zwei Beispiele vor. Bei dem einen ist die Last symmetrisch auf den Wagen verteilt. Auf dieses Modell ist eine verschiebbare Stabreihe, (Fig. 2) in den Punkten H, L und K aufzusetzen; auf derselben sind die Geraden HL und KL, sowie das Parabelsegment HAK gemalt. Ist nun die Belastung gleichförmig verteilt auf den Wagen von W_1 bis W_2 statt im Mittelpunkt G vereinigt zu sein, dann ist das Dreieck HLK durch das Parabelsegment HAK zu ersetzen; ist aber die Belastung gleichförmig direkt auf der Brücke verteilt längs der Strecke W_1 bis W_2 ohne Vermittlung des Wagens, dann ist das Diagramm der Momentanbiegungsmomente bei der Bewegung dieser Belastung über die Brücke stets durch die gerade Linie BH und CK und den sie verbindenden Parabelabschnitt HK auf der Stabreihe dargestellt; dieser Parabelabschnitt verändert sich dabei während der Bewegung des Apparates so, dass die Gerade BH und CK stets Tangenten desselben bleiben. Es ist dabei das Parabelsegment immer Bogen ein und derselben Parabel. — Die Stabreihe (Fig. 2) ist hergestellt mit Hilfe einer Reihe von senkrechten Stäben in geringer Entfernung von einander und durch eine Nürnberger Schere verbunden.

Die analoge Darstellung der Biegemomente unter der Voraussetzung von mehreren Rädern lässt sich nur wegen ihrer Complicationen nicht ausführen. Man hat für einen solchen Fall mit einer Parabelschablone nur die der Radzahl entsprechenden Parabeln aufzuzeichnen, wobei man die Schablonen bei verticaler Axe stets so legt, dass sie durch die Punkte S_1, S_2 u. s. w., die der Lage des Schwerpunktes der Belastung gegen die Radstellung entsprechen, hindurchgehen. Man erkennt dann leicht, dass die Schnittpunkte D_1, D_2 u. s. f. dieser Parabelbogen auf die ganze Spannweite BC projectirt, diese in Segmente abtheilen, welche den Belastungen für die Räder W_1, W_2 u. s. f. proportional sind. So bezieht sich jedes Rad auf ein Segment der Brücke, welches zur gesanten Spannweite derselben in demselben Verhältnis steht, wie das Gewicht der Radbelastung zur Gesamtbelastung. Zur Herstellung des Masstabes für das Diagramm der Maximalbiegemomente ist jetzt nur noch notwendig, mit der Parabelschablone ein Parabelsegment über der Spannweite als Basis zu construiren, und die Scala so festzusetzen, dass die Scheitelhöhe der Parabel gleich ist dem vierten Teile des Productes der Gesamtbelastung in die Spannweite.

Für die analytische Darstellung und weitere Ausführung vergleiche man unseren Aufsatz im „Engineering vom Januar 1879“, weiter die Entwicklungen in „Alexander und Thomson's Elementary applied Mechanics Teil 2, 1883.“

Um den Gebrauch einer Parabelschablone zu vermeiden, sei noch eine graphische Construction mit Zirkel und Lineal angeführt, welche auf den vorstehenden Principien beruht:

Man nehme die Parabelbogen in Fig. 1 und denke sich ein neues Diagramm gezeichnet, dessen verticale Dimensionen überall die Quadratwurzel aus den in der Figur betrachteten betragen, dann werden alle Parabeln gleichzeitig in Halbellipsen mit gemeinschaftlicher Excentricität übergehen und, wenn man sie mit einem geeigneten Factor versieht, in Halbkreise. Man hat also die:

Aufgabe: Gegeben ist ein Balken (Brücke), über welche ein Wagen fährt. Man construire das Diagramm der Quadratwurzeln aus den Maximalbiegemomenten.

Graphische Lösung: Man theile die Spannweite in so viele Abschnitte, als man Räder hat und mache dieselben proportional den Belastungen auf diese Räder. Hierauf errichtet man Senkrechte in diesen Punkten. Der Verteilung der Räder gegen den Schwerpunkt des Wagens entsprechend, verteilen sich dann auch die Centra von Kreisen auf der Spannweite, die immer zwischen je zwei Verticalen einzuzeichnen sind. Damit ist der bezeichnete Ort gefunden und handelt es sich noch um die Construction des Masstabes. Zu dem Ende errichtet man einen Halbkreis über der Spannweite; es misst dann die Höhe des Halbkreises (die halbe Spannweite) die Quadratwurzeln aus dem vierten Teile des Productes der Belastung in die Spannweite.

Wir freuen uns in Gegenwärtigem diese elegante Lösung einer complicirten practischen Aufgabe zum ersten Male vorzulegen.

(Th. Alexander, A. W. Thomson.)

244c Darstellung des zeitlichen Verlaufes von Stoss und Rückschlag eines Holzparallelepeds auf einen Kautschukeylinder. Nach Angabe von Prof. Tait, Universität Edinburgh.

Auf einen in Blei fest eingebetteten Cylinder aus Kork, Kautschuk etc. stösst ein Parallelepiped aus hartem Holz, welches man in einer Führung, wie sie beim Block einer Guillotine angewendet wird, herabfallen lässt und welches vom Cylinder einigemal reflectirt wird, bis seine lebendige Kraft verzehrt ist.

Das Parallelepiped trägt einen Schreibstift von Stahl, welcher durch eine Uhrfeder an eine rasch rotirende achteckige, mit feuchter Buchdrucker-schwärze bestrichene Spiegel-Glastafel angedrückt wird und auf derselben eine Curve zeichnet, welche, sobald die lebendige Kraft des Parallelepeds aufgezehrt ist, in einen Kreis übergeht. Die kleinen Hervorragungen der Curve über diesen Kreis, welche in einer der Tafeln mit den Zahlen I bis XII bezeichnet sind, lassen den zeitlichen Verlauf der Geschwindigkeitsänderung des Parallelepeds erkennen. Auf die Glastafel verzeichnet ausserdem — zur Controlle der Gleichmässigkeit der Rotation derselben sowie zur absoluten Zeitmessung — eine Stimmgabel von genau bekannter Schwingungsdauer eine Wellencurve.

Diese Zeichnungen wurden mittelst Lichtpauverfahrens auf photographisches Papier übertragen.

(Vergl. hiezu die Abhandlung von Tait „On Impact“ *Transactions of Royal Society of Edinburgh*. Vol. 36. part. I, 1891, pg. 225.)

(L. Boltzmann.)

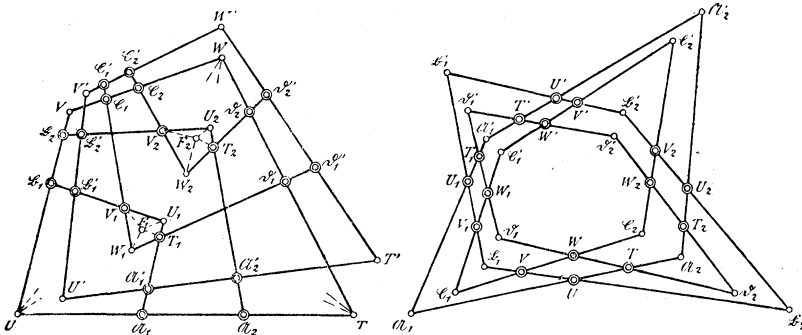
S. Kinematische Modelle.

245a. Polcurven für zwei gegenüberliegende Seiten eines Gelenkvierecks. Kinematische Sammlung der technischen Hochschule München.

Das Modell stellt die Curven 8. Ordnung der instantanen Drehungscentra für die durch ein Gelenkviereck vermittelte Bewegung dar, und zwar in der festen mit dem einen Stab verbundenen Ebene und in der beweglichen mit dem gegenüberliegenden Stabe verbundenen. Der Mechanismus zeigt das Abrollen beider Polcurven aufeinander.

250a. Zusatz. (Mechanismus, bei welchem eine Wechsellage den Uebergang zwischen einem zwangläufigen und einem nicht zwangläufigen Mechanismus vermittelt. Von Prof. Rodenberg, Hannover.)

Hat man, ausgehend von der gekennzeichneten Wechsellage, durch Bewegung eine solche Lage abgeleitet, in der sich die drei Teilketten wie ebenso viele starre Systeme verhalten müssen, so können diese, wie leicht zu sehen, mittelst eines neuen Gelenkes zu einem zwangläufigen Mechanismus (Gelenkviereck) verbunden werden. Daraus kann man schliessen, dass sich unter den vorhandenen und im allgemeinen zur Erzielung von Zwangläufigkeit schon hinreichenden Gelenken mindestens zwei solche befinden, von denen das eine das andere überflüssig macht, d. h. von denen man daher auch eins beseitigen kann, ohne die Starrheit der drei Glieder aufzuheben. In der That, liegen die drei Punkte 56, 34 und die Vereinigung von 35 und



in Fig. 1 nicht gezeichneten Anschlussgliedern resp. parallel sind. *) Die entgegengesetzt ähnlichen Vierecke $T U V W$, $V_1 W_1 T_1 W_1$ stehen während der Bewegung in der Beziehung, dass die Geraden TT_1 , UU_1 , VV_1 , WW sich beständig in dem Brennpunkt F_1 schneiden. Lässt man das Gelenkviereck in dem Brennpunkte F_1 zusammenschrumpfen, so erhält man aus diesem allgemeinen Brennpunkt-Mechanismus den speciellen Brennpunkt-Mechanismus.

In gleicher Weise ist in Bezug auf den Brennpunkt F_2 eines anderen das Gelenkviereck $T U V W$ berührenden Kegelschnitts ein zweites Gelenkviereck $T_2 U_2 V_2 W_2$ an das Gelenkviereck $T U V W$ in den Punkten $\mathcal{N}_2 \mathcal{B}_2 \mathcal{C}_2 \mathcal{D}_2$ angeschlossen. Es kann dann ein Gelenkviereck $T' U' V' W'$, welches dem Gelenkviereck $T U V W$ ähnlich ist, mit den beiden Gelenkvierecken $T_1 U_1 V_1 W_1$, $T_2 U_2 V_2 W_2$ in den Punkten $\mathcal{N}'_1 \mathcal{B}'_1 \mathcal{C}'_1 \mathcal{D}'_1$, $\mathcal{N}'_2 \mathcal{B}'_2 \mathcal{C}'_2 \mathcal{D}'_2$ verbunden werden. Dieser so erhaltene übergeschlossene Mechanismus *Modell Nr. 7* wird, wie die schematische Zeichnung in Fig. 2 anschaulicher zeigt, aus den vier Gelenkvierecken $T U V W$, $T_1 U_1 V_1 W_1$, $T' U' V' W'$, $T_2 U_2 V_2 W_2$ gebildet, die in geschlossener Folge durch je vier Gelenke $\mathcal{N}_1 \mathcal{B}_1 \mathcal{C}_1 \mathcal{D}_1$, $\mathcal{N}'_1 \mathcal{B}'_1 \mathcal{C}'_1 \mathcal{D}'_1$, $\mathcal{N}'_2 \mathcal{B}'_2 \mathcal{C}'_2 \mathcal{D}'_2$, $\mathcal{N}_2 \mathcal{B}_2 \mathcal{C}_2 \mathcal{D}_2$ verbunden sind. Dieser Mechanismus kann so in viererlei Weisen als aus vier in geschlossener Folge verbundenen Gelenkvierecken bestehend aufgefasst werden, und heisst deshalb Vierungsmechanismus. Aus demselben gehen die *Modelle Nr. 4 und 5* Hauptkatalog S. 334 und sehr viele andere specielle übergeschlossene Mechanismen hervor. (L. Burmester.)

254a. Rädermechanismus zur Veranschaulichung des Chasles'schen Princips der Umkehrung der Bewegung von Prof. L. Burmester (angefertigt von Max Ott in München). **Kinematische Sammlung der Technischen Hochschule in München.**

Vollzieht ein ebenes System S in einem anderen ebenen System Σ eine bestimmte Bewegung und sind A , \mathbf{A} zwei in einer Lage coincidirende Punkte, welche resp. dem System S , Σ angehören, dann beschreibt der Punkt A im System Σ eine Curve α und der Punkt \mathbf{A} im System S eine Curve a . Je zwei solche Curven α, a entsprechen sich in den Systemen Σ, S .

Wird z. B. das System Σ als fest betrachtet, dann erzeugt der Punkt A des bewegten Systems S die Curve α in dem festen System Σ . Wird diese

*) L. Burmester, die Brennpunkt-Mechanismen. Zeitschrift für Math. und Phys. 1893. S. 193.

264a. Ein zweiter Mechanismus zur Bestimmung der Lage des Schwerpunktes eines Systems von in beliebiger Weise durch Gelenke mit einander verbundenen Körpern, von **Otto Fischer**, Privatdocent, Universität Leipzig.

Bei einem System von starren Körpern, welche in ganz beliebiger Weise durch Gelenke mit einander verbunden sind, lässt sich in jedem einzelnen Körper K_i ein Punkt angeben, der für das mechanische Verhalten des ganzen Systems in mehrfacher Hinsicht hervorragende Bedeutung besitzt. Die Lage dieses Punktes innerhalb des Körpers K_i wird gefunden, indem man in den Mittelpunkten der an K_i befindlichen Gelenke die Massen aller derjenigen Körper concentrirt annimmt, welche durch das betreffende Gelenk mit K_i in mittelbarer oder unmittelbarer Verbindung stehen. Denkt man noch ausserdem die Masse des Körpers K_i selbst in seinen Schwerpunkt verlegt, so ist der in Frage stehende Punkt der Schwerpunkt dieser sämtlichen Massenpunkte. Da derselbe in die Mechanik bisher noch nicht eingeführt war, so habe ich für diesen Punkt den Namen „Hauptpunkt des Körpers K_i “ und für die Strecken zwischen dem Hauptpunkt und den Mittelpunkten der an K_i befindlichen Gelenke die Bezeichnung „Hauptstrecken des Körpers K_i “ vorgeschlagen*). Der Hauptpunkt ist ein Ausdruck für die Lage des Körpers K_i innerhalb des Systems; er verliert seine Bedeutung, wenn man den Körper K_i isolirt, von dem Systeme losgelöst betrachtet.

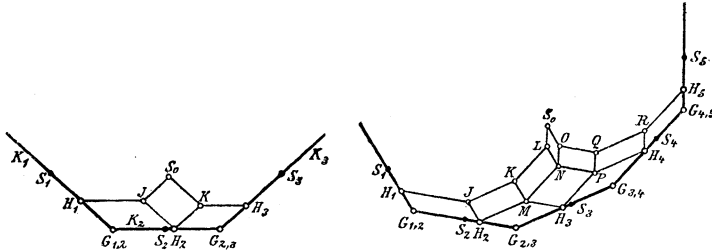
Der menschliche Körper stellt mit grosser Annäherung ein derartiges System von starren Körpern dar. Um in demselben beispielsweise den Hauptpunkt des rechten Oberschenkels zu bestimmen, hätte man im Mittelpunkte des rechten Hüftgelenks die Massen des Rumpfs, Kopfes, des ganzen linken Beins und der beiden Arme, im Mittelpunkte des rechten Kniegelenks dagegen nur die Massen des rechten Unterschenkels und rechten Fusses, und endlich im Schwerpunkte des Oberschenkels die Masse des rechten Oberschenkels selbst vereinigt zu denken. Der Schwerpunkt dieser drei Massenpunkte ist dann der gesuchte Hauptpunkt des rechten Oberschenkels. Die Gesamtmasse dieses fingierten Systems dreier Massenpunkte ist, wie man leicht einsieht, gleich der Gesamtmasse des ganzen menschlichen Körpers.

Die Hauptpunkte ermöglichen nun unter Anderem eine sehr einfache Construction der Lage des Gesamtschwerpunktes des ganzen Körpersystems. Man hat zu dem Zwecke nur von dem Hauptpunkte H_i irgend eines Körpers K_i des Systems aus die geometrische Summe derjenigen, zu allen übrigen Körpern des Systems gehörigen Hauptstrecken zu bilden, welche innerhalb des Systems dem Hauptpunkte H_i zugekehrt sind.

Hätte man es z. B. mit einem System von drei hintereinander durch Gelenke verbundenen Körpern K_1, K_2, K_3 zu thun, bei welchem $G_{1,2}$ (Figur 1) den Mittelpunkt des Gelenkes zwischen K_1 und K_2 , und $G_{2,3}$ den des Ge-

*) Vgl. meine Habilitationsschrift: „Die Arbeit der Muskeln und die lebendige Kraft des menschlichen Körpers.“ Abhandlungen der Königlich Sächsischen Gesellschaft der Wissenschaften Band XX Nr. 1 pag. 22, pag. 60 und ff. In dieser Schrift sind alle hier angeführten Eigenschaften der Hauptpunkte ausführlich abgeleitet und bewiesen worden.

lenkes zwischen K_2 und K_3 darstellt, und hätte man in der angegebenen Weise den Ort der drei Hauptpunkte H_1, H_2, H_3 bestimmt (S_1, S_2, S_3 bedeuten die Einzelschwerpunkte der drei Körper), so würde sich der Gesamtschwerpunkt S_0 des Systems für jede beliebige Stellung^{*)} der drei Körper zu einander in folgender Weise ergeben.



Entweder bildet man von H_1 aus die geometrische Summe $[H_1J] + [JS_0]$, wo $[H_1J] = [G_{1,2}H_2]$ und $[JS_0] = [G_{2,3}H_3]$, oder man bildet von H_2 aus die geometrische Summe $[H_2J] + [JS_0]$, wo $[H_2J] = [G_{1,2}H_1]$ und $[JS_0] = [G_{2,3}H_3]$, oder endlich man bildet von H_3 aus die geometrische Summe $[H_3K] + [KS_0]$, wo $[H_3K] = [G_{2,3}H_2]$ und $[KS_0] = [G_{1,2}H_1]$, und kommt jedesmal auf denselben Punkt S_0 . Dieser ist der Schwerpunkt des Systems der drei Körper.

Die Reihenfolge der einzelnen Strecken ist natürlich gleichgültig. So könnte man z. B. von H_2 aus auch die geometrische Summe $[H_2K] + [HS_0]$ bilden, wo $[H_2K] = [G_{2,3}H_3]$ und $[KS_0] = [G_{1,2}H_1]$ ist, und würde zu demselben Punkte S_0 gelangen.

Hierbei ist durchaus nicht vorausgesetzt, dass die drei Körper durch Charnirgelenke mit parallelen oder windschiefen Axen verbunden sind. Die Punkte $G_{1,2}$ und $G_{2,3}$ können ebenso gut als Mittelpunkte von Kugelgelenken aufgefasst werden. Es ist ferner auch durchaus nicht etwa erforderlich, dass der Schwerpunkt S_2 und der Hauptpunkt H_2 in der Verbindungslinie der beiden Gelenkmittelpunkte liegen.

In ganz entsprechender Weise gestaltet sich die Construction des Gesamtschwerpunktes für ein complicirteres System von Körpern, bei dem nicht nur mehr als drei Glieder vorhanden sind, sondern bei dem auch einige Körper mit mehr als zwei anderen durch Gelenke in Verbindung stehen, wie es z. B. beim menschlichen oder tierischen Körper vorkommt. Zerlegt man den menschlichen Körper in 12 oder in 14 Abschnitte, (vgl. den Haupt-Katalog vom Jahre 1892 Nr. 262) so kommt die Construction des Gesamtschwerpunktes für jede beliebige Haltung des Körpers auf die Bildung der geometrischen Summe von 11 oder von 13 Strecken hinaus. (Genauerer hierüber sehe man in der oben citirten Habilitationsschrift nach).*)

Dieses Resultat kann man für die Construction eines Schwerpunkts-

*) Mau vergleiche hiezu auch die Apparate von J. Kleiber, Hauptkatalog pap. 320.

mechanismus verwenden, welcher von dem in Nr. 262 des Katalogs beschrieben vollständig verschieden ist.

Sind insbesondere die drei Körper in Figur 1 durch zwei Charnirgelenke mit parallelen Axen verbunden, so erkennt man leicht, dass man nur an Stelle der Strecken $\overline{H_1J}$, $\overline{JH_2}$, $\overline{H_2K}$, $\overline{KH_3}$, $\overline{JS_0}$, und $\overline{S_0K}$ Cartonstreifen zu setzen braucht, welche an den Stellen H_1 , H_2 , H_3 , J , K und S_0 in der aus Figur 1 ersichtlichen Weise mit einander und mit den drei Körpern durch Charnirgelenke verbunden sind, deren Axen den beiden Gelenkaxen parallel laufen, um für jede Stellung der drei Körper zu einander auf mechanischem Wege die richtige Länge des Gesamtschwerpunktes S_0 zu erhalten.

Das ausgestellte Modell bezieht sich auf den speciellen Fall, dass die Massen der drei Körper gleich sind und der Schwerpunkt S_2 in die Mitte der Verbindungslinie $\overline{G_{1,2}G_{2,3}}$ hineinfällt; es ist leicht einzusehen, dass dann der Hauptpunkt H_2 sich mit dem Schwerpunkte S_2 deckt, was sonst im Allgemeinen keineswegs der Fall ist.

Gleichzeitig versinnlicht Figur 2 einen ganz entsprechenden (ebenfalls ausgestellten) Mechanismus für 5 hinter einander durch Charnirgelenke mit parallelen Axen verbundenen Körper. Das ausgestellte Modell bezieht sich wieder auf den speciellen Fall, dass die Massen aller 5 Körper gleich sind, und dass die Schwerpunkte S_2 , S_3 und S_4 bezüglich in die Mitten der Verbindungslinien $\overline{G_{1,2}G_{2,3}}$, $\overline{G_{2,3}G_{3,4}}$ und $\overline{G_{3,4}G_{3,5}}$ hineinfallen; daher fällt auch in diesem Modell der Hauptpunkt H_3 mit dem Schwerpunkte S_3 zusammen. Nach dem oben Gesagten ist ohne Weiteres ersichtlich, dass die Längen der einzelnen Cartonstreifen folgenden Bedingungen genügen müssen:

$$\begin{aligned} \overline{JH_2} &= \overline{KM} = \overline{LN} = \overline{S_0O} = \overline{H_1G_{1,2}}; \overline{H_1J} = \overline{G_{1,2}H_2}; \\ \overline{MH_3} &= \overline{NP} = \overline{OQ} = \overline{H_2G_{2,3}}; \overline{H_2M} = \overline{JK} = \overline{G_{2,3}H_3}; \\ \overline{PH_4} &= \overline{QR} = \overline{H_3G_{3,4}}; \overline{H_3P} = \overline{MN} = \overline{KL} = \overline{G_{3,4}H_4}; \\ \overline{RH_5} &= \overline{H_4G_{4,5}} \text{ und } \overline{H_4R} = \overline{PQ} = \overline{NO} = \overline{LS_0} = \overline{G_{4,5}H_5}; \end{aligned}$$

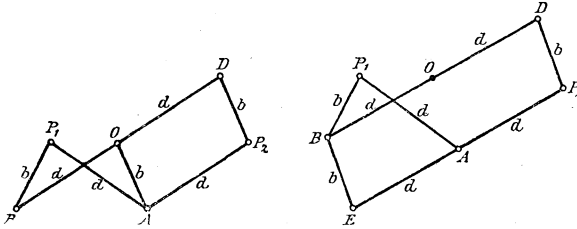
dann wird für jede beliebige Stellung der 5 Körper zu einander S_0 den Ort des Gesamtschwerpunktes angeben.

Infolge der grossen Anzahl der Glieder, und noch mehr infolge des Umstandes, dass für die Endkörper die Hauptpunkte ziemlich nahe an die Gelenke heranrücken, lässt sich dieser Mechanismus nur schwer bewegen. Derselbe dürfte daher mehr theoretisches als practisches Interesse beanspruchen. Im Falle einer grösseren Anzahl von Abschnitten, wie z. B. beim menschlichen Körper, ist der früher angegebene Schwerpunktsmechanismus (Haupt-Katalog 1892 Nr. 262) jedenfalls einem nach dem soeben erörterten Princip construirten Mechanismus vorzuziehen; denn jener functionirt sehr leicht.

Für den Fall nur zweier Körper gehen beide Arten von Schwerpunktsmechanismen in einander über. (Otto Fischer.)

264b. Einige Gelenkmechanismen von **Otto Fischer**, Privatdocent an der Universität Leipzig.

Ein Teil des unter Nr. 264 des Kataloges vom Jahre 1892 beschriebenen Mechanismus zur Bestimmung von Trägheitsmomenten verwirklicht die Transformation durch reciproke Radien. Es ist dies der Mechanismus, welcher noch übrig bleibt, wenn man in der Figur zu Nr. 264 die Cartonstreifen \overline{CF} , \overline{FE} , \overline{EM} und \overline{MF} fortlässt, und welcher in der folgenden Figur 1 noch einmal gesondert dargestellt ist.

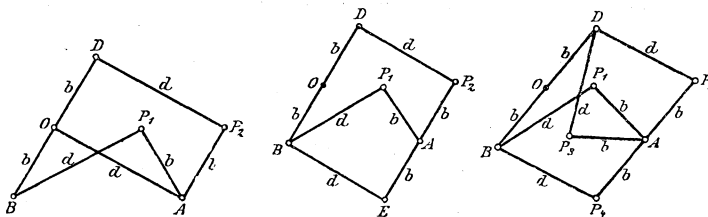


Derselbe besteht aus 6 durch Charnirgelenke mit einander verbundenen Cartonstreifen $\overline{AP_1}$, $\overline{P_1B}$, \overline{BOD} , $\overline{DP_2}$, $\overline{P_2A}$ und \overline{AO} , von denen $\overline{BP_1} = \overline{AO} = \overline{DP_2} = b$; $\overline{AP_1} = \overline{AP_2} = d$ und $\overline{BOD} = 2d$, und zwar so, dass $\overline{BO} = \overline{OD} = d$ ist.

Es lässt sich leicht einsehen, dass die drei Punkte O , P_1 und P_2 immer in gerader Linie liegen (vgl. Nr. 264 des Kataloges von 1892), und dass $\overline{OP_1} \cdot \overline{OP_2} = \text{const.}$, denn es ist $\overline{OP_2}$ parallel und gleich \overline{BA} und, da $\overline{BP_1OA}$ ein Trapez mit gleichen nicht parallelen Seiten darstellt, so ist $\overline{OP_1} \cdot \overline{BA} = d^2 - b^2$, also constant.

Man kann diesem Mechanismus auch die in Figur 2 dargestellte Form geben; wobei $\overline{BE} = \overline{DP_2} = \overline{BP_1} = b$; $\overline{AP_1} = d$ und $\overline{BOD} = \overline{EAP_2} = 2d$, und zwar so, dass $\overline{BO} = \overline{OD} = \overline{EA} = \overline{AP_2} = d$ ist.

Bei diesen zwei Mechanismen liegen die beiden reciproken Radien von O aus in entgegengesetzter Richtung. Will man sie auf derselben Seite von O haben, so kann man dies dadurch erreichen, dass man die aus Figur 3 und 4 ersichtlichen Veränderungen an den in Figur 1 und 2 versinnlichten Mechanismen vornimmt.



Dabei ist jetzt in Figur 3 $\overline{BP_1} = \overline{AO} = \overline{DP_2} = d$; $\overline{AP_1} = \overline{AP_2} = b$ und $\overline{BOD} = 2b$, und zwar so, dass $\overline{BO} = \overline{OD} = b$ ist.

In Figur 4 ist dagegen $\overline{BE} = \overline{DP_2} = \overline{BP_1} = d$; $\overline{AP_1} = b$ und

$\overline{BOD} = \overline{EAP_2} = 2b$, und zwar so, dass $\overline{BO} = \overline{OD} = \overline{EA} = \overline{AP_2} = b$ ist. Bei allen vier Mechanismen findet für jede beliebige Stellung derselben statt:

$$\overline{OP_1} \cdot \overline{OP_2} = \text{const.}, \text{ (nämlich gleich } d^2 - b^2\text{).}$$

Alle vier Inversoren haben dieselbe Anzahl von Gliedern wie der Peaucellier'sche Inversor, dagegen zwei mehr als der Hart'sche Inversor; bei Verwendung derselben für die Geradföhrung dürften dieselben in gewisser Beziehung denen von Peaucellier und Hart vorzuziehen sein. Bekanntlich eignet sich z. B. der Peaucellier'sche Inversor in seiner ursprünglichen Form aus dem Grunde nicht für diese praktische Verwendung, weil derselbe in einen toten Punkt gerät, wenn die beiden reciproken Radien gleich werden. Dieser Uebelstand ist an allen vier der oben angeführten Mechanismen vermieden. Der Hart'sche Inversor, welcher ebenfalls von diesem Uebelstande frei ist, lässt dagegen andererseits bei gleichen Dimensionen der einzelnen Teile des Mechanismus geringere Excursionen zu als die beschriebenen vier Inversoren.

Endlich kann man durch Combination mehrerer dieser Mechanismen die verschiedenartigsten Relationen mechanisch verwirklichen.

Als Beispiel diene ein durch Figur 5 versinnlichter Mechanismus, welcher in gewissem Sinne als eine Verdoppelung des Mechanismus von Figur 4 anzusehen ist.

Derselbe besteht aus acht Cartonstreifen

$\overline{DP_2}$, $\overline{P_2AP_4}$, $\overline{BP_1}$, $\overline{P_1A}$, $\overline{DP_3}$, $\overline{P_3A}$, $\overline{BP_4}$ und \overline{BOD} . Dabei ist $\overline{DP_2} = \overline{DP_3} = \overline{BP_1} = \overline{BP_4} = d$ und $\overline{AP_1} = \overline{AP_3} = \overline{AP_2} = \overline{AP_4} = \overline{OB} = \overline{OD} = b$

Setzt man der Kürze halber $\overline{OP_1} = \rho_1$, $\overline{OP_2} = \rho_2$, $\overline{OP_3} = \rho_3$ und $\overline{OP_4} = \rho_4$, so hat man zunächst:

$$\rho_1\rho_2 = \rho_3\rho_4 = d^2 - b^2.$$

Da ρ_2 und ρ_4 die Längen der beiden Diagonalen des Parallelogramms OAP_2D darstellen (denn $\overline{OP_4} = \overline{DA}$), so folgt ferner die Relation

$$\rho_2^2 + \rho_4^2 = 2(d^2 + b^2)$$

und in Verbindung mit obiger Relation

$$\frac{1}{\rho_1^2} + \frac{1}{\rho_3^2} = \frac{2(d^2 + b^2)}{(d^2 - b^2)^2} \text{ u. s. w.}$$

Es kann also unter Anderem dieser Mechanismus zur Verwirklichung der drei Relationen dienen:

$$\rho_1\rho_2 = \rho_3\rho_4 = \text{const.}; \quad \rho_2^2 + \rho_4^2 = \text{const.} \quad \text{und} \quad \frac{1}{\rho_1^2} + \frac{1}{\rho_3^2} = \text{const.}$$

(Otto Fischer.)

*Zweiter Abschnitt. Mathematische Physik.***T. Apparate und Modelle zur Veranschaulichung der Gesetze der Fortpflanzung von Wellen.**

265a. Wellen-Apparat zur Darstellung einer sich vom Mittelpunkt kreisförmig fort-pflanzenden Welle aus dem mechanischen Institut von **Dr. Stöhrer und Sohn.**

Der Apparat besteht aus einer rotirenden Scheibe mit den entsprechenden Wellencurven und zwei übereinanderstehenden Lochscheiben. Nachdem diese Scheiben centrisch zur Wellenscheibe am Stabe der Maschine befestigt, werden gleichlange, mit roten Köpfen versehene Stahlstäbchen in die Lochreihen eingesteckt. Sobald der Rotations-Apparat nun langsam in Bewegung versetzt wird, bilden die Stäbchen die sich kreisförmig vom Mittelpunkt fort-pflanzenden Wellen.

265b. Projections-Wellenmaschine mit 4 kreisförmigen und 2 rechteckigen Glasplatten aus dem mechanischen Institut von **Dr. Stöhrer und Sohn.**

Erstere bringen zur Darstellung: 1) die Reflexion eines elementaren Stosses in einer beiderseits geschlossenen Röhre, 2) eine fortschreitende Longitudinalwelle, 3) die Luftbewegung in einer beiderseits offenen Röhre, welche ihren Grundton gibt und 4) die in einerseits geschlossener Röhre, welche den ersten Oberton (die Duodecime) des Grundtons gibt. Für die Darstellung der Reflexion einer einzelnen Welle am geschlossenen und offenen Ende einer Röhre dienen die beiden rechteckigen und für geradlinige Bewegung eingerichteten Platten.

270a. Apparat zur mechanischen Versinnlichung der Ablenkung der Lichtstrahlen beim Durchgang durch Parallellplatten, Prisma oder Linse, aus dem mechanischen Institut von **Dr. Stöhrer und Sohn.**

Auf zwei langen Brettern ist in der Mitte jeder Seite der Querschnitt einer planparallelen Platte, eines Prisma's, einer biconvexen und einer biconcaven Linse aus schwarzem Sammet eingelassen. Lässt man zwei Räder, die an einer Axe befestigt sind, schräg gegen die Fläche des Prisma's oder der Linse, wie Fig. zeigt, laufen, so wird zunächst nur das eine Rädchen die Sammetfläche berühren und durch deren Widerstand in der Bewegung aufgehalten werden, was eine Drehung der Axe zur Folge hat. Beim Verlassen des Prisma's wird die Drehung in entgegengesetzter Seite stattfinden. Die Rädchen durchlaufen daher denselben Weg wie die Lichtstrahlen in einem Prisma. Aehnlich verhält es sich bei dem Querschnitt der andern Figuren.

272a. Modell der Intensitätsfläche der Beugungerscheinungen einer kreisrunden Oeffnung. Von Prof. **E. v. Lommel**, Univers. München.

In einer früheren Abhandlung*) habe ich die Theorie der Beugungerscheinungen durch eine kreisförmige Oeffnung für Kugelwellen (*Fresnel'sche* Beugungerscheinungen) ausführlich behandelt und gezeigt, dass die Lichtstärke x in irgend einem Punkte des Auffangschirmes dargestellt wird durch den Ausdruck:

$$\text{Darin ist } x = \left(\frac{2}{y}\right)^2 (U_1^2(y,z) + U_2^2(y,z)).$$

$$y = \frac{2\pi}{\lambda} \left(\frac{1}{a} + \frac{1}{b}\right) r^2, \quad z = \frac{2\pi}{\lambda} \cdot \frac{\zeta}{b} \cdot r,$$

wo a die Entfernung des beugenden Schirmes vom Lichtpunkt (den Radius der einfallenden Kugelwelle), b seine Entfernung vom Auffangschirm (de Bildebene), r den Radius der um den Pol der Kugelwelle beschriebenen kreisförmigen Oeffnung, ζ die Entfernung eines Punktes des Beugungsbildes von der Bildmitte (so dass $\frac{\zeta}{b}$ die Tangente des Beugungswinkels ψ darstellt) und λ die Wellenlänge bedeutet.

Die Functionen U_1 und U_2 sind specielle Fälle einer allgemeineren Function U_n , welche durch die für alle Werte von y und z stets convergente Reihe:

$$U_n(y,z) = \left(\frac{y}{z}\right)^n I_n(z) - \left(\frac{y}{z}\right)^{n+2} I_{n+2}(z) + \left(\frac{y}{z}\right)^{n+4} I_{n+4}(z) - \dots$$

dargestellt werden kann, wobei $I_n(z)$ die Bessel'sche Function erster Art vorstellt. Mit der Function U_n steht die Function

$$V_n(y,z) = \left(\frac{z}{y}\right)^n I_n(z) - \left(\frac{z}{y}\right)^{n+2} I_{n+2}(z) + \left(\frac{z}{y}\right)^{n+4} I_{n+4}(z) - \dots$$

in innigem Zusammenhang, welcher seinen Ausdruck in der Gleichung

$$(-1)^n U_n - V_{-n+2} = \frac{i^n}{2} \left(e^{iv} + (-1)^n e^{-iv} \right)$$

$$v = \frac{y^2 + z^2}{2y}$$

findet, wo

ist. Die Functionen V spielen für die Beugungerscheinung eines kreisförmigen dunklen Schirmchens dieselbe Rolle, wie die Functionen U für diejenige der kreisförmigen Oeffnung. Für das dunkle Schirmchen ist nämlich die Lichtstärke

$$x' = \left(\frac{2}{y}\right)^2 (V_0^2(y,z) + V_1^2(y,z));$$

sie ist daher vermöge vorstehender Relation bekannt, wenn sie für die kreisförmige Oeffnung berechnet ist.

Auch die Reihe V_n convergirt für alle Werte von y und z , jedoch sind zur numerischen Berechnung für $y < z$ die U -Reihen, für $y > z$ die V -Reihen bequemer. Für $y = z$, d. i. an der Grenze des geometrischen Schattens, hat man

*) Lommel. Die Beugungerscheinungen einer kreisrunden Oeffnung und eines kreisrunden Schirmchens theoretisch und experimentell bearbeitet; Abh. der k. bayer. Ak. d. Wiss. (2). 15. p. 229. 1884.

$$U_n(z, z) = V_n(z, z) = I_n(z) - \frac{I(z)}{n+2} + \frac{I(z)}{n+4} - \dots$$

Die numerische Berechnung dieser Ausdrücke und somit auch der Lichtstärke x (und x') lässt sich unter Benutzung der bekannten Werte der Bessel'schen Functionen ohne besondere Schwierigkeit durchführen. In der Eingangs erwähnten Abhandlung sind die Werte von $U_1, U_2, x; V_0, V_1, x'$ für $y = 0, \pi, 2\pi \dots$ bis 10π und für alle ganzzahligen Werte der Grösse z von $z = 0$ bis $z = 12$ berechnet und in Tabellen zusammengestellt, und ausserdem für jene Werte von y die Lichtstärken x und x' durch Curven graphisch veranschaulicht.

Vermöge der einfachen Gesetze, welchen die Functionen U_n und V_n unterworfen sind, nämlich:

$$U_n + U_{n+2} = \left(\frac{y}{z}\right)^n I_n, \quad V_n + V_{n+2} = \left(\frac{z}{y}\right)^n I_n,$$

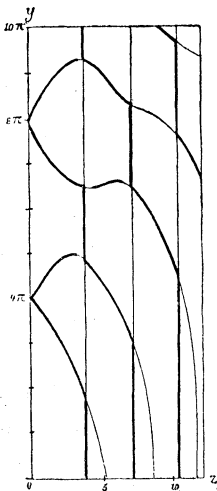
$$\frac{dU_n}{dz} = -\frac{z}{y} U_{n+1}, \quad \frac{dV_n}{dz} = \frac{z}{y} V_{n-1},$$

$$\frac{dU_n}{dy} = \frac{1}{2} U_{n-1} + \frac{1}{2} \left(\frac{z}{y}\right)^2 U_{n+1},$$

$$\frac{dV_n}{dy} = -\frac{1}{2} V_{n+1} - \frac{1}{2} \left(\frac{z}{y}\right)^2 V_{n-1}$$

können übrigens die Intensitätsausdrücke x und x' auch allgemein discutirt und die Gesetze der Erscheinungen aus ihnen entwickelt werden. Zur bequemen Uebersicht betrachten wir z und y als rechtwinklige Coordinaten, und die Lichtstärke x als dritte Coordinate auf der zy -Ebene, senkrecht errichtet. So erhebt sich über dieser gleichsam ein Lichtgebirge, dessen Durchschnitt mit irgend einer zur y -Axe senkrechten Ebene die jeweilige zu dem betreffenden Wert von y gehörige Intensitätscurve liefert. Der Schnitt durch die z -Axe ($y = 0$) entspricht der Fraunhofer'schen Beugungerscheinung, für welche sich der Intensitätsausdruck auf

$$x = \left(\frac{2}{z} I_1(z)\right)^2$$



zurückzieht. Dieses Lichtgebirge wird für die Beugungerscheinung der kreisförmigen Oeffnung (auf deren Betrachtung wir uns von nun an beschränken) durch das in Rede stehende Gypsmodell veranschaulicht, welches auf Grund der oben erwähnten numerischen Tabellen resp. Curven hergestellt wurde. Es ist durch die verticalen Ebenen $y = 0, y = 10\pi, z = 0, z = 12$ begrenzt. Der Masstab ist so gewählt, dass der höchste Gipfel des Gebirges, welcher sich über dem Coordinatenanfang $z = 0, y = 0$ erhebt, 1 m hoch über die zy -Ebene emporragen würde. Dieser Gipfel ist jedoch in der Höhe von 16 cm abgeschnitten; alle übrigen Gipfel liegen unter diesem Niveau.

Für einen gegebenen Wert von y wird die Lichtstärke x ein Maximum oder Minimum für diejenigen Werte von z , für welche $\frac{dx}{dz} = n$ ist. Mit Rücksicht

auf die obigen Gesetze für die U-Functionen findet man aber

$$\frac{dx}{dz} = -2 \left(\frac{z}{y}\right)^2 I_1 U_2.$$

Die Lichtstärke wird also ein Maximum oder Minimum, wenn entweder $I_1(z) = 0$ oder wenn $U_2(y, z) = 0$ ist, also über den diesen Gleichungen entsprechenden in der zy -Ebene verlaufenden Linien. Die erstere Gleichung liefert eine Schaar von zur y -Axe parallelen Geraden (s. die beigegebene Figur, welche den Verlauf der Linien $I_1 = 0$ und $U_2 = 0$ in der zy -Ebene und damit den Grundriss des Lichtgebirges darstellt), welche die z -Axe in den Punkten

$$z = 3,8317; 7,0156; 10,1735 \dots$$

schneiden, die den Intensitätsminimis der Fraunhofer'schen entsprechen, und deren Abstände sich mit wachsendem z dem Werte π nähern. Die Gleichung $U_2 = 0$ dagegen stellt eine transcendente Curve von eigenartigem Verlaufe dar, deren Aeste (s. Fig.) in den Punkten

$$z = 5,1356; 8,4172; 11,6199 \dots$$

welche den Intensitätsmaximis der Fraunhofer'schen Erscheinung entsprechen und der Gleichung $I_2 = 0$ genügen, auf der z -Axe senkrecht stehen und paarweise in den Punkten $y = 4\pi, 8\pi, 12\pi \dots$ der y Axe zusammenlaufen. In diesen Punkten der Bildmitte herrscht völlige Dunkelheit ($x = 0$), wie schon Poisson gezeigt hat. Diese Doppelpunkte der Curve $U_2 = 0$ auf der y -Axe sind nebst den Minimis der Fraunhofer'schen Erscheinung auf der z -Axe die einzigen Punkte, in welchen U_1 und U_2 gleichzeitig verschwinden und die Lichtstärke x sonach Null ist. An allen Stellen, wo die beiden Liniensysteme, $I_1 = 0$ und $U_2 = 0$ sich durchschneiden, springt das Maximum (oder Minimum) der Lichtstärke von der einen Liniengattung auf die andere über; schreitet man nämlich längs eines Teiles der Linien $I_1 = 0$ oder $U_2 = 0$, auf welchem z. B. Intensitätsmaxima liegen, über einen ihrer Durchschnittspunkte fort, so geht hier das Maximum auf die Linie der anderen Gattung über, und der Fortsetzung der bisher verfolgten Linie gehören von nun an Minima der Lichtstärke zu, bis beim nächsten Schnittpunkt ein neuer Umtausch erfolgt. Ueber den Durchschnittspunkten selbst findet weder Maximum noch Minimum statt, sondern hier zeigt die Intensitätscurve einen Wendepunkt; andere Wendepunkte der Intensität entsprechen den Gipfeln der Curvenäste, d. h. den Punkten, in welchen die Ordinate y der Curve $U_2(y, z) = 0$ ein Maximum oder Minimum ist (in der Fig. erkennt man vier solche Punkte); auch an diesen Punkten vollzieht sich ein Wechsel zwischen Maximum und Minimum.

Schon diese an die Projection auf die zy -Ebene geknüpften Betrachtungen geben eine deutliche Vorstellung von den Gestaltungsverhältnissen des Lichtgebirges. Geht man z. B. längs der ersten Geraden $I_1 = 0$ (von dem Punkte $z = 3,8317$ der z -Axe) voran, so steigt man von dem Niveau Null aus zunächst in gleichbleibender Richtung in einem Thale aufwärts, einen steilen Berghang zur linken, einen Bergkamm zur rechten, dessen Grat dem ersten Aste der Linie $U_2 = 0$ entlang sich von seinem höchsten Punkte über der z -Axe ($z = 5,1356$) herabsenkt, bis er in dem ersten Intensitäts-Wendepunkt jenem ansteigenden Thale begegnet. Von hier an setzt sich das bisher verfolgte Thal in einen in gerader Richtung hin erstreckten Bergkamm

fort, während zur linken längs $U_2 = 0$ ein gekrümmtes Thal bis zum Niveau Null (im Punkte $y = 4\pi$ der y -Axe) sich hinabsenkt, u. s. f.

Eine unmittelbare Anschauung der eigentümlichen Verflechtung von Berggipfeln und Thalmulden in unserem Lichtgebirge gewährt jedoch das Modell; auf demselben sind die Bergkämme durch rote, die Thalwege durch blaue Linien angegeben, welchen in der Projection (s. Fig.) die schwächer und resp. stärker ausgezogenen Linien entsprechen.

Die Gipfel der Berge und die tiefsten Punkte der Thalmulden liegen über denjenigen Punkten der zy -Ebene, deren Coordinaten z und y den beiden Gleichungen

$$\frac{dx}{dz} = 0 \quad \text{und} \quad \frac{dx}{dy} = 0$$

gleichzeitig genügen, d. i. über den Durchschnittspunkten der beiden Liniensysteme $I_1 = 0$ und $U_2 = 0$ mit der Curve $\frac{dx}{dy} = 0$.

Man erhält mit Rücksicht auf die oben angeführten Relationen für die U -Function

$$\frac{dx}{dy} = -\frac{2}{y} \left(\frac{2}{y}\right)^2 (U_1^2 + U_2^2) + \left(\frac{2}{y}\right)^2 \left(2 U_1 \frac{dU_1}{dy} + 2 U_2 \frac{dU_2}{dy}\right)$$

oder, da

$$2 \frac{dU_1}{dy} = U_0 + \left(\frac{z}{y}\right)^2 U_2 \quad \text{und} \quad 2 \frac{dU_2}{dy} = U_1 + \left(\frac{z}{y}\right)^2 U_3$$

ist:

$$\frac{dx}{dy} = -\frac{2}{y} x + \left(\frac{2}{y}\right)^2 \left[U_1 (U_0 + U_2) + \left(\frac{z}{y}\right)^2 U_2 (U_1 + U_3) \right].$$

Es ist aber

$$U_0 + U_2 = I_0 \quad \text{und} \quad U_1 + U_3 = \frac{y}{z} I_1;$$

man hat daher:

$$\frac{dx}{dy} = -\frac{2}{y} x + \left(\frac{2}{y}\right)^2 \left(I_0 U_1 + \frac{z}{y} I_1 U_2 \right).$$

Da im vorliegenden Fall $I_1 U_2 = 0$ ist, so reducirt sich die Gleichung der Curve, welche mit den Linien $I_1 = 0$ und $U_2 = 0$ die gesuchten Durchschnittspunkte liefert, auf

$$\frac{2}{y} I_0 U_1 = x.$$

oder

$$I_0 U_1 = \frac{2}{y} (U_1^2 + U_2^2),$$

aus welcher in Gemeinschaft mit der Gleichung $I_1 U_2 = 0$ die verlangten Werte von z und y sich bestimmen. Für $U_2 = 0$ vereinfacht sich diese Gleichung noch weiter auf

$$\frac{2}{y} U_1 = I_0.$$

Der Verlauf der Intensität längs irgend eines Radius des Beugungsbildes wird, wie bereits bemerkt, dargestellt durch die Schnittcurve des Lichtgebirges mit einer Ebene, welche bei dem zu den jeweils gegebenen Grössen a und b gehörigen Werte von y senkrecht zur y -Axe gelegt wird.

Die eigentliche Intensitätsfläche der Beugungsringe für jeden speciellen Wert von y wird dann erhalten, wenn man diese Intensitätscurve um ihre der Bildmitte entsprechende Ordinate rotiren lässt. Das Beugungsbild bleibt hienach für dieselbe Oeffnung (dasselbe r), dieselbe Wellenlänge und denselben Beugungswinkel ($\operatorname{tg}\psi = \frac{\zeta}{b}$) unverändert, wenn y sich nicht ändert, wenn also

$$\frac{1}{a} + \frac{1}{b} = \text{Const.}$$

bleibt; d. h. das Beugungsbild ändert sich nicht, wenn man den Lichtpunkt und den Auffangschirm aus irgend einer gegebenen Lage gleichzeitig so verschiebt, dass sie in Bezug auf die beugende Oeffnung (als wenn diese eine Linse wäre) zu einander conjugirt bleiben.

(E. v. Lommel.)

274a. Optische Instrumente von Prof. **N. Jadanza** an der Universität Turin.

1. Das Universalprisma „Jadanza“ ist ein gerades Prisma von vier-eckigem Querschnitt mit den Winkeln 45° , 45° , $157^\circ 30'$, $112^\circ 30'$. Man kann damit Winkel von 45° , 90° und 180° abstecken und unzugängliche Distanzen messen. Der Vorteil gegenüber anderen Prismenconstructions z. B. der Bauernfeind'schen besteht darin, dass nur 4 geschliffene Flächen nötig sind anstatt fünf.

Teorica di alcuni strumenti topografici a riflessione di N. Jadanza Atti della R. Acad. d. Science di Torino V. XXVII, 1892. Norme pratiche per l'uso del Prisma Universale Jadanza, Torino, Vincenzo Bona 1893.

2. Verkürztes terrestrisches Fernrohr.

Herr *Jadanza* hat bemerkt, dass man die Dimensionen eines aus zwei Linsen bestehenden Systemes so wählen kann, dass die beiden Ebenen, welche ineinander, gleich gross aber verkehrt, abgebildet werden, zusammenfallen.*) Er bringt ein solches System so hinter die Objectivlinse eines Fernrohres, dass jene Ebene mit der Brennebene der Objectivlinse zusammenfällt. In dieser Ebene entsteht dann kein verkehrtes, sondern ein aufrechtes Bild, das mit dem Ocular betrachtet wird. Nimmt man, ohne an Objectiv und Ocular etwas zu ändern, das ersterwähnte zweilinsige System heraus, so hat man ein astronomisches Fernrohr von gleicher Länge und gleicher Vergrößerung wie das terrestrische.

Connochiali Ridotti. Nota di N. Jadanza Atti della R. Acad. di Torino XIX. Il nuovo Connochiale. Rivista Scientifico-Industriale di Firenze 1886. Nuovo metodo per accorciare i connochiali terrestri R. Acad. di Torino XXI.

3. Das Plesioteleskop.

Das oben beschriebene zweilinsige System kann auch als Objectiv eines Fernrohres verwendet werden. Von einem unendlich fernen Gegenstand entwirft die Vorderlinse ein Bild im Centrum der Hinterlinse, das demnach von dieser gar nicht verändert wird und durch ein Ocular betrachtet werden kann. Liegt dagegen das Object im vordern Brennpunkt

*) Es fällt dabei ein Brennpunkt der positiven Vorderlinse in das Centrum der gleichfalls positiven aber stärkeren Hinterlinse.

der Vorderlinse, so gibt diese Linse ein unendlich fernes Bild, das dann im Brennpunkt der Hinterlinse zu einem für das Ocular brauchbarem Bild umgeformt wird. Kommt das Object noch näher, z. B. in das Centrum der Vorderlinse, so wirkt diese gar nicht mehr, dagegen die Hinterlinse wie das Objectiv eines Mikroskopes. Mit einem Instrument, das aus einem solchen zweilinsigen System und einem Ocular besteht, kann man daher sowohl sehr ferne als sehr nahe Gegenstände scharf sehen.

4. Ein neuer Apparat zur Messung topographischer Basen.

Die letzterwähnte Eigenschaft des Plesioteleskopes hat Herr Jadanza benützt, um einen neuen Basismessapparat zur Ausführung der Porzo'schen Messmethode zu construiren. Bei dieser wird bekanntlich die Distanz einer Reihe in der Richtung der Basis hintereinander aufgestellter Mikroskope an untergelegten Maßstäben gemessen. Nimmt man statt gewöhnlicher Mikroskope Plesiotelskope, so kann man dieselben auch zum optischen Ablesen der Basisendpunkte benützen, wodurch eine Vereinfachung des Apparates erzielt wird.

Un nuovo apparato per misurare basi topografiche del Prof. N. Jadanza. Atti della R. Acad. di Torino XXVII.

5. Mikroskop mit constanter Vergrößerung.

Nimmt man als Objectiv eines Mikroskopes ein sogenanntes afocales Linsensystem, d. h. ein solches, welches aus zwei Linsen mit zusammenfallenden Brennpunkten aber nach verschiedenen Richtungen gekehrten Brennweiten besteht, so ist die Objectivvergrößerung unabhängig von der Entfernung des Objects und bloß abhängig von den beiden das afocale System bildenden Linsen bezw. deren Brennweiten. Wird ein solches Objectiv mit einem Ocular combinirt, so resultirt ein Mikroskop von constanter Vergrößerung, das beim Ablesen von Teilkreisen Verwendung finden kann.

Influenza della eccentricità dell' alidada sui vernieri ed un microscopio ad ingrandimento costante Atti della R. Acad. di Torino XXVI.

(Finsterwalder.)

U. Modelle zur Erläuterung der Krystallstructur.

276a. Glaskrystallmodelle von C. Mohn, Diener am mineralogischen Institut der Universität Rostock.

- a. Acht Modelle von einfachen und Combinationsformen (Glaskörpern mit Axenkreuzen.)
- b. Sieben Modelle von Hemiedriren und Tetartodriren. (Die Holoedriren als farbige Sterne in Glaskörpern.)
- c. Sieben Krystallmodelle mit krystallographischen und optischen Axen.

W. Zeichnungen und Modelle zur Thermodynamik.

292a. Serie von Isothermenflächen für die Gemenge zweier und dreier mischbarer Stoffe, von Reallehrer A. Blümcke in Nürnberg.

(Fortsetzung.)

7. *Isothermenfläche für die Lösungen eines Salzes in Wasser (oder eines festen Stoffes in einem flüssigen Lösungsmittel) für Temperaturen, bei welchen ersteres nur fest und dampfförmig, letzteres nur flüssig und dampfförmig sein kann; und wenn die Bildung von Hydraten ausgeschlossen ist.*

Das Coordinatensystem ist das gleiche wie in den Fällen 1, 2, 3 und 4, nur ist der Anteil des Wassers im Gemenge mit z statt mit x bezeichnet. In der Ebene $z = 1$ liegt die Isotherme des Wassers, in der Ebene $z = 0$ diejenige des Salzes, welche der Form nach mit jener übereinstimmt. Die empirische Fläche besteht aus fünf Teilen, der erste ist ein ebenes Dreieck dessen eine Seite die empirische Isotherme des Salzes ist, die ihr gegenüber liegende Ecke liegt in der theoretischen Isotherme des Wassers. Die Ebene des Dreiecks ist parallel zur ZV-Ebene, eine Seite desselben kann man als die Curve des beginnenden Festwerdens betrachten. Der zweite Teil der empirischen Fläche ist ein Conoïd, welches sich an das Dreieck anschliesst, seine Leitcurven sind die theoretischen Isothermen des Salzes und die des Wassers. An dieses Conoïd schliesst sich ein zweites Dreieck an, dessen Ebene gleichfalls parallel zur ZV-Ebene ist; es entspricht festem Salz flüssiger Lösung und Wasserdampf. Die nicht in den theoretischen Isothermen der Componenten gelegene Ecke des Dreiecks ist ein Punkt der Curve vollendeter homogener Verflüssigung, welche von hier aus einerseits zum Punkte vollendeter Verflüssigung der empirischen Isotherme des Wassers geht, andererseits sich der theoretischen Isotherme des Salzes asymptotisch nähert.

An die zwei übrigen Seiten des Dreiecks setzen sich zwei Conoïde an; das eine entspricht festem Salz und flüssiger Lösung; seine Leitcurven sind die theoretische Isotherme des Salzes und der sich dieser asymptotisch nähernde Teil der Curve vollendeter homogener Verflüssigung; das andere entspricht flüssiger Lösung und Wasserdampf, seine Leitcurven sind der andere Teil der Curve vollendeter homogener Verflüssigung und die theoretische Isotherme des Wassers.

Im Modell sind von der theoretischen Fläche nur die Isothermen des Salzes und des Wasserdampfes angegeben, da die übrigen Teile leicht zu ergänzen sind.

8. *Isothermenfläche für die Lösungen eines Salzes in Wasser für gleiche Temperaturen wie im vorigen Fall, wenn die Bildung eines Hydrates möglich ist, welches bei den betreffenden Temperaturen nur fest und gasförmig, nicht flüssig sein kann.*

Die empirische Fläche besteht in diesem Fall aus acht Teilen: zunächst aus einem Dreieck und einem Conoïd, welche dieselbe Bedeutung haben, wie im vorigen Fall. An das Conoïd schliesst sich ein Dreieck an, dessen Ebene wieder parallel zur ZV-Ebene ist, es entspricht festem Salz, Hydrat

und Wasserdampf. Von den zwei nicht an das Conoïd anstossenden Seiten entspricht die eine festem Salz und Hydrat, die andere Hydrat und Wasserdampf. Vom Schnittpunkt beider geht parallel zur PV-Ebene die nunmehr nur einem Zustand entsprechende Isotherme des Hydrats nach oben. An die erste Seite des Dreiecks schliesst sich ein Conoïd an, dessen Leitcurven die theoretische Isotherme des Salzes und diejenige des Hydrats sind. Auf die zweite Dreiecksseite folgt ein Conoïd, dessen Leitcurven die Isotherme des Hydrats und die theoretische Isotherme des Wassers sind; es entspricht Wasserdampf und Hydrat und hat eine ganz ähnliche Bedeutung wie das erste Conoïd im vorigen Fall (7), nur dass an die Stelle des Salzes das Hydrat getreten ist. Dasselbe gilt für die noch übrigen Teile der empirischen Fläche; sie sind von derselben Form wie die entsprechenden Stücke im vorigen Fall, nur muss man bei der Erklärung das Salz mit dem Hydrat vertauschen und die theoretische Isotherme des Salzes durch diejenige des Hydrats ersetzen.

Im Modell sind von der theoretischen Fläche nur die Isotherme des Salzes, des Wassers und ein Teil der Isotherme des Hydrats angegeben, da auch hier alles Übrige leicht zu ergänzen ist.

9. Isothermenfläche für die Lösungen eines Salzes in Wasser, wenn die Bildung eines Hydrates möglich ist für Temperaturen, bei welchen das Salz nur fest und dampfförmig, das Wasser nur flüssig und dampfförmig, das Hydrat sowohl fest als auch (labil-)flüssig und gasförmig sein kann.

Die empirische Fläche hat dieselben Teile wie die im vorhergehenden Fall besprochene; da aber die Isotherme des Hydrats eine Hebung und Senkung mehr hat, als im vorigen Fall, deren einer Teil dem labil flüssigen Zustand entspricht, so entsteht auf der theoretischen Fläche eine Welle mehr, wodurch zu neuen empirischen Teilen Veranlassung gegeben wird. Diese bestehen zunächst in einem Dreieck parallel zur ZV-Ebene, welches zwischen dem ersten und zweiten Dreieck des vorigen Falls gelegen ist, an die eine Seite desselben schliesst sich ein Conoïd an, welches labiler flüssiger Lösung und Wasserdampf entspricht und übergeht in jenes, welches auf die empirische Isotherme des Wassers ausläuft. Seine Leitcurven sind ein Teil der Curve vollendeter homogener Verflüssigung, welche in diesem Falle sich in zwei Äste gabelt, sowie die theoretische Isotherme des Wassers. An die andere Seite des Dreiecks schliesst sich ein Conoïd an, welches labiler flüssiger Lösung in Berührung mit festem Salz entspricht. Seine Leitcurven sind die theoretische Isotherme des Salzes und derjenige Teil der Curve vollendeter homogener Verflüssigung, welcher von der Ecke des ebengenannten Dreiecks aus aufsteigt und auf der theoretischen Isotherme des Salzes mündet. Letzterer Punkt hat dieselbe Druckcoordinate wie die Punkte desjenigen Teils der empirischen Isotherme des Hydrats, welcher labil-flüssigen und festen Zuständen entspricht. Er ist zwei weiteren Teilen der empirischen Fläche gemeinsam, nämlich zwei Dreiecken, deren Spitzen einerseits der ebengenannte Punkt der Curve vollendeter homogener Verflüssigung ist, andererseits ein auf gleicher Höhe gelegener Punkt des anderen Astes derselben Curve. Beide Dreiecke entsprechen

labil-flüssigen und festen Zuständen; sie vermitteln den Übergang auf die stabilen Teile der empirischen Fläche.

Im Modell sind von der theoretischen Fläche nur die Isothermen des Salzes, des Wassers und diejenigen Teile der Isotherme des Hydrats angegeben, welche flüssigen und festen Zuständen des fertigen Hydrats entsprechen. Das labil-flüssigen und gasförmigen Zuständen entsprechende Dreieck der empirischen Fläche ist besonders hervorgehoben.

10. System von Isothermenflächen für die Lösungen zweier Salze in Wasser, wenn die Bildung eines Doppelsalzes möglich ist, welches ebenso wie Salz ein Hydrat bilden kann für Temperaturen, bei welchen die Salze, das Doppelsalz und ihre Hydrate nur fest und dampfförmig sein können, das Wasser nur flüssig und dampfförmig sein kann.

In einem Coordinatensystem, wie bei Fall 5 und 6 haben die Flächen des Systems die theoretische und empirische Isotherme des Wassers in der Ebene $Z = 1$ gemeinsam; die Schnitteurven der Flächen des Systems mit der Ebene $Z = 0$ werden wieder erhalten, indem man die Isothermen eines Gemenges zweier Salze, welche ein Doppelsalz bilden können, auf diese Ebene projicirt. Die im Modell angegebene Isotherme eines Gemisches zweier solcher Salze besteht von rechts nach links gerechnet aus folgenden stabilen Teilen (die labilen sind alle weggelassen). Der erste hg entspricht einem homogenen gasförmigen Gemenge beider Salze, der zweite gf parallel zur ZV-Ebene festem zweiten Salz und dem Dampf beider (das zweite Salz soll bei schwächerem Druck fester werden als das erste), der dritte fe festem zweiten Salz und dem Dampf des ersten, der vierte ed parallel zur Z-V Ebene Doppelsalz und Dampf des ersten, der fünfte dc denselben Zuständen, der sechste cb parallel zur ZV-Ebene Doppelsalz, festem erstem Salz und Dampf des ersten, der siebente bia festem Doppelsalz und festem erstem Salz. Dementsprechend haben wir auf den angrenzenden Teilen (Conoiden und Dreiecken) der betr. empirischen Isothermenfläche des Systems die gleichen Zustände in Berührung mit Wasserdampf; auf dem siebenten Teile jedoch nur bis zu einem bestimmten Druck (dem Punkte i entsprechend). Von der diesem Druck entsprechenden Erzeugenden an gerechnet besteht die empirische Fläche noch aus zwölf Teilen. Unter der Voraussetzung, dass das Hydrat des Doppelsalzes sich bei niedrigerem Drucke bildet, als das Hydrat des ersten Salzes, ist der erste dieser zwölf Teile ein Dreieck (seine Ebene ist wie diejenige aller übrigen Dreiecke parallel zur ZV-Ebene) ik ζ ; es entspricht festem Doppelsalz, dessen Hydrat, festem ersten Salz und Wasserdampf. An seine zwei noch freien Seiten schliessen sich Conoide an, das eine links gelegene a i k l entspricht festem Doppelsalz, seinem Hydrat und festem ersten Salz, das andere lk ζ e dem Hydrat des Doppelsalzes, festem ersten Salz und Wasserdampf. An das letztere schliesst sich wieder ein Dreieck l ϵ m, es entspricht dem Hydrat des Doppelsalzes, dem Hydrat des ersten Salzes, erstem Salz und Wasserdampf. An die linksgelegene Seite schliesst sich ein Conoid r l m n u an entsprechend beiden Hydraten, an die andere Seite ein Conoid n m ϵ δ entsprechend beiden Hydraten und Wasserdampf. An letzteres setzt sich wieder ein Dreieck n o δ an; es entspricht beiden Hydraten, flüssiger Lösung des Hydrats des Doppelsalzes und

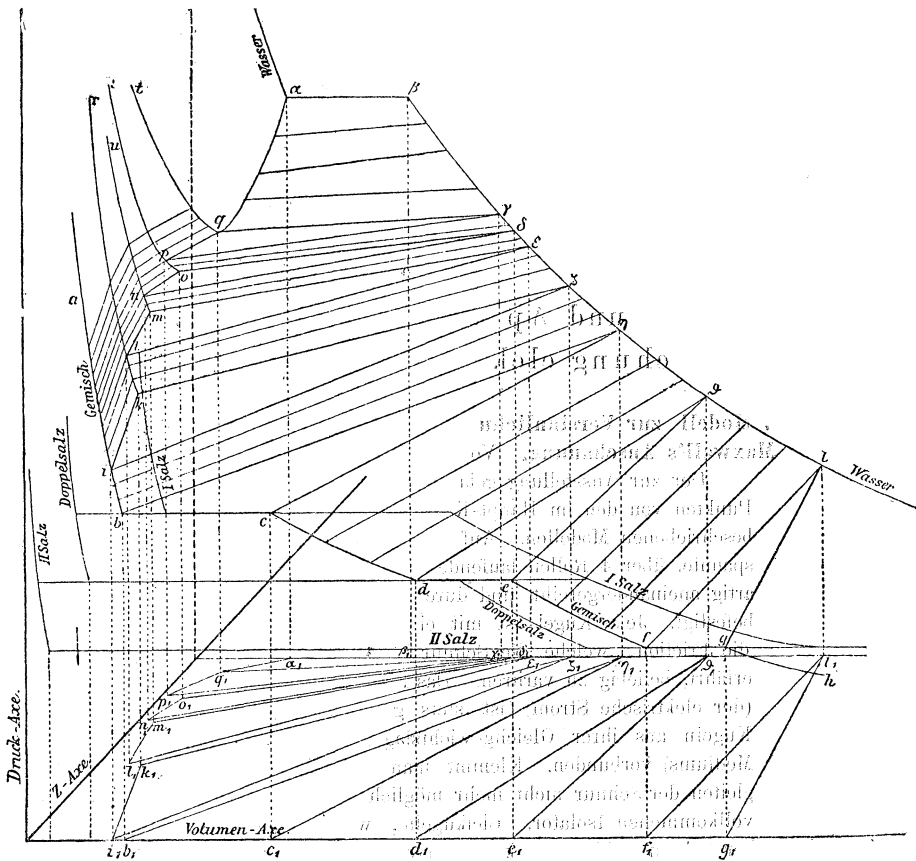


Fig. 4.

Wasserdampf. Das sich an die linksgelegene Seite anschliessende Conoid unops entspricht beiden Hydraten und flüssiger Lösung, das sich an die andere Seite anschliessende Conoid po δ γ dem Hydrat des ersten Salzes flüssiger Lösung und Wasserdampf. Auf das letztere Conoid folgt wieder ein Dreieck pq γ , es entspricht dem Hydrat des ersten Salzes, flüssiger Lösung und Wasserdampf. Das sich an seine linksgelegene Seite ansetzende Conoid spqt entspricht dem Hydrat des ersten Salzes und flüssiger Lösung, das sich an die andere Seite ansetzend p β α flüssiger Lösung und Wasserdampf. Die beiden letzten Conoidflä stossen an den von der Curve vollendeter homogener Verflüssigung α t begrenzten theoretischen Teil, welcher homogen flüssigen Zuständen entspricht.

Im Modell sind alle labilen Teile (ausser bei der Isothermie des Wassers) weggelassen; von dem theoretischen Teilen der Fläche sind nur die in der Ebene $Z = 1$ gelegene Isothermie des Wassers angegeben, sowie einzelne Teile der in der Ebene $Z = 0$ gelegenen Isothermien der Salze, des Doppelsalzes und des Gemisches.

Vergleiche hiezu die Abhandlungen des Verfertigers „Ueber den Zusammen-

hang zwischen empirischen und theoretischen Isothermen eines Gemenges zweier Stoffe“, „Ueber die Aenderung der empirischen und theoretischen Isothermen von Gemengen zweier Stoffe mit der Temperatur“, „Über die geometrische Darstellung der Isothermenflächen von mehr als zwei Stoffen“ und „Über die Isothermenflächen von Salzlösungen“. Zeitschrift für physikalische Chemie Bd. VI, 2, Bd. VIII, 5 und Bd. IX, 1 und 6, Bd. XI, 2 (Blümcke.)

X. Modelle und Apparate zur mechanischen Versinnlichung elektrodynamischer Vorgänge.

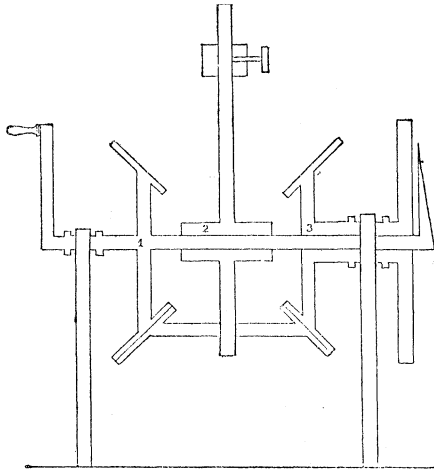
295a. Modell zur Versinnlichung der dielektrischen Verschiebung nach Maxwell's Anschauung. Von Prof. O. Lodge, Univ. College, Liverpool.

Der zur Ausstellung gelangte Apparat unterscheidet sich in einigen Punkten von den im Haupt-Kataloge auf Seite 401 und 402 (Fig. 1 u. 2) beschriebenen Modellen. Auf eine in einen rechteckigen Holzrahmen gespannte, über 4 Rollen laufende Schnur sind 8 Elfenbeinkugeln perlschnurartig aneinandergereiht und durch je zwei Gummischnüre an den Rahmen befestigt. Jede Kugel ist mit einer Schraube versehen, die es gestattet, die Friction, welche die Schnur beim Hindurchgleiten durch die Kugeln erfährt, beliebig zu variiren. Das Durchgleiten der Schnur durch die Kugeln (der elektrische Strom) ist stets gleichzeitig mit einer Verschiebung der Kugeln aus ihrer Gleichgewichtslage (der dielektrischen Polarisation des Mediums) verbunden. Klemmt man die Kugeln so fest, dass ein Durchgleiten der Schnur nicht mehr möglich ist, so repräsentirt das Modell einen vollkommenen Isolator. Bleikugeln, welche man an die verticalen Teile der Schnur ankleben kann, erzeugen eine Verschiebung der Elfenbeinkugeln, die soweit fortschreitet, bis die elastische Kraft der Gummischnüre (entsprechend der durch die dielektrische Polarisation geweckten Gegenkraft) dem Gewichte der Bleikugeln (der elektromotorischen Kraft) das Gleichgewicht hält. (Schütz.)

297a. Apparat zur mechanischen Versinnlichung der elektrodynamischen Inductionswirkung von Dr. H. Ebert. Ausgestellt von Herrn Universitäts-Mechaniker Böhner in Erlangen.

Der Apparat lehnt sich an die auf Seite 405 und fl. des Hauptkataloges beschriebenen Modelle *Maxwell's* und *Boltzmann's* an und nimmt eine Zwischenstellung zwischen beiden ein.

Man denke sich das *Maxwell'sche* Modell (Fig. auf fig. S.) mit einer Vorrichtung versehen, welche es gestattet, das an dem Querarme der Axe 2 befindliche Gewicht während der Rotation vom Ende des Querstabes gegen die Axe zu treiben; dann wird das Modell befähigt sein, das bei Verkleinerung des wechselseitigen Inductions-Coëfficienten zweier Strombahnen eintretende Inductionsphänomen (etwa das Entstehen eines



gleichsinnigen elektrischen Stromes in einem Leiter bei seiner Entfernung von einem zweiten elektrischen Strome) darzustellen.

Diese Vorrichtung realisiert Herr *Ebert* dadurch, dass er auf den Querarm zunächst das Gewicht, danach eine Spiralfeder und endlich einen Gummipolster schiebt. Vor dem Experimente bringt man, die Feder zusammendrückend, das Gewicht möglichst an das Ende des Querarmes hin. Um es in dieser Lage festzuhalten, stemmt man ein Holzstäbchen schräge zwischen eine Einfräsung, die an dem Gewichte gemacht ist, und einen auf einem kleinen Hebel sitzenden Stift. Ist der Apparat in Rotation, dann wird im geeigneten Momente eine Nase vorgeschoben, welche, wenn der Hebel während der Rotation an sie stösst, das Stäbchen zum Ausspringen und hiedurch die Federspannung zur Auslösung bringt; das Gewicht schnellt gegen die Axe und der secundäre Cykel macht eine der des primären gleichgerichtete Rotationsbewegung.

Will man aber das bei Vergrößerung des wechselseitigen Inductionscoefficienten auftretende Phänomen demonstrieren, so schiebt man zuerst die Spiralfeder, dann das Gewicht möglichst nahe an die Axe hin. Hier lässt man es durch einen Faden festhalten, dessen Endschleife um den auf dem kleinen Hebel sitzenden Stift geschoben ist. Dreht sich der Hebel um, so rutscht die Schleife ab, das Gewicht schnellt gegen das Ende des Querarmes, und eine Gegen-Rotation des sekundären Cykels ist die Folge der hiedurch bewirkten Vergrößerung des wechselseitigen Inductionscoefficienten. Das Umdrehen des Hebels aber wird wiederum durch das Vorschieben der Nase bewirkt.

Natürlich gestattet der Apparat ausserdem auch alle jene Experimente auszuführen, die schon mit dem *Maxwell'schen* möglich sind, doch ist er nicht befähigt, die mit dem *Boltzmann'schen* Bicycle-Modelle demonstrirbaren ponderomotorischen Wirkungen zu zeigen.

(Näheres vergl. *Wiedemann's* Annalen, August-Heft 1893.)

Preis des Apparates 100 Mark.

(Schütz.)

298a. Sichtbare Darstellung der aequipotentialen Linien auf durchströmten Platten. Von Prof. E. v. Lommel, Universität München.

Eine einfache Ueberlegung lässt erkennen, dass die zu den Stromlinien einer leitenden dünnen Platte senkrechten Linien gleichen Potentials zugleich die zu der Strömung gehörigen magnetischen Kraftlinien sind. Streut man daher Eisenfeilspäne auf die vom Strom durchflossene Platte, so ordnen sich dieselben bei genügender Stromstärke zu einem schönen Bilde der Aequipotentiallinien.

Die benutzten Metallplatten haben einen grössten Durchmesser von 4—5 cm und sind etwa $\frac{1}{2}$ mm dick; die Zuleitungsdrähte sind in der Regel an den Rand der Platte angelötet und liegen in ihrer Ebene. Die angewendete Stromstärke beträgt 20—35 Ampère. Um die entstandenen Bilder festzuhalten, wird über die Platte (bei roter Beleuchtung) photographisches Papier gebreitet und auf dieses die Eisenfeile gesiebt; die Figuren bilden sich auf der Papierfläche ebenso vollkommen aus, wie auf der Platte selbst, und eine kurzdauernde Belichtung mit wirksamen Strahlen, etwa das Aufflammen eines Zündhölzchens, genügt, um das Bild dem lichtempfindlichen Papierblatt einzuprägen. Damit das photographische Papier sich möglichst innig an die Platte und deren nichtleitende Umgehung anschmiege, wird die Platte samt ihren Zuleitungsdrähten in einen Gypsguss eingelasen, dessen Vorderfläche mit der Platte in derselben Ebene liegt. Um die Trägheit und den Reibungswiderstand der Feilspäne zu überwinden, wird die an einem Stativ horizontal eingespannte Gypsplatte kleinen regelmässigen Erschütterungen ausgesetzt; dies geschieht durch eine vibrirende Stimmgabel aus Messing; eine stählerne Stimmgabel nämlich würde durch den Magnetismus der sie in der Nähe eines so starken Stromes annimmt, das Magnetfeld der Strömung stören. Die Herstellung einer Figur erfordert nur wenige Augenblicke.

Die Feilspäne gruppieren sich immer so, wie es die Theorie für die Aequipotentiallinien verlangt; die Curven stehen namentlich stets senkrecht zu den Begrenzungslinien der Platte, die da immer Stromlinien sind; hier biegen sie um den Rand der Platte um, indem jede auf der Rückseite der Platte congruent mit ihrem Verlaufe auf der Vorderseite weitergeht und in sich zurückläuft. Da hienach diese Linien nur auf der Platte selbst, nicht aber auf ihrer nichtleitenden Umgehung entstehen, so erhält man auf dem Papier ein durch ihre Aequipotentiallinie in schraffirtes Bild der Platte selbst; auch die Zuleitungsdrähte bilden sich ab, quergestrichelt vermöge der zu ihnen senkrechten Aequipotentialen. Auf diese Weise erscheinen im photographischen Bild auch die Umrisse der Platte in natürlicher Grösse.

Als Beispiele mögen einige der zahlreichen nach dieser Methode hergestellten Bilder mitgeteilt werden in unmittelbarem, gleiches nach den Original-Photogrammen (deren Schärfe sie freilich nicht erreichen), zusammengestellt mit den Bildern der Aequipotentiallinien, wie sie sich aus Theorie und Erfahrung für dieselben Platten ergeben.

Die Fig. 1a entsteht auf einer kreisförmigen Platte mit an zwei Stellen ihres Umfanges angelöteten Zuleitungsdrähten, welche in der Ebene der Platte verlaufen und sich in der Figur querschraffirt mit abgebildet

Fig. 1a.

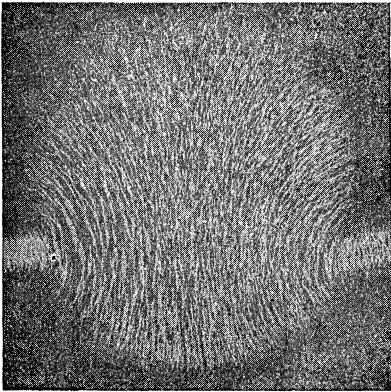


Fig. 1b.

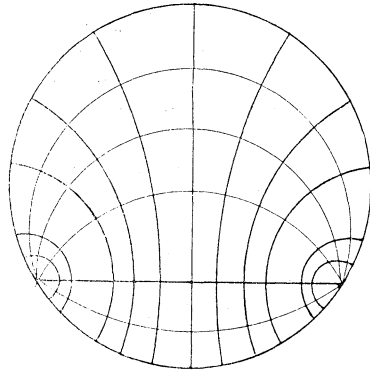


Fig. 2a.

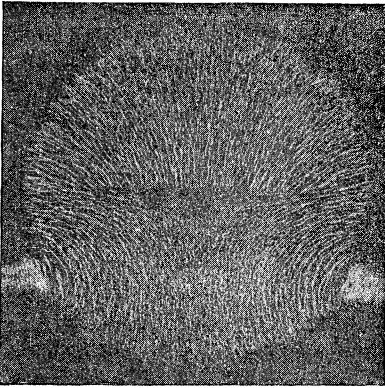


Fig. 2b.

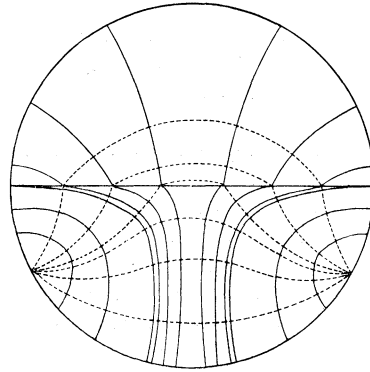


Fig. 3a.

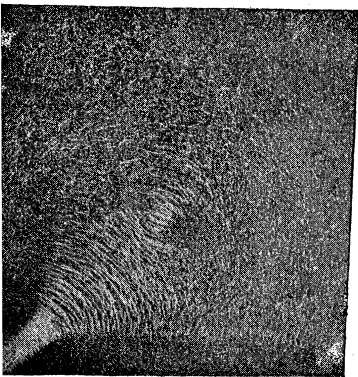
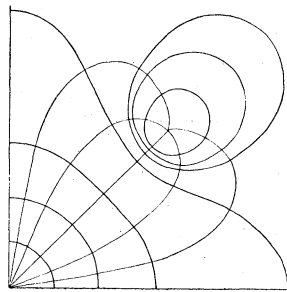


Fig. 3b.



haben. Fig. 1b zeigt die allbekanntem Aequipotentialen derselben Platte samt den zugehörigen Stromlinien. Letztere, zu welchen auch der Umfang der Platte selbst gehört, sind nämlich Kreise, welche durch die beiden Elektrodenpunkte gehen, erstere die zu ihnen senkrechten Kreise, deren Mittelpunkte in der Verbindungsgeraden der Elektroden liegen und diese Gerade in Punkten schneiden, die zu den Elektrodenpunkten harmonisch liegen.

Besonderes Interesse beansprucht die Fig. 2a, welche sich auf einer kreisförmigen Platte bildet, deren eine (in der Fig. obere) Hälfte aus Kupfer, die andere (untere) Hälfte aus Blei besteht; die beiden Hälften sind längs dem (horizontalen) Durchmesser zusammengelötet. Am Rande der Bleihälfte, in den Endpunkten einer zum Trennungsdurchmesser parallelen Sehne, befinden sich die Elektroden. Die Figur 2b ist der Abhandlung von *Quincke**) : „Ueber die Verbreitung eines elektrischen Stromes in Metallplatten“ entnommen; sie stellt die theoretisch abgeleiteten und experimentell bestätigten Aequipotentiallinien einer eben solchen Kupfer-Bleiplatte samt den zugehörigen (punktirten) Stromlinien dar. Man erkennt, dass die Curven der Fig. 2a denselben Verlauf nehmen wie diese Aequipotentialen. Namentlich zeigt sich längs der Trennungslinie die (bekanntlich nach dem Tangentengesetz erfolgende) Brechung der Linien beim Uebergang aus Blei in Kupfer. Vermöge dieses discontinuirlichen Uebergangs bildet sich daher auch der Durchmesser, der das Blei vom Kupfer scheidet, deutlich ab. Auch der Umstand, dass die Stromdichte auf die Gruppierung der Eisenteilchen Einfluss übt, indem sich dieselben an Stellen grösserer Stromdichte enger zusammenschaaren, trägt dazu bei, die Grenzlinie scharf hervortreten zu lassen. Denn ein Blick auf die Stromlinien der *Quincke'schen* Fig. 2b zeigt, dass in dem mittleren Teil der Doppelplatte die Stromdichte auf der Kupferhälfte grösser ist, als auf der angrenzenden Bleihälfte. Es werden daher dort die Eisenteile dichter zusammengerafft, als hier, wie aus Fig. 2a ersichtlich ist.

Die Figuren 3a und 3b beziehen sich ebenfalls auf einen von *Quincke* in der vorhin citirten Abhandlung untersuchten Fall, nämlich den der Strömung in einer quadratischen Platte, wenn eine Elektrode in der Ecke, die andere auf der von dieser Ecke ausgehenden Diagonale angebracht ist, in einer Entfernung, welche klein ist gegen die Seiten des Quadrats. In diesem Falle ist der Zuleitungsdraht zur Diagonalen-Elektrode senkrecht durch die Platte geführt, während der zur Ecke gehende wie sonst in der Ebene der Platte liegt. Auch hier ist die Uebereinstimmung der Magnetkraftlinien Fig. 3a mit den von *Quincke* theoretisch und experimentell bestimmten Aequipotentialen Fig. 3b augenfällig.

Diese Methode, die aequipotentialen Linien rasch und vollständig sichtbar zu machen, erscheint besonders willkommen in den Fällen, in welchen die Form der Platte der theoretischen Behandlung grosse, meist unübersteigliche Hindernisse entgegengesetzt. Sie liefert sozusagen eine empirische Integration der entsprechenden partiellen Differentialgleichungen. Als Beispiele mögen noch die Aequipotentialen zweier minder gewöhnlichen Plattenformen angeführt werden.

*) *Quincke*, Pogg. Ann. XCVIII. S. 382. 1856.

Fig. 4 zeigt die Aequipotentiallinien einer ringförmigen, von zwei
Fig. 4.

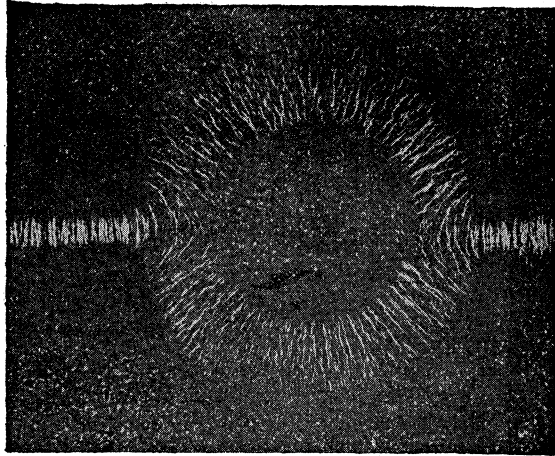
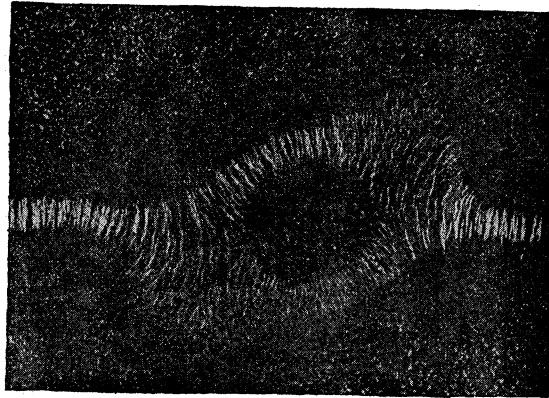


Fig. 5.



concentrischen Kreisen begrenzten Platte, mit Elektroden an den Endpunkten eines Durchmessers des äusseren Kreises. Die Fig. 5 entsteht auf einer rechteckigen Platte mit einem kreisrunden Loch in der Mitte und Elektroden an zwei gegenüberliegenden Ecken.

Es ist selbstverständlich und wurde schon Eingangs betont, dass nur die zur Strömung gehörigen Magnetkraftlinien mit den Aequipotentiallinien identisch sind, d. h. es ist vorausgesetzt, dass die Platte nicht auch noch von einem ihrer eigenen Strömung fremden Magnetfeld beeinflusst werde. Nähert man z. B. der Platte von seitwärts einen Magnetpol, so ordnen sich die Feilspäne in Linien, welche augenscheinlich die Resultanten sind aus den beiden zusammenwirkenden Systemen von Kraftlinien.

Als Beispiel hiefür diene das Bild Fig. 6, welches auf zwei gekrenzt aufeinander gelegten rechteckigen Streifen aus Kupferblech entsteht.

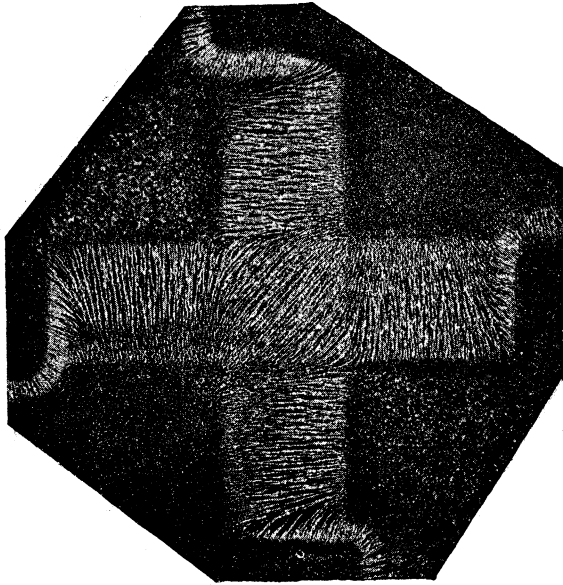


Fig. 6.

Der obere der beiden Kupferstreifen ist in eine entsprechende flache Einbiegung des unteren mittels Schellack eingekittet, so dass die freien Oberflächen mit der Gypsfläche, in welche das Plattenpaar samt Zuleitungsdrähten eingebettet ist, in einer Ebene liegen; die Zuleitungsdrähte sind längs den kurzen Seiten der Rechtecke angelötet. Geht ein Strom durch die beiden mittels des Schellacks von einander isolierten Platten, so ordnen sich die Eisenfeilspäne auf dem Quadrat, in welchem sich die beiden Platten überdecken, diagonal, und zwar in Linien parallel der Diagonale, welche die Ecken des Quadrates verbindet, wo die Stromrichtung in der einen Platte auf die Ecke zu, in der anderen Platte von ihr weggeht. Kehrt man den Strom in der einen Platte um, so ordnen sich die Feilspäne parallel zur anderen Diagonale. Die Magnetkraftlinien auf dem gemeinschaftlichen Quadrat stellen sich sonach dar als die Resultanten aus den Magnetkraftlinien jeder Platte für sich, welche auf den freiliegenden Enden der Platten als zu den Quadratseiten parallele Linien hervortreten.

(E. v. Lommel.)

298b. Zwei Apparate für ein Verfahren zur Bestimmung von Querschnitt, Spannungsverlust und Belastung eines Leitungsnetzes auf mechanischem Wege von **H. Heiberger**, Ingenieur in München.

Es sei ein System von n linearen Gleichungen folgender Form gegeben:

$$\begin{aligned} c_{11} x_1 + \dots + c_{1n} x_n &= l_{11} a_{11} + \dots + l_{1n} a_{1n} = B_1 \\ &\vdots \\ &\vdots \\ c_{n1} x_1 + \dots + c_{nn} x_n &= l_{n1} a_{n1} + \dots + l_{nn} a_{nn} = B_n \end{aligned}$$

Dieses Gleichungssystem lässt u. A. folgende zwei physikalische Deutungen zu:

1. Man betrachte ein Netz von n elektrischen Kabeln. Eine beliebige Masche desselben, die wir mit dem Index k bezeichnen wollen, wird im allgemeinen aus n Leiterstücken bestehen. Bezeichnet man nun mit $l_{k,i}$ die Längen dieser Leiterstücke, mit $a_{k,i}$ die Ampère-Belastungen derselben, mit x_i ihre Querschnitte und mit $c_{k,i}$ die durch ihre elektrischen Widerstände bedingten Spannungsverluste, dann stellt die Produkt-Summe $l_{k,1} a_{k,1} + \dots + l_{k,n} a_{k,n}$, die wir kurz mit B_k bezeichnen wollen, die elektrische Inanspruchnahme der Kabelmasche, ausgedrückt in Ampère-Längen dar, und es werden die obigen Gleichungen zu Recht bestehen.

2. Man betrachte n einander kreuzende Schnüre, deren jede zwischen zwei Ständern so gespannt ist, dass sie an dem einen derselben befestigt ist, während sie an dem andern durch irgend welche Vorrichtung einer willkürlichen, durch Gewichte messbaren Spannung x unterworfen werden kann. An bestimmten Stellen seien die Schnüre durch Gewichtchen belastet. Die Länge eines beliebigen, zwischen zwei Knoten liegenden Schnurstückes sei mit $l_{k,i}$, seine Belastung mit $a_{k,i}$, der durch diese Belastung bewirkte Durchhang (Abweichung von der Lage, welche die Schnur vor der Belastung einnahm) mit $c_{k,i}$ und endlich das Gewicht, das seiner elastischen Spannung proportional ist, mit x_k bezeichnet. Dann würde mit grosser Annäherung wiederum das obige Gleichungssystem anwendbar sein, sofern es gestattet wäre, für die Durchhänge das Superpositionsprincip in Anspruch zu nehmen. Bemerket sei, dass dieses Superpositionsprincip dann nicht engagirt ist, wenn es sich um die in der Praxis zumeist auftretende Aufgabe handelt, bei gegebenem zulässigen Spannungsverlust und gegebener geometrischer Configuration und Belastung des Kabelnetzes die Leiter-Querschnitte zu ermitteln, da ja dann immer ein bestimmt gegebener Durchhang austarirt wird; wohl aber bei allen Aufgaben, wo sich der Spannungsverlust unter den gesuchten Grössen befindet, sowie bei der Bestimmung der Energiebelastung der Speisequelle.

Damit sei nur die theoretische Grundlage des Helberger'schen Verfahrens, das, wenn man gerade will, man ja auch dazu verwenden könnte, um ein System von n linearen Gleichungen mit n Unbekannten mechanisch aufzulösen, kurz skizzirt. Im Uebrigen sei auf die Patentschrift (D. R. P. Nr. 68918) verwiesen.

(Schütz)

Dritter Abschnitt. Verschiedene technische Anwendungen.

Y. Geodätische, nautische und meteorologische Instrumente.

299a. Mikro-Goniometer, zum Messen von Entfernungen vom Standpunkt des Instrumentes aus, von Prof. Cerebotani, München.

Die Einrichtung des Apparates beruht auf dem bekannten Princip, an den Endpunkten einer ihrer Länge nach bekannten Basis 2 Fernrohre zu befestigen und mittelst denselben das Object an zu visiren. Aus der Basis und dem Neigungswinkel der Fernrohre lässt sich dann die Höhe des Dreiecks, d. i. die Entfernung des Objectes berechnen. Der Einfachheit halber wird meist das eine Fernrohr fest mit der Basis verbunden, da eine geringe Abweichung vom rechten Winkel noch keine erkennbaren Fehler verursacht.

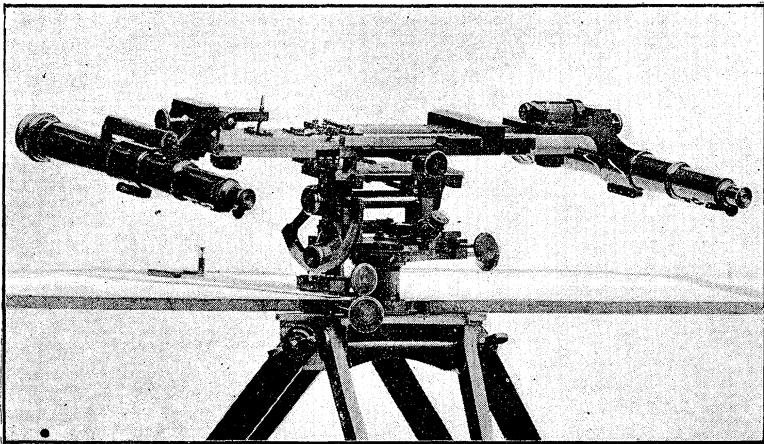


Fig. 1.

Die Neuerung besteht nun darin, dass die Drehung des beweglichen Fernrohres bewirkt wird durch Verschiebung eines Keiles. Ist die Steigung des Keiles bekannt, so lässt sich aus der Grösse dieser Verschiebung die Winkeldrehung des Fernrohres bestimmen.

Bei vorliegendem Instrument ist diese Methode dahin abgeändert, dass der Keil durch einen Schieber ersetzt wird, welcher längs zweier zu einander schwach geneigter Lineale gleitet, wodurch sich gleichsam der Keil-

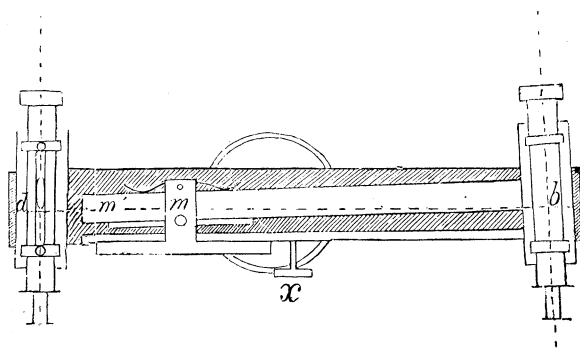


Fig. 2.

winkel ändert. Das gute Functioniren des Apparates hängt selbstverständlich von der genauen Ausführung dieser Lineale ab.

Das Mikro-Goniometer, in Verbindung mit einem Theolithunterteil mit dem Namen Teletopometer bezeichnet, gestattet Höhen- und Längenmessungen, überhaupt topographische Aufnahmen jeder Art.

(Cerebotani.)

300a. Projectionsglobus von Reallehrer Adami, Bayreuth.

Der Projectionsglobus besteht aus vier von einander unabhängigen Systemen :

- 1) dem Doppelführungskreis, welcher die Einstellung des Apparates für jede geographische Breite ermöglicht;
- 2) dem beweglichen Horizont- und Meridiansystem, welches für die verschiedenen geographischen Breiten verschieden eingestellt wird;
- 3) dem beweglichen Himmelsgewölbe, enthaltend Himmelsäquator, Ekliptik, Solstitialkolor, nebst drei Parallelkreisen zum Himmelsäquator;
- 4) der Erdbahn mit den Bahnen der Planeten „Venus“ und „Mars“.

Drei in Grade getheilte kreisförmige Zeiger vermitteln mit der an dem Apparate angebrachten Theilung die Transformation der Coordinatensysteme: Azimut und Höhe, Rectascension und Declination, Länge und Breite direkt an dem Apparat.

Auf der Ekliptik lassen sich Scheiben und Sterne, welche Sonne, Mond, Venus und Mars vorstellen, verschieben und für jeden Tag einstellen. Der Apparat trägt ausser sämtlichen von der Erde aus sichtbaren Sternen erster Grösse noch die Sternbilder: urs. min.; urs. maj.; Cassiopeja; gemini; Orion und südliches Kreuz.

Durch Drehung des Systems 3) wird die scheinbare Bewegung des Himmelsgewölbes gezeigt und dient der Apparat hiebei zugleich als Uhr, welcher die Sternzeit und die wahre Sommerzeit für jeden Ort auf der Erde und für jeden Tag des Jahres angibt.

Der auf der Erdbahn verschiebbare Erdglobus ist um seine Axe drehbar und kann für jeden Tag so gestellt werden, dass seine Axe sich selbst parallel bleibt. Dieser Erdglobus besitzt einen beweglichen Horizont mit einem Zenithzeiger und einen beweglichen Meridian, wird von einer elek-

trischen Glühlampe von 50 N. K., welche die Sonne vorstellt, kräftig erleuchtet und zeigt so die Tag- und Nachtgrenze auf der Erde an, welche durch ein mit einem Zeiger versehenes Zifferblatt in Zeit ausgedrückt werden kann. Der Erdglobus ist umgeben von der Mondbahn und ergeben sich bei der elektrischen Beleuchtung die verschiedenen Mondphasen. Hierbei kann die Rückläufigkeit der Knotenlinie der Mondbahn zur Darstellung gebracht werden.

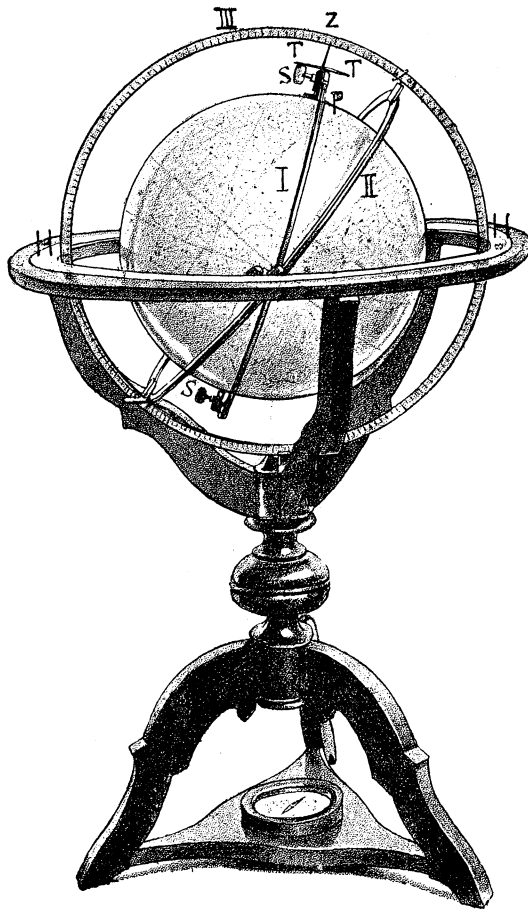
Das System 2) wird nun so gedreht, dass es mit dem beweglichen Horizont und Meridian des kleinen Erdglobus zusammenfällt, oder — weil sich dies wegen der 53,000 mal zu grossen Parallelaxe des Apparates nicht immer erreichen lässt — in zu den genannten Ebenen parallele Ebenen fällt, wodurch man die Ueberführung der scheinbaren Bewegung in die wirkliche erreicht und zugleich sieht, dass dasselbe Resultat erhalten wird ob man von einer feststehenden Erde und einem sich drehenden Himmelsgewölbe ausgeht, oder ob man ein feststehendes Himmelsgewölbe und eine sich drehende Erde als Ausgangspunkt annimmt.

Um die Präcession darzuthun, ist ein eigener Hilfskreis beigegeben, längs welchem sich der Rekt. Punkt 90° bewegt, wenn die Schnittpunkte des Himmelsäquators und der Ekliptik sich so bewegen, dass die Länge der Gestirne zunimmt, während ihre Breite constant bleibt. Ein ausserdem noch beigeügter Kreis zeigt die Bewegung des Aequatorpoles unter den Sternen im Verlaufe von ca. 25,000 Jahren.

Ausführlichere Beschreibungen finden sich: Ausland 1892 und Zeitschrift für naturwissenschaftlichen Unterricht von Dr. Poske, Dezemberheft 1892. (Adami.)

300b. Präcessions-Globus angegeben und ausgestellt von Professor **Dr. K. Haas** in Wien.

Der Globus bezweckt eine anschauliche Darstellung der Veränderungen des Sternenhimmels, welche die Präcession der Tag- und Nachtgleichen und die Variation der Schiefe der Ekliptik für irgend einen Ort der Erde bewirken, sowie eine (annäherungsweise) Berechnung dieser Veränderungen. Zu diesem Zwecke ist der Globus in drei Ringen, einem inneren, mittleren und äusseren, angebracht. Im inneren Ringe kann der Globus um eine Axe gedreht werden, welche durch die Pole der Ekliptik geht. Der Betrag der Drehung kann auf dem Ekliptikkreise des Globus unmittelbar abgelesen werden und zwar entspricht eine Drehung um einen Grad in der Richtung von 0° nach 10° einem Rückgange um circa 72 Jahre. Der innere Ring kann gegen den mittleren eine Neigung erhalten, welche der Schiefe der Ekliptik für die betreffende Zeit entspricht. Der mittlere Ring endlich kann in dem äusseren um eine Axe gedreht werden, welche der jeweiligen Himmelsaxe entspricht. Die Stellungen der Ringe gegen einander können mittelst Klemmschrauben fixirt werden. Der äussere Ring ist in dem Gestelle des Globus um eine horizontale Axe drehbar, so dass der Globus für jede Polhöhe eingestellt werden kann. Der äussere Ring trägt eine Teilung, an welcher die Schiefe der Ekliptik (mittelst eines Zeigers, der auf dem inneren Ringe aufgeschraubt werden kann), die Polhöhe des betreffenden



Ortes und die Declination der Gestirne abgelesen werden kann. Der horizontale, obere Rand des Gestelles trägt eine Teilung, welche das Azimut mit Hilfe einer dioptrischen Vorrichtung abzulesen gestattet. 11° unter diesem horizontalen Rande ist ein Reif zur Markirung des Sehungsbogens für Sterne erster Grösse angebracht. Das Globusgestell ist mit sanfter Reibung um eine verticale Axe drehbar, damit die Erscheinungen einem grösseren Zuhörerkreise demonstrirt werden können. (Zu diesem Zwecke könnte bei grösserer und kostspieligerer Ausführung des Globus im Centrum desselben eine Glühlampe angebracht werden und könnten die Punkte, an welchen sich Sterne erster Grösse befinden, durchlöchert werden. Diese Oeffnungen wären für gewöhnlich durch Metallstifte zu schliessen, für die Demonstration aber für das betreffende Gestirn zu öffnen.)

Mit diesem Globus lassen sich eine Reihe von Thatsachen, die für die Geschichte der Astronomie von höchstem Interesse sind, demonstriren: So die in den Abhandlungen über Tempelorientirung von Prof. Nissen

(Bonn)¹⁾ angeführten Erscheinungen, die von Prof. Hommel (München) aus der assyrischen Astronomie²⁾ und von Schlegel aus der chinesischen Astronomie³⁾ angeführten Daten, die von Lockyer⁴⁾ und Penrose⁵⁾ besprochenen Vorgänge; endlich, wenn der Stand der Sonne auf dem Ekliptikkreise [der den Schram'schen Tafeln⁶⁾ entnommen werden kann] markirt wird, auch die in den Tafeln von Wislicenus⁷⁾ angeführten schönen Beispiele aus Censorinus, Geminus und Ptolemaeus. Diesen Tafeln lässt sich auch am bequemsten die Schiefe der Ekliptik für das betreffende Jahr entnehmen.

Historisches. Der erste Praecessionsglobus wurde von Biot erfunden und in seinem *Traité élémentaire d'astronomie physique*. 3. Auflage. Band IV. S. 641 ff. beschrieben. Dieser Globus ist in einem Ringe um eine durch die Ekliptikpole gehende Axe drehbar. Der Ring trägt einen Fortsatz mit Schraube, mittelst welcher der Globus in Schraubenmuttern, die in Distanzen von 10 zu 10 Grad auf der Ekliptik angebracht sind, befestigt werden kann. Dieser Ring rotirt in einem zweiten um eine Axe, welche mit der durch die Ekliptikpole gehenden einen constanten Winkel gleich der Schiefe der Ekliptik, bildet.

Eine rohe, aber sehr einfache und billige Vorrichtung, die jeder Flaschner anfertigen kann, beschreibt Gustav Schlegel in seiner *Uranographie chinoise*. La Haye 1875. I. Band Seite 13 ff. Zuerst wird der Globus in einem genau anschliessenden Aequatorialringe so befestigt, dass derselbe die Ekliptik in jenen Punkten schneidet, welche für die gewünschte Zeit dem Frühlings-, resp. dem Herbst-Aequinoctium entsprechen (und möchte ich zusetzen, dass die Ekliptik und die Ring-Ebene einen Neigungswinkel bilden welche der Schiefe der Ekliptik zur betreffenden Zeit gleichkommt). Hierauf wird der Aequatorialring sammt Globus in einem Gehäuse von 2 sich rechtwinklig schneidenden Kupferringen befestigt, die an ihrem Kreuzungspunkte Fortsätze (im Abstand von 90° vom Aequatorialringe) tragen, mit denen das Gehäuse in gewöhnlicher Weise in einem Verticalringe montirt wird.

Unabhängig von Biot hat der englische Astronom Lockyer 1891 einen Praecessionsglobus ersonnen, der in Lagern gedreht wird, die sich in Abständen von je 15 Grad auf Kreisen befinden, welche von den Ekliptikpolen einen Abstand gleich der Schiefe der Ekliptik haben. Er hat mit diesem Globus sehr schöne Untersuchungen angestellt und denselben in der „*Nature*“ (Vol. 44 pag. 108) beschrieben.

Der von mir unabhängig von der genannten Vorrichtung angegebene

¹⁾ Nissen. Ueber Tempelorientirung. (Rheinisches Museum. XXVIII 513. XXIX, 369. LX 38, 329, 480. LXII 28.)

²⁾ Ausland. 1891, 92.

³⁾ Schlegel. Uranographie chinoise.

⁴⁾ Nature. Band XLIV. pag. 108.

⁵⁾ Nature Nr. 1165 und Nr. 1228.

⁶⁾ R. Schram. Hilfstafern für Chronologie. 45. Band der Denkschriften der kaiserlichen Akademie zu Wien.

⁷⁾ Wislicenus. Tafeln zur Bestimmung der jährlichen Auf- und Untergänge der Gestirne. Publication der Astronomischen Gesellschaft. XX Leipzig, Engelmann. 1892.

Globus ist eine Modification der cardanischen Aufhängung und gestattet die Himmelskugel um jeden beliebigen Durchmesser zu drehen. Er wurde von der Firma Alois Pichlers Witwe und Sohn (Wien) angefertigt.

(Haas.)

300c. Hipparch's Astrolabium, construirt und ausgestellt von Oberlehrer **M. Koppe** in Berlin.

Der Apparat gestattet, alle Aufgaben über die tägliche Drehung des Himmels für die Polhöhe von Berlin zu lösen. Zwei auf einander liegende Kreisscheiben, von denen die obere transparent ist, können gegen einander gedreht werden. Die untere trägt ein sphärisches Netz, dessen Kreise theils dem Horizont parallel sind, theils vom Zenit zum Nadir gehen. Die obere ist mit dem Netz der Linien gleicher Rectascension und gleicher Declination versehen, in welches die Sternbilder eingezeichnet sind. Der Rand ist hier in 24^h, dort in 365 Tage eingeteilt. Legt man die Scheiben so aufeinander, dass die dem augenblicklichen Datum und der Stunde entsprechenden Randpunkte sich decken, so erscheinen innerhalb des durchschimmernden Horizontes die gerade sichtbaren Sternbilder, und man kann Höhe und Azimut jedes Sternes ablesen. Ausserdem ergibt sich aus der in das untere Netz gezeichneten Erdkarte der Erdort, wo der Stern gerade im Zenit steht. In den ehemaligen Astrolabien war die obere Scheibe eine netzartig durchbrochene, an sich undurchsichtige Platte (rete, aranea), in der nur die Sterne erster Grösse von schmalen Ausläufern des Netzes getragen wurden. Ferner war zur Einstellung für Tag und Stunde die Benutzung einer auf der Rückseite (dorsum) angebrachten Tabelle nötig, weil vor Einführung der mittlern Zeit die Einteilung nach Tagen ungleiche Teile erfordert hätte, also selbst nur nach einer Tabelle herzustellen gewesen wäre. Die Karten sind nach stereographischer Projection gezeichnet, wobei das Auge im Südpol des Himmelsgewölbes gedacht wurde.

(M. Koppe.)

300d. Die heliocentrischen und geocentrischen Bahnen des Mars (Ia, Ib), des Jupiter (II), des Saturn (III) und des Neptun (IV), construirt und ausgestellt von Oberlehrer **M. Koppe** in Berlin.

Die Karte Ia enthält die heliocentrische Bewegung der Erde und des Mars unter Berücksichtigung der Excentricität, für 1890—1900. Die gewählten Zeitpunkte sind abkürzend durch Zahlen bezeichnet, deren Bedeutung nach Tag und Jahreszahl eine Tabelle angibt. Verschiebt man, ohne zu drehen, einen Bogen Pauspapier (Ib) so über die Karte Ia hin, dass ein fester Punkt O derselben durch die aufeinanderfolgenden Punkte der Erdbahn geführt wird, und überträgt man immer die gleichzeitigen Oerter des Mars aus der unteren Karte in die obere, so erhält man die geocentrische Bahn des Mars, deren Gestalt an eine Epicykloide erinnert. Dass die Verschiebung ohne Drehung geschieht, erkennt man an den beiden Systemen aequidistanter Horizontal-Linien, mit denen die obere und die untere Karte versehen sind. Da die Abstände der Parallelen in Ia und Ib ein wenig verschieden sind, so fallen nach dem Princip des Nonius bei paralleler Lage

der beiden Systeme gewisse Linien genau aufeinander. — Auf den übrigen Karten ist neben den heliocentrischen Oertern der Erde und des Planeten zugleich der geocentrische Ort dargestellt. Zu bemerken ist, dass in der Karte des Neptun benachbarte Schleifen der Bahn in einander greifen.

(M. Koppe.)

300e. Finsternistafel nach Lambert, construiert und ausgestellt von Oberlehrer **M. Koppe** in Berlin.

Die 29 wagerechten Linien stellen aufeinanderfolgende julianische Jahre dar, ausgehend von einem beliebigen Tage, an dem Sonne und Mond in einem Knoten der Mondbahn zusammentrafen. Ein solches Ereignis wiederholt sich fast genau nach der Zeit $P_1 = 28$ Jahr 345 Tage, weniger genau schon nach $P_2 = 18$ Jahr 11 Tagen, eine ganz genaue Wiederkehr erfolgt erst nach der Zeit $11 P_1 + P_2$. Auf den wenigen wagerechten Hilfs-Linien oberhalb der Tafel ist angegeben, in welchen Punkt der ersten Linie für jede neue Periode von 18 oder 29 Jahren zum ersten Male ein erster Januar fällt und welches Kalenderjahr mit ihm beginnt. Mittelst des beigegebenen Papiermasstabes, auf welchem ein Jahr in 365 Tage geteilt ist, kann man dann Tag und Jahr für jeden Punkt der 29 Linien bestimmen. Es sind nun die Zeitpunkte wiederkehrender Neumonde mit kleinen roten Kreisen, die Zeitpunkte der Durchgänge der Sonne durch einen Knoten der Mondbahn mit grossen roten Kreisen bezeichnet. Eine centrale oder eine beliebige Sonnenfinsternis tritt ein, wenn ein kleiner roter Kreis einen benachbarten grossen Kreis trifft oder ganz in ihm liegt. Der Mittelpunkt des kleinen Kreises gibt das julianische Datum an. In derselben Weise lassen die blauen Kreise die Mondfinsternisse für alle historischen Zeiten erkennen. Die Tafel ist von dem Lambert'schen Original (Beiträge zum Gebrauche der Mathematik und deren Anwendungen, Berlin 1765) nur durch Einführung neuerer Zahlenwerte verschieden.

(M. Koppe.)

304a. Berichtigungstafel zur Lux'schen Gaswage, 1890 entworfen und berechnet von Prof. **Mehmke**, techn. Hochschule Darmstadt. Verlag von **Fr. Lux**, Friedrichshafen a. Rh.

Durch blosses Abgreifen und Auftragen einer Strecke mit einem Zirkel liefert diese Tafel zu jedem Wertsystem der drei Veränderlichen x , y , z den zugehörigen Wert der Function

$$u = 1 - \frac{1 - z}{\frac{288}{273 + x} \cdot \frac{y}{760}}$$

wobei u das wirkliche spezifische Gewicht eines Gases bedeutet, für welches die Lux'sche Gaswage bei x° C und y^{mm} Barometerstand das spezifische Gewicht z ergeben hat. (Gebrauchsanweisung auf der Tafel selbst und in den beiliegenden Begleitworten.)

(Mehmke.)

304b. Quecksilber-Compensationspendel, (D. R. P.) von S. Riefler, Ingenieur München.

Neu an diesem Quecksilber-Compensationspendel ist, dass das Quecksilber sich in der Höhlung der aus einem Mannesmannstahlrohr bestehenden Pendelstange befindet, wodurch einerseits zufolge der Verteilung der Quecksilbermasse auf einen namhaften Teil der Pendellänge die Zuverlässigkeit der Compensation erhöht wird, während andererseits die durch diese Anordnung geschaffene Einfachheit der geometrisch-mechanischen Bedingungen es nach empirischer Ermittlung des Ausdehnungscoefficienten des Pendelrohres leicht gestattet, die zur Herstellung der Compensation erforderlichen Dimensionen der Quecksilbersäule genau vorher zu berechnen.

Die Regulirung der Schwingungsdauer geschieht durch Variation von Lage und Gewicht der Pendellinse.

Nachtrag.

10d. Diagramm zur Umrechnung von Münzsorten, von **A. G. Greenhill**, Artillery College Woolwich.

77a. Planimeter von **Hine** und **Robertson**, Newyork, ausgestellt von **A. G. Greenhill**, Artillery College Woolwich.

130a. Die semiregulären Polyeder nach **Catalan**, Universität Lüttich. **Deja-grave**, Paris.

239h. Zwei Modelle zur Erklärung des **W. Hess'schen Falles der Bewegung eines starren Körpers um einen festen Punkt**. Von Prof. **N. Joukovsky**, Universität Moskau.

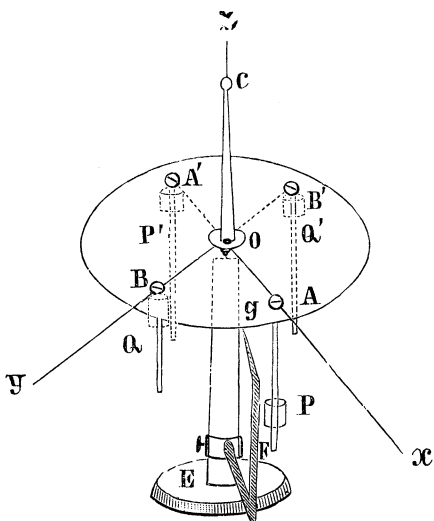


Fig. 1.

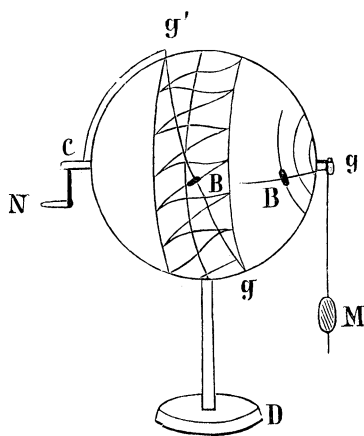


Fig. 2.

239i. Ballistik von Major **J. v. Kraínsky**, Wien.

245b. Zwei kinematische Modelle. Von Prof. **N. Joukovsky**, Universität Moskau.

Namenregister.*)

- Abdank-Abakanowicz. 34.
Abel. 70.
Adami. 125.
Alexander. 42, 77, 78, 90, 92, 95, 97.
Amsler. 32, 33, 34.
Aron. 37.
Babbage. 6.
Bailey. 2.
Balog. 61, 62.
Bardin. 51.
Bauschinger. 88.
Bessel. 106.
Biot. 128.
Blater. 1, 3, 4.
Blümcke. 112.
Böhner. 116.
Bohnenberger. 81.
Boltzmann. 116, 117.
Bouchet. 5.
Boys. 49.
Brandl. 5.
Brauer. 16, 20, 40.
Brill, A. 57.
Brugger. 35.
Brunn. 63, 64, 73.
Bürger. 3.
Burkhardt. 5, 6.
Burmester. 50, 51, 97, 98.
Catalan. 131.
Centnerschwer. 3.
Cerebotani. 48, 124.
Chasles. 98, 99.
Clouth. 3.
Coradi. 32, 34, 35.
Culmann. 1.
Darmstadt, Mathem. Institut der techn.
Hochschule. 17, 31.
Delagrave. 42.
Despeyroux. 71.
Diem. 29, 71.
Dinkelmeyer. 50.
Dixon. 2.
Döhlemann. 28.
Ducretet. 81.
Dublin, Trinity College. 90, 91.
Dyck. 69, 71, 72, 73.
Ebert. 116.
Eckhardt. 9, 39.
Edelmann. 97.
Ernst. 34.
Euler. 8.
Euclid. 3.
Exel. 31.
Feld. 22.
Feldmaier. 48.
Felt. 5.
Fischer, E. 42.
Fischer, K. 36.
Fischer, O. 100, 103.
Foucault. 76, 79.
Fourier. 36.
Francis-Galton. 6.
Fränkel. 89.
Fraunhofer. 108.
Fresnel. 106.
Freyberg. 88.
Freytag. 90.
Ganguillet. 18.
Gauss. 31.
Gilbert. 78, 81.
Goeringer. 38.
Goldschmitt. 39.
Greuner. 5.
Gunter. 21.
Haas. 126.
Hammer. 6.
Harley. 5, 8.
Hart. 104.
Hartl. 74.
Hartmann. 37.

*) Die beigetzten Zahlen sind Seitenzahlen.

- Heawood. 64.
 Heffter. 64, 65, 66.
 Helberger. 122.
 Henneberg. 72.
 Hennig. 83.
 Henrici. 34, 35.
 Herbst. 75, 88.
 Herrmann. 2, 4.
 Hess. 55, 131.
 Hildebrandt. 42.
 Hipparch. 129.
 Hoare. 2.
 Hohmann. 34.
 Hölder. 3, 4.
 Hommel. 128.
 Hossfeld. 56.
 Jadanza. 110.
 Jevons. 8.
 Joukovsky. 131.
 Karlsruhe, Seminar für darstellende
 Geometrie. 70.
 Kelvin. 49.
 Kerschensteiner. 23.
 Kleiber. 101.
 Klein. 9, 23, 25, 28, 69.
 Kohl. 74.
 Kohlrausch. 37.
 Koppe. 75, 76, 129, 130.
 Kreuter. 76.
 Kronecker. 9, 25.
 Krüss. 55.
 Kulik. 3.
 Kummer. 50.
 Kutter. 17, 18, 19.
 Lalanne. 8.
 Lambert. 130.
 Laundry. 3.
 Lehner. 47.
 Leonelli. 31.
 Leuner. 83, 89.
 Lockyer. 128.
 Lodge. 116.
 Löwen, Universität. 78.
 Lommel. 106, 118.
 Lorenz. 75, 78.
 Lux. 130.
 Mac Laurin. 29.
 Mac Mahon. 70.
 Mayer. 48.
 Martz. 42.
 Maxwell. 116.
 Mehmke. 8, 9, 10, 16, 17, 19, 20, 21,
 31, 40, 42, 130.
 Merpaut. 3.
 Miller. 3.
 Mohn. 111.
 Monge. 51.
 München, techn. Hochsch., Sammlung
 für darstellende Geometrie. 50, 51.
 München, geod. Institut der techn. Hoch-
 schule. 1, 2, 3, 32.
 München, Mathem. Institut der techn.
 Hochschule. 57, 71.
 München, Sammlung für Ingenieur-
 wissenschaften. 1.
 München, Mech.-techn. Laboratorium
 der techn. Hochschule. 88.
 München, Kinematische Sammlung der
 techn. Hochschule. 72, 82, 96, 97, 98.
 Muret. 51.
 Neesen. 81.
 Ocagne. 10, 18, 19.
 Ott, A. 38, 76.
 Ott, M. 32, 34, 48.
 Pascal. 39.
 Peaucellier. 104.
 Penrose. 128.
 Pötzl. 3, 4.
 Poske. 126.
 Pressel. 76.
 Pringsheim. 29.
 Quincke. 120.
 Rankine. 90.
 Reuschle. 9.
 Riefler. 131.
 Riemann. 70.
 Rodenberg. 96.
 Röther. 38.
 Roucole. 42.
 Ruth. 2.
 Schilling. 72.
 Schlegel. 6, 128.
 Schlömilch. 69.
 Schmidt. 78.
 Schoute. 25.
 Schram. 128.

- Schröder. 72, 99.
 Schultheiss. 57.
 Schütz. 36.
 Schwarz. 56.
 Sharp. 34, 35, 36.
 Shortrede. 3.
 Siemens. 37.
 Sonne. 3.
 Stanhope. 5, 8.
 Stanley. 2, 42.
 Steinhauser. 3, 4.
 Stöhrer. 75, 88, 105.
 Strachey. 5.
 Stühler. 50.
 Sylvester. 9, 25.
 Szymanski. 88.
 Tait. 96.
 Tarrant. 5.
 Tannery. 71.
 Tavernier-Gravet. 1.
 Tesch. 70.
 Thode. 1.
 Thomson. 37, 42, 77, 78, 92, 95, 97.
 Töpler. 83, 88.
- Tötössy, B. v. 61, 62.
 Urban. 32.
 Vissen. 127.
 Vogler. 22.
 Voisin. 3.
 Voss. 73.
 Walter. 23.
 Webb. 5.
 Weber. 2.
 Weichold. 69.
 Weinhold. 75.
 Weierstrass. 56.
 Wetli-Hansen. 32:34.
 Wiener, Chr. 56, 70.
 Wilhelm Herzog von Urach, Graf von
 Württemberg. 5.
 Williamson. 92.
 Wislicenus. 128.
 Wittstein. 31.
 Wolf. 57.
 Wüst. 1.
 Yeates. 90.
 Zimmermann. 4.
-

CATALOG
mathematischer Modelle

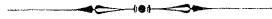
für den höheren mathematischen Unterricht,

veröffentlicht

durch die Verlagshandlung

von

Martin Schilling in Halle a. S.



Nachtrag.

Halle a. S.
1900.

Vorwort.

Wie von der unterzeichneten Verlagshandlung schon durch besonderes Rundschreiben im Juli 1899 angezeigt wurde, ging der bis dahin unter der Firma **L. Brill** in **Darmstadt** geführte **Verlag von Modellen für den höheren mathematischen Unterricht** in ihren Besitz über. Das eigenartige Unternehmen verdankt, wie bekannt, seine Entstehung vor nunmehr 23 Jahren in erster Linie der Anregung der zu jener Zeit an der Technischen Hochschule in München wirkenden Herren Professoren **Brill** und **Klein** und hat seitdem besonders auch durch die Herren Professoren **Dyck**, **Finsterwalder**, **Kummer**, **Rodenberg**, **Rohn**, **Schoenfliess**, **Schwarz**, **Chr.** und **H. Wiener** und andere lebhaft Förderung erfahren. Der Verlag wird von uns nach den verschiedensten Richtungen durch neue Veröffentlichungen erweitert werden. Wir freuen uns, als wissenschaftlichen Leiter unseres Unternehmens Herrn Professor Dr. **Fr. Schilling** an der Universität Göttingen, einen auf diesem Gebiete besonders sachkundigen Gelehrten, gewonnen zu haben, und hoffen, überhaupt in den Kreisen der Interessenten lebhaft Unterstützung und rege Förderung unserer Bestrebungen zu finden.

Da die Fertigstellung eines neuen Gesamtkataloges kaum vor Ende des Jahres 1900 möglich sein wird, haben wir uns entschlossen, zunächst über die erschienenen Nachträge sowie die neuen Serien die vorliegende Uebersicht zu veröffentlichen.

Wir geben der Hoffnung Ausdruck, dass es uns vergönnt sein möge, durch Darbietung geeigneter wissenschaftlicher Hilfsmittel auch fernerhin zur Belebung des mathematischen Unterrichts beizutragen und unserem Unternehmen in immer weiteren Kreisen Freunde und Gönner zu gewinnen.

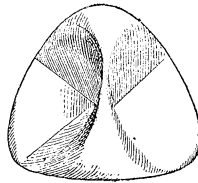
Halle a. Saale, Februar 1900.

Martin Schilling
Verlagshandlung.

Inhaltsverzeichnis.

	Laufende Nummer.		Seite
Serie IX.			
Nachtrag	72a	Römische Fläche von Steiner	5
Serie XVII.	247—249	Orthogonalsysteme auf der Kugel nach Dyck	6
Nachtrag	250—252	Die den regulären Polyedern entsprechenden Gebietseinteilungen auf der Kugel nach Dyck	6
	253—256	Typen konischer Knotenpunkte nach Dyck und Finsterwalder	7
	257—258	Gestaltsänderungen einer schwingenden Saite nach Klein	8
	259—261	Wärmeströmung in einem Stabe und in einem Ringe nach Klein	8
Serie XX.	262	Gerade geschlossene Schraubenfläche	9
Nachtrag	263	Schiefe geschlossene Schraubenfläche	9
Serie XXII.	264—266	Cartonmodelle über die Krümmung der Flächen nach Chr. Wiener	10
Serie XXIII.	267—279	Modelle zum Gebrauche für Studierende, ins- besondere Flächen 2. Ordnung und Cylindroid nach H. Wiener	11
Serie XXIV.	280—291	Kinematische Modelle nach Schilling	15
Serie XXV.	292—298	Fadenmodelle der Kegel 3. Ordnung nach H. Wiener.	17



Nachtrag zu Serie IX.

Lauf. Nr.

72a. Nr. 3a. Römische Fläche von Steiner, mit Haupttangentialkurven.

Von dem bisher gelieferten **glatten** Modell der **Römischen Fläche von Steiner** (Fläche 4. Ordnung mit drei Doppelgeraden, die sich in einem Punkte treffen) ist in der Folge auch ein Abguss beziehbar, auf dem eine Anzahl von Haupttangentialkurven eingetragen ist.

Preis 10 Mark.

Nachtrag zu Serie XVII.

A. Modelle zur Functionentheorie,

angefertigt

auf Veranlassung von Prof. Dr. Dyck

im mathematischen Institut der K. Technischen Hochschule
in München.

Nr. 5. Orthogonalsysteme auf der Kugel, ausgeführt (1891) von Assistenten *J. Kleiber*. Die Modelle geben quadratische Einteilung auf der Kugel

Lauf. Nr.
247. 248.

a. u. b. durch zwei aufeinander senkrechte Kreissysteme mit zwei getrennten bzw. zusammenfallenden Polen,

249.

c. durch zwei Schaaren von aufeinander senkrechten Loxodromen.

	bei	ohne
	Schwarzfärbung der eingeritzten Linien	
Preis für 5 a u. b.	Mk. 26. —.	Mk. 21. —.
„ „ 5 c.	„ 8.50.	„ 6.50.
	excl. Emballage und Versandkosten.	

Nr. 6. Die den regulären Polyedern entsprechenden regulären Gebietseinteilungen auf der Kugel. Die Modelle geben

250.

a. den Tetraëdertypus

(Einteilung in 24 Dreiecke mit den Winkeln $\frac{\pi}{2}$, $\frac{\pi}{3}$, $\frac{\pi}{3}$);

251.

b. den Oktaëdertypus

(Einteilung in 48 Dreiecke mit den Winkeln $\frac{\pi}{2}$, $\frac{\pi}{3}$, $\frac{\pi}{4}$);

252.

c. den Ikosaëdertypus

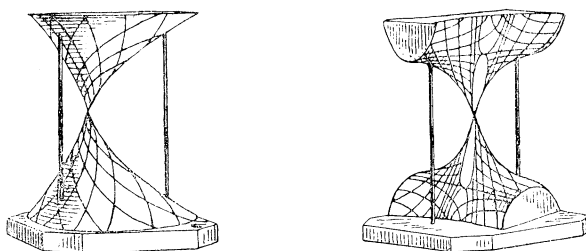
(Einteilung in 120 Dreiecke mit den Winkeln $\frac{\pi}{2}$, $\frac{\pi}{3}$, $\frac{\pi}{5}$).

	bei	ohne
	Schwarzfärbung der eingeritzten Linien	
Preis für 6 a.	Mk. 5.70.	Mk. 5. —.
„ „ 6 b.	„ 7. —.	„ 6. —.
„ „ 6 c.	„ 8. —.	„ 6.50.
	excl. Emballage und Versandkosten.	

B. Modelle zur Flächentheorie,

angefertigt

unter Leitung von Prof. Dr. Dyck und Prof. Dr. Finsterwalder
im mathematischen Institut der K. Techn. Hochschule
in München.



Lauf. Nr.

253.254. Nr. 7 a, b, c, d. Modelle für die verschiedenen Typen konischer Knotenpunkte mit Angabe des Verlaufes der parabolischen Curve und der Haupttangentencurven in der Umgebung dieser Punkte. Ausgeführt (1891) von Professor A. Sucharda in Prag.

Die vier dargestellten Typen konischer Knotenpunkte unterscheiden sich nach der Realität der sechs Schnittgeraden der durch die Glieder zweiter und dritter Ordnung gegebenen Näherungskegel.

Preis zusammen Mk. 75.—,
excl. Emballage und Versandkosten.

C. Modelle zur mathematischen Physik,

angefertigt

auf Veranlassung von Prof. Dr. **F. Klein** in Göttingen
von Oberlehrer Dr. **Schellenberg** in Mülheim a. d. R. (1898).



Lauf. Nr.

257.258. Nr. 8 a. u. b. Modelle zur Darstellung der Gestaltsänderungen einer schwingenden Saite (Fortpflanzung stehender Wellen).

Die Modelle zeigen die Aenderungen der Gestalt der schwingenden Saite mit der Zeit und zwar a) für die gezupfte, b) für die angeschlagene Saite.

Preis für 8a. Mk. 16, —.

,, „ **8b. „ 20, —.**

excl. Emballage und Versandkosten.

259.260. Nr. 9 a, b u. c. Modelle zur Theorie der Wärmeströmung in einem Stabe (2 Modelle) und in einem Ringe (1 Modell).
261.

Die Modelle versinnlichen die Ausbreitung der ursprünglich in einem Punkte zugeführten Wärmemenge über den Stab (bezw. Ring) in ihrem zeitlichen Verlaufe.

Preis für 9a. Mk. 16, —.

,, „ **9b. „ 18, —.**

,, „ **9c. „ 20, —.**

excl. Emballage und Versandkosten;

für erstere kommen bei dem complete Nachtrag Mk. 12. —. in Anrechnung.

Den sämtlichen Modellen ist ein erläuternder Text beigegeben.

Nachtrag zu Serie XX.

Modelle der geschlossenen Schraubenflächen.

Wird eine Schraubenfläche durch eine Gerade erzeugt, die einer Schraubenbewegung unterworfen wird, so unterscheidet man dabei geschlossene und offene Schraubenflächen, je nachdem die geschraubte Gerade die Schraubenaxe trifft oder nicht trifft. Von den offenen Schraubenflächen sind die drei Hauptfälle in der XX. Serie dargestellt. Die geschlossenen Schraubenflächen sollen hier nachgetragen werden, da sie gerade diejenigen Fälle ausmachen, die bei den in der Technik gebräuchlichen Schrauben zur Anwendung kommen, und zwar:

Lauf. Nr.

- 262. Nr. 4. Die gerade geschlossene Schraubenfläche** (Wendelfläche), bei der die Erzeugenden die Schraubenaxe senkrecht treffen.
- 263. Nr. 5. Die schiefe geschlossene Schraubenfläche**, bei der die Erzeugenden die Schraubenachse schief treffen.

Der erste Fall kommt (in Verbindung mit cylindrischen Begrenzungen) bei Schrauben mit flachem Gewinde zur Verwendung, der zweite Fall bei Schrauben mit scharfem Gewinde.

Preis für jedes der beiden Modelle Mk. 30.—

excl. Emballage und Verpackungskosten.

Serie XXII.

Drei Cartonmodelle über die Krümmung der Flächen.

Nach den
an der Grossh. Techn. Hochschule zu Karlsruhe
unter Leitung von Geh. Hofrath Prof. Dr. **Chr. Wiener**
hergestellten Originalen

entworfen von
Ingenieur C. Tesch,
früher Assistent der darstellenden Geometrie an der Techn. Hochschule
zu Karlsruhe.

Sind r_1 und r_2 die Hauptkrümmungsradien einer Fläche in einem gewissen Punkte, so sind für das Gauss'sche Krümmungsmass folgende drei Fälle zu unterscheiden:

- | | | | | |
|-----------|------|---------------|---|--|
| Lauf. Nr. | 264. | Nr. 1. | $\frac{1}{r_1} \cdot \frac{1}{r_2} > 0$ | Die Krümmungskreise liegen auf derselben Seite der Berührungsebene. |
| | 265. | Nr. 2. | $\frac{1}{r_1} \cdot \frac{1}{r_2} = 0$ | Der eine der Hauptkrümmungskreise ist in eine Gerade übergegangen. |
| | 266. | Nr. 3. | $\frac{1}{r_1} \cdot \frac{1}{r_2} < 0$ | Die Krümmungskreise liegen auf den entgegengesetzten Seiten der Berührungsebene. |

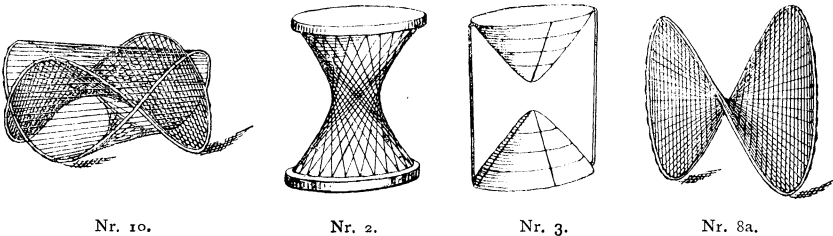
Aus den passend gewählten Hauptkrümmungsradien sind für diese drei Fälle die Krümmungsradien von Normalschnitten in Abständen von 15^0 zu 15^0 bestimmt, und die Krümmungskreise durch Cartonscheiben in den Modellen zur Darstellung gebracht. Sie werden durch eine zweite Schaar von Cartonscheiben, welche auf der Flächennormale senkrecht stehen, zusammengehalten.

Preis der ganzen Serie Mk. 16. —
excl. Emballage und Versandkosten.

Eine kurze Abhandlung ist beigelegt.

Serie XXIII.

Modelle zum Gebrauche für Studierende.



Zu den wichtigsten Bestandtheilen der bis jetzt herausgegebenen Modelle gehören diejenigen Serien, welche die Modelle von Flächen zweiter Ordnung enthalten. Sind letztere doch durch ihre mannigfaltigen Formen und durch die Fülle schöner geometrischer Beziehungen vorzugsweise geeignet, dem Studierenden den Nutzen und die Bedeutung des Modells als wichtiges Unterrichtsmittel nahe zu legen und ihm hiermit rascher und sicherer über die Schwierigkeiten abstracter Theorien hinweg zu helfen. Wenn nun auch die Gips- und Fadenmodelle der III. und IV. Serie zur Demonstration in den Hörsälen völlig ausreichen, so machte sich doch das Bedürfnis geltend, Modelle kleinerer Abmessung zu thunlichst billigem Preise herzustellen, um dem Studierenden deren Anschaffung zu ermöglichen. Durch die Güte des Herrn Professors *Wiener*, dessen Anregung diese Serie ihre Entstehung verdankt, wurden aus der reichen Sammlung seines Instituts die betr. Modelltypen der Verlagshandlung zur Vervielfältigung freundlichst überlassen. So entstand eine Reihe von kleinen, zierlichen Gips- und Fadenmodellen, die in dieser Art allgemeinen Anklang gefunden haben.

Die Serie enthält:

Lauf. Nr. **A. Gips-Modelle der Flächen zweiter Ordnung.**

Diese stellen die fünf Fälle der nicht ausartenden Flächen zweiter Ordnung dar; auf jedem Modell ist eine Anzahl von Kurven eingeritzt.

Nr. 1. Das dreiaxige Ellipsoid;

267. a. mit den drei Ellipsen der drei Hauptschnitte und einer Anzahl ebener Schnitte, deren Ebenen auf der grössten Ax. senkrecht stehen. **Preis Mk. 1.20.**
268. b. mit Krümmungslinien. **Preis Mk. 1,60.**

269. **Nr. 2. Das einschalige Hyperboloid** mit Geraden der beiden Schaaren von Erzeugenden. Die Innenwandung des Modells enthält den Asymptotenkegel mit den beiden Hauptschnitten. **Preis Mk. 1.80.**

270. **Nr. 3. Das zweischalige Hyperboloid** mit den Hauptschnitten und mit einer Schaar paralleler ebener Schnitte, deren Ebenen auf der reellen Axe senkrecht stehen. Das Modell besitzt denselben Asymptotenkegel wie das vorige. Die beiden Schalen der Fläche sind durch Stäbchen in der richtigen Entfernung mit einander verbunden. **Preis Mk. 1,80.**

271. **Nr. 4. Das elliptische Paraboloid.** **Preis Mk. 1,40.**

272. **Nr. 5. Das hyperbolische Paraboloid.** **Preis Mk. 1,40.**

Auf Nr. 4 u. 5 sind die Hauptschnitte und eine Schaar von ebenen Schnitten, deren Ebenen zur Paraboloidaxe senkrecht stehen, eingeritzt

Lauf. Nr.

B. Faden-Modelle einiger einfachen Flächenvon Professor Dr. **H. Wiener** in Darmstadt.

- 273. Nr. 6. Modell eines veränderlichen Umdreh-Hyperboloids** mit zwei Schaaren von Erzeugenden. **Preis Mk. 2,—.**

Das Modell stellt ein einschaliges Umdreh-Hyperboloid dar, das durch zwei gleich grosse Kreise begrenzt ist. Dadurch, dass die Schnittpunkte beider Schaaren von Erzeugenden mit dem einen Begrenzungskreis festgehalten werden, während in dem anderen die Schnittpunkte der einen Schaar gegen die der zweiten Schaar gedreht werden, ändert das Hyperboloid seine Gestalt zwischen Cylinder und Kegel als Grenzlagen.

- 274. Nr. 7. Raumkurve vierter Ordnung** mit unendlich fernem isolirtem Doppelpunkt. **Preis Mk. 2,20,**

Diese Kurve, die für die in den Nummern 8 bis 10 dargestellten Gebilde von Bedeutung ist, erscheint als Schnitt dreier Cylinder, von denen der eine ein Umdrehcylinder, die beiden anderen parabolische Cylinder sind. Die drei Cylinder sind in einem Messingrahmen durch Fäden dargestellt.

- 275.276. Nr. 8a u. 8b. Das rechtwinklige Paraboloid. Preis je Mk. 1,40.**

Die Fläche ist durch die (schon in Nr. 7 dargestellte) Raumkurve begrenzt gedacht, in der sie von einem Umdrehcylinder getroffen wird, der dieselbe Axe wie das Paraboloid besitzt. Das ganze Modell besteht aus einem diese Kurve darstellenden durchbohrten Messingdraht, zwischen welchem Fäden als Bilder der beiden Schaaren von Erzeugenden gezogen sind.

Das Modell ist in zwei Ausführungen verfertigt

- a. in der Höhe von 13 cm und der Breite von 12 cm.
- b. in der Höhe von $7\frac{1}{2}$ cm und der Breite von 15 cm.

Bei a ist die Begrenzungskurve dieselbe, wie bei Nr. 7; bei b ist sie durch Aufwicklung einer reinen Sinuslinie auf einem Umdrehcylinder entstanden gedacht, so dass sie sich nach zwei vollen Wellen schliesst.

Lauf. Nr.

277. 278. **Nr. 9a u. 9b. Das Cylindroid (Plücker'sche Konoid).**

Preis je Mk. 1,40.

Das Modell besteht aus demselben Begrenzungsdraht, wie das vorige, nur mit anders eingezogenen Fäden. 9a stimmt in seiner Begrenzungskurve mit 8a, 9b mit 8b überein.

279. Nr. 10. Das Cylindroid und das rechtwinklige Paraboloid vereint.

Preis Mk. 3,30.

Das rechtwinklige Paraboloid ist der geometrische Ort aller Punkte, die von zwei gegebenen Geraden gleichweit abstehen. Es hat zu unendlich vielen Geradenpaaren diese Lage, und diese sind die Erzeugenden eines Cylindroids. Das Modell giebt diese beiden Flächen in dieser Lage vereint wieder. Die Begrenzungen sind dieselben wie bei 8b und 9b.

Preis der ganzen Serie Mk. 22,—.

excl. Emballage und Versandkosten.

Modelle

Dach- und Brückenconstructionen

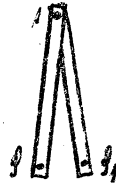
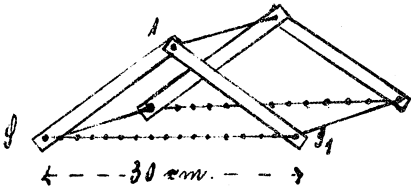
nach Schülke,

gefertigt von H. Apel, Universitätsmechanikus, Inh.: Dr. M. Apel,
Göttingen.

Die Modelle entsprechen den Zeichnungen, welche in der Zeitschrift f. phys. Mat. 1901 S. 18-28 veröffentlicht sind. Die Modelle bestehen aus Holzstäben und Kupferblech, zur Verbindung der Knoten sind Klinker (s. Fig. 1) dienen benutzt, die Belastung wird durch Holzklammern hergestellt, welche von unten gelassen werden angebracht werden. Die Modelle sind zum Experimentieren eingerichtet, das mit sie beim Aufbauen nur geringen Raum beanspruchen.

Lächer

1)

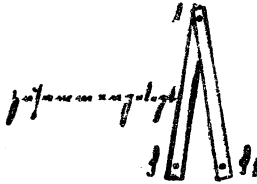
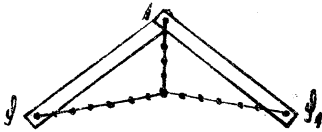


à 2,00

gestimmte Länge

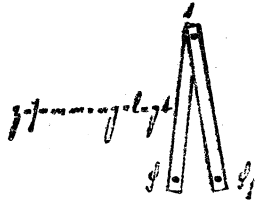
In der Figur 1 ist vollständig abgebildet, bei den übrigen Figuren ist die in der ersten Figur angegebene Maßzahl weggelassen.

2)



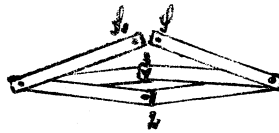
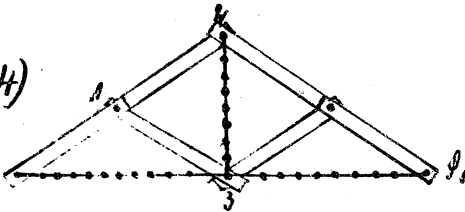
à 2,50

3)



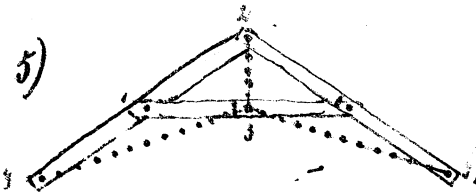
à 2,75

4)

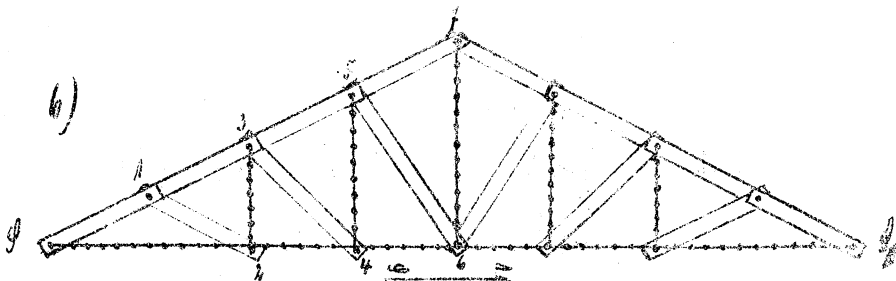


à 4,50

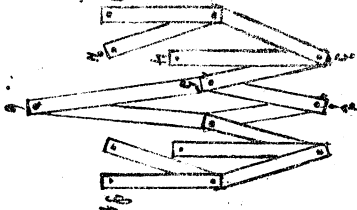
5)



à 4,50

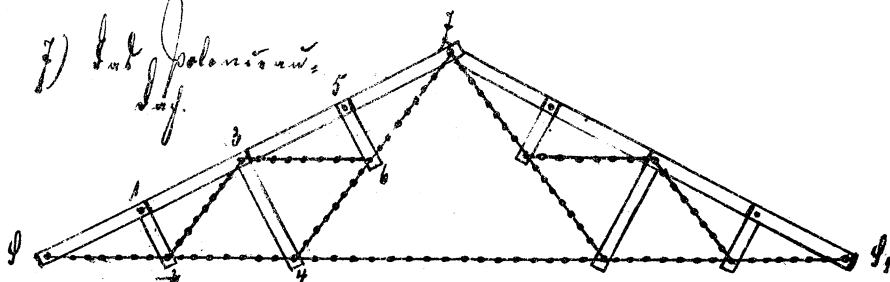


zusammengelagt:

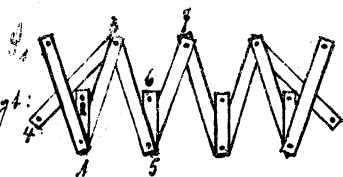


à Mk. 9,00

7) Sub Polarisierung
Lsg.

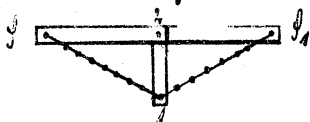


zusammengelagt:



à Mk. 9,50

8) Lsg. verspannter Balken

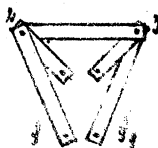


zusammengelagt:



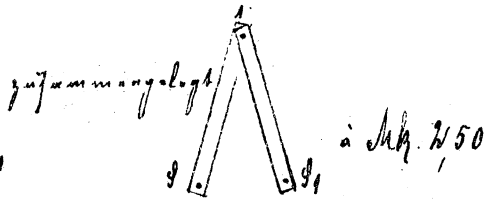
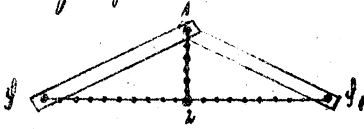
à Mk. 2,50

9) Lsg. doppelt verspannter Balken

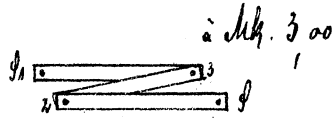
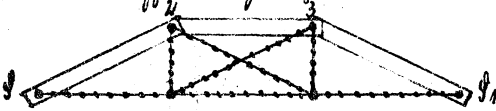


à Mk. 3,25

10) Ein Zingensack

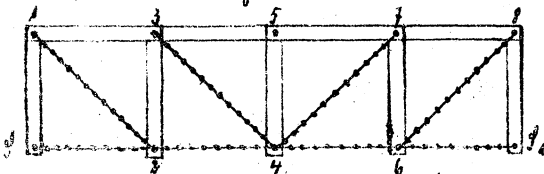


11) Ein doppelter Zingensack

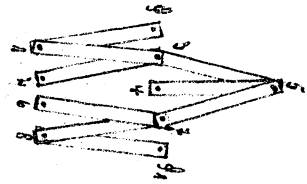


Brücken.

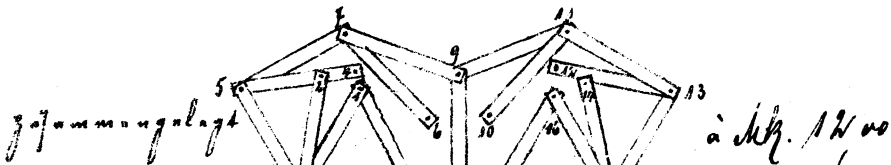
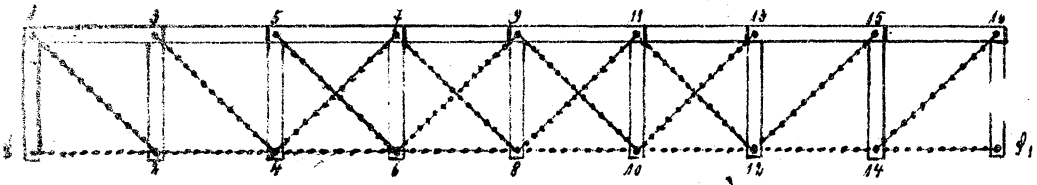
12) Parallelbrücke



à Mk. 6,00



13) Parallelbrücke



Paßkappen zur Aufbrennung der Modelle je nach Größe
 von 10,30 Mk. an.
Modelle zur Lagerbrücken sind in Arbeit.

Serie XXIV.

Kinematische Modelle

herausgegeben

von Professor Dr. Fr. Schilling in Göttingen.

I. Gruppe.

Lauf. Nr.

80.	Nr. 1.	Erzeugung der Epitrochoiden als solche mit freiem Centrum	Mk. 56.—
281.	„ 2.	Erzeugung der Epitrochoiden als solche mit bedecktem Centrum	„ 67.—
282.	„ 3.	Erzeugung der Hypotrochoiden als solche mit freiem Centrum	„ 59.—
283.	„ 4.	Erzeugung der Hypotrochoiden als solche mit bedecktem Centrum	„ 64.—

II. Gruppe.

284.	Nr. 5.	Erzeugung von Ellipsen und Strecken	Mk. 59.—
285.	„ 6.	Erzeugung von Kreisevolventen	„ 66.—
286.	„ 7.	Erzeugung von Cykloiden	„ 58.—

III. Gruppe.

287.	Nr. 8.	Gleichläufiges Zwillingskurbelgetriebe	Mk. 20.—
288.	„ 9.	Gegenläufiges Zwillingskurbelgetriebe	„ 24.—

IV. Gruppe.

289.	Nr. 10.	Inversor von Peaucellier	Mk. 22.—
290.	„ 11.	Inversor von Hart	„ 22.—
291.	„ 12.	Inversor von Sylvester-Kempe	„ 28.—

Preis der ganzen Serie Mk. 545.—,
excl. Emballage und Versandkosten.

Eine ausführliche Abhandlung wird beigelegt.

Mit diesen Modellen hat Herr Prof. **Schilling** den Gedanken zu verwirklichen begonnen, der auf der Versammlung der Deutschen Mathematiker-Vereinigung zu Frankfurt (1896) unter allseitiger lebhafter Zustimmung ausgesprochen wurde: es möge eine Sammlung einfacher kinematischer Modelle herausgegeben werden, welche die wichtigsten Mechanismen in der Art zur Anschauung bringt, dass der mathematische Grundgedanke überall deutlich hervortritt. **Die Originalmodelle der Sammlung haben der Versammlung in Düsseldorf (1898) vorgelegen und den vollen Beifall der Teilnehmer gefunden.**

Der bequemen Uebersicht wegen sind die Modelle in vier Gruppen geordnet.

Die vier Modelle der **ersten Gruppe** stellen die **Erzeugung der allgemeinen cyklischen Curven** durch Abrollung eines beweglichen Kreises auf einem festen Kreise dar. Je zwei einander entsprechende Modelle zeigen neben anderen Eigenschaften die bekannte doppelte Entstehungsweise der Epitrochoiden und Hypotrochoiden.

Die drei Modelle der **zweiten Gruppe** repräsentiren die **speziellen Fälle der cyklischen Curven**. Sie zeigen die Erzeugung von Ellipsen und Strecken durch Abrollung eines Kreises in einem solchen von doppeltem Radius, die Erzeugung von verschlungenen, gespitzen und gestreckten Kreisevolventen und Cykloiden durch Abrollung einer Geraden auf einem Kreise bzw. eines Kreises auf einer Geraden.

Die **dritte Gruppe** zeigt in zwei Modellen das sogenannte **gleichläufige und das gegenläufige Zwillingskurbelgetriebe** mit ihren Polbahnen, zwei congruenten Ellipsen bzw. Hyperbeln.

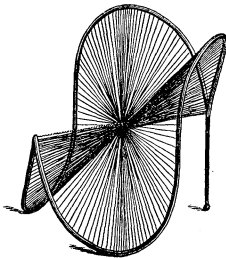
Die vierte Gruppe endlich veranschaulicht in drei Modellen die **Inversoren von Peaucellier, Hart und Sylvester-Kempe**. Durch eine einfache Einrichtung wird in jedem Apparat einer der einander zugeordneten Punkte auf einem Bogen entweder eines durch das Inversionscentrum gehenden Kreises oder eines das letztere einschliessenden Kreises geführt, so dass entsprechend der zugeordnete Punkt entweder eine Strecke oder ebenfalls einen Kreisbogen beschreibt.

Eine ausführliche Beschreibung der Modelle mit Abbildungen ist in der Zeitschrift für Mathematik und Physik, Jahrgang 1899, Heft 4, erschienen. Die Abbildungen der Modelle werden auf Wunsch gern zugesandt.

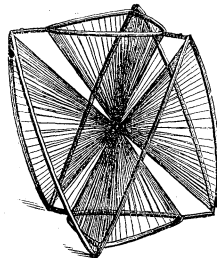
Serie XXV.

Sieben Fadenmodelle der Kegel dritter Ordnung

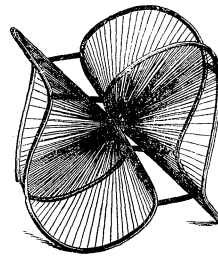
von Professor Dr. H. Wiener in Darmstadt.



Nr. 1.



Nr. 4.



Nr. 6.

A. Kegel vom Geschlechte Null:

auf. Nr.

- | | | | |
|------|--------|--|--------|
| 292. | Nr. 1. | 1. Kegel mit Rückkehrkante Mk. 16.—
(von der dritten Klasse). | |
| | | 2. Kegel mit Doppelkante
(von der vierten Klasse), die | |
| 293. | „ 2. | a. als Selbstschnitt, | „ 16.— |
| 294. | „ 3. | b. als isolirte Doppelkante auftritt. | „ 20.— |

B. Kegel vom Geschlechte Eins

(von der sechsten Klasse):

- | | | | |
|------|--------|--|--------|
| 295. | Nr. 4. | 1. aus einem paaren und einem unpaaren
Mantel bestehend; Mk. 20.— | |
| | | 2. aus einem einzigen unpaaren Mantel be-
stehend, | |
| 296. | „ 5. | a. in Dreikantslage, | „ 20.— |
| 297. | „ 6. | b. in Vierkantslage, | „ 18.— |
| 298. | „ 7. | c. mit drei durch eine Gerade gehenden
Wendeberührebenen. | „ 18.— |

Preis der ganzen Serie 128 Mk.
excl. Emballage und Versandkosten.

Eine ausführliche Abhandlung wird beigelegt.

Eine Einteilung der ebenen Kurven dritter Ordnung, wie sie der Unterscheidung der Kurven zweiter Ordnung in Ellipse, Hyperbel und Parabel entspricht, hat zuerst *Newton* unternommen. Indem er die verschiedenen Gestalten ihrer Gleichung untersucht, wird er auf **72 verschiedene Kurvenarten** geführt, von denen er nebenbei bemerkt, dass sie sich aus fünf besonderen Kurven, den „divergirenden Parabeln“ durch Projektion ableiten lassen. Nach ihm griff *Möbius* die Aufgabe wieder auf; er verzichtet aber gänzlich auf eine genauere Einteilung der Kurven in Arten und will nur die wichtigsten Gattungen feststellen, aus denen durch Projektion alle übrigen gewonnen werden können. Um keine einzelne vor den anderen gleichberechtigten auszuzeichnen, setzt er **an die Stelle der Kurven die projicirenden Kegel** und unterscheidet von diesen 7 Gattungen.

Ist das **Geschlecht der Kurven**, also auch der projicirenden Kegel, gleich **Null**, so giebt es nur drei projektiv verschiedene Gestalten von Kegeln, während es für das Geschlecht **Eins** deren unendlich viele giebt. Aber unter den letzteren sind doch wesentliche Unterschiede in der Gestalt vorhanden. So kann ein solcher Kegel entweder allein aus einem unpaaren Mantel oder aus einem solchen und einem hinzutretenden paaren Mantel bestehen, und man wird bei Berücksichtigung dieses Unterschiedes zwei Gattungen von Kegeln vom Geschlechte Eins zu unterscheiden haben, die zusammen mit den drei Gattungen vom Geschlechte Null den 5 Newton'schen Parabeln entsprechen. Aber unter den einmanteligen Kegeln vom Geschlechte Eins giebt es noch einen ausgezeichneten, bei dem nämlich die drei Berührebenen der Wendekanten durch eine Gerade hindurchgehen, und dieser ist ein Zwischenglied zwischen solchen, bei denen der Kegelmantel sich entweder durch drei Dreikante oder durch drei Vierkante hindurchwindet, die durch jene drei Berührebenen und die Ebene der drei Wendekanten begrenzt werden. **So kommt man mit Möbius zu den 7 Gattungen von Kegeln***, die durch die vorliegenden Fadenmodelle dargestellt werden. Diese Modelle sollen also auch hauptsächlich dem **Studium der Kurven dritter Ordnung** dienen, insofern es diejenigen Gestalten

*) Für die geometrischen Untersuchungen, durch die *Möbius* diese Siebenzahl ableitet, benutzt er nicht die Kegel selbst, sondern die **sphärischen Kurven**, in denen sie durch eine zu ihnen konzentrische Kugel getroffen werden. Diese 7 Fälle von sphärischen Kurven sind in den beiden **Modellen der XVII. Serie Nr. 2, (Nr. 204 u. 205)** auf Kugeln aufgezeichnet.

betrifft, die durch ihr Verhalten gegen die unendlich ferne Gerade bedingt sind. Legt man irgend eine schneidende Ebene durch einen der 7 Kegel dritter Ordnung, so erhält man eine Schnittkurve, die **drei unendlich ferne Punkte** besitzt. Von diesen können sein:

- a. **alle drei getrennt**, und zwar
 - α . alle drei reell,
 - β . einer reell und zwei konjugiert imaginär;
- b. **zwei zusammenfallend und einer davon getrennt**,
- c. **alle drei in einen einzigen zusammenfallend**.

Dabei kann das Zusammenfallen zweier Punkte bei b und c verschiedene Ursache haben, je nachdem die unendlich ferne Gerade die Kurve berührt oder durch einen Doppelpunkt geht.

Diese Unterschiede ergeben eine gewisse Einteilung der Kurven in Arten, denen eine feinere Teilung in Unterarten noch folgen kann; und je nachdem die Teilung mehr oder weniger weit verfolgt wird, erhält man auch verschiedene **Anzahlen von Kurvengestalten**. So zählt *Newton* deren 72, bei denen aber (trotz seiner Einteilung in 5 Parabeln) alle 7 Kegel zur Verwendung kommen, *Plücker* zählt 216 Arten, *Salmon* unter Zugrundelegung der 5-Teilung 30 Unterarten.

Will man an den Modellen die Gestalt der Schnittkurve irgend einer gedachten Ebene erkennen, so lege man durch die Kegelmittle eine Parallelebene. Aus der Art des Schnittes der letzteren geht die **Art, Zahl und Richtung der Asymptoten** (reelle, imaginäre, parabolische) der Schnittkurve hervor, und daraus lässt sich die Gestalt der Kurve selbst ohne weiteres absehen.

Die Kegel selbst verdienen insbesondere auch als einfache Beispiele von Kegeln unpaarter Ordnung Beachtung. Ein Strahl, der einen solchen erzeugt, kehrt dabei nicht in gleichem, sondern in **umgekehrtem** Sinne in die Anfangslage zurück. Bei projektiver Auffassung zerlegt ein unpaarer Kegel, der sich nicht selbst durchsetzt, den Raum nicht in zwei Gebiete, und seine Fläche dient als Beispiel einer **einseitigen Fläche im Möbius'schen Sinne**.

Der Anschaulichkeit halber sind die Kegel mit möglichst vielen **Symmetrie-Ebenen und -Axen** ausgestattet, je eine in Nr. 1 und 2, je drei in Nr. 3 bis 7.

